# ОСНОВЫ ВАКУУМНОЙ ТЕХНИКИ

Второе издание, переработанное и дополненное

Допущено Министерством высшего и среднего специального образования СССР в качестве учебника для техникумов электронных приборов Реценвенты: А. П. Руссавская, В. П. Титушина

**Авторы: А.** И. Пипко, В. Я. Плисковский,  $\overline{[Б.~И.~Королев]}$ ,  $\overline{[B.~И.~Кузнецов]}$ 

Основы вакуумной техники: Учебник для технику-О-75 мов/ А. И. Пипко, В. Я. Плисковский, Б. И. Королев, В. И. Кузнецов. — 2-е изд., перераб. и доп. — М.: Энергоиздат, 1981. — 432 с., ил.

В пер.: 1 р.

Излагаются сведения по кинетической теории газов, физике вакуума и процессам на поверхности твердых тел, соприкасающихся с газами. Приводятся методы расчета вакуумных систем, современные ередства откачки, измерения общего и парциального давлений, методы обнаружения мест натекания. В отличие от первого издания 1975 г. во втором приводятся принципы построения вакуумных систем оборудования для нанесения тонких пленок и других установок полупроводникового производства.

Предназначена учащимся техникумов электронных приборов.

 $0\frac{30407-359}{051(01)-81}$  189-81 (3). 2307000000

ББК 31.77 6П5.7

## ПРЕДИСЛОВИЕ КО ВТОРОМУ ИЗДАНИЮ

Настоящая книга является учебником по предмету «Основы вакуумной техники», который изучается в техникумах электронных приборов.

В книге описываются современные средства откачки, измерения полного и парциального давлений, методы измерения газовых потоков и обнаружения мест натекания. Достаточно подробно рассматриваются принципы построения вакуумных систем и методы их расчета.

Предварительно излагаются необходимые сведения по физике разреженных газов, кинетической теории и взаимодействию между твердыми телами и соприкасающимися с ними газами. Весь материал книги дается применительно к технике получения вакуума в производстве электровакуумных и полупроводниковых приборов.

Для более полного усвоения материала почти во всех разделах книги приводятся примеры расчетов и конкретные задачи с ответами.

Во втором издании были переработаны и дополнены новым материалом практически все разделы, а также устранены по возможности опечатки и неточности, замеченные в первом издании книги.

Все определения основных понятий и термины, приведенные в книге, даны в соответствии с ГОСТ 5197-70, а используемые величины — в Международной системе единиц СИ.

В заключение авторы выражают искреннюю благодарность научному редактору канд. техн. наук С. И. Гоникбергу за помошь при подготовке книги к изданию, а также инж. В. Б. Гордону за участие в подготовке иллюстрационного материала.

Авторы

#### **ИСТОРИЯ РАЗВИТИЯ ВАКУУМНОЙ ТЕХНИКИ**

Вакуумцая техника — это наука, которая изучает физико-химические процессы в разреженных газах, вопросы получения, сохранения и измерения вакуума (слово «вакуум» в переводе с латинского означает «пустота»).

История вакуумной техники начинается с І в. до н. э., когда появились первые упоминания о вакуумных насосах, способных создавать небольшие разрежения (шприц Герона, водяной насос Ктезибия). Однако работы по изучению свойств вакуума не проводились вплоть до XVII в., видимо, из-за запретов, накладываемых церковниками, утверждавшими, что «пустота может быть создана только всемогуществом божьим» (из решений Парижского Собора под председательством аббата Тампье, XIII в.). В 1211 г. в уставе первого в мире Парижского университета было записано, что вопросами пустоты должны заниматься богословы, но ни в коем случае не естественники. На это запрещение еще в XIV в. ссылался Иоанн Буридан (французский философ-схоласт, ректор Парижского университета) как на причину, не позволявшую ему, натурфилософу, заниматься изучением пустоты.

Только в XVII в. Галилео Галилей (1564—1642 гг.), не терпевший церковных догм, вычислил «силу боязни пустоты» из факта невозможности подъема воды всасывающим насосом на высоту более 10 м, какого бы

диаметра труба ни была.

В 1643 г. Эванджелисто Торричелли (1608—1647 гг.), ученик Галилея, открыл, что атмосфера создает давление, равное давлению столба ртути высотой около 760 мм. Пространство над ртутью в барометрической трубке, которое по представлению Торричелли было «абсолютной пустотой», названо в честь ученого «торричеллиевой пустотой». Теперь мы знаем, что это пространство заполнено парами ртути, имеющими при температуре —293 К давление 1,6·10—1 Па.

В 1650 г. немецкий физик Отто фон Герике (1602—

1686 гг.) изобрел первый механический воздушный насос и провел знаменитый опыт с магдебургскими полушариями, однако еще долгое время, вплоть до XIX в.. вакуум практически применялся лишь в устройствах лля откачки воды из колодцев.

В 1825 г. французский химик Жан Батист Дюма (1800—1884 гг.) достиг понижения давления, вытеснив воздух из сосуда водяным паром и сконденсировав его затем охлаждением.

В середине XIX в. немецкий химик Роберт Вильгельм Бунзен (1811—1899 гг.) осуществил откачку газа струей быстро истекающей жидко-

сти. увлекающей газ.

В специальную дисципвакуумная техника лину сформировалась в связи с развитием производства электровакуумных приборов: изобретение в 1873 г. русским ученым А. Н. Лодыгиным первого электровакуумного прибора — электрической лампы накаливания с угольным стержнем, открытие Т. А. Эдиссоном в 1883 г. термоэлектронной эмиссии из накаленных проводников, открытие в 1987 г. А. Г. Столетовым и Г. Герцем фотоэлектрического эффекта и многие другие открытия и изобретения не только увеличили нашизнания в области применения разреженных газов, но и ники.

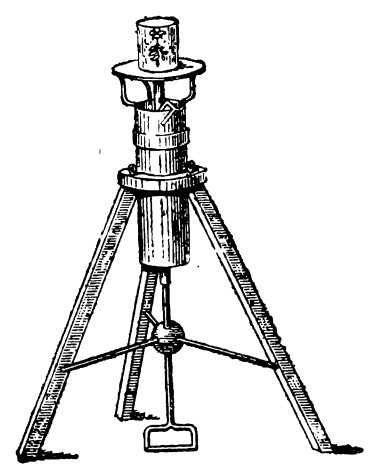


Рис. В1. Первый откачной пост колпакового типа, оснащенный поршневым насосом, двухходовым краном и ножным привогравюра (старинная ДОМ XVII B.).

привели к стремительному развитию вакуумной тех-

В 1884 г. итальянец А. Малиньяни впервые применил в производстве вакуумных ламп накаливания связывание остаточных газов парами фосфора и тем самым положил начало применению различного рода газопо-Глотителей (так называемых геттеров) в электровакуумных приборах. Впоследствии были разработаны геттерные насосы.

В 1904 г. Дж. Дьюар разработал способ получения вакуума путем поглощения газов активированным углем, охлаждаемым жидким азотом.

В 1906 г. появляется первый ротационный ртутный насос В. Гедэ, вскоре после чего был разработан многопластинчатый вакуумный насос с масляным уплотне-

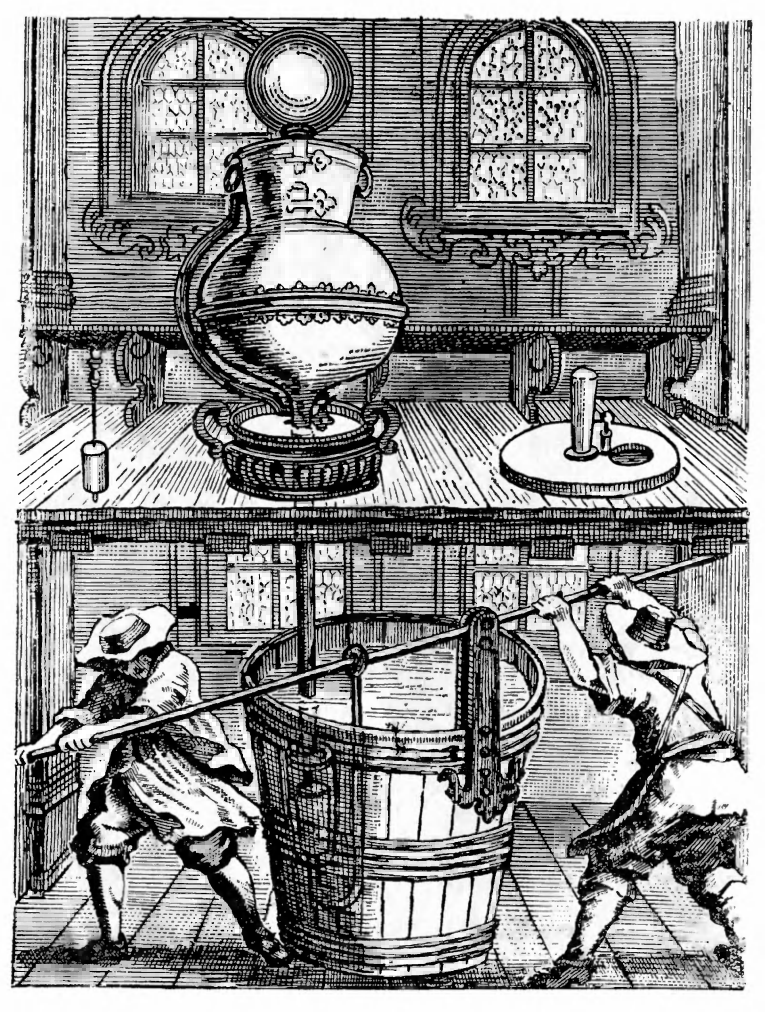


Рис. В2. Получение вакуума с помощью механического поршневого насоса с водяным уплотнением (старинная гравюра XVII в.).

нием, с помощью которого можно было получать давление около 1 Па.

В 1911 г. В. Гедэ сконструировал первый молекулярный насос. В 1914—1916 гг. практически одновременно В. Гедэ, И. Ленгмюр и профессор Петроградского университета С. А. Боровик разработали ртутный диффузионный насос, способный создавать давление около 10-5 Па.

В 1928 г. появляется паромасляный диффузионный насос К. Р. Бэрча, затем — большое количество других (механических, пароструйных, молекулярных) насосов, которые и по сей день широко используются в вакуумной технике и непрерывно совершенствуются.

В развитии техники измерения низких давлений следует отметить такие работы, как создание компрессионного манометра Г. Мак-Леодом (1874 г.), теплового манометра М. Пирани (1909 г.) и ионизационного манометра О. Бакли (1916 г.).

Успехам вакуумной техники способствовали многочисленные теоретические и экспериментальные работы; особенно следует отметить работы, проведенные в первые десятилетия XX в. американскими учеными И. Ленгмюром и С. Дэшманом, английским ученым Н. Р. Кэмпбеллом и датским физиком М. Кнудсеном.

Современная вакуумная техника способна обеспечить получение и измерение давления, в  $10^{18}$  раз меньшего атмосферного, при котором в  $1~{\rm cm}^3$  остается всего лишь около  $30~{\rm молекул}$  газа.

В нашей стране до 1917 г. имелись лишь небольшие фабрики вакуумных ламп накаливания (в Москве и Петрограде). Изготовление приемно-усилительных ламп было организовано Н. Д. Папалекси и М. А. Бонч-Бруевичем лишь в 1914 г. в Петрограде и в 1915 г. в Твери. Быстрое развитие отечественной вакуумной техники началось после Великой Октябрьской социалистической революции. Уже в 1918 г. В. И. Ленин дал указание об организации Нижегородской лаборатории, в которой под руководством М. А. Бонч-Бруевича начались разработка и производство генераторных ламп.

В 1919 г. под руководством А. А. Чернышева началась подготовка к массовому изготовлению электронных ламп в Петрограде. Точно так же в 20-х годах в Москве небольшие, разрозненные производства вакуумных ламп накаливания были объединены в единый завод, раз-

вившийся вскоре в мощное электровакуумное предприятие с сетью производственно-исследовательских лабораторий, работавших под руководством А. П. Иванова.

В последующие годы электровакуумные предприятия и научно-исследовательские институты продолжали развиваться по всему Советскому Союзу. Это позволило сделать огромный шаг вперед как в деле разработки и производства новых типов электровакуумных приборов, так и в области специальной вакуумной техники: разработаны и выпускаются более совершенные типы насосов, манометрических преобразователей, измерителей парциальных давлений, течеискателей и различных деталей вакуумных систем. В разработке рациональных вакуумных систем важную роль сыграл опубликованный в 1948 г. фундаментальный труд Г. А. Тягунова «Основы расчета вакуумных систем».

#### ОБЛАСТИ ПРИМЕНЕНИЯ ВАКУУМНОЙ ТЕХНИКИ

В настоящее время трудно назвать такую область науки и промышленности, где бы не использовались достижения вакуумной техники. Упомянем вкратце лишь некоторые области ее применения.

В радиоэлектронике вакуумная техника обеспечила возможность успешной разработки многих новых электронных приборов, предназначенных для увеличения дальнодействия, надежности и долговечности средств связи и навигации. Широко используется вакуумная техника в установках получения тонких пленок, для изготовления резисторов, конденсаторов, контактов, функциональных схем и жидкокристаллических ячеек. Изготовление полупроводниковых приборов, элементов солнечных батарей и кварцевых резонаторов также требует применения вакуумной техники.

В электропромышленности вакуумная техника используется в сушильных и пропиточных установках для производства трансформаторов, конденсаторов, кабелей и электродвигателей.

В металлургической промышленности применение вакуума в установках для дегазации сталей, в индукционных плавильных печах, в установках для электродуговой и электронно-лучевой переплавки позволяет заметно улучшить физико-химические свойства металлов. Для получения таких металлов, как титан, ниобий, тантал, цирконий, бериллий и их сплавы, необ-

ходимо создавать разрежения около  $10^{-2}$ — $10^{-4}$  Па. Получение полупроводниковых материалов и сверхчистых веществ также невозможно без применения вакуумной металлургии.

В химической промышленности применение вакуумных сушильных аппаратов позволяет резко увеличить выпуск таких ценнейших материалов, как синтетические волокна, полиамиды, аминопласты, полиэтилен, органические растворители. Искусственные кристаллы алмаза, рубина, сапфира, используемые в квантовых генераторах, создаются с применением вакуумной техники.

В медицинской и фармацевтической промышленности вакуумная техника широко применяется в установках для прецизионного литья медицинских инструментов, в установках для стерилизации, сублимационной сушки, для производства антибиотиков, синтетических гормонов, витаминов, лечебных сывороток и получения многих других ценнейших продуктов.

В пищевой промышленности широко применяют вакуумные кристаллизационные и дистилляционные установки для производства сахара. Консервирование пищевых продуктов с сохранением их вкусовых и питательных свойств осуществляется вымораживанием в вакууме.

В легкой промышленности напылением металла в вакууме получают фольгированные пластмассы, бумагу и ткани, используемые в качестве отделочных материалов при изготовлении мебели, укращений и т. п.

В авиационной промышленности используют вакуумные установки прецизионного литья для титана и высоколегированных сплавов, установки для сварки электронным лучом в вакууме деталей реактивных двигателей.

В оптической, стекольной и фотопромы шленности нанесением тонких пленок в вакууме изготовляют высококачественную оптику, оптические и бытовые алюминированные зеркала.

Велика роль вакуумной техники в научных исследованиях, так как без развития техники получения высокого, а затем и сверхвысокого вакуума не были бы возможны успехи атомной и ядерной физи-

ки, приведшие к практическому использованию атомной энергии и к дальнейшему более глубокому изучению строения вещества. С достижением сверхвысокого вакуума в камерах имитации космического пространства в условиях земной атмосферы стало возможным изучение космоса.

В заключение следует сказать, что от дальнейшего развития вакуумной техники во многом зависят успех изучения новых явлений, разработка новых приборов, создание материалов с новыми свойствами.

# ФИЗИКА РАЗРЕЖЕННЫХ ГАЗОВ

## Глава первая

## ЭЛЕМЕНТЫ КИНЕТИЧЕСКОЙ ТЕОРИИ И ГАЗОВЫЕ ЗАКОНЫ

#### 1.1. ПОНЯТИЕ ОБ ИДЕАЛЬНОМ ГАЗЕ

Для решения многих задач, возникающих при изучении газов, удобно пользоваться понятием об идеальном газе.

*Идеальными газами* принято считать такие, у которых:

молекулы можно представить как упругие материальные частицы:

силы межмолекулярного взаимодействия отсутствуют (происходят лишь упругие столкновения между молекулами);

объем, занимаемый собственно молекулами, исчезающе мал по сравнению с объемом, свободным от молекул.

Разреженные газы, с которыми в основном имеет дело вакуумная техника, по своим свойствам очень мало отличаются от идеальных газов. Свойства реальных газов начинают отличаться от свойств идеальных газов лишь при высоком давлении и температуре, близкой к температуре сжижения. При этом становится заметным влияние сил межмолекулярного взаимодействия.

## 1.2. ТЕПЛОВОЕ ДВИЖЕНИЕ МОЛЕКУЛ И АТОМОВ

Наблюдения за поведением любого вещества: твердого, жидкого или газообразного — приводят к выводу, что молекулы и атомы вещества находятся постоянно в беспорядочном движении. Это беспорядочное движение, в котором всегда находятся молекулы (атомы) вещества, называется тепловым; а теория, в основе которой лежит представление о тепловом движении молекул и атомов, называется кинетической теорией материи.

Впервые представление о внутреннем тепловом движении частиц вещества развил М. В. Ломоносов (1744 г.).

Тепловое движение частиц твердого тела носит колебательный характер; частицы колеблются около среднего положения с различными амплитудами. Такой характер теплового движения частиц твердого тела обусловливается тем, что между ними имеются прочные связи (силы взаимного притяжения), не позволяющие им двигаться поступательно; поэтому твердое тело способно самостоятельно сохранять свой объем и форму.

Тепловое движение молекул жидкости в отличие от твердого тела имеет смешанный характер, причем чем выше температура жидкости (т. е. чем интенсивнее тепловое движение), тем легче преодолеваются силы взаимного притяжения между молекулами и тем сильнее преобладает поступательное (зигзагообразное) движение молекул; в связи с этим жидкость способна сохранять самостоятельно только объем, но не форму.

Наконец, тепловое движение молекул газообразного вещества имеет только поступательный характер с относительно слабым взаимодействием между молекулами, вследствие чего газообразное вещество неспособно самостоятельно сохранять ни форму, ни объем, а всегда занимает весь предоставленный ему объем.

На основе представления о хаотическом поступательном тепловом движении молекул газа легко объяснить явления, с которыми приходится сталкиваться при изучении вакуумной техники. Приведем примеры:

- 1. Хаотическим тепловым движением объясняется способность газов занимать весь предоставленный им объем или проникать друг в друга (диффузия).
- 2. Тепловым движением молекул объясняются такие важные для вакуумной техники свойства газов, как теплопроводность, т. е. перенос молекулами тепла от более нагретого к менее нагретому телу в газовой среде; как внутреннее трение или вязкость газов, т. е. перенос количества движения от одного слоя газа к другому.
- 3. Тепловым движением частиц воздуха объясняется такое нежелательное в вакуумной технике явление, как натекание вакуумных систем, т. е. проникновение атмосферного воздуха внутрь вакуумной системы через

неуплотненное (негерметичное) место и даже через стенки оболочки, если стенки изготовлены из газопроницаемого материала.

- 4. На основе теплового движения и взаимодействия между молекулами газа и твердого тела объясняются явления, происходящие как на поверхности их раздела, так и внутри твердого тела (поглощение и выделение газов твердыми телами).
- 5. Тепловым движением молекул определяется наличие в любом веществе внутренней энергии.

В реальных газах полная внутренняя энергия складывается из кинетической энергии теплового движения 
молекул и потенциальной энергии межмолекулярного 
взаимодействия, причем потенциальная энергия тем 
больше, чем больше среднее расстояние между молекулами, т. е. чем ниже давление газа.

Поскольку в идеальном газе взаимодействие между молекулами отсутствует, его внутренняя энергия определяется только кинетической энергией теплового движения. Отсюда следует, что определенной температуре газа соответствует определенная скорость движения молекул.

#### 1.3. ДАВЛЕНИЕ И ПЛОТНОСТЬ ГАЗА

Давление газа с точки зрения кинетической теории есть суммарный импульс силы, который вследствие теплового движения сообщается ударами молекул газа в единици времени единице поверхности. Ударяясь о стенку, каждая молекула с массой т и средней скоростью u передает ей количество движения, равное mu. Отражаясь от стенки с той же скоростью u, молекула как бы отталкивается от нее и таким образом сообщает ей такое же количество движения ти. Следовательно, изменение количества движения при одном ударе одной молекулы равно mu-(-mu)=2mu. Если за 1 с на единицу поверхности стенки приходится  $N_u$  ударов молекул, то полное количество движения, переданное этому участку стенки, равно  $2N_u m u$ . В соответствии со вторым законом Ньютона это количество движения равно произведению силы, действующей на этот участок стенки, на время, в течение которого она действует (в нашем случае 1 с). Таким образом, сила, действующая на единицу поверхности стенки, т. е. давление

Подсчитаем число ударов молекул в 1 с, приходящееся на единицу поверхности. Если число молекул в единице объема обозначить  $N_1$  и учесть, что молекулы движутся со скоростью u в шести равновероятных направлениях перпендикулярно граням куба, то в единицу времени в среднем  $N_u = (N_1/6)u$  молекул ударится об единицу поверхности. Окончательно имеем:

$$p = 2mu \frac{N_1}{6} u = \frac{1}{3} N_1 m u^2, \tag{1.1}$$

где p — давление;

 $\dot{N}_1$  — количество молекул в единице объема (молекулярная концентрация):

m — масса молекулы;

и — средняя скорость молекулы.

Единицей давления в системе СИ служит паскаль (Па), 1 Па=1 H/м<sup>2</sup> (ньютон на квадратный метр).

` Плотностью газа называется масса газа в единице объема

$$\rho = N_1 m. \tag{1.2}$$

Если учесть уравнение (1.1), то получим:

$$p = \frac{1}{3} \rho u^2 \tag{1.3}$$

или

$$\frac{p}{\rho} = \frac{1}{3} u^2$$
 (1.4)

## 1.4. ЗАКОНЫ ИДЕАЛЬНЫХ ГАЗОВ

Как уже отмечалось, разреженные газы по своим свойствам близки к идеальным, поэтому найденные опытным путем законы поведения разреженных газов используются для описания идеальных газов. Рассмотрим эти законы.

Закон Бойля—Мариотта. При постоянной массе газа Nm и температуре T произведение давления газа p на на его объем V есть величина постоянная:

$$pV = \text{const.}$$
 (1.5)

Если ввести понятие удельного объема, то можно записать:

$$pV_{y\pi} = \text{const},$$
 (1.6)

где  $V_{y_{\pi}} = 1/\rho$  — удельный объем;  $\rho$  — плотность газа.

Сравнивая (1.6) и (1.4), видим, что при постоянной температуре скорость теплового движения молекул газа остается неизменной.

В более общем случае, когда постоянной остается только температура, а масса газа Nm меняется, закон Бойля—Мариотта можно записать в виде

$$pV = (\text{const})_1 Nm, \tag{1.7}$$

т. е. произведение давления газа на его объем при неизменной температуре прямо пропорционально массе газа. Отсюда следует, что произведением pV можно измерять количество газа, если его температура остается неизменной.

При решении многих задач вакуумной техники бывает удобно количество газа выражать именно в единицах pV, т. е. в  $\mathbf{M}^3 \cdot \Pi \mathbf{a} = H \cdot \mathbf{M}$ .

Кроме того, из уравнений (1.2) и (1.6) следует, что при постоянной температуре давление газа пропорционально его молекулярной концентрации  $N_1$  и плотно-

сти р.

Экспериментально установлено, что при смешении химически не взаимодействующих газов с одинаковой температурой температура смеси остается той же, что и у газов до смешения. Отсюда следует, что при одной и той же температуре средняя кинетическая энергия молекул одинакова для всех газов.

Закон Авогадро. Умножив обе части уравнения (1.1)

на V, получим:

$$pV = \frac{1}{3}Nmu^2 = \frac{2}{3}N\frac{mu^2}{2},$$
 (1.8)

где  $N = N_1 V$ .

Из уравнения (1.8) следует, что в равных объемах V при одинаковых давлениях p и температурах  $(mu^2/2 \sim T)$  содержится одинаковое число молекул различных газов.

Из уравнения (1.8) следует также, что при равных температурах и давлениях равные объемы газов V содержат одинаковое количество молекул N. Этот вывод называется законом Авогадро.

На основании закона Авогадро молекулярная масса М любого газа или пара определяется как выраженная в килограммах масса такого количества газа, которое при 273 К и давлении 1,02·10<sup>5</sup> Па занимает объем 22,41 м<sup>3</sup>. Эта масса газа называется килограмм-молекулой (киломолем). Довольно часто при расчетах используется в тысячу раз меньшая величина, называемая грамм-молекулой (молем) и представляющая собой массу молекул газа, выраженную в граммах, которая при тех же условиях (273 K,  $1,02 \cdot 10^5$  Па) занимает объем V = 22.41 л.

Один моль газа содержит  $N_{\rm A}$  = 6,0228 · 10<sup>23</sup> молекул.  $N_{\rm A}$  называется числом Авогадро. Число молекул, содержащихся в 1 см³ при 273 K и 1,02 · 10<sup>5</sup> Па, называется числом Лошмидта:  $N_{\rm M}$  = 2,687 · 10<sup>19</sup> молекул/см³.

Закон Гей-Люссака. При постоянной массе Nm и давлении p объем газа пропорционален его абсолютной температуре:

$$V = \text{const } T.$$
 (1.9)

Закон Шарля. При постоянной массе Nm и объеме V давление газа пропорционально его абсолютной температуре:

$$p = \text{const } T.$$
 (1.10)

Закон Дальтона. Полное давление смеси химически не взаимодействующих газов равно сумме парциальных давлений отдельных газов. Парциальным давлением газа, входящего в смесь, называется давление, которое этот газ имел бы, если бы в объеме, занимаемом смесью, был только он один.

Итак, согласно закону Дальтона

$$p_{\text{cM}} = p_1 + p_2 + \ldots + p_n, \tag{1.11}$$

где  $p_{cm}$  — полное давление смеси;

 $p_1, p_2, \ldots, p_n$  — парциальные давления газов, составляющих смесь.

Действительно, если выразить количество смеси и отдельных газов в единицах pV, то, очевидно,

$$p_{\rm cm}V_{\rm cm} = p_1V_{\rm cm} + p_2V_{\rm cm} + \ldots + p_nV_{\rm cm},$$

где  $V_{\rm cm}$  — объем смеси.

После сокращения на  $V_{\rm cm}$  получаем уравнение (1.11).

## 1.5. УРАВНЕНИЕ СОСТОЯНИЯ ИДЕАЛЬНЫХ ГАЗОВ

Уравнение состояния идеальных газов является результатом обобщения законов идеальных газов и записывается следующим образом:

$$pV = kTN, \tag{1.12}$$

где k — коэффициент пропорциональности, называемый постоянной Больцмана ( $k=1,38\cdot 10^{-23}$  Дж/К);

т — абсолютная температура газа;

N — число молекул.

Для одного киломоля газа уравнение (1.12) примет вид:

 $pV_0 = kTN_A = R_0T, \qquad (1.13)$ 

где  $R_0 = kN_A$  — универсальная газовая постоянная, одинаковая для всех газов,  $R_0 = 1,986$  кал/ (К·кмоль) =  $8,314 \cdot 10^3$  Дж/(К·кмоль);

 $N_{\mathbf{A}}$  — число Авогадро;

 $V_0$  — объем одного киломоля газа.

В общем виде уравнение (1.13) записывается следующим образом:

 $pV = n_{\rm M}R_0T, \qquad (1.14)$ 

где  $n_{\rm M} = N/N_{\rm A}$  — число киломолей газа в объеме V. Приравнивая правые части уравнений (1.8) и (1.14) и решая относительно u, получаем:

$$u = \sqrt{\frac{3n_{\rm M}R_0T}{Nm}} = \sqrt{\frac{3R_0T}{M}} = 158 \sqrt{\frac{T}{M}}, \quad (1.15)$$

где  $M = N_{A}m$  — молекулярная масса газа.

Таким образом, средняя квадратичная скорость теплового движения молекул газа прямо пропорциональна квадратному корню из абсолютной температуры и обратно пропорциональна квадратному корню из молекулярной массы газа.

Сопоставление уравнений (1.8) и (1.12) приводит к соотношению

$$\frac{mu^2}{2} = \frac{3}{2}kT,$$
 (1.16)

т. е. средняя кинетическая энергия теплового движения молекул газа пропорциональна его абсолютной температуре.

Соотношение (1.16) позволяет сделать также следующий важный вывод. Возьмем *п* любых газов и составим для них выражения средней кинетической энергии молекул:

$$\frac{m_1u^2_1}{2}$$
,  $\frac{m_2u^2_2}{2}$ , ...,  $\frac{m_nu^2_n}{2}$ .

Если температура всех газов одинакова, то, поскольку каждое из выражений в отдельности равно 3/2 кТ, 2—1081

имеем:

$$\frac{m_1 u_1^2}{2} = \frac{m_2 u_2^2}{2} = \dots = \frac{m_n u_n^2}{2} = \frac{3}{2} kT,$$

т. е. при одинаковой температуре средняя кинетическая энергия теплового движения молекул любого газа одинакова и равна  $3/2~\kappa T$ .

#### 1.6. УРАВНЕНИЕ СОСТОЯНИЯ РЕАЛЬНЫХ ГАЗОВ

Описание газовых законов дополним рассмотрением уравнения состояния реальных газов, так как при значительном повышении давления (плотности) газа начинает сказываться влияние сил межмолекулярного взаимодействия и собственного объема молекул, которые, как мы знаем, в уравнении состояния идеального газа не учитываются (см. также § 1.4).

Из предложенных различными авторами уравнений состояния реальных газов наиболее удачным считается уравнение Ван-дер-Ваальса (1873 г.), имеющее следующий вид:

$$\left(p + \frac{a}{V_0^2}\right)(V_0 - b) = R_0 T,$$
 (1.17)

где *p* — давление;

 $\dot{V}_0$  — объем киломоля газа;

а и b — постоянные величины, зависящие от рода газа;

 $R_0$  — универсальная газовая постоянная;

*T* — температура газа.

Поправка  $a/V^2_0$  учитывает влияние так называемых ван-дер-ваальсовых сил, которые обусловлены электромагнитными и квантовыми взаимодействиями между молекулами газа. По мере сближения молекул происходят такие перегруппировки их зарядов, что сначала действуют силы взаимного притяжения, возрастающие при сближении молекул, а затем — силы их взаимного отталкивания. Пройдя через положение, при котором силы притяжения и отталкивания уравновешиваются, молекулы под действием быстро возрастающих сил взаимного отталкивания разлетаются в разных направлениях.

Силы взаимодействия между молекулами внутри объема газа направлены во все стороны и, следовательно, взаимно уравновешиваются, но они сказываются на краевых молекулах, находящихся вблизи стенок сосуда, содержащего газ, и проявляются в виде допол-

нительного слагаемого к давлению p. Это значит, что в данном объеме газ удерживается не только внешним давлением p, оказываемым стенками, но частично и внутренними силами межмолекулярного взаимодействия в самом газе. Таким образом, поправка  $a/V_0^2$  представляет собой «внутреннее» давление в газе.

Поправкой *b* учитывается влияние собственного объема молекул, за счет которого уменьшается объем, свободный от молекул.

Уравнение Ван-дер-Ваальса позволяет с гораздо большей точностью, чем уравнение (1.14), определять параметры состояния газов при повышенных давлениях. Так, например, при давлении  $5 \cdot 10^7$  Па уравнение (1.17) при определении объема киломоля дает ошибку 1,4%, а уравнение (1.14) — 39%. Однако при давлениях, меньших  $10^5$  Па, оба уравнения дают близкие и достаточно точные для практики результаты.

Задача 1.1. Баллон, содержащий газ при давлении  $1 \cdot 10^5$  Па, имеет объем 5 л. Как изменится давление газа в баллоне, если его сообщить с другим баллоном, практически не содержащим газа и имеющим объем 20 л (температуру газа предполагаем постоянкой)?

Ответ: давление снизится на 8.104 Па.

Задача 1.2. Газонаполненная ламыа накаливания в холодном состоянии (300 K) содержит газ под давлением 8·104 Па. Какое давление газа установится во включениой лампе, если накаленная нить нагреет его до средней температуры 450 K?

Ответ: 1,2 ⋅ 105 Па.

Задача 1.3. Определить молскулярную концентрацию любого газа при давлениях 100 000; 100; 0,1;  $10^{-4}$ ;  $10^{-7}$ ;  $10^{-10}$  и  $10^{-13}$  Па и температуре 300 К.

Ответ: при 10<sup>5</sup> Па 2,43·10<sup>25</sup> молекул/м<sup>3</sup>

» 10<sup>2</sup> Па 2,43·10<sup>22</sup> » 10<sup>-1</sup> Па 2,43·10<sup>19</sup>

• 10−4 Па 2,43·10¹6

»  $10^{-7}$  Па 2,43  $10^{13}$  »  $10^{-10}$  Па 2,43  $10^{10}$  »

 $> 10^{-15} \text{ Ha } 2,43 \cdot 10^{16} > 10^{-15} \text{ Ha } 2,43 \cdot 10^7 > 10^{-15} \text{ Ha } 2,43 \cdot 10^{-15} > 10^{-15}$ 

Задача 1.4. Определить объем киломоля газа при  $10^5~\Pi a$  и 300 K.

Ответ: примерно 25 м<sup>3</sup>.

Задача 1.5. Смесь азота и кислорода занимает объем 0,5 л. Определить парциальные давления этих газов, если полное давление смеси составляет 100 Па, причем при давлении 100 Па азот занимал бы объем 0,4 л, а кислород 0,1 л.

Ответ: 80 и 26 Па.

## 1.7. ЗАКОН РАСПРЕДЕЛЕНИЯ МОЛЕКУЛ ГАЗА ПО СКОРОСТЯМ

Как мы уже говорили, скорости теплового движения отличаются не только по величине, но и по направле-2\* нию, а тепловое движение молекул хаотично. Как же при этих условиях можно говорить об определенном значении средней скорости, зависящей от температуры и молекулярной массы газа?

Очевидно, для характеристики состояния газа следует говорить о средней скорости одной молекулы за длительный промежуток времени или средней скорости всех молекул газа в данном объеме в какой-нибудь момент времени.

В § 1.4 шла речь о средней квадратичной скорости, с помощью которой очень удобно характеризовать кинетическую энергию молекул газа. Значение средней квадратичной скорости может быть найдено из формулы (1.15).

Максвелл (1860 г.) показал, что газ, не подвергающийся какому-либо постороннему механическому или температурному воздействию, всегда приходит в такое состояние, когда молекулы распределяются по скоростям теплового движения, следуя вполне определенному статистическому закону. На основе этого закона можно подсчитать значение наиболее вероятной, т. е. относительно наиболее часто встречающейся у молекул, скорости теплового движения, м/с:

$$u_{\rm B} = \sqrt{\frac{2R_0T}{M}} = 129 \sqrt{\frac{T}{M}}.$$
 (1.18)

Подсчет средней арифметической скорости молекул газа, т. е.  $u_a = (u_1 + u_2 + \ldots + u_N)/N$ , где  $u_1, u_2, \ldots, u_N$  скорости молекул, а N — их число, дает следующее значение средней арифметической скорости  $u_a$ , м/с:

$$u_a = \sqrt{\frac{8R_0T}{\pi M}} = 145.51 \sqrt{\frac{T}{M}} = 1.128u_B.$$
 (1.19)

Для средней квадратичной скорости на основании закона распределения Максвелла получается выражение

$$u = \sqrt[4]{\frac{3R_0T}{M}} = 158 \sqrt[4]{\frac{T}{M}} = 1,22u_{\text{B}},$$
 (1.20)

которое совпадает с выражением (1.15), выведенным нами из сопоставления уравнений (1.8) и (1.14).

Представление о характере закона распределения молекул газа по скоростям можно получить из рассмот-

Пределы относительных значений скоростей ( $u_B = 1$ )	Относительные, %, количества молекул $(N = 100\%)$	Пределы относительных значений скоростей ( $u_{\rm B} = 1$ )	Относительные, %, количества молекул (N = 100%)
0—0,1 0,1—0,3 0,3—0,5 0,5—0,7 0,7—0,9 0,9—1,1 1,1—1,3	0,08 1,85 6,19 11,27 15,14 16,58 15,33	1,5—1,5 1,5—1,7 1,7—1,9 1,9—2,2 2,2—2,5 2,5—3,0	12,44 8,94 5,76 4,36 1,57 0,55

рения рис. 1.1, где показаны графики распределения молекул по скоростям при двух температурах  $(T_2 > T_1)$ .

Общее количество молекул, характеризуемое площадью, заключенной между кривой и осью абсцисс, принято одинаковым. Как видно, возрастание темпера-

туры приводит к сдвигу максимума кривой в сторону

больших скоростей.

Таблица 1.1 иллюстрирует закон распределения молекул по скоростям в относительных величинах. В левом столбце таблицы указаны пределы относительных значений скоростей, причем значение наиболее вероятной скорости принято за единицу  $(u_B=1)$ . В правом столбце приведены прихо-Дящиеся на этипределы относительные количества молекул в процентах ко всему количеству молекул газа (N=100%).

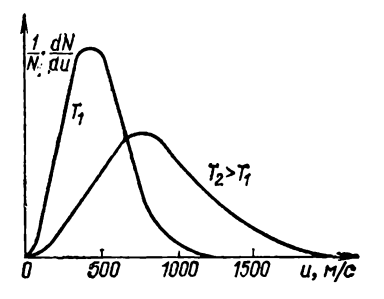


Рис. 1.1. Распределение молекул газа по скоростям  $\left(\frac{1}{N}\right)$   $\frac{1}{du}$ концентрация молекул с данной скоростью u, M/c).

Как видно, при любой температуре сравнительно небольшое количество молекул обладает очень малыми скоростями. По мере роста скоростей относительные доли молекул постепенно возрастают, и эта доля становится самой большой (16,58%) при наиболее вероятной скорости (пределы скоростей от 0,9 до 1,1  $u_{\rm B}$ ). При дальнейшем росте скоростей молекул доли опять становятся все меньшими. Таблица показывает, что примерно 70% всех молекул обладает скоростями от 0.5 до  $1.5~u_{\rm B}$ .

Закон распределения по скоростям позволяет однозначно определять значения средних скоростей теплового движения молекул в зависимости от температуры и молекулярной массы газа.

Таблица 1.2 Средние квадратичные скорости и теплового движения молекул некоторых газообразных веществ

_	Молекулярная масса, кг Средняя квадрат при 273 К	Средняя квадратичная скорость, м;	
Газ или пар		при 273 К	при 293 К
Водород Н2	2	1838	1904
Азот <b>N<sub>2</sub></b> Кислород О <sub>2</sub>	28 32	493 461	511 478
Ртутный пар	201	184	191

Представление об абсолютных значениях скорости теплового движения молекул различных газообразных веществ дает табл. 1.2, из которой видно, что средние скорости молекул значительны и примерно в полтора раза превышают скорость звука.

В формулах кинетической теории газов используются всегда средние значения скоростей теплового движения; причем если имеет значение только скорость молекулы, учитывается средняя арифметическая скорость, а когда имеет значение кинетическая энергия, учитывается средняя квадратичная скорость.

## 1.8. СРЕДНЯЯ ДЛИНА СВОБОДНОГО ПУТИ

Тепловое движение молекул сопровождается не только ударами молекул о стенки сосуда, в котором заключен газ, но и их взаимными столкновениями. Вследствие этого путь молекулы газа при тепловом движении представляет собой, вообще говоря, пространственную ломаную линию, прямолинейные участки которой соответствуют свободному пути молекулы (без столкновений) (рис. 1.2); точки, где молекула меняет свое направление, соответствуют моментам столкновения данной молекулы с какой-либо другой. Поскольку тепловое движение беспорядочно, прямолинейные пути молекул между двумя столкновениями не могут быть одинаковы; тем не менее благодаря существованию определенного за-

кона распределения мы и здесь сможем аналогично понятию о средней скорости теплового движения ввести понятие о среднем расстоянии, проходимом молекулами между двумя столкновениями, или, короче, о средней длине свободного пути молекул газа (обозначим ее через  $\lambda$ ).

**Рис.** 1.2. Тепловое движение молекулы газа.

1, 2, 3 и т. д. — места столкновений с другими молекулами.



Как уже отмечалось, с целью упрощения обычно полагают, что молекулы имеют сферическую форму и что молекулы взаимодействуют друг с другом подобно твердым абсолютно упругим телам, т. е. взаимодействие имеет место только при расстоянии между центрами молекул, меньшем эффективного диаметра молекулы  $\sigma$ . При этом надо иметь в виду, что силы, действующие между реальными молекулами, гораздо сложнее сил упругости. Так, в отличие от твердых сфер при некотором увеличении расстояния между молекулами возникает слабое притяжение. Столкновение между молекулами можно строго описать с помощью эффективной поверхности, рагной  $\pi\sigma^2$ , но при этом эффективной диаметр  $\sigma$  зависит от температуры и относительной скорости молекул, и, таким образом, понятие об эффективном диаметре является не вполне определенным.

Определяя среднюю длину свободного пути, мы считаем, что вероятность того, что в течение некоторого малого интервала времени dt молекула испытывает столкновение с какой-либо другой молекулой, не зависит от того, какой была траектория ее движения. Среднее время т движения молекулы до следующего столкновения назовем средним временем свободного пути молекулы.

Пренебрегая распределением молекул по скоростям, при дальнейшем рассуждении полагаем, что молекулы движутся в случайных направлениях с одинаковой скоростью, равной их средней скорости.

Так как столкновения молекул друг с другом происходят только при расстояниях между ними меньше  $\sigma$ , то объем цилиндра диаметром  $\sigma$ , описываемый молекулой за 1 с, движущейся относительно других молекул со скоростью  $u_{OTH}$ , будет равен  $\pi\sigma^2 u_{OTH}$ . Так как в единице объема содержится  $N_1$  молекул, то число столкновений p единицу времени, которое испытывает одна молекула, составит  $\pi\sigma^2 u_{OTH} N_2$ . Следовательно, средняя длина свободного пути

$$\lambda = \frac{u_a}{\pi \sigma^2 u_{\text{OTH}} N_1}.$$
 (1.21)

Так как движутся обе сталкивающиеся молекулы, то, считая их скорости одинаковыми, получаем в соответствии с законом косинуса:

$$u_{\text{OTH}} = V \overline{u^2_a + u^2_a - 2u^2_a \cos \theta},$$

где  $\theta$  — угол между векторами скоростей молекул.

Так как  $\theta$  с равной вероятностью может принимать как положительные, так и отрицательные значения, то можно полагать произведение  $2u^2$ <sub>в</sub>  $\cos\theta = 0$  и тогда

$$\lambda = \frac{1}{\sqrt{2} N_{\pi \sigma^2}}. \tag{1.22}$$

При выводе формулы (1.22) предполагалось, что от постоянна при изменении температуры. Для учета влияния температуры на о в формулу вводят поправочный коэффициент, полученный экспериментально, тогда

$$\lambda = \frac{1}{\sqrt{2} |N_1 \pi \sigma^2 (1 + C/T)}, \qquad (1.23)$$

где T — температура, K;

С — постоянная, зависящая от рода газа.

Если среднюю длину свободного пути молекулы при 273 К обозначить через  $\lambda_{273}$ , а при температуре T — через  $\lambda_{\tau}$ , то, пользуясь формулой (1.23), нетрудно подсчитать:

$$\lambda_{\rm T} = \lambda_{273} \frac{(273 + C)T}{(T + C) \cdot 273}$$
 (1.24)

По формуле (1.24) можно определить длину свободного пути при любой температуре, если она известна при 273 К.

Например, для воздуха при температуре 298 К и давлении 10<sup>5</sup> Па, используя данные, указанные в приложении 1, можем написать:

$$\label{eq:lambda298} \lambda_{\text{298}} \! = \! 5.98 \! \cdot \! 10^{-8} \frac{(273 + 112) \! \cdot \! 298}{(298 + 112) \! \cdot \! 273} \approx 6.2 \! \cdot \! 10^{-8} \ \text{m.}$$

Далее из формулы (1.12) следует:

$$N_1 = \frac{p}{kT}, \tag{1.25}$$

так как

$$N_1 = N/V$$
.

С учетом (1.25) получим из (1.23)

$$\lambda = \frac{kT}{V \, \overline{2} \, \pi \sigma^2 p \left(1 + \frac{C}{T}\right)} \,. \tag{1.26}$$

Таким образом, при постоянной температуре для определенного газа произведение

$$p\lambda = \text{const} = \lambda',$$
 (1.27)

где  $\lambda'$  — средняя длина свободного пути молекул газа

 $\mathbf{п}\mathbf{p}\mathbf{u} \mathbf{p} = 1 \ \Pi \mathbf{a}$ .

На основе соотношения (1.27) и вычисленного выше значения  $\lambda_{298}$  составлена табл. 1.3, в которой указаны значения  $\lambda$  для воздуха при различных давлениях и температуре 298 К.

Таблица 1.3 Средняя длина свободного пути молекул возду ха при 298 K

Давление воз- духа, Па	Средняя длина свободного пути молекулы воздуха, м	Давление воз- духа, Па	Средняя длина свобод- ного пути молекулы воздуха, м
$ \begin{array}{c} 1 \cdot 10^{5} \\ 1 \cdot 333 \cdot 10^{2} \\ 1 \cdot 10^{2} \\ 10 \\ 1 \cdot 10^{-1} \end{array} $	6,2·10 <sup>-8</sup> 4,6·10 <sup>-5</sup> 6,2·10 <sup>-4</sup> 6,2·10 <sup>-3</sup> 6,2·10 <sup>-3</sup> 6,2·10 <sup>-2</sup>	1·10-2 1·10-8 1·10-4 1·10-6 1·10-6 1·10-7	6,2·10 <sup>-1</sup> 6,2·10° 6,2·10 6,2·10° 6,2·10° 6,2·10° 6,2·10°

Из табл. 1.3 видно, что при температуре 298 К для воздуха  $\lambda' = 6,2 \cdot 10^{-3}$  м  $\cdot$  Па. Следовательно, среднюю длину свободного пути молекул воздуха при любом давлении можно определить по уравнению

$$\lambda_{298} = \frac{6.2 \cdot 10^{-3}}{p}$$
, M.

### 1.9. ОБЪЕМ ГАЗА, ЗАНИМАЕМЫЙ МОЛЕКУЛАМИ, УДАРЯЮЩИМИСЯ О ПОВЕРХНОСТЬ СТЕНКИ В ЕДИНИЦУ ВРЕМЕНИ

Число молекул газа, ударяющихся о единичную поверхность стенки сосуда, содержащего газ, в единицу времени согласно кинетической теории равно:

$$N_u = \frac{N_1 u_a}{4},$$
 (1.28)

где  $N_1$  — число молекул в единице объема;

 $u_{\rm a}$  — средняя арифметическая скорость молекул. Таким образом,  $N_u$  пропорционально скорости теплового движения молекул  $u_{\rm a}$  и молекулярной концентрации  $N_{\rm l}$ , а следовательно, при неизменной температуре пропорционально давлению газа.

Для практических целей часто бывает важно знать не число молекул  $N_u$ , ударяющихся о единицу поверхности в единицу времени, а объем газа  $V_1$ , занимаемый

молекулами, ударяющимися о единицу поверхности

в единицу времени.

Для вывода формулы объема  $V_1$  надо обе части уравнения (1.28) разделить на молекулярную концентрацию  $N_1$  и подставить значение  $u_a$  из уравнения (1.19):

$$V_1 = u_a/4 = 36.38 \sqrt{T/M}, \text{ m}^3/(\text{m}^2 \cdot \text{c}).$$
 (1.29)

Объем газа, ударяющийся в единицу времени о поверхность A, м<sup>2</sup>, равен:

$$V_{\rm A} = 36,38 A \sqrt{T/M}, \frac{M^3}{c}.$$
 (1.30)

Поскольку в формулу (1.30) молекулярная концентрация газа не входит, то  $V_{\mathbf{A}}$  не зависит от давления газа.

Формула (1.30) используется при определении быстроты действия высоковакуумных насосов, ловушек для вымораживания паров, газопоглотителей (геттеров), а также для вычисления проводимости отверстий при высоком вакууме и т. д.

Задача 1.6. Определить внутреннюю кинетическую энергию газа, находящегося в замкнутом сосуде объемом 200 см $^3$ , если давление газа равно  $10^5$  Па.

Ответ: 30 Дж.

Задача 1.7. Определить среднюю арифметическую скорость атомов ртутного пара при температуре 200 К.

Ответ: 145,5 м/с.

Задача 1.8. Определить среднюю квадратичную скорость молекул водорода при температуре 200 К.

Ответ: 1580 м/с.

Задача 1.9. Вычислить объем, занимаемый молекулами воздуха, ударяющимися в единицу поверхности стенки сосуда в 1 с при температуре 293 К (молекулярную массу воздуха можно ститать равной в среднем 29).

Ответ:  $116 \text{ m}^3/(\text{m}^2 \cdot \text{c})$ .

Задача 1.10. Подсчитать число молекул воздуха, находящихся в 1 см³ при температуре 273 К и давлениях  $10^2$ ,  $10^{-5}$  и  $10^{-9}$  Па.

Ответ:  $2,65 \cdot 10^{16}$   $1/см^3$ ;  $2,65 \cdot 10^9$   $1/см^3$  и  $2,65 \cdot 10^5$   $1/см^3$ .

Задача 1.11. Подсчитать число молекул воздуха при температуре 273 К и давлениях  $10^2$ ,  $10^{-5}$  и  $10^{-9}$  Па, ударяющихся в 1 см² поверхности (принять  $M_{\rm возд}$ =29).

Ответ:  $2,96\cdot10^{20}$   $1/\text{см}^2\cdot\text{c}$ ;  $2,96\cdot10^{13}$   $1/\text{см}^2\cdot\text{c}$  и  $2,96\cdot10^9$   $1/\text{см}^2$  с.

#### 1.10. ЯВЛЕНИЯ ПЕРЕНОСА

Явления переноса имеют место в системах, находящихся в неравновесном состоянии. При этом особый интерес представляют процессы, приводящие в конце концов систему, находящуюся в неравновесном состоя-

нии, в равновесное. Неравновесное состояние характеризуется какими-либо местными отличиями состояния газа, причем в результате теплового движения молекул эти отличия постепенно выравниваются. Когда через систему вследствие теплового движения молекул переносится масса, явление называют диффузией. Перенос количества движения называют внутренним трением. При переносе энергии говорят о теплопроводности.

Пусть по объему неравномерно распределены масса, количество движения или энергия. Обозначим одну из величин через f. Предположим, что f неравномерно распределена только вдоль оси Z, а в плоскостях, параллельных плоскости XY, ее распределение одинаково. При этом f является функцией лишь одной координаты Z.

Отметим, что перенос f происходит в разных направлениях неодинаково. Так, в направлении оси Z, перпендикулярном XY, перенос будет наибольшим. Очевидно, что чем больше разница концентраций f, тем больше ее перенос. Обычно рассматривается перенос f в направлении нормали к поверхности одинаковой концентрации XY.

Выберем две произвольные параллельные плоскости с координатами  $Z_1$  и  $Z_2$ , находящиеся на расстоянии

Z друг от друга.

Примем, что f в плоскости с координатой  $Z_1$  составляет  $f(Z_1)$ , а в плоскости с координатой  $Z_2$ — $f(Z_2)$ . Тогда перенос в направлении оси Z между этими плоскостями составит:

$$f = K_f - \frac{f(Z_2) - f(Z_1)}{Z} A,$$
 (1.31)

или при  $Z \rightarrow 0$ 

$$f = K_i \frac{d \cdot [f(Z)]}{dZ} A, \qquad (1.32)$$

где  $K_f$  — коэффициент, учитывающий число и характеристики молекул, участвующих в переносе;  $\frac{d [f(Z)]}{dZ}$  — градиент f, переносимый одной молекулой;

A — площадь поверхности, через которую осуществляется перенос f.

Теперь рассмотрим явление переноса с точки зрения кинетической теории.

Количество молекул, которые пересекают единицу площади за единицу времени в направлении оси Z, равно  $\frac{1}{6}$   $N_1u_a$ .

Поскольку к плоскости с координатой Z приходят без столкновения молекулы, находящиеся на расстоянии среднего свободного пути  $\lambda$  с обеих сторон от этой плоскости, т. е. от плоскостей с координатами  $Z+\lambda$  и  $Z-\lambda$ , то изменение у выбранной плоскости составит  $f(Z+\lambda)-f(Z-\lambda)$ .

Представим  $f(Z+\lambda)$  и  $f(Z-\lambda)$  степенными рядами, ограничившись первым членом разложения в ряд:

$$f = (Z + \lambda) = f(Z) + \lambda \frac{d[f(Z)]}{dZ}$$

И

$$f = (Z - \lambda) = f(Z) - \lambda \frac{d[f(Z)]}{dZ}$$
.

Тогда изменение f вблизи выбранной плоскости будет равно:

$$f(Z+\lambda)-f(Z-\lambda)=2\lambda \frac{d[f(Z)]}{dZ}.$$
 (1.33)

Таким образом, полное значение переносимой величины f через поверхность площадью A в единицу времени равно:

$$f = \frac{1}{6} N_{\mathbf{i}} u_{\mathbf{a}} \cdot 2\lambda \frac{d \left[ f(Z) \right]}{dZ} A = \frac{1}{3} N_{\mathbf{i}} u_{\mathbf{a}} \lambda \frac{d \left[ f(Z) \right]}{dZ} A =$$

$$= \frac{1}{3} u_{\mathbf{a}} \lambda \frac{d \left[ N_{\mathbf{i}} f(Z) \right]}{dZ} A. \tag{1.34}$$

Теперь перейдем к рассмотрению частных случаев явлений переноса. Начнем с явления внутреннего трения.

#### 1.11. BHYTPEHHEE TPEHNE B FASAX

Явление внутреннего трения заключается во взаимо-действии слоев текущего газа.

Если в газовой среде находятся две пластины, из которых одна неподвижна ( $v_0 = 0$ ), а другая движется параллельно первой со скоростью v, то все слои газа приходят в движение с определенными скоростями, убывающими от подвижной пластины к неподвижной.

На неподвижную пластину при этом будет действовать сила, направленная в сторону движения подвижной пластины.

Эта сила возникает в результате переноса количества движения между слоями движущегося с разными скоростями газа. В самом деле можно записать, что в единицу времени через площадку А переносится следующее количество движения:

$$\frac{Ad (mvN_1)}{dt} = \frac{Ad (pv)}{dt} = F,$$

где F — сила трения между слоями движущегося газа (в соответствии со вторым законом Ньютона производная по времени от количества движения равна действующей силе).

С другой стороны, в соответствии с (1.32) можно

$$f = K_f \frac{Ad(\rho v)}{dZ} = K_f \rho A \frac{dv}{dZ} = F. \tag{1.35}$$

Произведение  $K_{f}\rho$  обычно называют коэффициентом внутреннего трения или коэффициентом динамической вязкости и обозначают буквой  $\eta$ .

Таким образом, при площади пластины A сила трения газа будет:

$$F = \eta A \frac{dv}{dZ}. \tag{1.36}$$

С точки зрения кинетической теории явление внутреннего трения заключается в переносе молекулами количества движения от слоев, движущихся с большей скоростью, к слоям, движущимся с меньшей скоростью. Это приращение количества движения и определяет силу, действующую между слоями.

Физическую природу этого явления можно выяснить, воспользовавшись для этого полученным нами уравнением переноса (1.34), полагая, что при явлении внутреннего трения роль f выполняет количество движения mv, которым обладают молекулы вследствие движения слоев газа. Тогда сила трения

$$F = \frac{1}{3} N_1 u_a \lambda A \frac{d (mv)}{dZ}. \tag{1.37}$$

Сравнивая (1.37) с (1.36), находим:

$$\eta = \frac{1}{3} N_1 u_a \lambda m = \frac{1}{3} \rho u_a \lambda. \tag{1.38}$$

Если распределение молекул газа по скоростям отличается от равновесного, соответствующего закону Максвелла (см. табл. 1.1), то оказывается, что

$$\eta = 0.449 \rho u_a \lambda.$$
 (1.39)

Значения  $\eta$  для различных газов даны в приложении 1. Так как в правую часть выражения (1.39) входит не зависящее от давления газа произведение  $\rho\lambda$ , коэффициент внутреннего трения газа при средних давлениях также не зависит от давления. Например, уменьшение плотности газа  $\rho$ , а следовательно, и концентрации молекул  $N_1$ , являющихся переносчиками количества движения, компенсируется соответствующим уменьшением потерь количества движения при их взаимных столкновениях.

Выражение (1.39) показывает, что вязкость газа пропорциональна  $u_a$  и, следовательно, увеличивается с температурой. Характерно, что для жидкостей коэффициент вязкости с ростом температуры уменьшается.

При малых давлениях газа длина свободного пути х может быть соизмеримой или даже существенно большей расстояния между движущимися пластинами. При этом явление внутреннего трения в виде передачи количества движения от одного слоя газа к другому существовать, очевидно, не может, так как передача количества движения от движущейся пластины к неподвижной происходит непосредственно отдельными молекулами, отлетающими с добавочной скоростью от движущейся пластины. Наоборот, молекулы газа, отлетающие от неподвижной пластины, попадая непосредственно на движущуюся пластину, оказывают на нее тормозящее действие.

Такую передачу количества движения от движущейся пластины к неподвижной посредством отдельных, независимо (без взаимных столкновений) перелетающих между пластинами молекул иногда называют молекулярной вязкостью. Очевидно, ввиду отсутствия потерь на взаимные столкновения молекулярная вязкость должна быть прямо пропорциональна числу переносчиков количества движения и, следовательно, давлению газа.

### 1.12. ДИФФУЗИЯ ГАЗОВ

Диффузия газов заключается в постепенном проникновении одного газа в другой. Диффузия наблюдается только при различной концентрации газа в раз-

ных частях сосуда. В результате диффузии концентрации газов постепенно выравниваются во всем объеме

сосуда.

Различие между явлениями диффузии и внутреннего трения, рассмотренного выше, заключается в переносе массы газа, а не количества движения. Поэтому по аналогии с уравнением (1.36) можно записать:

$$M' = D \frac{d\rho}{dZ} - A, \qquad (1.40)$$

где M' — масса газа, переносимая в направлении оси Z в единицу времени (массовый поток газа);

D — коэффициент диффузии;

 $\frac{d\mathfrak{p}}{dZ}$  — градиент плотности газа вдоль оси Z;

A — площадь поверхности, через которую диффундирует газ.

Если отнести массу газа к единице поверхности, то выражение (1.40) примет вид:

$$M'_{yn} = D \frac{d\rho}{dZ},$$
 (1.41)

где  $M'_{y\pi}$  — удельный массовый поток газа.

В ряде случаев удобно оперировать объемными величинами.

Если в формуле (1.40) заменить  $\rho$  на  $N_1m_1$  и разделить правую и левую части уравнения на  $m_1$ , то получим:

$$q' = D \frac{dN_1}{dZ}, \tag{1.42}$$

где  $q' = \frac{M'}{m_1}$  — удельный поток молекул газа;

 $N_1$  — объемная концентрация газа, масса молекулы которого равна  $m_1$ .

Уравнение (1.41) описывает стационарный процесс

диффузии и называется первым законом Фика.

Для рассмотрения явления диффузии с точки зрения кинетической теории воспользуемся уравнением (1.35), полагая, что роль f при диффузии газов играет масса молекул, проходящих в единицу времени в направлении уменьшения концентрации данного газа. При этом уравнение (1.35) можно записать следующим образом:

$$M' = \frac{1}{3} u_{\mathbf{a}} \lambda \frac{d (N_1 m)}{dZ} = \frac{1}{3} u_{\mathbf{a}} \lambda \frac{d \rho}{dZ}. \qquad (1.43)$$

Сравнение (1.43) с (1.41) показывает, что

$$D = \frac{1}{3} u_{\mathbf{a}} \lambda. \tag{1.44}$$

Таким образом, мы видим, что в области средних давлений, когда длина свободного пути  $\lambda$  меньше размеров сосуда, коэффициент диффузии D пропорционален средней скорости теплового движения и средней длине свободного пути, т. е. диффузия происходит тем скорее, чем выше температура и меньше давление газа.

Сопоставляя выражения (1.39) и (1.44), можно получить соотношение между коэффициентом диффузии D и динамической вязкостью  $\eta$ :

$$D = 0.668 \, \eta/\rho.$$
 (1.45)

Уравнение (1.42) характеризует явление диффузии для случая, когда градиенты концентрации молекул газов с помощью посторонних источников и стоков поддерживаются постоянными, причем молекулы обоих газов обладают равными или близкими значениями средней скорости  $u_a$  и среднего свободного пути  $\lambda$ . Это условие практически выполняется для газов с близкими значениями молекулярной массы, находящихся при равных температурах.

В общем случае, когда газы имеют различные параметры, как вывод, так и само выражение коэффициента диффузии существенно усложняются.

Выражения (1.42)—(1.44) могут быть также применены для определения потока газа, диффундирующего через какую-либо перегородку, если концентрация газа по обе стороны перегородки остается постоянной во времени. При этом необходимо лишь воспользоваться значением коэффициента диффузии газа в материале перегородки, который определяется экспериментально (см. приложение 5).

В ряде случаев имеет место процесс диффузии, при котором концентрация газа меняется во времени. Это наблюдается, например, при смешении двух газов, находящихся в ограниченных объемах, которые были разделены до какого-то времени перегородкой, затем разрушенной. При этом общее число участвующих в процессе диффузии молекул остается постоянным, а концентрация и переносимая масса меняются во времени. Такое же явление будет иметь место при удалении растворен-

ных в металле или каком-либо ином твердом теле газов. В этом случае концентрация газов на поверхности твердого тела остается постоянной и весьма малой (условно равной нулю), а в толще твердого тела постепенно со временем концентрация газа уменьшается.

Этот процесс называется нестационарным процессом диффузии и описывается уравнением, носящим название второго закона Фика:

$$\frac{\partial N_1}{\partial t} = D \frac{\partial^2 N_1}{\partial Z^2} , \qquad (1.46)$$

 $\mathbf{r}$ де  $\frac{\partial N_1}{\partial t}$  — скорость изменения концентрации газа;

 $\frac{\partial^2 N_1}{\partial Z^2}$  — изменение градиента концентрации в направлении координаты Z.

Частные случаи решений уравнения (1.46), представляющие практический интерес, приведены в гл. 4.

Пример 1.12. Рассчитать поток кислорода, диффундирующего из воздуха через отверстие в стенке большой камеры, наполненной азотом. Площадь отверстия равна 1 см², толщина стенки 1 см, давление и температура азота в камере равны соответственно  $1,02\cdot10^5$  Па и 298 K и не отличаются от давления воздуха в окружающем пространстве.

Решение. Поскольку параметры азота близки к параметрам воздуха и кислорода во внешнем пространстве, то можно воспользоваться для расчета потока газа выражениями (1.42) и (1.44). Если полагать, что объем камеры достаточно велик для того, чтобы можно было пренебречь изменением концентрации кислорода в ней во времени, то изменение концентрации имеет место лишь по длине отверстия.

Из приложения 1 находим  $\lambda_{\mathbf{O_3}}=6,33\cdot 10^{-8}$  м;  $M_{\mathbf{O_3}}=32$  кг  $u_{\mathbf{a_{05}\circ_C}}=444,2$  м/с.

Поскольку число Лошмидта  $N_\pi = 2,687 \cdot 10^{19}$  молекул/см³, а парциальное давление кислорода в воздухе составляет 2,12·10<sup>4</sup> Па (см. приложение 9), то концентрация кислорода в воздухе

$$N_1 = 2,687 \cdot 10^{19} \frac{2,12 \cdot 10^4}{1,02 \cdot 10^5} = 5,585 \cdot 10^{18}$$
 молекул/см³ =  $5,585 \cdot 10^{24}$  молекул/м³.

Изменение концентрации кислорода по длине отверстия:

$$\frac{dN_1}{dZ} = \frac{.5,585 \cdot 10^{24}}{10^{-2}} = 5,585 \cdot 10^{26} \text{ молекул/м}^4.$$

**Коэффициент дифф**узии кислорода равен в **с**оответствии с (1.44):

$$D = \frac{1}{3} \cdot 444, 2 \cdot 6,33 \cdot 10^{-8} = 9,373 \cdot 10^{-6} \text{ M}^2/\text{c}.$$

**Наконец, поток кислорода, диффу**пдирующего извне в камеру. равен:

$$q' = 9,373 \cdot 10^{-6} \cdot 5,585 \cdot 10^{26} \cdot 10^{-4} = 5.235 \cdot 10^{16}$$
 молекул/с.

**Если отнести поток диффундирующего** кислорода к атмосферному давлению, то объем его будет равен:

$$V' = \frac{q'}{N_{\pi}} = \frac{5,235 \cdot 10^{18}}{2,687 \cdot 10^{19}} = 1,948 \cdot 10^{-8} \text{ cm}^{8}/\text{c},$$

т. е. достаточно мал.

#### 1.13. ТЕПЛОПРОВОДНОСТЬ ГАЗОВ

Явление теплопроводности заключается в переносе энергии молекулами газа из одной части объема в другую.

Представим себе в газовой среде две параллельные пластины, имеющие различные температуры  $T_1$  и  $T_2$ ,

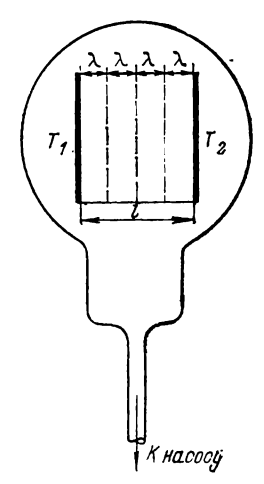


Рис. 1.3. Передача тепла через газ в условиях низкого вакуума  $(\lambda \ll l)$ .

причем  $T_1 > T_2$  (рис. 1.3). Растояние между пластинами равно l. Молекулы газа, ударившиеся в более нагретую пластину, отлетают от нее с большей кинетической энергией, чем до удара. При достаточно высоких дав-

При достаточно высоких давлениях, когда длина своболного пути молекул  $\lambda$  значительно меньше расстояния между пластинами  $l(\lambda \ll l)$ , молекулы уже на расстоянин  $\lambda$  от более нагрегой пластины встретятся с другими молекулами, которым и отдадут часть своей энергии. Поэтому упрощенно, но принципиально верно можно представить, что газ между пластинами как бы разделен на слои шириной  $\lambda$ , в которых вследствие взаимных

столкновений и происходит обмен энергиями между молекулами газа. При этом от слоя к слою происходит постепенное уменьшение кинетической энергии молекул и между пластинами устанавливается постоянный градиент температуры. Непосредственно в менее нагретую пластину ударяются, очевидно, не все молекулы, а лишь те, которые находятся в ближайшем к ней слое, причем температура газа в этом слое тем ближе к  $T_2$ , чем меньше  $\lambda$ .

Описанное явление теплопроводности сходно с ранее рассматриваемыми явлениями вязкости и диффузии и отображается математически аналогичными уравнениями. Если воспользоваться уравнением (1.32), то можно записать, что переносимый вдоль оси Z через площадку A тепловой поток

$$Q'_{\tau} = K_i \frac{dE}{dZ} A, \qquad (1.47)$$

где  $K_f$  — коэффициент пропорциональности; E — внутренняя энергия газа;

 $\frac{dE}{dZ}$  — градиент внутренней энергии газа вдоль оси Z.

Так как внутренняя энергия единицы массы газа, имеющего температуру T,

$$E = C_{v_{\vee A}}T,$$

где  $C_{v_{y_{\text{\tiny J}}}}$  — удельная теплоемкость газа *при постоянном* объеме, т. е. когда при изменении температуры объем, занимаемый единицей массы газа, не меняется;

Т — абсолютная температура газа.

Таким образом,

$$Q'_{\mathbf{r}} = K_{i} \frac{d \left(C_{vy\pi} T\right)}{dZ} A = K_{i} C_{vy\pi} \frac{dT}{dZ} A = \lambda_{Q} \frac{dT}{dZ} A, \quad (1.48)$$

где  $\lambda_Q = K_f C v_{\text{уд}}$  — коэффициент теплопроводности; dT/dZ — градиент температуры; A — площадь поверхности.

Уравнение (1.48) называется уравнением Фурье; с его помощью описывается процесс теплопередачи в сплошных средах.

Рассмотрим теперь явление теплопроводности с точки зрения кинетической теории, воспользовавшись уравнением (1.34).

На долю одной молекулы приходится следующее количество энергии:

 $E = C_{\mathbf{v}_{\mathbf{v}\mathbf{n}}}Tm, \tag{1.49}$ 

где т — масса молекулы.

Энергия E при рассмотрении теплопроводности играет роль f в формуле (1.33). Таким образом, получим:

$$Q'_{\tau} = \frac{1}{3} N_{1} u_{a} \lambda \frac{dE}{dZ} A = \frac{1}{3} N_{1} u_{a} \lambda \frac{d}{dZ} (C_{v_{y,n}} Tm) A =$$

$$= \frac{1}{3} N_{1} u_{a} \lambda C_{v_{y,n}} m \frac{dT}{dZ} A. \qquad (1.50)$$

Сравнивая выражение (1.50) с формулой (1.47), находим, что коэффициент теплопроводности равен:

$$\lambda_{Q} = \frac{1}{3} N_{1} u_{a} \lambda C_{v_{y} \pi} m = \frac{1}{3} \rho u_{a} \lambda C_{v_{y} \pi}, \qquad (1.51)$$

где  $\rho$  — плотность газа.

Сравнение (1.38), (1.43) и (1.51) показывает, что

$$\lambda_{Q} = \eta C_{\mathbf{v}_{\mathbf{y}\mathbf{A}}} = D\rho C_{\mathbf{v}_{\mathbf{y}\mathbf{A}}}.$$
 (1.52)

Эксперимент показывает, что вместо соотношения (1.52) надо пользоваться выражением

$$\lambda_{\mathbf{Q}} = \xi \eta C_{\nu_{\mathbf{y}\pi}}, \tag{1.53}$$

где  $\xi = 1 \div 2,5$  — поправочный множитель.

Коэффициент § в формуле (1.53) появляется в связи с тем, что в выводе уравнения (1.33) предполагалось, что скорости всех молекул одинаковы, и не учитывалось их фактическое распределение по скоростям. Вместе с тем явление теплопроводности связано с переносом кинетической энергии, имеющей квадратичную зависимость от скорости, т. е. зависящей от распределения скоростей гораздо в большей степени, чем вязкость. При этом очень малые отклонения в скорости существенно влияют на теплопроводность.

В выражение (1.51) входит произведение  $\rho\lambda$ , следовательно, теплопроводность газа от давления не зависит. Этот вывод действителен, конечно, если средняя длина свободного пути  $\lambda$  меньше расстояния между теплообменивающимися поверхностями.

Пля плоских параллельных поверхностей уравнение (1.47) принимает вид:

$$Q'_{\tau} = \frac{\lambda_Q}{l} (T_1 - T_2) A,$$
 (1.54)

где  $Q'_{\tau}$  — тепловой поток;  $\lambda_Q$  — коэффициент теплопроводности; l — расстояние между теплообменивающимися поверхностями;

А — площадь одной из поверхностей;

 $T_1$  и  $T_2$  — температуры поверхностей.

Теплопроводность газовой прослойки между двумя соосными цилиндрическими поверхностями рассчитывается по уравнению

$$Q'_{\tau} = \frac{2\pi \lambda_{Q} (T_{1} - T_{2})}{\ln \frac{d_{2}}{d_{1}}} r, \qquad (1.55)$$

где r — высота цилиндрической газовой прослойки;  $d_1$  и  $d_2$  — диаметры внутренней и внешней поверхностей.

При расстояниях і между теплообменивающимися поверхностями, соизмеримыми со средней длиной свободного пути х или превышающими ее, теплопроводность газа уменьшается с понижением давления. Для этой области давлений правые части уравнений (1.47), (1.54) и (1.55) следует умножить на коэффициент є. По исследованиям Ленгмюра коэффициент

$$\varepsilon = \frac{1}{1 + \lambda/\alpha_{\rm aR} K_{\rm aR} l}, \qquad (1.56)$$

где λ — средняя длина свободного пути;

l — расстояние между теплообменивающимися поверхностями;

Как — коэффициент, зависящий от рода газа и равный 2,5 для одноатомных, 1,92 - для двухатомных, 1,67 — для многоатомных газов;

αак — коэффициент аккомодации:

$$a_{ak} = \frac{T'_{ra3} - T_{ra3}}{T_{cr} - T_{ra3}}, \qquad (1.57)$$

где  $T_{cr}$  — температура стенки;

 $T_{\text{газ}}$  — температура газа;

 $T'_{\rm ras}$  — температура, соответствующая средней энергии молекул, отраженных от стенки.

Коэффициент аккомодации выражает собой поправку, вызванную тем, что, как показал опыт, молекулы газа, ударяясь о нагреГую или холодную поверхность пластин, как бы не успевают приобретать энергию, соответствующую температурам пластин, и отлетают с их поверхностей со скоростями, не точно соответствующими температурам.  $\alpha_{a_{\rm K}}$  меньше единицы, и его значение зависит от рода газа, материала и состояния поверхностей пластин, с которыми взаимодействует газ, и может составлять в пределах от 0,2 до 0,95, причем для шероховатых поверхностей  $\alpha_{a_{\rm K}}$  больше.

При  $\lambda \gg l$  из (1.56) следует, что

$$\varepsilon = \frac{\alpha_{\rm aK} K_{\rm aK} l}{\Lambda}.$$
 (1.58)

Выражение (1.54) с учетом (1.58) запишется следующим образом:

$$Q'_{\mathbf{r}} = \frac{\lambda_{Q} \alpha_{a\kappa} K_{a\kappa}}{\lambda} (T_{\mathbf{1}} - T_{\mathbf{2}}) A, \qquad (1.59)$$

т. е. теплообмен путем теплопроводности среды между поверхностями, расстояние между которыми l меньше длины свободного пути молекул газа \(\lambda\), не зависит от расстояния и обратно пропорционален длине свободного пути (прямо пропорционален давлению).

На малой теплопроводности газа при его высоком разрежении основана конструкция сосудов с двойными стенками (сосуды Дьюара), в пространстве между которыми создан высокий вакуум; благодаря очень малой теплопроводности газа в пространстве между стенками наливаемые в эти сосуды сжиженные газы, например жидкий азот, могут сохраняться длительное время.

### Глава вторая

### ТЕОРЕТИЧЕСКИЕ ОСНОВЫ ПРОЦЕССА ОТКАЧКИ

### 2.1. ОСНОВНЫЕ ОПРЕДЕЛЕНИЯ ВАКУУМНОЙ ТЕХНИКИ

Рассмотрим вакуумную систему, изображенную на рис. 2.1, которая состоит из откачиваемого сосуда 1, манометрических преобразователей 2, крана 3, трубопровода 4 и насоса 5. Будем полагать, что в оболочке вакуумной системы нет течей и внутри нее нет газовыделения, а температура газа постоянна.

До начала работы насоса давление во всей вакуумной системе одинаково и газ неподвижен. С началом работы насоса начинается перемещение газа из сосуда 1 по трубопроводу 4 в насос 5, причем количество

газа в вакуумной системе непрерывно уменьшается, а так как объем системы и температура газа остаются практически неизменными, происходит понижение давления в вакуумной системе. Давление  $p_{\rm H}$  на входе в насос становится ниже, чем давление p на выходе откачиваемого сосуда 1. Таким образом, создается разность давлений  $p-p_{\rm H}$ , которая обусловлена наличием в системе

трубопровода, крана и других элементов, оказывающих сопротивление прохождению потока газа. Разность р—рн принято называть движищей разностью давлений.

В связи с различием в быстроте снижения давления в откачиваемом сосуде и у входа в насос следует различать понятия о быстроте откачки сосуда и быстроте откачивающего действия насоса.

Быстротой откачки сосуда или эффективной быстротой откачки

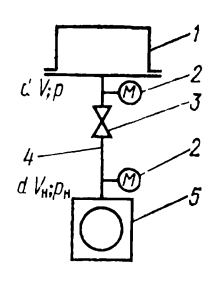


Рис. 2.1. Простейшая вакуумная система.

 $S_0$  называется объем газа, поступающий в единицу времени из сосуда в трубопровод при данном давлении р в откачиваемом сосуде.

Так как  $S_0$  с изменением давления, вообще говоря, изменяется, то ее значение приходится относить к определенному моменту времени; в следующий момент в связи с изменением давления в сосуде быстрота его откачки может принять другое значение. Поэтому для определения быстроты откачки сосуда надо брать бесконечно малый промежуток времени dt, в течение которого из откачиваемого сосуда в трубопровод входит бесконечно малый объем газа dV (рис. 2.1).

По определению

$$S_0 = \frac{dV}{dt} \tag{2.1}$$

при данном давлении р в сосуде.

Быстротой откачивающего действия или, короче, быстротой действия вакуумного насоса  $S_{\rm H}$  при данном впускном давлении  $p_{\rm H}$  называется объем газа, поступающий в работающий насос в сдиницу времени при этом давлении.

Так как быстрота действия насоса с изменением давления также изменяется, то для ее выражения надо брать бесконечно малый промежуток времени dt, в течение которого в насос поступает бесконечно малый объем газа  $dV_{\rm H}$ , измеряемый при впускном давлении  $p_{\rm H}$  (рис. 2.1).

По определению

$$S_{\rm H} = \frac{dV_{\rm H}}{dt} \tag{2.2}$$

при впускном давлении  $p_{\rm H}$ .

По аналогии с  $S_0$  и  $S_{\rm H}$  можно говорить, что быстрота действия вакуумной системы в любом сечении трубопровода  $S_i = dV_i/dt$  при давлении  $p_i$ , причем  $dV_i$  — объем газа, проходящий через сечение трубопровода за промежуток времени dt и измеряемый при том же давлении  $p_i$ .

Поскольку в вакуумной системе отсутствуют натекания и газовыделение, то количество газа  $Q'_i$ , протекающего в единицу времени в любом сечении трубопровода может быть определено как произведение давления  $p_i$  в этом сечении на объем газа  $S_i$ , проходящего через него в единицу времени:

$$Q'_{i} = p_{i}S_{i}. \tag{2.3}$$

Это количество газа принято называть потоком газа в данном сечении трубопровода. Обычно поток газа измеряется в следующих единицах:

$$pV/t = M^3 \cdot \Pi a/c = B_T$$
.

Поток газа, протекающий во входном сечении вакуумного насоса,  $Q'_{\rm H}$  называется производительностью насоса при данном впускном давлении  $p_{\rm H}$ .

Так как во всех сечениях трубопровода, соединяющего откачиваемый сосуд с насосом, поток газа  $Q'_i$  одинаков, то можно записать:

$$Q'_{i} = Q'_{H} = p_{H}S_{H} = pS_{o}, \qquad (2.4)$$

где  $S_0$  — быстрота откачки сосуда.

В целях получения более наглядного представления о процессах, происходящих во время откачки, проводят аналогию между вакуумной системой и электрической цепью. При этом разность давлений  $p-p_{\rm H}$  уподобляется разности потенциалов, поток Q' силе тока, а частное от деления разности давлений на поток называется co-

противлением трубопровода W. При расчетах вакуумных систем чаще пользуются величиной

$$U = \frac{1}{W} = \frac{Q'}{p - p_{d}}, \qquad (2.5)$$

называемой *проводимостью трубопровода*; измеряется U обычно в м³/с или л/с.

### 2.2. СОПРОТИВЛЕНИЕ И ПРОВОДИМОСТЬ СЛОЖНОГО ВАКУУМНОГО ТРУБОПРОВОДА

Как правило, вакуумные системы включают в себя затворы, ловушки, краны и трубопроводы с различными по длине поперечными сечениями. В то же время известные аналитические выражения позволяют рассчитывать проводимости лишь для отрезков трубопроводов с постоянным или плавно меняющимся поперечным сечением.

Проводимость сложных трубопроводов рассчитывается следующим образом:

а) если участки трубопровода с различными поперечными сечениями и длинами соединены последовательно, то рассчитываются порознь значения проводимостей отдельных участков, а общая проводимость сложного трубопровода или его сопротивление определяются по формулам:

$$\frac{1}{U_{\text{послед}}} = \sum_{i} \frac{1}{U_{i}}$$

$$W_{\text{послед}} = \sum_{i} W_{i}, \qquad (2.6)$$

или

где  $U_{\text{послед}}$  и  $W_{\text{послед}}$  — результирующие проводимость и сопротивление трубопровода, состоящего из нескольких последовательно соединенных участков;

б) если участки трубопровода с различными поперечными сечениями и длинами соединены параллельно, то отдельные участки также рассчитываются порознь, а общая проводимость сложного трубопровода или его сопротивление определяются по формулам:

$$U_{\text{парал}} = \Sigma U_i$$
или
$$\frac{1}{W_{\text{парал}}} = \sum_{i=1}^{N} \frac{1}{W_i},$$
(2.7)

где  $U_{\text{парал}}$  и  $W_{\text{парал}}$  — результирующая проводимость и сопротивление сложного трубопровода, состоящего из нескольких параллельных участков;  $U_i$  и  $W_i$  — проводимости и сопротивления отдельных участков трубопровода.

#### 2.3. ОСНОВНОЕ УРАВНЕНИЕ ВАКУУМНОЙ ТЕХНИКИ

Из формул (2.4) и (2.5) можно получить уравнение, связывающее быстроту откачки сосуда  $S_{\circ}$  с быстротой действия насоса  $S_{\rm H}$  и проводимостью трубопровода U. Это уравнение можно вывести следующим образом.

Представим уравнения (2.4) и (2.5) в виде

$$Q' = pS_0$$
;  $Q' = p_H S_H$ ;  $Q' = U(p - p_H)$ .

Теперь выразим давления p и  $p_{\rm H}$  через Q',  $S_{\rm o}$  и  $S_{\rm H}$  и подставим в последнее уравнение:

$$Q' = U\left(\frac{Q'}{S_o} - \frac{Q'}{S_H}\right),$$

откуда получим:

$$\frac{1}{S_0} = \frac{1}{S_H} + \frac{1}{U}, \qquad (2.8)$$

или

$$S_{o} = \frac{S_{H}U}{S_{H} + U}. \tag{2.9}$$

Поскольку уравнением (2.8) или (2.9) связываются основные параметры вакуумной системы: быстрота откачки сосуда, быстрота действия насоса и проводимость трубопровода, это уравнение называется основным уравнением вакуумной техники.

Анализ уравнений (2.8) и (2.9) показывает, что, если проводимость трубопровода системы значительно больше быстроты действия насоса, то быстрота откачки сосуда зависит только от насоса, и, наоборот, если проводимость трубопровода гораздо меньше быстроты действия насоса, то быстрота откачки сосуда приблизительно равна проводимости трубопровода и мало зависит от быстроты действия насоса.

### 2.4. ПРОЦЕССЫ ИЗМЕНЕНИЯ СОСТОЯНИЯ ГАЗА В ВАКУУМНЫХ СИСТЕМАХ

Процесс изменения состояния газа в вакуумной системе можно считать изотермическим (T=const), если количество газа в ней мало, т. е. при достаточно низких 42

лавлениях (практически меньших 10 Па) и газ успевает нагреваться стенками оболочки вакуумной системы, сохраняя свою температуру практически постоянной (примерно равной температуре стенок оболочки вакуумной системы).

Как мы знаем, для изотермического процесса спра-

ведлив закон Бойля — Мариотта (§ 1.3).

При высоких давлениях в вакуумной системе расширение газа может происходить столь быстро, что теплообмен со стенками не влияет на температуру газа. Проиесс изменения состояния газа, при котором передачей тепла газу от окружающих стенок можно пренебречь, называется адиабатическим.

Адиабатический процесс описывается уравнением

$$pV^{x} = \text{const}, \qquad (2.10)$$

где ж $= C_{
ho_{y\pi}}/C_{v_{y\pi}}$ — показатель адиабаты;  $C_{p_{y\pi}}, \ C_{v_{y\pi}}$ — удельные теплоемкости газа COOT-

> ветственно при постоянном давлении и при постоянном объеме.

Для двухатомных газов  $\kappa = 1.4$ .

Температура, давление и плотность газа при адиабатическом расширении связаны следующим соотношением:

$$\frac{T}{T_0} = \left(\frac{\rho}{\rho_0}\right)^{x-1} = \left(\frac{p}{p_0}\right)^{\frac{x-1}{x}} \tag{2.11}$$

где  $T_0$ ,  $\rho_0$ ,  $\rho_0$  — начальные температура, плотность давление газа.

Как нетрудно видеть, уравнения (1.6) и (2.10) относятся соответственно к двум крайним по своему характеру процессам изменения состояния газа: первое к изотермическому процессу, когда температура газа полностью задается постоянной температурой стенок сосуда, содержащего газ; второе — к адиабатическому процессу, когда температура газа понижается практически без теплообмена со стенками.

При практической работе приходится иметь дело с промежуточным процессом, когда между газом и стенками имеется неполный теплообмен. В этом случае соотношение между давлением и удельным объемом газа описывается уравнением

$$pV^n$$
=const, (2.12)

в котором показатель степени n имеет промежуточное значение, т. е.  $1 < n < \kappa$ .

Процесс изменения состояния газа, описываемый уравнением (2.12), называется политропным, а n—показателем политропы.

Графики в системе прямоугольных координат (p, V), изображающие изотермический, адиабатический и политропный процессы, называются соответственно изотермой, адиабатой и политропой.

### 2.5. КРИТЕРИИ ОПРЕДЕЛЕНИЯ ГРАНИЦ РЕЖИМОВ ТЕЧЕНИЯ ГАЗА В ТРУБФПРОВОДАХ

Во время откачки вакуумной системы давление газа обычно уменьшается, и одновременно с этим меняются режимы течения газа в трубопроводах.

В самом начале процесса откачки при сравнительно высоких давлениях и значительных скоростях газа наблюдается турбулентный режим течения, характеризующийся хаотическим нерегулярным движением взаимодействующих между собой масс, при этом давление в каждой точке вакуумной системы носит пульсирующий характер.

При постепенном уменьшении давления скорости течения газа также уменьшаются, характер потока меняется, образуются параллельно перемещающиеся слои газа. Скорости перемещения этих слоев постепенно возрастают от нуля до максимума в направлении от стенки трубопровода к его оси. Этот вид течения называется ламинарным или вязкостным.

Переход от турбулентного течения к ламинарному обусловливается достижением критического значения некоторого безразмерного параметра — числа Рейнольдса Re, которое рассчитывается по формуле

$$Re = \frac{u_{ras}d\rho}{\eta}$$
 (2.13)

где  $u_{\text{газ}} = Q'/Ap$  — средняя скорость газа;

d — диаметр трубопровода;

р — давление газа;

ρ — плотность газа;

η — коэффициент динамической вязкости;

Q' — поток газа;

 А — площадь поперечного сечения трубопровода.

При вычислениях удобнее пользоваться формулой лля расчета числа Рейнольдса, выраженной через поток rasa 0':

$$Re = \frac{4m}{\pi k T \eta} \frac{Q'}{d}, \qquad (2.14)$$

гле k — постоянная Больцмана;

m — масса молекулы, кг;

T — температура, K;

 $\eta$  — коэффициент динамической вязкости,  $\Pi a \cdot c$ ; Q' — поток газа, протекающего через трубопровод,

d — диаметр трубопровода, м.

Критическим значением числа Рейнольдса, выше которого может существовать только турбулентный режим, принято считать

Re=2200.(2.15)

В процессе откачки вакуумной системы давление уменьшается настолько, что средняя длина свободного пути молекул  $\lambda$  становится соизмеримой с диаметром трубопровода d и даже начинает превышать его. При этом молекулы газа почти не сталкиваются между собой и взаимодействуют только со стенками трубопровода. Такой режим течения газа называется молекулярным.

Обычно полагают, что режим течения газа в трубопроводе будет молекулярным, если

$$\frac{\lambda}{d} \geqslant \frac{1}{3},\tag{2.16}$$

где  $\lambda$  — средняя длина свободного пути молекул газа;

d — диаметр трубопровода.

С учетом выражения (1.27) можно записать, что режим течения для воздуха при 298 К будет молекулярным, если

$$\bar{p}d \leq 0.02 \; \Pi \text{a} \cdot \text{M}, \qquad (2.17)$$

где  $\bar{p} = (p_1 + p_2)/2$  — среднее по длине трубопровода давление;

 $p_1$  и  $p_2$  — давления на концах трубопровода. Режим течения газа в трубопроводе будет ламинарным или вязкостным, если

$$\frac{\lambda}{d} \le 5 \cdot 10^{-3}.\tag{2.18}$$

Для воздуха при 298 K режим течения будет ламинарным или вязкостным, если

$$\bar{p}d \geqslant 1,33 \; \Pi a \cdot M.$$
 (2.19)

Режим течения газа в трубопроводе будет *промежу-* точным или молекилярно-вязкостным, если

$$0.02 > \bar{p}d > 1.33 \,\Pi a \cdot M.$$
 (2.20)

Часто пользуются понятием о степени вакуума, которая характеризуется приближенно абсолютными значениями давления.

Обычно полагают, что область давлений больше 100 Па относится к низкому вакууму, интервал от 100 до  $10^{-1}$  Па соответствует среднему вакууму и интервал от  $10^{-1}$  до  $10^{-5}$  Па — высокому вакууму и, наконец, давление меньше  $10^{-5}$  Па соответствует сверхвысокому вакууму.

Отметим, что эти области давлений различаются лишь степенью трудности и способом получения, но не строго связаны со свойствами и поведением газов в вакуумных системах.

### 2.6. РАСЧЕТ ДЛИТЕЛЬНОСТИ ОТКАЧКИ ПРИ КВАЗИСТАЦИОНАРНОМ ТЕЧЕНИИ ГАЗА И ПОСТОЯННЫХ ГАЗОВЫДЕЛЕНИИ И НАТЕКАНИИ

Стационарным течением газа называется такое, когда давление и поток неизменны во времени, а режим течения газа одинаков по всей длине трубопровода. Однако при откачке реальных вакуумных систем дсвемьно часто упомянутые условия существования стационарного течения не соблюдаются.

Расчет длительности откачки для реальных условий математически труден. Поэтому для упрощения расчетов определяют длительность откачки для так называемого квазистационарного течения газа. Квазистационарным течением газа называют такое, при котором разность давлений на концах трубопровода мала по сравнению со средним давлением в нем, объем трубопровода значительно меньше объема откачиваемого сосуда; в трубопроводе в каждый момент времени существует только один режим течения газа.

Для определения длительности откачки будем считать, что процесс откачки из сосуда 1 (см. рис. 2.1) происходит так медленно, что температура газа в сосу-

де постоянна и равна температуре T стенок сосуда. Тогда за время dt из сосуда 1 объемом V удаляется количество газа, равное  $S_0p$  dt, где p — меняющееся в процессе откачки давление газа в сосуде 1;  $S_0$  — эффективная быстрота откачки.

За этот же промежуток времени в объем сосуда 1 поступает с постоянной скоростью количество газа, рав-

ное

$$Q_{\Sigma}'dt$$
,

где  $Q'_{\Sigma}$  — суммарный поток газа, поступающий в сосуд I за счет натекания и газовыделения.

Изменение количества газа в сосуде 1 за время dt составит:

$$V dp$$
,

где V — объем сосуда.

Уравнение материального баланса, таким образом, имеет вид:

$$Vdp = Q'_{\Sigma}dt - S_{o}p dt. \qquad (2.21)$$

После разделения переменных получим:

$$dt = \frac{dp}{Q'_{\Sigma}/V - S_0 p/V}, \qquad (2.22)$$

откуда в предположении, что  $Q'_{\Sigma}$  и  $S_{o}$  при откачке не меняются, получим

$$t = \frac{V}{S_0} \ln \frac{p_{\text{Halq}} - Q'_{\Sigma}/S_0}{p - Q'_{\Sigma}/S_0}, \qquad (2.23)$$

где  $p_{\text{нач}}$  — давление в сосуде 1 перед началом откачки. При очень быстрой откачке изменение состояния газа в сосуде *политропическое*, и поэтому, как показывают расчеты,

$$t = \frac{V}{S_0} \ln \frac{p_{\text{Hav}}^{1/n} - Q'_{\Sigma}/S_0 p_{\text{Hav}}^{(n-1)/n}}{p^{1/n} - Q'_{\Sigma}/S_0 p_{\text{Hav}}^{(n-1)/n}}, \qquad (2.24)$$

где n — показатель политропы.

Из формулы (2.23) следует, что при длительной откачке, т. е. при  $t \rightarrow \infty$ , имеем:

$$p_{\text{occ}} = Q_{\text{r}}'/S_{\text{oc}} \tag{2.25}$$

где  $p_{\text{ост}}$  — наименьшее давление, которое может быть достигнуто в системе (предельное остаточное давление).

По формулам (2.23) и (2.24) рассчитывается длительность откачки при турбулентном и вязкостном режимах, когда  $S_0$  практически полностью определяется быстротой действия насоса  $S_{\rm H}$ , которая, например, для механических вакуумных насосов в достаточно широком диапазоне давлений остается постоянной, а  $Q'_{\Sigma}$  может быть принята постоянной или равной нулю.

В тех случаях, когда  $Q'_{\Sigma}$  или  $S_0$  меняются в процессе откачки, весь период откачки разбивают на отдельные участки по давлению, внутри каждого из которых газовыделение, натекание, характер процесса расширения газа и эффективную быстроту откачки можно условно принимать постоянными. При этом общее время откачки

$$t = \sum_{i=1}^{l=k} t_i,$$

где k — число участков, на которое разбит период откачки;

 $t_i$  — длительность откачки на i-м участке, рассчитываемая по формулам (2.23) или (2.24).

Давление в откачиваемом сосуде в каждый данный момент времени определяется равновесием между удаляемым с помощью вакуумного насоса потоком газа и потоком, поступающим в откачиваемый сосуд. Последний суммируется из потока газов  $Q'_{изд}$ , поступающих из обрабатываемых изделий, газовыделения со стенок вакуумной системы  $Q'_{газ}$ , обращенных в вакуумную полость, и потока газов  $Q'_{нат}$ , натекающих в систему из атмосферы. Таким образом, суммарный газовый поток  $Q'_{r}$  равен:

$$Q'_{\Sigma} = Q'_{\text{HS},\Pi} + Q'_{\text{ras}} + Q'_{\text{HS},\Pi} = p_{\text{H}}S_{\text{H}} = pS_{\text{o}},$$
 (2.26)

где  $p_{\rm H}$  — давление во входном сечении насоса;

 $S_{\rm H}$  — быстрота действия насоса при давлении  $p_{\rm H}$ ;

р — давление в откачиваемом сосуде;

 $S_0$  — эффективная быстрота откачки сосуда при давлении p.

 $Q'_{\tt M33}$  и  $Q'_{\tt F83}$  определяются как результат выделения газов, содержащихся в материале изделий и сорбиро-

ванных на поверхностях, обращенных в вакуумную полость.

При расчетах, производящихся во время эскиз чого проектирования вакуумной системы и имеющих своей целью выбор типоразмера насоса, принимают газовыделение постоянным.

Поток газов  $Q'_{\text{изд}}$ , поступающих в вакуумную систему из обрабатываемых изделий, можно оценить по формуле

$$Q'_{\text{\tiny H3A}} = \frac{Gq_{\text{\tiny FB3}}}{t} \Omega, \qquad (2.27)$$

где G — масса обрабатываемых изделий, кг;

 $q_{\text{газ}}$  — удельное газовыделение из материала обрабатываемых изделий, м<sup>3</sup>·Па/кг;

 $\Omega$  — коэффициент, учитывающий неравномерность процесса газовыделения, обычно  $\Omega$ =1,5 $\div$ 3;

t — длительность процесса вакуумной обработки, с. Значения  $q_{\rm ras}$  удельного газовыделения для некоторых материалов при различных температурах приводятся в приложении 8.

Поток газов  $Q'_{\text{газ}}$ , выделяющихся со стенок вакуумной системы, обращенных в вакуумную полость, определяется по формуле

$$Q'_{\text{ras}} = q'_{\text{ras}} A, \qquad (2.28)$$

где  $q'_{\text{газ}}$  — скорость удельного газовыделения с поверхностей стенки вакуумной системы (см. приложение 7);

A — поверхность, обращенная в вакуумную полость.

В случае, если вакуумный сосуд ограничивается стенками, изготовленными из разных материалов, газовыделение должно суммироваться из газовыделений всех элементов, ограничивающих вакуумную систему:

$$Q'_{\text{ras}} = \sum_{i=1}^{l=n} q'_{\text{ras}i} A_i, \qquad (2.29)$$

где  $q'_{{\rm газ}i}$  — скорость удельного газовыделения с поверхности i-го элемента стенки вакуумной системы (см. приложение 7);

 $A_i$  — поверхность стенки, обращенной в вакуумную полость, i-го элемента вакуумной системы.

При проектном расчете газовыделение  $Q'_{\rm ras}$  с поверхностей, имеющих комнатную температуру, принимают постоянным во времени. Для определения  $Q'_{\rm ras}$  из материалов используют значения скорости удельного газовыделения  $q'_{\rm ras}$  после 1 ч откачки (см. приложение 7 и рис. 17-1 — 17-3).

Поток газов  $Q'_{\text{нат}}$ , натекающих в вакуумную систему, обычно берется по характеристикам элементов вакуумной системы, а в случае их отсутствия — равным или несколько большим произведения чувствительности течеискателя (см. приложение 11) на число мест, которые могут стать источниками натекания.

Для каждого отрезка времени давление в сосуде может быть найдено по формуле

$$p = \frac{Q'_{\text{H3}\Pi} + Q'_{\text{Fa3}} + Q'_{\text{Ha7}}}{S_0}.$$
 (2.30)

Рассмотренная выше методика расчета вакуумной системы предполагает, что суммарный газовый поток  $Q'_{\Sigma}$  меняется в относительно небольших пределах ( $\Omega$  = 1,5+3). Такой характер изменения  $Q'_{\Sigma}$  можно обеспечить постепенным повышением температуры материала, при которой осуществляется технологический процесс. Контролируемой величиной обычно при этом является давление в сосуде, которое стремятся поддерживать не выше уровня, определяемого условиями проведения технологического процесса.

Когда откачивается сосуд со значительной площадью поверхности стенок или технологический процесс ведется при постоянной температуре, пренебречь изменением во времени суммарного газового потока нельзя. Методика расчета длительности откачки с учетом изменения скорости суммарного газового потока рассматривается в следующем параграфе.

### 2.7. РАСЧЕТ ДЛИТЕЛЬНОСТИ ОТКАЧКИ ПРИ ПЕРЕМЕННОМ ГАЗОВОМ ПОТОКЕ

Как уже отмечалось, применение уравнений (2.23), (2.24) возможно лишь в тех случаях, когда предполагают, что суммарный газовый поток в вакуумной системе есть величина постоянная, мало меняющаяся во времени или весьма малая по сравнению с потоком газа, 50

удаляемого из вакуумного сосуда. Иными словами,  $Q'_r = \text{const}$  или Q' = 0.

Однако в ряде случаев, например при откачке вакуумной системы, у которой рабочее давление близко к предельному остаточному давлению насоса, так считать нельзя; необходимо учитывать изменение во времени потока газов, выделяющихся в вакуумной системе.

Во время откачки сосуда, имеющего комнатную температуру, удаление газов, связанных с его стенками, идет сравнительно медленно. При этом в основном уда-

ляются физически адсорбированные газы.

На основании эксперимента получены графики скоростей удельного газовыделения  $q'_{\rm ras}$  с поверхности при комнатной температуре (293 K) в зависимости от времени откачки для ряда материалов при различной их предварительной обработке (рис. 17.1-17.3 и приложение 7). В большинстве случаев изменение скорости удельного газовыделения  $q'_{\rm ras}$  от времени при комнатной температуре подчиняется экспоненциальному закону:

$$q'_{ras} = q'_{oras} e^{-ht},$$
 (2.31)

где  $q'_{0\text{газ}}$  — начальная скорость удельного газовыделения (t=0),  $\mathbf{M}^3 \cdot \Pi \mathbf{a} / (\mathbf{M}^2 \cdot \mathbf{c})$ ;

h — константа, зависящая от рода материала, предварительной его обработки,  $c^{-1}$ ;

t — длительность откачки, с.

При расчетах удобнее пользоваться формулой, полученной после логарифмирования:

$$\lg q'_{\text{ras}} = A_{\text{nec}} - B_{\text{nec}}t, \qquad (2 32)$$

где  $A_{\rm gec}$  и  $B_{\rm gec}$  — константы (см. приложение 7).

Так как графики скорости удельного газовыделения с поверхности, построенные в полулогарифмическом масштабе, имеют вид прямых линий, представляется возможным производить экстраполяцию графиков в сторону больших времен откачки.

Суммарный газовый поток со стенок для каждого интервала времени откачки может быть найден по формуле (2.29).

Время, необходимое для достижения заданного давления, проще всего найти графически. Для этого надозначения ординат на кривых скоростей удельного газовыделения (рис. 17.1, 17.2 или 17.3) умножить на пло-

щадь поверхности, обращенную в вакуумную полость, и построить график  $Q'_{\Sigma} = f(t)$ . Затем через точку на оси ординат, соответствующую потоку газов, удаляемых вакуумной системой при заданном давлении [см. формулу (2.4)], нужно провести горизонтальную прямую до пересечения с кривой скорости газовыделения. Абсписса точки пересечения даст время достижения заданного давления (см. рис. 20.3). Если стенки вакуумной системы изготовлены из разных материалов, необходимо построить кривые газовыделения для всех элементов и, просуммировав их ординаты для соответствующих моментов времени, получить кривую скорости общего газовыделения. Время, необходимое для достижения заданного давления, находится так же, как и в предыдущем случае.

Пользуясь кривыми скоростей удельного газовыделения, можно решить и задачу выбора эффективной быстроты откачки вакуумной системы  $S_0$ , исходя из заданного времени достижения определенного давления.

При расчете ряда технологических установок, например вакуумного отжига, необходимо определить поток газов из материалов при повышенных температурах.

При подъеме температуры поток газов сначала быстро растет, затем несколько уменьшается и по мере дальнейшего увеличения температуры вновь начинает возрастать. Первый максимум потока газов для большинства материалов находится при температуре примерно 723—773 К. Отметим, что это обстоятельство используется в целях улучшения качества обезгаживания деталей электровакуумных приборов (ЭВП) применением режима ступенчатого вакцумного отжига, заключающегося в том, что в указанном выше интервале температур дается выдержка и лишь затем следует дальнейший подъем температуры. Вторая выдержка производится обычно при температуре на 200-500 К ниже температуры плавления соответствующего материала, если отсутствуют какие-либо другие ограничения (изменение кристаллической структуры, недопустимая деформация из-за потери прочности или в результате фазовых переходов, высокое давление паров материала и т. п.). Количество газов, выделяющихся с поверхности на первой ступени отжига, относительно невелико и соответствует одному или нескольким молекулярным слоям газа на поверхности материала.

В дальнейшем процесс газовыделения связан с диффузией газа из толщи обезгаживаемого материала. Если известны коэффициент диффузии и начальная концентрация газов в материале, определение потока газов не составляет труда.

Таким образом, подсчет длительности откачки вакуумной системы до заданного давления *при перемен*ном потоке газов производится в следующей последовательности.

1. Подсчитывают поток из обезгаживаемых материалов по разным газам для каждого интервала времени, на которые предварительно разбивается период откачки.

2. Суммируя потоки по всем газам из обезгаживаемого материала, для каждого интервала времени, стро-

ят график Q'=f(t).

3. По методике, изложенной в § 2.7, определяют суммарный поток газов с холодных элементов вакуумной системы и также строят график Q' = f(t).

- 4. Наконец, используя уравнение (2.26), строят график изменения суммарного потока газов  $Q'_{\Sigma} = f(t)$ .
- 5. По графику  $Q'_{\Sigma} = f(t)$  определяют время достижения заданного давления, либо давление, достигаемое за данное время.

Задача 2.1. До какого давления необходимо откачать воздух из баллона для алюминирования его поверхности, если распыляемый алюминий расположен на расстоянии 50 мм от наиболее удаленной точки поверхности баллона?

Ответ: 1,3 · 10-1 Па.

Задача 2.2. Расстояние между нагретой и холодной поверхностями 10 мм, давление воздуха 10<sup>5</sup> Па. Как изменится коэффициент теплопроводности воздуха, если давление снизится до 5·10<sup>4</sup> Па.

Ответ: не изменится.

Задача 2.3. Как изменится коэффициент теплопроводности газа между поверхностями, указанными р предыдущей задаче, если давление газа повысится от  $1.333\cdot 10^{-2}$  до  $4\cdot 10^{-2}$  Па.

Ответ: повысится в 3 раза.

### Глава третья

# ВЗАИМОДЕЙСТВИЕ ГАЗОВ С ТВЕРДЫМИ ТЕЛАМИ

## 3.1. О ПОГЛОЩЕНИИ И ВЫДЕЛЕНИИ ГАЗОВ ТВЕРДЫМИ ТЕЛАМИ

При соприкосновении газа с твердым телом всегда происходят одновременно два противоположных явления: 1) поглощение газа твердым телом (сорбция);

2) выделение газа из твердого тела (десорбция). В зависимости от температуры, количества газа, содержащегося в твердом теле, и давления газа, окружающего твердое тело, одно явление может временно преобладать над другим, но если температуру поддерживать постоянной, то обязательно наступит динамическое равновесие, при котором количества газа, поглощаемого и выделяемого твердым телом в единицу времени, становятся равными, а содержание газа в твердом теле и давление окружающего газа становятся постоянными.

Таким образом, если мы сумеем создать условия, благоприятствующие сорбции, то равновесие наступит при более низком давлении окружающего газа, используя вещества с большой сорбционной способностью, можно существенно улучшить вакуум в вакуумном приборе или сосуде.

Облегчая десорбцию, мы можем, как говорят, обезгазить твердое тело, т. е. довести содержание газа в нем до возможного минимума и тем самым устранить опасность газовыделения из материалов и деталей в вакуумном объеме или в готовых вакуумных приборах.

Отсюда нетрудно видеть, что изучение явлений, происходящих при соприкосновении газов с твердыми телами, имеет для вакуумной техники первостепенное значение.

Изучение процессов взаимодействия газов с твердыми телами приводит к выводу, что следует различать два основных вида сорбции: адсорбцию, т. е. поглощение газа, путем удержания его на поверхности твердого тела; абсорбцию, т. е. поглощение газа внутри твердого тела.

В связи с этим вещество, адсорбирующее или абсорбирующее газ, для краткости можно называть соответственно адсорбентом или абсорбентом.

В свою очередь адсорбция может быть двух видов: физической и химической (или, короче, хемосорбцией).

При физической адсорбции энергия связи молекул газа с поверхностью большинства материалов сравнительно невелика; подобно конденсации пара физическая адсорбция происходит с выделением тепла (экзотермический процесс) и, следовательно, протекает очень быстро.

Хемосорбция характеризуется более прочной связью между адсорбентом и молекулами газа, а сам процесс

хемосорбции подобен образованию химического соединения; процесс в отличие от физической адсорбции бывает необратим. Хемосорбция происходит с поглощением тепла (эндотермический процесс), поэтому для хемосорбции требуется сообщение молекулам газа дополнительной энергии (энергии активации).

Заметим, что оба процесса протекают одновременно, так как при практической работе приходится, как правило, иметь дело со смесями различных газов и с твердыми материалами, имеющими различные сорбционные свойства. При этом адсорбция— это первый и необходимый шаг для проникновения газа внутрь твердого тела.

Абсорбция также подразделяется на два вида: образование твердого раствора и химическая реакция.

Процесс образования твердого раствора заключается в том, что адсорбированные атомы газа, обладающие достаточной энергией, проникают с поверхности внутры кристаллической решетки твердого тела, занимая в ней свободные места.

Химическая реакция газа с твердым телом приводит к образованию нового химического соединения как на поверхности, так и внутри абсорбента.

Явления, связанные с взаимодействием газов с твердыми телами, чрезвычайно сложны и еще не вполне изучены; поэтому в следующих параграфах кратко даются лишь необходимые сведения о них.

### 3.2. АДСОРБЦИЯ И ДЕСОРБЦИЯ ГАЗОВ Физическая адсорбция

Чтобы получить представление о силах, удерживающих молекулы газа на поверхности твердого тела, вспомним, что атом любого вещества имеет положительные электрические заряды в ядре и отрицательные заряды в виде электронной оболочки, причем количества положительных и отрицательных зарядов одинаковы и в целом атом нейтрален.

Также нейтральны и молекулы, образующиеся в результате соединения отдельных атомов.

Однако в зависимости от того, совпадают ли центры разноименных электрических зарядов или они смещены друг относительно друга, молекулы могут быть соответственно неполярными или полярными. В последнем

случае каждая молекула представляет собой электрический диполь.

В качестве примера газообразных веществ, состоящих из неполярных молекул, можно привести  $H_2$ ,  $O_2$ ,  $N_2$  и т. п. Их молекулы представляют соединение двух одинаковых атомов; неполярны также атомы инертных газов (He, Ne, Ar, Kr, Xe).

Примером газообразных веществ, имеющих полярные молекулы, могут служить  $H_2O$ , CO и др.; их молекулы состоят из разнородных атомов.

Твердые вещества отличаются друг от друга струк-

турой кристаллической решетки.

Так, существуют твердые тела с ионной кристаллической решеткой, в узлах которой находятся чередующие-

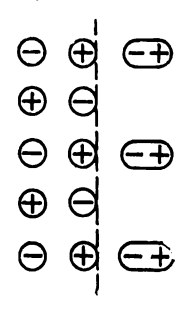


Рис. 3.1. Схема адсорбции полярных молекул твердым телом с ионной кристаллической решеткой.

ся положительные и отрицательные ионы. Например, такие вещества, как BaO, SrO, CaO, имеют ионную кристаллическую решетку, в узлах которой чередуются положительные ионы металла (Ba+, Sr+, Ca+) с отрицательными ионами кислорода (O-).

Существуют молекулярные и атомные кристаллические решетки, в узлах которых расположены нейтральные молекулы или атомы. Примером твердого вещества с нейтральными частицами в узлах кристаллической решетки могут служить вещества, кристаллическя ре-

шетка которых состоит из нейтральных атомов углерода (алмаз, графит).

Наконец, существуют кристаллические решетки, состоящие только из положительных ионов, между которыми находятся связывающие их свободные электроны (электронный газ). Такими кристаллическими решетками обладают металлы, поэтому они названы металлическими.

На рис. 3.1 схематически показано, как можно представить себе взаимодействие между полярными молекулами газа и твердым адсорбентом, имеющим ионную кристаллическую решетку. Молекулы газа изображены в виде диполей, кружки с чередующимися знаками изображают находящиеся на поверхности адсорбента раз-

ноименные ионы кристаллической решетки. Под действием электрического поля, создаваемого поверхностными ионами адсорбента, полярные молекулы газа, приблизившиеся к узлам кристаллической решетки, ориентируются соответствующим образом и остаются связанными поверхностным полем твердого тела. При этом молекулы газа занимают положения, в которых силы притяжения уравновешиваются силами отталкивания, возникающими, как мы знаем из § 1.6, при слишком большом сближении молекул (атомов).

Если к ионной кристаллической решетке приблизится на атомное расстояние неполярная молекула, картина взаимодействия принципиально не меняется, так как неполярные молекулы поляризуются и становятся диполями; разница может быть лишь в прочности адсорбинонной связи.

После сказанного нетрудно представить себе взаимодействие между металлической решеткой и приблизившимися к ней полярными или неполярными молекулами окружающего газа.

Наконец, в случае, если и кристаллическая решетка адсорбента, и окружающий газ состоят из неполярных молекул (атомов), картина взаимодействия между молекулами адсорбента и газа принципиально остается той же. Взаимодействие может быть слабее, но оно все же возникает вследствие мгновенных смещений (колебаний) центров зарядов обоих знаков, постоянно происходящих в молекулах и приводящих к образованию временных (мгновенных) диполей.

Обобщая только что сказанное, можно заключить, что физическая адсорбция газа твердым телом происходит в результате взаимодействия между молекулами (атомами) газа и активными адсорбционными центрами, создаваемыми поверхностным полем твердого тела. Силы этого взаимодействия можно отождествить с теми силами, которыми обусловлена соответствующая поправка а/V² в уравнении Ван-дер-Ваальса (1.17). В связи с этим физическую адсорбцию иногда называют ван-дер-ваальсовской адсорбцией.

Так как чем больше поверхность адсорбента, тем больше на ней активных центров, то можно сделать практический вывод: твердое тело обладает тем большей адсорбционной способностью, чем больше его удель-

ная поверхность, т. е. поверхность, приходящаяся на единицу массы  $(M^2/\kappa\Gamma)$ .

Практическая работа по применению различных адсорбентов подтверждает этот вывод: наиболее высокой адсорбционной способностью обладают твердые тела с развитой поверхностью (шероховатые, в виде порошка и в особенности с большим количеством узких пор: по-

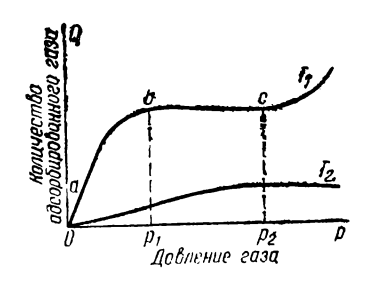


Рис. 3.2. Зависимость количества адсорбированного газа от его давления при постоянной температуре (изотермы адсорбции).

ристые тела могут иметь удельную поверхность до  $10^6 \text{ m}^2/\text{kr}$ ).

Далее необходимо представлять себе, что адсорбированные молекулы газа остаются связанными на поверхности твердого тела в течение очень короткого промежутка времени. Участвуя в тепловом (колебательном) движении частиц твердого тела, при достаточно большой амплитуде адсорбированные молекулы испаряют-

ся с поверхности, но на их месте адсорбируются новые, так что состав адсорбированного слоя постоянно меняется.

Отсюда вытекает новый практический вывод: чтобы равновесное состояние соответствовало возможно большему количеству адсорбированного газа, необходимо понижать температуру адсорбента, и, наоборот, для удаления адсорбированного слоя мы должны повышать температуру адсорбента.

Следует отметить, что при повышении температуры адсорбированный газ покидает поверхность адсорбента, не изменяя своего состава, что говорит о полной обратимости процесса физической адсорбции.

Рассмотрим, как происходит адсорбция в зависимости от плотности или давления газа, окружающего твердое тело. В качестве примера рассмотрим кривые рис. 3.2, показывающие зависимость количества адсорбированного твердым телом газа от давления при постоянной температуре, так называемые изотермы адсорбщии. Участок аb верхней изотермы соответствует низким давлением, когда еще не все активные центры на поверхности твердого тела заняты адсорбированными мо

лекулами газа. На этом участке количество адсорбированного газа растет примерно пропорционально давлению. Качественное отличие наблюдается при покрытиях поверхности твердого тела газом в количествах соответственно менее и более одного мономолекулярного слоя. Если все вакантные места заняты молекулами газа, то говорят, что заполнение поверхности твердого тела равно одному монослою. Заполнение поверхности адсорбированным газом можно характеризовать коэффициентом

$$\theta = N_{\text{mob}}/N_{\text{inob}}, \tag{3.1}$$

где  $N_{\text{пов}}$  — количество молекул, адсорбированных на единице поверхности твердого тела;

 $N_{\text{іпов}}$  — число мест на единице поверхности, которые могут быть заняты адсорбированными молекулами (число молекул в заполненном мономолекулярном слое).

Обычно считают, что молекулы газа покрывают поверхность твердого тела с шагом, равным их диаметру. При этом значение  $N_{\rm 1 \pi 0 B}$  находится в пределах  $(0.4-2.5)\cdot 10^{19}$  м $^{-2}$ .

Воспользовавшись ответами задач 1.10 и 1.11, можно подсчитать время образования монослоя адсорбированных молекул на единице поверхности твердого тела.

Оказывается, что при давлении 100 Па образование монослоя происходит за время  $30\cdot 10^{-6}$  с, а при давлении  $10^{-5}$  Па для этого потребуется уже 30 с, а при  $10^{-9}$  Па — 90 ч!

Этот подсчет показывает необходимость высокого вакуума при изучении свойств поверхности твердого тела и получении чистых тонких пленок.

Интересно отметить, что десорбция только одного монослоя молекул газа с поверхности твердого тела приводит к резкому повышению давления в сосуде, предварительно откачанном до высокого вакуума. Если воспользоваться формулой (1.25) и подсчитать давление газа в 1 см³ объема, которое будет при десорбции монослоя газа с 1 см² поверхности, то окажется, что это давление при температуре 273 К будет равно примерно 4 Па, что относится к области среднего вакуума.

Если известна природа системы «газ — адсорбент», то долю  $\theta$  поверхности адсорбента, занятую (на участке ab) адсорбированными молекулами газа, можно подсчитать по формуле Ленгмюра:

$$\theta = \frac{b_0 p}{1 + b_0 p},\tag{3.2}$$

где  $b_0$  — константа, характерная для данной системы.

При достаточно низких давлениях  $b_0p$  гораздо меньше единицы и, следовательно,  $\theta =\!\!= \!\!b_0p$ , т. е. для поверхности твердого тела, занятая адсорбированным газом, пропорциональна давлению.

Участок bc соответствует более высоким давлениям газа, при которых все активные центры заняты, поэтому, несмотря на возрастание давления от  $p_1$  до  $p_2$ , количество адсорбированного газа остается примерно постоянным.

При давлениях, превышающих  $p_2$ , снова начинается возрастание количества адсорбированного газа с давлением, когда на первом, мономолекулярном, слое начинают удерживаться новые. Однако условия, при которых получается многослойная адсорбция или, иначе говоря, полимолекулярный слой, можно создать только при достаточно высоких давлениях, а также если газ при соприкосновении с твердым телом охлаждается до температуры ниже критической.

Если в качестве адсорбентов пользоваться такими веществами, как активированный уголь, силикагель, цеолит и т. п., обладающими огромным количеством очень узких пор, то и при низких давлениях может происходить многослойная адсорбция. Последней благоприятствуют проявляющиеся здесь капиллярные силы; правда, и эта так называемая капиллярная адсорбция возникает при достаточно низких температурах адсорбента.

На рис. 3.2 нижняя изотерма также выражает зависимость количества адсорбированного газа от давления, но при температуре  $T_2 > T_1$ . Мы видим, что при более высокой температуре адсорбия также возрастает с давлением, но количество адсорбированного газа при том же давлении меньше.

Изотермы, изображенные на рис. 3.2, как уже выше было отмечено, взяты нами в качестве примера. В зависимости от природы твердого тела и адсорбируемого им газа, а также от удельной поверхности адсорбента изотермы адсорбции могут иметь иной вид.

В заключение описания физической адсорбции отметим, что под влиянием неоднородности силового поля на поверхности адсорбента адсорбированные молекулы газа могут перемещаться (мигрировать) по его поверхности. Это перемещение называется поверхностной диффузией молекул газа.

### химическая адсорбция

Химическая адсорбция (или хемосорбция) аналогично физической также является следствием взаимодействия молекул газа и твердого тела в активных адсорбционных центрах на его поверхности. Поэтому описание межмолекулярного взаимодействия, относящееся к различным видам молекул газа и кристаллических решеток адсорбента при физической адсорбции, можно отнести и к хемосорбции.

Однако, как уже говорилось выше, для хемосорбции требуется приведение молекул газа в более активное состояние, в результате которого при достаточном сближении с поверхностью твердого тела они претерпевают более глубокие изменения, становятся более активными и адсорбируются более прочно.

К таким изменениям относятся, например, диссоциация молекул на атомы, перераспределение электронов в молекулах и т. п. Однако до образования химического соединения при хемосорбции дело не доходит.

В связи с необходимостью для химической адсорбции приведения молекул газа в более активное состояние приходится повышать температуру адсорбента. Однако, если твердое тело с химически адсорбированным газом подвергать нагреванию до температуры, более высокой, чем это требуется для устойчивости химически адсорбированного слоя, то газ можно частично снова удалить с поверхности твердого тела.

Таким образом, процесс хемосорбции в отличие от физической адсорбции обладает лишь частичной обратимостью.

В заключение отметим, что химически адсорбированные молекулы (атомы) газа, принимая вместе с частицами твердого тела участие в тепловом движении, при достаточной амплитуде колебаний могут проникать внутрь твердого тела.

### Десорбция

С явлением десорбции приходится считаться при использовании твердых материалов (деталей), помещаемых внутри вакуумного сосуда.

Обычно детали изготавливаются в газовой атмосфере при высоком давлении, в результате они сорбируют

газы до определенного уровня, соответствующего равновесию между сорбцией и десорбцией.

Если эти детали поместить в вакуум, непрерывно поддерживаемый насосами, равновесие нарушится, начнет преобладать десорбция. После достаточно длительного времени пребывания в вакууме равновесное состояние снова восстановится, но уже при меньшем газосодержании.

Теория процессов адсорбции и десорбции показывает что для уменьшения количества адсорбированного на поверхности газа необходимо повышать температуру (рис. 3.2).

### Глава четвертая

# РАСТВОРИМОСТЬ, ГАЗОСОДЕРЖАНИЕ, ДИФФУЗИЯ, ПРОНИЦАЕМОСТЬ

#### 4.1. РАСТВОРИМОСТЬ И ГАЗОСОДЕРЖАНИЕ В ТВЕРДЫХ ТЕЛАХ

Проникновение газов возможно только при условии, что газ сначала адсорбируется на поверхности твердого тела и затем растворяется в нем. Проникающие впутрь кристаллической решетки твердого тела молекулы (атомы) окружающего газа, занимая свободные узлы или места между узлами решетки, продолжают принимать участие в тепловом (колебательном) движении молекул (атомов) твердого тела. При достаточно большой амплитуде тепловых колебаний молекулы (атомы) растворяющегося газа срываются с занятых им мест и диффундируют на новые места. Перемещаясь таким путем преимущественно в сторону меньшей концентрации, газ постепенно распространяется по всему объему твердого тела.

При достаточно длительной выдержке концентрация газа в твердом теле становится максимально возможной для данных условий (давления газа и температуры твердого тела). В результате раствор газа в твердом теле становится насыщенным. Этим максимальным газосодержанием и определяется растворимость газа в твердом теле. Растворимость измеряется количеством газа, растворившегося до насыщения в определенном объеме твердого тела. Единица растворимости мв. Па

В зависимости от природы газа и твердого тела рас-

творимость изменяется в широких пределах.

В неметаллах молекулы газа при растворении не диссоциируют на атомы, и растворимость при постоянной температуре прямо пропорциональна давлению p. При растворении в металлах молекулы газа диссоциируют на атомы, в связи с чем, например, для двухатомных газов наблюдается пропорциональность растворимости квадратному корню из давления газа. В общем виде для металлов растворимость пропорциональна  $\sqrt[f]{p}$ , где j равно числу атомов в молекуле растворяющегося газа.

Растворимость газа в твердом теле зависит также от температуры, но однозначной зависимости не существует.

Обычно химические элементы делят на группы в зависимости от характера взаимодействия с водородом.

При этом выделяют пять групп.

С металлами первой группы, к которой относятся Ni, Fe, Co, Cr, Cu, Al, Mo, W, Pt, водород образует твердые растворы. Растворимость водорода в металлах первой группы увеличивается с увеличением температуры. Эти металлы и их сплавы в вакуумной технике чаще всего используются в качестве конструкционных материалов.

В металлах второй группы, к которым относятся Ті, V, Zr, Nb, La, Ce, Та, Th, Pd, Нf и другие металлы групп IIIa. IV и Va периодической системы элементов, растворимость водорода уменьшается при увеличении температуры.

Элементы третьей группы, к которым относятся C, Si, Se, As и металлы групп IVб, Vб и VIб периодической системы элементов, взаимодействуют с водородом c образованием гидридов вида  $H_2S$ ,  $AsH_3$ ,  $SiH_3$ .

К четвертой группе относятся щелочные и щелочноземельные металлы, образующие ионные гидриды, подобные NaH, CaH<sub>2</sub>.

К пятой группе относятся металлы Au, Sn, Zn, Tl, в которых водород не растворяется.

Выражение, характеризующее количество растворяющегося в твердом теле газа, имеет вид:

$$s = s_{p} p^{1/l} e^{\pm E_{p}/lR_{n}T}$$

$$(4.1)$$

где  $s_p$  — константа растворимости;

 $E_{\rm p}$  — энергия активации растворимости;

р — давление растворяющегося над твердым телом газа;

 ј — коэффициент, зависящий от характера взаимодействия газа с твердым телом, равный единице для систем с молекулярным взаимодействием (неметаллы — газы) и числу атомов в молекуле газов, растворяющихся в твердых телах (обычно металлы) в атомарном виде;

Т — температура твердого тела;

R<sub>0</sub> — универсальная газовая постоянная. Выражение (4.1) удобно использовать в виде

$$\lg s = \lg s_p + \frac{1}{i} \lg p \pm \frac{E_p}{2,303iR_0} \frac{1}{T}$$
 (4.2)

Тогда графически уравнение (4.2) в координатах  $\lg s$ , 1/T для фиксированного значения давления изображается прямой линией, пересекающей ось ординат в точке  $\lg s_p + \frac{1}{j} \lg p$  и наклоненной к оси абсцисс под углом, тангенс которого равен  $E_p/(2,303jR_0)$ .

Значения растворимости для ряда систем «газ — твердое тело» приведены в приложениях 2 и 3.

Обычно даются значения растворимости для давления  $10^5$  или  $10^2$  Па. В тех случаях, когда надо найти значение растворимости при другом давлении p газа, зная его растворимость при  $10^5$  Па, надо из известного значения  $\lg s$  вычесть  $\frac{1}{j} \lg 10^5$  и прибавить  $\frac{1}{j} \lg p$ .

Имея значение растворимости при двух различных температурах, можно найти его при любой третьей температуре, экстраполируя (интерполируя) значения растворимости графически или аналитически в координатах  $\lg s$ , 1/T прямой линией. Однако этот прием можно применять только в случае, если в твердом теле в используемом диапазоне температур не происходят фазовые превращения, при которых могут меняться константа и энергия активации растворимости.

В металлах первой группы с возрастанием температуры растворимость водорода увеличивается, и, таким образом, в выражениях (4.1) и (4.2) в показателе экспоненты и перед последним слагаемым соответственно стоит знак «минус».

В металлах второй группы с возрастанием температуры растворимость водорода уменьшается, и, таким образом, в выражениях (4.1) и (4.2) в показателе экспоненты и перед последним слагаемым стоит знак «плюс».

При комнатной температуре растворимость водорода в металлах второй группы на три-четыре порядка больше, чем в металлах первой группы, что объясняет применение их в качестве газопоглотителей.

Азот растворяется в металлах обычно меньше, чем водород. Азот, как и водород, растворяется в атомарном состоянии, причем с увеличением температуры растворимость уменьшается. Как правило, азот растворяется только в тех металлах, которые могут образовывать нитриды.

Кислород растворяется в металлах, в виде окислов, хотя при малых концентрациях он может образовывать твердые растворы. Растворимость кислорода, как правило, увеличивается с ростом температуры.

Газосодержание представляет собой растворимость в равновесном состоянии, т. е. в случае, когда материал в течение длительного времени выдерживался в условиях, для которых рассчитана растворимость. Это обстоятельство позволяет находить газосодержание, если известна закономерность изменения растворимости для исследуемой системы «газ — твердое тело». Экспериментальное определение газосодержания сопряжено со значительными трудностями, так как для этого металлы необходимо выдерживать в расплавленном состоянии, при котором трудно исключить реакцию с тиглем и учесть его газовыделение. По этой причине газосодержание определено лишь для немногих материалов. Значения газосодержания для некоторых материалов приведены в приложении 4.

В тех случаях, когда отсутствуют данные по газосодержанию и нельзя воспользоваться значениями растворимости (условия получения металла или его предварительной термической обработки нельзя считать приводящими к равновесному состоянию системы «газ металл»), используют значения газовыделения, полученные при длительном отжиге образцов (см. приложение 8).

Газовыделение всегда меньше газосодержания, так как в подавляющем большинстве случаев приблизительно треть газа выделяется только после расплавления. 5—1081

Учитывая это обстоятельство, с приемлемой точностью можно принимать, что газосодержание материала на 25—35% больше его газовыделения.

### 4.2. ДИФФУЗИЯ ГАЗОВ В ТВЕРДЫХ ТЕЛАХ И ПРОНИЦАЕМОСТЬ МАТЕРИАЛОВ

Ввиду важной роли, которую играет диффузия газов при их взаимодействии с твердыми телами, обратимся к рассмотрению закономерностей, которым подчиняется это явление.

Механизм проницаемости газа сквозь твердое тело можно представить как процесс растворения газа в материале со стороны высокого давления, диффузии в направлении убывающей концентрации и последующего выделения газа на стороне низкого давления.

Удельным потоком диффузии газа в твердом теле называется количество газа, диффундирующее в единицу времени через единичную площадку в направлении, перпендикулярном этой площадке.

Процессы диффузии газов в твердых телах описываются уравнениями (1.42) и (1.46).

Эти уравнения для случая диффузии газов в твердых телах имеют вид:

$$q^{r} = D \frac{\partial N_{1TR}}{\partial Z}; \tag{4.3}$$

$$\frac{\partial N_{178}}{\partial t} = D \frac{\partial^2 N_{178}}{\partial Z^2}, \qquad (4.4)$$

где q' — удельный поток диффузии газа в твердом теле;

D — коэффициент диффузии газа в твердом теле;

 $N_{\text{1тв}}$  — объемная концентрация газа в твердом теле на расстоянии Z от начала координат, изменяющаяся во времени t;

 $\frac{\partial N_{178}}{\partial Z}$  — градиент объемной концентрации газа в твердом теле;

 $\frac{\partial^2 N_{178}}{\partial Z^2}$  — изменение градиента концентрации в направичи жординати  $Z_1$ 

лении координаты Z;  $\frac{\partial N_{178}}{\partial t}$  — скорость изменения объемной концентрации газа в твердом теле.

Коэффициент диффузии газа в твердом теле D зависит от температуры твердого тела следующим образом:

$$D = D_{o}e^{-E_{\Lambda}/jR_{o}T} \tag{4.5}$$

 $r_{A}e$   $D_0$  — константа диффузии, зависящая от свойств системы «твердое тело —  $r_{A}$  (приложение 5);

 $E_{\pi}$  — энергия активации диффузии для данной системы «твердое тело — газ» (приложение 5);

R<sub>0</sub> — универсальная газовая постоянная;

ј коэффициент, имеющий то же значение, что и в уравнении (4.1);

Т — абсолютная температура твердого тела.

Уравнение (4.5) после логарифмирования принимает вид:

$$\lg D = \lg D_{\bullet} - \frac{E_{A}}{2.3jR_{\bullet}} \frac{1}{T}$$
 (4.6)

Графически уравнение (4.6) можно представить в координатах  $\lg D$ , 1/T, в виде прямой, что облегчает определение коэффициента диффузии для различных температур.

Как мы видим, математические выражения, описывающие процессы растворения и диффузии, схожи между собой, что является следствием органической взаимосвязи этих явлений.

С явлениями растворения и диффузии газов в твердых телах тесно связана проницаемость твердых тел, т. е. их способность пропускать газ через свою среду.

В зависимости от природы системы «газ — твердое тело» проницаемость может быть ничтожно малой и практически не имеющей никакого значения. Но в ряде случаев проницаемостью материалов (например, оболочки вакуумного прибора или вакуумной системы для некоторых газов) пренебрегать нельзя.

Необходимо отметить, что, говоря о проницаемости, мы имеем в виду проникновение газа только через совершенно цельную, не нарушенную твердую стенку; наличие каких-либо дефектов (в виде трещин, пор и других видов течи) при этом исключается.

На основании уравнения (4.3) (первого закона Фика) получены выражения, характеризующие проницаемость газов через стенки, разделяющие сосуды с разными парциальными давлениями газа.

5\*

На рис. 4.1 изображена оболочка вакуумного приоора из твердого материала, например стекла, разделяющая сосуды с разными давлениями. С одной стороны оболочки сохраняется относительно высокое давление газа  $p_1$  (например, атмосферное), с другой — значительно более низкое давление  $p_2$  (например, высокий вакуум).

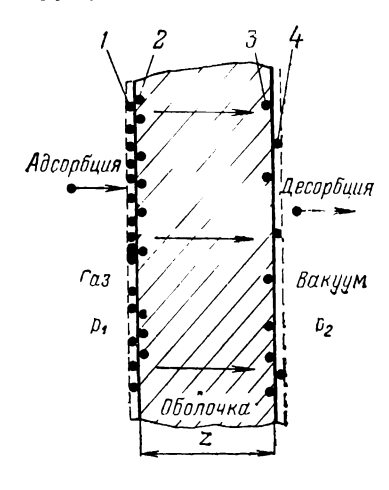


Рис. 4.1. Проникновение газа через оболочку вакуумного прибора.

I — адсорбированный слой газа с наружной стороны оболочки;
 2 — молекулы газа, только что растворившиеся в материале оболочки; стрелки показывают основное награвление диффузии растворившихся молекулы;
 3 — растворившиеся молекулы газа, продиффундровавшие к внутренней стороне оболочки;
 4 — молекулы газа, вышедшие на внутреннюю поверхность оболочки.

Адсорбированные на оболочке со стороны высокого давления молекулы I, растворяясь в материале оболочки, могут постепенно продиффундировать до противоположной поверхности, граничащей с вакуумом, и, выйдя на эту поверхность (молекулы 4), покинуть ее (десорбироваться).

Если давления  $p_1$  и  $p_2$  сохранять постоянными, то в конце концов наступит состояние, когда поток проникающего газа становится стационарным, концентрация газа  $N_{1\text{тв}}$  в твердом материале вблизи граничных поверхностей остается неизменной. Полагая градиент концентрации газа постоянным по толщине оболочки, формулу (4.3) можно записать в виде

$$q' = D \frac{c_1 - c_2}{Z}, \tag{4.7}$$

где  $c_1$  — объемная концентрация газа  $N_{1\text{тв}}$  в материале у поверхности, соприкасающейся с пространством, в котором газ находится под давлением  $p_1$ ;

- $c_2$  объемная концентрация газа  $N_{178}$  в материале у поверхности, соприкасающейся с пространством, в котором газ находится под давленинием  $p_2$ ;
- Z в данном случае толщина оболочки.

При стационарном процессе концентрация газа в материале зависит от его растворимости, которая в свою очередь пропорциональна давлению газа над поверхностью материала. Учитывая, что при растворении газов в неметаллах молекулы газа не диссоциируют, а в металлах диссоциируют на атомы, можем, как это выполнялось и ранее, записать эту пропорциональность в общем для металлов и неметаллов виде:

$$c_{\mathbf{a}} = [\kappa_{\mathbf{c}} p_1^{1/i} \text{ if } c_{\mathbf{a}} = \kappa_{\mathbf{c}} p_2^{1/i}$$

$$(4.8)$$

где  $\kappa_e$  — коэффициент пропорциональности, значение которого на основании выражения (4.1) равно:

$$\kappa_{\mathbf{c}} = s_{\mathbf{p}} e^{\frac{\mathbf{c} - E_{\mathbf{p}}}{jR_{\mathbf{0}}T}} \tag{4.9}$$

где  $s_0$  — константа растворимости;

 $E_{\mathbf{p}}$  — энергия активации растворимости.

В результате получим следующее выражение для удельного потока газа q' через стенку толщиной Z, отнесенного к единице ее поверхности:

$$q' = D \frac{\kappa_c}{Z} (p_1^{1/i} - p_2^{1/i}),$$
 (4.10)

где D — коэффициент диффузии.

Проницаемость выражается в тех же единицах, что и поток разреженного газа, отнесенный к единице площади поверхности стенки, разделяющей сосуды с разными давлениями.

В выражении (4.10) произведение  $D\kappa_c$  характеризует проницаемость стенки для данной системы «твердое тело—газ» и может быть заменено коэффициентом проницаемости  $\kappa_{\pi p}$ , который также экспоненциально зависит от температуры твердого тела:

$$\kappa_{\rm np} = \kappa_{\rm o} e^{-\frac{E_{\rm np}}{jR_{\rm o}T}} \tag{4.11}$$

где  $\kappa_0$  — константа проницаемости для данной системы «твердое тело — газ»;

 $E_{mp}$  — энергия активации проницаемости;  $R_0$  — универсальная газовая постоянная;

ј — коэффициент, имеющий то же значение, что и в выражении (4.1);

Т — абсолютная температура твердого тела.

Энергия активации проницаемости  $E_{\rm mp}$  мало отличается от энергии активации диффузии  $E_{\rm L}$ , если растворимость газов в рассматриваемом материале слабо меняется с температурой. Если  $p_2^{1/j} \ll p_1^{1/j}$  так, что практически можно считать  $p_2^{1/j} = 0$ , то для стенки единичной толщины, учитывая выражения (4.1), (4.9) и (4.10), можно записать:

$$q' = sD_* \tag{4.12}$$

где q' — удельный поток газа, проникающего через стенку единичной толщины (проницаемость),  $\frac{M^3 \cdot \Pi a \cdot M}{M^2 \cdot c}$ ;

s — растворимость,  $\frac{M^3 \cdot \Pi_a}{M^3}$ ;

D — коэффициент диффузии, м<sup>2</sup>/с.

Соотношение (4.12) позволяет, если известны две величины из трех (коэффициент диффузии и растворимость или проницаемость), определить третью.

Экспериментальные данные по проницаемости обычно приводятся для условий, когда с одной стороны стенка соприкасается с вакуумом и давление  $p_2$  можно принять равным нулю. В этом случае с учетом (4.11) уравнение (4.10) запишется в виде

$$q' = \frac{\kappa_{\rm np}}{Z} p_1^{1/i} = \frac{\kappa_2}{Z} p_1^{1/i} e^{-\frac{E_{\rm np}}{iR_0 T}}$$
(4.13)

В приложении 6 приведены значения константы проницаемости  $\kappa_0$  и энергии активации проницаемости  $E_{\pi p}$  для различных систем «газ — материал». Там же даны удельные потоки проницаемости  $q'_1$  при давлении 1 Па и указанных температурах для материала толщиной 1 м.

Для определения проницаемости при другом давлении необходимо произвести пересчет по методике, аналогичной той, что приведена для растворимости. При внешних давлениях существенно ниже атмосферного проницаемость оказывается меньшей, чем это следует из уравнения (4.10), что связано с заполнением адсорбированным газом лишь части поверхности, которая характеризуется коэффициентом  $\theta$ , определяемым урав-

нением (3.1). С учетом этого обстоятельства уравнение (4.10) примет вид:

$$q' = \frac{\kappa_{\rm rp}}{Z} (\theta_1 p_1^{1/I} - \theta_2 p_2^{1/I}), \tag{4.14}$$

где  $\theta_1$  и  $\theta_2$  — коэффициенты заполнения поверхности соответственно при давлениях  $p_1$  и  $p_2$ .

В практической работе следует считаться с проницаемостью стекла и керамических материалов для гелия, водорода и неона как газов, имеющих наименьшие диаметры частиц, а также с проницаемостью металлов главным образом для водорода.

### 4.3. НЕСТАЦИОНАРНЫЙ ПРОЦЕСС ДИФФУЗИИ

Нестационарные процессы диффузии наблюдаются при обезгаживании материала либо, напротив, при поглощении им газа, что характерно для деталей электровакуумных приборов и нагреваемых элементов вакуумных систем.

Как уже отмечалось, обычно все твердые материалы (детали) изготавливаются в газовой атмосфере при достаточно высоком давлении. В результате газового окружения они адсорбируют газы до определенного газосодержания, соответствующего равновесию между сорбцией и десорбцией.

Для уменьшения газовыдсления материала (детали) его подвергают обезгаживанию в вакууме. Однако если при обезгаживании в вакууме ограничиться комнатной температурой, то процесс обезгаживания из-за малости коэффициента диффузии газов в твердых телах при относительно низких температурах будет протекать слишком медленно. Формула (4.5) показывает, что коэффициент диффузии экспоненциально зависит от температуры; следовательно, для эффективного обезгаживания твердого тела необходимо его выдержать в вакууме при достаточно высокой температуре.

Скорость процесса обезгаживания в большой мере зависит также от природы как твердого тела, так и содержащихся в нем газов.

При обезгаживании материалов в вакууме концентрация газа в твердом теле  $N_{1\text{тв}}$  уменьшается со временем, т. е. имеет место нестационарный процесс диффузии. при котором меняются объемная концентрация газа  $N_{1\text{тв}}$  и ее градиент  $\partial N_{1\text{тв}}/\partial Z$ . Этот процесс подчи-

няется второму закону Фика и описывается уравнением (4.4).

Поток газа, выделяющийся с поверхности твердого тела, при этих условиях рассчитывается по уравнению (4.3), в которое подставляют значение градиента концентрации газа на поверхности твердого тела, найденное из решений уравнения (4.4).

Решения уравнения (4.4) получаются разными для тел с различной геометрической формой.

В качестве начального условия при решении уравнсния (4.4) обычно принимают, что концентрация газа в твердом теле в момент времени t=0 одинакова по всему его объему.

В качестве граничного условия полагают, что на поверхности твердого тела (границе «газ — твердое тело») концентрация газа определяется давлением его над поверхностью твердого тела. Если речь идет об обезгаживании материала в вакууме, то обычно принимают, что давление газа над поверхностью и соответственно концентрация газа на границе твердого тела с вакуумом равны нулю.

Однако решения уравнения (4.4) имеют сложный вид, и пользоваться ими при практических расчетах нет нужды, так как значения коэффициентов диффузии и начальной концентрации, найденные по литературным определенные экспериментально, могут или значительно отличаться от фактических, что снижает точность расчетов. В связи с этим с достаточной для практических расчетов точностью (ошибка не более 10%) можно воспользоваться решениями уравнения второго закона Фика, полученными Б. Б. Дейтоном в предположении, что изменение градиента концентрации газа по толщине материала подчиняется линейному закону. Полученные при этом выражения для скорости удельного газовыделения имеют достаточно простой вид. При этом уравнение, характеризующее удельный поток газа q' для полубесконечного твердого тела, т. е. тела большой протяженности в направлении потока диффузии и обезгаживаемого с одной стороны, имеет вид:

$$q' = \frac{c_0 - c_1}{2} \sqrt{\frac{D}{t}}, \qquad (4.15)$$

где  $c_0$  — начальная концентрация газа в твердом теле; 72

 $v_1$  — концентрация газа на ґранице «твердое тело — газ»:

D — коэффициент диффузии;

t — длительность обезгаживания.

Обычно при обезгаживании в вакууме  $c_0\gg c_1$ , поэтому в дальнейшем в формулах для расчета газовыделения из пластины и цилиндра вместо разности  $c_0-c_1$  используется практически равная ей величина  $c_0$ .

Для пластины (тела конечной толщины с относительно большими размерами в двух других измерениях) удельный поток газа определяется следующими выражениями:

1.

$$q' = \frac{c_0}{2} \sqrt{\frac{D}{t}}, \qquad (4.16)$$

если

$$t < \frac{\pi Z^2}{64D}, \tag{4.17}$$

где Z — толщина обезгаживаемой пластины;

D — коэффициент диффузии рассматриваемой системы «материал — газ» при заданной температуре.

При этом глубина обезгаживания (расстояние от поверхности тела до места, где концентрация газа принимается равной начальному значению.  $c_0$ ) может быть определена по формуле

$$\delta = 2 \mathcal{V} \overline{Dt}. \tag{4.18}$$

- Эта формула справедлива до тех пор, пока  $\delta \leqslant Z/2$ . При этом, когда  $\delta \leqslant Z/2$ , количество удаленных из твердого тела газов меньше половины начального газосодержания, а при  $\delta = Z/2$  — половине начального газосодержания.

2. Удельный поток газа q' будет равен:

$$q' = \frac{2c_0 D}{Z} e^{\frac{\pi}{8} - \frac{8D}{Z^2} t}$$
 (4.19)

если

$$t > \frac{\pi Z^2}{64D}. \tag{4.20}$$

Для цилиндра радиуса R удельный поток газа q' определяется следующими выражениями:

$$q' = c_{\bullet} \left[ \sqrt{\frac{D}{\pi t}} - \frac{D}{2R} \right], \tag{4.21}$$

если

$$t < \pi R^2 / 24D, \qquad (4.22)$$

при этом количество удаленных из твердого тела газов меньше 2/3;

$$q' = \frac{[c_0 D]}{R} e^{\pi/4 - 8DI/R^2},$$
 (4.23)

если

$$t > \pi R^2 / 24D$$
. (4.24)

Детали часто имеют форму, отличающуюся от бесконечных пластины или цилиндра. Поэтому на практике деталь сложной формы заменяют комбинацией элементов, близких к пластине или цилиндру.

Необходимо указать, что газовыделение из металлов по подавляющему большинству газов во время отжига и откачки ввиду относительной малости коэффициентов диффузии D рассчитывается по уравнению (4.15) и и лишь газовыделение водорода приходится определять по уравнениям (4.16), (4.19), (4.21) или (4.23), учитывающим конкретную геометрическую форму обрабатываемых деталей.

При расчетах по формулам (4.15), (4.16), (4.19), (4.21) и (4.23) надо пользоваться значениями концентрации газа в твердом теле, имеющими размерность  $\left[\frac{M^3 \cdot \Pi a}{M^3}\right]$ . В то же время довольно часто газосодержание или газовыделение относят к единице массы твердого тела. Переход от одной размерности к другой следует проводить по формуле

Объемная Массовая Плотность концентрация концентрация

$$\left[\frac{\mathbf{M}^{\theta} \cdot \Pi \mathbf{a}}{\mathbf{M}^{\theta}}\right] = \left[\frac{\mathbf{M}^{\theta} \cdot \Pi \mathbf{a}}{\mathbf{K}^{\Gamma}}\right] \left[\frac{\mathbf{K}^{\Gamma}}{\mathbf{M}^{\theta}}\right]. \tag{4.25}$$

# ДАВЛЕНИЕ ПАРОВ И ДИССОЦИАЦИЯ ОКИСЛОВ МЕТАЛЛОВ

#### 5.1. ПОНЯТИЯ «ГАЗ» И «ПАР»

Основные технические параметры вакуумной системы и, в частности, предельное остаточное давление в значительной степени определяются давлением паров материалов, примененных при конструировании ее элементов. Особенно важен правильный выбор материалов при создании сверхвысоковакуумных систем, работающих при повышенных температурах. Решающее значение имеет знание характеристик испаряемых материалов в технике получения тонких пленок.

Поведение паров существенно отличается от поведения газов. Критерием, позволяющим определить, является ли то или иное газообразное вещество газом или паром, служит его критическая температура, т. е. температура, выше которой вещество может находиться только в газообразном состоянии (сжатием сконденсировать его невозможно).

Газообразное вещество называется газом, если его температура выше критической; паром — если его температура ниже критической, иными словами, паром называется газ, находящийся в состоянии, близком к состоянию перехода его в жидкость.

В табл. 5.1 указаны критические температуры некоторых веществ.

Таблица 5.1 Критические температуры некоторых веществ

Вещество	' Критическая температура, К	Вещество Критическая температура.			
Гелий	5,2	Криптон	209,4		
Водород	33	Ксенон	289,7		
Неон	45	Двуокись утлерода	304		
Азот	126	Бода	647		
Кислорол	155	Ртуть	1460		
Аргон	150,6	Железо	3973		

Мы видим, что комнатная температура, равная обычно 283—298 К, намного превышает критическую температуру таких веществ, как гелий, водород, неон, азот,

кислород, аргон, криптон, которые, следовательно, в обычных температурных условиях следует считать «постоянными» газами, поскольку они не конденсируются ни при каком сжатии. Такие газообразные вещества, как ксенон и двуокись углерода, к постоянным газам отнести уже нельзя, так как их критические температуры близки к комнатной. Далее мы говорим о водяном паре, о ртутном паре, о парах различных масел, применяемых в вакуумной технике, так как критические температуры этих веществ намного выше комнатной. Наконец, поскольку все металлы имеют критическую температуру порядка тысяч градусов, мы говорим о парах металлов.

### 5.2. ДАВЛЕНИЕ ПАРОВ МАТЕРИАЛОВ

Известно, что если испарение какого-либо вещества происходит в замкнутом пространстве, в котором поддерживается определенная температура, то по истечении достаточного промежутка времени наступает состояние насыщения, т. е. устанавливается постоянное, равновесное давление пара, несмотря на продолжающееся испарение. Насыщение наступает по той причине, что в процессе испарения с возрастанием плотности пара возрастает и количество конденсирующихся молекул (атомов) пара; в момент, когда количество молекул, конденсирующихся в единицу времени, сравняется с количеством молекул, испаряющихся за то же время, устанавливается постоянная плотность пара, а поскольку температура поддерживается постоянной, устанавливается и постоянное давление насыщенного пара.

В вакуумной технике для различных целей применяется ряд жидкостей, которые неизбежно являются источниками паров в вакуумной системе: так, например, применяется ртуть, служашая рабочей жидкостью для некоторых типов вакуумметров и для ртутных пароструйных насосов; существуют масляные пароструйные и масляные вращательные насосы, работающие на специальных маслах. Источниками паров в вакуумных системах могут быть и многие вещества, применяемые в качестве смазок, уплотнителей, поглотителей, покрытий; наконец, в какой-то мере испаряются стенки любого вакуумного сосуда. Все эти жидкости и твердые вещества при определенных температурах имеют определенные давления насыщенных паров, с которыми не-

обходимо считаться в процессе откачки любого сосуда и которые необходимо также учитывать при выборе материала для изготовления оболочки и внутренних леталей вакуумных устройств.

Таблица 5-2 дает представление о давлении насыщенных паров некоторых веществ, применяемых в ва-

куумной технике.

Таблица 5.2 давление насыщенного пара некоторых веществ, применяемых в вакуумной технике

Вещест во	Давление насы- шенного пара при 193 К. Па
Вода	2933
Ртуть	1,6.10-1
Масло для механических масляных насосов	1-10-8
Смазки, уплотнители	10-1-10-8
Масло для пароструйных диффузионных насосов	10-8-10-7
Стекло	10-18-10-28

Если пар находится в состоянии, достаточно далском от насыщения, то к нему, как и к любому газу, можно применять законы, справедливые для идеальных газов, с тем большим правом, чем меньше его плотность.

Для насыщенных паров справедливы лишь те газовые законы, которые не связаны с изменением параметров состояния. К таким можно отнести законы Авогадро и Дальтона. Что касается законов Бойля—Мариотта, Гей-Люссака и Шарля, то к насыщенным парам их применять нельзя.

Например, закон Бойля—Мариотта становится несправедливым, так как при изменении объема насыщенного пара без изменения его температуры масса пара не остается постоянной; при сжатии происходит дополнительная конденсация, а при расширении — дополнительное испарение, так что давление насыщенного пара сохраняется постоянным (в соответствии с температурой).

В отличие от газа давление насыщенного пара можно изменять только путем изменения его температуры. Зависимость от температуры давления насыщенного пара, когда последнее не превышает 100—150 Па, можно выразить уравнением

$$\ln p = A_{\rm m} - B_{\rm m} / T, \tag{5.1}$$

где  $A_{\rm H}$  и  $B_{\rm H}$  — постоянные, которые зависят от рода испаряющегося вещества;

*T* — температура.

Не следует забывать, что если с повышением температуры источник пара полностью испарится, то при дальнейшем нагревании пар, очевидно, перестанет быть насыщенным и, поскольку его масса остается постоянной, будет подчиняться всем газовым законам.

В большинстве случаев зависимости давления паров металлов получены на основании замеров скорости испарения или убыли массы образцов. Исходя из уравнений (1.1), (1.21), (1.22) и (1.28), получим удельный поток массы испаряющегося материала, кг/( $M^2 \cdot c$ ):

$$G_{\rm H} = \frac{p}{4} \sqrt{\frac{8M}{\pi R_0 T}} = 4.38 \cdot 10^{-3} p \sqrt{\frac{M}{T}},$$
 (5.2)

где р — давление паров материала, Па;

M — молекулярная масса материала,  $\frac{\mathbf{Rr}}{\mathbf{K}\mathbf{MOJD}}$ ;

 $R_0$  — универсальная газовая постоянная;

T — температура, K.

В логарифмической форме уравнение (5.2) имеет вид:

$$\lg G_{\rm H} = -2,368 + \lg p + 0.5 \lg \frac{M}{7}. \tag{5.3}$$

Полезно помнить следующее правило: при повышении температуры на 5% давление паров и удельный поток массы испаряющегося материала возрастают в 10 раз.

### 5.3. ДАВЛЕНИЕ НАСЫЩЕННЫХ ПАРОВ В ВАКУУМНОЯ СИСТЕМЕ, ТЕМПЕРАТУРА ОТДЕЛЬНЫХ УЧАСТКОВ КОТОРОЯ НЕОДИНАКОВА

Вакуумная система состоит обычно из насосов с рабочими жидкостями, трубопровода, соединяющего откачиваемый сосуд с насосами, манометрических преобра зователей, кранов и других деталей, в которых может находиться какой-либо источник пара. Как правило, все эти элементы вакуумной системы имеют в рабочем состоянии различные температуры: например, масло в механическом вакуумном насосе может нагреться до 323 К и выше, рабочая жидкость пароструйного насоса — до температуры 373—473 К; в пароструйном насос

се имеется также холодильник, стенки которого охлаждаются обычно проточной водой; большая часть вакуумного трубопровода имеет комнатную температуру; если откачиваются электровакуумные приборы, то они обычно подвергаются прогреву до температуры в несколько сотен градусов; в определенном месте трубопровода часто помещается так называемая ловушка для вымораживания (т. е. интенсивной конденсации) паров, отем ки которой могут быть охлаждены до температуры кипения жидкого азота (77 K).

Какой же температурой определяется давление насыщенных паров тех жидкостей и твердых веществ, которые находятся в вакуумной системе? Чтобы правильно ориентироваться в тех практических случаях, с которыми приходится иметь дело в вакуумной технике, нужно иметь в виду следующее:

если различные участки вакуумной системы имеют разную температуру, то давления насыщенных паров в ней стремятся к значениям, соответствующим температуре наиболее холодного участка;

при этом в пространстве вакуумной системы, отделенном от источника пара наиболее холодным участком, давление насыщенного пара после достаточного промежутка времени устанавливается в соответствии с температурой самого холодного участка;

в пространстве же между самым холодным участком и источником пара, пока испаряющееся вещество не испарится полностью, происходит перегонка этого вещества в наиболее охлажденный участок.

Для примера проследим за изменением давления ртутного пара в вакуумной системе лабораторного откачного поста, схематически изображенного на рис. 5.1.

Пока не включены ни проточная вода, ни подогреватель парортутного насоса 4 и не охлаждаются стенки ловушки 3, давление насыщенного пара ртути во всей системе соответствует комнатной температуре и, например, при 293 K равно 1,6·10<sup>-1</sup> Па.

После включения проточной воды самая низкая температура, например 283 К, устанавливается на стенках колодильника парортутного насоса; в соответствии с этим понижением температуры падает и давление насыщенного пара ртути в части вакуумной системы над парортутным насосом (даже если его подогреватель включен и ртуть нагрелась до кипения).

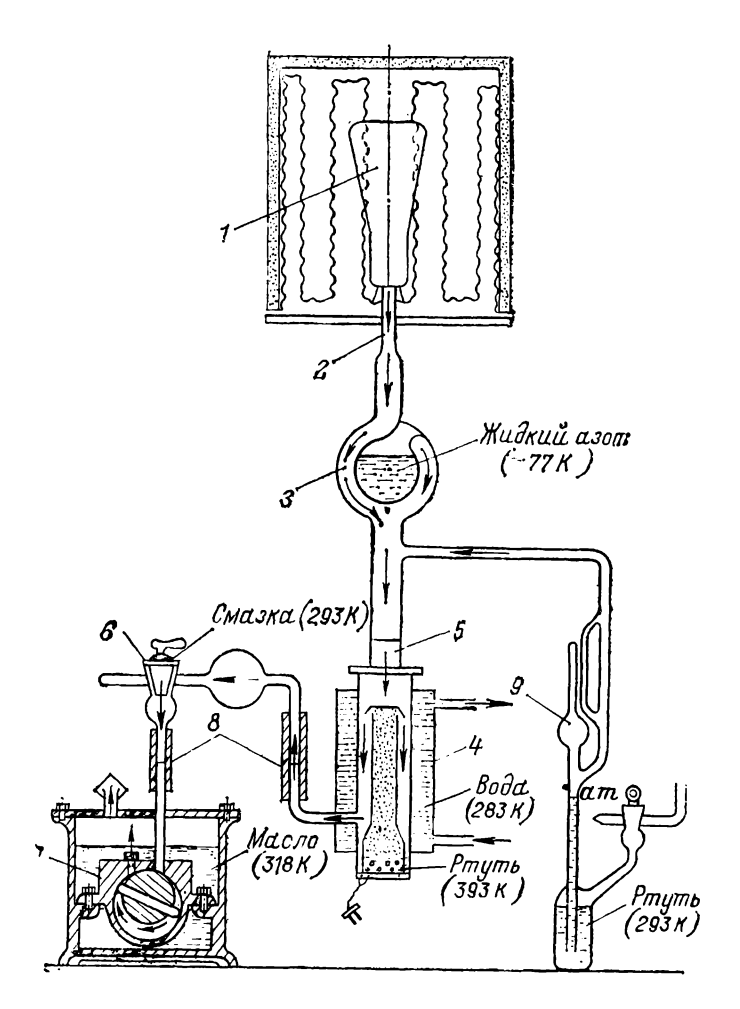


Рис. 5.1. Примерная вакуумная схема лабораторного откачного поста.

1 — электровакуумный прибор, припаянный к вакуумной системе и расположенный в печи для его прогрева во время откачки;
 2 — откачной штенгель, через который производится откачка прибора;
 3 — стеклянная азотная ловушка, предвазначенная для вымораживания паров рабочей жидкости насоса 4;
 4 — металлический парортутный диффузионный насос;
 5 — металлическом, переход для присоединения стеклянного трубопровода к металлическом, патрубку насоса;
 6 — стеклянный кран с уплотняющей органической смазкой;
 7 — механический вакуумный насос с масляным уплотнением;
 8 — резиновые шланги;
 9 — ртутный компрессионный манометр;
 ат — атмосфера.

Наконец, самое низкое давление насыщенного ртутного пара устанавливается в части вакуумной системы над ловушкой после охлаждения ее стенок, например, жидким азотом (до 77 К), так как ртутный пар, имеющийся в вакуумной системе, включая и распространяющийся из парортутного насоса, конденсируется на стенках ловушки.

Задача 5.1. Некоторое количество водяного пара при температуре 293 К занимает объем 300 см<sup>3</sup>, создавая при этом давление 6,7·10<sup>2</sup> Па. Какое установится давление водяного пара при той же температуре, если занимаемый им объем уменьшить: 1) до 100 см<sup>3</sup>; 2) до 10 см<sup>3</sup>; 3) до 1 см<sup>3</sup> (использовать табл. 5.2).

Ответ: 1) 2.103 Па; 2) 2,333.103 Па; 3) 2,338.103 Па.

Задача 5.2. В некотором сосуде имеется смесь газов  $(N_2, O_2)$  я паров  $(H_2O, Hg)$  с парциальными давлениями при температуре 293  $K_2$ 

$$N_2 = 1,066 \cdot 10^{-2}$$
 Πa;  
 $O_2 = 2,666 \cdot 10^{-3}$  Πa;  
 $H_2O = 1,333$  Πa;  
 $H_2 = 1,333 \cdot 10^{-1}$  Πa.

Определить полное давление смеси, если, не изменяя температуры, объем сосуда уменьшить: 1) в 10 раз; 2) в 10 000 раз.

Ответ; 1) 13,62 Па; 2) 2,47 · 103 Па.

Задача 5.3. Рассчитать давление ртутного пара, создаваемого полностью испарившейся каплей ртути массой 1 г в замкнутом сосуде с объемом 100 см<sup>3</sup> при температуре 557°C.

Ответ: 3,43 · 105 Па.

Задача 5.4. Какое количество ртути надо поместить в замкнутый сосуд с объемом 100 см³ при температуре 830 K, чтобы при полном испарении ртути достигалось насыщение сосуда ртутным паром; давление насыщенного пара ртути при температуре 830 K равно 1.333·10° Па.

Ответ: 3,88 г.

# 5.4. ТЕРМИЧЕСКАЯ ДИССОЦИАЦИЯ ОКИСЛОВ МЕТАЛЛОВ

Наличие окисленных поверхностей или растворенных в материале окислов часто является причиной практически неубывающего газовыделения в вакуумной системе и невозможности достижения необходимого разрежения. В связи с этим поведение окисленных материалов при повышенных температурах в вакууме представляет значительный интерес при конструировании и эксплуатации вакуумных систем.

Проследим влияние химических соединений металлов при различных температурах и давлениях на откачку и последующие характеристики вакуумных систем на примере откачиваемого электровакуумного прибора с оксидным катодом. Освобождающиеся во время обработки (активировки) катода газы (в том числе кислород) могут взаимодействовать с элементами оболочки прибора с образованием окислов. Наконец, практически всегда металлы, находившиеся даже

очень небольшое время на воздухе, покрыты пленками окислов. Таким образом, окислы являются одним из самых распространенных

неорганических соединений.

Важнейшей характеристикой реакций окисления — восстановления металлов является давление диссоциации окислов, показывающее направление реакции при данных температуре и давлении кислорода над поверхностью твердого тела (металла).

Экспериментальные данные показывают, что при обычных 1емпературах обезгаживания (600—750 K) вакуумных систем и их элементов давления кислорода для большинства окислов металлов весьма малы, т. е. эти соединения устойчивы и практически не диссоциируют. Исключение составляют лишь соединения CuO, MnO<sub>2</sub>,

Mn<sub>2</sub>O<sub>3</sub> и Mn<sub>3</sub>O<sub>4</sub>, а также Ag<sub>2</sub>O, PdO и HgO.

Восстановление основных окислов металлов может быть осуществлено с помощью водорода, углерода, легко окисляющихся металлов или с помощью других восстановительных сред. Если давление О₂ меньше 7·10-8 Па, то при температуре 900 К происходит диссоциация Си₂О. При этой же температуре Си₂О восстанавливается водородом, если отношение давления паров воды к давлению водорода меньше 2,83·10<sup>5</sup>. Из этого следует вывод, что для восстановления меди из Си₂О в вакууме при температуре 900 К необходимо, чтобы давление в камере печи было меньше 7·10-8 Па. Заметим, что восстановление меди в водородной печи будет происходить в атмосфере даже очень влажного водорода. Практически все окислы меди восстанавливаются водородом при температурах около 800 К.

Окислы железа гораздо устойчивей, и поэтому их восстановление водородом до металла возможно лишь при давлениях водорода,

превышающих давления паров воды от 2 до 1000 раз.

Никель восстанавливается водородом при отношении давлений  $H_2O/H_2$  меньше 100. Для восстановления какого-либо окисла окисью углерода отношение  $CO_2/CO$  должно быть того же порядка, что и отношение давлений  $H_2O/H_2$  при восстановлении аналогичного окисла водородом.

# **ТЕХНИКА ПОЛУЧЕНИЯ ВАКУУМА**

#### Глава шестая

### ОБЩИЕ СВЕДЕНИЯ О ВАКУУМНЫХ НАСОСАХ

### 6.1. КЛАССИФИКАЦИЯ ВАКУУМНЫХ НАСОСОВ

Промышленные вакуумные насосы работают в области давлений от  $10^5$  до  $10^{-10}$  Па. При большом различии в принципах действия и конструкциях, обусловленном многообразием требований к откачному оборудованию, во всех вакуумных насосах для откачки газа используется один из двух способов:

- а) перемещение газа за счет приложения к нему механических сил в некотором месте вакуумной системы, откуда газ выталкивается;
- б) связывание газа путем сорбции, химических реакций или конденсации обычно в замкнутой вакуумной системе.

По принципу действия промышленные вакуумные насосы, используемые для получения давлений меньше  $10^2$  Па, разделяют на следующие группы:

1. Насосы объемного действия, в которых перемещение газа осуществляется путем периодического изменения объема рабочей камеры.

2. Эжекторные насосы, в которых происходит турбулентно-вязкостное увлечение газа струей рабочей жидкости или пара.

3. Молекулярные насосы, которые осуществляют откачку путем сообщения молекулам откачиваемого газа
дополнительной скорости в определенном направлении.
Насосы этой группы могут быть струйными, действие
которых основано на сообщении молекулам откачиваемого газа дополнительной скорости непрерывно истекающей струей пара, и механические молекулярными,
в которых эта скорость сообщается движущимися поверхностями твердого тела. (Низкая эксплуатационная
надежность ранних моделей механических молекулярных насосов привела к отказу от их применения и к разработке в 1950 г. более совершенных турбомолекуляр-

ных насосов, которые и будут в дальнейшем рассмотрены.)

4. Сорбционные насосы, которые осуществляют откачку газов их сорбцией на поверхности или в объеме твердых тел. В эту группу входят и адсорбционные насосы, в которых откачка происходит вследствие обратимой физической адсорбции газа при низкой темисратуре.

5. Криогенные насосы, которые осуществляют откачку путем конденсации откачиваемых газов и паров на поверхностях, охлаждаемых до сверхнизких (криогенных) температур. Разновидностями криогенных насосов являются конденсационные и криосорбционные насосы.

В названиях насосов не всегда отражается принцип лействия, но очень часто отмечаются их конструктивное устройство, используемый материал сорбента (геттера), рабочая жидкость и т. п. Происхождение названий многих насосов будет ясно из дальнейшего изложения. Здесь мы отметим только, что к механическим насосам, откачивающее действие которых достигается за счет механического движения деталей, принято относить все объемные и турбомолекулярные насосы, хотя они различаются как по принципу действия, так и по области применения.

### 6.2. ОСНОВНЫЕ ПАРАМЕТРЫ И ХАРАКТЕРИСТИКИ ВАКУУМНЫХ НАСОСОВ

Для расчета вакуумных систем и правильного выбора вакуумных насосов необходимо знать их параметры.

Основными параметрами вакуумных насосов являются наибольшее давление запуска. наибольшее выпускное давление, наибольшее рабочее давление, предельное остаточное давление, быстрота действия и производительность.

Наибольшим давлением запуска р<sub>нач</sub> называется наибольшее давление во входном сечении вакуумного насоса, при котором насос может начать работу. Не все насосы (рис. 6.1) способны начинать работу с атмосферного давления; для некоторых необходимо предварительное разрешение — «форвакуум».

Наибольшим выпускным давлением рнаць называется давление в выходном сечении вакуумного насоса, при котором насос еще может осуществлять откачку Все насосы, у которых наибольшее выпускное давление

ниже атмосферного, должны иметь на выходе так называемый форвакуумный, создающий необходимый форвакуум насос. Рассматриваемый параметр особенно важен для струйных насосов, у которых превышение наибольшего выпускного давления 1—10<sup>2</sup> Па может привести к разрушению паровой струи и попаданию большого количества пара рабочей жидкости в откачиваемый сосуд. Отметим, что наибольшее выпускное давление струйных насосов практически совпадает с наибольшим давлением запуска. В качестве форвакуумных насосов чаще всего используются насосы объемного действия, папример механические вакуумные насосы с масляным уплотнением.

Наибольшим рабочим давлением рраб назычается наибольшее давление во входном сечении вакуумного насоса, при котором насос длительное время сохраняет номинальную быстроту действия.

Предельным остаточным давлением рост называется наименьшее давление, которое может быть достигнуто при работе насоса без нагрузки, т. е. когда во входное сечение насоса не поступают извне газы или пары.

Невозможность беспредельного понижения давления обусловлена тем, что каждый реальный насос характеризуется натеканием (обратным потоком) газов или паров на собственный вход. Обратный поток может состоять из паров рабочей жидкости, проникающих через механизм насоса, газов, выделяющихся из конструкционных материалов, и газов, натекающих из окружающей среды через неплотности. С понижением

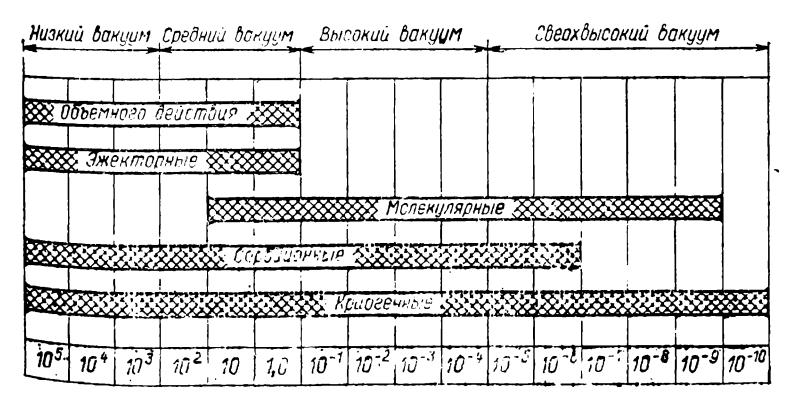


Рис. 6.1. Области действия-вакуумных насосов

давления поток откачиваемого газа, проходящий через насос, уменьшается, в то же время обратный поток остается практически неизменным; поэтому наступает момент, когда эти потоки становятся одинаковыми и давление во входном сечении насоса перестает уменьшаться. Это и есть предельное остаточное давление, достигаемое насосом.

У большинства насосов при достижении предельного остаточного давления, кроме остаточных газов, во входном сечении имеются и пары, в связи с чем различают полное остаточное давление, т. е. сумму парциальных давлений остаточных газов и паров, и давление остаточных газов.

У насосов, в которых применяют рабочие жидкости (насосы с масляным уплотнением, струйные), полное остаточное давление определяется составом и состоянием рабочей жидкости и обычно на порядок выше давления остаточных газов, которое зависит обычно от конструкции и качества изготовления насоса. Очевидно, если откачиваемый сосуд не защищен от проникновения паров рабочей жидкости насоса, то предельное остаточное давление в сосуде или в вакуумной системе не может быть ниже полного остаточного давления насоса.

У насосов без рабочей жидкости (сорбционные, криогенные) остаточное давление паров, как правило, пренебрежимо мало по сравнению с давлением остаточных газов, и для таких насосов в паспорте приводится полное остаточное давление, измеряемое манометричоским преобразователем, не защищенным охлаждаемой ловушкой.

Быстротой действия вакуумного насоса  $S_{H}$  называется быстрота откачки, получаемая во входном сечении насоса при данном давлении, т. е. объем газа, проходящий через впускное сечение насоса в единицу времени при определенном давлении. Быстрота действия большинства насосов практически постоянна в области рабочих давлений и начинает уменьшаться (и даже может стать равной нулю) при достижении давлений, близких к предельному остаточному давлению, а также при превышении наибольшего рабочего давления

Качество насоса тем лучше, чем шире диапазон давлений, в пределах которого быстрота действия насоса мало изменяется. У многих насосов быстрота действия зависит от рода откачиваемого газа. Для каждого типа

насосов существует кривая зависимости быстроты действия насоса  $S_{\rm H}$  от давления  $p_{\rm H}$ :

$$S_{\mathbf{H}} = f(p_{\mathbf{H}}). \tag{6.1}$$

Быстрота действия высоковакуумного насоса, м<sup>3</sup>/с, может быть определена по формуле

$$S_{\mathbf{H}} = 36.4 \sqrt{\frac{T}{M}} \alpha A \left(1 - \frac{p_{\text{OCT}}}{p_{\text{H}}}\right). \tag{6.2}$$

где Т — температура газа, К;

М -- молекулярная масса, кг/кмоль;

а≤1 — коэффициент, характеризующий вероятность захвата молекул газа впускным отверстием насоса:

A — площадь впускного отверстия,  $M^2$ ;

 $p_{\text{ост}}$  — предельное остаточное давление насоса, Па;

 $p_{\rm H}$  — давление во впускном сечении насоса, Па.

Производительностью насоса  $Q'_{\text{н}}$  называется поток газа во входном сечении насоса при данном давлении, т. е. количество газа, уделяемое в единицу времени при этом давлении. Производительность насоса, так же как и быстрота действия, зависит от давления и при достижении предельного остаточного давления близка к нулю. Производительность и быстрота действия насоса связаны соотношением

$$Q'_{\mathbf{H}} = p_{\mathbf{H}} S_{\mathbf{H}}, \tag{6.3}$$

где  $p_{\rm H}$  — давление во входном сечении насоса.

### 6.3. ОБЛАСТИ ДЕЙСТВИЯ ВАКУУМНЫХ НАСОСОВ

Вакуумные насосы часто разделяют по областям действия, т. е. по диапазонам давлений, в которых они используются.

На рис. 6.1 показаны диапазоны давлений, в кото-

рых работают промышленные вакуумные насосы.

Низковакуумные насосы работают в области давлений от 1,03·10<sup>5</sup> Па (атмосферное давление) до 10<sup>2</sup> Па. К этим насосам относятся некоторые насосы объемного действия, эжекторные, адсорбционные, криогенные насосы.

Средневакуумные насосы работают в области давлений  $10^2$ — $10^{-1}$  Па. К ним также относятся некоторые насосы объемного действия, эжекторные, нароструйные, бустерные, адсорбционные.

Для быстрого удаления конденсирующихся наров в области среднего и высокого вакуума в циклично работающих вакуумных установках применяют так называемые азотные ловушки, т. е. устройства, имеющие развитые металлические поверхности, охлаждаемые до температуры жидкого азота (см. гл. 9).

Высоковакуумные насосы работают в области давлений  $10^{-1}$ — $10^{-5}$  Па, сверхвысоковаку, умные — в области давлений ниже  $10^{-5}$  Па. К ним относятся молекулярные диффузионные паромасляные, диффузионные паротутные, турбомолекулярные, сорбционные (испарительные геттерные, электродуговые геттерные, ионно-геттерные, магнитные электроразрядные) и криогенные насосы. Таким образом, для получения высокого и сверхвысокого вакуума могут использоваться насосы одинакового типа.

Возможность получения сверхвысокого вакуума обычно определяется не столько типом используемого насоса, сколько конструкцией насоса и вакуум ной системы и способом их подготовки (предварительной очистки, термического обезгаживания).

В табл. 6.1 и на рис. 6.1 приведены основные параметры вакуумных насосов и области их действия, откуда видно, что рабочие области давлений и быстрота действия у многих типов насосов практически совиздают.

При выборе насоса следует учитывать и такие характеристики, как экономическая эффективность, потребление энергии, охлаждающей воды, расход рабочей жидкости, масса, габариты, частота вращения, уровень шумов, вибрация и т. д. Обычно экономическая эффективность оценивается стоимостью, отнесенной к быстроте действия (первоначальные затраты), и стоимостью эксплуатации, также отнесенной к быстроте действия насоса.

Часто необходимо знать способность насоса откачивать не только воздух, но и другие газы и конденсирующиеся пары; устойчивость насоса к резким повышениям давления во входном и выходном сечениях и прогрывам атмосферного воздуха; время, необходимое для запуска и остановки насоса; создаваемый насосом уровень загрязнений откачиваемого сосуда парами рабочей жидкости; состав остаточных газов.

Tint	Давление, Па		Рабочий диа-	Быстрота	
	полное оста- точное	оста гочных га <b>зов</b>	пазон давле- ний, Па	действия, л/с	Области применения
	H	асогы об	ъемного Д	цействи	Я
Водокольцевой Механический вакуумный насос с масляным уплотнением: одноступенчатый двухступенчатый	2—ñ,6 0,66—2		1,03× ×10 <sup>5</sup> -4000 1,03× ×10 <sup>5</sup> -2,0 1,03× ×10 <sup>5</sup> -0,66		новки для сушки вымораживанием пищевых продуктов. Черновые трубопроводы централизованных форвакуумных систем. Форвакуумные безмасляные системы форвакуумные системы насосов, которые для своей работы требуют поддержания определенного разре-
Механический вакуум- ный с деформируемой камерой	1.10-1	1.102	1,03× ×10 <sup>5</sup> —10 <sup>-1</sup>		Форвакуумные безмасляные системы малой производительности
Многопластинчатый	200330	200330	1,03× ×10 <sup>5</sup> —200	2—1200	Форвакуумные системы большой про- изводительности

Тип насоса	Давление, Па		Рабочий диа-	Быстрота	
	полное остаточное	остаточных воват	пазон давле- ний, Па	действия, л/с	Области применения
Двухроторный: одноступенчатый	0,66	6,6-10-2	100—0,66	15—4·104	Централизованные форвакуумные си- стемы. Установки для плавки и литья металлов. Установки вакуумной про- питки. Установки дистилляции в ва- кууме. Установки сублимационной
двухступенчатый	10-8-10-2	10-4-10-8	100—10-3	5—50	сушки Форвакуумные системы большой про- изводительности
		Эжек	торные на	сосы	
Водоструйный	100—665	_	1,03× ×10 <sup>6</sup> —100	0,1-300	Безмасляные форвакуумные системы
Пароэжекторный: низковакуумный	100	_	1,03× ×10 <sup>5</sup> —100	5—10 <b>5</b>	
средневакуумный	10-1-1,0	-	1,03× ×10 <sup>8</sup> —100 1,03× ×10 <sup>8</sup> —10-1	10³—10⁵	
Струйный: пароструйный бус- терный	10-2	_	10-10-2	100— 3·10 <sup>4</sup>	Форвакуумные системы большой про- изводительности. Вспомогательные насосы для диффузионных высоко- вакуумных насосов

Тип насоса	Давление, Па		Рабочий диа-	Быстрога	,
	полное оста- точное	остаточных газов	па <b>зон дав</b> ле- ний Па	действия, л/с	Области применения
, диффузионный паро- масляный	6,6-10-7	10-•	10 <sup>-2</sup> — 6,6·10 <sup>-7</sup>	5-2.10	Высоковакуумные системы
диффузионный паро- ртутный	_	10-4-10	10-10-10	5—104	Посты откачки ртутных выпрямителей. В лабораторной практике для создания безмасляного вакуума
		Молеку	лярные на	асосы	
Турбомолекулярный	_	10-7-10-•	1-10-7	5-2-104	Централизованные форвакуумные системы. Установки вакуумного отжига. Установки для физических исследований. Установки имитации космического пространства Установки электровакуумного и полупроводникового производства
Сорбционные насосы					
Адсорбционный ≌	_	10-1-10-2	×10 <sup>6</sup> —10 <sup>-1</sup>	110	Форвакуумные системы для исследовательских и технологических установок

	Давление, Па		Рабочий диа-	Бы <b>с</b> прота		
Тип насоса	полное оста-	остаточных газов	пазон давле- ний, Па	действия, л/с	Области применении	
Испарительный геттер- ный	_	10-7-10-11	110-7	1-2.101-	Высоковакуумные безмасляные си- стемы большой производительности	
Электродуговой геттер- ный		10-4-10-5	1-10-6	5·10 <sup>1</sup> и <b>б</b> ольше	То же	
Ионно-геттерный	_	10-7-10-9	10-1-10-7	2-5.104	То же	
Магнитный электрораз- рядный	-	10-7-10-9	10-1-10-7	0,02—104	Посты откачки электронных приборов	

# Криогенные насосы\*

<b>Конденсационный</b>		$\begin{vmatrix} 10^{-7} - 10^{-9} & 1.03 \times \\ \times 10^{5} - 10^{-7} \end{vmatrix} = 0$	50—10 <sup>5</sup> и Высоковакуумные безмасляные сибольше стемы большой производительности
Қриосорбционный	_	10-10-10-13 10-1-10-10 5	500—105 То же

108 n/c

equini s

ссуда быстрот

#### ВАКУУМНЫЕ НАСОСЫ

#### 7.1. ВОДОКОЛЬЦЕВЫЕ НАСОСЫ

Водокольцевые насосы относятся к насосам объемного действия. На рис. 7.1 показана схема насоса.

При быстром вращении ротора 1, имеющего радиальные лопатки, вода отбрасывается к периферии корпуса 2 и создает водяное кольцо приблизительно постоянной толщины, благодаря которому полости, образуемые лопатками ротора, герметично отделяются друг от друга. Так как ось вращения ротора 1 смещена относительно оси цилиндрической расточки корпуса 2, то при вращении ротора объемы, отсекаемые лопатками, меняются, и, таким образом, создается разреженное

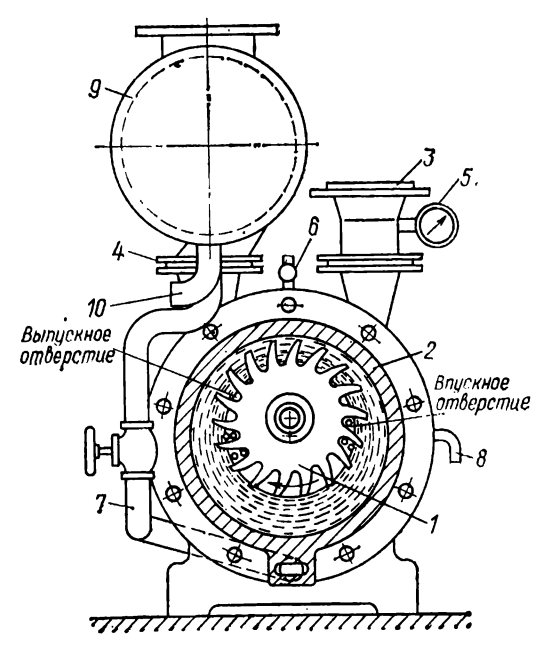


Рис. 7.1. Водокольцевой насос.

1 — ротор;
 2 — корпус;
 3 — впускная трубка;
 4 — выпускной патрубок;
 5 — манометр;
 6 — подвод воды;
 7 — подвод циркуляцнонной воды с регулирующим краном,
 8 — сливная трубка;
 9 — водоотстойник;
 10 — слив воды.

пространство, обеспечивающее всасывание откачивае мого газа через впускное отверстие и сжатие газа перед выбросом его в атмосферу через выпускное отверстие.

Через выпускное отверстие удаляется также излишек воды, благодаря чему толщина водяного кольца остается постоянной во время работы насоса, несмотря на подвод холодной воды из сети, что необходимо для отвода тепла и для компенсации потерь воды в виде паров и брызг выбрасываемых с откачиваемым газом.

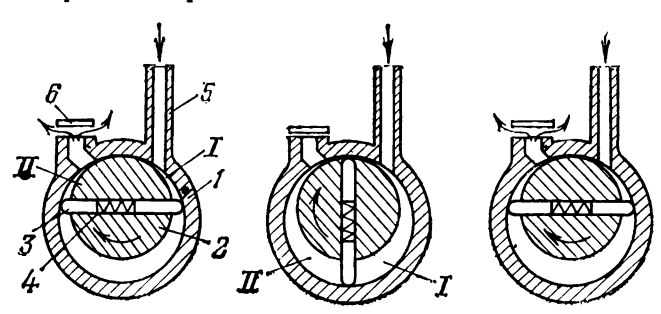


Рис. 7.2. Схема пластинчато-роторного насоса.

Предельное остаточное давление насоса определяется давлением паров воды и составляет примерно  $2\times \times 10^3$  Па при 293 К.

Водокольцевые насосы применяют для откачки черновых трубопроводов централизованных форвакуумных систем, в сушильных установках, а также в качестве безмасляных насосов для форвакуумной откачки.

### 7.2. МЕХАНИЧЕСКИЕ ВАКУУМНЫЕ НАСОСЫ С МАСЛЯНЫМ УПЛОТНЕНИЕМ

# Принцип действия

Механические вакуумные насосы с масляным уплотнением относятся к насосам объемного действия и работают за счет периодического изменения объема рабочей камеры. Механические насосы могут быть пластинчато роторными, пластинчато статорными и плунжерными (золотниковыми).

На рис. 7-2 приведена схема пластинчато-роторного насоса. В цилиндрической расточке камеры насоса 1 вращается в направлении, указанном стрелкой, эксцентрично расположенный ротор 2, в прорези которого свободно вставлены пластины 3 с пружиной 4. При вращении ротора пластины скользят по внутренней поверхности цилиндра, и в камере насоса образуются две полости переменного объема: I (полость всасывания) и

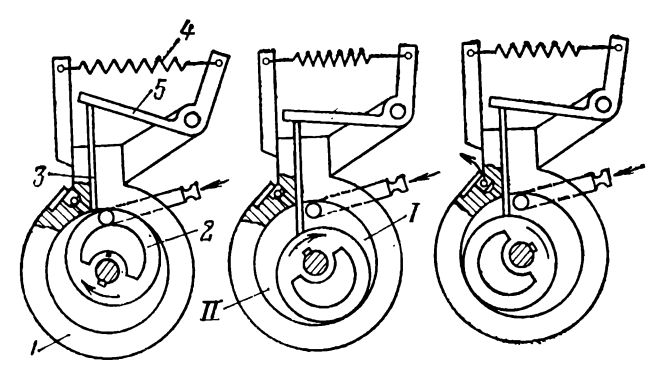


Рис. 7.3. Схема пластинчато-статорного насоса.

II (полость сжатия). Полость всасывания I при вращении ротора увеличивает свой объем, и в нее поступает газ из впускного патрубка 5, связанного с откачиваемым сосудом. Объем полости сжатия ІІ, расположенный на выпускной стороне, уменьшается при вращении ротора, и в ней происходит сжатие газа. Эта полость соединена с клапаном 6. Когда давление газа в полости ІІ станет достаточным для открытия клапана, произойдет выхлоп. В процессе работы зазоры в роторном механизме уплотняются рабочей жидкостью насоса маслом, благодаря чему обратное перетекание газа с выхода на вход становится ничтожно малым. Масло заполняет и так называемые вредные пространства, из которых газ вытесняется при работе роторного механизма (например, объем под клапаном), и исключает их влияние, ведущее к повышению предельного остаточного давления. Одновременно масло обеспечивает смазку и частичное охлаждение механизма насоса. Масло поступает в камеру насоса через зазоры и сверления в корпусе из маслорезервуара, где оно находится под атмосферным давлением, а через выхлопной клапан вновь возвращается в маслорезервуар.

Такую же роль масло выполняет и в других типах насосов с масляным уплотнением, схемы которых мы рассматриваем ниже.

На рис. 7.3 показана схема пластинчато-статорного насоса, в котором пластина 3, разделяющая полости всасывания I и сжатия II, свободно скользит в прорези статора 1, прижимаясь к ротору 2 под действием пружины 4 (через рычаг 5). Путь газа через насос показан стрелками.

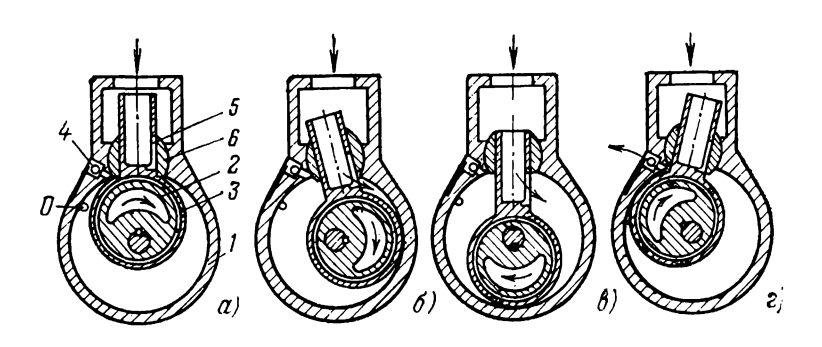


Рис. 7.4. Схема плунжерного (золотникового) насоса.

Схема плунжерного (золотникового) насоса показана на рис. 7.4. В цилиндрической камере корпуса 1 насоса вращается эксцентрик 2 с надетым на него плунжером 3. Газ из откачиваемого сосуда поступает в полость всасывания через окно 5 в прямоугольной части плунжера, который скользит в направляющей 6, свободно поворачивающейся в гнезде корпуса 1. При повороте эксцентрика 2 на некоторый угол от верхнего положения (рис. 7.4,a) окно 5 в прямоугольной части плунжера выходит из направляющей 6 вниз (рис. 7.4,6), полость всасывания соединяется с впускным патрубком насоса и газ поступает в полость всасывания (рис. 7.4,8), непрерывно увеличивающую свой объем, пока окно 5 не будет снова перекрыто (рис.  $7.4.\epsilon$ ). Одновременно в полости сжатия происходят сжатие и выталкивание газа через выхлопной клапан 4. Процесс напуска газа через окно напоминает работу золотникового распределительного устройства, поэтому насосы такого типа получили название золотниковых.

### Параметры и характеристики

Предельное остаточное давление и некоторые другие параметры механических насосов с масляным уплотнением в значительной степени зависят от свойств рабочей жидкости (масла), залитой в насос. Как газы, так и конденсирующиеся пары, создающие обратный поток, попадают на вход насоса из циркулирующего в нем масла. Перед поступлением в камеру насоса масло некоторое время находится в маслорезервуаре, где подвергается воздействию атмосферного воздуха и поглощает газы. При поступлении масла в рабочую камеру поглощенные ранее газы выделяются из пленки масла и поступают на вход насоса.

У одноступенчатых насосов с масляным уплотнением давление остаточных газов составляет обычно  $(2,7-6,6)\cdot 10^{-1}$  Па, а полное остаточное давление 2-6,6 Па.

Пары на входе насоса являются не парами масла, а в основном продуктами его разложения (крекинга). В то время как давление насыщенных паров при комнатной температуре для масел, используемых в насосах с масляным уплотнением, меньше  $10^{-2}$ — $10^{-3}$  Па, легколетучие продукты крекинга масла имеют гораздо более высокие давления насыщения, что и определяет показание манометрического преобразователя. Крекинг масла в насосах происходит из-за возникновения высоких местных температур в области контактов трущихся поверхностей, которые не полностью разделены слоем масла.

Обратный поток продуктов крекинга масла и других углеводородов составляет (на единицу площади сечения впускного патрубка)  $0,1 \div 0,3 \frac{M\Gamma}{q \cdot CM^2}$ . Наличие обратного потока продуктов крекинга масла приводит к загрязнению откачиваемых сосудов.

Для уменьшения обратного потока, поступающего из насоса в откачиваемый сосуд, во впускном патрубке насоса устанавливают ловушки (см. гл. 9). Кроме продуктов крекинга, на входе насоса обычно имеются пары загрязняющих масло легколетучих веществ (воды, растворителей).

Для получения давлений остаточных газов ниже  $10^{-1}$  Па используют двухступенчатые насосы с масляным уплотнением. Схема такого насоса показа-7—1081

на на рис. 7.5. Ближайшая к откачиваемому сосуду высоковакуумная ступень *I* должна создавать небольшой перепад давлений (не более 0,1 Па) и поэтому не нуждается в масляном уплотнении, так как при низком давлении узкие зазоры обладают большим сопротивлением потоку газа. Ступень *I* в процессе работы обычно не сообщается с масляным резервуаром ступени *II*, и

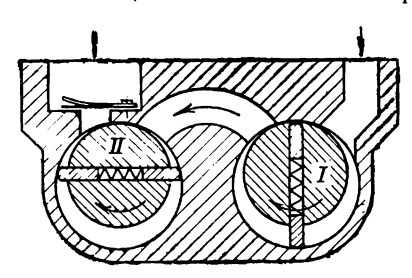


Рис. 7.5. Схема двухступенчатого насоса с масляным уплотнением. *I* и *II* — ступени насоса.

в нее не заносится воздух, растворенный в масле, благодаря чему и возможно достижение низких давлений. Небольшое количество масла, имеющееся в некоторых конструкциях насосов в отдельном маслорезервуаре ступени *I* для смазки механизма, находится под непрерывной откачкой ступенью *II*, так что лег-

кие фракции масла, имеющиеся в ступени *I*, непрерывно откачиваются. Поэтому на входе двухступенчатого насоса количество паров легких фракций масла, определяющих полное остаточное давление, значительно меньше, чем у одноступенчатого.

Давление остаточных газов у лучших образцов двухступенчатых насосов составляет  $10^{-3}$  Па, полное остаточное давление  $6.5 \cdot 10^{-1}$  Па. У насосов с масляным уплотнением давление остаточных газов в основном определяется качеством изготовления.

Как уже отмечалось, полное остаточное давление насоса зависит от состава (наличия летучих фракций) и состояния (в первую очередь — от температуры) рабочей жидкости. При повышении температуры масла наблюдается повышение как полного остаточного давления насоса, так и давления остаточных газов.

После запуска холодного насоса установившаяся температура масла (50—70°С) достигается через 2—3 ч в зависимости от размеров насоса.

Быстрота действия  $S_{\rm H}$  насосов с масляным уплотнением определяется их конструкцией.

Быстрота действия насосов объемного действия практически не зависит от рода откачиваемого газа, так как разница в проводимости входных коммуникаций по

разным газам очень мало сказывается на быстроте действия насоса.

Зависимости быстроты действия одно- и двухступенчатых насосов от впускного давления приведены на

рис. 7.6.

Мощность, потребляемая насосами с масляным уплотнением, затрачивается на преодоление трения в механизме насоса (мощность трения или мощность потерь) и на процесс перемещения и сжатия газа (индикаторная мощность).

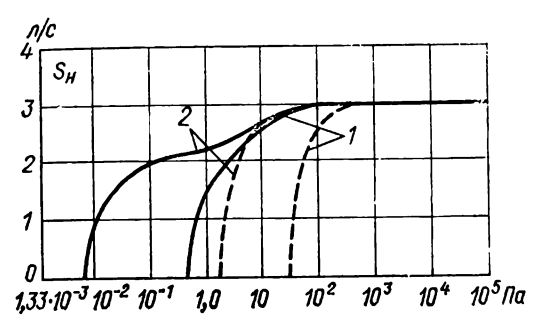


Рис. 7.6. Зависимости быстроты действия одноступенчатого (1) и двухступенчатого (2) насосов.

———— без газобалласта; ———— с газобалластом.

В области низких давлений (ниже 10<sup>3</sup> Па) потребляемая насосом мощность практически остается постоянной и не зависит от давления на впуске.

Эта постоянная мощность в области низких давлений и является мощностью потерь.

Наибольшее давление запуска и наибольшее выпускное давление у механических насосов с масляным уплотнением равны атмосферному. Однако заводы-изготовители не рекомендуют длительную работу при давлении выше 2·10<sup>4</sup> Па, что связано с нежелательным уменьшением количества масла, поступающего в единицу времени в рабочую камеру насоса при повышенных давлениях в ней, а также с выбросами и уносом масла в виде брызг и масляного тумана вместе с потоком откачиваемого газа.

# Рабочие жидкости для насосов

В качестве рабочей жидкости насосов с масляным уплотнением, как правило, используются продукты, по-7\* лучаемые из промышленных минеральных масел. Кроме обычных требований (низкая кислотность, необходимая вязкость, хорошие смазывающие свойства и т. п.), к маслам для вакуумных насосов предъявляются дополнительные: высокая термическая стойкость и низкое давление паров в интервале рабочих температур насоса, так как в противном случае невозможно получение низких предельных остаточных давлений. Давление паров масел для вакуумных насосов приведено в § 17.4.

### Конструкции насосов

Пластинчато-роторные насосы выполняются обычно с быстротой действия до 6 л/с. Это объясняется тем, что в местах контакта пластин с камерой насоса достигаются достаточно высокие относительные скорости, что и ограничивает, главным образом, создание крупных пластинчато-роторных насосов.

В плунжерных (золотниковых) насосах трение происходит лишь в направляющей, где относительная скорость сравнительно невелика. Поэтому средние (от 6 до 100 л/с) и крупные (свыше 100 л/с) насосы выполняются плунжерными (золотниковыми).

Недостатком плунжерных (золотниковых) насосов является неуравновешенность движущихся масс.

Пластинчато-статорные насосы просты по конструкции, так как имеют минимальное количество трущихся пар, но из-за больших относительных скоростей пластины и ротора и значительной неуравновешенной массы эксцентричного ротора в настоящее время практически не изготавливаются.

В малых насосах рабочие камеры герметизированы от попадания атмосферного воздуха путем погружения их в коробку с маслом, при этом обычно не требуется дополнительных уплотнений между цилиндрами и торцами рабочих камер. Вал насоса выводится из масляной ванны через самоподтягивающуюся резиновую манжету, предотвращающую течь масла.

Камеры средних и крупных насосов выполняются из вакуум-плотных отливок и не требуют погружения в масляную ванну. Места соединения торцевых крышек с цилиндрами герметизируются в этом случае шеллаком или глифталевым лаком или же резиновыми прокладками. Вал выводится в атмосферу через заполненный мас-

лом сальник с самоподтягивающейся резиновой ман-

жетой.

Входные патрубки малых насосов часто выполняются в виде штуцеров под резиновый шланг, однако длинные участки резиновых шлангов во входных коммуникациях насосов делают невозможным получение низких предельных остаточных давлений из-за большого газовыделения резины, поэтому в последних моделях малых насосов входные патрубки делаются, как и у крупных, фланцевыми.

Во входных патрубках насосов иногда устанавливают металлические сетки, защищающие механизм насоса от попадания мелких твердых предметов, выводящих насос из строя.

В средних и крупных насосах масляный резервуар выполняется либо заодно с корпусом насоса, либо в виле отдельного бака, соединенного трубками для подачи масла к соответствующим местам насоса. Приемное отверстие трубки или канала для подачи масла в рабочую камеру насоса всегда располагается выше дна масляного резервуара, что предотвращает попадание грязи и воды в насос.

Если на вход остановленного насоса не напустить атмосферный воздух, то масло в резервуаре, находящееся под атмосферным давлением, заполнит камеру насоса, в которой сохраняется разрежение, и поднимется во впускной патрубок и даже в откачиваемый сосуд (если во впускной коммуникации не установлен клапан). Последующий запуск насоса сильно затрудняется необходимостью вытеснить из камеры вязкое масло через выхлопной клапан и вызывает большие нагрузки на механизм насоса при резком пуске двигателя.

Для предотвращения всасывания масла в маслопроводе некоторых средних и крупных насосов устанавливают клапан, который надо открывать непосредственно после запуска и закрывать перед выключением насоса. У дистанционно управляемых насосов в маслопроводах устанавливают электромагнитный клапан, срабатывающий при включении и выключении электродвигателя или приводящийся в действие от центробежного механизма, связанного со шкивом насоса.

Малые насосы, как правило, не имеют запирающих устройств в маслопроводе, поэтому для предотвращения всасывания масла во впускную коммуникацию необходимо напустить воздух на вход остановленного насоса. Масло может проникать в остановленный насос и через выхлопной клапан; чтобы этого не происходило, объем масла, находящийся над выхлопным клапаном, ограничивают, окружая клапаны щитками или кожухами.

Работа насоса при высоких впускных давлениях  $10^4$  Па сопровождается выбросами брызг и капель масла в выхлопной патрубок вместе с потоком откачиваемого газа. Для устранения этого явления у выхлопного отверстия насоса устанавливают маслоотделители (маслоотбойники), например, в виде щитков. В насосах средних размеров иногда используют отдельные маслоотбойники, прикрепленные к выхлопному отверстию в корпусе насоса.

При впускных давлениях 104—102 Па работа насосов сопровождается образованием заметных количеств так называемого масляного тумана, который выходит из насоса в виде сизо-белого дыма. В насосах с быстротой действия до 5 л/с для задержания масляного тумана могут быть использованы простые фильтры, например бумажные, из стекловаты или керамические. Однако эти фильтры нуждаются в периодической замене (бумажные) или промывке (керамические), а также затрудняют эксплуатацию насосов, откачивающих пары воды. Поэтому лучшим способом защитить производственное помещение от поступления масляного тумана является подключение выхлопа насоса к выхлопной коммуникации с помощью дюритового шланга или металлической трубы.

# Газобалластное устройство и откачка конденсирующихся паров

Проведение многих вакуумных технологических процессов (сушка, пропитка, дистилляция) сопровождается выделением значительных количеств конденсирующихся паров, откачка которых обычным насосом с масляным уплотнением еще 40—50 лет тому назад была очень трудной задачей. Рассмотрим рис. 7.7, на котором в логарифмическом масштабе показано изменение давления газа и паров в камере насоса по мере увеличения степени сжатия

$$\varepsilon = V_{\rm BC}/V_{\rm CHR}$$

где  $V_{\rm BC}$  — объем рабочей камеры насоса в момент конец всасывания;

 $V_{\rm cw}$  — объем рабочей камеры в момент на конец сжатия при давлении  $p_{\rm вып}$ =1,2·10 $^5$  Па, когда открывается выхлопной клапан.

Пусть давление во впускном сечении насоса составляет  $1.33 \times 10^2$  Па.

При сжатии газа давление возрастает до  $p_{вып}$ , клапан открывается и газ выталкивается из насоса (линия 1-2-3).

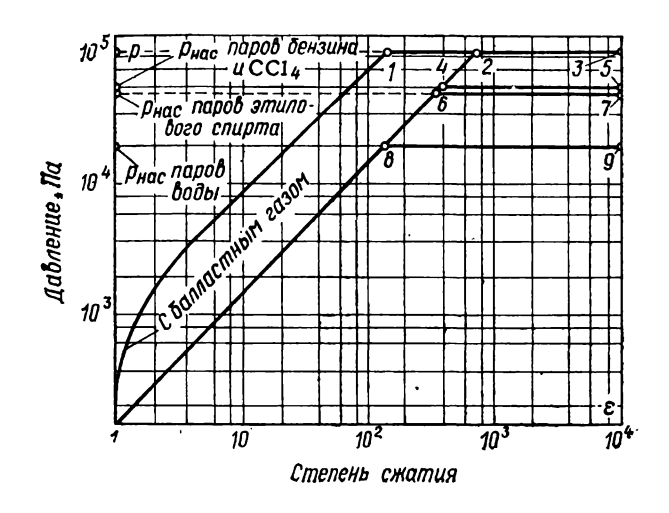


Рис. 7.7. Возрастание давления в камере насоса в зависимости от рода откачиваемого газообразного вещества.

Иначе обстоит дело при откачке конденсирующихся паров, которые не могут быть сжаты до давления, превышающего давление насыщения  $p_{\text{нас}}$  (рис. 7.8), при данной температуре, так как дальнейшее сжатие приводит не к росту давления, а к конденсации некоторого количества паров, и давление в камере насоса остается постоянным, не достигая значения  $p_{\text{вып}}$ . Этот процесс показан линиями 1-6-7, 1-4-5 и 1-8-9 на рис. 7.7 (рабочая температура в камере принята 333 K).

При конденсации в камере насоса выхлопной клапан открывается вследствие резкого гидравлического удара конденсата и масла о пластину клапана. Конденсат смешивается с маслом и ухудшает его свойства. Попавший в масло конденсат вновь испаряется в камере насоса и увеличивает полное остаточное давление. Давление насыщения большинства встречаемых в практике паров при комнатной температуре лежит выше 1,33·10³ Па, т. е. практически может быть достигнуто только в насосах с масляным уплотнением, имеющих выпускное давление, равное атмосферному; в других насосах (двухроторных, турбомолекулярных, струйных), не работающих против атмосферного давления, эти пары не конденсируются.

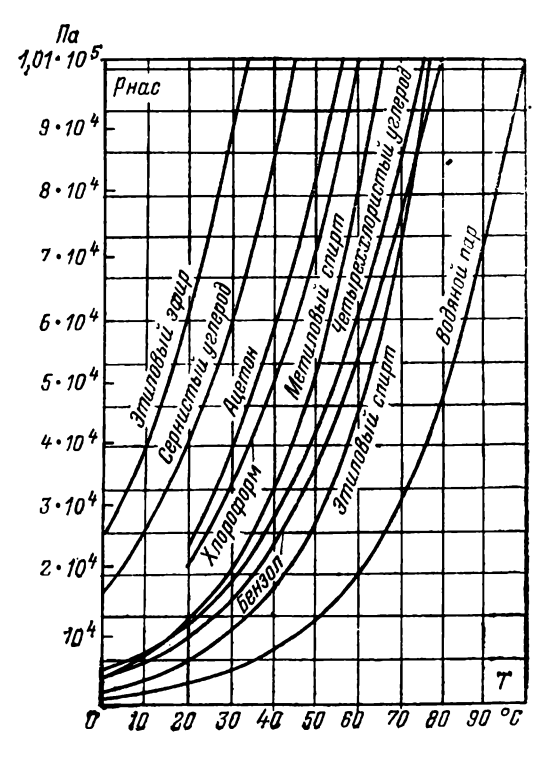


Рис. 7.8. Звисимости давления насыщенных паров от температуры для некоторых веществ.

Наиболее часто встречается необходимость в откачке паров воды. Вода, попавшая в масло, помимо образования трудноразделимой эмульсии масло — вода, вызывает целый ряд химических взаимодействий, ведущих к ухудшению смазывания, перегреву и осмолению насоса, не говоря уже о повышении предельного остаточного давления и коррозии отдельных деталей насоса.

Эффективным способом предотвращения конденсации паров в насосе является напуск так называемого балластного газа в камеру насоса в добавление к поступившему в нее пару после отделения камеры от впускного патрубка насоса. В качестве балластного газа обычно используется атмосферный воздух, поступающий в камеру через отдельное отверстие с обратным клапаном и связанное с краном-дозатором трубкой или отверстием в корпусе. Устройство для напуска балластного газа называют газобалластным, насос с таким устройством — газобалластным насосом. Практически все насосы выпускаются сейчас с газобалластным устройством.

В камере газобалластного насоса сжимается смесь паров с балластным газом, причем количество балластного газа определяется из условия, чтобы к моменту достижения смесью давления выхлопа парциальное давление паров не достигало давления насыщения, т. е.

чтобы выполнялись условия

$$p_6 + (p_r + p_n) \frac{V_{BC}}{V_{CM}} \ge p_{BMN}; \ p_n \frac{V_{BC}}{V_{CM}} \le p_{HAC},$$
 (7.1)

где  $p_5$  — давление сжатого балластного газа;

 $p_{r}$  — давление газа во входном сечении насоса;

 $p_{\pi}$  — давление пара во входном сечении насоса;

 $p_{\text{нас}}$  — давление насыщенного пара при рабочей температуре насоса;

*р*вып — выпускное давление насоса;

 $V_{
m BC}$  — объем рабочей камеры в момент «конец всасывания»;

 $V_{\rm cw}$  — объем рабочей камеры в момент «конец сжатия»

Условие (7.1) справедливо при изотермическом процессе сжатия в насосе, что не совсем строго для реального насоса, но позволяет легко определить поток балластного газа  $Q_6'$ , необходимый для предотвращения конденсации:

$$Q'_{6} \geqslant S_{\text{\tiny R}} \left( p_{\text{\tiny BMIR}} \frac{p_{\text{\tiny II}}}{p_{\text{\tiny HAC}}} - p_{\text{\tiny I}} - p_{\text{\tiny I}} \right) = S_{\text{\tiny H}} p_{\text{\tiny II}} \left[ \left( \frac{p_{\text{\tiny PMIR}}}{p_{\text{\tiny HAC}}} - 1 \right) - \frac{p_{\text{\tiny I}}}{p_{\text{\tiny II}}} \right], \tag{7.2}$$

где  $S_{\rm H}$  — быстрота действия насоса.

В случае откачки только конденсируемых паров ( $p_r \approx 0$ ) формула (7.2) упрощается:

$$Q'_{6} \ge S_{\rm H} p_{\rm fl} \left( \frac{p_{\rm Bh} \pi}{p_{\rm HaC}} - 1 \right).$$
 (7.3)

Уравнение (7.2) показывает, что поток балластного газа  $Q'_{6}$  должен быть тем больше, чем больше быстрота действия  $S_{\rm H}$  насоса, давление пара  $p_{\rm H}$  во входном сечении и чем меньше давление насыщенных паров (т. е. температура масла в насосе). Отметим, что если давление насыщенных паров  $p_{\rm Hac}$  численно равно выпускному давлению  $p_{\rm Bыn}$ , насос не требует балластного газа для предотвращения конденсации. Например, насос со специальным маслом, работающий при температуре примерно 380 K, способен откачивать пары воды без напуска балластного газа.

Допустимое давление паров воды на входе является паспортной характеристикой газобалластного насоса.

Другой важной характеристикой газобалластного насоса является количество (масса) паров, которое он откачивает в единицу времени при заданном давлении паров на входе, т. е. массовая производительность  $M'_{\pi}$  насоса по откачиваемому пару. Ее легко подсчитать, представив уравнение состояния (1.14) для откачиваемой в единицу времени порции пара в виде

$$p_{\pi}S_{\mathfrak{H}} = \frac{M'_{\pi}}{M}R_{\mathfrak{o}}T, \qquad (7.4)$$

откуда следует:

$$M'_{\rm n} = \frac{MS_{\rm H}p_{\rm n}}{R_{\rm o}T} \, {\rm r/c} = \frac{3.6MS_{\rm H}p_{\rm n}}{R_{\rm o}T} \, {\rm \kappa r/u},$$
 (7.5)

где М — молекулярная масса пара;

 $S_{\rm H}$  — быстрота действия насоса, л/с;

 $p_{\rm m}$  — давление пара на впуске, Па;

R<sub>0</sub> — 8,3·10<sup>3</sup> Дж/(К·кмоль) — универсальная газовая постоянная;

Т — температура пара, К.

Для паров воды (M=18) при T=293 К массовая производительность насоса определяется формулой, кг/ч:

 $M'_{\pi} = 2.67 \cdot 10^{-5} S_{H} p_{\pi}.$  (7.6)

Формулы (7.5) и (7.6) справедливы, конечно, только в том случае, если масло при откачке не загрязняется конденсатом, т. е. предельное остаточное давление 106

насоса по откачиваемым парам  $p_{\text{п.ост}}$ =0. В противном случае, если масло загрязняется конденсатом (например, из-за недостаточной подачи балластного газа или из-за сродства откачиваемых паров и масла, когда пары растворяются в масле), предельное остаточное давление насоса по откачиваемым парам  $p_{\text{п.ост}} \neq 0$  и наблюдается уменьшение массовой производительности насоса по парам, что может быть учтено, если в формулы (7.1), (7.5) и (7.6) вместо  $p_{\text{п}}$  представить  $(p_{\text{п}} \rightarrow p_{\text{п.ост}})$ .

Следует иметь в виду, что газобалластные насосы весьма эффективны при откачке паров воды, но при откачке паров, растворяющихся в масле из паровой фазы (например, пары бензина, бензола), их эффективность снижается, о чем можно судить по снижению массовой производительности в сравнении с расчетным.

значением.

Пример 7.1. Определить допустимое давление паров воды для газобалластного насоса с быстротой действия 6 л/с при потоке балластного газа  $Q'_6 = 40$  м³·Па/с, выпускном давлении  $p_{\text{вып}} = 1.2 \cdot 10^5$  Па и температурах масла 60, 70 и 80°С.

По данным рис. 7.8 находим давление насыщенных паров при указанных температурах  $p_{80} = 2 \cdot 10^4$  Па,  $p_{70} = 3.2 \cdot 10^4$  Па,  $p_{80} = 4.8 \cdot 10^4$  Па и по формуле (7.3) находим допустимые давления паров воды  $p_{\pi,\pi o\pi}$  соответственно 1,33 · 10<sup>3</sup>; 2,42 · 10<sup>3</sup> и 4,45 · 10<sup>3</sup> Па.

Пример 7.2. Определить наибольшую допустимую производительность по парам воды насоса с быстротой действия 6 л/с,  $Q'_{\rm f}=40~{\rm M}^3\cdot\Pi_a/{\rm c},~p_{{\rm B}\,{\rm m}\,{\rm f}}=1,2\cdot10^5~\Pi_a$ , температура масла 60°С. Из предыдущего решения допустимое давление паров воды в этих условиях составляет  $p_{{\rm m}.{\rm g}\,{\rm o}\,{\rm f}}=1,33\cdot10^3~\Pi_a$ . По формуле (7.6)  $M'_{\rm m}=-0,213~{\rm kr/y}$ .

Поток балластного газа может регулироваться с помощью крана-дозатора. В двухступенчатых насосах напуск балластного газа, как правило, производится только в выхлопную ступень, так как в первой высоковакуумной ступени сжатия или не происходит, или оно недостаточно для конденсации паров.

Ввиду того, что балластный газ все же перетекает через механизм насоса на сторону всасывания, предельное остаточное давление одноступенчатых насосов увеличивается примерно до 10<sup>2</sup> Па. Предельное остаточное давление двухступенчатых насосов при работе с балластным газом увеличивается до 1—10 Па в зависимости от конструкции и степени износа механизма.

При работе газобалластного насоса из выпускного патрубка выходит парогазовая смесь, содержащая на-

сыщенные пары при температуре насоса 333 К и выше. По мере движения по выпускному трубопроводу, стенки которого имеют комнатную температуру, пар конденсируется на них и конденсат может стекать обратно в насос, особенно если выпускной трубопровод имеет длинные вертикальные участки. В таких случаях в трубопроводе около насоса размещают отделитель конден-



Рис. 7.9. Принципиальная схема устройства для отделения конденсата на выпускном патрубке газобалластного насоса.

сата, устройство и действие которого понятны из рис. 7.9. Если пары, выделяющиеся в откачиваемом сосуде, имеют высокую температуру и могут конденсироваться на стенках впускного трубопровода, на входе насоса должен быть установлен отделитель конденсата аналогичной конструкции, так как попадание, например, капель воды приводит к образованию эмульсии в механизме насоса.

При очень высоком впускном давлении паров (свыше 4·10<sup>3</sup>— 5,3·10<sup>3</sup> Па) используются водоохлаждаемые конденсаторы. Давление паров на выходе конденса-

тора не превышает допустимого значения для газобалластного насоса. Во избежание конденсации паров в камере самого насоса корпус должен быть прогрет до рабочей температуры масла перед началом откачки паров. Для этого насос включают примерно за час до начала откачки и при закрытом впускном патрубке дают работать с полным напуском балластного газа.

# Практические указания по эксплуатации

К каждому насосу прилагается достаточно подробная инструкция по эксплуатации, однако ввиду широкого применения насосов с масляным уплотнением полезно запомнить несколько общих правил их эксплуатации.

Небольшие насосы с быстротой действия до 3—5 л/с часто не закрепляются на фундаменте, а устанавливаются прямо на полу. При этом рекомендуется ставиты насос в неглубокий металлический противень (на случай течи масла) и подложить под него резиновый лист 108

для уменьшения шума. Металлическая цельнотянутая труба в качестве вакуумной коммуникации всегда предпочтительней резинового шланга, так как вследствие газовыделения резины может быть затруднено получение низких давлений. Между насосом и откачиваемым сосудом должен быть предусмотрен компенсатор вибрации, в качестве которого может быть использованкусок вакуумного резинового шланга. При использовании коротких кусков резинового шланга для соединения металлических труб следует насколько возможно сближать торцы труб.

Средние и крупные насосы обычно устанавливаются на фундаменте, впускной патрубок соединяется с магистралью откачки с помощью сильфона или другого гибкого элемента Для компенсации вибраций. Перед присоединением к вакуумной системе полезно проверить создаваемое насосом полное остаточное давление при работе «на себя», т. е. с заглушкой на впускном патрубке, к которой присоединен манометрический преобразователь.

Попадание твердых предметов в рабочую камеру приводит к поломке насоса, поэтому входной патрубок насоса, отсоединенного от вакуумной системы, должен быть тшательно закрыт.

Особое внимание при эксплуатации должно быть обращено на сохранение качества и количества залитого в насос масла. Не следует без особой необходимости допускать работу насоса при высоких впускных давлениях во время откачки сосуда от атмосферного давления, так как это-может привести к уносу капель масла с выхлопными газами; поэтому желательно дросселировать поток газа, не полностью открывая кран на входе насоса.

Если насос не обеспечивает необходимого предельного остаточного давления, причины этого должны отыскиваться и устраняться в следующем порядке:

- 1) недостаток масла в насосе следует долить масло;
- 2) плохое качество масла или его загрязнение конденсатом — можно попытаться очистить масло, включив подачу балластного газа при работе насоса с закрытым впускным патрубком. Если в течение 15—20 мин предельное остаточное давление не уменьшается, следует сменить масло:

- 3) загрязнение, коррозия или поломка клапанов необходимо вскрыть клапанную коробку и устранить неисправности:
- 4) загрязнение каналов для подвода масла в камеру насоса устранение этого дефекта связано обычно с переборкой насоса;
- 5) износ, нарушение нормальной работы или поломка деталей устранение таких неисправностей также связано с полной или частичной переборкой насоса.

#### 7.3. МЕХАНИЧЕСКИЕ ВАКУУМНЫЕ НАСОСЫ С ДЕФОРМИРУЕМОЙ КАМЕРОЙ

#### Принцип действия

Как уже отмечалось, существенным недостатком механических вакуумных насосов с масляным уплотнением является проникновение паров масла и продуктов его крекинга в откачиваемый сосуд.

Для создания так называемого *чистого вакуума* были разработаны механические насосы с деформируемой рабочей камерой.

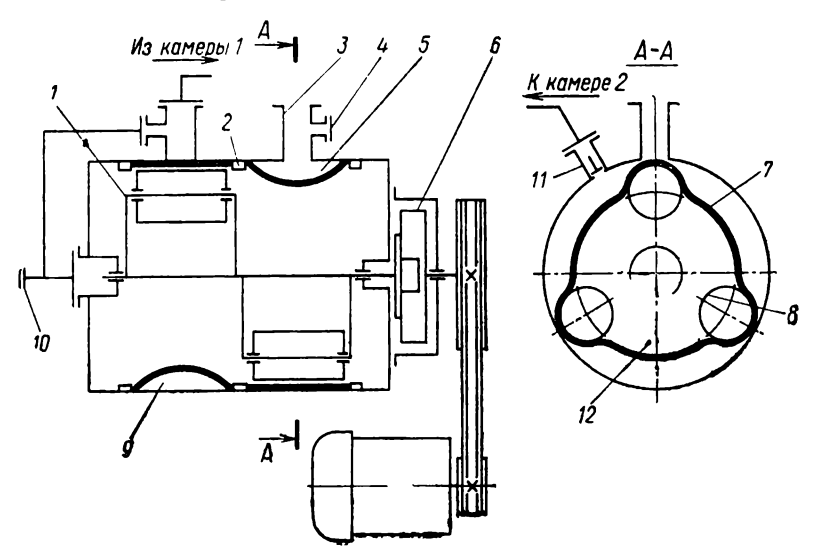


Рис. 7.10. Схема механического вакуумного насоса с деформируемой камерой.

<sup>1</sup>— турвикет; 2— прижимяюе кольцо; 3— впускиое отверстие; 4— патрубок для манометрического преобразователя; 5, 9— рабочке камеры; 6— привод: 7— эластичная камера; 8— ролик; 10— патрубок для крана напуска атмосферы; 11— выпускной клапан; 12— собственный объем насоса.

На рис. 7.10 показана схема насоса, принцип действия которого основан на последовательном цикличном изменении объема эластичной камеры 7 при ее деформации роликами 8. При вращении турникета 1 с тремя роликами 8 по часовой стрелке происходят всасывание газа и перенос его к выпускному клапану 11, гле газ выбрасывается в атмосферу.

При работе насоса в эластичной камере периодически создается разрежение. С тем, чтобы исключить сжатие камеры атмосферным давлением, в полости 12 насоса создается разрежение. Для этого в корпусе насоса эластичная камера закреплена двумя кольцами 2 таким образом, чтобы образовались две рабочие камеры 5 и 9, причем камера 5 предназначается для откачки рабочего сосуда, а камера 9 — для откачки внутренней полости 12 самого насоса. Камеры 5 и 9 соединены последовательно друг с другом. В каждой рабочей камере установлен свой турникет 1 с тремя роликами.

Существенным недостатком насоса является малый межремонтный период (500—1000 ч) из-за недостаточной прочности и износостойкости деформируемой камеры, которая изготовляется обычно из пластика типа

полиуретана.

### Практические указания по эксплуатации

При аварийном прорыве атмосферы или при заклинивании выпускного клапана 11 эластичная камера 7 может чрезмерно раздуться, что приведет к быстрому выходу ее из строя. Поэтому нельзя начинать откачку сосуда, находящегося при атмосферном давлении, если в насосе уже достигнуто предельное остаточное давление или если насос работает только на откачку собственного объема.

Давление в откачиваемом сосуде не должно превышать давление в собственном объеме насоса более чем на 5·10³ Па: При длительной работе насоса, особенно при давлении более 1000 Па, из-за разогрева заметно снижаются прочностные характеристики материала гибкой камеры и увеличивается износ, уменьшающий ресурс работы насоса.

Насосы этого типа не имеют газобалластного устройства. Поэтому при откачке конденсирующихся паров и газов в выпускном патрубке насоса скапливается конденсат, который не только увеличивает предельное оста-

точное давление, но и нарушает работу насоса. Предельное остаточное давление насосов с деформируемой камерой составляет обычно  $10^{-1}$  Па и определяется главным образом парами воды.

Большую опасность для работы насоса представляет попадание внутрь эластичной камеры посторонних твердых частиц. При наличии такой опасности во входном патрубке насоса должна быть установлена сетка с размерами ячейки  $1 \times 1$  мм.

#### 7.4. ДВУХРОТОРНЫЕ ВАКУУМНЫЕ НАСОСЫ

### Принцип действия

Двухроторные вакуумные насосы, работающие по принципу давно известной воздуходувки Рутса, широко используются в области среднего вакуума. Схема двухроторного вакуумного насоса показана на рис. 7.11.

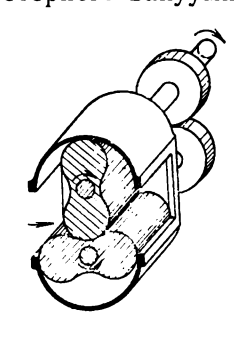


Рис. 7.11. Схема двухроторного вакуумного насоса.

В рабочей камере насоса расподва ротора, напоминающие в сечении цифру 8, синхронно вращающиеся навстречу друг другу. Синхронность вращения обеспечивается с помощью закрепленных на валах роторов шестерен связи, вынесенных за пределы рабочей камеры. Во время работы роторы не касаются друг друга и стенок рабочей камеры, что достигается благодаря их точному профилированию и регулировке зазоров при сборке. Основными достоинствами двухроторных насосов являются отсутствие трения в роторном

ханизме, простота устройства и возможность хорошей динамической балансировки роторов, в связи с чем достигаются большие скорости вращения и высокая быстрота действия насосов при сравнительно малых габаритах и массе.

На рис. 7.12 показан ряд последовательных положений роторов при работе, что помогает понять процесс передачи газа со стороны впуска (слева) на сторону выпуска (направо). Нетрудно видеть, что газ передается постоянными объемами, заключенными между корпусом и впадинами роторов (в положениях a и  $\partial$ —

нижнего, в положении s — верхнего ротора, положения « $\delta$ » и z — промежуточные). Быстрота действия двухроторного насоса определяется объемом, удаляемым впадинами обоих роторов в единицу времени, с учетом обратного перетекания газа с выхода на вход через зазо-

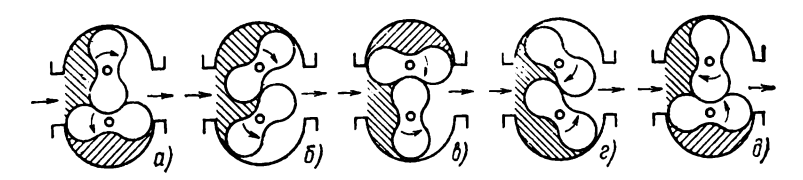


Рис. 7.12. Последовательные положения роторов при работе.

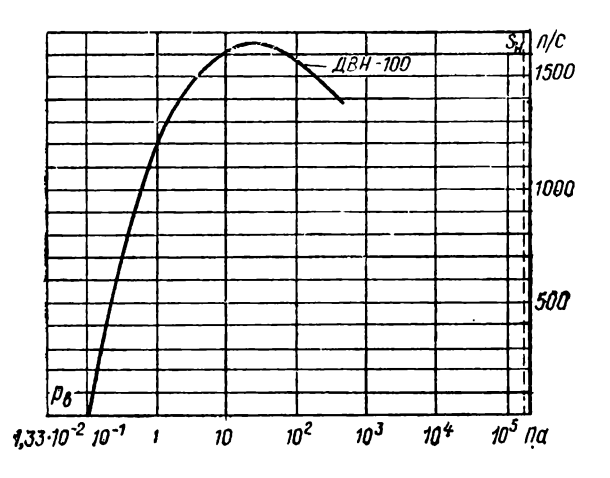


Рис. 7.13. Зависимость быстроты действия двухроторного вакуумного насоса от впускного давления.

ры в роторном механизме. Эти зазоры сравнительно велики (даже у самых маленьких насосов зазоры немногим меньше 0,1 мм), и если бы двухроторные насосы работали с выхлопом в атмосферу, их предельное остаточное давление составляло бы около 104 Па. Поэтому двухроторные насосы имеют на выхлопе форвакуумный насос (чаще всего механический вакуумный насос с масляным уплотнением), иначе они не способны создать низкие давления.

Характерная зависимость быстроты действия двухроторного вакуумного насоса от впускного давления показана на рис. 7.13.

### Конструкция и характеристики

Быстрота действия двухроторного насоса тем больше, чем меньше отношение  $p_{\rm вып}/p_{\rm H}$  (сжатие), т. е. чем больше быстрота действия  $S_{\rm H}$  форвакуумного насоса при неизменном потоке газа.

В двухроторном насосе газ передается со входа на выход порциями постоянного объема, т. е. объем камеры при этом не уменьшается. Сжатие передаваемого газа происходит практически мгновенно от давления  $p_{\rm H}$ до давления рып при сообщении полости, передающей газ. -со стороной выпуска двухроторного (рис. 7.12, верхняя полость), так как в нее устремляется газ со стороны выпуска. Поэтому затрачиваемая двухроторным насосом на выталкивание газа мощность относительно больше, чем она была бы у механического вакуумного насоса с масляным уплотнением, работающего при таких же условиях. Однако этот недостаток при работе в области низких давлений  $10^3 - 10^{-1}$  Па несуществен, так как абсолютное значение этой мощности очень мало. Потери мощности в приводе, подшипниках и шестернях связи также невелики, а трение в роторном механизме отсутствует, поэтому у двухроторных насосов в области давлений менее 6,5 · 102 Па потребление мощности на единицу быстроты действия (удельная мощность) значительно меньше, чем у насосов с масляным уплотнением.

Двухроторные вакуумные насосы часто объединяют в агрегаты с механическими вакуумными насосами, предназначенными для предварительного разрежения. В качестве примера на рис. 7.14 приведен агрегат, состоящий из последовательно соединенного двухроторного насоса с механическим вакуумным насосом. Привод обоих насосов осуществляется от одного электродвигателя.

Применение двухроторных вакуумных насосов особенно целесообразно в системах централизованного форвакуума, при откачке установок обезгаживания и сушки деталей, в которых наблюдаются значительные

114

газовыделения. Двухроторные вакуумные насосы выгодно применять для откачки электровакуумных приборов, не требующих давления, меньшего  $5 \cdot 10^{-2}$  Па.

Состав остаточных газов двухроторных насосов такой же, как и у механических вакуумных насосов с масляным уплотнением, т. е., несмотря на отсутствие смазки в роторном механизме. двухроторные насосы не обеспечивают безмасляного вакуума, так как из-за малых значений наибольшего сжатия (не более 100) пары масла

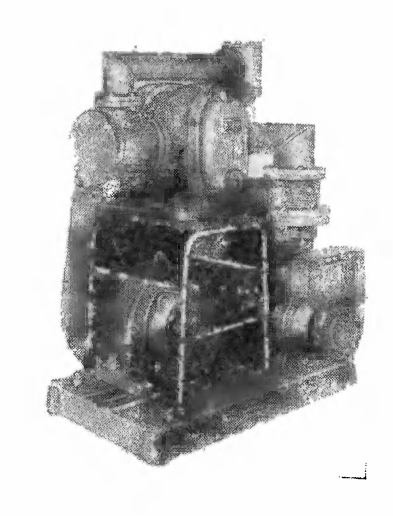


Рис. 7.14. Агрегат, состоящий из механического вакуумного и двухроторного насосов.

поступают на вход со стороны форвакуума из камеры шестерен связи и их подшипников.

## Практические указания по эксплуатации

При эксплуатации двухроторных насосов необходимо периодически контролировать уровень масла в полостях под торцевыми крышками (через смотровые окна), отсутствие течей масла из ввода вращения и исправность механизма насоса (отсутствие подозрительных шумов и стуков при запуске, работе и остановке). Недостижение паспортного предельного остаточного давления обычно связано с течью в системе или во фланцах или с неисправностью форвакуумного насоса, так как течи в двухроторных насосах возникают очень редко (обычно в результате неудачной переборки насоса), а небольшие случайные задиры роторов мало сказываются на предельном остаточном давлении.

### 7.5. ЭЖЕКТОРНЫЕ НАСОСЫ

## Принцип действия

Принцип действия эжекторных насосов состоит в следующем.

8\*

Рабочее тело (газ, пар или вода), имеющее повышенное давление, поступает в сопло 1 (рис. 7.15), где потенциальная энергия сжатого рабочего тела преобразуется в кинетическую энергию струи. Струя, получившая высокую скорость и имеющая низкое статическое давление, на выходе из сопла попадает в камеру смешения 2.

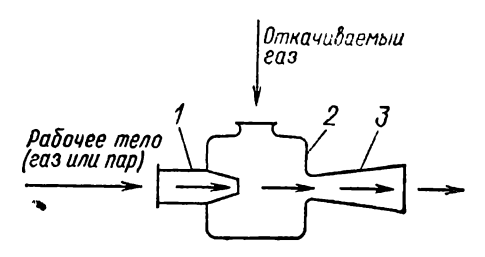


Рис. 7.15. Эжекторное сопло.

В камере смешения откачиваемый газ увлекается рабочим телом и интенсивно смешивается с ним. Эта смесь, обладающая несколько меньшей, но все еще значительной скоростью, попадает в диффузор 3, в котором сжимается за счет перехода кинетической энергии струи в потенциальную энергию давления.

На место удаляющейся из камеры смешения смеси поступают все новые порции газа, которые в свою очередь также смешиваются и увлекаются рабочим телом.

На выходе из диффузора давление смеси будет меньше давления рабочего тела на входе в сопло, но значительно выше давления откачиваемого газа в камере смешения.

Эжекторные насосы работают в области давлений от атмосферного до 1 Па и могут применяться в вакуумных системах в качестве самостоятельных насосов или насосов предварительного разрежения.

## Конструкции и характеристики

Водоструйные насосы предназначаются для откачки воздуха и других газов от атмосферного давления до 100 Па.

На рис. 7.16 показана одна из конструкций водоструйного насоса. Работа насоса основана на использовании откачивающего действия струи воды, которая под давлением 2,5·10<sup>5</sup> Па истекает из сопла 1. Откачи-

ваемый газ в сфере действия струи перемешивается с нею, и смесь воды с газом попадает затем в цилиндрическую камеру 2, за которой установлен расширяющийся диффузор. В диффузоре статическое давление смеси воды и газа за счет уменьшения скорости повышается до атмосферно давления. Смесь воды с газом стекает в бачок 3. откуда сливается в дренажную линию, присоединенную к патрубку 4. Для выхода газа из бачка во фланце 5 предусмотрено отверстие. Насос присоединяется вакуумной системе через 8. Резервуар кран предназначен для приема воды, засасываемой через диффузор из бачка случае аварийного прекращения ее подачи. Че-

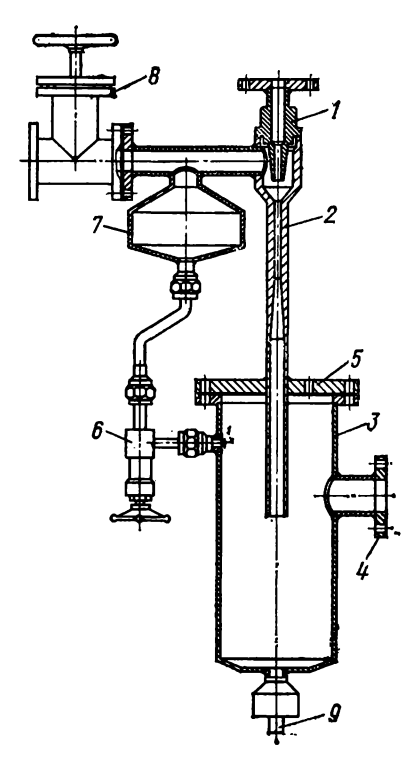


Рис. 7.16. Водоструйный насос.

рез кран 6 подается воздух в резервуар при остановке насоса, что также предотвращает всасывание воды.

Производительность насоса возрастает с повышением давления воды. Предельное остаточное давление насоса практически равно упругости пара воды и увеличивается с повышением ее температуры.

Водоструйные насосы часто применяются в системах безмасляной откачки, например в системе предварительного разрежения высоковакуумного парортутного насоса, для сорбционного насоса, а также в качестве последней ступени пароэжекторного насоса.

Пароэжекторные насосы предназначаются для безмасляной откачки больших сосудов до давлений 1—10<sup>-1</sup> Па. На рис. 7.17 показана принципиальная схема четырехступенчатого пароэжекторного насоса, состоящего из трех пароструйных ступеней 1, 2 и 3 и одной

водоструйной ступени 4, работающей с выхлопом в атмосферу. Как правило, в высокопроизводительных многоступенчатых эжекторных насосах за каждой пароструйной ступенью устанавливаются конденсаторы, в которых пар конденсируется, а газ откачивается последующей ступенью.

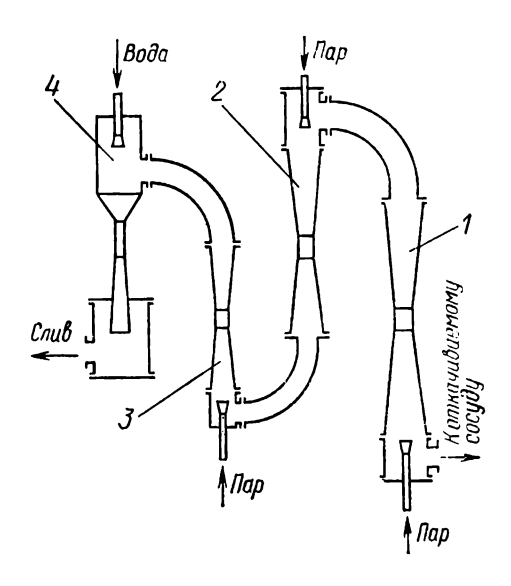


Рис. 7.17. Принципиальная схема многоступенчатого пароэжекторного насоса.

1 — первая пароструйная ступень; 2 — вторая пароструйная ступень; 3 — третья пароструйная ступень; 4 — водоструйная ступень.

В малых насосах ввиду небольшого расхода пара по сравнению с высокопроизводительными насосами в пароструйных ступенях насоса можно обойтись без промежуточных конденсаторов, что позволяет упростить конструкцию и уменьшить габариты насоса, хотя и влечет за собой несколько повышенный расход пара. В насосе, показанном на рис. 7.17, отсутствуют промежуточные конденсаторы. Пар под давлением  $4\cdot10^5$  Па подводится к соплам пароструйных ступеней 1, 2 и 3. При этом каждая последующая пароструйная ступень откачивает не только газ, но и весь рабочий пар, поступивший из предыдущей ступени. Последняя пароструйная ступень 3 откачивается водоструйной ступенью 4, к ко-

торой подается вода также под давлением  $4 \cdot 10^5$  Па. Пройдя через сопло водоструйной ступени, вода поступает в расширительный бак, где гасится скорость водяного потока, и сливается в дренажную трубу.

# 7.6. СТРУЙНЫЕ НАСОСЫ

## Принцип действия

Принципиальная схема струйного насоса, работа которого основана на откачивающем действии паровой

струи, показана на рис. 7.18.

Источником пара является рабочая жидкость (ртуть или вакуумное масло), залитая в кипятильник 2, которая нагревается до рабочей температуры нагревателем 1. Образующийся при нагреве пар по пароподводящей трубе 3 поступает в сопло 5, из которого с большой скоростью истекает в пространство рабочей камеры 6. Откачиваемый газ, поступающий через впускной патрубок 9, захватывается в рабочей камере струей и увлекается ею к охлажденным стенкам рабочей камеры, где пар конденсируется и конденсат по сливной трубке 8 возвращается в кипятильник, а газ, сжатый струей, выбрасывается через выпускной патрубок 10 и откачивается форвакуумным насосом.

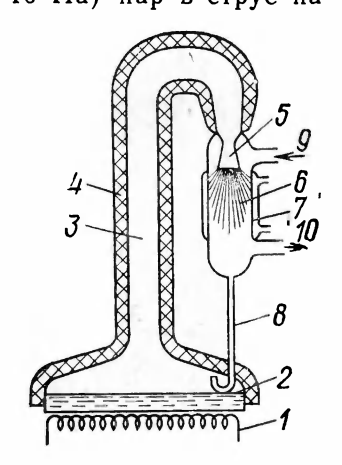
Механизм увлечения газа паровой струей в пароструйных насосах поясняется рис. 7.19. Как уже отмечалось, в эжекторных насосах при высоком давлении откачиваемого газа (105—10 Па) пар в струе на

выходе из сопла должен иметь высокую плотность, чтобы при взаимодействии с откачиваемым газом струя не разрушалась.

В струйных насосах, откачивающих газ с давлением

Рис. 7.18. Принципиальная схема струйного вакуумного насоса.

1— нагреватель; 2— кипятильник с рабочей жилкостью; 3— пароподводящая труба; 4— теплоизоляция; 5— сопло; 6— рабочая камера насоса; 7— холодильник; 6— трубка для стока конденсата в кипятильник; 9— впускной патрубок; 10— выпускной патрубок.



10—10<sup>-1</sup> Па, струя не разрушается при меньшей плотности пара в ней. В данном случае увлечение откачиваемого газа струей пара происходит в результате трения между поверхностью струи пара и прилегающими к ней слоями газа (вязкостный захват), а также вследствие частичной диффузии молекул газа в приповерхностную часть струи (зона струи, ограниченная пункти-



ром на рис. 17.19,а). Подобный механизм увлечения откачиваемого газа паровой струей используется в бустерных насосах.

При более низком давлении откачиваемого газа плотность струи пара может быть еще меньше, так как в механизме увлечения газа струей наряду с вязкостным захватом все большую роль начинает играть диффузия газа в струю.

Наконец, при давлении откачиваемого газа меньше  $10^{-2}$  Па, когда длина свободного пути его молекул становится соизмеримой с размерами рабочей камеры насоса, роль вязкостного захвата газа становится малой, и механизм увлечения газа целиком диффузией определяется молекил газа (рис. 7.19,6). В этих условиях молекулы в результате столкновений с частицами пара получают составляющую скорости в направлении движения струи. Подобный механизм увлечения откачиваемого газа паровой струей используется в высоковакуумных диффузионных насосах.

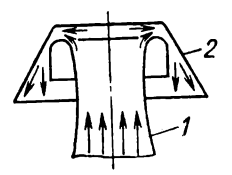
### Конструкции и характеристики

Бустерные (вспомогательные) насосы обладают наибольшей быстротой действия в диапазоне давлений  $10-10^{-1}$  Па и применяются совместно с механическими вакуумными насосами с масляным уплотнением, быстрота действия которых в этом диапазоне дав-

лений практически близка к нулю. В бустерных насосах обеспечивается повышенная плотность струи масляного пара за счет применения легколетучих сортов вакуумного масла, увеличения мощности подогревателей и использования обращенных сопл зонтичного типа (рис. 7.20). Последняя ступень бустерных насосов часто выполняется в виде эжекторного сопла с диффузором, чтобы обеспечить высокое выпускное давление.

Рис. 7.20. Схема обращенного сопла зонтичного типа.

подсопельник;
 зано ваправление движения струи пара.



На рис. 7.21 показана зависимость быстроты действия бустерного насоса от впускного давления.

Диффузионные насосы предназначены для работы в области высокого и сверхвысокого вакуума, т. е. при давлениях ниже  $10^{-1}$  Па. Отличительной осо-

бенностью характеристики диффузионных насосов является постоянство быстроты действия в рабочем диа- 2500 пазоне давлений. Конструктивно диффузионные насосы схожи с бустерными. Однако их выпускное давление обычно на порядок ниже. чем у бустерных, и составляет 10—40 Па. Диффузионные насосы обычно работают при меньших давлениях пара в кипятильнике и требуют относительно меньшую мощность нагревателя.

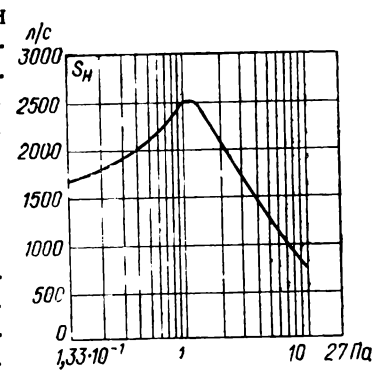


Рис. 7.21. Зависимость быстроты действия бустерного насоса от впускного давления.

Конструкции паромасляных диффузионных насосов имеют ряд особенностей, связанных с использованием в качестве рабочих жидкостей масла или сложных эфиров (см. § 17.4). Это прежде всего устройства, обеспечивающие фракционирование (т. е. разделение на фракции) неоднородных масел, причем тяжелые фракции (с низким давлением насыщенного пара) направляются в сопло первой (высоковакуумной) ступени, чем обес-

печиваются низкое предельное остаточное давление и высокое быстродействие насоса в целом, а легкие фракции (с высоким давлением насыщенного пара) направляются в сопло последней ступени, обеспечивая высокое выпускное давление. Насосы с таким устройством называются фракционирующими или разгоночными. На рис. 7.22, а показано устройство металлического высоко-

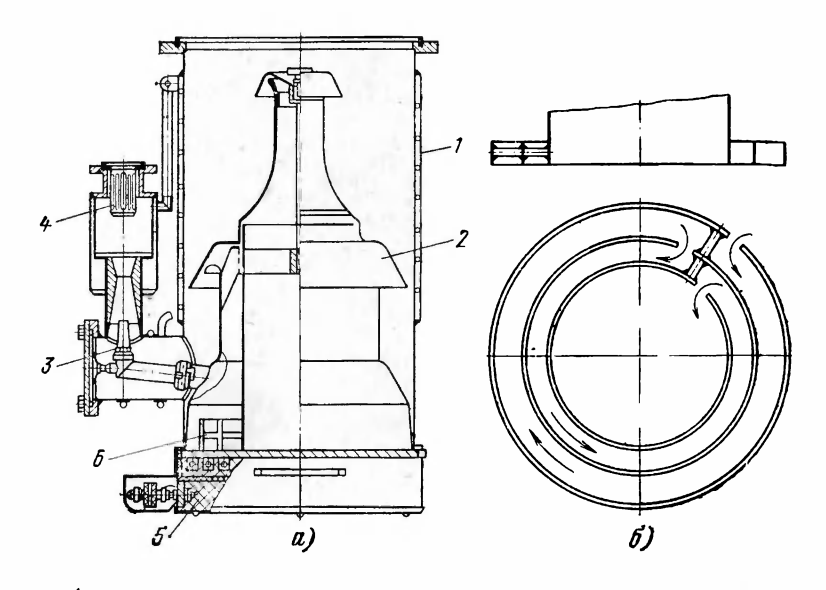


Рис. 7.22. Высоковакуумный диффузионный насос (а) и устройство для фракционирования масла (б).

I — корпус; 2 — паропровод; 3 — эжекторное сопло; 4 — ловушка для паров масла; 5 — электронагреватель; 6 — лабиринтные кольца.

вакуумного фракционирующего диффузионного насоса. Сварной корпус 1 насоса выполнен из малоуглеродистой стали с наваренной на него рубашкой водяного охлаждения. Паропровод 2 с двумя зонтичными соплами изготовлен из алюминия. Последней выходной ступенью насоса является эжектор 3.

Фракционирование масла, стекающего в кипятильник с периферии по стенке корпуса, осуществляется с помощью лабиринтных колец, удлиняющих путь масла (рис. 7.22,6) до поступления в центральную зону кипятильника, откуда питается паром высоковакуумное сопло, так что легкие фракции масла успевают испариться 122

на периферии кипятильника, откуда они поступают во

второе зонтичное и эжекторное сопла насоса.

В непрогреваемых вакуумных системах с резиновыми уплотнителями паромасляные диффузионные насосы обеспечивают предельное остаточное давление около  $5 \cdot 10^{-4}$  Па без ловушек и около  $5 \cdot 10^{-5}$  Па с ловушками, охлаждаемыми кипящим жидким азотом. Характерная

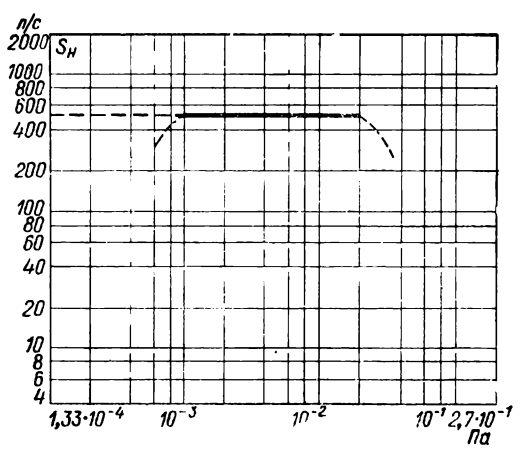


Рис. 7.23. Зависимость быстроты действия паромасляного диффузионного насоса от впускного давления.

зависимость быстроты действия диффузионного насоса  $(S_{\rm H}{=}500~{\rm n/c})$  от впускного давления приведена на рис. 7.23.

Предельное остаточное давление пароструйного диффузионного насоса в значительной мере определяется качеством фракционирования масла и содержанием газов в масле, стекающем в кипятильник, так как чем лучше обезгажено масло, тем меньше газов заносится паровой струей на впуск насоса. Лабиринтные кольца, показанные на рис. 7.22,6, не прилегают плотно к днищу кипятильника, в связи с чем не обеспечивают достаточно полного фракционирования масла. Для улучшения фракционирования масла в современных насосах лабиринтные кольца выполняют непосредственно в днище кипятильника, а паропроводящие трубы сопл плотно надеваются на перегородки соответствующих каналов лабиринтных колец. Обезгаживание масла в насосах улучшено тем, что нижняя часть корпуса не охлажда-

ется (для этого водяную рубашку укорачивают), так что температура масла в нижней части достигает 140°С, а также благодаря удлинению пути конденсата в горячей зоне, для чего на стенке корпуса ниже выпускного патрубка предусмотрена винтовая канавка, по которой конденсат стекает в кипятильник (рис. 7.24).

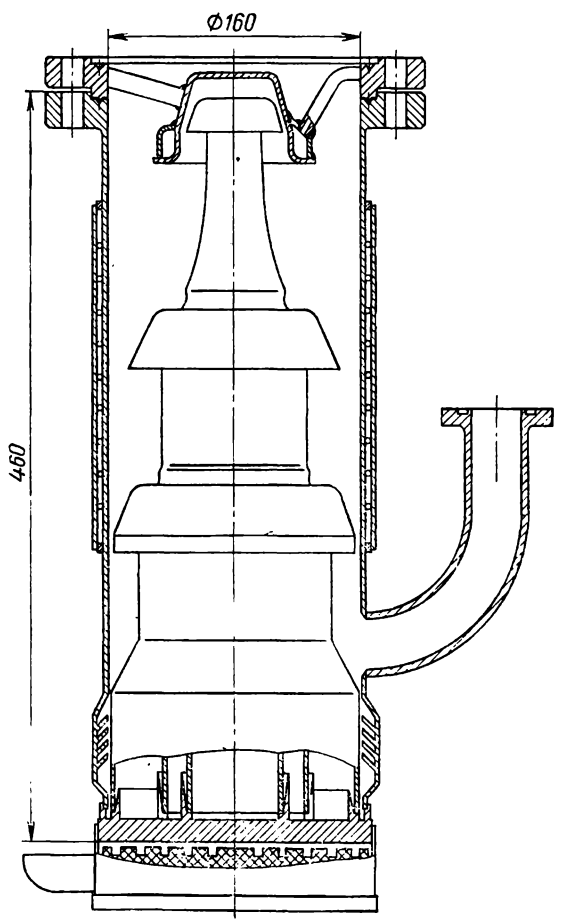


Рис. 7.24. Сверхвысоковаюуумный паромасляный диффузионный насос с улучшенным фракционированием и обезгаживанием масла.

Насос с улучшенным фракционированием и обезгаживанием способен на обычном минеральном масле без применения азотной ловушки создавать предельное остаточное давление  $1 \cdot 10^{-6}$  Па.

Ухудшение условий охлаждения насоса при повышении температуры воды ведет к заметному повышению предельного остаточного давления и уменьшению быстроты действия. Однако в ряде случаев, особенно в передвижных вакуумных установках, например в масс-спек-

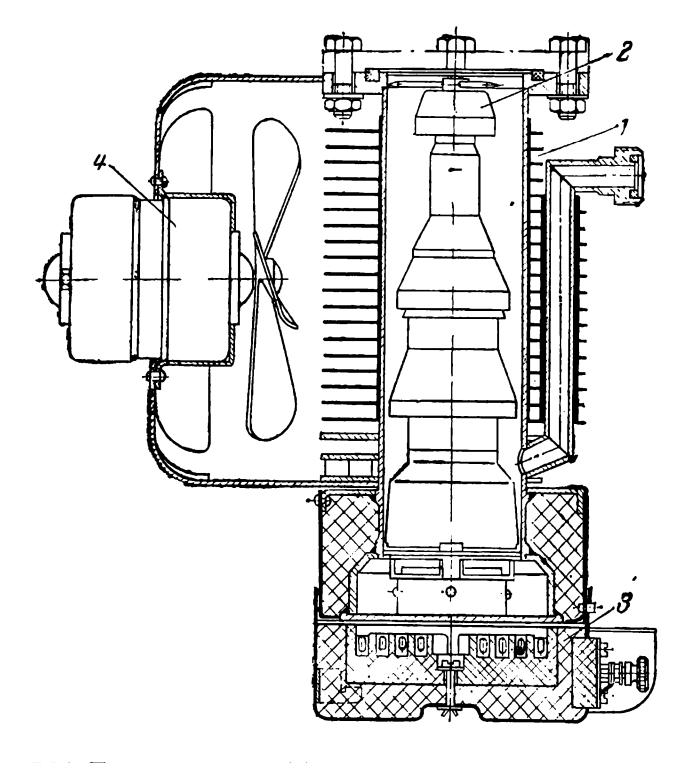


Рис. 7.25. Паромасляный диффузионный насос с воздушным охлаждением.

трометрическом течеискателе, эксплуатация насосов с водяным охлаждением неудобна, и здесь используются небольшие диффузионные насосы с принудительным воздушным охлаждением. Устройство такого насоса показано на рис. 7.25.

Проведенное рассмотрение показывает, что основные характеристики паромасляных насосов (диффузионных и бустерных) определяются как конструкцией насоса, так и родом рабочей жидкости.

<sup>.</sup> 1 — корпус насоса с радиатором; 2 — паропровод; 3 — нагреватель; 4 — вентилятор.

На рис. 7.26 показано влияние мощности подогрева на характеристики насосов. У всех насосов существует порог мощности подогрева I, ниже которого насос не работает совсем. Кривая 2 показывает, что наибольшее выпускное давление  $p_{\text{наиб}}$  возрастает по мере увеличения мощности подогрева; это объясняется увеличением плотности струи. Предельное остаточное давление  $p_{\text{ост}}$ 

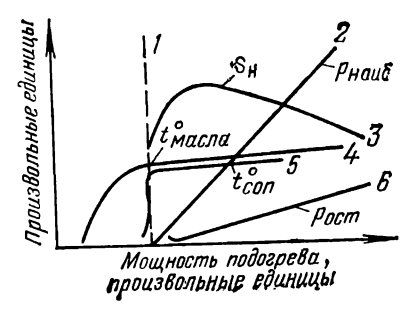


Рис. 7.26. Изменение характеристик паромасляных диффузионных насосов в зависимости от мощности подогрева.

1 — порог; 2 — наибольшее выпускное давление; 3 — быстрота действия; 4 — температура масла в кипятильнике; 5 — температура сопл; 6 — предельное остаточное давление.

(кривая 6) вначале уменьшается, что связано є уменьшением противодиффузии газов через струю по мере увеличения плотности струи, и у паромасляных диффузионных насосов проходит через минимум, лежащий вблизи пороговой мощности подогрева; дальнейшее увеличение предельного остаточного давления объясняется разложением масла в кипятильнике и заносом образующихся легких фракций в сопло первой ступени. Заметим, что в парортутных насосах этого не происходит. Быстро-

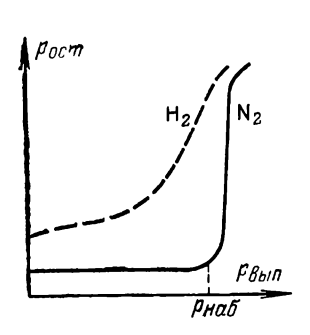


Рис. 7.27. Изменение предельного остаточного давления в паромасляном диффузионном насосе в зависимости от выпускного давления для азота N<sub>2</sub> и водорода H<sub>2</sub>.

та действия  $S_{\rm H}$  (кривая 3) проходит через максимум, что связано с изменением плотности струи.

характеристики Основные пароструйных диффузионных насосов существенно зависят от молекулярной массы откачиваемого газа, что связано бо́льшим коэффициентом диффузии у легких газов (водород, гелий) через паровую струю, чем у тяжелых газов (аргон, азот) [см. § 1.12]. На рис. 7.27 показано влияние выпускного давления азота и водорода на предельное остаточное давление. Увеличение выпускного давления азота в довольно широких пределах не влияет на предельное остаточное давление; только при превышении наибольшего для данного насоса выпускного давления  $p_{\text{наиб}}$  происходит резкое повышение давления на впуске, и насос прекращает работу. Увеличение выпускного давления водорода сразу же сказывается на предельном

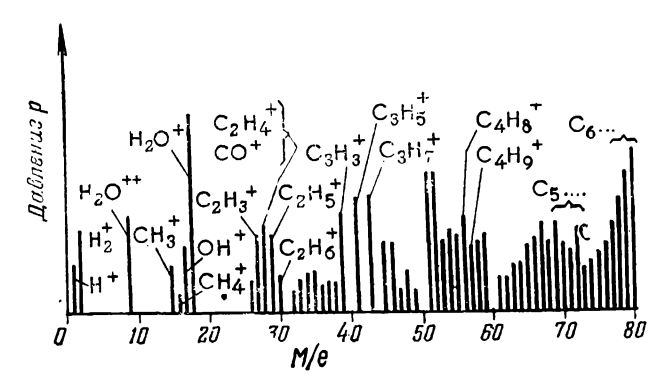


Рис. 7.28. Участок спектра масс остаточных газов паромасляного диффузионного насоса с водоохлаждаемой ловушкой; рабочая жидкость — полифенилметилсилоксан.

остаточном давлении насоса. Теоретическая быстрота действия  $S_{\mathtt{T}}$  паровой струи при молекулярном режиме течения газа определяется проводимостью входного сечения насоса.

Истинная быстрота действия насоса  $S_{\rm H}$  за счет отражения части молекул от струи и противодиффузии газа меньше теоретической  $S_{\rm T}$ ; отношение  $S_{\rm H}/S_{\rm T}$ = $\alpha$  зависит от рода газа и составляет обычно для воздуха 0,3—0,5.

Быстрота действия диффузионных насосов уменьшается как в области высоких давлений, так и в области предельного остаточного давления (рис. 7.23).

Уменьшение быстроты действия диффузионного насоса в области высоких давлений объясняется возрастанием выпускного давления (из-за органиченности быстроты действия форвакуумного насоса) и нарушением работы паровой струи. Уменьшение быстроты действия в области предельного остаточного давления связано с возрастающим влиянием заноса газа в верхнее сопло и противодиффузии газа через струю.

Состав остаточных газов паромасляного диффузионного насоса представляет собой широкий набор углеводородных соединений с массовыми числами до 250. На рис. 7.28 показан участок спектра масс остаточных газов такого насоса до массового числа 80. С помощью эффективных ловушек (см. гл. 9) из состава остаточных газов могут быть исключены практически все углеводородные соединения.

Обратный поток паров масла (см. § 9.1), поступающий в единицу времени с единицы площади сечения впускного патрубка диффузионного насоса, работающего без ловушки, составляет обычно 1—5 мг/(ч·см²). С помощью эффективных ловушек эта величина может быть уменьшена до 1·10-5—1·10-6 мг/(ч·см²). Резкие непродолжительные увеличения обратного потока паров масла имеют место в периоды запуска и остановки насоса, когда паровая струя еще не сформировалась или уже потеряла форму.

Часто диффузионный насос с затвором, маслоотражателем и ловушкой выполняется как единая вакуумная установка, которая называется вакцимным агрегатом.

## Практические указания по эксплуатации

Струйные насосы должны эксплуатироваться только с рекомендованной рабочей жидкостью, для которой заводом-изготовителем (разработчиком) выбраны критические проходные сечения сопл и режим эксплуатации. Эксплуатационные мероприятия сводятся в основном к сохранению количества и качества рабочей жидкости в насосе и к мерам защиты откачиваемого сосуда от чрезмерного проникновения в него паров масла. Для этого следует придерживаться обычной последовательности операций при запуске насоса: откачать пароструйный насос форвакуумным насосом, включить подачу охлаждающей воды, включить нагреватель (при этом возможно небольшое увеличение давления за счет газовыделения из разогревающегося масла): после запуска насоса (через 30-60 мин в зависимости от его размеров) охладить азотную ловушку и медленно открыть затвор или кран на входе насоса (при этом давление в откачиваемом сосуде должно быть не выше рекомен дованного начального давления). Остановка насоса всегда начинается с закрытия затвора, затем размора-128

живается азотная ловушка и после этого выключается нагреватель. Форвакуумная откачка и водяное охлаждение прекращаются после охлаждения кипятильника, которое можно ускорить, сняв натреватель и обдувая кипятильник воздухом. В некоторых насосах в днище кипятильника имеются каналы водяного охлаждения, что значительно сокращает время охлаждения насоса.

Рассмотрим аварийные ситуации. При разгерметизации откачиваемого сосуда или прекращении подачи охлаждающей воды должен быть перекрыт затвор на впуске насоса и отключен нагреватель; форвакуумная откачка при этом продолжается.

При аварийной остановке форвакуумного насоса должны быть перекрыты форвакуумный кран и затвор на впуске, а также отключен нагреватель.

При выходе из строя нагревателя должен быть пере-

крыт затвор на впуске.

Работа нагревателя при повышенном давлении в насосе (например, если забыли включить форвакуумную откачку или при аварии в форвакуумной системе некоторое время не был отключен нагреватель) ведет к перегреву рабочей жидкости. В таких случаях следует до начала форвакуумной откачки дать рабочей жидкости несколько остыть, отключив нагреватель, в противном случае бурное вскипание перегретой рабочей жидкости приводит к сильным выбросам ее из насоса. Некоторый унос рабочей жидкости в форвакуумную коммуникацию происходит при прохождении через разогретый насос больших потоков газа.

#### 7.7. ТУРБОМОЛЕКУЛЯРНЫЕ НАСОСЫ

### Принцип действия

Принцип действия турбомолекулярного насоса основан на сообщении молекулам разреженного газа направленной дополнительной скорости быстро движущейся твердой поверхностью.

Схема турбомолекулярного насоса показана на рис. 7.29. Рабочий механизм насоса образован роторными 3 и статорными 2 дисками, имеющими радиальные косые пазы — каналы, боковые стенки которых наклонены относительно плоскости диска под углом 40—15°; причем пазы статорных дисков расположены зеркально относительно пазов роторных дисков (рис. 7.30). Между 9—1081

статорными дисками и валом ротора и между роторными дисками и корпусом насоса имеются зазоры.

При молекулярном режиме течения газа в насосе, т. е. при давлениях ниже 1—10—1 Па, такая система подвижных и неподвижных пазов обеспечивает преимущественное прохождение молекул газа в направлении

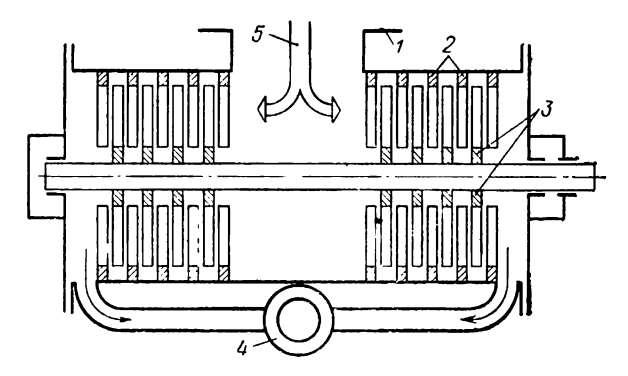


Рис. 7.29. Принципиальная схема турбомолекулярного насоса. 1 — корпус; 2 — етаторные диски; 3 — роторные диски; 4 — выпускной патрубок; 5 — впускной патрубок.

откачки (слева направо на рис. 7.30). Действительно. молекула газа, прощедшая через статорный паз (или отразившаяся от статорного диска и движущаяся к роторному диску слева), попав в паз роторного диска. имеет большую вероятность пройти через него, так как боковая стенка 1 роторного паза уходит с пути молекулы, а стенка 2 не может ее нагнать, в то время как такая же молекула, подходящая к роторному диску справа, т. е. против направления откачки, вошедшая в паз, будет с большой вероятностью задержана стенкой 2 роторного паза и отражена обратно в направлении откачки. Молекулы, отраженные роторным диском, кроме тепловой скорости, приобретают дополнительную скорость. Эта скорость равна окружной скорости роторного диска и направлена параллельно оси насоса (на рис. 7.30 вправо). Благодаря соответствующему углу наклона боковых стенок статорного паза здесь также обеспечивается преимущественное прохождение молекул в направлении откачки.

Таким образом, каждая ступень, состоящая из роторного и статорного дисков, создает перепад давлений причем наибольшее отношение давлений по обе стороны

(степень сжатия) ступени  $(p_2/p_1)_{\text{Makc}}$ равно приблизительноотношению  $\Sigma_{1-2}/\Sigma_{2-1}$  вероятностей перехода молекул через паз в направлении откачки  $\Sigma_{1-2}$  и в обратном направлении  $\Sigma_{2-1}$ , а наибольшая возможная быстрота ступени  $(при p_1 = p_2)$  пропорциональна раз- $\Sigma_{1-2}$ — $\Sigma_{2-1}$ . В области достигнутых окружных скоростей в современных промышленных турбомолекулярных насосах разность  $\Sigma_{1-2}$ — $\Sigma_{2-1}$  почти линейно зависит от  $v_{\text{OND}}/u_{\text{B}}$ , т. е. эффективность насоса возрастает с ростом окружной скорости  $v_{\text{окр}}$  ротора и с уменьшением наиболее вероятной скорости молекул  $v_{\rm B}$ .

Расчеты показывают, что максимальная быстрота действия достигается при угле наклона пазов около 30°. С другой стороны для получения достаточно высокой степени сжатия в одной ступени (от 3 до 5) угол наклона паза должен быть не более 20°. Поэтому в современных

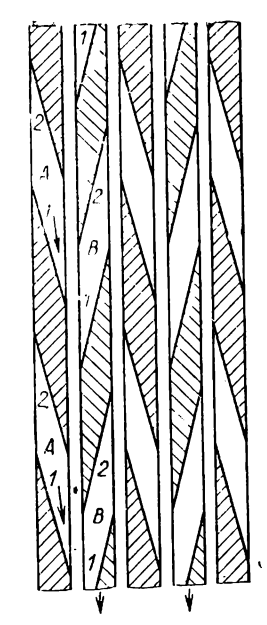


Рис. 7.30. Роторные и статорные диски с пазами (вид по радиусу).

насосах высоковакуумные ступени выполняются с углом наклона 35°, а все остальные — 20°.

Для «быстрых» молекул (легких газов) окружная скорость ротора является относительно меньшей, чем для «медленных» молекул (тяжелых газов), поэтому коэффициент сжатия ступени заметно меньше для легких газов. Каждый роторный и статорный диск создает небольшой перепад давлений, однако благодаря большому количеству последовательных ступеней (30—40) обеспечивается высокий коэффициент сжатия насоса в целом (10<sup>2</sup>—10<sup>3</sup> по водороду, 10<sup>7</sup>—10<sup>9</sup> по азоту).

Так как турбомолекулярные насосы имеют очень высокий коэффициент сжатия для тяжелых газов, то во время работы эти насосы являются надежным барьером против проникновения тяжелых молекул масла из форвакуумной полости насоса.

### Конструкции и характеристики

Внешние виды отечественных турбомолекулярных насосов (с горизонтальным ротором и вертикальным ротором) показаны на рис. 7.31. Высокая надежность насосов достигается тем, что они приводятся во вращение от высокочастотного электродвигателя, ротор которого расположен в форвакуумной полости на общем

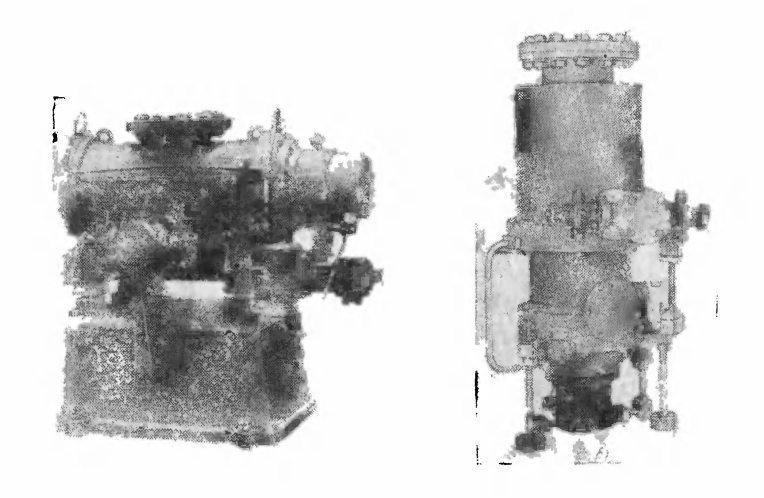


Рис. 7.31. Турбомолекулярные насосы. a-c горизонтальным ротором; b-c вертикальным ротором.

валу с ротором насоса. Таким образом, исключается вакуумный ввод вращения, манжеты которого подвержены износу. Ротор вращается с частотой около 18 000 об/мин и перед сборкой насоса подвергается тщательной динамической балансировке, что обеспечивает работу насоса без шума и вибраций, а также долговечность подшипников. Смазка подшипников осуществляется маслонасосом, имеющим небольшой собственный электродвигатель. В случае аварийного отключения электроэнергии подача смазки прекращается, а ротор турбомолекулярного насоса способен по инерции вращаться еще 40—60 мин. Однако это не ведет к повреждению подшипников, имеющих текстолитовые сепараторы.

Небольшой поток воды используется для охлаждения статорной обмотки электродвигателя и торцевых крышек, отделяющих подшипники от полости на выходе из последнего форвакуумного диска насоса, с тем чтобы уменьшить в этой области давление паров масла.

На рис. 7.32 показан состав остаточных газов в турбомолекулярном насосе. Из рисунка видно, что основтым остаточным газом является водород (массовое

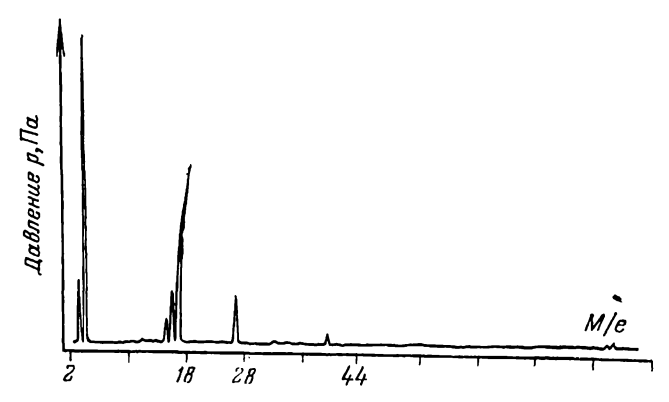


Рис. 7.32. Спектр остаточных газов в турбомолекулярном насосе.

число 2). Кроме того, содержится небольшое количество паров воды (массовое число 18), смесь окиси углерода и азота (массовое число 28) и двуокиси углерода (массовое число 44). Таким образом, в остаточных газах тяжелые углеводородные соединения не обнаруживаются и турбомолекулярные насосы с достаточным основанием считаются безмасляными средствами откачки, хотя в их форвакуумных полостях присутствуют пары масла, используемого для смазки подшипников насоса, и пары масла, попадающие туда из механического вакуумного насоса.

На рис. 7.33 показана зависимость быстроты действия турбомолекулярного насоса ( $S_H$ =200 л/с) от впускного давления. Как видно, быстрота действия остается постоянной в широком диапазоне давлений — от  $10^{-1}$  Па, когда начинает сказываться изменение режима течения газа через диски насоса, до  $10^{-6}$  Па, когда на быстроту действия оказывает влияние водород, выделяющийся из стенок насоса и перетекающий со стороны форвакуумной полости насоса.

Предельное остаточное давление турбомолекулярных насосов составляет  $10^{-7}$ — $10^{-8}$  Па.

Достоинства турбомолекулярных насосов — быстрый запуск, малая селективность при откачке различных газов, отсутствие паров масла и продуктов его разложения в остаточной атмосфере, возможность получения сверхвысокого вакуума без использования ловушек на входе. Механизм насоса не повреждается при прорывах

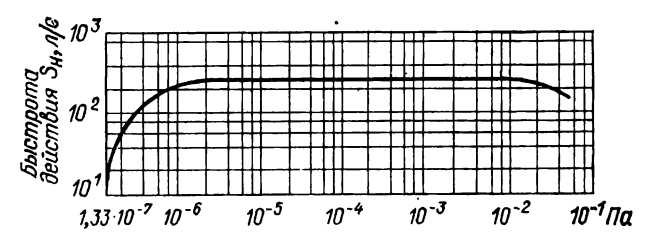


Рис. 7.33. Зависимость быстроты действия турбомолекулярного насоса с быстротой действия 200 л/с от впускного давления.

атмосферного воздуха. Все это обусловило их широкое применение во многих отраслях науки и промышленности.

### Практические указания по эксплуатации

При эксплуатации турбомолекулярных насосов необходимо контролировать поступление масла к подшипникам (для чего в насосе предусмотрены смотровые окна) и отсутствие шумов, появление которых свидетельствует об износе подшипников. Недопустима длительная выдержка остановленного турбомолекулярного насоса под форвакуумным давлением (ниже 10 Па), так как при этом пары масла могут проникнуть со стороны форвакуума через роторный механизм на сторону высокого вакуума. Остановленный турбомолекулярный насос должен быть заполнен осушенным воздухом или азотом до атмосферного давления через кран, имеющийся в форвакуумном патрубке насоса.

Небольшое количество паров масла, попавшее на вход турбомолекулярного насоса, обычно легко удаляется прогревом корпуса в области впускного патрубка до 100—120°С при работающем турбомолекулярном насосе.

Большую опасность для работы насоса представляет попадание в него твердых частиц. При наличии такой опасности во входном патрубке насоса должна быть установлена металлическая сетка с размерами ячейки 1×1 мм.

# 7.8. АДСОРБЦИОННЫЕ НАСОСЫ

Принцип действия адсорбционных насосов основан на способности предварительно обезгаженных твердых пористых тел поглощать газы и пары в основном за счет физической адсорбции.

Адсорбционные насосы нашли применение в системах безмасляной откачки как для создания предварительного разрежения, так и для получения и поддержания весьма низких давлений в высоковакуумных сосудах. В качестве поглощающих материалов (адсорбентов) могут применяться силикагели, алюмогели, цеолиты и активированные угли.

Однако наибольшее распространение в качестве адсорбента получили *цеолиты*, представляющие собой алюмосиликаты щелочного или шелочноземельного металла, природного или искусственного происхождения. Характеристики структуры цеолитов приведены в табл. 7.1. Пористую структуру и очень хорошие адсорбирующие свойства они приобретают после прокаливания; при этом кристаллическая решетка не разрушается, и после удаления кристаллизационной воды в цеолитах получаются очень равномерные по размерам тон-

Таблица 7.1 Характеристики некоторых цеолитов

Марка цеолита	Средний диа- метр пор, нм	Объем пор. Х₁0 <sup>-4</sup> м³/кг	Адсорбционный объем гранулированного цеолита. ×10 <sup>-4</sup> м³/кг	Максимальная адсорбция азота, ×104 м³-Па/кг
ĶΑ	0,3			
NaA	0,4	2,8	1,9	1,57
CaA	0,5		2,0	1,60
CaX	0,7	3,0	2,3	1,86
NaX	0,8-0,9	3,2		

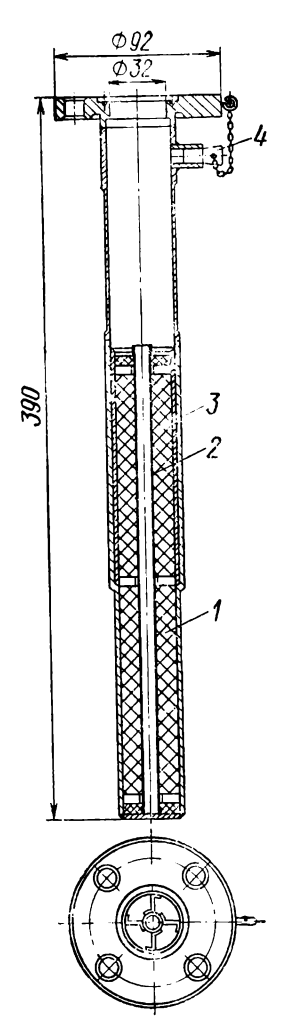


Рис. 7.34. Адсорбционный насос.

кие поры. В поры могут пронитолько те газы, диаметр молекул которых меньше размера пор. т. е. цеолиты обладают избирательным поглощением газов, и это дало повод называть ситами». «молекулярными Например. цеолит марки СаА обладает порами с диаметром 0.5 нм. цеолит марки NaX— 0,9 нм. Напомним, что диаметры молекул основных атмосферных газов O<sub>2</sub>, N<sub>2</sub>, CO<sub>2</sub> близки к 0,3 нм. Многочисленные поры образуют большую удельную поверхность. Так, у цеолита СаА поры имеют удельную поверхность, достигаюшую 600 м<sup>2</sup>/г.

Недостатками цеолитов, как, впрочем, и других адсорбентов, являются то, что они плохо поглощают инертные газы, в частности аргон, содержание которого в воздухе достигает 1%, а также практически полная их неэффективность по отношению к газам с очень низкой точкой кипения (H<sub>2</sub>, He, Ne).

С увеличением количества поглощенного газа при неизменной температуре адсорбента возрастает равновесное давление откачиваемого газа. Вместе с тем при одном и том же количестве поглощенного газа равновесное давление над поверхностью адсорбента тем меньше, чем ниже его температура. Поэтому в ва-

куумных адсорбционных насосах адсорбент обычно охлаждается жидким азотом и, реже, жидким водородом или гелием.

Устройство адсорбционного насоса показано на рис. 7.34. В цилиндрический корпус 3, изготовленный из пержавеющей стали, вставлена перфорированная

грубка 2. Кольцевое пространство между трубкой и корпусом заполнено адсорбентом 1. Для охлаждения адсорбента на насос снизу одевается сосуд Дьюара, в который заливают жидкий азот. После окончания откачки кран на входе насоса закрывается, сосуд Дьюара снимают, и насос отогревается до комнатной температуры. При этом вследствие обратного выделения газа из адсорбента давление в объеме насоса может превысить атмосферное. В связи с этим в верхней части насоса предусмотрен клапан (пробка) 4, предохраняющий насос от разрушения при выделении газа из адсорбента. Такого отогрева с выпуском выделяющихся газов в атмосферу достаточно, чтобы насос был готов к следующему циклу откачки.

Предельное остаточное давление адсорбционного насоса определяется адсорбционной емкостью адсорбента и зависит от количества поглощенного насосом газа.

С целью получения низких предельных остаточных давлений рекомендуется осуществлять предварительную откачку сосуда до давления 10<sup>4</sup> Па водоструйным или механическим вакуумным насосом. Иногда в качестве насоса для форвакуумной откачки используют другой также адсорбционный насос.

Основным достоинством адсорбционных насосов является полное отсутствие органических загрязнений откачиваемого сосуда. Недостатки насосов — необходимость использования жидкого азота, периодическая регенерация и довольно значительное время охлаждения насоса.

#### 7.9. ИСПАРИТЕЛЬНЫЕ ГЕТТЕРНЫЕ НАСОСЫ

### Принцип действия

Испарительные геттерные насосы относятся к сорбционным насосам, в которых поглощение газов осуществляется за счет физической адсорбции, хемосорбции, химических реакций и растворения газов в пленке металлического геттера, создаваемой методом термического испарения. В качестве геттера в таких насосах может быть, вообще говоря, использован любой активный металл, применяемый для распыляемых геттеров в электровакуумных приборах; однако из условий эксплуатационного удобства в промышленных насосах применяется пока только титан. Титан образует прочные

Велетучие соединения или твердые растворы почти со всеми газами, имеющимися в вакуумных системах, за исключением инертных газов и углеводородов. Отличне в механизме поглощения различных газов приводит к тому, что быстрота действия испарительных геттерных насосов по разным газам неодинакова [см. (6.2)].

Равновссное давление газа над пленкой геттера зависит от се температуры, свойств образующихся соединений, от степени насыщения пленки газом и т. п. В насосах постоянно обновляемая пленка геттера непрерывно поддерживается в активном состоянии, поэтому предельное остаточное давление насоса определяется газовыделением из распыленного геттера и элементов конструкции насоса.

Отметим, что на поверхности титановой пленки при комнатной температуре происходит реакция синтеза метана, образующегося из всегда присутствующих в системе углерода и водорода.

При охлаждении титановой пленки до температуры кипения жидкого азота скорость реакции синтеза метана резко уменьшается, а быстрота действия насоса по активным газам ( $N_2$ ,  $O_2$ , CO и  $H_2$ ) возрастает из-за увеличения их коэффициента прилипания.

Коэффициент прилипания для чистых пленок титана, не сорбировавших газы, при комнатной температуре составляют 0.4-0.5 для  $N_2$ ; 0.6-0.7 для  $O_2$  и CO и примерно 0.05 для  $H_2$ ; при охлаждении пленки жидким азотом коэффициент прилипания увеличивается до 0.9-1 для  $N_2$ ,  $O_2$ , CO и до 0.4-0.5 для  $H_2$ .

### Конструкции и характеристики

На рис. 7.35 показана схема сверхвысоковакуумного агрегата, состоящего из испарительного геттерного насоса 1, азотной ловушки 4 и паромасляного диффузионного насоса 5.

В испарительном геттерном насосе титан конденсируется на внутренней стенке цилиндрического экрана 6, охлаждаемой жидким азотом, подаваемым из сосуда Дьюара 2. Испаритель титана 3 содержит запас титановой проволоки и механизм для ее периодической подачи в водоохлаждаемый медный тигель — анод. Испарение титана происходит путем разогрева титановой проволоки электронной бомбардировкой с помощью имеющейся в испарителе электронной пушки. Такой спо-

соб нагрева обеспечивает значительную скорость испарения титана при минимальном тепловом излучении, что определяет сравнительно небольшой расход азота (приблизительно 5 л/ч). Небольшой экран, установленный вблизи испарителя, практически исключает попадание титана в откачиваемый сосуд.

Предельное остаточное давление агрегата составляет  $10^{-10}$  Па, быстрота действия по водороду в диапазоне давлений  $10^{-4}$  —  $10^{-8}$  Па в 2,8 раза больше, чем по азоту. Такая разница в быстроте действия по этим газам объясняется главным образом более высокой проводимостью входного патрубка насоса по водороду.

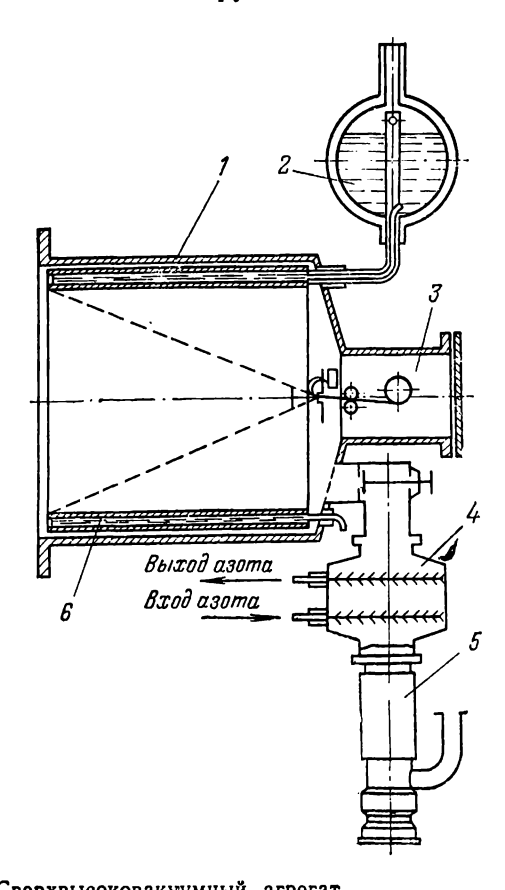


Рис. 7.35. Сверхвысоковакуумный агрегат.

1 — испарительный геттерный насос; 2 — сосуд Дьюара; 3 — испаритель тить Ва; 4 — адотная ловушка; 5 — наромасляный диффузионный насос; 6 — экран.

В некоторых вакуумных установках (для исследования термоядерных реакций, имитации космических условий и т. п.) титан конденсируется на охлаждаемые жидким азотом экраны, установленные непосредственно внутри сосуда, причем рабочая зона сосуда экранирована от попадания паров титана. Такое устройство получило название азотит. При этом достигаются высокая быстрота действия (до сотен тысяч л/с) и предельное остаточное давление до  $10^{-10}$  — $10^{-11}$  Па.

#### 7.10. ЭЛЕКТРОДУГОВЫЕ ГЕТТЕРНЫЕ НАСОСЫ

### Принцип действия

Испарение геттера в электродуговых геттерных насосах происходит с поверхности титанового катода за счет высокой концентрации энергии в катодном пятне электрической дуги постоянного тока. Плотность тока в катодном пятне достигает  $10^{10}$  —  $10^{11}$   $A/\text{m}^2$ .

Катодное пятно хаотически перемещается по поверхности титана, благодаря чему обеспечивается равномерное испарение материала катода.

Благодаря тому, что дуга горит в парах испаряющегося металла, создаются условия для ее стабильного горения при сколь угодно низком давлении остаточных газов.

### Конструкции и характеристики

На рис. 7.36 приведена одна из конструкций электродугового геттерного насоса.

В корпусе 1, являющемся анодом системы, размещен катод 2 с поджигающим устройством 3, собранные на общем фланце 4. Катод 2 представляет собой титановый диск, который крепится титановыми шпильками к медному основанию 5, охлаждаемому водой. Боковые поверхности основания 5, титанового диска и электрического ввода 6 закрыты металлическим экраном 7, предотвращающим возникновение дуги между поверхностями этих деталей и корпусом насоса — анода. В экране 7 предусмотрен вырез для подвода поджигающего электрода 8. Поджигающий электрод через балластное сопротивление, ограничивающее ток короткого замыкания, соединен с корпусом насоса. Питание дуги осуществляется от источника постоянного тока.

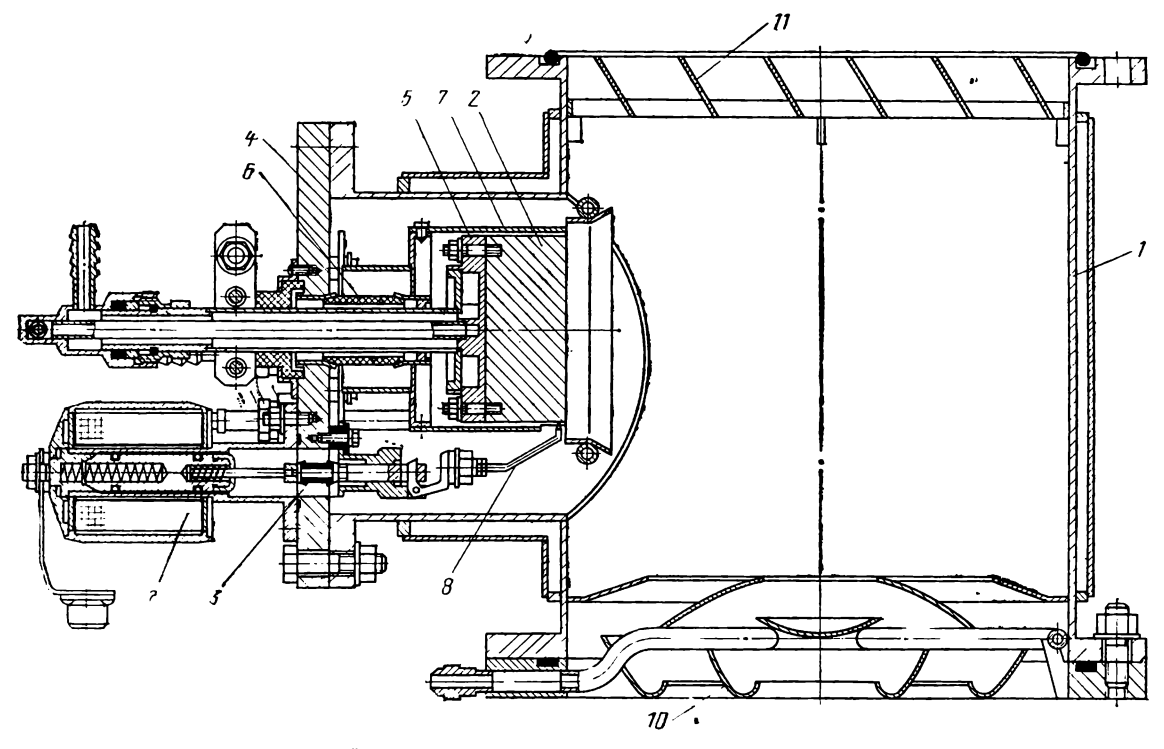


Рис. 7.36. Электродуговой геттерный насос.

Возбуждение дуги производится кратковременным закорачиванием катода с поджигающим электродом. Для этого подают напряжение на электромагнит 9, который подводит электрод 8 к катоду 2. В момент отвода электрода 8 возвратной пружиной между катодом 2 и анодом — корпусом насоса возникает устойчивая электрическая дуга. Напряжение поджига дуги лежит в пределах 25-35 В, а ток стабильного горения дуги составляет примерно 140 А при напряжении 20—21 В. Ско рость испарения титана при этом достигает 15-17 г/ч. Для уменьшения скорости испарения титана с целью более рационального его расходования применяют периодический режим работы насоса. Причем чем ниже давление в откачиваемом сосуде, тем больше делают па-**УЗУ МЕЖДУ МОМЕНТАМИ ВКЛЮЧЕНИЯ НАСОСА.** 

При испарении титана на стенках насоса непрерывно образуется свежая активная пленка, на поверхности которой и происходит поглощение активных газов.

Для откачки инертных газов к нижнему фланцу насоса через водоохлаждаемую ловушку 10 присоединяется дополнительный паромасляный диффузионный насос, быстрота действия которого должна составлять 2—5% быстроты действия электродугового геттерного насоса.

Верхним фланцем, в сечении которого установлен отражательный экран 11, насос подсоединяется к откачиваемому сосуду. Экран 11 предусмотрен для предотвращения попадания испаряющегося титана во внутреннюю полость откачиваемого сосуда.

Быстрота действия геттерных электродуговых насосов может достигать  $10^4-10^5$  л/с. Предельное остаточное давление насоса составляет  $10^{-5}$  Па при откачке инертных газов дополнительным насосом и  $(5-2) \times 10^{-4}$  Па без такой откачки дополнительным насосом.

Электродуговые геттерные насосы используют простые источники питания, снабжены большим количеством геттерного материала и просты по устройству.

#### 7.11. HOHHO-SETTEPHUE HACOCU

## Принцип действия

Геттерные насосы малоэффективны при откачке инертных газов и для получения низких предельных остаточных давлений (менее  $10^{-4}$   $\Pi a$ ) требуют приме

нения дополнительных насосов. В то же время при возбуждении и ионизации откачиваемых газов электронным потоком или в электрическом разряде поглощение газов титановой пленкой идет более интенсивно, причем благодаря ионизации откачиваются и инертные газы.

В современных ионно-геттерных насосах обычно совмещены геттерные и ионные методы откачки. Принцип действия ионно-геттерных насосов основан на поглощении газов периодически или непрерывно наносимой пленкой титана и улучшении откачки инертных газов и углеводородов путем ионизации и улавливания положительных ионов. Испарение титана в ионно-геттерных насосах происходит, как правило, из твердой фазы.

### Конструкции и характеристики

Принципиальная схема ионно-геттерного насоса представлена на рис. 7.37. Испарение титана на стенки водоохлаждаемого корпуса 4 насоса производится из твердой фазы с прямонакальных испарителей 2, пред-

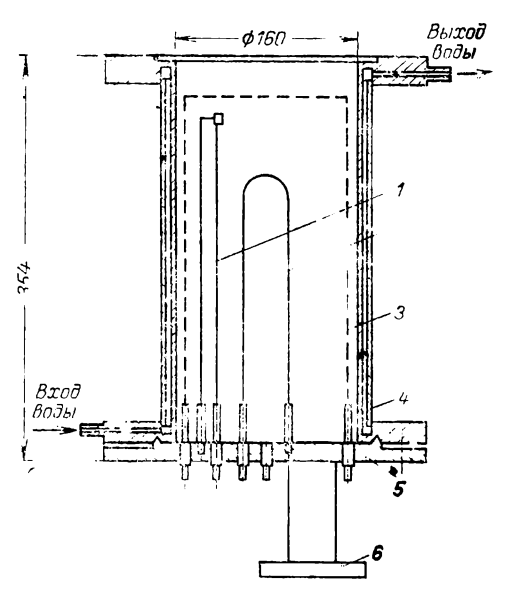


Рис. 7.37. Схема ионно-геттерного насоса.

1 — вольфрамовый катод; 2 — испаритель титана; 3 — анод; 4 — корпус; 5 — фланец; 6 — патрубок для присоединения насоса предварительной откачки.

ставляющих собой молибденовый U-образный стержень (кери), на который нанесен слой титана.

Йонизация, необходимая для откачки инертных газов и углеводородов, осуществляется электронами, эмиттируемыми термокатодом 1.

Эффективность ионизации повышена за счет увеличения длины пробега электронов. Это достигается применением «прозрачного» для электронов анода 3, на ко-

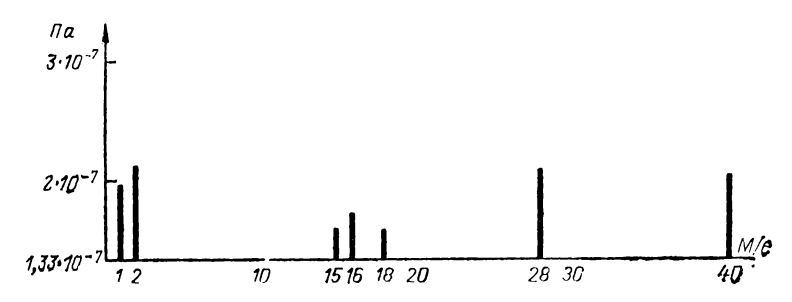


Рис. 7.38. Состав остаточных газов в ионно-геттерном насссе.

горый подается положительное относительно катода напряжение 1000—1200 В. Анод 3, выполненный из молибденовой проволоки, используется также и в качестве внутреннего нагревателя для обезгаживания насоса при подготовке его к работе.

Коллектором ионов является корпус насоса с напыленной титановой пленкой, в которую и внедряются образовавшиеся ионы.

Таким образом, так же как и в геттерных насосах, химически активные газы поглощаются пленкой титана, непрерывно наносимой на внутреннюю поверхность кортуса насоса, а откачка инертных газов осуществляется путем ионизации и последующего внедрения ионов в пленку геттера.

В составе остаточных газов ионно-геттерных насосов (рис. 7.38), помимо обычно присутствующих в вакуумных системах водорода (массовые числа 2 и 1), паров воды (массовые числа 18 и 17), а также азота и окиси углерода (массовое число 28), наблюдаются аргон (массовое число 40) и метан (массовые числа 16 и 15).

Быстрота действия насоса в зависимости от впускго давления для воздуха представлена на рис. 7.39; увеличение быстроты действия при откачке ионно-геттерного насоса дополнительным диффузионным насосом объясняется улучшением откачки инертных газов и в

первую очередь аргона.

Уменьшение быстроты действия при давлениях выше 10-4 Па объясняется большей степенью насыщения пленки титана при высоких давлениях (при постоянной

испарения), ero скорости вследствие чего уменьшается коэффициент прилипания газа.

Предельное остаточное давление геттерно-ионных насоставляет  $10^{-7}$  Па, а давление запуска около  $10^{-1}$  Па, так как при

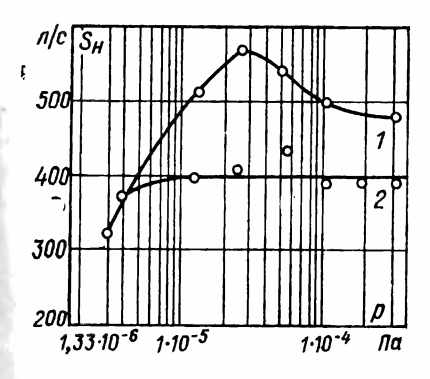


Рис. 7.40.

Рис. 7.39.

Рис. 7.39. Зависимости быстроты действия ионно-геттерного насоса от впускного давления для воздуха.

 1 — с откачкой дополнительным пароструйным диффузионным насосом: 2 без сткачки дополнительным насосом.

Рис. 7.40. Орбитронный ионно-геттерный насос.

1 — изолятор; 2 — катод; 3 — анод; 4 — титановый цилиндр; 5 — корпус; 6 — экран — токоввол катода; 7 — экран анода; 8 — пластина.

более высоких давлениях возникает опасность перегорания вольфрамового катода.

Дальнейшим развитием ионно-геттерных насосов с испарением титана явились орбитронные геттерные насосы, в которых удачно сочетаются простота конструкций с высокой стабильностью работы. Схема орбитронного ионно-геттерного насоса показана на рис. 7.40.

10-1081

В корпусе  $\hat{s}$  размещен центральный электрол (анод) 3 с титановым цилиндром 4. Верхняя часть электрода 3 защищена трубкой 7. На пластине 8 укреплен керамический стержень 1, на котором крепится катод 2, изготовленный из вольфрамовой проволоки. Токовводом и экраном катода служит проволочка 6 из тантала. Корпус насоса заземлен, а на центральный электрод 3 подается положительное напряжение 4-5 кВ. Пластина и трубка 7 имеют одинаковый с катодом потенциал. Расположение и конфигурация катода и танталового токоввода выбраны так, что осевая и радиальная симметрия электрического поля нарушена. Кроме того, к катоду приложено положительное напряжение смещения (от 50 до 250 В) относительно корпуса насоса. В результате электроны, эмиттируемые катодом, движутся со скоростью, имеющей осевую, радиальную и тангенциальнию составляющие.

Ввиду того, что электрическое поле несимметрично и векторы скоростей электронов направлены под углом к силовым линиям электрического поля, направление движения электронов будет непрерывно меняться и их попадание на центральный электрод, имеющий малое поперечное сечение, затруднено. Попадание электронов на корпус также исключено благодаря положительному смещению на катоде.

В результате электроны движутся по орбитам достаточно долго, проходят большие расстояния, и интенсивность ионизации газа резко увеличивается. Часть электронов, траектории которых проходят вблизи центрального электрода 3, попадает на титановый цилиндр 4 и разогревает его до температуры 1430 К. При этом происходят испарение титана из твердой фазы и его конденсация на внутренней поверхности корпуса насоса.

Так же, как и в предыдущей конструкции ионно-геттерного насоса, откачка активных газов орбитронным ионно-геттерным насосом идет путем поглощения их пленкой титана, непрерывно наносимой на внутреннюю поверхность корпуса насоса.

В отличие от описанного выше ионно-геттерного насоса в орбитронном ионно-геттерном насосе благодаря увеличению длины свободного пути электронов (до нескольких метров) быстрота откачки инертных газов значительно увеличена.

Следует отметить, что примененный в этом насосе испаритель при достаточно большом запасе испаряемого вещества имеет небольшую тепловыделяющую поверхность, что позволяет размещать внутри насоса дополнительный охлаждаемый жидким азотом экран, на который наносится пленка титана, при этом уменьшается предельное остаточное давление насоса (менее  $10^{-11}$  Па).

Большим достоинством геттерно-ионных насосов, как и других сорбционных насосов, является отсутствие рабочей жидкости, что позволяет получать с их помощью вакуум, практически свободный от углеводородных загрязнений (безмасляный вакуум). Эти насосы не требуют охлаждаемых ловушек на входе и часто присоединяются к откачиваемому сосуду без промежуточного крана, благодаря чему эффективно используется быстрота действия насоса. Как все сорбционные насосы, геттерно-ионные насосы не боятся аварийных отключений энергии, так как при этом наблюдается довольно медленный рост давления в откачиваемом сосуде, бесшумны в работе, не создают вибраций, не требуют непрерывной работы насосов предварительного разрежения. Насосы с термическим испарением титана очень быстро запускаются в работу.

Основные недостатки ионно-гетерных насосов с термическим испарением титана состоят в отсутствии саморегулирования скорости испарения активного вещества, наличии накаленных элементов в электродной системе и в некоторой сложности источников электропитания.

## Практические указания по эксплуатации

При использовании геттерных насосов желательно обеспечивать безмасляную предварительную сосуда до давления менее 10-1 Па с помощью адсорбционных насосов или паромасляных диффузионных насосов с эффективными ловушками. Не следует допускать чрезмерно длительной откачки сосуда механическим насосом с масляным уплотнением из-за возможного загрязнения сосуда углеводородами.

насосов связана с необходимостью Эксплуатация периодической чистки внутренних поверхностей насоса

От нанесенной пленки титана.

При механической чистке насосов от слоев нанесенного титана следует использовать респиратор или плотную марлевую повязку для защиты от вдыхания титановой пыли и рукавицы для защиты рук от небольших вспышек на титановой пленке, которые могут возникнуть при использовании металлической щетки.

#### 7.12. МАГНИТНЫЕ ЭЛЕКТРОРАЗРЯДНЫЕ НАСОСЫ

### Принцип действия

В отличие от ионно-геттерных насосов с термическим испарением титана в магнитных электроразрядных насосах для получения активных пленок и для ионизации газов используются разряд в магнитном поле и вызванное им катодное распыление титана. Вследствие этого в магнитных электроразрядных насосах устранен такой

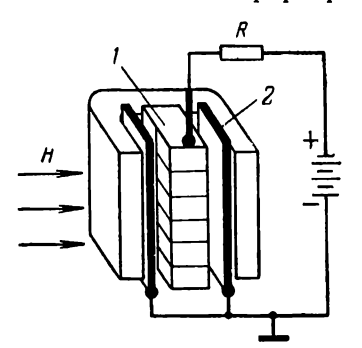


Рис. 7.41. Схема диодного магнитного электроразрядного насоса с источником питапия.

1—анод; 2—катод; R—балластное сопротивление; H—направление магнитного поля.

существенный недостаток, присущий ионно-геттерным насосам, как наличие накаленных элементов электродной системы.

Схема простейшего диодного магнитного электроразрядного насоса показана на рис. 7.41. Анод 1 насоса образован из отдельных разрядных ячеек, с открытых концов которых расположены общие катоды 2 из титана. Эта электродная система помещается в магнитностисти катодов. При подаче

на электроды разности потенциалов в несколько киловольт в ячейках возникает газовый разряд, который благодаря магнитному полю поддерживается в широком диапазоне давлений. Положительные ионы газов, образующиеся в разряде при соударении электронов с молекулами, ускоряются электрическим полем в направлении катодов и внедряются в них, вызывая распыление материала катодов. Распыленный с катодов титан осаждается главным образом на аноде. Активные газы (азот, кислород), присутствующие в вакуумной системе.

попадая на свеженанесенную на аноды пленку, связываются на ней, образуя устойчивые химические соединения с титаном.

Образующиеся при реакциях устойчивые соединения — нитриды или окислы титана — могут возникать и на катоде в момент попадания туда ионов или молекул азота и кислорода. Однако из-за сильного распыления материала катода активные газы в конце концов оказываются в основном на аноде, оставаясь лишь на тех участках катода, которые почти не подвергаются ионной бомбардировке.

Многоатомные газы, пары воды, углекислый газ, аммиак, углеводороды, по-видимому, диссоциируют в разряде. Ионы осколков молекул также вызывают распыление материала катода.

Ионы легких газов (водород, дейтерий, гелий) не вызывают заметного распыления материала катода. Для них более существенным является второй механизм откачки: ионы легких газов, имеющие малые размеры, могут внедряться в матерал катода и диффундировать в него. Таким образом, быстрота действия магнитного электроразрядного насоса зависит от рода газа или пара.

Первоначально относительно высокая быстрота действия насоса по этим газам постепенно уменьшается, особенно для гелия, не образующего с титаном твердых растворов. При бомбардировке материала катода ионами тяжелых газов или при нагреве его разрядом до температуры свыше 470 К наблюдается обратное выделение легких газов. Тяжелые инертные газы — аргон, криптон и ксенон — откачиваются благодаря адсорбции ионов катодом. Вследствие больших молекулярных размеров диффузия этих газов в катод затруднена, и первоначально высокая быстрота действия насоса по этим газам резко уменьшается. Поглощение этих газов происходит в основном на периферийных участках ячеек катодов, куда наносится титан, интенсивно распыляечастей ячеек мый тяжелыми ионами из центральных катодов. При откачке аргона с давлением около  $10^{-3}$  Па и при длительной откачке воздуха с давлением больше 10-3 Па, содержащего 1% аргона, наблюдаются резкие периодические повышения давления, называемые аргонной нестабильностью. Тем не менее присутствие аргона с парциальным давлением меньше 10-3 Па при периодическом обезгаживании насоса оказывается полезным, так как при этом интенсифицируется распыление материала катода и увеличивается скорость откачки активных газов.

Таким образом, важной особенностью магниторазрядных насосов является своеобразная авторегулировка скорости испарения материала катодов, обеспечивающая экономное расходование материала и большой срок службы насоса. Поскольку ионный ток приблизительно пропорционален давлению, он часто используется для оценки давления в насосе и откачиваемом сосуде.

Простота устройства и возможность работы в любом положении также выгодно отличают магнитные электроразрядные насосы от других.

Для понимания работы магниторазрядных насосов, помимо различий в механизме поглощения различных газов, необходимо иметь в виду изменение характера газового разряда с изменением давления. При давлениях больше 10-1 Па ток разряда велик вследствие больщой электропроводности разрядного промежутка: чтобы разряд при этом не перещел в дуговой, ток разряда специально ограничивается (в малых насосах используется балластное сопротивление R, показанное рис. 7.41, в крупных насосах используют более сложные электрические цепи), что приводит к уменьшению падения напряжения на разрядном промежутке. При этом уменьшается энергия ионов и, следовательно, резко снижается скорость распыления материала катодов. Поэтому быстрота действия насоса при высоких давлениях невелика, а относительно большой ток вызывает разогрев электродов и сильное газовыделение, вследствие чего давление в системе повышается. В этих условиях целесообразно продолжать откачку насосом предварительного разрежения до начала периода когда эффект откачки магнитным электроразрядным насосом становится заметным.

В период пуска, который может продолжаться от нескольких минут до нескольких часов в зависимости от состояния и предыстории насоса, давление понижается от 1 до  $10^{-2}$  Па и разряд принимает форму, характерную для высокого вакуума. Сопротивление разрядного промежутка увеличивается, ток уменьшается, и происходит рост анодного напряжения, что ведет к увеличению быстроты лействия насоса. Период пуска за-

вершается относительно быстрым переходом в область высокого вакуума; ток продолжает уменьшаться пропорционально давлению, анодное напряжение и быстрота действия насоса достигают номинальных значений.

## Конструкции и характеристики

Конструкции магниторазрядных насосов довольно разнообразны, что объясняется различиями в условиях их применения. В одних случаях от насоса требуется длительная работа в области предельно низких давлений, в других — насос должен использоваться в циклических производственных процессах с частыми пусками, в ряде случаев от магнитного электроразрядного насоса требуется повышенная эффективность откачки инертного газа и т. п.

Во всех отечественных магнитных электроразрядных насосах геометрические размеры ячейки примерно одинаковы и быстрота действия одной ячейки составляет примерно 1 л/с. Поэтому для получения высокой быстроты действия в насосах используется несколько электродных блоков, каждый из которых содержит большое количество ячеек.

Как отмечалось, недостатком магниторазрядных насосов является длительный период пуска. Кроме того, неохлаждаемые диодные магнитные электроразрядные насосы не могут длительно работать при давлениях больше  $10^{-3}$  Па из-за перегрева электродов.

Этот недостаток устранен в диодных магнитных электроразрядных насосах с водяным охлаждением анодов электродного блока, что позволяет успешно запускать эти насосы при давлении меньше 5 Па и длительно работать при давлении  $10^{-1}$  Па.

В насосах с водоохлаждаемым анодом в отличие от диодных неохлаждаемых насосов высокое отрицательное напряжение подается на катоды, изолированные от корпуса, а анод насоса заземлен. Серия магнитных электроразрядных насосов с охлаждаемыми анодами показана на рис. 7.42.

Состав остаточных газов в хорошо обезгаженной системе, откачиваемой магнитным электроразрядным насосом, состоит из обычно присутствующих во всех вакуумных системах водорода, азота, окиси углерода, аргона и метана.

Разработанные блоки питания к магнитным электроразрядным насосам имеют по мощности такие характе-



Рис. 7.42. Магнитные электроразрядные насосы с охлаждаемыми анодами.

ристики, при которых максимальная мощность выделяется при наибольших давлениях устойчивой работы. С увеличением мощности блока питания возрастает быстрота действия насоса в области высоких давлений, но одновременно возрастают габариты и масса источника питания, тепловыделение на электродах насоса и возникает опасность возникновения дугового разряда между электродами. В связи с этим обычно разрядный ток для диодных неохлаждаемых насосов, приходящийся на одну ячейку, ограничивают сверху 0,5 мА, для охлаждаемых диодных насосов — 3 мА и триодных насосов — 4 мА.

## Практические указания по эксплуатации

Поскольку состояние внутренних поверхностей магнитного электроразрядного насоса оказывает решающее влияние на его работоспособность, нельзя допускать попадания в насос загрязнений. При кратковременных вскрытиях на атмосферу вакуумной системы с магнитным электроразрядным насосом желательно заполнять ее осущенным воздухом или азотом для предотвращения попадания в насос влаги; в вакуумных системах, длительное время соприкасающихся с атмосферным воздухом, желательно иметь кран между насосом и системой. Совершенно недопустима предварительная откачка вакуумной системы насосами с масляным уплотнением, не защищенными надежной ловушкой, так как это приводит к загрязнению вакуумной системы и магнитного электроразрядного насоса углеводородами. Лучше всего для этой цели использовать адсорбционные насосы. После кратковременного вскрытия на атмосферу чистой 152

установки с работавшим магниторазрядным насосом время пуска в небольших системах не превышает несколько минут, в крупных около 30 мин. У нового, еще не работавшего или загрязненного насоса время пуска значительно больше за счет сильного газовыделения с поверхностей.

Улучшить характеристики насоса в области низких давлений можно путем аргонной обработки. Для этого в работающий магнитный электроразрядный насос через натекатель впускается до давления 5.10-1-5 Па аргон, одновременно откачиваемый вспомогательным насосом. Продолжительность аргонной обработки — около 1 ч. Интенсивное ионное распыление при аргонной обработке создает на электродах свеженапыленные слои титана, не содержащие сорбированных газов, одновременно происходит обезгаживание насоса прогревом энергией, выделяющейся на электродах. После аргонной обработки насос быстро достигает низких давлений. Следует иметь в виду, что длительная работа насоса при высоких давлениях (порядка  $1-10^{-1}$   $\Pi$ a) создает условия для попадания проводящего слоя титана на изоляторы и приводит к замыканиям в электродной системе. Запуск магнитного электроразрядного насоса значительно облегчается при понижении начального давления до значений ниже 10-1 Па.

При сильном загрязнении тяжелыми углеводородами (парами масла) выход насоса на рабочий режим может оказаться невозможным. Наиболее простым способом восстановления такого насоса является прогрев его до температуры около 700 К на воздухе (или в окислительной атмосфере) для разложения углеводородов. При этом на титане образуются пленки окислов, и период пуска затягивается. При переборке насоса титановые и стальные детали подвергают механической очистке, травлению в кислотах, промывают растворителями и водой и сушат в чистом теплом воздухе. Насос следует собирать в чистых условиях и как можно быстрее запустить в работу, подвергнув предварительно прогреву при температуре около 700 К под откачкой адсорбционным, турбомолекулярным или пароструйным диффузионным насосом с надежной ловушкой.

Долговечность насоса, определяемая обычно местным разрушением катодов, очень велика и составляет десятки тысяч часов при работе на давлениях меньше  $10^{-4}$  Па.

В случае откачки больших количеств водорода долговечность насоса может сильно уменьшиться из-за коробления катодов (в результате насыщения водородом) и замыкания электродной системы. При этом необходима смена катодов.

Замыкание электродов может произойти также из-за отслаивания пленки титана с анода после длительной работы насоса.

# 7.13. КОНДЕНСАЦИОННЫЕ НАСОСЫ Принцип действия

При температурах, близких к температуре жидкого водорода или гелия, большинство веществ имеет весьма низкую упругость паров. Так, при температуре, близкой к точке кипения водорода, давление насыщенных паров  $O_2$  составляет  $10^{-11}$   $\Pi a$ ,  $N_2$  и  $CO-10^{-9}$   $\Pi a$ , а  $Ar-10^{-15}$   $\Pi a$ .

При температуре, близкой к точке кипения гелия, упругость насыщенного пара  $H_2$  составляет  $10^{-4}$  Па, а  $Ne - 10^{-17}$  Па.

Поверхность, заключенная в герметичный сосуд и охлажденная до температур, близких к точке кипения водорода, будет конденсировать молекулы всех газов, за исключением He, H<sub>2</sub> и Ne.

При охлаждении поверхности до температуры, близкой к точке кипения гелия, на ней будут конденсироваться молекулы всех газов, кроме гелия.

## Конструкции и характеристики

По принципу конденсации газов поверхностью, охлажденной до точки кипения водорода (20,4 K), выполнен водородный конденсационный насос, чертеж которого изображен на рис. 7.43. Основным элементом насоса является медный сосуд 9, заполняемый жидким водородом. Для уменьшения теплопритока от окружающих стенок сосуд окружен цилиндрическим медным экраном 8, охлаждаемым жидким азотом. Задний экран с впаянной азотной ловушкой 2 также охлаждается жидким азотом.

Для откачки не конденсирующихся при температуре жидкого водорода газов (водород, гелий, неон) и создания предварительного разрежения насос снабжен паромасляным диффузионным насосом 7.

Для предотвращения попадания паров масла и продуктов его разложения из насоса 7 предусмотрены водяная ловушка 6 и жалюзийная азотная ловушка 4. Жидкий азот для охлаждения экранов и ловушки подается из сосудов Дьюара 1 и 13.

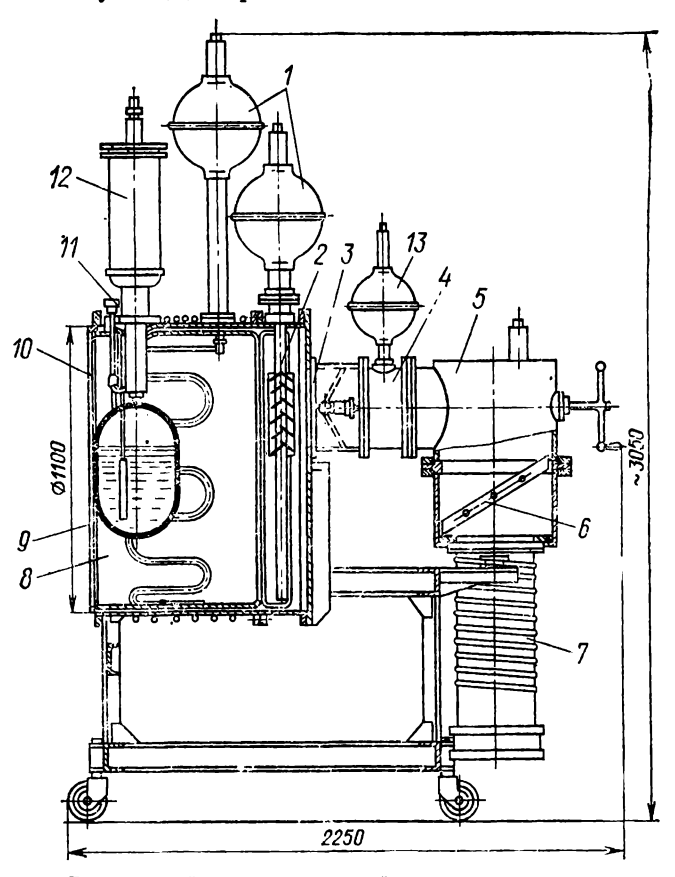


Рис. 7.43. Водородный конденсационный насос. 1, 13— сосуды Дьюара; 2, 4— азотные ловушки; 3— кран; 5— переходник; 6— водяная ловушка; 7— пароструйный диффузионный насос; 8— экран; 9— медный сосуд; 10— корпус; 11— дросселирующий кран; 12— ожижитель.

Питание насоса жидким водородом осуществляется от автономного ожижителя 12.

В последнее время все большее распространение получают конденсационные насосы, в которых для охлаждения поверхностей используют газовые холодильные машины — криогенераторы.

На рис. 7.44 показан конденсационный насос с криогенератором, работающим по так называемому обращен-

ному циклу Стирлинга.

В корпусе насоса 14 размещена криопанель 10, изготовленная из медной пластины и являющаяся откачивающим элементом насоса. Криопанель 10 имеет хороший тепловой контакт со второй ступенью машины. Для снижения теплопритока к криопанели 10 со стороны теплых стенок насоса и откачиваемого сосуда предусмотрен жалюзийный экран 11, который имеет хороший тепловой контакт с первой ступенью машины 7. Температура экрана 11 поддерживается на уровне 90—100 К.

В картере 1 размещены компрессорный поршень 18 и шатуны привода, сидящие на эксцентриковых втулках 2

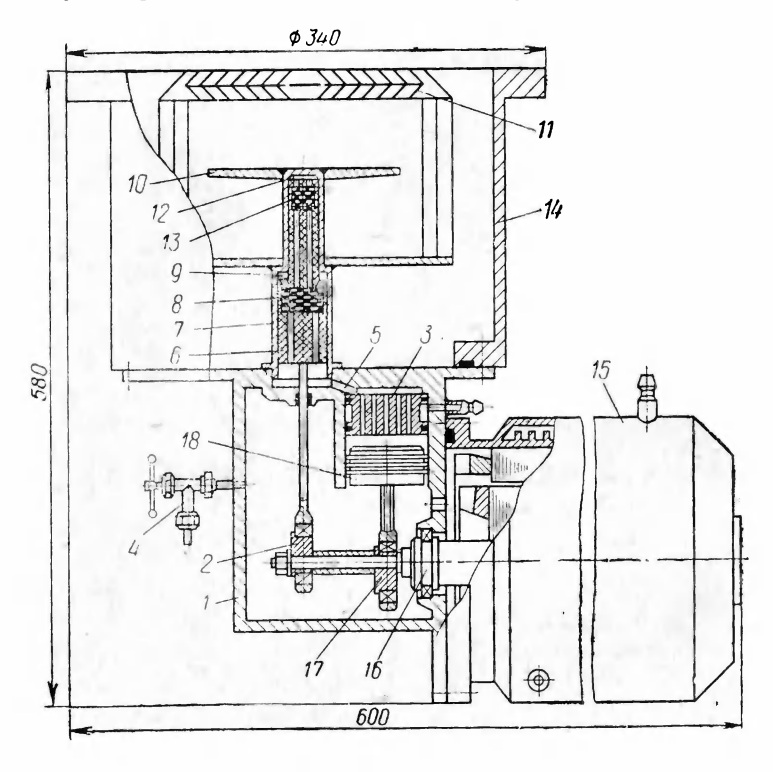


Рис. 7.44. Конденсационный насос со встроенным криогенератором. 1— картер: 2, 17— эксцентриковые втулки; 3— водяной холодильник; 4— кран; 5— канал; 6— дифференциальный вытеснитель, 7— цилиндр: 8, 13— регенераторы; 9— полость расширения первой ступени; 10— криопанель; 11— жалюзийный экран; 12— полость расширения второй ступени, 14— корпус насоса; 15— электродвигатель; 16— вал; 18— компрессорный поршень.

и 17 вала 16 встроенного электродвигателя 15. Картер 1 криогенератора через кран 4 заполняется газообразным гелием под давлением (16—20)·10<sup>5</sup> Па.

Криогенератор работает следующим образом. Газ, сжатый компрессорным поршнем 18 до давления (35—40)  $\cdot 10^5$  Па, поступает в водяной холодильник 3, где отводится теплота сжатия. Затем газ по каналу 5 проходит через сетчатый регенератор 8, расположенный в вытеснителе. Часть газа поступает в полость расширения 9 первой ступени, а другая часть, пройдя регенератор 13, поступает в полость расширения 12 второй ступени.

При движении вытеснителя вниз происходят расширение газа в обеих ступенях и его охлаждение. В описываемой конструкции хладопроизводительность первой ступени составляет примерно 10 Вт при 100 K, а второй

ступени примерно 4 Вт при 25 К.

Одним из главных недостатков конденсационных насосов, использующих встроенные криогенераторы, является пока еще малая длительность непрерывной работы, составляющая всего 500—1000 ч. Удельная быстрота откачки и предельное остаточное давление конденсационных насосов могут быть рассчитаны на основе баланса потоков газа, конденсирующегося на холодной поверхности и испаряющегося с нее.

Быстрота действия современных конденсационных насосов достигает  $10^5$  л/с и более, а предельное остаточное давление составляет менее  $10^{-7}$  Па.

## 7.14. КРИОСОРБЦИОННЫЕ НАСОСЫ

Основным отличием криосорбционных насосов от конденсационных, описанных выше, является способность путем криосорбции откачивать низкокипящие газы (гелий, водород), обеспечиваемая применением адсорбентов, охлаждаемых до сверхнизких (криогенных) температур. В качестве адсорбента в криосорбционных насосах могут использоваться цеолиты, активированный древесный уголь, пористый никель, оксидная пленка алюминия и другие материалы. По конструкции криосорбционные насосы мало отличаются от конденсационных. При полном насыщении адсорбента газом криосорбционный насос становится конденсационным, однако при низких давлениях (10-4—10-5 Па) он способен сотни и даже тысячи часов работать без использования вспомогатель-

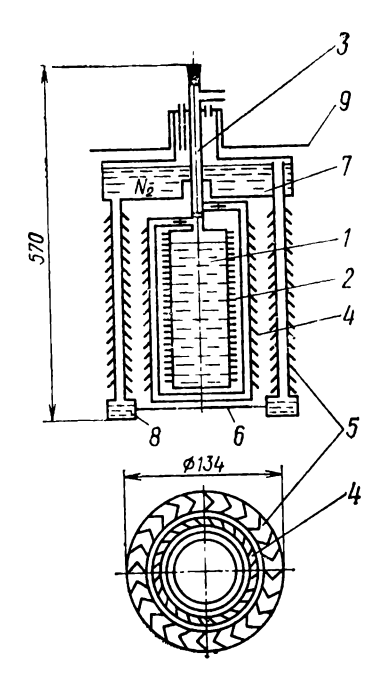


Рис. 7.45. Схема криосорбционного заливного гелиевого насоса.

ного насоса для откачки низкокипящих газов.

На рис. 7.45 показана схема криосорбционного заливного насоса, состоящего из цилиндрического сосуда 1 с ребрами 2. Цилиндрический сосуд 1 изготовлен из алюминиевого сплава АД1. поверхности которого анодным окислением создана высокопористая оксидная пленка алюминия толщиной 120-150 мкм. являющаяся сорбентом. Оксидная пленка алюминия обладает шой сорбционной емкостью, имеет большую теплопроводность и высокую мечаническую прочность.

Внутрь сосуда 1 с помощью переливного устройства, вводимого в горловину 3, заливается жидкий гелий. Ребра 2 служат для увеличения геометрической поверхности сорбента, за счет чего повышается сорбцион-

ная емкость. С целью снижения теплопритока сосуд 1 защищен жалюзийным экраном 4, который охлаждается испаряющимся газообразным гелием. В свою очередь экран 4 окружен жалюзийным экраном 5 и глухим экраном 6, которые охлаждаются жидким азотом, находящимся в резервуарах 7 и 8. Такая система промежуточных экранов обеспечивает дифференциальную откачку отдельных компонентов газа на различных температурных уровнях, что позволяет более рационально использовать емкость сорбента, нанесенного на сосуд 1. Действительно, при откачке сосуда вначале конденсируются углекислый газ и пары воды на экранах 5 и 6, температура которых поддерживается в пределах 78—90 К, а затем на экране 4, охлажденном до 25-30 К, происходит конденсация всех остальных газов, кроме гелия, водорода и неона, и, наконец, на ребрах 2 сосуда 1, имеющих температуру около 4,2 K, сорбируются эти низкокипящие газы, а также та часть других газов, которые не сконденсировались на экранах 4,5 и 6.

Криосорбционный насос целесообразно устанавливать непосредственно внутри откачиваемого сосуда, для чего предусмотрен фланец 9. Предельное остаточное давление, создаваемое криосорбционным насосом, после предварительного обезгаживания цилиндрического сосуда 1 при температуре 420 К составляет  $1 \cdot 10^{-9}$  Па.

<sup>→</sup> Невмотря на относительную простоту конструкции, криосорбционные заливные насосы обладают существенными недостатками, состоящими в необходимости периодической заливки жидкого гелия и азота, трудности автоматизации и контроля наличия хладагентов, а также в необходимости транспортировать жидкий гелий и собирать дорогостоящий газ. Для сбора испаряющегося в насосе гелия применяют мягкий газгольдер, откуда компрессором гелий перекачивают в стандартный баллон с давлением 15·10<sup>6</sup> Па.

С целью упрощения эксплуатации современные криосорбционные насоссы снабжаются встроенными криогенераторами.

#### Глава восьмая

## **ИЗМЕРЕНИЕ И КОНТРОЛЬ ОСНОВНЫХ ПАРАМЕТРОВ ВАКУУМНЫХ НАСОСОВ**

При изготовлении и эксплуатации вакуумных насосов возникает необходимость в проверке основных эксплуатационных параметров. Как уже упоминалось в гл. 6, к таким параметрам относят быстроту действия, предельное остаточное давление, наибольшее давление запуска и наибольшее выпускное давление. Измерения параметров обычно проводят на испытательной установке, которая содержит, кроме испытуемого насоса, измерительную камеру, средства измерения давления и потока газа, масс-спектрометрические датчики и необходимую коммутирующую аппаратуру.

Для унификации условий измерения измерительная камера всегда выбирается определенных размеров (рис. 8.1, 8.2). Так, диаметр измерительной камеры рекомендуется брать для большинства типов насфсов (кроме механических и адсорбционных) равным диаметру вхсдного отверстия насоса, но не менеє 100 мм. При входных отверстиях, меньших 100 мм, между камерой и насосом устанавливают дереходник.

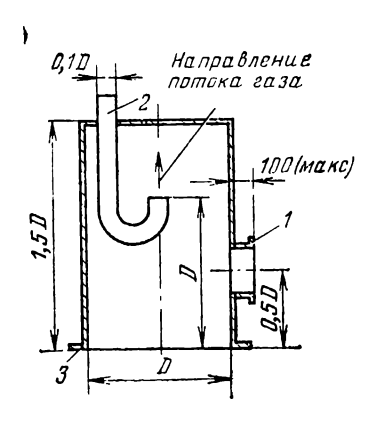


Рис. 8.1. Схема измерительной камеры для механических вакуумных насосов.

1 — фланец для присоединения манометрического преобразователя или масс-спектрометра; 2 — напускная трубка; 3 — фланец для подсоединения испытуемого насоса.

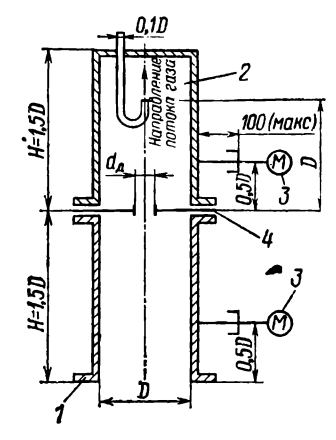


Рис. 8.2. Схема установки для измерения быстроты действия высоковакуумных насосов.

I — измерительная камера; 2 — напускная камера; 3 — манометрические преобразователи; 4 — диафрагма.

#### 8.1. ИЗМЕРЕНИЕ БЫСТРОТЫ ДЕЙСТВИЯ НАСОСОВ

Хотя известно много экспериментальных методов измерения быстроты действия насосов, в промышленности и лабораторной практике рекомендован метод, при котором измеряют поток газа, напускаемого в измерительную камеру, и затем по соответствующим соотношениям определяют быстроту действия насоса. В зависимости от ожидаемой производительности насоса применяют различные методы измерения потока газа (см. гл. 12).

При измерении быстроты действия механических вакуумных насосов измерительная камера (рис. 8.1) должна иметь объем не менее пяти объемов всасывания за один оборот ротора насоса, т. е.

$$V_{\rm K} \geqslant 5V_{\rm BC} \geqslant 5\frac{S_{\rm H}}{n/60} \quad 300\frac{S_{\rm H}}{n}, \tag{8.1}$$

где  $V_{\kappa}$  — объем измерительной камеры, л;

 $V_{\rm BC}$  — объем всасывания за один оборот ротора насоса, л;

S<sub>н</sub> — ожидаемая быстрота действия насоса, л/с;

п - частота вращения ротора, об/мин.

Измерение быстроты действия проводят методом постоянного давления. Для этого измерительную камеру откачивают до давления  $0.1p_{\rm H}$  ( $p_{\rm H}$  — давление, при котором требуется измерить быстроту действия). Затем с помощью натекателя напускают в измерительную камеру газ до установления давления  $p_{\rm H}$  и измеряют при этом одним из способов (см. гл. 12) поток напускаемого газа  $Q'_{\rm H}$ . Такесли поток газа лежит в пределах от 1000 до 0.10 м³·Па/с, для его измерения применяют ротаметры, если в пределах от 2 до  $1.0\times$ 

м3 Па/с — измерительные бюретки, и, наконец, при потоках газа меньше  $1.0 \cdot 10^{-5}$  м<sup>3</sup>  $\Pi$ а/с измеряют поток методом калиброванной диафрагмы и двих манометрических преобразователей.

По формуле (6.2) вычисляют быстрету действия насоса при данном давлении  $p_{\rm H}$ . Устанавливая натекателем различные давления  $p_{\rm B}$ в измерительной камере и измеряя при этом поток напускаемого газа, снимают таким образом зависимость быстроты действия насоса от впускного давления  $S_{\rm H} = f(p_{\rm H})$ . При испытаниях газобалластных насосов проводят измерение быстроты действия с закрытым и откры тым газобалластным устройством.

Измерение быстроты действия насосов других типов осущестляется аналогичным образом.

При определении характеристик "деорбционных насосов вместо быстроты действия обычно находят максимальный объем  $V_{\text{макс}}$ , откачиваемый адсорбционным насосом от давления 105 Па до давления 1,33 Па за установленное время.

#### 8.2. ИЗМЕРЕНИЕ ПРЕДЕЛЬНОГО ОСТАТОЧНОГО ДАВЛЕНИЯ

У насосов объемного действия обычно измеряют полнос предельное остаточное давление газов и паров. Для этого производят откачку измерительной камеры (см. рис. 8.1) до тех пор, пока в ней не установится так называемое равновесное давление, которое затем в течение следующих 3 ч изменится не более чем на 10%. Это установившееся равновесное давление и принимают за предельное остаточное давление насоса.

Измерение предельного остаточного давления газов у насосов других типов производится аналогичным образом, с той лишь разницей, что применяют измерительную камеру, изображенную на. рис. 8.2, и до измерений проводят обезгаживание насоса (если это предусмотрено его конструкцией) и измерительной камеры прогревом при температуре 600-700 К в течение 12-24 ч. За предельное остаточное давление в этом случае принимают давление, полученное через 24 ч после выключения прогрева.

Следует подчеркнуть, что во избежание ошибки в измерении предельного остаточного давления проводимость трубопровода, соединяющего измерительную камеру с манометрическим преобразователем, должна быть не менее 50 л/с Предпочтительней, однако, использовать манометрические преобразователи открытого типа.

#### 8.3. ИЗМЕРЕНИЕ НАИБОЛЬШЕГО ВЫПУСКНОГО ДАВЛЕНИЯ ПРИ ДАВЛЕНИИ, СООТВЕТСТВУЮЩЕМ МАКСИМАЛЬНОЙ **ПРОИЗВОДИТЕЛЬНОСТИ**

11 - 1081

Измерение наибольшего выпускного давления производят при испытаниях эжекторных, бустерных и высоковакуумных диффузионных насосов и агрегатов.

Для измерения наибольшего выпускного давления откачивают измерительную камеру до давления г 10 раз меньшего, чем давление, при котором производительность насоса максимальная. С помощью патекателя, установленного в измерительной камере, увеличивают давление до значения, соответствующего максимальной производительности насоса. Затем натекателем, установленным на ма-161 гистрали, соединяющей выпускной патрубок насоса с насосом предварительного разрежения, напускают газ до тех пор, пока давление в измерительной камере не возрастет на 50% ранее достигнутого давления. Давление, измеренное в этот момент на выпускном патрубке насоса, принимают за наибольшее выпускное давление.

## Глава девятая **ЛОВУШКИ**

#### 9.1. НАЗНАЧЕНИЕ И ОСНОВНЫЕ ТРЕБОВАНИЯ, ПРЕДЪЯВЛЯЕМЫЕ К ЛОВУШКАМ

Ловушки представляют собой устройства, предназначенные для улавливания паров или газов с целью предотвращения или уменьшения их проникновения из одной части вакуумной системы в другую. Так, при откачке сосудов парортутным диффузионным насосом, из которого поступают в вакуумную систему пары ртути, имеющие давление насыщения 0,1 Па, для получения более высокого вакуума прибегают к интенсивной их конденсации (вымораживанию) при помощи ловушек с охлаждающими веществами (хладагентами).

При необходимости измерения парциального давления газа или для получения так называемого чистого, безмасляного вакуума при откачке пароструйными масляными насосами применяют ловушки, исключающие или уменьшающие проникновение в вакуумную систему обратного потока паров рабочей жидкости из насоса.

Обратным потоком называют поток паров рабочей жидкости, который проступает из насоса в откачиваемый сосуд. Обычно обратный поток определяется как масса пара рабочей жидкости, поступающей в откачиваемый сосуд за единицу времени с единицы поверхности входного отверстия насоса, и выражается в кг/(м²·с).

Основными техническими параметрами ловушки являются ее защитная способность и удельная проводимость.

Защитной способностью ловушки  $\beta_{\pi\circ B}$  называется отношение массовых потоков паров рабочей жидкости, поступающих из насоса в откачиваемый сосуд с ловушкой и без нее.

Часто качественное сравнение ловушек разных типов производят не по отношению  $\beta_{\pi o B}$ , а по обратному потоку паров рабочей жидкости.

Удельной проводимостью ловушек  $U_{yд, nob}$  называется отношение проводимости ловушки  $U_{\pi ob}$  к площади ее входного отверстия A:

$$U_{\mathbf{y}\mathbf{\mu}.\mathbf{\pi}\circ\mathbf{B}} = U_{\mathbf{\pi}\circ\mathbf{B}}/A. \tag{9.1}$$

При конструировании ловушек в зависимости от их назначения к ним предъявляется ряд требований, основные из которых перечислены ниже.

- 1. Ловушки должны хорошо защищать откачиваемый сосуд от проникновения паров рабочей жидкости, т. е. должны обладать максимальной защитной способностью.
- 2. Ловушки должны как можно меньше снижать быстроту действия насоса. Правильно сконструированная ловушка снижает быстроту действия насоса не больше, чем на 30-40%.

Такая ловушка имеет  $U_{\rm уд.лов}$ =3 $\rightarrow$ 4 л/(с·см²). Это означает, например, что ловушка с  $U_{\rm уд.лов}$ =3,5 л/(с·см²), будучи смонтированной в трубопроводе с диаметром проходного сечения, равным 100 мм, уменьшает быстроту действия пароструйного насоса, имеющего  $S_{\rm E}$ =100 л/с, примерно на 30%.

Действительно, из формулы (9.1) видно, что

$$U_{\text{noB}} = 3.5 \frac{\pi \cdot 10^2}{4} \approx 273 \text{ m/c},$$
 (9.2)

и эффективная быстрота откачки

$$S_o = \frac{100 \cdot 273}{273 + 100} \approx 73 \text{ n/c.}$$
 (9.3)

- 3. Ловушки должны иметь конструкцию, обеспечивающую легкий доступ к защитным элементам для их периодической очистки.
- 4. Ловушки, применяемые в сверхвысоковакуумных системах, должны допускать прогрев до 750 K с целью обезгаживания.
- 5. Конструкции охлаждаемых ловушек должны обес-

Основные типы ловушек, нашедшие широкое применение в вакуумной технике, приведены в табл. 9.1.

## Основные типы вакуумных ловущек

Тип ловуш <b>е</b> к	Наименование ловушки	Принцип действия	Минимальный обратный поток паров рабочей жидкости марки ВМ-5, кг/(м²-с)	Применение	
Механиче- ские	Водоохлаждаемая механическая ло- вушка Маслоотражатель	Конденсация молекул на охлаждаемых водой защитных элементах	1,4·10-8— 1,4·10-9 2,8·10-7- 5,6·10-8	Механическая ловушка применяется обычно с маслоотражателем  Чаще всего в виде охлаждаемого водой колпачка, устанавливаемого над верхним соплом паромасляного диф-	
	Фильтр из по- ристого магериа- ла	Капиллярная адсорбция паров рабочей жидкости (см. § 3.2)	2,8·10 <sup>-11</sup> — 1,4·10 <sup>-10</sup>	фузионного насоса В форвакуумных системах с механическими насосами с масляным уплотнением	
Низкотем- пературные охлаждае- мые	Ловушки с хладагентом  Ловушки с автономным микроохладителем	Конденсация паров ра- бочей жидкости на за- щитных элементах, ох- лаждаемых жидким азо- том	2,8·10 <sup>-11</sup> - 2,8·10 <sup>-12</sup> (2,2—8,3)·10 <sup>-11</sup>	В высоковакуумных и сверхвысоковакуумных системах с паромасляными и парортутными насосами для надежной защиты откачиваемого сосуда от паров рабочей жидкости. В высоковакуумных системах с паромасляными диффузионными насосами	

€.						
Тип л овущек	Наимено ловушк	Принции действия				
Адсорбцион- ные	Адсорбционные в <b>ы</b> соко-вакуум- ные	Избирательная сорбция углеводородов и других высокомолекулярных со- единений				
	Адсорбционные низковакуумные					
Электриче- ские	Ионные	Образование твердых по- лимеризованных частиц, осаждающихся на кор- пусе ловушек				

	· .		
Минимальный обратный поток паров рабочей жидкости марки ВМ-5, кг/(м²-с)	Применение		
2,8.10-12	В высоковакуумных и сверхвысоковакуумных системах с паромасляными диффузионными насосами. Обладают значительно меньшей удельной		
2,0.10-11	проводимостью по сравнению с механическими и низкотемпературными охлаждаемыми ловушками. В форвакуумных системах с механическими насосами с масляным уплотнением		
	В форвакуумных системах с механическими насосами с масляным уплотнением		

#### 9.2. МЕХАНИЧЕСКИЕ ЛОВУШКИ

В качестве механических ловушек чаще всего используют водоохлаждаемую ловушку, маслоотражатель и фильтр из пористых материалов.

Водоохлаждаемые механические ловушки. Во многих случаях при работе с паромасляными диффузионными насосами, использующими рабочие жидкости с достаточно низким давлением насыщенных паров, для уменьшения обратного потока довольствуются тем эффектом, который получается от конденсации молекул на защитных элементах механических ловушек, охлаждаемых проточной водой.

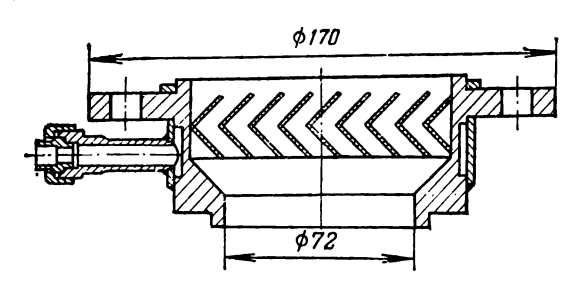


Рис. 9.1. Водоохлаждаемая механическая ловушка.

Для осуществления откачки через ловушку защитные элементы располагаются с некоторым зазором друг относительно друга, но таким образом, чтобы создавалась оптически плотная конструкция, т. е. чтобы из плоскости выходного отверстия ловушки ни под каким углом не просматривалось ее входное отверстие.

Известно большое количество конструкций механических ловушек.

В качестве примера на рис. 9.1 приведена простейшая конструкция водоохлаждаемой механической ловушки. Ловушка проста в изготовлении и имеет сравнительно большую удельную проводимость. Защитные элементы этой ловушки выполнены в виде уголков-шевронов с углом при вершине 90°, размещенных параллельно друг другу в корпусе.

Маслоотражатель. Конструкция маслоотражателя в виде охлаждаемого водой колпачка показана на рис. 9.2. Маслоотражатель служит для предотвращения попадания паров рабочей жидкости из струи высоковаку-

умного сопла пароструйного диффузионного насоса в откачиваемый сосуд.

Обычно такие маслоотражатели уменьшают поток паров рабочей жидкости из насоса в откачиваемый сосуд в  $10^2$ —10 раз.

Фильтры из пористых материалов. Фильтры служат для уменьшения потока паров рабочей жидкости, прони-

кающих в вакуумную систему из механических насосов с масляным уплотнением. В качестве малоулавливающих фильтров могут использоваться пористые никель, фторопласт или нержавеющая сталь. Наиболее подходящим материалом для этой цели является пористая нержавеющая сталь с размерами пор (капиллярами) от 4 до 20 мкм. Механизм улавливания молекул рабочей

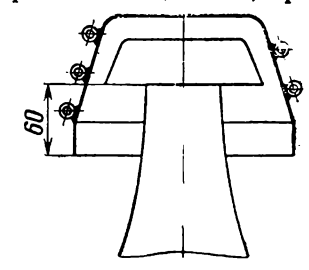


рис. 9.2. Маслоотражатель в виде охлаждаемого водой колпачка, помещенный над верхним соплом пароструйного насоса.

жидкости заключается в сорбции молекул на стенках капиллярных каналов фильтра, благодаря чему обратный поток паров масла за фильтром уменьшается в  $10^6$  раз.

На рис. 9.3 показан фильтр, представляющий собой съемный элемент, который располагается между отка-



Рис. 9.3. Фильтр из пористого материала.

чиваемым сосудом и насосом. В корпусе фильтра 3 установлены две перегородки 1, изготовленные из пористой нержавеющей стали, разделенные прокладкой 2 из масостойкой резины или фторопласта, которые поджимаются гайкой 4. Удельная проводимость перегородки при толщине 0,5 мм составляет 0,02 л/(см²⋅с). Для сохранения необходимой проводимости диаметр перегородок 1

обычно делают вдвое больше диаметра впускного отверстия механического насоса.

При длительной работе фильтра в области низких давлений в капиллярах перегородки накапливается рабочая жидкость механического насоса. Поэтому для сохранения эффективности работы фильтра необходимо периодически производить прокачку газа через него, начиная с атмосферного давления. При этом происходит освобождение пор от рабочей жидкости и фильтр очищается.

В случае длительной работы фильтра при низких давлениях без прокачки газа его эффективность сохраняется всего 300 ч, после чего его необходимо промыть в органическом растворителе и просушить.

#### 9.3. НИЗКОТЕМПЕРАТУРНЫЕ ОХЛАЖДАЕМЫЕ ЛОВУШКИ

Ловушки с хладагентом. Ловушки, охлаждаемые до низких температур, не только более надежно предотвращают проникновение паров рабочей жидкости в откачиваемый сосуд, но и улавливают пары и газы, имеющиеся в откачиваемом сосуде, тем самым снижая давление в нем.

Так, например, если поместить в герметичный сосуд резервуар с жидким азотом; то через некоторое время в сосуде установится давление, определяющееся упругостью паров наиболее летучего из имеющихся там веществ при температуре жидкого азота (см. § 5.3).

В отечественной промышленности для охлаждения ловушек чаще всего применяют жидкий азот. Для конденсации и вымораживания паров рабочей жидкости в стеклянных вакуумных установках широко применяются ловушки, изготовленные из стекла.

Ловушка, изображенная на рис. 9.4, а, предназначена для работы со стеклянным сосудом Дьюара, в который погружают ее цилиндрическую часть. В ловушке, показанной на рис. 9.4, б, жидкий азот наливают непосредственно во внутреннюю шаровидную полость. На рис. 9.5 представлена широко распространенная конструкция жалюзийной ловушки, также охлаждаемой жидким азотом. Защитные элементы 3 жалюзийных ловушек малых габаритов (с условным проходом до 160 мм) охлаждаются с помощью медного хладопровода 2, погружаемого в сосуд Дьюара 4 с жидким азотом.

Охлаждение больших ловушек производится с помощью азотного питателя, который автоматически подает жидкий азот из сосуда Дьюара в полость хладопровода.

Как уже отмечалось, важной эксплуатационной характеристикой, определяющей экономичность ловушки, является расход хладагента.

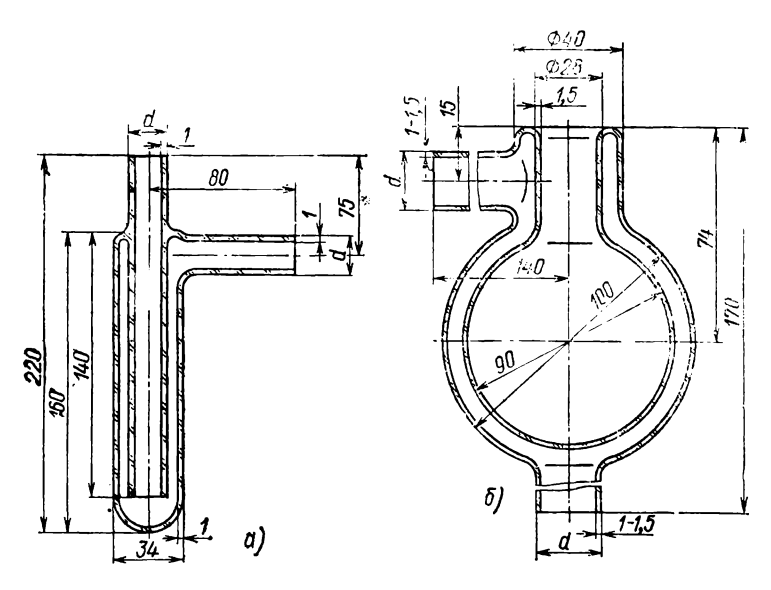


Рис. 9.4. Стеклянные азотные ловушки. a — применяется с сосудом Дьюара; 6 — заливная.

Расход хладагента в единицу времени в охлаждаемых ловушках зависит от притока тепла от стенок корпуса ловушки и сопла пароструйного насоса к ее охлаждаемым поверхностям. Существенную роль играет приток тепла в местах соединения охлаждаемых элементов ловушки с ее корпусом.

Снижение расхода хладагента может быть достигнуто путем охлаждения корпуса ловушки водой и установки водоохлаждаемых экранов между горячим соплом насоса и охлаждаемыми элементами ловушки. Для сниженяя притока тепла в местах соединения охлаждаемых элементов ловушки с ее корпусом применяют тепловые развязки, выполненные в виде зазоров или переходов из материалов с большим тепловым сопротивлением. Так,

например, трубопровод для заливки ловушки хладагентом чаще всего изготавливают из тонкостенной трубки из ковра или нержавеющей стали.

Следует отметить, что через зазоры тепловых развязок может проникать в откачиваемый сосуд значительное количество паров масла из пароструйного диффузи-

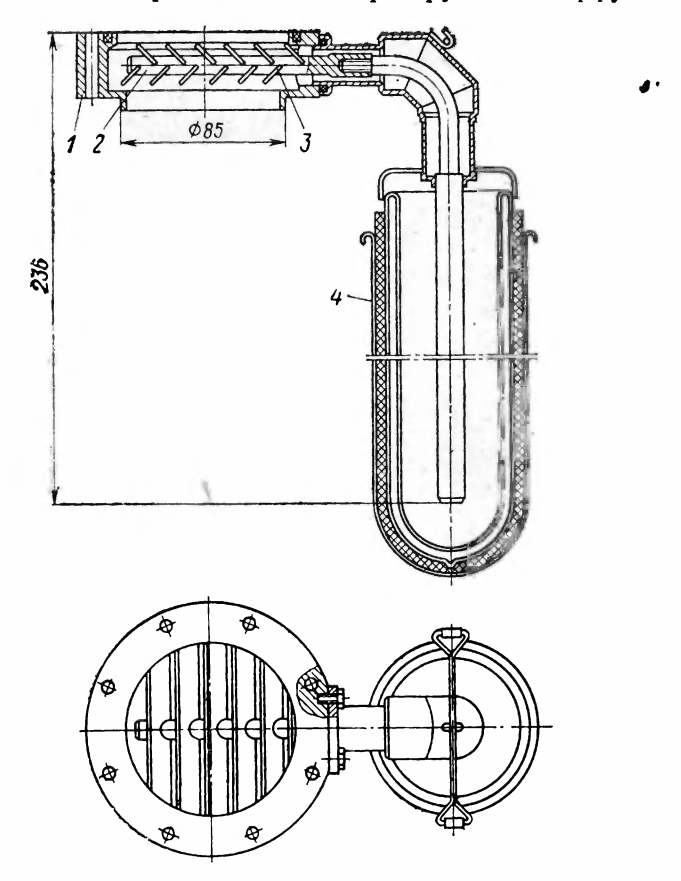


Рис. 9.5. Жалюзийная азотная ловушка.

1 — корпус; 2 — медный хладопровод; 3 — медные защитные элементы; 4 — сосуд Дьюара.

онного насоса. Кроме того, масло может мигрировать непосредственно по внутренней поверхности неохлаждаемой стенки ловушки.

Для исключения попадания масла в откачиваемый сосуд подобными путями применяют так называемые ан-

тимиграционные барьеры, две схемы которых показаны на рис. 9.6.

Антимиграционные барьеры практически не снижают проводимость ловушки и достаточно надежно предотвращают миграцию рабочей жиддости в откачиваемый сосуд при длительной работе ловушки.

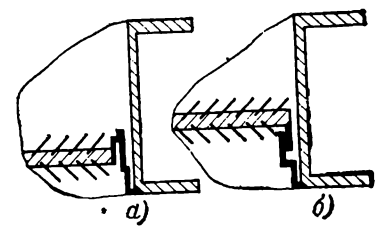


Рис. 9.6. Антимиграционные барьеры.

a — неразборный;  $\delta$  — разборный.

Низкотемпературные ловушки с автономным микроохладителем. На рис. 9.7 показана принципиальная схема ловушки с автономным микроохладителем, работающим по холодильному циклу с адиабатическим расшире-

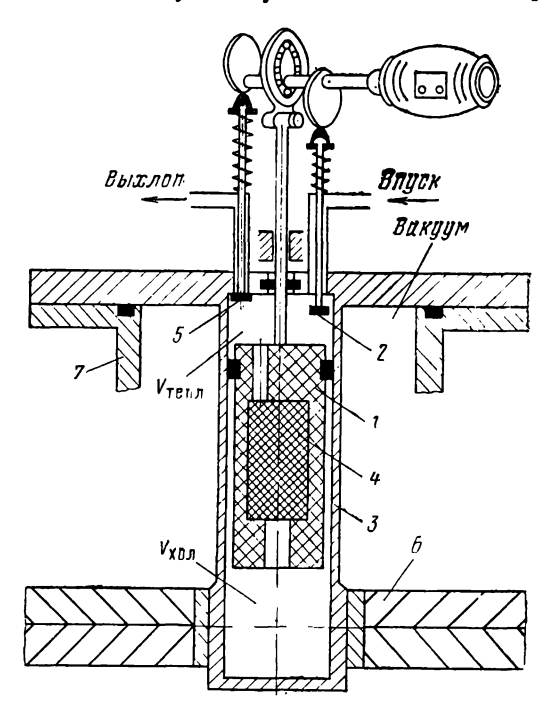


Рис. 9.7. Принципиальная схема ловушки с автономным микроохладителем.

I — поршень-вытеснитель; 2 — впускной клапан; 3 — топкостенный цилиндр; 4 — регенератор-теплообменник, 5 — выпускной клапан; 6 — защитные элемевты ловушки; 7 — корпус.

нием сжатого воздуха без совершения работы, называемым циклом Гиффорда-Мак-Магона.

Работа микроохладителя ловушки происходит следующим образом. В тот момент, когда поршень-вытеснитель I находится в крайнем нижнем положении, воздух с давлением (3—6)  $\cdot 10^5$  Па поступает через впускной клапан 2 в цилиндр 3 и заполняет объем  $V_{\rm тепл}$  над поршнем-вытеснителем. При движении поршня-вытеснителя I вверх воздух через регенератор-теплообменник  $\P$  перемещается в объем  $V_{\rm xon}$ .

Регенератор-теплообменник 4 представляет собой цилиндрическую полость внутри поршня-вытеснителя, заполненную слоями латунной сетки. Воздух, проходя через регенератор-вытеснитель, охлаждается, отдавая тепло холодной насадке регенератора.

При подходе поршня-вытеснителя к крайному верхнему положению закрывается клапан 2 и открывается выпускной клапан 5. Давление воздуха падает, и вследствие его расширения происходит понижение температуры воздуха. Полученный холод передается головке цилиндра 3, с которым через хороший тепловой контакт соединены защитные элементы 6 ловушки.

Расширяющийся и охлаждающийся воздух проходит через регенератор в обратном направлении и охлаждает насадку регенератора. При движении поршня-вытеснителя 1 вниз оставшийся в холодном объеме воздух вытесняется через выпускной клапан 5 в атмосферу. Затем цикл вновь повторяется. Хладопроизводительность описанного микроохладителя при температуре 170 К составляет примерио 15 Вт при расходе воздуха 2,5 м³/ч и диаметре поршня-вытеснителя 45 мм с ходом 40 мм.

## 9.4. АДСОРБЦИОННЫЕ ЛОВУШКИ

Несмотря на то, что охлаждаемые ловушки обеспечивают достаточно надежную защиту откачиваемого сосуда от попадания паров рабочей жидкости, их несомненным недостатком является необходимость в постоянной подаче охлаждающего вещества (хладагента).

Высокая адсорбционная способность некоторых пористых веществ — адсорбентов (цеолита, активной окиси алюминия, активированного древесного угля) по отношению к парам масла дает возможность создавать эффективные ловушки.

Высоковакуумные адсорбционные ловушки. На рис. 9.8 изображена высоковакуумная адсорбционная ло-

вушка, в которой в качестве адсорбента используется активная окись алюминия. Втулки *I* из активной окиси алюминия надеты на медные стержни *2*, впаянные в охлаждаемые водой стенки корпуса ловушки. Регенерация ловушки осуществляется прогревом до температуры 600 К с помощью нагревателя *3*. Вследствие значительной теплопроводности медных стержней *2* резко сокра-

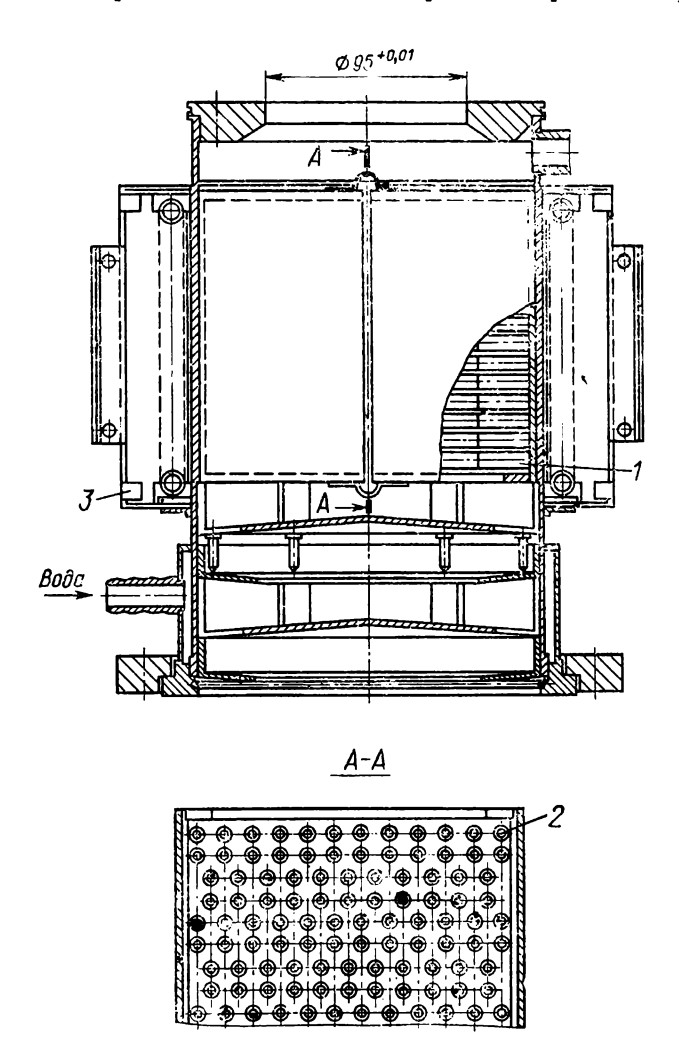


Рис. 9.8. Высоковакуумная адсорбционная ловушка.

щены затраты времени на нагрев при регенерации и последующее охлаждение. Применение этой ловушки дает возможность получить в откачиваемом сосуде давление порядка  $5 \cdot 10^{-7}$  Па и поддерживать его в течение длительного времени.

Форвакуумные адсорбционные ловушки. При работе механического насоса с масляным уплотнением в ваку-

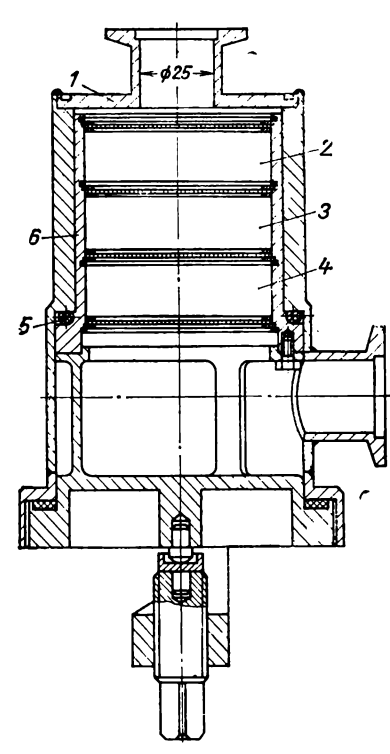


Рис. 9.9. Форвакуумная адсорбционная ловушка.

**УМНУЮ** СИСТЕМУ ПОСТУПАЕТ значительное количество масла и продуктов его вследствие его крекинга испарения естественного и миграции по внутренней поверхности трубопроводов, причем поступление масла из насоса резко возрастает с уменьшением давления в системе.

На рис. 9.9 показан чертеж форвакуумной адсорбционной ловушки. корпус ловушки вставлена обойма 6 тремя пакетами 2, 3 и 4, которые заполнены разадсорбентами. ЛИЧНЫМИ Пакет 4 содержит активированный уголь, имеющий наибольшую сорбционную емкость по парам масла, пакет 3 заполнен активной окисью алюминия, а пакет 2 — силикагелем. Последние два адсорбента, хотя и име-

ют ограниченную емкость по отношению к парам масла, хорошо сорбируют различные углеродосодержащие соединения. Для предотвращения миграции масла по зазору между корпусом I и обоймой 6 установлен резиновый уплотнитель 5. Ловушка уменьшает быстроту действия механического насоса всего на 30% и обеспечивает надежную защиту откачиваемого сосуда от паров масла в течение 1000 ч.

Следует, однако, заметить, что при откачке через ловушку большой массы воздуха она быстро насыщается в основном парами воды и становится малоэффективной или даже препятствует достижению заданного разрежения. Поэтому целесообразно иметь дополнительный форвакуумный трубопровод, через который удаляется основная масса газа, и сосуд откачивается до давления  $10^2$ —10 Па, минуя ловушку. При давлении  $10^2$ —10 Па течение газа происходит в области вязкостного режима, при котором проникновение паров масла из насоса будет незначительным. Затем производится откачка сосуда до заданного давления через адсорбционную ловушку.

#### 9.5. ЭЛЕКТРИЧЕСКИЕ ЛОВУШКИ

При откачке сосудов механическими вакуумными насосами с масляным уплотнением наряду с адсорбционными ловушками применяют электрические (ионные) ловушки.

В электрической ловушке, схема которой представлена на рис. 9.10, используется электрический разряд.

В результате действия разряда происходит полимеризация проникших в ловушку углеводородов в твердые

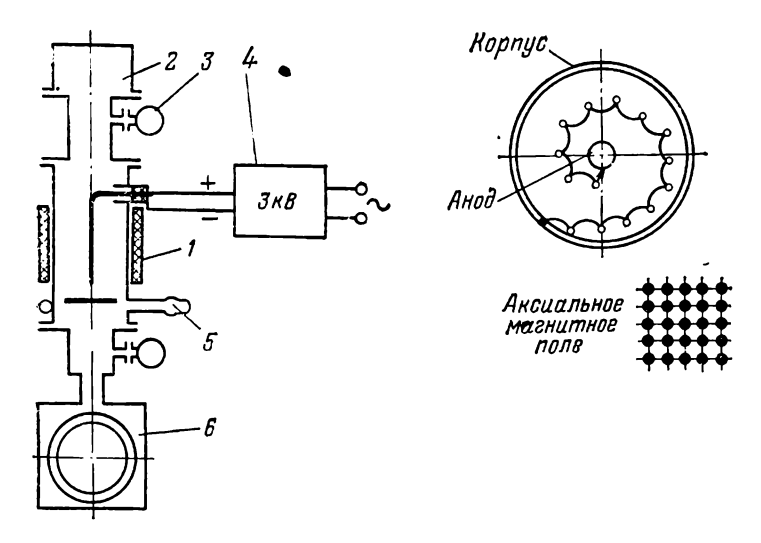


Рис. 9.10. Электрическая (ионная) ловушка.

1 — постоянный магнит;
 2 — колпак;
 3 — манометрический преобразователь;
 4 — источник питания;
 5 — штуцер водяного охлаждения;
 6 — механический вакуумный насос: корпус — катод, центральный стержень — анод.

частицы, которые осаждаются на поверхности катода — корпусе ловушки. Основным условием протекания процесса полимеризации является адсорбция молекул углеводородов на поверхности катода. Поэтому необходима возможно полная ионизация углеводородов, с тем чтобы обеспечить их попадание на корпус ловушки.

В электрической ловушке эффективная ионизация достигается благодаря сложной траектории электронов в скрещенных электрическом и магнитном полях. Напряженности электрического и магнитного полей выбираются таким образом, чтобы протяженность траектории электронов была бы наибольшей. При этом поток электронов направляется к аноду, а поток образовавшихся ионов — к катоду.

Во время соударения ионов с холодным катодом (корпусом ловушки) выбиваются новые электроны, которые поддерживают разряд и одновременно обеспечивают эффективное протекание процесса полимеризации.

Масс-спектрометрические исследования, проведенные на вакуумной системе с электрической ловушкой, показали, что парциальное давление паров рабочей жидкости снижается примерно в 100 раз, давление паров воды—в 4 раза, а кислород исчезает практически полностью. Применение ловушки этого типа целесообразно там, где достаточно иметь давление 1—0,1 Па с минимальным количеством углеводородов.

## ТЕХНИКА ИЗМЕРЕНИЯ ПОЛНОГО И ПАРЦИАЛЬНЫХ ДАВЛЕНИЙ ГАЗОВ

#### 'Глава десятая

## ПРИБОРЫ ДЛЯ ИЗМЕРЕНИЯ ПОЛНОГО ДАВЛЕНИЯ РАЗРЕЖЕННОГО ГАЗА (ВАКУУММЕТРЫ)

#### 10.1. КЛАССИФИКАЦИЯ ВАКУУММЕТРОВ

Приборы для измерения давления газа ниже атмосферного называются вакуумметрами. Большинство вакуумметров состоит из двух элементов: манометрического преобразователя сигнала давления в электрический сигнал и измерительного блока. В литературе и промышленности употребляется также термин «манометр», применяемый к преобразователю давления.

Само понятие «давление газа» для вакуумной техники утратило свой смысл, так как почти нет таких процессов в вакуумной технике, которые определялись бы давлением газа как усилисм на единицу поверхности. Гораздо более важными характеристиками газовой среды в вакуумной технике являются плотность  $\rho$  или молекулярная концентрация  $N_1$  газа.

Молекулярная концентрация газа определяет теплоперенос, сорбционно-десорбционные процессы, воздействие газа на элементы электронных приборов и другие явления, наблюдаемые в вакууме.

Таблица 10.1 Соотнощения между единицами давления и молекулярной концентрацкей газа N. при 293 К

mondentpagnent race of hips, need to								
Единицы	Па (Н/м²)	мы рт. ст. (тор)	:	бар	N <sub>1</sub> , м⁻в			
Па мм фт. ст. (тор) ат бар	1 133,32 1,01·10 <sup>5</sup> 1,00·10 <sup>5</sup>	0,75·10-2 1 760 750	0,99·10 - 5 1,32·10 - 3 1 0,99	1,00·10 <sup>-5</sup> 1,33·10 <sup>-3</sup> 1,01 1	2,47·10 <sup>20</sup> 3,29·10 <sup>22</sup> 2,50·10 <sup>25</sup> 2,47·10 <sup>25</sup>			
10	•	•						

12-1081

Согласно уравнениям (1.1) и (1.16) между давлением p и молекулярной концентрацией  $N_1$  существует связь

$$p/N_1 = kT. \tag{10.1}$$

Давление разреженного газа измеряется в паскалях. Соотношения между паскалями, другими единицами давления, употреблявшимися ранее, и молекулярной концентрацией  $N_1$  приведены в табл. 10.1.

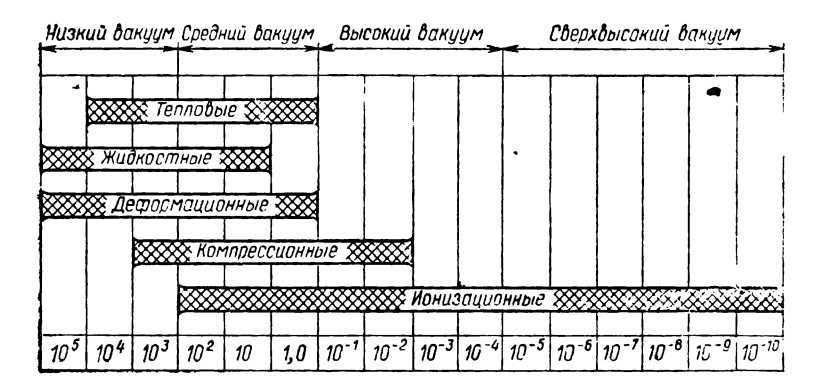


Рис. 10.1. Области давлений, измеряемые вакуумметрами.

По принципу действия вакуумметры можно свести в следующие классы:

жидкостные, непосредственно измеряющие давление (U-образные вакуумметры и их модификации);

компрессионные, действие которых основано на законе изотермического сжатия идеального газа (вакуумметр Мак-Леода);

деформационные, использующие в качестве чувствительного элемента сильфон, мембрану и т. п., в которых деформация чувствительного элемента служит мерой давления;

тепловые вакуумметры, использующие зависимость теплопроводности газа от давления; они подразделяются на термопарные и вакуумметры сопротивления;

ионизационные; в которых используется ионизация газа; большая группа приборов этого класса подразделяется в свою очередь на:

а) электроразрядные, принцип действия которых основан на зависимости параметров электрического разряда в разреженном газе от давления;

б) электронные ионизационные, ионизация газа в которых осуществляется потоком электронов, ускоряемых электрическим полем.

Области давлений, измеряемые вакуумметрами, по-казаны на рис. 10.1, а в табл. 10.2 приведены их основ-

ные характеристики.

Всю группу вакуумметров можно также разделить на приборы прямого и косвенного действия.

Вакуумметрами прямого действия являются приборы, которые непосредственно измеряют давление газа. Метрические свойства этих вакуумметров можно заранее рассчитать или получить с помощью градуировки по динамометрическим приборам. Отсчет давления вакуумметров прямого действия принципиально не зависит от состава газа и его температуры. Эти приборы перекрывают диапазон  $1 \cdot 10^5 - 1 \cdot 10^{-3}$  Па, причем их относительная погрешность тем меньше, чем выше давление.

К вакуумметрам прямого действия относятся жидкостные, компрессионные и деформационные.

Вакуумметры косвенного действия измеряют не само давление, а некоторую его функцию и, как правило, состоят из манометрического преобразователя и измерительного блока. Отсчет давления (выходной сигнал) у вакуумметров косвенного действия зависит от состава газа и его температуры.

Вакуумметры косвенного действия способны измерять давления от атмосферного до  $10^{-10}$  Па. К этим вакуумметрам относятся тепловые и ионизационные приборы.

Для удобства контроля давления в широком диапазоне ионизационные вакуумметры оснащаются обзорными шкалами с распределением отсчетов, близким к логарифмическому. При этом легко осуществляются запись давления и использование сигнала от вакуумметра для управления. Большинство промышленных вакуумметров имеет выход аналогового сигнала давления, изменяющегося от 0 до 10 В и рассчитанного на нагрузку не менее 2 кОм. Аналоговый сигнал может быть использован для ввода в ЭВМ, управления программными устройствами, блокировки и записи.

Некоторые типы вакуумметров (блокировочные), помимо измерения давления, способны сами производить управление каким-либо процессом по давлению. Блокировка чаще всего осуществляется по двум точкам, что 12•

Тичт вакуумметра	Принципиальное устройство	Диапазо <b>н</b> нзме- рений, Па	При менение
<b>Жи</b> дкостн <b>ые</b>		10—105	Лабораторная практика, метрология
Компрессионные		10-3-103	Вакуумная мет- рология
Деформационные		1—105	Низковакуумное о <b>б</b> орудование
<b>Тепловые</b> сопро- тивления		10-1-105	Технслогические вакуумные установки
<b>Т</b> епловые термо - парные		10-1-103	То же

Тип вакуумметра	Принципиальное устройство	Диапазон измерения	Применевне
Электр онные иони- заци онные		10-8-102	Технологические вакуумные установки
Магкитные элек- троразрядные		10-10-16-2	Автоматизиро- ванные систе- мы высокого и сверхвысокого вакуума

исключает возможность частого срабатывания по ложным сигналам. Выбранные значения давления срабатывания можно сближать в одну точку или разводить до крайних значений диапазона. Во всех блокировочных вакуумметрах разрывная мощность контактов реле не превышает 50 Вт для цепей постоянного тока с индуктивной нагрузкой 2 Гн и 500 Вт для цепей переменного тока (220 В, 50 Гц). При необходимости коммутирования цепей с большими токами блокировочные реле вакуумметров используются как промежуточные, управляющие внешними, более мощными реле.

В вакуумном приборостроении применяются нормализованные конструкции присоединительных элементов манометрических преобразователей. Все прогреваемые манометрические преобразователи монтируются на стандартном манометрическом фланце ДУ-50. Преобразователи на фланце ДУ-50 с металлическим уплотнителем выдерживают прогрев до 700 К.

В производственных условиях преимущественно используются деформационные вакуумметры и вакуумметры косвенного действия, которые практически безынерционны, охватывают широкий диапазон давлений и просты в эксплуатации.

#### 10.2. ЖИДКОСТНЫЕ U-ОБРАЗНЫЕ ВАКУУММЕТРЫ

Жидкостные U-образные вакуумметры служат для измерения абсолютного давления в диапазоне от атмосферного до 1 Па.

Жидкостные вакуумметры обычно представляют собой стеклянную трубку, изогнутую в виде латинской буквы U и частично заполненную рабочей жидкостью. Принцип работы жидкостных вакуумметров основая на

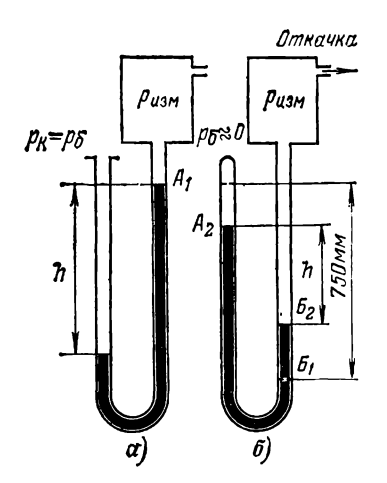


Рис. 10.2. Жидкостные U-образные вакуумметры. a — открытый вакуумметр;  $\delta$  — закрытый вакуумметр

изменении уровней рабочей жидкости в обоих коленах трубки в зависимости от разности давлений над этими уровнями.

Одним концом вакуумметр присоединяется к вакуумной системе, давление в которой требуется измерить, другой конец или открыт (т. е. постоянно сообщается с атмосферой) или закрыт (запаян).

Открытые U-образные вакуумметры. Поскольку до начала откачки над уровнями в обоих коленах давление одинаково (равно атмосферному), оба уровня находятся на одинаковой высоте.

Если начать откачку вакуумной системы, то уровни рабочей жидкости начнут перемещаться (рис. 10.2). Перепад давлений  $p_6-p_{изм}$ , действующих на поверхности жидкости, уравновешивается гидростатическим давлением разности высот столба жидкости в коленах вакуумметра. Давление столба жидкости определяется его массой, отнесенной к единице площади, и зависит только от высоты столба h и плотности жидкости p:

$$\Delta p = p_6 - p_{\text{M3M}} = g \rho h, \qquad (10.2)$$

где  $p_6$  — атмосферное (барометрическое) давление;

 $p_{\text{изм}}$  — измеренное давление;

ρ — плотность жидкости в вакуумметре;

h — разность уровней жидкости;

д — ускорение силы тяжести.

Таким образом, мы видим, что показания вакуумметра зависят от атмосферного давления. При известном атмосферном давлении  $p_6$  в момент измерения можно подсчитать абсолютное давление в вакуумной системе:

$$p_{\text{изм}} = p_6 - g \rho h$$
.

Если в качестве рабочей жидкости вакуумметра взять ртуть, то

 $p_{\text{M3M}} = p_6 - 1.33 \cdot 10^2 h$ ,  $\Pi a$ ,

где  $p_6$  — в паскалях;

h — в миллиметрах.

Таким образом, для того, чтобы измерить давление в вакуумной системе открытым ртутным вакуумметром, необходимо знать атмосферное (барометрическое) давление  $p_6$  в момент измерения и из него вычесть  $1,33\times 10^3h$ .

Закрытые U-образные вакуумметры. Закрытые U-образные вакуумметры измеряют разность давлений в вакуумной системе  $p_{\text{изм}}$  и в запаянном колене вакуумметра  $p_{\text{к}}$ . В закрытых вакуумметрах в качестве рабочей жидкости применяют ртуть, которую заливают в вакуумметр, предварительно откачанный до давления не больше 0,1 Па. Поэтому давление  $p_{\text{к}}$  в запаянном колене можно полагать равным нулю независимо от высоты уровня («торричеллиева пустота»).

До начала откачки, пока давление в вакуумной системе равно атмосферному  $p_{\text{изм}} = p_{\text{б}}$ , например  $10^5$  Па, ртуть занимает положение  $A_1$  в закрытом колене и  $\mathcal{B}_1$  со стороны вакуумной системы (рис. 10.2,б). Очевидно, разность уровней  $A_1 - \mathcal{B}_1$  должна по вертикальному направлению составлять как раз 750 мм, так как только таким образом уравновесится различие в давлениях со

стороны обоих уровней ртути.

По мере откачки давление в вакуумной системе будет уменьшаться, и для уравновешивания разницы давлений над уровнями ртути понадобится уже меньшая разность уровней, например  $A_2$ — $B_2$ . Наконец, когда достигнуто достаточно низкое давление, уровни ртути в обоих коленах будут находиться на одинаковой высоте, так как со стороны вакуумной системы достигнуто давление, практически равное давлению над уровнем ртути в закрытом колене.

Таким образом, при помощи закрытого U-образного вакуумметра давление ризм в вакуумной системе изме-

ряется путем непосредственного отсчета разности уровней ртути:

 $p_{\text{изм}}=1,33\cdot10^2h$ ,  $\Pi a$ ,

где h=A-B, мм.

### 10.3. КОМПРЕССИОННЫЕ ВАКУУММЕТРЫ

#### Общее описание и принцип работы

Для измерения давления ниже 1 Па обычные жидкостные вакуумметры малопригодны из-за невысокой точности и громоздкости. Для измерения абсолютных давлений ниже 1 Па до  $10^{-3}$  Па нашли применение копрессионные вакуумметры с предварительным сжатием газа.

Компрессионный вакуумметр был сконструирован Мак-Леодом в 1874 г. и часто называется его именем.

Вакуумметр (рис. 10.3) состоит из стеклянного баллона 1 сферической формы с измерительным капилляром 2, верхний конец которого запаян. От баллона 1 вниз идет припаянная к нему трубка 3, имеющая вверху ответвление 4, сообщающее измерительную часть вакуумметра через трубку 8 с вакуумной системой. В свою

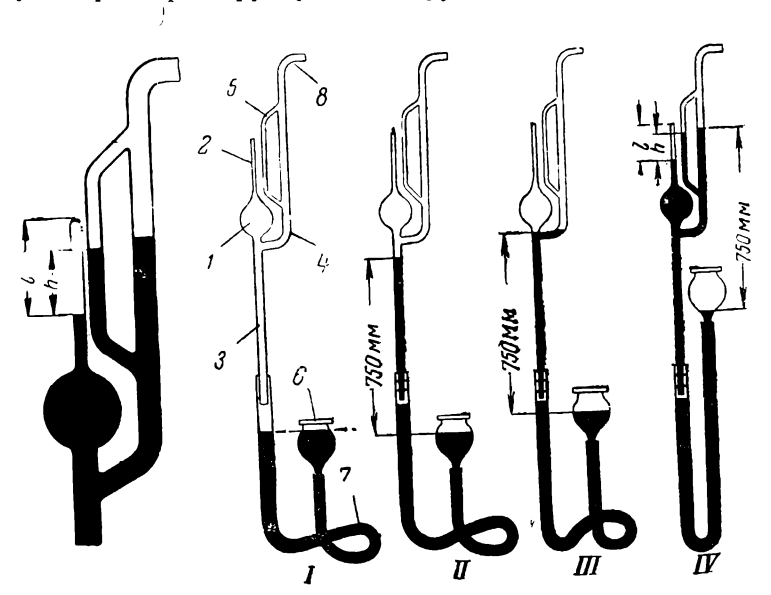


Рис. 10.3. Компрессионный вакуумметр Мак-Леода. 184

очередь трубка 4 разветвляется, образуя сравнительный

капилляр 5.

Измерительный и сравнительный капилляры имеют олинаковые внутренние диаметры, с тем чтобы исклюпить ошибку измерения. К нижнему концу трубки 3 через резиновый шланг 7 присоединяется груша 6 с ртутью. Груша сверху открыта, и, следовательно, над уровнем ртути в груше давление всегда равно атмосферному.

Перед измерением, когда в вакуумной системе атмосферное давление, уровни ртути в груше и в резиновом шланге будут одинаковы (рис. 10.3,1).

При откачке вакуумной системы уровень ртути в резиновом шланге и далее в трубке 3 будет подниматься, а в груше несколько понизится. Когда разность уровней лостигнет соответствия атмосферному давлению (например, 750 мм), дальнейшее перемещение ртути прекратится, и вакуумметр готов к измерению давления (рис. 10.3,II). Положение груши и измерительной части должно быть заранее предусмотрено с таким расчетом, чтобы до измерения поднимающаяся ртуть не могла дойти до ответвления 4. Это необходимо для того, чтобы сообщение между измерительной частью и вакуумной системой не было перекрыто ртутью и, следовательно, чтобы до измерения в измерительной части и в вакуумной системе было одно и то же давление.

Для измерения давления поднимают грушу 6. При этом поднимается уровень ртути в трубке 3, и в некоторый момент (рис. 10.3, III) ртуть перекроет сообщение измерительной части вакуумметра с вакуумной системой. Начиная с этого положения в измерительной части остается определенное количество газа  $pV_1$ , занимающее в момент перекрытия объем  $V_1$ , складывающийся из объемов: измерительного капилляра, сферического баллона 1 и небольшого участка трубки между баллоном и ответвлением; давление же в перекрытой части, очевидно, совпадает с измеряемым давлением  $p_{\text{изм}}$  в вакуумной системе.

При дальнейшем поднимании груши как давление, так и объем газа в измерительной части изменяются: давление становится больше, а объем газа во столько же раз меньше.

Положим, мы прекратим поднимание груши в момент, когда ртуть в измерительном капилляре заняла какой-то уровень (рис. 10.3,IV). Уровень в сравнительном капилляре 5 будет выше уровня ртути в измерительном капилляре 2 на отрезок h, так как над уровнем ртути в сравнительном капилляре давление будет меньше и равно измеряемому  $p_{\text{изм}}$ .

Очевидно, что давление (мм рт. ст.) сжатой в измерительном капилляре порции газа будет измеряться суммой  $h+p_{\rm H3M}$ , а количество газа будет равно  $(h+p_{\rm H3M})V_2$ . Так как количество газа, перекрытого в момент, соответствующий рис. 10.3, III, осталось неизменным, температура практически также не изменялась, то можно, применив закон Бойля — Мариотта, записать:

$$\rho_{\text{изм}}V_1 = (h + p_{\text{изм}}) V_2 = p_1 V_2.$$

Обычно компрессионные вакуумметры используют для измерений таких низких давлений, которые заметного влияния на разность уровней h не оказывают, т. е. когда  $p_{\text{изм}} \ll h$ ; поэтому можно записать:

$$p_{\text{\tiny MSM}} = 1,33 \cdot 10^{\circ} \frac{V_{\circ}}{V_{1}} h$$
,  $\Pi a$ , (10.3)

где h в миллиметрах.

Таким образом, измерение давления в вакуумной системе компрессионным вакуумметром сводится к такому уменьшению первоначального объема газа  $V_1$  до объема  $V_2$ , чтобы первоначальное, очень малое давление  $\rho_{\text{изм}}$ , которое нужно измерить, было увеличено до давления, измеряемого непосредственно по разности уровней ртути h в измерительном и сравнительном капиллярах.

#### Способы градуировки и измерения

В зависимости от способа градуировки существуют два метода измерения давления компрессионным вакуумметром: метод линейной шкалы и метод квадратичной шкалы.

По методу линейной шкалы (рис. 10.4,6) газ сжимается до заранее известного объема, отмеченного делением на высоте l капилляра l. Давление газа  $p_l$ , в мм рт. ст. в измерительном капилляре, очевидно, равно высоте ртутного столба h в сравнительном капилляре 2, отсчитываемой от отмеченного деления. Давление газа  $p_{\rm изм}$  в вакуумной системе можно определить по

формуле (10.3):

$$p_{\text{\tiny H3M}} = 1,33 \cdot 10^3 \, \frac{V_2}{V_1} \, h = K_{\text{\tiny B}} h,$$

**где**  $p_{\text{изм}}$  — давление в вакуумной системе, Па;

 н высота ртутного столба в сравнительном капилляре, мм;

 $V_1$  — объем сферического баллона с измерительным капилляром;

 $V_2$  — объем части измерительного капилляра, не заполненный ртутью;

 $K_{\rm B}$  — постоянная вакуумметра.

Так как значение  $K_B$  для данной метки постоянно, то измеряемое давление  $p_{изм}$  прямо пропорционально разности уровней h; отсюда и название метода линейной шкалы.

Таким образом, калибровка компрессионного вакуумметра, т. е. определение его метрических характеристик, сводится к измерению остающегося свободным объема

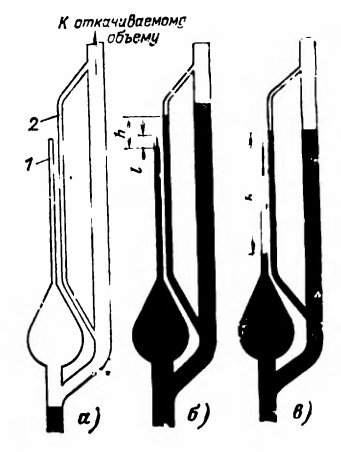


Рис. 10.4. Измерительная головка ртутного компрессионного вакуумметра

a — перед измерением;  $\delta$  — измерение по методу линейной шкалы:  $\epsilon$ — измерение по методу квадратичной шкалы.

измерительного капилляра  $V_2$  и полного объема  $V_1$  сферического баллона и измерительного капилляра. Нетрудно видеть, что  $K_{\rm B}=1,33\cdot 10^2\,\frac{^{4}V_{2}}{V_{1}}=1,33\cdot 10^3\,\frac{\pi d^2l}{4V_{1}}$  ,

следовательно, чтобы вакуумметр сделать более чувствительным к низким давлениям, надо брать баллон ( $V_1$ ) по возможности большего объема, а капилляр брать по возможности меньшего диаметра d. Наоборот, чтобы компрессионный вакуумметр позволял измерять более высокие давления, берут малый баллон и широкий капилляр.

Обычно, для того, чтобы исключить возможность разрыва столба ртути, диаметр капилляра делают не менее

 $1\,$  мм. Объем сферического баллона может достигать 0,7 л.

По методу квадратичной шкалы (рис. 10.4,в), который применяется для измерения давлений в более широком диапазоне, ртуть доводят в сравнительном капилляре 2 до уровня, соответствующего верхушке измерительного капилляра 1. В этом случае давление в вакуумной системе равно:

$$p_{\text{\tiny HSM}} = 1.33 \cdot 10^2 - \frac{V_2}{V_1} h = 1.33 \cdot 10^3 - \frac{\pi d^2 h}{4V_1} h$$
,  $\Pi a$ ,

где d — внутренний диаметр измерительного капилляра, мм;

 $V_1$  — объем баллона с измерительным капилляром, мм $^3$ :

h — высота ртути, мм.

Величина  $1,33\cdot 10^2\pi d^2/4V_1$ , как зависящая только от размеров вакуумметра, является для данного экземпляра вакуумметра постоянной. Обозначив ее через  $K_{\rm B}$ , получим:

$$p_{\text{изм}} = K_{\text{в}} h^2$$
.

Так как значение  $K_{\rm B}$  является постоянной величиной, то измеряемое давление  $p_{\rm MSM}$  прямо пропорционально квадрату разности уровней в измерительном и сравнительном капиллярах; отсюда и название метода квадратичной шкалы.

#### Особенности компрессионного вакуумметра

Работа жидкостного и компрессионного вакуумметра с ртутным наполнением связана с несколькими особенностями, которые следует учитывать, чтобы не делать ошибок при измерении давления.

- 1. В откачиваемый сосуд при измерении давления проникают пары ртути, которые загрязняют его и повышают давление в нем.
- 2. Компрессионными вакуумметрами проводят разовое измерение давления. Отсчет давления трудно передавать в автоматические системы записи и управления.
- 3. Компрессионный вакуумметр, как и U-образный жидкостный, является абсолютным вакуумметром, т. е. его можно рассчитать и проградуировать без сравнения с показаниями какого-либо другого вакуумметра.

#### 10.4. ДЕФОРМАЦИОННЫЕ ВАКУУММЕТРЫ

Деформационные вакуумметры измеряют давление от атмосферного до 0,1 Па. Мерой давления в них служит деформация чувствительного элемента, происходящая под действием приложенной к нему разности давлений.

Одним из основных достоинств деформационных вакуумметров является независимость их показаний от

рода газа. В лабораторной практике и в промышленности для измерения абсолютных давлений нашли применение деформационные вакуумметры трех основных типов: трубчатые, мембранные и сильфонные.

Трубчатые вакуумметры. В качестве элемента, чувствительного к равности давлений, трубчатый вакуумметр имеет трубку 1 эллиптического сечения, свернутую в спираль (рис. 10.5). Один конец этой трубки подсоединен к вакуумной системе при помощи штуцера 4, а другой — запаян и соединен через систему рычагов с зубчатым

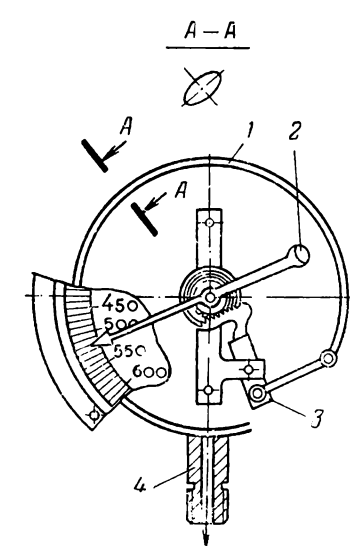


Рис. 10.5. Трубчатый вакуумметр. I — трубка эллиптического сечения; 2 — стрелка; 3 — зубчатый сектор; 4 — штуцер.

сектором 3, который приводит во вращение стрелку 2. Наружная поверхность трубки 1 всегда подвержена действию атмосферного давления. Пока в трубке сохраняется атмосферное давление (разность давлений равна нулю), стрелка стоит на нуле шкалы, так как отсутствует деформация трубки.

Изменение давления в вакуумном сосуде, к которому подсоединен вакуумметр, вызывает деформацию трубки под лействием разности давлений вне и внутри нее и, следовательно, поворот стрелки. Угол поворота стрелки пропорционален измеряемой разности давлений. Деление шкалы h, против которого останавливается стрелка, показывает. очевидно, разность между атмосферным

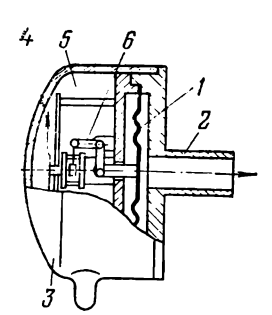


Рис. 10.6. Мембранный стрелочный вакуумметр.

I — мембрана; 2 — штуцер; 3 — корпус; 4 — стрелка; 5 — пространство, откачиваемое до давления 0.1 Па; 6 — рычаг.

(барометрическим) давлением  $p_{\epsilon}$  и давлением  $p_{\text{изм}}$  внутри трубки. Давление в вакуумном сосуде  $p_{\text{изм}}$  будет равно:

$$p_{\text{H3M}} = p_6 - h.$$
 (10.4)

Таким образом, показания вакуумметра зависят  $_{OT}$  барометрического давления.

**Мембранные вакуумметры**. В мембранных вакуумметрах (рис. 10.6) также используется деформация чувствительного элемента.

В вакуумметре мембрана 1 вакуумно-плотно отделяет пространство 5, ограниченное корпусом 3 и откачанное до давления p < 0,1 Па (сравнительное давление), от откачиваемого сосуда, к которому вакуумметр подсоединен штуцером 2. Сравнительное давление для описываемого вакуумметра можно считать равным нулю; поэтому разность давлений c обеих сторон мембраны непосредственно измеряется давление в вакуумном сосуде.

Таким образом, показания мембранного вакуумметра в отличие от трубчатого не зависят от барометрического давления.

Сильфонные вакуумметры по существу ничем не отличаются от мембранных, но в них увеличен ход чувствительного элемента путем применения вместо мембраны гибкой гофрированной трубки — сильфона. При тех же габаритах сильфоны имеют значительно меньшую жесткость, чем мембраны, и, следовательно, обеспечивают большую чувствительность измерений.

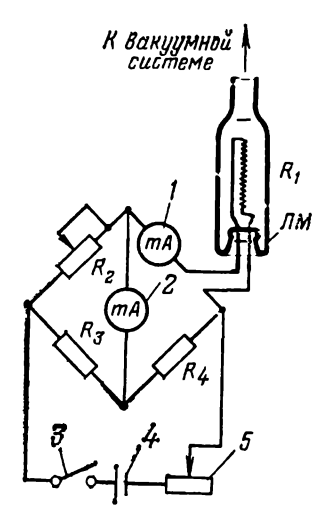
#### -10.5. ТЕПЛОВЫЕ ВАКУУММЕТРЫ

Тепловые вакуумметры нашли широкое применение для измерения давлений от 105 до 0,1 Па.

Принцип действия тепловых вакуумметров основан на зависимости теплопроводности газа от давления. При низких давлениях, когда средняя длина свободного пути молекул больше среднего расстояния между нагретым телом и стенками манометрического преобразотаю

Рис. 10.7. Манометрический преобразователь сопротивления и упрощенная схема измерительного блока. JM — дампа манометрическая (преобразователь);  $R_1$  — сопротивление нити накала;  $R_2$  — переменный резистор;  $R_3$  и  $R_4$  — постоянные резисторы; J и J — миллиамперметры; J — выключатель; J — батарея; J — батарея — ба

вателя, теплопроводность газа пропорциональна давлению. При более высоких давлениях, когда средняя длина свободного пути молекул значительно меньше среднего расстояния между нагретым телом и стенками преобразователя, теплопроводность газа не зависит от давления. В области



промежуточных давлений передача тепла увеличивается с ростом давления до постоянного значения (см. гл. 1).

Манометрические преобразователи тепловых вакуумметров по принципиальному устройству делятся на двебольшие группы: *сопротивления* и *термопарные*.

Простейшая конструкция манометрического преобразователя сопротивления представляет собой стекляннуюили металлическую трубку, по оси которой натянута нить, нагреваемая пропусканием тока (рис. 10.7). Подводимая к нити накала электрическая энергия расходуется на нагрев газа, излучение и отвод тепла через электрические вводы. При низких давлениях балансэнергии может быть выражен уравнением

$$I^{2}R_{H}(1+\alpha_{H}\Delta T) = c_{H}p\Delta T + \sigma_{H}(T^{4}-T^{4}_{O}) + b_{H}\Delta T,$$
 (10.5)

где  $c_{\rm H}p\Delta T$  — мощность, отводимая через газ, окружаю— щий нить, к стенкам трубки;

*p* — давление газа в преобразователе;

$$\Delta T = T - T_0$$
;

*T* — температура нити;

T₀ — температура окружающей среды;

 $\sigma_{\rm B}(T^4-T^4_{\rm o})$  — мощность, рассеиваемая нитью, вследствие излучения (по закону Стефана — Больцмана);

 $b_{\rm H}\Delta T$  — мощность, отводимая через подвеску  $_{\rm HITM}$  и электрические вводы путем теплопроводности;

I — ток нити накала;

 $R_{\rm H}$  — сопротивление нити накала при температуре  $T_{\rm o}$ ;

 $\alpha_{\text{H}}$  — температурный коэффициент сопротивления материала нити;

 $c_{\rm H}$ ,  $\sigma_{\rm H}$ ,  $b_{\rm H}$  — коэффициенты пропорциональности. Давление p можно найти из уравнения (10.5):

$$p = \frac{I^{2}R_{H}(1 + \alpha_{H}\Delta T) - b_{H}\Delta T - \alpha_{H}(T^{4} - T^{4}_{o})}{c_{II}\Delta T}.$$
 (10.6)

Это уравнение описывает градуировочную кривую преобразователя, причем об изменении давления можно судить как по изменению тока накала I нити при постоянстве температур T и  $T_{\rm o}$ , так и по изменению температуры нити T при постоянном токе накала I.

### Вакуумметры сопротивления (режим постоянства температуры)

На рис. 10.7 схематически изображены один из вариантов манометрического преобразователя сопротивления и упрощенная схема измерительного блока.

Манометрический преобразователь представляет собой стальную трубку, внутри которой на двух вводах натянута вольфрамовая нить накала.

Измерительная часть вакуумметра содержит мост

для измерения сопротивлений:

 $R_1$ — сопротивление нити маномстрического преобразователя, обладающее большим температурным коэффициентом, чтобы изменение температуры нити достаточно резко сказывалось на сопротивлении  $R_1$ ;

 $R_2$  — переменное сопротивление из материала с малым температурным коэффициентом, чтобы изменение температуры практически не скат

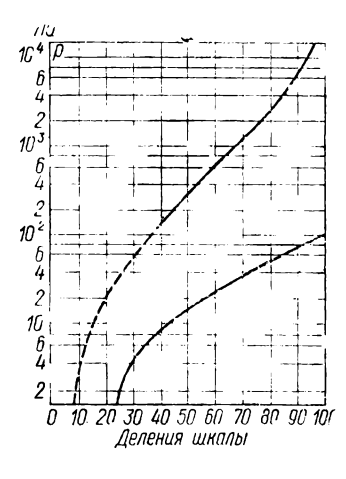
зывалось на нем;

 $R_3$  и  $R_4$  — постоянные сопротивления также с очень малым температурным коэффициентом, причем  $R_3 = R_4$ . Обычно сопротивления  $R_3$  и  $R_4$  изготавливают из манганина или константана.

10.8. Градуировочные кривые манометрического преобразователя сопротивления по воздуху.

Верхняя сплошная кривая соответствует диапазону давлений 4·10³—92 Па, нижняя сплошная кривая соответствует диапазону давлений 92—1 Па.

Измерение давления обычно проводят при постоянной температуре нити манометрического преобразователя. При изменении давления начинают меняться теплоотвод и, следотемпература нити. вательно. Уменьшением тока накала 1 температуру нити возвращают к исходному значению и судят



о давлении по значению тока І, который измеряют прибором 1.

Чтобы по положению стрелки на шкале прибора 1 измерить давление, вакуумметр заранее градуируется. На рис. 10.8 показаны градуировочные кривые одного из вакуумметров, из которых видно, что верхний предел измеряемых давлений, начиная с которого стрелка прибора начнет заметно перемещаться, находится в области тысяч паскаль, а нижний предел достигает 1 Па.

#### Термопарные вакуумметры (режим постоянства тока накалај

На рис. 10.9 схематически изображены конструкция термопарного манометрического преобразователя и упрощенная схема измерительного блока. Манометрический преобразователь ЛМ представляет собой стеклянный или металлический корпус, в котором на двух вводах смонтирован платиновый или никелевый подогреватель 3, на двух других вводах крепится термопара 4, изготовленная из хромель — копеля или хромель — алюмеля.

Термопара и подогреватель сварены через перемычку П. Подогреватель нагревается током, который можно регулировать реостатом 5 и измерять миллиампермет-Ром 1. Спай термопары, нагреваемый подогревателем, является источником термо-э. д. с., значение которой показывает милливольтметр 2.

13-1081

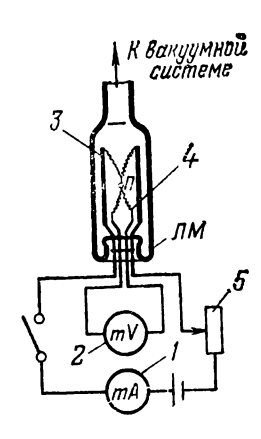


Рис. 10.9. Термопарный манометрический преобразователь и упрощенная схема измерительного блока. ЛМ — лампа манометрическая (преобразователь); Лемилиамперметр; 2 — миллиамперметр; 3 — подогреватель; 5 — реостат; Леобщая точка подогревателя и термопары.

Пока давление в вакуумной системе равно атмосферному, стрелка милливольтметра при заданном для данной манометрической лампы тонакала I стоит вблизи нуля. При понижении давления в системе стрелка начинает перемещаться в сторону увеличения термо-э. д. с., так как с уменьшением давления уменьшается теплопроводность газа и, следовательно, повышается температура перемычки. Точность измерения давления термопарным вакуумметром существенно зависит от правильного подбора тока накала подогревателя. Ток накала подогревателя можно определить до вскрытия новой лампы (в случае стеклянного корпуса) или при откачке преобразователя до давления  $p < 1,3 \cdot 10^{-2}$  Па.

При этих давлениях теплоотвод по газу от подогревателя пренебрежимо мал и вся подводимая мощность расходуется на излучение

(около 63%) и теплоотвод по вводам (около 37%). Ток подогревателя подбирают таким образом, чтобы стрелка милливольтметра точно совпадала с последним делением шкалы; при этом показания миллиамперметра (шкала «ток накала») будут соответствовать рабочему току подогревателя.

Градуировочные кривые одного из промышленных термопарных преобразователей по воздуху показаны на рис. 10.10.

#### Особенности тепловых вакуумметров

Достоинствами тепловых вакуумметров являются возможность непрерывного наблюдения за изменением давления в вакуумной системе, простота конструкции и их применимость к измерению давлений всех газов и паров. Как уже упоминалось, тепловые вакуумметры являются приборами косвенного действия, и их градуировочные кривые для различных газов различны и определяются теплопроводностью этих газов и коэффи-

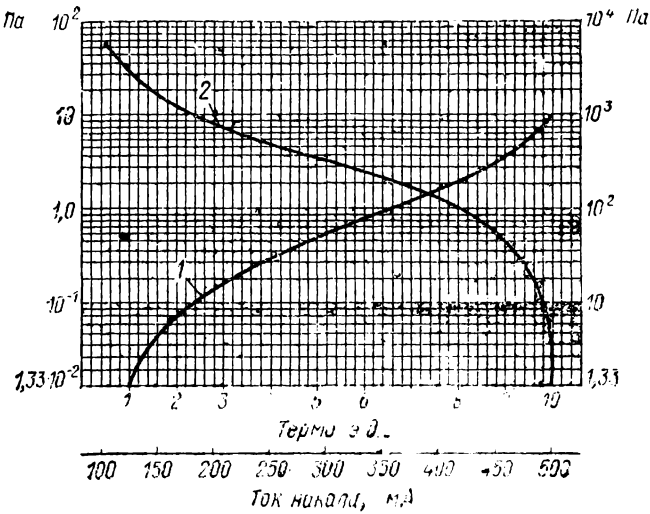


Рис. 10.10. Градуировочные кривые для термопарного манометрического преобразователя по воздуху.

// прадунровочная кривая для измерения давления в диапазоне 6,6 · 10<sup>2</sup>—66 Па; 2 — градуировочная кривая для измерения давления в диапазоне 66—1 · 10<sup>-1</sup> Па.

циентом температурной аккомодации молекул газа на нагревателе.

Тепловые вакуумметры не боятся прорывов атмосферы и имеют практически неограниченный срок службы. Загрязненные парами масла преобразователи очищаются промывкой в органическом растворителе. При наличии в газовой среде повышенной концентрации паров масел или воды между преобразователем и обследуемой системой необходимо устанавливать низкотемпературную охлаждаемую ловушку.

Существенным недостатком тепловых вакуумметров является изменение тока накала нити с течением времени, что требует проведения периодической проверки тока накала. Некоторым недостатком тепловых вакуумметров является их относительная инерционность — задержка отсчета во времени при быстром изменении давления.

#### 10.6. ЭЛЕКТРОННЫЕ ИОНИЗАЦИОННЫЕ ВАКУУММЕТРЫ Принцип действия

Работа ионизацифиных манометрических преобразователей основана на ионизации газа электронным пото-13\*

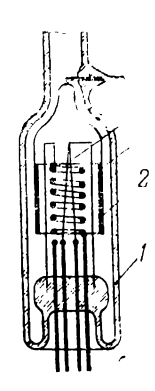


Рис. 10.11. Конструкция электронного ионизационного манометрического преобразователя.

1 — стеклянный баллон; 2 — коллектор ионов; 3 — анодная сетка; 4 — хатод.

ком и измерении ионного тока, по которому судят о давлении.

Конструкция наиболее распространенного отечественного электронного ионизационного манометрического преобразователя показана на рис. 10.11. В стеклянном баллоне преобразователя 1 смонтирована трехэлектродная система, состоящая из коллектора ионов 2,

анодной сетки 3 и прямоканального катода 4. На анодную сетку относительно катода подается напряжение +200 В, а на цилиндрический коллектор ионов -50 В. Анодная сетка преобразователя выполнена из вольфрамовой проволоки диаметром 0,2 мм в виде бифилярной спирали. При прогреве преобразователя для его обезгаживания по спирали пропускается ток 3 А.

Вольфрамовый катод преобразователя испускает электроны, которые движутся к аноду. Часть электронов пролетает сквозь анодную сетку и попадает в пространство, заключенное между анодной сеткой и коллектором. Так как коллектор имеет отрицательный потенциал относительно катода, электроны не могут попасть на коллектор. В точке пространства с нулевым потенциалом электроны останавливаются и начинают движение в противоположном направлении — к положительно заряженной анодной сетке. В результате у сетки непрерывно колеблются электроны, причем прежде, чем попасть на анод, электроны совершают в среднем до 5 колебаний. При столкновении электронов с молекулами газа происходит ионизация молекул. Образовавшиеся положительные ионы собираются на находящемся под отрицательным потенциалом коллекторе, создавая в его цепи ионный ток.

Как показал опыт, при достаточно низких давлениях (обычно ниже 0,1  $\Pi a$ ) отношение ионного тока  $I_{u}$  к электронному току  $I_{e}$  прямо пропорционально давлению газов  $p_{usm}$  в манометрическом преобразователе:

$$\frac{I_{\rm M}}{I_e} = s_{\rm M} p_{\rm H3M}. \tag{10.7}$$

Это соотношение и лежит в основе работы электронного ионизационного преобразователя.

Множитель пропорциональности

$$s_{\rm M} = \frac{I_{\rm H}}{I_e} \frac{1}{p_{\rm H3M}}$$

выражает чувствительность преобразователя: очевидно, чувствительность тем выше, чем больше отношение  $I_{n}/I_{e}$  при данном давлении  $p_{\text{изм}}$ .

Для получения однозначной зависимости ионного тока от давления электронный ток манометрического преобразователя поддерживают постоянным.

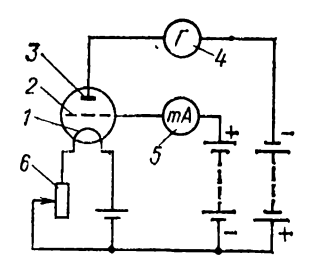
Тогда

$$I_{\mathtt{M}} = k_{\mathtt{T}} p_{\mathtt{M3M}}, \tag{10.8}$$

где  $k_{\rm T} = s_{\rm M} I_c$  характеризует величину ионного тока на единицу давления ( $k_{\rm T}$  иногда называют токовой чувствительностью или постоянной электронного ионизационного преобразователя).

Рис. 10.12. Упрощенная принципиальная схема включения электронного ионизационного манометрического преобразователя.

1— катод; 2— анодная сетка; 3— коллектор ионов; 4— прибор для измерения ионного тока; 5— миллиамперметр; 6— реостат.



При работе с различными газами чувствительность преобразователя будет отличаться от чувствительности по воздуху, но линейная зависимость сохраняется. В приложении приведены значения отношений чувствительности электронного ионизационного преобразователя по некоторым газам к чувствительности его по воздуху.

На основании (10.8) давление в манометрическом преобразователе определяется соотношением

$$p_{\text{H3M}} = \frac{1}{k_{\pi}} I_{\text{H}}. \tag{10.9}$$

Таким образом, для измерения давления достаточно при заданном электронном токе измерить ионный ток и разделить на постоянную преобразователя.

На рис. 10.12 приведена упрощенная принципиальная схема включения электронного понизационного преобразователя.

В электрическую схему измерительного блока входя:

- а) цепь катода *I*, состоящая из источника питания и реостата *6* для регулировки температуры и, следовательно, эмиссии электронов;
- б) цепь сетки 2, состоящая из источника питания п прибора 5 для измерения электронного тока;
- в) цепь коллектора 3, состоящая из источника питания и прибора 4 для измерения ионного тока.

# Электронные ионизационные преобразователи для измерения давления в диапазоне среднего вакуума

Верхний предел давлений, измеряемых электронными ионизационными манометрическими преобразователями, ограничен следующими основными причинами:

- 1) малым сроком службы обычного вольфрамового термокатода, который в присутствии химически активных газов выходит из строя:
- 2) нелинейностью зависимости ионного тока в цепи коллектора от давления газа.

Верхний теоретический предел измеряемых давлений

$$p_{\text{M3M.Marc}} = 1/s_{\text{M}}.$$
 (10.10)

Таким образом, электронный ионизационный преобразователь для измерения высоких давлений должен иметь высокостойкий против химического воздействия газов катод и малую чувствительность  $s_{\mathbf{M}}$ .

### Электронные ионизационные манометрические преобразователи для измерения сверхвысокого вакуума

Нижний предел давлений, измеряемых электронными ионизационными манометрическими преобразователями, определяется фоновым током, не зависящим от давления. Это прежде всего фоновый ток фотоэлектронной эмиссии с коллектора и ток ионно-электронной десорбции с анода. Фоновый ток фотоэлектронной эмиссии образуется при облучении коллектора ионов мягким рентгеновским излучением с анода, возникающим при бомбардировке его электронным потоком. Фоновый ток фотоэлектронной эмиссии

$$I_{\Phi,\partial} = k_{\Phi,\partial} I_e Z_a U^n_{a,\kappa} \varphi, \qquad (10.11)$$

 $rne k_{\Phi^m}$  — коэффициент пропорциональности;

 $I_c$  — электронный ток на аноде;

Za — атомный номер материала анода;

 $n = 1.4 \div 2$  — показатель степени;

 $U_{a,\kappa}$  — напряжение на аноде относительно катода;

 ф — телесный угол, под которым коллектор просматривается с анода.

Так, фоновый ток фотоэлектронной эмиссии одного из преобразователей имеет значение, соответствующее давлению  $5\cdot 10^{-7}$  Па, т. е. давление  $5\cdot 10^{-6}$  Па преобразователь измеряет с дополнительной погрешностью в 10%. Поэтому считают, что нижний предел измеряемых давлений  $p_{\text{изм.мин}}$  определяется условием  $I_{\pi} = I_{\Phi, \theta}$  и в соответствии с уравнениями (10.7) и (10.11)

$$p_{\text{\tiny H3M.-MHH}} = \frac{R_{\Phi.\bullet}}{s_{\text{\tiny M}}}, \qquad (10.12)$$

где  $s_{\rm M}$  — чувствительность;

 $R_{\Phi,0}$  — фоновая постоянная:

$$R_{\phi,\vartheta} = k_{\phi,\vartheta} Z_a U^a_{a,\kappa} \varphi. \tag{10.13}$$

Для снижения фоновой постоянной уменьшают прежде всего телесный угол ф, при этом коллектор преобразователей сверхвысоковакуумного диапазона выполняется в виде тонкой нити или стержня.

Возможен еще один источник значительной ошибки при измерении низких давлений. Электронный поток на анод наряду с десорбцией газа с его поверхности производит частичную ионизацию газа. Вместе с ионами из газовой фазы ионы десорбирующего газа также поступают на коллектор и искажают отсчет давления.

При давлениях выше  $10^{-5}$  Па эффектами ионноэлектронной десорбции можно пренебречь. При более низких давлениях для снижения токов ионной десорбции необходим тщательный и длительный прогрев анодной сетки преобразователя.

Для измерения давления до 10<sup>-8</sup> Па промышленностью выпускается серия электронных ионизационных манометрических преобразователей с осевым коллектором ионов.

Коллектор ионов преобразователя (рис. 10.13) установлен по оси анодной сетки 2 и выполнен в виде тонкого вольфрамового стержия, имеющего в основании диаметр 0.1 мм и постепенно утончающегося к вершине.

Преобразователь имеет сменный катод 1, расположенный с наружной стороны анодной сетки 2. При работе преобразователя электроны колеблются по обе стороны анодной сетки. На коллектор 3 попадают только те ионы, которые образовались внутри нее. Анодная сетка 2 преобразователя может быть обезгажена электронной бомбардировкой или пропусканием тока по ней. В последнем случае сетка может быть нагрета до 1100 К.

Электроды преобразователя размещаются на фланце 5 непосредственно в вакуумном сосуде, в котором измеряют давление. Для исключения влияния окружа-

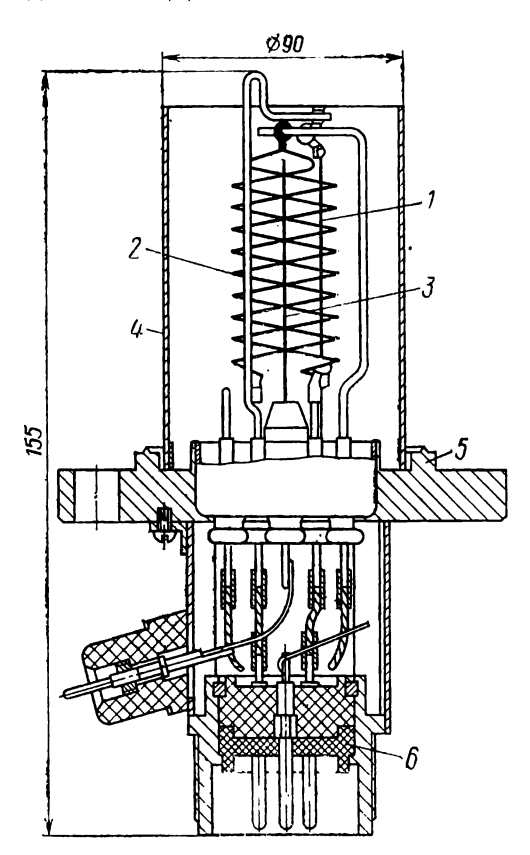


Рис. 10.13. Электронный ионизационный преобразователь для измерения сверхнизких давлений.

1- катод; 2- анодная сетка; 3- коллектор; 4- экран 5- фланец 6- цоколь.

ющих преобразователь металлических конструкций вакуумной системы на метрические характеристики преобразователя и воздействия различного рода наводок электродная система окружена заземленным металлическим экраном 4. При давлениях выше 10-2 Па экран отключается от обще: о минуса и используется в качестве анода. Коллектором ионов служит в этом случае анодная сетка преобразователя.

# 10.7. МАГНИТНЫЕ ЭЛЕКТРОРАЗРЯДНЫЕ ВАКУУММЕТРЫ Принцип действия

Магнитные электроразрядные вакуумметры способны измерять как достаточно высокие давления около  $10^2~\Pi a$ , так и сверхнизкие давления, вплоть до  $10^{-10}~\Pi a$  и ниже.

Ионизация газа в этих вакуумметрах осуществляется не термоэлектронами, эмиттируемыми накаленным катодом, а обеспечивается и поддерживается благодаря самостоятельному разряду между холодными электродами. Принцип работы магнитного электроразрядного вакуумметра можно понять из упрощенной схемы, изображенной на рис. 10.14.

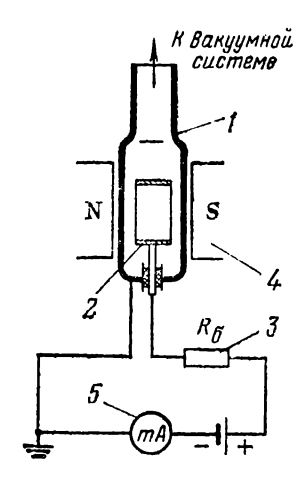
В манометрическом преобразователе имеются всего два электрода: катод, которым является металлический корпус 1 прибора, и анод в виде металлического кольца 2. Вдоль оси анода создается магнитное поле с индукцией 0,05—0,2 Тл, создавае-

мое постоянным магнитом 4.

Через балластное, ограничивающее сопротивление на анод подается высокое ПОЛОЖИТЕЛЬНОЕ напряжение (2,5—3 кВ). При достаточнизком давлении анодом и корпусом прибора возникает самостоятельный

Рис. 10.14. Манометрический преобразователь магнитного электроразрядного вакуумметра и упрощенная схема измерительного блока.

1 — корпус (катод); 2 — кольцевой анод; 3 — балластный резистор; 4 — постоянный магнит; 5 — измерительный прибор.



тлеющий разряд. Для возникновения разряда необходимо, чтобы вблизи катода (корпуса) появился хотя бы один электрон, который под совместным действием электрического и магнитного полей будет двигаться к положительно заряженному аноду по удлиненной траектории. При этом повышается вероятность соударения электрона с молекулами газа и их ионизации. Такие одиночные электроны всегда появляются, например, под действием космического излучения. Эти электроны и дают начало ионизации молекул газа.

Образовавшиеся при ионизации положительные ионы перемещаются к корпусу (катоду) и нейтрализуются на нем. Обладая значительной энергией, положительные ионы выбивают из корпуса вторичные электроны, которые, двигаясь к аноду, также ионизируют газ.

Балластное сопротивление 3 автоматически снижает разность рабочих напряжений на электродах преобразователя при высоких давлениях, предотвращая тем самым возможность перехода тлеющего разряда в межэлектродном промежутке в дуговой.

Ток положительных ионов на катод и ток вторичных электронов с него в сумме численно равны электронному току в цепи анода. В результате ионизации газа возникает электрический разряд, ток которого в достаточно широком диапазоне зависит от давления. Зависимость тока разряда преобразователя  $I_{\rm p}$  от давления газа  $p_{\rm нам}$  может быть выражена формулой

$$I_{p} = \frac{U_{x.x} - U_{o}}{R_{c} + k^{-1} p_{HSM}^{-n}}, \qquad (10.14)$$

где  $U_{x:x}$  — напряжение холостого хода источника питания преобразователя;

U<sub>0</sub> — минимальное напряжение между электродами преобразователя (корпусом и анодом) при наибольшем измеряемом давлении;

 $R_{6}$  — сопротивление внешнего балластного резистора;

k — коэффициент чувствительности преобразователя;

n — показатель степени (обычно n =0,9 $\div$ 1,15). В широком диапазоне давлений, когда  $U_{x.x}/I_p$  ≫  $R_6$ ,

$$I_{\mathbf{p}} = k_{\mathbf{p}} p^{n}_{\mathbf{H}^{3M}}, \qquad (10.15)$$

где  $k_{p} = (U_{x.x} - U_{0}) k$ .

Все разновилности магнитных электроразрядных преобразователей могут быть классифицированы по взаимному направлению электрического и магнитного полей на две большие группы: преобразователи с параллельными электрическим и магнитным полями (преобразователь Пеннинга) и преобразователи со скрещивающимися полями. Последняя группа в свою очередь может быть подразделена на магнетронные и инверсно-маснетронные.

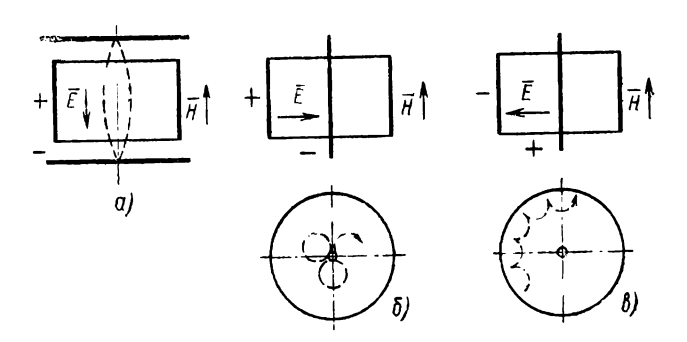


Рис. 10.15. Классификация магнитных электроразрядных преобразователей и траектории основного движения электронов в них. a — преобразователь со взаимно параллельными электрическим и магнитным полями (преобразователь Сенинга); b — магнстронный; b — инверсно-магнетронный преобразователь со взаимно перпендикулярными электрическим и магнитным полями, f — напряженность электрического поля; d — индукция магнитного поля.

На рис. 10.15 показаны принципиальные схемы преобразователей всех типсв и траектории движения электронов в них. Для всех магнитных электроразрядных преобразователей характерно то, что прямой пролет электрона на анод запрешен благодаря применению значительного магнитного поля. В преобразователе с параллельными электрическим И магнитным 10.15,aдоминирует возвратно-поступательное движение электронов вдоль оси. В магнетронном и инверсно-магнетронном преобразователях электрон движется по циклоиде (рис. 10.15,6) и гипоциклоиде (рис. 10.15.8).

При своем движении до столкновения с молекулами электроны проходят громадные расстояния, исчисляемые в диапазоне высокого вакуума километрами.

#### Магнитные электроразрядные вакуумметры с повышенным верхним пределом измеряемых давлений

Верхний предел измеряемых давлений ограничен моментом, когда электрон между столкновениями с молекулами газа в силу малой длины свободного пути не набирает энергии, достаточной для ионизации. Вследствие этого разрядный ток перестает зависеть от давления. Сопротивление разрядного промежутка

$$R_{\rm p} = k^{-1} p_{\rm H3M}^{-n}$$

становится значительно меньше балластного сопротивления  $R_6$ . При высоких давлениях, когда общий раз-

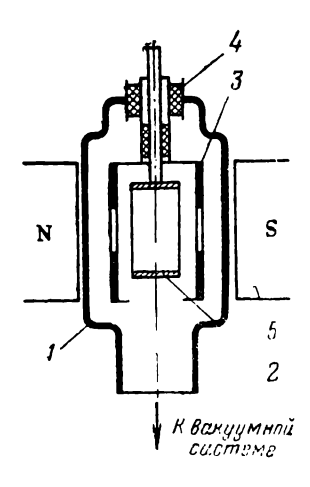


Рис. 10.16. Манометрический преобразователь магнитного электроразрядного вакуумметра с пределом измерения  $5 \cdot 10^{-3} - 10^2$  Па 2 -анод: 3 -коробчатый коллектор, 4 -

изолятор; 5 - магнит.

рядный ток перестает изменять. давлением, в разрядном промежутке имеет место расширение ионного потока, движущегося на катол. Плотность тока на периферии пучка растет с ростом давления, а в центре падает. С использованием этого эфдиапазона расширение измеряемых давлений в сторону верхнего предела до 10<sup>2</sup> Па может быть достигнуто размещением дополнительного электрода 3 в виде коробки с двумя отверстиями между катодом (корпусом) 1 и анодом 2 (рис. 10.16). Электрод 3, называемый коллектором, имеет отдельный вывод (через изолятор 4), что позволянезависимо измерять разрядного тока, проходящего через его цепи.

При высоких давлениях измерение производится в цепи коллектора 3, где проходят относи-

тельно малые токи. При давлениях меньше 1 Па вплоты до давления  $5 \cdot 10^{-3}$  Па измеряется суммарный ток на корпус 1 и коллектор 3.

#### Магнитные электроразрядные вакуумметры для измерения сверхнизких давлений

Нижний предел измеряемых электроразрядными вакуумметрами давлений ограничивается трудностью возникновения разряда, а также некоторыми побочными явлениями, которые при малых разрядных токах становятся заметными: автоэлектронной эмиссией, утечками и др.

Для измерения очень низких давлений около 10<sup>-11</sup> Па разработан преобразователь, имеющий конструкцию

магнетрона, у которого проволочный анод расположен по оси окружающего его цилиндрического катода (см. рис. 10.15.6). Ввиду такого обращенного (по сравнению с обычными магнетронами) электродов расположения преобразователь получил инверсно-магнетронного На рис. 10.17 дается схема инверсно-магнетрон-НОГО преобразователя, который состоит из цилиндрического катода 2, закрытого с торцевых сторон крышками, имеющими в центре отверстия, и анода 1 в виде

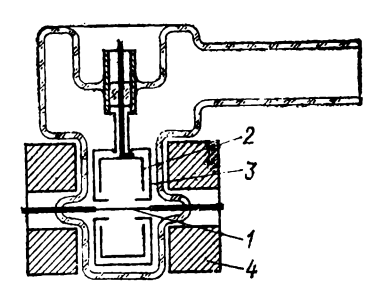


Рис. 10.17. Схема инверсномагнетронного манометрического преобразователя.

1— анод; 2— цилиндрический катод; 3— заземленный экран; 4—

постоянный магнит.

вольфрамового стержня, проходящего через эти отверстия по оси катода. Между краями отверстий в торцевых крышках катода и анода располагается заземленный экран 3. Между анодом и катодом прикладывается высокое напряжение (до 6 кВ). Преобразователь расположен в поле постоянного магнита 4.

Чувствительность такого преобразователя оказалась очень высокой благодаря следующим благоприятным факторам:

1. Под действием электрического и магнитного полей свободные электроны начинают двигаться по траекториям, близким к гипоциклоидам (см. рис. 10 15,6). При соударении с молекулой газа электрон теряет часть энергии и двигается по новой гипоциклоиде. После таких соударений электрон израсходует весь запас кинетической энергии и попадет на анод. Траектория электронов в преобразователе во много раз превышает расстояние между электродами, благодаря чему вероятность ионизации, а с нею и чувствительность преобразователя становятся чрезвычайно большими.

- 2. Благодаря наличию у катода 2 торцевых крышек (с отверстиями лишь для анода) уход электронов за пределы разрядного промежутка сильно затруднен и их потери очень малы.
- 3. В отличие от ионизационных манометрических преобразователей с горячим катодом, в которых электронный ток поддерживается постоянным, в магнитных электроразрядных преобразователях электронный ток возрастает с увеличением давления. Поэтому чем ниже давление, тем слабее бомбардировка анода электронами и его рентгеновское излучение, а следовательно, тем слабее и ток фотоэмиссии с катода. Это значит, что в магнитных электроразрядных преобразователях нижний предел измеряемых давлений не может лимитироваться током фотоэмиссии.
- 4. Следует заметить, что на нижний предел измеряемых давлений существенное влияние оказывает автоэлектронная эмиссия с краев отверстий катода, которая возникает под влиянием электрического поля большой напряженности. При достаточно низких давлениях ток автоэлектронной эмиссии начинает преобладать над нонным током на катод.

Для предотвращения этого тока в цепи катода анод 1 окружен заземленным экраном 3, который своими втулками входит между анодом и краями торцевых пластин катода. Возникающая со втулок экрана автоэлектронная эмиссия не регистрируется в цепи катода и играет положительную роль как источник электронов, облегчающих зажигание разряда в преобразователе при низких давлениях

### Самоочищающиеся магнитные электроразрядные преобразователи

Магнитные электроразрядные преобразователи, обладая механической прочностью и высокой чувствительностью, имеют существенный недостаток — способность к загрязнению. Особенно интенсивное загрязнение магнитного электроразрядного преобразователя наблюда-206

ется при его использовании в вакуумных системах, оснащенных паромасляными диффузионными насосами.

Газовый разряд в преобразователе при энергиях ионов и электронов до 2—3 кэВ сопровождается расщеплением высокомолекулярных компонентов газовой среды, попадающих из паромасляного насоса, которые создают на электродах манометрического преобразователя пленки, искажающие результаты измерений, а со временем и вовсе срывающие работу преобразователя.

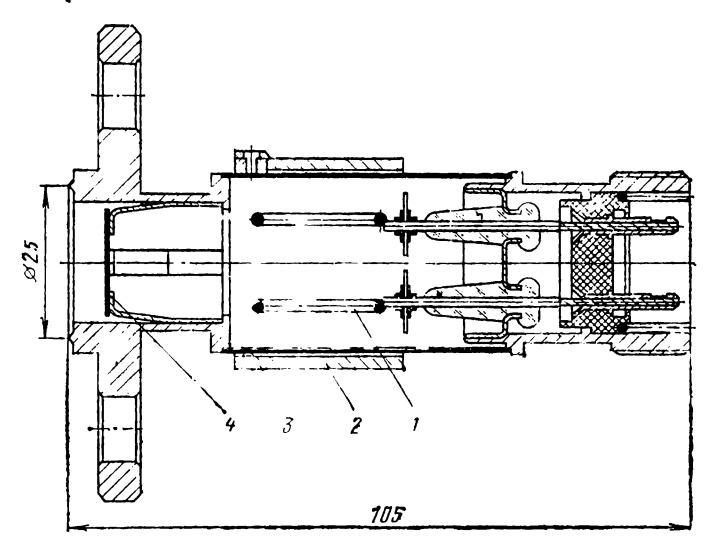


Рис. 10.18. Самоочищающийся магнитный электроразрядный преобразователь.

1 — кольцевой электрод; 2 — постоянный магиит; 3 — прямоугольная камера; 4 — механический маслоотражатель.

В результате срок службы обычных преобразователей в системах с паромасляными диффузионными насосами снижается до десятков часов.

Для работы в системах с повышенным содержанием высокомолекулярных соединений разработан самоочищающийся преобразователь, показанный на рис. 10.18. В прямоугольной камере 3 преобразователя установлены два электроизолированных кольцевых электрода 1. На камеру надет постоянный магнит 2. В патрубке преобразователя установлен маслоотражатель 4. Принципиальная электрическая схема питания преобразователя показана на рис. 10.19.

На центральные кольцевые электроды подается в противофазе переменное напряжение от повышающего трансформатора  $T_1$ . Средняя точка трансформатора через измерительный прибор  $M_1$  соединяется с коробчатым коллектором преобразователя—его корпусом. Во вторичную обмотку трансформатора  $T_2$  включен измерительный прибор  $M_2$ , позволяющий измерять переменный ток в цепи между кольцевыми электродами.

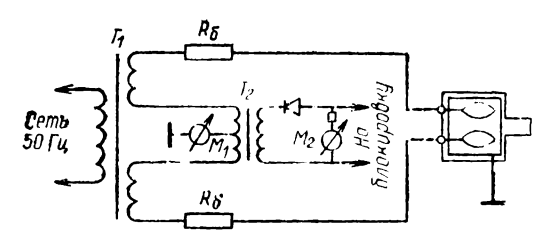


Рис. 10.19. Принципиальная электрическая схема питания самоочищающегося манометрического преобразователя.

В каждый полупериод напряжения между кольцевым электродом и ближней к нему пластиной коллектора возникает разряд, такой же по характеру, как в преобразователе Пеннинга. Образующиеся ионы частично уходят на коллектор, а частично на другой кольцевой электрод, находящийся под большим отрицательным потенциалом, т. е. в каждый полупериод одно из колец работает как анод, а другое подвергается сильной ионной бомбардировке и, следовательно, очистке. Наиболее эффективная очистка происходит при давлении 10-1—1 Па.

### Особенности магнитных электроразрядных вакуумметров

Отметим наиболее важные особенности этих вакуумметров:

- 1. Магнитные электроразрядные преобразователи не содержат в своей конструкции накаленных деталей, вследствие чего не боятся окисления и могут включаться при любом давлении в вакуумной системе.
- 2. В силу большой устойчивости преобразователей к внешним воздействиям и простоты эксплуатации магнитные электроразрядные вакуумметры нашли широкое 208

распространение для управления технологическими про нессами.

- 3. При измерении давления магнитными электроразрядными вакуумметрами наблюдается откачка газов самим преобразователем, обусловленная сильным электрическим поглощением газа в объеме прибора. Откачивающее действие преобразователя изменяет давление в системе, а при наличии трубопровода с малой проводимостью между откачиваемым сосудом и преобразователем может существенно исказить результаты измерений.
- 4. При высоких давлениях в вакуумной системе наблюдается катодное распыление материала под влиянием бомбардировки катода интенсивным хорошо сфокусированным пучком ионов. Это приводит к запылению электродов и изоляторов преобразователя и как результат — к возникновению тока утечки между электродами, что также искажает результаты измерения.

#### 10.8. ПРАКТИЧЕСКИЕ УКАЗАНИЯ ПО ЭКСПЛУАТАЦИИ ПРИБОРОВ ДЛЯ ИЗМЕРЕНИЯ ПОЛНОГО ДАВЛЕНИЯ

# Присоединение манометрических преобразователей к вакуумной системе

Тепловые преобразователи должны устанавливаться по возможности вдали от источников тепла с тем, чтобы температура корпуса преобразователя была в пределах 288—298 К.

Допускается работа электронных ионизационных преобразователей во внешних магнитных полях с напряженностью не более 0,015 А/м. Если напряженность магнитного поля превышает это значение, то электронные ионизационные манометрические преобразователи необходимо защищать экраном из ферромагнитного материала.

Магнитные электроразрядные манометрические преобразователи необходимо устанавливать так, чтобы магнит преобразователя был удален от ферромагнитных тел на расстояние не менее 0,2 м.

Применяемое уплотнение не должно давать потоков газовыделения или диффузии газа через него, которые могут исказить отсчет давления в обследуемой системе. В диапазоне высокого вакуума предпочтительны, а сверхвысокого — обязательны применение металличе-

ёкого уплотнителя или напайка стеклянного преобразователя на систему. Во всех случаях требуется тщательная проверка герметичности соединения преобразователя с вакуумной системой.

#### Отсчет давлений

Шкалы вакуумметров отградуированы в единицах давления, относительных или электрических единицах. В последних двух случаях к вакуумметрам прилагается градуировочная кривая или указывается их чувствительность по давлению. Метрические характеристики вакуумметров косвенного действия приведены для азота (сухого воздуха). При измерении давления других газов следует пользоваться градуировочными кривыми по этим газам или соответствующими пересчетными коэффициентами относительной чувствительности. Давление газа в полости манометрического преобразователя:

$$p = p_{\text{изм}}/\alpha_{\text{r}}, \qquad (10.16)$$

где  $\alpha_{r}$  — относительная чувствительность;

 р — давление газа в полости манометрического преобразователя;

 $p_{\text{взм}}$  — отсчет давления вакуумметром.

В приложении 10 приведены значения относительной чувствительности некоторых манометрических преобразователей.

Относительная чувствительность ионизационных вакуумметров для смеси газов может быть определена по уравнению

$$\alpha_{r,c_M} = \alpha_{r1}\beta_{r1} + \alpha_{r2}\beta_{r2} + \alpha_{r3}\beta_{r3} + \dots,$$
 (10.17)

где  $\alpha_{r1}, \alpha_{r2}, \alpha_{r3}, \ldots$  относительные чувствительности;  $\beta_{r1}, \beta_{r2}, \beta_{r3}$  — относительные концентрации газов.

### Очистка и обезгаживание преобразователей

На работу преобразователей и достоверность измерения давления резко влияет загрязненность прибора.

Загрязненые изоляторов преобразователя шунтирует входную цепь усилителя, занижая показания давления. Эти загрязнения происходят как со стороны вакуумной полости, так и с атмосферной стороны.

Цепь, вамыкающую изолятор изнутри, часто удается разрушить искровым теченскателем. Иногда причиной неожиданных утечек по изоляторам сверхвысоковакуум-

ных преобразователей является повышенная влажность в помешении.

В газовой атмосфере вакуумных установок всегда присутствуют в большем или меньшем количествах легко конденсирующиеся высокомолекулярные соединения. Особенно это характерно для установок, работающих в диапазоне низкого и среднего вакуума. Эти соединения загрязняют электроды манометрического преобразователя и со временем искажают его метрические характеристики. Загрязненные преобразователи промывают бензином или этиловым спиртом и сушат.

Часто для защиты преобразователей от паров масел и других конденсирующихся веществ используют низкотемпературные охлаждаемые ловушки (см. гл. 9). При этом вакуумметр измеряет давление только тех газов, которые не конденсируются при температуре ловушки, и измеренное давление, отсчитываемое вакуумметром, будет ниже полного давления в вакуумной системе.

Для снижения газовыделения преобразователя его необходимо обезгазить прогревом. Возможны следующие виды прогрева преобразователей:

внешней печью до температуры не более 700 К; электронной бомбардировкой;

пропусканием электрического тока по анодной сетке

и другим накаливаемым элементам.

Одновременный прогрев внешней печью и электронной бомбардировкой, как правило, недопустим. Под воздействием высоких напряжений нагретое стекло легко подвергается электролизу с образованием неустранимых утечек и нарушением герметичессти.

Не рекомендуется также прогревать преобразователи

при давлении выше 10-2 Па.

14\*

#### Сорбционно-десорбционные эффекты

В диапазоне высокого и сверхвысокого вакуума необходимо учитывать сорбционно-десорбционные явления в манометрическом преобразователе, в вакуумной системе и соединительных трубопроводах и стремиться к исключению их влияния на измерение давления. Преобразователь, если он не открытого типа, соединен с обследуемой системой через трубопровод. При этом между преобразователем и вакуумной системой может быть перепад давлений, вызванный ограниченной проводи-

211

мостью трубопровода и тем, что преобразователь может выделять или откачивать газ.

Давление в вакуумной системе  $p_{\rm c}$  определяется следующим образом:

если преобразователь выделяет газ,

$$p_{c} = p_{u_{3M}} - Q'/U;$$
 (10.18)

если преобразователь откачивает газ,

$$p_{\rm c} = p_{\rm \tiny R3M} \left( 1 + \frac{S_{\rm M}}{U} \right),$$
 (10.19)

где  $p_{изм}$  — отсчет давления вакуумметром;

Q' — поток газа из преобразователя;

S<sub>м</sub> — быстрота откачивающего действия преобразователя;

U — проводимость соединительного трубопровода. Для уменьшения перепада давлений  $p_{\rm c}$  —  $p_{\rm изм}$  необходимо, чтобы соединительный трубопровод был максимально коротким и наибольшего возможного диаметра.

#### Инерционность отсчета давления

Как показывает практика, давление газа в системе всегда изменяется во времени. Перепад давления на трубопроводе, соединяющем преобразователь с вакуумным сосудом, переходные процессы в самом преобразователе и инерционность измерительного блока будут давать при измерении изменяющихся давлений дополнительную погрешность.

Инерционность процессов характеризуется постоянной времени  $\tau_{\rm B}$ . В течение периода, равного трем постоянным времени  $3\tau_{\rm B}$ , давления в объеме преобразователя и в вакуумной системе практически выравниваются, относительная разность давлений составляет около 5%.

Постоянная времени манометрического преобразователя

$$\tau_{\rm B} = V/U, \tag{10.20}$$

где V — объем преобразователя:

 U — проводимость трубопровода, соединяющего преобразователь с вакуумной системой.

Снижению постоянной времени способствует применение преобразователей с малым собственным объемом и коротким соединительным трубопроводом. Так, постоянная времени открытых преобразователей, размещенным непосредственно в откачиваемом сосуде, со-

ставляет менее  $10^{-3}$  с. Инерционность переходных электрических процессов в ионизационных манометрических преобразователях практически можно не учитывать, так как эти процессы определяются временем около  $10^{-6}$  с. Инерционность срабатывания блокировочных устройств вакуумметров определяется инерционностью преобразователя и его входных цепей.

Постоянная времени входных цепей усилителей постоянного тока сверхвысоковакуумных вакуумметров, определяющая инерционность измерительных блоков, равна произведению сопротивления входной цепи на ее емкость. Быстродействие электромагнитных реле, широко используемых в вакуумметрах, составляет около 10-2 с.

#### Глава одиннадцатая

#### ПРИБОРЫ ДЛЯ ИЗМЕРЕНИЯ ПАРЦИАЛЬНЫХ ДАВЛЕНИЙ ГАЗОВ

#### 11.1. КЛАССИФИКАЦИЯ ГАЗОАНАЛИЗАТОРОВ

Приборы для измерения парциальных давлений газов называются газоанализаторами или масс-спектрометрами.

Принцип действия почти всех наиболее широко применяемых высоковакуумных масс-спектрометров основан на ионизации анализируемого газа. При этом образовавшиеся положительные ионы разделяются по характерному для каждого из них отношению массы иона к его заряду M/e.

Отношение M/e носит название «массовое число иона».

Для однозарядных ионов (e=1) массовые числа совпадают с их молекулярными массами (в целых числах) и выражаются в атомных единицах массы [атомная единица массы (а. е. м.) равна 1/12 массы атома изотопа углерода  $C^{12}$ ]. Отметим, что число однозарядных ионов получается во много раз больше числа всех ионов с числом зарядов, отличающимся от единицы. Поэтому часто считают M/e=M.

После разделения ионы поступают на коллектор масс-спектрометра и создают в его цепи ток, пропор-

#### Основные характеристики высоковакуумных

Тип прибора	Принципиальное устройство анализатора	Метод разделения нонов
Статический масс- спектрометр с маг- нитной разверткой		В постоянном электри- ческом и магнитном полях
Времяпролетный масс- спектрометр (хро- нотрон)	= 00 = 000	Во время пролета за счет разницы ско- ростей
Омегатронный измеритель парциальных давлений		В постоянном магнитном и переменном этектрическом полях
Квадрупольный и мо- нополярный масс- спектрометры		В_переменном электри- ческом поле

циональный давлению. Таким образом, датчик массспектрометра должен состоять из трех основных узлов: источника ионов, анализатора и приемника ионов.

По принципу действия все наиболее распространенные масс-спектрометры классифицируют следующим образом:

- 1. Статические масс-спектрометры, в которых разделение ионов осуществляется с помощью постоянных или медленно изменяющихся магнитного и электрического полей, причем период изменения полей много больше времени движения ионов в анализаторе.
- 2. Времяпролетные масс-спектрометры, в которых разделение ионов в анализаторе происходит во время их пролета в пространстве, свободном от электрического и 214

#### спендарометрических галзожанализаторов

отобнось М/ФМ	Рабочий диапа зон давлений, Па	Двиапазон ама- ллизируемых масс	Основное назначение и применение
11 <b>6</b> 0πe∌e	10-2-10-9	1200	Количественный анализ Масс - спектрометрические течеискатели
100	10-8-10-8	1—600	Исследование газовой кине- тики. Большие вакуумные системы
40	10-8-10-4	1—250	Измерение парциальных давлений. Вакуумные системы откачных постов и других технологических установок. Электровакуумные и другие вакуумные приборы
Бальше ятоги павня Я	10-2-10-10	1—300	То же

магнттного полей. Масс-спектрометры этого типа называющия также хроноттронами.

- 3 АРЮ иочастотныме масс-спектрометры, в которых гарагтер движения пионюв, например частота колебаний, нахолится в определ ген: ном соответствии с приложенным высстоосчастотным наппряжением:
- а) омегатронный измеритель парциальных давлений (омедатрон);
- б кадрупольныгй (электрический фильтр масс) и конфолярный масс-оспектрометры.

Кроме наиболее ишироко распространенных массспекть обметрических газзоанализаторов, известны десорбционь вы спектр ометр, в котором измеряется давление газон десорбирующихся с нити при повышении ее температуры, а также приборы для контроля парциально го давления только отдельных компонентов газовой смеси.

Теперь кратко рассмотрим наиболее важные пара-

метры, характеризующие масс-спектрометры.

Основными параметрами газоанализаторов являются чувствительность, разрешающая способность, диапазон анализируемых масс и минимальное регистрируемое давление.

Чувствительность. Чувствительность выражает минимально определяемое парциальное давление газа. Чувствительность зависит от характеристик датчика массспектрометра и возможностей измерительной схемы. Чувствительность масс-спектрометров, как и манометрических преобразователей, может быть выражена в 1/Ila или А/Па. Для статических масс-спектрометров чувствительность часто выражается в долях процента и показывает, какую долю отдельного компонента в общем составе газа способен обнаружить данный прибор. Принципиально чувствительность масс-спектрометрических газоанализаторов неодинакова для разных газов. Чтобы избежать дополнительных ошибок, связанных с переводом отсчета в парциальные давления, запись компонентов нередко производится непосредственно в единицах тока или напряжения, а их соотношение характеризует относительный состав анализируемого газа.

Разрешающая способность. Разрешающая способность для масс-спектрометрических газоанализаторов представляет собой отношение массового числа M к наименьшему различаемому изменению массового числа  $\Delta M$ , т. е. разрешающая способность численно равна массовому числу, при котором могут быть полностью разделены соседние массы, отличающиеся другот друга на единицу. Наибольшую разрешающую способность имеют статические масс-спектрометры с магнитным разделением ионного луча. Для обычных вакуумных измерений достаточна разрешающая способность ло 50.

**Диапазон анализируемых масс.** Для вакуумных измерений достаточен диапазон масс от 2 до 50—100.

Диапазон рабочих давлений всех масс-спектрометров ограничен по существу одними и теми же причинами. Нижняя граница рабочего диапазона определяется трудностью выделения небольшого пика рабочего газа 216

над фоновым отсчетом. Верхняя граница рабочего диапазона определяется отклонением от линейного закона зависимости тока ионов анализируемого компонента от давления.

В табл. 11.1 приведены основные характеристики и рекомендуемые области применения масс-спектрометров, использующихся в вакуумной технике.

### 11.2. СПЕКТР МАСС И ЕГО РАСШИФРОВКА

На рис. 11.1 изображена спектрограмма одного из масс-спектрометров, на которой показана зависимость выходного сигнала газоанализатора  $I_{\rm H}$  от массового числа M/e некоторых газов. Масс-спектрограмма получена при плавной непрерывной развертке по массам и записи выходного сигнала.

Амплитуды пиков ионных токов, показанных на рис. 11.1, пропорциональны парциальным давлениям отдельных компонентов, ионизирующему электронному току и чувствительности газоанализатора к соответствующему компоненту:

$$I_{\rm M} = s_{\rm M} \alpha_{\rm r} I_e p, \qquad (11.1)$$

где  $I_{\rm H}$  — амплитуда пика;

 $s_{\rm M}$  — чувствительность по азоту;

 $\alpha_{r}$  — относительная чувствительность;

 $I_e$  — электронный ионизирующий ток;

р — парциальное давление компонента.

В масс-спектрометрах, например в омегатронном, пики ионов определенных массовых чисел выделяются над уровнем фонового тока. Фоновый ток вызван следующими основными причинами: рассеянием ионов в камере анализатора, недостаточной фокусировкой электронного и ионного потоков, нестабильностью питания, наводками и шумами в цепи усиления. Понятно, что отсчет пика производится от среднего уровня фона.

Относительная чувствительность масс-спектрометрических газоанализаторов к разным газам пропорциональна вероятности ионизации газов и практически совпадает с относительной чувствительностью ионизационных манометрических преобразователей (см. приложение 10).

Развертка по массовым числам выделяет пики, которые характеризуются отношением массы иона к его заряду.

Рассмотрим некоторые общие для всех масс-спектрометрических газоанализаторов явления, влияющие  ${\rm Ha}$ 

вид спектрограммы.

Электронный луч и накаленный катод производят диссоциацию сложных молекул газа на более простые составляющие, которые также ионизируются и дают в спектре соответствующие пики ионов. Например, в спектре  $CO_2$  наблюдаются пики  $CO_2^+$ ,  $CO^+$ ,  $CO^+$ ,  $O_2^+$ .

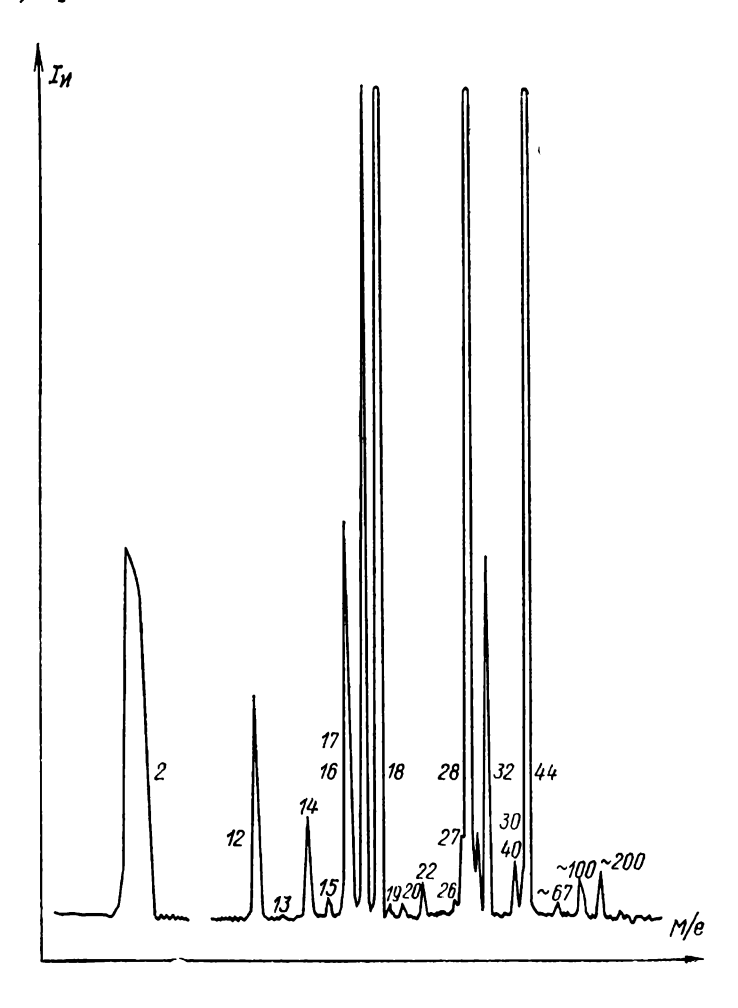


Рис. 11.1. Спектр масс.

Пик с одним и тем же массовым числом может принадлежать разным веществам. Массовое число 16 присуще как метану  $CH_4^+$ , так и атомарному кислороду  $O^+$ , массовое число 28 — азоту  $N_2^+$  и окиси углерода  $CO^+$ . Различать их можно по наличию дополнительных соответствующих компонентов в масс-спектре.

Органические соединения дают большое число осколочных пиков. У сложных соединений преобладают осколочные пики, по которым можно с известной степенью приближения составить лишь представление об исходном продукте. Плохое удаление органических растворителей после промывки аппаратуры дает наибольший пик для этилового спирта и диэтилового (серного) эфира в районе массового числа 31, а для ацетона в районе массового числа 43.

Минеральные масла диффузионных насосов дают серии пиков углеродсодержащих соединений, начиная с метановых производных до молекулярной массы самих масел. Наибольшие по амплитуде пики соответствуют, как правило, этан-пентановым производным (2—5 углеродных атомов).

Наличие кислорода в спектре остаточных газов герметичных высоковакуумных систем не характерно. Кислород со всегда имеющимися в приборе углеродными загрязнениями дает преимущественно СО (массовое число 28) и СО<sub>2</sub> (массовое число 44). Натекание воздуха через течь дает параллельный рост пиков азота (массовое число 28), кислорода (массовое число 32) и аргона (массовое число 40).

После установки рабочего режима газоанализатора проводится его градуировка, заключающаяся в определении чувствительности прибора к разным газам. В систему с датчиком газоанализатора последовательно напускают ряд известных газов. При нескольких значениях давления впущенного газа определяется чувствительность — отношение приращения выходного сигнала газоанализатора к соответствующему приращению давления данного газа. Давление газа в диапазоне  $10^{-2}$ —  $10^{-8}$  Па наиболее удобно определять по нонизационному вакуумметру. Определив указанным образом среднюю чувствительность масс-спектрометрического газоанализатора по одному газу, можно (см. приложение 10) подсчитать его ориентировочную относительную чувствительность для некоторых других газов.

Одновременно отмечают места пиков ионов данного газа на масс-спектрограмме (хронотрон) или рабочие параметры: например частоту для омегатрона, при которых на коллектор масс-спектрометра поступают ионы с данным массовым числом. Дополнительно можно отметить положение или рабочие параметры для некоторых характерных пиков нонов: паров воды (массовые числа 18 и 17) в непрогретой системе, водорода (массовое число 2) в системе с паромасляным насосом, ртути (массовое число 200) в системе с парортутным насосом. Зная местоположение или рабочие параметры прибора для пиков ионов с известными массовыми числами, можно определить места появления или рабочие параметры пиков ионов с другими массовыми числами.

## 11.3. СТАТИЧЕСКИЕ МАСС-СПЕКТРОМЕТРЫ С РАЗДЕЛЕНИЕМ ИОНОВ В МАГНИТНОМ ПОЛЕ

Широко распространенные масс-спектрометры с разделением ионов в магнитном поле представляют собой стационарные приборы, предназначенные для анализа газов, паров, жидкостей, твердых веществ и выявления их относительного содержания в газовой смеси.

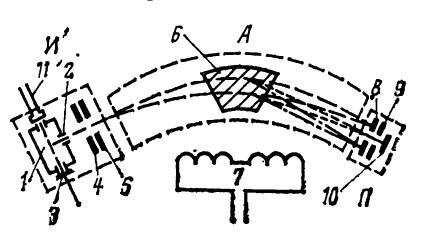


Рис. 11.2. Принципиальная схема аналитической части статического масс-спектрометра с разделением ионов в магнитном поле.  $\mathcal{U}$ — источник ионов; A— анализатор;  $\Pi$ — приемник ионов; I— коробка ионизатора; 2— выходная щель; 3— коллектор электронов; 4, 5— пластины;  $\epsilon$  магнит; 7— катушка магнита; 8— входная щель; 9— супрессорная сетка; 10— коллектор; 11— катод.

Статические масс-спектрометры серии МХ предназначаются для химического анализа, серии МИ — изотопного, серии МВ — относятся к приборам с весьма высокой разрешающей способностью. Принципиально устройство камеры статического масс-спектрометра с разделением ионов в магнитном поле показано на рис. 11.2.

В источнике ионов U ионизация газа производится пучком медленных электронов, эмиттируемых накален-

ным катодом 11. Часть образовавшихся при ионизации положительных ионов вытягивается из ионизатора через узкую щель 2, ускоряется и дополнительно фокусируется путем установленных рядом пластин 4, 5 так, что на выходе из источника ионы движутся весьма узким пучком. Все ионы имеют одну и ту же энергию  $U_{\text{уск}}$ , но разные скорости  $u_{\text{и}}$  в соответствии с их массой m и зарядом e:

$$u_{\rm H} = \sqrt{\frac{2 \mathcal{I}_{\rm yck}}{m/c}} . \tag{11.2}$$

Попадая в зону действия магнита 6, поле которого перпендикулярно направлению движения частиц, ионы изменяют направление своего движения под влиянием лоренцевой силы. Радиус траекторин ионов, движущих ся в однородном магнитном поле с индукцией В:

$$r = \frac{m}{e} \frac{u_{\rm H}}{B}, \tag{11.3}$$

или

$$r = \frac{1}{B} \sqrt{\frac{2m}{e} U_{\text{yck}}}.$$
 (11.4)

Изменяя ускоряющее напряжение  $U_{\rm уск}$  или индукцию магнитного поля B, можно последовательно направить во входную щель приемника ионы разных масс. В выпускаемых масс-спектрометрах применяется преимущественно магнитное разделение ионов по массовым числам. В приборах с большой разрешающей способностью используется неоднородное магнитное поле. Угол между направлениями ионного потока в выходной щели 2 и входной щели 8 характеризует угол развертки анализатора. Обычно угол развертки газоаналитических масс-спектрометров 90, 120 или  $180^{\circ}$ 

Давление в камере анализаторов во избежание рассеяния ионов из-за столкновений с молекулами газа должно быть не выше  $10^{-3}$  Па.

Коллектор 10 в приемнике ионов устанавливается за узкой щелью. Чем уже входная щель, тем более узкий пучок ионов отбирает коллектор без смешения с потоком ионов ближайшей массы, но тем меньше и токи в цепи коллектора. Почти всегда в масс-спектрометрах с магнитным разделением ионов применяются сменные или регулируемые по ширине диафрагмы приемника ионов.

Йонный ток коллектора усиливается электрометрическим усилителем или электронным умножителем и измеряется стрелочным прибором. При необходимости усиленный сигнал подается для записи на самопишущий потенциометр.

Во всех масс-спектрометрических течеискателях используют принцип статического масс-спектрометра с разделением ионов в магнитном поле.

### 11.4. ВРЕМЯПРОЛЕТНЫЙ МАСС-СПЕКТРОМЕТР (ХРОНОТРОН)

Работа времяпролетного масс-спектрометра основана на разделении нонов по времени пролета в свободном от электрических и магнитных полей пространстве. Времяпролетный масс-спектрометр часто называют так же импульсным масс-спектрометром или хронотроном

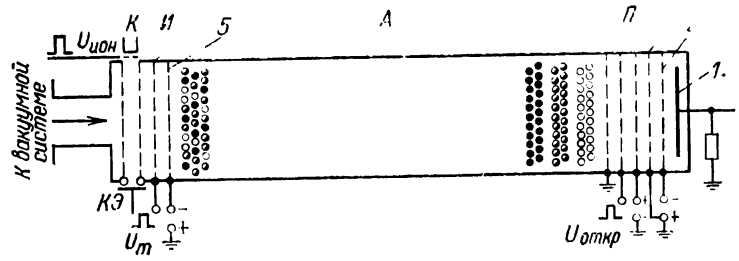


Рис. 11.3. Камера времяпролетного масс-спектрометра. О— ноны массы  $M_1$ ; — ноны массы  $M_2$ ; — ноны массы  $M_3$ ; U— источник ионов;  $\Pi$ — приемник ионов; A— анализатор; K— катод; K9— коллектор электронов;  $U_m$ — вытягивающее напряжение;  $U_{\text{откр}}$ — открывающее напряжение; I— коллектор ионов; I0— антидинатронная сетка; I1— сетка: I3— супрессорная сетка; I4— вытягивающая сетка; I5— ускоряющая сетка.

Принципиальное устройство камеры-датчика прибора рис. 11.3. Источник ионов M выдает приведено на в анализатор — пространство дрейфа А — пачки ионов. Пачку ионов можно получить как импульсной ионизацией электронным потоком путем подачи импульса  $U_{\mathrm{non}}$ длительностью  $10^{-7}$ — $10^{-8}$  с. так и подачей на выталкивающий электрод или вытягивающую диафрагму 4 импульса напряжения  $U_m$  той же длительности при постоянном электронном потоке. Пройдя ускоряющее напряжение  $U_{yck}$ , которое подается на сетку 5, ионы движутся в анализаторе в сторону коллектора ионов 1 по инерции, при этом скорость движения отдельных ионов зависит от их энергии и массового числа. Время пролета ионов t от источника H до приемника ионов  $\Pi$ 222

вдоль всего пространства дрейфа A длиной l определяется из уравнения

$$t = l\sqrt{\frac{m}{e} \frac{1}{2U_{\text{yck}}}}.$$
 (11.5)

В анализаторе по мере продвижения от источника до коллектора ионы разделяются на группы в соответствии с их массовым числом. Первыми достигнут коллектора ионы легких газов и за ними последовательно группы ионов более тяжелых газов. Попадая на коллектор 1, группы ионов создают в его цепи ток, пропорциональный числу ионов, т. е. парциальному давлению. Усиленный сигнал подается на осциллограф, частота развертки которого синхронна с частотой повторения ионизирующих импульсов.

В приемнике ионов перед коллектором 1 обычно устанавливается система сеток, ближайшая из которых к коллектору является антидинатронной (сетка 2). Остальные сетки позволяют при необходимости из всего потока ионов отбирать и пропускать на коллектор 1 только ионы определенного массового числа или диапазона массовых чисел. Это осуществляется подачей на сетки открывающих и закрывающих импульсов, сфазированных со временем монизирующего импульса. Супрессорная сетка 3 не пропускает на коллектор рассеянные ионы, энергия которых ниже энергии ионов в группе.

Разрешающая способность прибора

$$\frac{M}{\Delta M} = \frac{t}{2\Delta t},\tag{11.6}$$

где  $\Delta t$  — время, в течение которого ионы данной массы проходят на приемник; это время пропорционально толщине ионных групп у коллектора ионов.

На времяпролетных масс-спектрометрах удается получать разрешающую способность до 100 и в отдельных приборах даже до 200.

Применение электронного умножителя для усиления импульсов ионного тока обеспечивает измерение давлений до  $10^{-7}$  Па.

Времяпролетный масс-спектрометр нашел широкое применение для анализа быстро изменяющегося состава газов в высоковакуумных системах. Существенным преимуществом этого прибора является отсутствие магнитного поля.

### 11.5. ОМЕГАТРОННЫЙ ИЗМЕРИТЕЛЬ ПАРЦИАЛЬНЫХ ДАВЛЕНИЯ

Омегатронный измеритель парциальных давлений, или просто омегатрон, является одним из самых распространенных газоанализаторов.

На рис. 11.4 схематически изображено устройство омегатронной лампы или датчика без оболочки, а на

рис. 11.5 общий вид датчика.

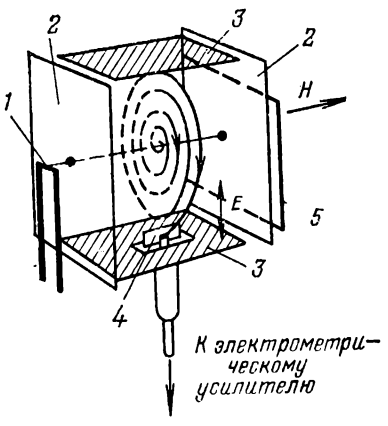


Рис. 11.4. Принципиальная схема датчика омегатронного измерителя парциальных давлений.

1 — термокатод; 2 — улавливающие пластины; 3 — высокочастотные пластины; 4 — коллектор ионов; 5 — коллектор высокочастотного электрического поля; H — индукция магнитного поля.

Датчик состоит из термокатода 1. двух улавливаюших пластин 2, высокочастотных электродов Зтакже в виде пластин, коллектора ионов 4 и коллектора электронов 5. Эмиттируемые катодом электроны узким пучком проходят через отверстия в пластинах 2 и попадают на положительно заряженный коллектор электро-5. Образовавшиеся нов вследствие ионизации положительные ионы с различными массовыми числами попадают под одновременвоздействие ное взаимно перпендикулярных полей высокочастотного электрического поля напряженности E, приложенного между пластинами 3 (с частотой f), постоянного магнитного

поля с индукцией В от внешнего магнита (на рисунке не показан). Магнит устанавливается таким образом, чтобы поле было направлено строго параллельно электронному пучку; это необходимо для фокусировки пучка.

Одно лишь высокочастотное поле заставляет ионы совершать колебательное движение между пластинами; одно только магнитное поле заставляет их двигаться по круговым траекториям, в плоскостях, перпендикулярных направлению магнитного поля. Частога вращения ионов  $\omega$  равна:

$$\omega = \frac{B}{m/c} \tag{11.7}$$

При одновременном воздействии обоих полей можно подобрать такое соотношение между f и B, чтобы ионы определенного массового числа M/e совершали обороты в фазе с высокочастотным полем, т. е. чтобы соблюдалось условие резонанса между собственной частотой вращения ионов и частотой электрического поля.

Часть ионов, собственная частота вращения которых совпадает с приложенной между высокочастотными пластинами 3 частотой электрического поля, на каждом обороте приобретает дополнительную энергию от высо-

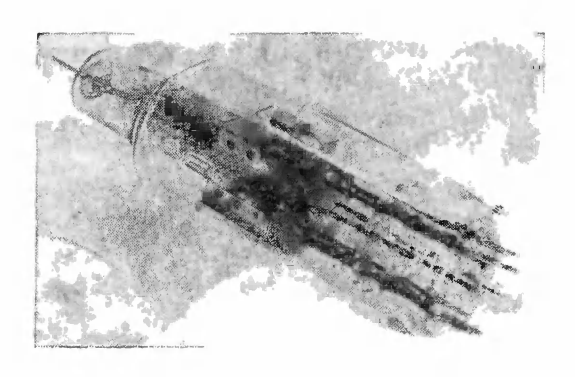


Рис. 11.5. Омегатронный датчик в стеклянном исполнении.

кочастотного поля, за счет чего радиус траектории их движения увеличивается. В результате ионы, обладающие частотой вращения, совпадающей с частотой высокочастотного напряжения, движутся по спирали. Это продолжается до тех пор, пока ионы не попадут на расположенную поперек их движения пластину коллектора ионов 4. Ионы других массовых чисел, собственная частота вращения которых отличается от частоты приложенного напряжения, затормаживаются при вращении и рекомбинируют на улавливающих пластинах 2. По току в цепи коллектора ионов 4 можно судить о парциальном давлении резонансного массового компонента газа. Изменяя частоту высокочастотного напряжения, получают данные о парциальном составе смеси газов.

Между разрешающей способностью и массовым числом анализируемого газа *M/e* имеется зависимость

$$\frac{M}{\Delta M} = \frac{1}{Mm'/e} \frac{rB^2}{2E} \tag{11.8}$$

15 - 1081

$$\frac{M^2}{\Delta M} = \text{const}, \tag{11.9}$$

где r — расстояние от оси прибора (электронного луча) до коллектора ионов;

m' — масса атома водорода;

E — напряженность высокочастотного электрического поля.

Таким образом, чем меньше массовое число M/e, тем выше разрешающая способность омегатрона, и наоборот.

Пример 11.1. Определить разрешающую способность омегатрона в области 44 массового числа ( $\mathrm{CO}_2$ ), если известно, что для  $M\!=\!20$  разрешающая способность прибора равна 20.

Из уравнений (11.8) и (11.9) можно записать:

$$\frac{M}{\Delta M} M = 20^{2} = \text{const};$$

$$\Delta M = \frac{44^{2}}{20^{2}} \approx 4.8$$

Аргон, имеющий массовое число 40, при наличии углекислого газа (M=44) определяется с трудом.

В омегатроне камера ионизации является одновременно анализатором ионов. Это обеспечивает наиболее полное использование ионов, а следовательно, и высокую чувствительность омегатрона.

Для более точного определения чувствительности необходима индивидуальная градуировка прибора совместно с блоком питания. Относительная чувствительность омегатрона к разным газам практически такая же, как и для электронного ионизационного преобразователя (см. приложение 10).

Необходимо отметить, что при работе с газами с большими массовыми числами действительная резонансная частота высокочастотного напряжения омегатрона несколько выше расчетной из-за влияния поля улавливающих пластин и других причин.

При работе прибора в сверхвысоком вакууме предъявляются чрезвычайно высокие требования к чистоте поверхностей электродов. Загрязнение электродов, помимо искажения парциального состава газа, может привести к отклонению рабочих характеристик прибора.

При работе с паромасляными диффузионными насосами электроды омегатрона достаточно быстро загрязняются и очистка прибора прогревом токами высокой частоты не всегда эффективна. В таком случае омегатрон приходится заменять новым. Восстановить свойства умеренно загрязненного парами масла омегатрона удается промывкой датчика в кипящем четыреххлористом углероде. После этого омегатрон следует промыть горячей дистиллированной водой и этиловым спиртом.

# 11.6. КВАДРУПОЛЬНЫЙ И МОНОПОЛЯРНЫЙ МАСС-СПЕКТРОМЕТРЫ [ЭЛЕКТРИЧЕСКИЕ ФИЛЬТРЫ МАСС]

### Квадрупольный масс-спектрометр

Этот прибор имеет ряд преимуществ по сравнению с описанными выше анализаторами и получает все большее распространение для контроля газовой среды в вакуумных системах. Прибор способен анализировать парциальный состав газов до давления  $10^{-1}$  Па при достаточно высокой разрешающей способности (до 100 и болсе).

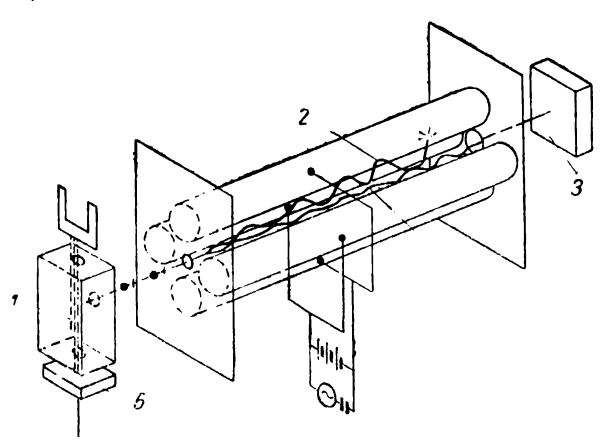


Рис. 11.6 Принципнальная схема квадрупольного масс-спектрометра. I — ионизирующий пучок электронов; 2 — раскачиваемый ион; 3 — коллектор ионов; 4 — нераскачиваемый нов; 5 — коллектор электронов.

Принципнальная схема прибора приведена на рис. 11.6. Исследуемый газ ионизируется в источнике ионов и выталкивается в виде ионного пучка через диафрагму в пространство анализатора. Отфильтрованные в анализаторе ионы определенной массы дают в цепи коллектора 3 ток, пропорциональный давлению. 15\*

 $\tilde{B}$  анализаторе прибора разделение ионов по массам происходит за счет действия квадрупольного электрического поля, создаваемого четырьмя параллельными цилиндрическими стержнями, к которым приложены переменное напряжение вида  $U_{-}$  соз  $\omega t$  и постоянное напряжение  $U_{-}$ . При этом в области поперечного сечения, близкой к продольной оси прибора z, создается гиперболическое электрическое поле.

Заряженная частица, двигающаяся вдоль оси прибора z, будет раскачиваться высокочастотным полем, причем амплитуда колебаний зависит как от массового числа ионизированной частицы, так и от напряжения на стержнях. Ионы, амплитуда колебаний которых остается меньше  $r_0$ , могут беспрепятственно проходить через квадрупольное поле. Можно подобрать параметры поля так, что в зависимости от подаваемого напряжения через фильтр будут проходить ионы одной определенной массы. При условии, что соотношение амплитуд

$$U_{=}/U_{\sim} \le 0.167,$$
 (11.10)

массовое число M прошедших через фильтр ионов определяется как

$$M = \frac{U}{\omega^2 r^2_0} \text{ const}, \tag{11.11}$$

где  $r_0$  — расстояние от оси z до вершины гиперболы (до стержня).

Чувствительность прибора определяется эффективностью ионизации газа в источнике, выходом понов из источника в анализатор и его фильтрующими свойствами. Все эти факторы взаимно связаны. Разрешающая способность возрастает с массой иона таким образом, что разрешение  $\Delta M$  по всему диапазону масс остается постоянным. Установка вторичного электронного умножителя за отверстием приемника ионов увеличивает чувствительность и скорость индикации ионного тока.

### Монополярный масс-спектрометр

Монополярный масс-спектрометр представляет собой одну четвертую часть квадрупольного масс-спектрометра (рис. 11.7). Устройство ионного источника и 228

приемника ионов монополярного масс-спектрометра аналогично устройству этих узлов квадрупольного масс-спектрометра. Анализатор датчика состоит из круглого стержня 2 и пластины уголкового профиля 1. Уголок находится под потенциалом земли, а на стержень подается напряжение вида

$$U_{=} + U_{\sim} \cos \omega t$$
.

В зазоре между электродами распределение потенциалов имеет тот же вид, что и для квадрупольного масс-спектрометра. Принцип работы анализатора такой же, как и в квадрупольном масс-спектрометре. Однако при прочих равных условиях монополярный масс-спек-

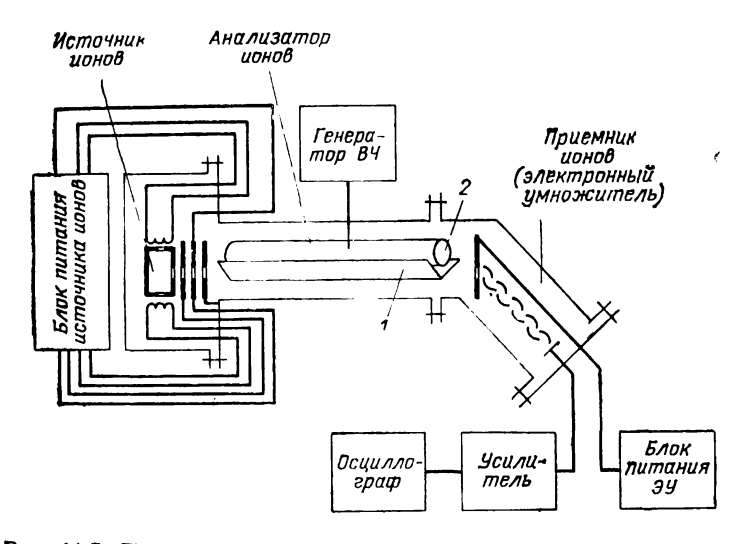


Рис. 11.7. Принципиальная схема монополярного масс-спетрометра.

трометр по сравнению с квадрупольным имеет более высокую разрешающую способность в широком диапазоне прикладываемых к анализатору напряжений. Как и квадрупольный, монополярный масс-спектрометр нечувствителен к энергии инжектируемых ионов в довольно широком диапазоне, что позволяет также использовать электроразрядный источник ионов.

### МЕТОДЫ ИЗМЕРЕНИЯ ПОТОКА РАЗРЕЖЕННОГО ГАЗА

#### 12.1. КЛАССИФИКАЦИЯ МЕТОДОВ

Одним из важнейших параметров вакуумных систем является давление, которое определяется балансом газовых потоков, поступающих в вакуумную систему и удаляемых из нее. Поэтому при проведении различных технологических процессов в вакууме важно знать поток откачиваемых газов. Так, предельное остаточное давление в динамической вакуумной системе (т. е. при непрерывной откачке) определяется собственным газовыделением, которое характеризуется потоком откачиваемых газов. В изолированной (отпаянной) вакуумной системе время сохранения достигнутого в процессе откачки давления [применительно к электровакуумным приборам (ЭВП) — сохраняемость] также зависит от газовыделения и, следовательно, полностью определяется потоком газа.

По потоку газа Q' можно определить давление  $p_1$  в полости откачиваемого через штенгель электровакуумного прибора. В этом случае

$$p_1 = p_2 + \Delta p = p_2 + \frac{Q'}{U},$$
 (12.1)

где  $p_2$  — давление в вакуумной системе;

 $\Delta p$  — перепад давления на штенгеле;

Q' — поток газа, протекающий через штенгель;

U — проводимость штенгеля.

Контроль потока из ЭВП позволяет *оптимизировать* процесс его обработки, т. е. провести качественную откачку и обезгаживание за минимальное время.

Данные о потоке необходимы при определении характеристик вакуумных насосов (см. гл. 8), измерении проводимости вакуумных элементов, при исследовании газовыделения конструкционных материалов и при решении других задач.

Поток газа характеризует количество переносимого вещества  $\Delta(pV)$  за промежуток времени  $\Delta t$ :

$$Q' = \frac{\Delta (pV)}{\Delta t}.$$
 (12.2)

Соотношения между разными единицами измерения потока приведены в табл. 12.1.

Соотношение между различными единицами измерения потока разреженного газа

Единицы измерения	м³- Па/с≕Вт	л∙мм рт. ст/с	л мкм рг. ст/с	см³•атм/с
$\frac{M^3 \cdot \Pi_a}{c} = BT$ $\pi \cdot MM \text{ pt. ct/c}$ $\pi \cdot MM \text{ pt. ct/c}$ $cM^3 \cdot aTM/c$	1 0,133 1,33·10-4 0,10	7,5 -1 10-: 0,75	7,5·10 <sup>8</sup> 10 <sup>3</sup> 1 750	10 1,32 1,32·10-3

Ниже будут рассмотрены методы измерения потока газа при давлениях меньше 10 Па, хотя некоторые методы измерения потока разреженного газа в основе своей базируются на аналогичных измерениях потока при высоких давлениях.

Погрешность измерения потока разреженного газа обычно составляет от —50 до +100% и во многом обусловлена сорбционно-десорбционными процессами и погрешностью определения расчетных величин давления.

К методам и аппаратуре для измерения потока разреженного газа предъявляются следующие требования: воспроизводимость результатов измерений в широком

диапазоне давлений;

максимальная проводимость устройства для измерения потока;

минимальное усложнение вакуумной системы;

возможность автоматизации процесса измерения потока и вывода результатов измерений во внешнюю цепь (для записи, использования в цепях управления и других целей).

Известные методы измерения потока разреженных газов можно разделить на две группы:

- 1. Периодические измерения, при которых в течение определенного промежутка времени производится усредненный за этот промежуток отсчет потока.
  - 2. Непрерывные измерения.

В табл. 12.2 приводятся наиболее распространенные методы измерения потока разреженного газа и их краткая техническая характеристика.

### Методы измерения потока разреженного газа

№	Метод измерения	Схема измерения	Основная зави- симость	Минимальный измеряемый поток Q', м³·Па/с	Примечания
1	Метод накопления	$\stackrel{Q'}{\longrightarrow} \stackrel{\sum_{\sigma}}{\longrightarrow} \stackrel{S_{\sigma}}{\longrightarrow}$	$Q' = \frac{\Delta pV}{\Delta t}$	10-12	Периодические измерения потока. Применяется в лабораторной правтике и в течеискании. Точность измерений зависит от сорбционнодесорбционных явлений в манометрическом преобразователе и в системе накопленил газов
2	Метод накопления с анализом динамики из- менения давления	$ \begin{array}{c} q' \\ \downarrow \\ \downarrow$	$Q' = \left[V_2 \frac{dp}{dt}\right]$	10-•	Периодические измерения потока. Применяется в промышленных установках для АСУ ТП с выводом на ЭВМ. Повышенная точность измерений за счет снижения влияния манометрического преобразователя на результаты измерений
3	Метод калиброванного сопротивления и двух манометрических преобразователей	9'	$Q' = U(p_1 - p_2)$	10-e	Непрерывные измерения потока. Широко применяется в лабораторной практийе и в промышленности для измерения быстроты действия насосов, калибровки измерительной аппаратуры и т. п Точность измерений зависит от сорбционно-десорбционных явлений в системе и манометрических преобразователях и от флюктуаций отсчетов вакуумметров

Продолжение та**бл**. 12.**2** 

№	Метод измерения	Схема измерения	Основная зави- симость	Минимальный измеряемый ток <i>Q'</i> . м³-Па/с	Примечания
4	Метод двух калиброванных сопротивлений и одного манометрического преобразователя	9' M 4 1 S <sub>0</sub>	$Q'=U_0(p_1-p_2)$	10-6-10-7	Периодические измерения потока. Применяется в некоторых постах откачки ЭВП
5	Метод, использующий насос с высокой быстротой действия	2 M 3 T S <sub>H</sub>	Q' = Up	_	Непрерывные измерения потока. Промышленные посты откачкю ЭВП. Необходим контроль за быстротой действия насоса
6	Метод порционяюго перепуска	g'	$Q' = V(p_1 - p_3) n$	10-2	Непрерывные изменения потока. Применяется в вакуумной метрологии и лабораторной практике. Ши рокоднапазонность работы, т. е. независимость от режнима течения газа. Маляя проводимость измерителя потока в выключенном положении, что требует применения обводной магистрали

#### 12.2. МЕТОД НАКОПЛЕНИЯ

При измерении потока методом накопления (см. схему 1 табл. 12.2) часть вакуумной системы с источником потока газовыделения I и манометрическим преобразователем отсоединяется краном 3 от насоса на фиксированное время  $\Delta t$ . В отсоединенной части вакуумной системы с известным объемом V (V — суммарный объем источника потока газовыделения и отсоединенной части вакуумной системы) вследствие газовыделения Q' давление увеличится на  $\Delta p$ , а количество газа возрастет на  $\Delta pV$ . Тогда измеряемый поток разреженного газа будет равен:

$$Q' = \frac{\Delta pV}{\Delta t}, \qquad (12.3)$$

где  $\Delta p = p_2 - p_1$  — прирост давления в отсоединенной части вакуумной системы;

р<sub>1</sub> — давление в отсоединенной части системы, измеренное до перекрытия крана;

 $p_2$  — давление в отсоединенной части системы, установившееся после закрытия крана через время  $\Delta t$ ;

V — суммарный объем отсоединенной части вакуумной системы;

 $\Delta t$  — время накопления, в течение которого часть вакуумной системы была отсоединена от насоса.

Для того, чтобы повысить чувствительность метода, достаточно увеличить время накопления газа. Время накопления газа чаще всего ограничивается допустимым возрастанием давления в изделии или в вакуумной системе при отключении от насоса.

Метод накопления широко распространен и доступен для большинства вакуумных систем, но имеет ряд недостатков, основные из которых следующие:

- 1. Для измерения потока газа необходимо знать объем обрабатываемого изделня или вакуумной системы (источника потока газовыделения).
- 2. Метод нельзя использовать при измерении быстро изменяющихся потоков газа.
- 3. Сорбционно-десорбционные явления в манометрическом преобразователе сильно влияют на результаты измерения потока.

# 12.3. МЕТОД НАКОПЛЕНИЯ С АНАЛИЗОМ ДИНАМИКИ ИЗМЕНЕНИЯ ДАВЛЕНИЯ

Влияние сорбционно-десорбционных явлений в манометрическом преобразователе на результаты измерения потока может быть сведено к минимуму, если измерение производить по схеме 2 табл. 12.2.

Во время откачки камеры 1 — источника потока в вакуумной системе (рис. 12.1) установилось давление  $p_0$ , измеряемое манометрическим преобразовате-

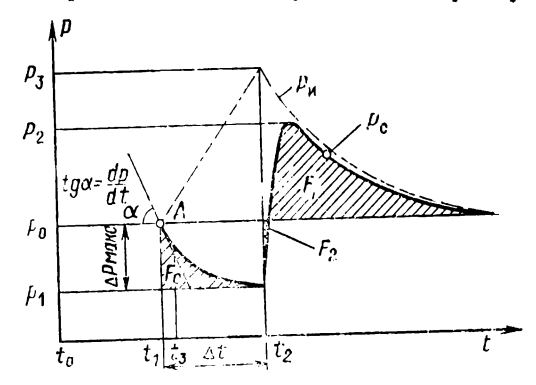


Рис. 12.1. Изменение давления в вакуумной системе в зависимости от времени откачки.

лем 2. На рис. 12.1 показаны графики изменения давления во времени. После закрытия крана 3 на фиксированное время  $\Delta t$  давление в системе со стороны насоса понизится до  $p_1$  вследствие прекращения поступления газа из камеры 1. В это же время в связи с прекращением откачки давление в камере 1 возрастает до  $p_3$ .

При достаточно быстром открытии крана 3 давление в системе вначале возрастет до  $p_2$ , а затем начнет уменьшаться до  $p_0$ . Заметим, что для реализации этого метода необходимы насос с постоянной или маломеняющейся во время измерения быстротой действия и достаточно быстродействующий кран с автоматизированным приводом. Измерение потока газа осуществляется с помощью дифференцирования изменения давления в первый момент после закрытия крана 3.

Нестационарный процесс откачки части вакуумной системы объемом  $V_2$  после закрытия крана описывается

функцией изменения давления во времени

$$p = p_{\bullet}e^{-\frac{S_0}{V_s}t} \tag{12.4}$$

где  $S_0$  — эффективная быстрота откачки объема  $V_2$ ;

 $V_2$  — объем вакуумной системы между насосом и краном 3.

Это экспоненциальное изменение давления можно для t гораздо меньшего  $V_2/S_0$  заменить линейной зависимостью

$$p = p_0 \left( 1 - \frac{S_0}{V_2} t \right). \tag{12.5}$$

Ошибка не превысит 10% (для измерения потока разреженного газа такая максимальная дополнительная ошибка вполне допустима), если время измерений (см. рис. 12.1) будет

$$t_{1} - t_{1} \le 0.375 \frac{V_{2}}{S_{0}}$$
 (12.6)

Из уравнения (12.5) найдем, что вблизи точки А

$$\frac{dp}{dt} = -\frac{p_0 S_0}{V_0}.$$
 (12.7)

Поскольку  $p_0S_0=Q'$ , то

$$Q' = -V_2 \frac{dp}{dt}. \tag{12.8}$$

Более жестким условием правомерности использования этого метода, нежели условие (12.6), является требование к быстродействию крана. Время закрытия крана должно быть по крайней мере на порядок меньше допустимого времени измерения потока, определяемого неравенством (12.6):

$$t_{\text{3akp.kp}} \le 0.04 \frac{V_2}{S_0}$$
 (12.9)

В реальных условиях изменение давления с момента закрытия крана описывается плавной кривой уменьшения давления. Максимальное значение производной dp/dt характеризует поток газа.

Основными достоинствами метода являются большая точность измерений, малое время, в течение которого источник потока (например, обрабатываемый электровакуумный прибор) отсоединен от насоса, и легкость автоматизации измерений с помощью ЭВМ.

### 12.4. МЕТОД КАЛИБРОВАННОГО СОПРОТИВЛЕНИЯ И ДВУХ МАНОМЕТРИЧЕСКИХ ПРЕОБРАЗОВАТЕЛЕЙ

Для измерения потока газа в трубопроводе устанавливают сопротивление (капилляр, диафрагму) 3 с известной проводимостью  $U_{\text{отв}}$  (схема 3, табл. 12.2). При прохождении газа через диафрагму возникает разность давлений, которая измеряется с помощью манометрических преобразователей 1 и 2, устанавливаемых по обе стороны сопротивления. Поток газа Q' рассчитывается по уравнению

 $Q' = U_{\text{OTB}}(p_1 - p_2), \qquad (12.10)$ 

где  $U_{\text{отв}}$  — проводимость сопротивления 3;

 $p_1$  — давление газа, измеренное перед сопротивлением преобразователем 1;

 $p_2$  — давление газа, измеренное после сопротивления преобразователем 2.

В качестве калиброванного сопротивления часто используют тонкие перегородки, в которых делают несколько отверстий (одно, три, семь). Толщина стенки перегородки должна быть как минимум в 20 раз меньше диаметра отверстия в ней, который в свою очередь должен быть во столько же раз меньше характерного размера трубопровода (диаметра или расстояния между стенками).

В качестве калиброванного сопротивления нередко также используют имеющийся коммутирующий элемент, например вакуумный кран, проводимость которого оценивается экспериментально. В этом случае при калибровке системы вместо обрабатываемого прибора (источника потока) к системе подсоединяют источник регулируемого потока со своим измерителем и определяют взаимосвязь между разностью давлений  $p_1$ — $p_2$  и потоком газа известной величины для разных фиксированных положений крана.

Коррекцию изменения проводимости крана в связи с тем, что состав газов потока из обрабатываемого прибора отличается от потока из источника при градуировке крана, можно провести на основе формулы

$$M_{\rm cm} = \frac{p_1 M_1 + p_2 M_2 + \dots + p_n M_n}{p_{\rm O G L L L}},$$
 (12.11)

где  $M_{cm}$  — средняя «эффективная» молекулярная масса смеси;

 $M_1$ ,  $M_2$ ,  $M_n$  — молекулярные массы компонентов в газовой смеси;

 $p_1, p_2, p_n$  — их парциальные давления;

 $p_{\text{общ}}$  — сумма парциальных давлений (общее давление).

Метод измерения потока с помощью калиброванного сопротивления нашел широкое распространение в промышленности и лабораторной практике. Метод применяется для измерения потока газа из электровакуумных приборов при их обработке на откачном посту, для измерения быстроты действия вакуумных насосов, проводимости трубопроводов и других вакуумных элементов.

Недостатком метода является то, что для измерения потока газа с достаточной точностью необходимо использовать диафрагму малой проводимости, чтобы создать разность давлений, отличающихся в 3—10 раз. Столь значительная разность давлений приводит к существенному повышению давления в полости обрабатываемого прибора из-за сильного ограничения быстроты его откачки.

Измерение этим методом потоков менее  $10^{-6}$  м<sup>3</sup>·Па/с затруднено из-за сорбционно-десорбционных процессов в манометрических преобразователях и в вакуумной системе.

## 12.5. МЕТОД ДВУХ КАЛИБРОВАННЫХ СОПРОТИВЛЕНИЙ И ОДНОГО МАНОМЕТРИЧЕСКОГО ПРЕОБРАЗОВАТЕЛЯ

С целью уменьшения ошибок измерения потока, связанных с использованием двух манометрических преобразователей, применяют метод двух калиброванных сопротивлений и одного манометрического преобразователя (схема 4 табл. 12.2). В этом случае для измерения потока газа в основном трубопроводе устанавливают калиброванное сопротивление (диафрагму) 1 и манометрический преобразователь 4, а в ответвленном — калиброванное сопротивление (диафрагму) 2 и кран 3. При измерении потока этим методом необходимо, чтобы быстрота действия насоса во время измерений оставалась постоянной. Ошибка в измерении потока будет минимальна в том случае, если проводимости диафрагм 1 и 2 близки по значению.

11оток газа, протекающий через систему при закрытом и открытом кране 3, равен:

$$Q' = U_{1}(p_{1} - p'_{1}); 
Q' = U(p_{2} - p'_{2});$$
(12.12)

здесь  $U_1$  — проводимость диафрагмы 1;

U — результирующая проводимость диафрагмы 1, обводного трубопровода с диафрагмой 2 и краном 3.

Обводной трубопровод и кран делают с проводимостью на два порядка более высокой по сравнению с проводимостью диафрагмы 1 или 2. Тогда

$$U = U_1 + U_2, \tag{12.13}$$

где  $U_2$  — проводимость диафрагмы 2;

 $p_1,\; p_2$  — отсчеты давлений вакуумметром перед диафрагмой со стороны источника потока при закрытом и открытом кране 3 соответственно;

 $p'_1$ ,  $p'_2$  — давления с другой стороны диафрагмы.

Давления  $p'_1$  и  $p'_2$  равны, поскольку потоки и быстрота действия насоса в обоих измерениях остаются постоянными. После преобразования, учтя, что  $p'_1 = p'_2$ , получим:

$$Q' = U_0(p_1 - p_2), \qquad (12.14)$$

где  $U_0$  — расчетная проводимость для измерения потока:

$$U_{\bullet} = \frac{U_1}{U_2} (U_1 + U_2).$$
 (12.15)

При 
$$U_1 = U_2$$

$$U_0 = 2U_1.$$
 (12.16)

Измерение потока этим методом можно осуществить и без обводного канала. Для этого в трубопроводе с манометрическим преобразователем устанавливается заслонка, имеющая два или даже три фиксированных положения, характеризующихся проводимостями  $U_1,\ U_2$  и  $U_3$ .

При определении потока газа дважды измеряют давление при разных положениях заслонки и по формулам (12.14) и (12.15) вычисляют поток газа. Естественио, отсчеты давления делаются после того, как давления в системе после переключения заслонки становятся стабильными во времени.

Третье положение заслонки (соответствующее проводимости  $U_3$ ) позволяет проверить достоверность измерения потока, т. е. постоянство быстроты действия насоса во время всех измерений.

## 12.6. МЕТОД, ИСПОЛЬЗУЮЩИЙ НАСОС С ВЫСОКОЯ БЫСТРОТОЙ ДЕЙСТВИЯ

Метод калиброванного сопротивления и двух манометрических преобразователей по схеме 3 табл. 12.2 можно видоизменить при откачке ЭВП насосом с высокой быстротой действия. Обычно электровакуумные приборы снабжены откачным штенгелем 4 (см. схему 5 табл. 12.2) с проводимостью менее 1 л/с, а применяемые для их откачки насосы имеют, как правило, быстроту действия не менее 100 л/с. При использовании этого метода между прибором 1 и насосом устанавливают заслонку 3. Перекрытие трубопровода заслонкой производится настолько, что эффективная быстрота откачки  $S_0$  в месте присоединения манометрического преобразователя 2 становится значительно меньше быстроты действия насоса  $S_{\rm H}$  и практически определяется проводимостью U заслонки 3, т. е.  $S_0 \approx U$ .

Зная предварительно рассчитанное или измеренное значение проводимости U и измеряя установившееся в системе давление p, поток газа можно определить по формуле

$$Q' = pS_0 = pU.$$
 (12.17)

Общий недостаток методов, использующих калиброванное сопротивление, состоит в том, что при их применении калиброванное сопротивление остается постоянным только до тех пор, пока течение газа происходит в молекулярном режиме. В молекулярно-вязкостном и вязкостном режимах течения газа проводимость элементов зависит от среднего давления (см. гл. 18) и оценка потока становится более сложной.

# 12.7. МЕТОД ПОРЦИОННОГО ПЕРЕПУСКА (ОБЪЕМНЫЙ ИЗМЕРИТЕЛЬ ПОТОКА)

Объемные измерители потока широко применяются для измерения расхода газов и жидкостей в технике высоких давлений. Этот метод, обладающий повышенной точностью измерения, используется и в вакуумной 240

технике. Существенными достоинствами метода являются его применимость в широком диапазоне давлений и независимость показаний от характера течения газа.

Однокамерная конструкция измерителя потока газа с контролем давления по одному манометрическому преобразователю (см. схему 6 табл. 12.2) состоит из корпуса 3, в котором вращается или качается тонкостенная измерительная камера 2 объемом V, выполненная в виде цилиндра со щелью по образующей. В центре камеры 2 установлен манометрический преобразователь открытого типа I. Внутренняя полость камеры 2 периодически сообщается то с линией источника потока, то с линией откачки. Газ порциями, равными внутреннему объему камеры V, умноженному на разность давлений  $p_1 - p_2$ , перепускается из линии источника потока в линию откачки. Измеряемый поток газа Q' равен

$$Q' = V(p_1 - p_2) n = V \rho_{\sim} n,$$
 (12.18)

где  $p_1$  — максимальное давление в камсре 2 при ее соединении с линией источника потока;

р<sub>2</sub> — минимальное давление в камере 2 при ее соединении с линией откачки;

n — частота вращения (качания) измерительной камеры 2.

При постоянной частоте вращения измерительной камеры поток однозначно определяется переменной составляющей давления р. Во время измерения потока этим методом линия источника потока в любой момент времени изолирована измерителем потока от линии откачки. Проводимость системы особенно резко уменьшается при остановке движения измерительной камеры. При этом проводимость определяется размерами зазоров между измерительной камерой и корпусом измерителя потока. Поэтому измеритель потока целесообразно в данном случае шуптировать обводным трубопроводом с краном.

При условии, что газ при движении камеры 2 успевает заполнить ее или выйти из нее и давления между измерительной камерой и соответствующими частями вакуумной системы успевают выровняться, проводимость U измерителя потока определяется выражением

$$U=Vn. \tag{12.19}$$

Очевидно, что с увеличением частоты вращения n измерительной камеры пропорционально увеличивается 16-1081

проводимость измерителя потока. Однако, когда время одного полупериода становится сопоставимым со временем заполнения измерительной камеры газом, проводимость измерителя потока достигает максимального значения и в дальнейшем не изменяется с увеличением частоты вращения камеры.

Частота вращения камеры должна быть не более  $n \leq U_{\rm K}/8V$ , (12.20)

где n — частота вращения (качания) измерительной камеры,  $\mathbf{c}^{-1}$ :

 $U_{\rm R}$  — проводимость канала для входа газа в камеру; V — объем измерительной камеры.

Оптимальная частота вращения 5—10 с<sup>-1</sup>. При этом достигаются значительная проводимость системы и высокая чувствительность, а также обеспечивается достаточно большой сигнал переменного ионного тока, посту-

пающий от манометрического преобразователя.

### 12.8. МЕТОДЫ ДОЗИРОВАНИЯ ПОТОКА ГАЗА

При проведении некоторых технологических операций, испытании вакуумной аппаратуры например, при измерении быстроты действия вакуумных насосов необходимо дозировать поток газа. В зависимости от величины потока применяют разные технические приемы.

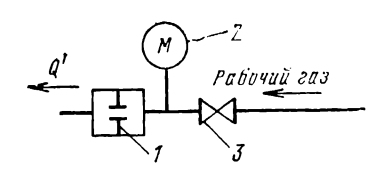


Рис. 12.2. Принципиальная схема системы для дозирования потока менее  $10^{-3}$  м $^3 \cdot \Pi a/c$ .

Дозирование потоков менее 10-3 м³·Па/с осуществляют с помощью калиброванного сопротивления; в диапазоне потоков газа 10-4—2 м³·Па/с применяют бюретки или пипетки; потоки более 0,2 м³·Па/с контролируют с помощъю ротаметров.

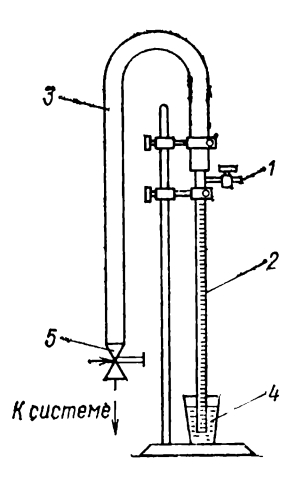
Дозирование потока газа менее  $10^{-3}$  м<sup>3</sup>·Па/с. Дозирование малых потоков осуществляется по схеме, показанной на рис. 12.2. Необходимый поток Q' задается натекателем 3. Проходя через диафрагму 1, газ создает на ней разность давлений. Проводимость U диафрагмы выбирается такой, чтобы давление газа за ней было на два-три порядка меньше давления p перед диафрагмой, которое измеряется манометрическим преобразователем 2. В этих условиях поток

 $Q' = pU. \tag{12.21}$ 

Рис. 12.3. Принципиальная схема для дозирования потока в диапазоне  $10^{-4}$ — 9 м<sup>3</sup> Па/с.

1 — стеклянный кран; 2 — бюретка; 3 — шланг; 4 — стакан с вакуумным маслом; 5 — натекатель.

Погрешность дозирования в этом случае определяется в основном погрешностью измерения давления р. Наиболее точные измерения давления удается произвести в диапазоне давлений от 10<sup>3</sup> до 10<sup>5</sup> Па. Чтобы обеспечить молекулярный режим течения газа при столь высоких давлениях, необходимо создать сопротивление течению газа с про-



водимостью примерно  $10^{-5}$  л/с. Такие сопротивления могут быть реализованы путем использования пористых стекол. Пористые стекла механически прочны и могут работать начиная с атмосферного давления, но требуют защиты от паров масел. Перегородки с проводимостью более  $10^{-3}$  л/с могут быть изготовлены из тонкой медной фольги с отверстием, образованным лучом лазера. Такие перегородки допускают работу с парами веществ, но менее прочны, и их можно использовать лишь при давлениях не более  $10^2$  Па.

Дозирование потоков в диапазоне  $10^{-4}$ —2 м<sup>3</sup> Па/с. Напуск газа (см. рис. 12.3) в вакуумную систему осуществляется с помощью натекателя 5, соединенного шлангом 3 с верхним концом бюретки 2. К верхнему концу бюретки припаивается также стеклянный кран 1, соединяющий бюретку 2 и натекатель 5 с атмосферой. Нижний конец бюретки погружен в стакан 4 с вакуумным маслом.

С помощью натекателя 5 устанавливают необходимое давление p в вакуумной системе. После закрытия крана 1 масло в бюретке начинает подниматься. По скорости подъема масла в бюретке 2 определяют количество вытесненного из бюретки воздуха  $\Delta(pV)$ . Поток газа

$$Q' = \frac{\Delta(pV)}{\Delta t} = \frac{1}{\Delta t} (V_{\bullet} \Delta p + p_{6} \Delta V + \Delta p \Delta V), \quad (12.22)$$

где  $\Delta t$  — время поднятия столба масла в бюретке; 16\*

 $V_0$  — начальный объем бюретки 2 и соединительного шланга 3 до запорного элемента натекателя 5;

 $\Delta p$  — изменение давления газа в бюретке, равное давлению столба масла, поднявшегося за время  $\Delta t$ ;

 $p_{5}$  — барометрическое давление;

 $\Delta V$  — изменение объема газа в бюретке, равное объему столба масла, поднявшегося за время  $\Delta t$ ;

$$\Delta V = \frac{V_6}{n} h, \qquad (12.23)$$

где  $V_6$  — объем градуированной части бюретки;

п — число делений градуированной части бюретки;

h — высота поднятия масла в бюретке за время  $\Delta t$  в делениях градуированной части бюретки;

$$\Delta p = \rho g h l,$$
 (12.24)

где ρ — плотность масла;

g — ускорение силы тяжести;

*1* — длина одного деления бюретки.

Так как  $\Delta p \Delta V$  в уравнении (12.22) мало в сравнении с двумя первыми слагаемыми и им можно пренебречь, то

$$\Delta(pV) \approx V_0 \Delta p + p_6 \Delta V.$$
 (12.25)

На основании уравнений (12.23) — (12.25) получим

$$Q' = k_6 \frac{h}{\Delta t}, \qquad (12.26)$$

где  $k_6 = V_{_0} \rho g l + \frac{p_6 V_6}{n}$  — коэффициент бюретки.

При дозировании потока с использованием бюретки необходимо следить за стабильностью температуры во время измерений. Изменение температуры на 1°С может привести к дополнительной ошибке в несколько десятков процентов.

Дозирование потоков более 0,2 м<sup>3</sup>·Па/с. Потоки газа более 0,2 м<sup>3</sup>·Па/с могут быть дозированы с помощью ротаметров, в которых используется сопротивление движению потока газа, создаваемое поплавком, находящимся в вертикальной конической трубе.

#### **TEYENCKAHNE**

#### 13.1. ГЕРМЕТИЧНОСТЬ ВАКУУМНЫХ СИСТЕМ

В любой вакуумной системе всегда имеется ряд участков, наименее надежных в отношении герметичности.

Герметичность вакуумной системы— это свойство всех ее элементов и их соединений обеспечивать настолько малое проникновение (натекание) газа через них, чтобы им можно было пренебречь в рабочих условиях.

Обычно натекание газа происходит через места нарушения герметичности, называемые течами. При всей тщательности изготовления вакуумных систем в целом невозможно достигнуть полного отсутствия течей. Можно добиться лишь того, чтобы суммарное натекание оставалось в допустимых пределах, но для этого необходимо уметь провести количественную оценку течей.

Для наблюдения за натеканием необходимо, чтобы вакуумная система была снабжена манометрическим преобразователем и краном, которым можно изолировать систему от насоса.

Пусть при открытом кране в системе установится равновесное давление  $p_1$ . Если известно, что данный насос должен создавать предельное остаточное давление  $p_{\text{ост}}$ , то при сравнении фактически достигаемого в вакуумной системе давления  $p_1$  с давлением  $p_{\text{ост}}$  возможно одно из двух положений:

- 1)  $p_1 \approx p_{\text{ocr}}$ ;
- 2)  $p_1 > p_{\text{oct}}$ .

В первом случае систему можно считать герметичной или вакуумно-плотной.

Если же  $p_1 > p_{\text{ост}}$ , то это можно объяснить тремя причинами:

- 1) неисправностью вакуумного насоса;  $\vee$
- 2) газовыделением внутри вакуумной системы; 3) натеканием в систему атмосферного воздуха.

Чтобы разделить эти три причины, изолируют систему от насоса, закрыв кран; далее, считая момент закрытия крана за начальный, периодически измеряют давление в системе и строят график зависимости p = f(t), подобный тому, который изображен на рис. 13.1.

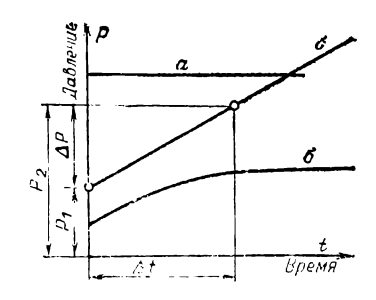


Рис. 13.1. Изменение давления во времени в вакуумной системе после отключения ее от насоса.

a — неисправен вакуумный насос; b — газовыделение в системе; b — натехание извне в систему.

Если давление  $p_1$ , при котором был закрыт кран, остается практически постоянным в течение достаточно длительного времени (прямая a), то это означает, что вакуумная система не может быть откачана из-за неисправности самого насоса.

Если же давление вначале возрастает (кривая б), а затем, начиная с некоторого момента времени, персстает изменяться, то следует предположить наличие

в системе источника газовыделения (возрастание давления замедляется по мере приближения к равновесию между выделением и поглощением газа или пара).

Если давление возрастает пропорционально времени (прямая в), то причиной этого является негерметичность, т. е. наличие течей в вакуумной системе.

Нас интересует именно последний случай. Пусть по истечении времени  $\Delta t$  после закрытия крана давление в системе возросло от  $p_1$  до  $p_2$ . Тогда представление о степени герметичности системы можно получить, если известно, как быстро повышается давление, т. е. каково отношение  $\Delta p/\Delta t$  (рис. 13.1). Однако только по скорости изменения давления нельзя дать количественной оценки степени герметичности, так как равные количества газа в системах, имеющих разные объемы, вызовут различное нарастание давления. Поэтому если требуется количественная оценка натекания, то следует принимать во внимание не только скорость возрастания давления в вакуумной системе, но и ее объем V, т. е.

$$Q'_{\text{Hat}} = \frac{V\Delta p}{\Delta t}, \qquad (13.1)$$

где  $Q'_{\text{нат}}$  — натекание или поток газа, приникающий в вакуумную систему (обычно измеряется в единицах потока);

V — объем вакуумной системы;

 $\Delta p$  — изменение давления в системе за время  $\Delta t$ ;  $\Delta t$  время, в течение котсрого система изолирована от насоса.

Таким образом, натекание, характеризующее герме тичность вакуумной системы, определяется произведением объема вакуумной системы на изменение в ней давления газа в единицу времени после прекращения откачки.

Перейдем теперь к вопросу о допустимом суммарном натекании. Для этого рассмотрим два случая, которые являются наиболее характерными.

1. При непрерывной откачке системы с эффективной быстротой откачки  $S_0$  требуется получить давление не больше  $p_1$ . Тогда поток газа

$$Q'_{\text{Hat}} \leqslant S_0 p_1. \tag{13.2}$$

Или в соответствии с (2.9) неравенство (13.2) можно записать в виде

$$Q'_{\text{HAY}} \leqslant \frac{S_{\text{H}}U}{S_{\text{H}} + U} p_{\text{s}}. \tag{13.3}$$

Условие (13.3) показывает, что суммарное натекание можно считать допустимым, т. е. требуемое давление  $p_1$  в вакуумной системе будет обеспечено и при наличии натекания, если соответствующим образом подобраны быстрота действия насоса  $S_{\rm H}$  и проводимость вакуумного трубопровода U.

2. В изолированной системе объемом V, находящейся под вакуумом или под избыточным давлением, изменение давления за счет негерметичности не должно превышать  $\Delta p$  в течение времени  $\Delta t$ ; натекание, следовательно,

$$Q'_{\text{max}} \leq \frac{V \Delta p}{\Delta t}. \tag{13.4}$$

### 13.2. МЕТОДЫ ТЕЧЕИСКАНИЯ

Все узлы и приборы, используемые в вакуумной системе, перед сборкой необходимо проверить на герметичность, что предотвращает непроизводительные затраты времени и средств для отыскания мест натекания (течей) в уже собранной системе. Если все же суммарное натекание в собранной вакуумной системе превышает допустимое, то необходимо отыскать течи и устранить их.

Следует отметить, что, помимо истинных течей, которые являются местом входа в систему атмосферного

### Основные методы течеискания

Наименование метода	Опясание метода	Минимальная определимая течь, м <sup>в</sup> •Па/с	Применение
Опрессовка	Метод обнаружения течи, при котором с одной сто- роны испытуемого элемента создается давление пробного вещества, превышающее атмосферное	1.10-6	Предварительные испытания на герметичность металлических приборов и узлов
Люмянесцентный	Метод обнаружения течи, основанный на способности люминесцирующих веществ, проникающих через течь, светиться под действием ультрафиолетового облучения	10-6-10-9	Применяется для испытания гер- метичности малогабаритных откры- тых объектов, откачка или опрес- совка которых затруднена
Искров <b>ой</b>	Применяется теченскатель, действие которого основа- но на проникновении маломощного искрового разряда внутрь откачиваемого стеклянного сосуда через течь	1 - 10 - 4	Применяется для поиска течей в стеклянных вакуумных системах
Манометрический	Применяется теченскатель, действие которого основано на изменении выходного сигнала манометрического преобразователя при проникновении пробного вещества через течь	10-6-10-7	Применяется для поиска негерметичных мест в вакуумных системах без количественной оценки течей
Галогенный	Применяется течеискатель, действие которого основа- но на изменения эмиссии ионов нагретой металлической поверхности при попадании на нее пробного вещества, содержащего галогены	10-8-10-\$	Применяется для поиска негерметичных мест в больших объемах или в системах с разветвленнымы трубопроводами
Масс-спектромет- рический	Применяется теченскатель, действие которого основа- по на принципе разделения ионов разных газов по мас- сам	6-10-14-1-1:0-17	Широко применяется для поиска весьма малых течей в вакуумных системах и элекгрозакуумных при- борах

воздуха, могут существовать и так называемые кажущиеся течи. Такие течи возникают чаще всего в неправильно сконструированных сварных или паяных соединениях, в которых имеются воздушные карманы.

Приборы, служащие для обнаружения мест течи,

получили название течеискателей.

Течеискатели избирательно реагируют на отдельные физико-химические свойства газов, с помощью которых определяется место течи. Эти газы мы назовем пробными веществами. Пробное вещество, проходя через течь, попадает в датчик течеискателя и создает сигнал, по величине которого судят о размерах течи. Основным параметром течеискателя является его чувствительность, которая характеризуется либо минимальным потоком пробного вещества, определяемого прибором, либо концентрацией пробного вещества в атмосфере, которую способен уловить течеискатель.

В табл. 13.1 приведены основные методы течеискания, получившие распространение в лабораторной практике и в промышленности.

### 13.3. МЕТОД ОПРЕССОВКИ

Метод опрессовки заключается в создании внутри испытуемого сосуда давления, превышающего атмосферное, и применении того или иного внешнего указателя места течи.

Этот метод, как правило, к полностью собранной вакуумной системе неприменим, так как в большинстве случаев не все узлы последней могут выдержать повышенное давление. В то же время метод очень удобен для предварительных испытаний на герметичность металлических приборов и узлов.

Давление внутри испытуемого сосуда можно создавать при помощи газообразных веществ. Для обнаружения места течи могут служить различные явления, связанные с выходом сжатого газа из мест натекания. Так, если внутри сосуда создано повышенное давление воздуха или азота, то в качестве указателя может служить задувание или колыхание пламени какой-либо горелки, поднесенной к негерметичному месту, или даже звук (шипение) выходящего газа. Однако таким путем можно обнаружить лишь весьма грубые течи, величина которых больше  $5 \cdot 10^{-3}$  м<sup>3</sup>·Па/с.

Значительно более тонкие течи можно отыскать, применяя в качестве указателя мыльную пленку. Мыльная пленка, попав на место течи, легко образует пузыри, регулярное появление которых указывает на место

нарушения герметичности.

Несколько менее чувствительным является наблюдение за образованием пузырей в воде, в которую погружен испытуемый сосуд. На месте грубой течи появляется целая цепочка всплывающих вверх пузырей; при более тонкой течи отдельные пузыри могут появляться лишь периолически.

### 13.4. ЛЮМИНЕСЦЕНТНЫЙ МЕТОД

Люминесцентный метод в отличие от большинства других методов связан с непосредственным обнаружением жидкого пробного вещества и широко применяется для испытания на герметичность малогабаритных открытых сосудов, откачка или опрессовка которых затруднена или просто невозможна.

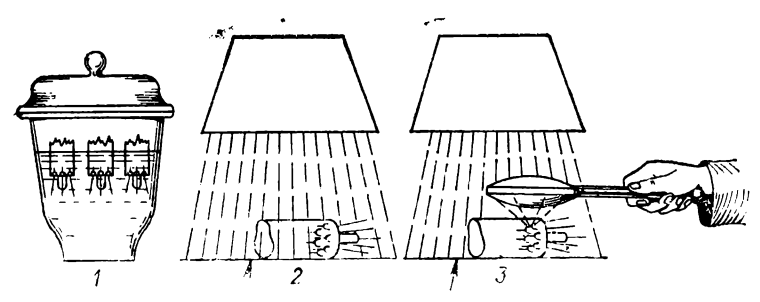


Рис. 13.2. Обнаружение мест течи люминесцентным методом. 1 — образцы, погруженные в жилкий раствор; 2 — образец, облучаемый ультрафиолетовыми лучами; 3 — фокусировка ультрафиолетовых лучей лупой.

Испытуемый на герметичность сосуд (рис. 13.2) целиком или только подозрительной по натеканию частью помещается в раствор люминофора в органической жидкости (трихлорэтилене или четыреххлористом углероде) так, чтобы он не попал во внутреннюю полость или на противоположную поверхность стенки, которые по окончании выдержки обследуют в ультрафиолетовых лучах.

Если в погруженном сосуде имеется течь, то под действием капиллярных сил между стенками течи и раствором последний втягивается внутрь течи и рано 250

или поздно проходит по всей длине на противоположную сторону течи, где по мере испарения растворителя накапливается подсохший люминофор.

При облучении испытуемого сосуда ультрафиолетовыми лучами светящийся люминофор укажет место нахождения течи.

Источником ультрафиолетовых лучей служит обычная кварцевая лампа. Как уже отмечалось, главной положительной особенностью этого метода является отсутствие надобности в откачке испытуемых сосудов, благодаря чему люминесцентный метод среди других методов течеискания, в том числе и самых чувствительных, часто оказывается единственно применимым. Досточнством метода является также его относительно высокая чувствительность, которая ограничивается лишь допустимой для данного случая длительностью выдержки испытуемого сосуда в растворе до появления свечения.

Теоретически можно подсчитать, что если испытуемый сосуд выдержать в течение 1-2 ч, то можно обнаружить течи порядка  $10^{-8}$  м<sup>3</sup>·Па/с, а после выдержки 1-2 сут — порядка  $10^{-9}$  м<sup>3</sup>·Па/с.

Однако следует обратить внимание на то, что люминофоры отравляют оксидные катоды, что делает невсзможным применение люминесцентного метода для испытаний большинства электровакуумных приборов, содержащих подобные широко распространенные катоды.

#### 13.5. ИСКРОВОЙ ТЕЧЕИСКАТЕЛЬ

В искровом течеискателе используется высокочастотный разряд, получаемый с помощью трансформатора Тесла.

При прикосновении щупа, соединенного со вторичной обмоткой трансформатора, к стеклянной стенке вакуумной системы, давление в которой находится в пределах  $5.0-10^2$  Па, возбуждается высокочастотный разряд. Если после возбуждения разряда щуп (рис. 13.3) держать достаточно близко от какого-либо участка поверхности, то при отсутствии течи в этом участке на конце щупа будет виден пучок искр, направление которых не связано с какими-либо фиксированными точками на поверхности стекла a.

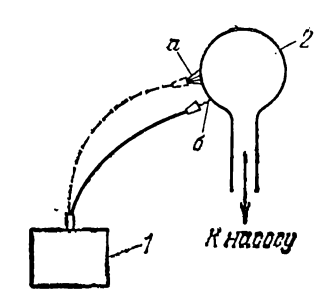


Рис. 13.3. Обнаружение места течи искровым теченскателем.

1— искровой теченскатель; 2— обследуемый сосуд.

Если же щуп окажется над участком, где имеется течь, то наряду с ненаправленным пучком искр в дефектное место будет бить искра, отличающася от остальных значительно большей яркостью и точно указывающая место течи б.

Обрабатывать длительное время герметичные стеклянные поверхности искровым разрядом течеискателя не рекомендуется, так как искрав тонких местах может пробить стекло и образовать течь.

Определение течи искровым течеискателем вблизи металлических деталей системы затруднено, так как весь искровой разряд попадает на металл.

### 13.6. МАНОМЕТРИЧЕСКИЙ МЕТОД

Метод теплового манометрического преобразователя. Тепловой манометрический преобразователь обычной конструкции можно применить для поиска течи. Для этого между манометрическим преобразователем и вакуумной системой должна быть достаточная проводимость, чтобы при воздействии на негерметичное место пробным веществом последнее легко проникало в достаточном количестве и быстро заменяло воздух в объеме преобразователя.

В качестве пробного вещества выбирают такие пары или газы, которые по сравнению с воздухом обладают или значительно большей, или значительно меньшей теплопроводностью. Пока течь не обнаружена, показания прибора в измерительном блоке преобразователя не изменяются.

Если в качестве пробного вещества использовать, например, водород, обладающий, как известно, большой теплопроводностью, то при его попадании в манометрический преобразователь через места течи в вакуумной системе температура нити понизится и стрелка измерительного прибора отклонится влево (указывая как бы на повышение давления).

Очевидно, методом теплового манометрического преобразователя можно пользоваться, если в системе поддерживается давление, не выходящее за пределы рабочего диапазона этого преобразователя.

Следует заметить, что на показания измерительного прибора влияет не только проникновение пробного вещества, но и изменение давления воздуха в манометрическом преобразователе. Поэтому при поисках мест течи давление необходимо поддерживать на достигнутом уровне путем непрерывной откачки вакуумной системы.

С помощью теплового манометрического преобразователя можно обнаружить наименьшую течь, равную

10<sup>-6</sup>  $\mathbf{M}^3 \cdot \Pi a/c$ .

Метод высоковакуумного манометрического преобразователя. Если вакуумная система может быть откачана до давления порядка 5·10<sup>-2</sup> Па или ниже и обнаруживает признаки негерметичности, то течь можно найти с помощью какого-либо высоковакуумного манометрического преобразователя, например, использовав для этого электронный ионизационный вакуумметр.

В качестве пробного вещества применяют такие пары или газы, которые, попадая в манометрический преобразователь через течь в вакуумной системе, изменяют ионный ток. Ионный ток будет возрастать, если применить пары ацетона, эфира и т. п., так как последние, попадая в манометрический преобразователь, разлагаются при соприкосновении с накаленным катодом, отчего увеличивается количество молекул и, следовательно, ионов. Если же в качестве пробного вещества взять гелий или неон, то ввиду более низкой чувствительности электронного ионизационного преобразователя по этим газам по сравнению с воздухом количество ионов, образующихся в манометрическом преобразователе, уменьшится и измерительный прибор покажет меньший ионный ток. Метод высоковакуумного манометрического преобразователя позволяет обнаруживать наименьшую течь, равную  $10^{-7}$  м<sup>3</sup>·Па/с.

### 13.7. ГАЛОГЕННЫЙ ТЕЧЕИСКАТЕЛЬ

В галогенных течеискателях используется эффект резкого возрастания эмиссии положительных ионов с накаленной до 1000—1200 К платины при попадании в датчик работающего прибора галоидсодержащих газов. В качестве таких газов применяют чаще всего

хладон. Явление возрастания эмиссии в галогенных течеискателях наблюдается при работе прибора как при атмосферном давлении, так и в вакууме.

В качестве датчика течеискателя применяют диод, схематически изображенный на рис. 13.4. Анодом, эмиттирующим положительные ионы, служит платиновый цилиндр 1, нагреваемый платиновым подогревателем 2.

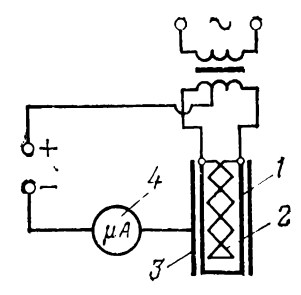


Рис. 13.4. Принципиальное устройство датчика галогенного теченска-

1 — цилиндрический анод;
 2 — платиновый подогреватель;
 3 — цилиндрический коллектор ионов;
 4 — измерительный прибор.

С положительным полюсом источника постоянного тока анод связан через вторичную обмотку трансформатора накала. К отрицательному полюсу того же источника присоединен цилиндрический коллектор ионов 3, изготовленный из нержавеющей стали и расположенный вокруг цилиндра 1. Ионный ток анода регистрируется микроамперметром 4.

Обнаружение течей галогенным течеискателем может производиться как методом опрессовки, когда обследуемый сосуд заполняется хладоном или смесью хладона с воздухом до избыточного давления, так и методом обдувания хладоном, когда в обследуемом сосуде

поддерживается разрежение.

При работе по методу опрессовки используется атмосферный щуп 2 (рис. 13.5). В передней части щупа прикреплен наконечник с насадкой, направляемой к месту возможной течи; позади датчика в щуп вставлен миниатюрный вентилятор, предназначенный для продувания воздуха через датчик.

Чувствительность метода сильно зависит от избыточного давления опрессовки. При работе с чистым хладоном максимальную чувствительность лимитирует давление насыщенного пара над жидким хладоном, которое при 298 К равно 6,6·10<sup>5</sup> Па. При таком давлении опрессовки может быть обнаружена течь 10-9 м³·Па/с.

При испытаниях смесью воздуха с хладоном чувствительность метода, с одной стороны, снижается за счет уменьшения доли хладона в потоке через течь, но, с другой стороны, чувствительность может быть существенно увеличена за счет применения больших давлений опрес-

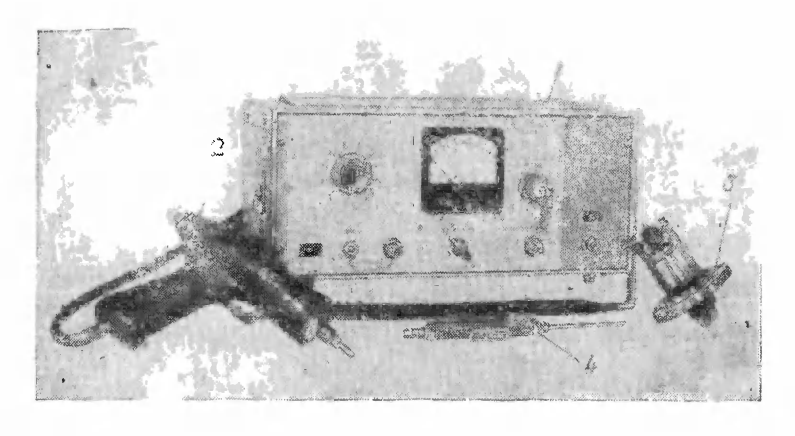


Рис. 13.5. Галогенный теченскатель. 1— измерительный блок; 2— щуп с атмосферным датчиком; 3— вакуумный датчик; 4— обдуватель.

совки без конденсации хладона. Чувствительность метода опрессовки может быть оценена по формуле

$$Q'_{\text{HAT.MIHH}} pprox rac{3,2 \cdot 10^{-7}}{c \left(rac{p^2_{\text{OUIP}}}{p^2_{\text{G}}} - 1
ight)}$$
, (13.5)

где  $Q'_{\text{нат.мин}}$  — минимально обнаруживаемая течь,  $\mathbf{m}^3 \cdot \Pi \mathbf{a}/\mathbf{c}$ ;

 с — объемная концентрация хладона в смеси, заполняющей сосуд;

 $p_{\text{onp}}$  — давление опрессовки;

 $p_{6}$  — барометрическое давление.

Пример 13.1. Испытуемый сосуд заполнен смесью хладона с воздухом с концентрацией фреона 0,5. Чему равна минимально определяемая течь, если давление смеси составляет  $3\cdot 10^5$  Па.

По формуле (13.5) найдем:

$$Q'_{\text{HaT,MRG}} = \frac{3.2 \cdot 10^{-7}}{0.5 (9-1)} \approx 8 \cdot 10^{-8} \text{ M}^{3} \cdot \text{Fa/c.}$$

Для работы по методу обдува используют вакуумный датчик 3 (рис. 13.5), который встраивают в вакуумную систему откачки испытуемого сосуда. При обследовании небольших сосудов датчик целесообразно устанавливать между сосудом и вакуумным насосом: при откачке сосуда пароструйным насосом большой производительности датчик теченскателя лучше всего расположить на выпускной стороне насоса. Следует указать. что для поддержания чувствительности течеискателя на заданном уровне необходимо присутствие кислорода. Поэтому при работе с вакуумным датчиком необходимо поддерживать давление в нем около 1 Па. Иногда это делается с помощью искусственного натекания. Во всех случаях между обследуемым сосудом и датчиком не должно быть ловушек с жидким азотом, так как в них будет конденсироваться хладон.

При работе с галогенными течеискателями необходимо всячески избегать выпуска пробного вещества непосредственно в помещение. Попадание большого количества галоидсодержащего газа в датчик течеискателя приводит к резкому снижению термоионной эмиссии вследствие отравления датчика. Для восстановления эмиссионных свойств прибора необходимо в рабочем режиме пропустить через него кислород или воздух, своболный от галоидсодержащих соединений.

После длительной работы течеискателя наступает своего рода старение, заключающееся в плавном снижении ионного тока. Для проверки чувствительности течеискателя обычно применяют калиброванную течь, обеспечивающую определенный поток галоидсодержаниего газа.

#### 13.8. МАСС-СПЕКТРОМЕТРИЧЕСКИЙ ТЕЧЕИСКАТЕЛЬ

В основу принципа работы теченскателя этого типа положен масс-спектрометрический метод (см. § 11.3) обнаружения вещества в испытываемом сосуде.

В качестве пробного вещества могут быть применсны водород, аргон или гелий. Однако чаще всего в масс-спектрометрических течеискателях используют гелий. Благодаря малому содержанию гелия в атмосферном воздухе (всего 1/200 000 часть) и в газах, выделяемых внутренними стенками вакуумной системы, фон, на котором регистрируют сигнал, невелик, что обеспечивает высокую чувствительность течеискателя.

Малая молекулярная масса гелия (массовое число 4) позволяет не только создать малогабаритную и простую конструкцию масс-спектрометрической камеры течеискателя, но и обеспечивает эффективное проникновение пробного вещества через течи.

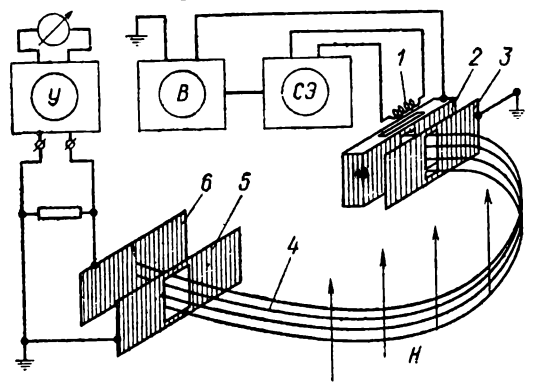


Рис. 13.6. Схема масс-спектрометрического течеискателя.

1 — катод; 2 — коробка ионизатора; 3 — входная диафрагма; 4 — ионный луч; 5 — выходная диафрагма; 6 — коллектор ионов; H — направление магнитного поля; C3 — стаблизатор эмиссии катода; B — выпрямитель (разгоняющее напряжение); V — усилитель ионного тока с измерительным прибором.

К этому следует добавить, что гелий, будучи химически инертным газом, совершенно безвреден и безопасен в работе.

Течеискатель состоит из трех основных частей: анализатора (масс-спектрометрической камеры с магни-

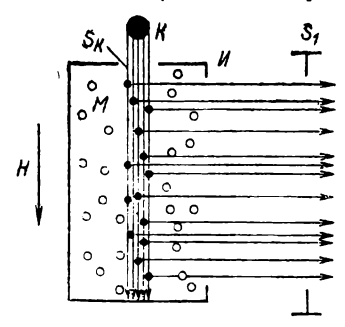


Рис. 13.7. Принцип действия ионного источника.

 $K \longrightarrow$ катод;  $U \longrightarrow$ коробка ионизатора;  $S_1 \longrightarrow$  входная диафрагма;  $H \longrightarrow$ ваправление магнитного поля;  $S_K \longrightarrow$ входная щель для электронов, эмиттируемых катодом.



Рис. 13.8. Схема отклонения ионов различных масс в поперечном магнитном поле.

H — коробка ионизатора;  $S_1$  — входная диафрагма;  $S_2$  — выходная щель; K — коллектор ионов;  $M_1$ ,  $M_2$ ,  $M_3$  — ионные пучки с различными массовыми числами.

том), вакуумной системы и электрических блоков питания и измерения. В анализаторе смонтированы ионный источник, приемник ионов и входная и выходная диафрагмы (рис. 13.6). Ионный источник (рис. 13.7) состоит из накаленного катода K, коробки ионизатора U и входной диафрагмы  $S_1$ . Приемник ионов состоит из коллектора K и выходной щели  $S_2$  (рис. 13.8).

В источнике ионов накаленный вольфрамовый катод эмиттирует электроны, которые фокусируются магнитным полем с индукцией В и ускоряются электрическим полем, приложенным между катодом и коробкой ионизатора.

Течеискатель своей вакуумной частью присоединяется к испытываемому сосуду, который снаружи обдувается гелием. Молекулы гелия, проникая через негерметичные места испытываемого сосуда, поступают в анализатор и, следовательно, в коробку ионизатора ионного источника. В коробке ионизатора молекулы газа, в том числе и гелия, подвергаются ионизации потоком электронов (рис. 13.7). Образующиеся ионы вытягиваются из ионизатора, фокусируются в пучок и ускоряются в область анализатора с помощью системы электрических линз. Для анализа газов по массам применен анализатор с 180 градусной фокусировкой ионного луча полем постоянного магнита (рис. 13.8).

Попавшие в анализатор ионы с некоторой постоянной энергией двигаются под действием лоренцевой силы в однородном поперечном магнитном поле анализатора, свободном от электрических полей. В этом случае радиусы r окружностей, по которым перемещаются ионы, могут быть определены из уравнения

$$r = \frac{1,47 \cdot 10^{-4}}{B} \sqrt{MU}, \tag{13.6}$$

где B — индукция магнитного поля;

U — ускоряющее напряжение, приложенное между коробкой ионизатора и диафрагмой  $S_1$ ;

M — массовое число.

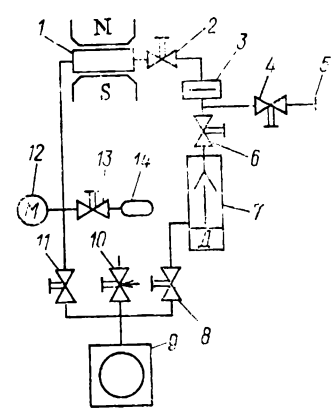
Из анализа формулы (13.6) видно, что при постоянных значениях B и U радиус траектории зависит от массового числа M.

Таким образом, в магнитном поле происходит разделение ионного луча на ряд отдельных лучей с одинаковым значением массового числа.

Рис. 13.9. Принципиальная схема вакуумной системы масс-спектрометрического течеискателя.

Г → масс-спектрометрическая камера с магнитами (анализатор); 2, 6, 8, 10, 11, 13 — краны; 3 — азотная ловушка; 4 — дросселирующий крав; 5 — присовдинительный фланец; 7 — высокова куумный насос; 9 — насос предварительного разрежения; 12 — манометрический преобразователь; 14 — калиброванная течь.

Подобрав ускоряющее напряжение *U*, можно достичь того, что на коллектор ионов, расположенный в анализаторе, под углом 180°, к ионному источнику



будут попадать только ионы гелия. Чтобы одновременно с ионами гелия на коллектор не попадали ионы других масс, случайно попавшие на рабочую траекторию, перед коллектором помещают супрессор — подавитель фона. На супрессор подается потенциал, тормозящий пролетающие ионы. Только ионы, обладающие достаточной энергией, будут в состоянии преодолеть это тормозящее поле и попадут на коллектор. Коллектор ионов 6 соединен с усилителем тока У (см. рис. 13.6). Усиленный сигнал регистрируется стрелочным прибором. Принципиальная вакуумная схема течеискателя показана на рис. 13.9.

Масс-спектрометрическая камера 1 предварительно откачивается через кран 11 механическим вакуумным насосом 9. Высоковакуумная откачка камеры до давления  $10^{-3}$ — $10^{-4}$  Па производится через кран 2, азотную ловушку 3, кран 6 пароструйным диффузионным насосом 7, выпускной патрубок которого через кран 8 соединен с насосом 9.

Для проверки чувствительности течеискателя предусмотрена калиброванная гелиевая течь 14, которая подсоединяется к вакуумной системе через кран 13. Кран 10 служит для напуска газа в систему при выключении насоса 9 или вскрытии камеры 1.

Чувствительность испытаний может быть еще больше увеличена, если применить метод дросселирования откачки. Для этой цели предусмотрен кран 6, который позволяет изменять проходное сечение на входе насоса 7 и тем самым регулировать быстроту откачки гелия 17\* из масс-спектрометрической камеры 1, а следовательно, и чувствительность течеискателя к гелию. Этот метод дает возможность провести предварительные испытания обследуемого сосуда при малой инерционности прибора, а затем путем частичного закрытия крана 6 осуществить быстрый переход к режиму высокочувствительных испытаний.

Предельно высокая чувствительность к натеканиям порядка  $10^{-14}$  м<sup>3</sup>·Па/с может быть получена при работе по методу накопления пробного вещества в испытываемом сосуде, изолированном от откачки. Для этого испытываемый сосуд или его часть накрывают герметичным мешком, в который напускают гелий. Затем подсоединенный к течеискателю сосуд откачивается и изолируется краном 4 (рис. 13.9) от вакуумной системы течеискателя.

После окончания времени накопления  $t_{\text{нак}}$  вновь соединяют сосуд с вакуумной системой течеискателя. При этом в момент соединения в результате накопления в сосуде устанавливается парциальное давление гелия

$$p = \frac{Q'_{\text{Har}}t_{\text{Hak}}}{V}, \qquad (13.7)$$

где  $Q'_{\text{нат}}$  — суммарный поток гелия через все течи испытываемого сосуда;

V — объем испытываемого сосуда;

 $t_{\text{нак}}$  — время накопления гелия.

Тогда через течеискатель при его соединении с испытываемым сосудом потечет поток гелия  $Q'_{\mathbf{r}}$ :

$$Q'_{\rm r} = pS_{\bullet} = \frac{Q'_{\rm har}t_{\rm hak}}{V}S_{\rm o}, \tag{13.8}$$

где  $S_0$  — эффективная быстрота откачки испытываемого сосуда вакуумной системой течеискателя.

Чувствительность течеискателя к минимальному потоку  $Q'_{\text{мин}}$  определяет длительность и режим методики накопления. Поэтому время накопления

$$t_{\text{HaK}} \ge \frac{Q'_{\text{MMH}}V}{Q'_{\text{HaT}}S_0}.$$
 (13.9)

Часто при испытаниях сосудов с большим газовыделением применение описанной методики накопления 200 ограничивается из-за общего увеличения давления в процессе накопления. Для исключения этого явления во время накопления масс-спектрометрическая камера, соединенная с испытываемым сосудом, непрерывно откачивается адсорбционным насосом, который, обладая избирательной откачкой газов, позволяет поддерживать достаточно низкое давление в сосуде и масс-спектрометрической камере при незначительной откачке гелия.

## ВАКУУМНЫЕ СИСТЕМЫ И ИХ ЭЛЕМЕНТЫ

## Глава четырнадцатая

## ПРИНЦИПЫ ПОСТРОЕНИЯ ВАКУУМНЫХ СИСТЕМ

## 14.1. ОБЩИЕ СВЕДЕНИЯ

С принципами построения вакуумных систем мы познакомимся главным образом на основе рассмотрения вакуумных систем оборудования для откачки электровакуумных приборов и вакуумных установок для нанесения тонких пленок.

## Оборудование для откачки ЭВП

Технологическое оборудование для откачки и обезгаживания электровакуумных приборов может быть разделено на следующие две группы: индивидуальные откачные посты и карусельные или конвейерные многопозиционные машины.

Индивидуальные откачные посты применяются в мелкосерийном и единичном производстве ЭВП, когда изготовление их ведется по отдельным заказам, которые в дальнейшем не повторяются или могут быть возобновлены через неопределенное время.

В крупносерийном и массовом производстве откачка обычно ведется на карусельных или конвейерных многопозиционных машинах, так как это позволяет увеличивать производительность труда по сравнению с откачкой на индивидуальных постах.

Компоновка откачных позиций в конвейерные или карусельные машины с перемещающимися откачными гнездами позволяет исключить дублирование отдельных механизмов, время работы которых по сравнению со временем откачки и обезгаживания прибора невелико (механизмы отпайки и удаления штенгеля, проверки герметичности и т. п.).

Наряду с этим облегчается построение поточных линий, состоящих из отдельных машин, потому что в конвейерных и карусельных машинах съем обработанного изделия и установка нового производятся, как правило, в одном месте.

Вакуумные системы современного оборудования для откачки ЭВП, как правило, состоят из следующих основных узлов: откачного гнезда, защитного колпака, коммутирующих элементов, средств откачки и измерения полного или парциального давлений.

Откачное гнездо предназначено для соединения электровакуумного прибора с вакуумной системой оборудования путем напайки стеклянного штенгеля или уплотнения через резиновый или металлический уплотнитель.

Защитный колпак служит для создания вокруг обрабатываемого изделия разрежения, что уменьшает скорость диффузии газа извне в полость прибора, а также исключает окисление внешних поверхностей изделия во время обезгаживания и откачки при повышенных температурах.

Коммутирующие элементы, включающие краны, затворы, клапаны, натекатели, трубопроводы, предназначены для соединения отдельных частей вакуумной системы со средствами откачки и выбираются в соответствии с требованиями по предельному давлению в вакуумной системе и в зависимости от степени автоматизации откачного оборудования.

Средства откачки служат для создания рабочего давления в вакуумной системе и выбираются также в зависимости от необходимого предельного давления и потока газа, поступающего в вакуумную систему из откачиваемого сосуда.

Средства измерения давления служат для контроля технологического процесса и работы вакуумной системы и выбираются в зависимости от диапазона рабочих давлений.

## Оборудование для нанесения тонких пленок

Вакуумное оборудование для нанесения тонких пленок так же, как оборудование для откачки ЭВП, может быть разделено на следующие группы: вакуумные установки периодического действия; вакуумные установки непрерывного действия и конвейерные линии непрерывного действия.

Установки периодического действия колпакового типа наиболее распространены в промышленности. Однако контактирование довольно сложного подколпачного
устройства установки с атмосферным воздухом после
подъема колпака, а также невозможность прогрева
колпака затрудняют получение давления меньше  $1 \cdot 10^{-4}$  Па. Производительность таких установок также
невелика из-за значительного вспомогательного времени, необходимого для получения рабочего давления.

Стремление повысить производительность оборудования, а также обеспечить одинаковые условия для изготовления изделий привело к созданию автоматизированных установок непрерывного действия с шлюзовой загрузкой. Непрерывная подача изделий в рабочую камеру устраняет необходимость в остановке работы вакуумной системы и сообщении рабочей камеры с атмосферным воздухом при переходе от одной партии изделий к другой.

Благодаря этому резко сокращается вспомогательное время, обеспечивается однородность технологического процесса и повышается производительность труда.

Вакуумные системы современных установок для нанесения тонких пленок состоят из следующих основных узлов: вакуумной рабочей камеры, коммутирующих элементов, средств откачки и средств измерения давления.

## 14.2. ОСНОВНЫЕ ТРЕБОВАНИЯ, ПРЕДЪЯВЛЯЕМЫЕ К ВАКУУМНЫМ СИСТЕМАМ

В зависимости от назначения технологической установки к ее вакуумной системе может быть предъявлен ряд требований, выполнение которых обеспечивает возможность проведения необходимого технологического процесса, осуществляемого в вакууме.

1. Вакуумная система должна обеспечить получение требуемого давления в откачиваемом сосуде. Так, установка, предназначенная для откачки ЭВП, должна иметь вакуумную систему, обеспечивающую получение и поддержание давления в приборе на таком уровне, который исключает отравление катода и загрязнение других элементов прибора при достаточно быстром его обезгаживании прогревом. Для удовлетворения этого

гребования вакуумная система должна быть герметичной и снабжена соответствующими средствами откачки, измерения давления, коммутирующими и разъемными элементами.

Важным условием выполнения этого требования является подбор материалов, из которых будут изготовлены вакуумная система и ее элементы, а также методы

подготовки вакуумной системы к работе.

2. Вакуумная система должна обеспечить возможность получения требуемой быстроты откачки сосуда. Для этого вакуумная система должна иметь определенную проводимость, а примененный вакуумный насос должен обладать необходимой быстротой действия.

3. Вакуумная система должна быть снабжена устройствами для контроля ряда параметров, характеризую-

ших ее состояние.

К таким основным параметрам относятся общее и парциальные давления остаточных газов, скорость собственного газовыделения вакуумной системы, скорость накопления отдельных газов и паров в вакуумной системе и т. д.

Для контроля и измерения этих параметров вакуумную систему снабжают преобразователями давления, масс-спектрометрами, потокомерами и другими измерительными приборами.

- 4. При применении автоматических систем управления технологическими процессами (АСУТП) вакуумная система должна быть оснащена набором различных датчиков, осуществляющих передачу информации на ЭВМ. Используемые в вакуумной системе коммутирующие элементы должны быть автоматизированными, а средства откачки высокопроизводительными и долговечными.
- 5. Технологический процесс, осуществляемый на вакуумных установках, часто длится многие десятки часов, поэтому вакуумная система должна быть высоконадежной при эксплуатации и иметь длительный межремонтный период. Это требование вызвано также и тем, что необходимо поддерживать вакуумную систему в рабочем состоянии в течение как можно большего времени. Вакуумная система, длительно не соприкасающаяся с атмосферой (особенно это относится к высоковакуумным магистралям), с течением времени обезгаживается, снижается ее собственное газовыделение и повышается эффективность ее работы.

Рассмотрим принципы построения вакуумных систем на примере технологического оборудования для изготовления электронных приборов, включающего практически все типовые элементы.

## 14.3. НЕПРОГРЕВАЕМЫЕ ВАКУУМНЫЕ СИСТЕМЫ ОТКАЧНЫХ ПОСТОВ

В табл. 14.1 приведены принципиальные схемы непрогреваемых вакуумных систем, нашедшие применение в постах откачки ЭВП, работающих в диапазоне давлений от  $10^{-2}$  до  $5\cdot 10^{-5}$  Па.

Прямоточная вакуумная система, построенная схеме 1 табл. 14.1, проста и широко применяется в лабораторных условиях и в производстве. Вакуумная система состоит из пароструйного диффузионного насоса 1 с маслоотражателем 4 и механического вакуумного насоса 2. Измерение давления производится манометрическими преобразователями 3. Маслоотражатель 4 и присоединительный штенгель чаще всего изготавливаются из стекла. Отпаиваются изделия пламенем газовой горелки в месте сужения откачного штенгеля (перетяжке). В системе отсутствуют какие бы то ни было краны, и в случае внезапного обесточивания системы (или выхода из строя насоса 2) неизбежна порча обрабатываемого изделия. К недостаткам системы следует также отнести неизбежность контакта рабочей жидкости насоса 1 с атмосферой при установке изделия.

Вакуумная система, построенная по схеме 2 табл. 14.1, отличается от предыдущей наличием высоковакуумного затвора или крана 5, линии предварительной откачки с краном 10, форвакуумного баллона 3 и электромагнитного клапана аварийного закрытия 9. Высоковакуумный затвор 5 изолирует вакуумную систему от контакта с атмосферой во время установки нового изделия. Применение линии предварительной откачки с краном 10 исключает непроизводительные потери времени охлаждение и разогрев вакуумного насоса. При откачке воздуха из прибора через линию предварительного разрежения пароструйный диффузионный насос 1 с маслоотражателем 4 работает на форвакуумный баллон 3, который отделен в это время от механического вакуумного насоса 2 электромагнитным клапаном 9. Клапан 9выполняет также роль защитного устройства, предотвращающего прорыв атмосферы и попадание масла из механического вакуумного насоса при обесточивании или остановке насоса 2. С целью исключения попадания масла из насоса 2 в клапан 9 и кран 10 предусмотрен электромагнитный клапан-натекатель 11, с помощью которого при выключении вакуумной системы пространство над входным патрубком механического вакуумного насоса сообщается с атмосферой. Измерение давления в разных участках вакуумной системы производится манометрическими преобразователями 6, 7 и 8.

Для обработки газонаполненных приборов в вакуумной системе может быть установлен натекатель 12, с помощью которого полость откачиваемого изделия заполняется газом.

Вакуумная система, построенная по схеме 3 табл. 14.1, нашла широкое применение в установках для откачки металлостеклянных и металлокерамических изделий. Основным отличием этой системы является наличие вакуумного защитного колпака 5, откачиваемого до давления 10 Па через электромагнитный клапан 8 механическим вакуумным насосом 14.

Как уже отмечалось, создание вокруг изделия области с пониженным давлением (откачка по системе «вакуум в вакууме») предотвращает окисление внешней поверхности при нагреве изделия во время его обезгаживания и значительно снижает скорость проникновения газов из окружающей среды в стенки прибора и его внутреннюю полость. Давление в колпаке измеряется манометрическим преобразователем 11. Напуск атмосферы в колпак перед его подъемом производится через электромагнитный клапан-натекатель 10. Предварительная откачка изделий осуществляется через кран 7, присоединенный к механическому вакуумному насосу 14, откачивающему колпак. По достижении заданного предварительного разрежения в изделии 15 кран 7 закрывается, и открывается высоковакуумный кран 3, который сообщает полость изделия с высоковакуумным насосом 1, снабженным маслоотражателем 4. Выпускной патрубок насоса 1 через электромагнитный клапан 6 соединен с механическим вакуумным насосом 2. Клапаны 12 и 13 служат для напуска атмосферного воздуха в насосы 2 и 14 после их выключения. Для измерения давления предусмотрены манометрические преобразователи 9 и 11.

№	Схема	Краткая техническая характеристика
1		р <sub>ост</sub> = 1·10 <sup>-4</sup> Па Изделие напаивается через стеклянный штенгель
2	5 NO 7	рост = 1·10 <sup>-4</sup> Па Изделие присоединяется через металлический уплотнитель иля штенгель
3		рост = 1·10-4 Па Изделие присоединяется через металлический уплотнитель или штенгель

# систем откачных постов с давлением выше 5.10-5 Па

Средства откачки	Примеиение		
Пароструйный диффузионный насос с маслоотражателем. Механический вакуумный насос	Лабораторный откачной пост		
Пароструйный диффузионный насос с маслоотражателем. Механический вакуумный насос с форвакуумным баллоном	Индивидуальный откачной пост		
Пароструйный диффузионный насос с маслоотражателем. Два механических вакуумных насоса	Индивидуальный откачной пост, работающий по системе «вакуум в вакууме»		
I			

### 14.4. ПРОГРЕВАЕМЫЕ ВЫСОКОВАКУУМНЫЕ СИСТЕМЫ ОТКАЧНЫХ ПОСТОВ

Высоковакуумные системы предназначены для получения давлений ниже  $5\cdot 10^{-5}$  Па и должны удовлетворять ряду требований.

Первое требование - предельно малое собственное

газовыделение.

Это требование вытекает из общего для всех вакуумных систем явления: пока давление в системе еще относительно высоко, весь ход откачки определяется количеством газа, имеющегося в объеме рабочего сосуда или откачиваемого прибора; по сравнению с этим газом количество газа, выделяющегося со стенок вакуумной системы и ее элементов, мало. По мере дальнейшей откачки и с понижением давления количества газов, имеющихся в откачиваемом сосуде и выделяющихся с его стенок, становятся сравнимыми, и, чтобы газовыделение со стенок не замедлило откачки и не препятствовало получению высокого вакуума, необходимо вакуумную систему и откачиваемый сосуд тщательно обезгазить. Обычно обезгаживание осуществляется высокотемпературным (600—1000 К) прогревом в течение нескольких часов с одновременной откачкой. Поэтому материалы для сверхвысоковакуумных систем и их деталей не только должны иметь малые скорости собственного газовыделения, но и допускать прогрев до требуемой температуры.

Все разъемные соединения в сверхвысоковакуумных системах выполняются, как правило, с использованием металлических уплотнителей, хотя не исключается возможность применения высококачественных синтетических уплотнителей, разработанных в последнее время.

Второе требование — предельно малое натекание газа через элементы конструкции вакуумной системы. Высокая герметичность вакуумной системы может быть обеспечена лишь тщательным изготовлением и надежным контролем вакуумной плотности в процессе сборки системы.

Третье требование — возможно лучшая защита сверхвысоковакуумной системы от проникновения паров рабочей жидкости насосов — предъявляется в тех случаях, когда применяют пароструйные диффузионные насосы. Следует отметить, что в настоящее время в сверхвысоковакуумных системах нашли широкое при-270

менение безмасляные средства откачки, исключающие загрязнение системы парами рабочей жидкости.

В табл. 14.2 приведены принципиальные схемы вы-

соковакуумных и сверхвысоковакуумных систем.

В вакуумной системе, построенной по схеме 1 табл. 14.2, предварительная откачка изделия производится механическим вакуумным насосом 7, снабженным сорбционной ловушкой 13, через цельнометаллический прогреваемый кран 9 и электромагнитный клапан 12. Высоковакуумная откачка осуществляется через цельнометаллический кран 3 пароструйным диффузионным насосом 1, снабженным прогреваемой двухъярусной жалюзийной ловушкой 2. Обезгаживание ловушки 2 производится в два этапа: сначала прогревается вся ловушка без подачи жидкого азота; затем в нижний ярус подается жидкий азот, в то время как верхний ярус ловушки продолжает нагреваться. Через 30—40 мин выключается нагрев верхнего яруса, и в него также подается жидкий азот.

Такая конструкция ловушки не только надежно защищает откачиваемый сосуд от паров рабочей жидкости диффузионного насоса 1, но и позволяет получить давление меньше  $5 \cdot 10^{-7}$  Па.

Выпускной патрубок насоса 1 через электромагнитный клапан 5 соединяется с механическим вакуумным насосом 6. При выключении насосов 6 и 7 пространство над их входными патрубками заполняется воздухом через клапаны-натекатели 10 и 11. Давление в системе измеряется манометрическими преобразователями 4 и 8.

В вакуумной системе, построенной по схеме 2 табл. 14.2, в качестве сверхвысоковакуумного насоса используется ионно-геттерный или магнитный электроразрядный насос 1, который производит откачку изделия через цельнометаллический прогреваемый кран 2.

Для откачки сверхвысоковакуумного насоса и вакуумной системы при их обезгаживании, а также для создания предварительного разрежения в изделии предназначен пароструйный диффузионный насос 5 с азотной ловушкой 4. В случае применения магнитного электроразрядного насоса откачку системы при обезгаживании предварительную откачку изделия часто производят одним лишь механическим вакуумным насосом, снабженным адсорбционной или азотной ловушкой (см. схему 1 табл. 14.2).

Võ	Схема	Краткая техническая характеристика
1	3 9 6 3 13 12 12 12 12 12 12 12 12 12 12 12 12 12	рост ≪5·10 <sup>-7</sup> Па Изделие присоединяется черсз металлический уплотнитель
2		рост ≪ 5·10 <sup>-7</sup> Па Изделие присоединяется через металлический уплотнитель или напайкой через стеклянный штенгель
3	13 9 16 15 2 17 21 15 67 3 9 19 9 3 14 19 9 3 14 10 12 9 20	рост ≪ 5·10 <sup>-7</sup> Па Изделие присоединяется через металлический уплотнитель

Средства откачки	Пг <b>в</b> иенение
Сверхвысоковакуумный агрегат. Два механических вакуумных насоса	Откачные посты для обработ- ки крупных металлокерамиче- ских приборов
а) Ионно-геттерный насос, паро- струйный диффузионный и механи- ческий вакуумный насос; б) Магнитный электрораэрядный насос и механический вакуумный насос	Индивидуальные сверхвысоковакуумные откачные посты для обработки особо надежных или малошумящих приборов СВЧ и ЛБВ
а) Магнитный электроразрядный	Индивидуальные откачные по-
насос. Два механических вакуумных и два адсорбционных насоса; б) Магнитный электроразрядный насос и два механических вакуумных насоса	сты для обработки приборов средней мощности
18—1081	973

Ŋŷ	Схема	Краткая техническая характеристика	
4	3 5 4 8 9 12 15 15 15 15 15 15 15 15 15 15 15 15 15	рост ≪5·10 <sup>-7</sup> Па Изделие присоединяется через металлический уплотнитель	
5	3 0 0 0 0 0 0 0 0 0 0 0 0 0 0 0 0 0 0 0	То же	

В вакуумной системе по схеме 2 табл. 14.2 предварительная откачка изделия до давления 5 Па осуществляется механическим вакуумным насосом 6 через холодный насос 5. Насос 5 может быть отделен от сверхвысоковакуумной части системы цельнометаллическим прогреваемым краном 3. Выпускной патрубок пароструйного диффузионного насоса 5 соединен с механическим вакуумным насосом 6 через электромагнитный клапан 9. Напуск атмосферы в насос 6 производится через клапан-натекатель 10. Для измерения давления предусмотрены манометрические преобразователи 7 и 8.

Вакуумная система, построенная по схеме 3 табл. 14.2, представляет собой систему с безмасляной откачкой и применением защитного вакуумного колпака.

Предварительная откачка магнитного электроразрядного насоса 1 и вакуумной системы при их обезгажива-274

Средства откачки	Приме <b>нени е</b>
Турбомолекулярный насос. Два механических вакуумных насоса	Индивидуальные откачные посты для обработки крупных металлокерамических приборов
Магнитный электроразрядный насос Два титановых испарительных гет- терных насоса. Один механический вакуумный насос	Индивидуальные откачные посты для обработки малошумящих приборов, металлокерамических приборов малой мощности и приборов с фотокатодом

нии, а также предварительная откачка изделия 4 производятся через цельнометаллический кран 17 и кран 15 или 21.

В качестве насосов предварительного разрежения применены адсорбционные насосы 10 и 14. Откачка во время регенерации насосов 10 и 14 производится механическим вакуумным насосом 9 через краны 12 и 12.

Сверхвысоковакуумная откачка изделия осуществляется магнитным электроразрядным насосом 1 через цельнометаллический кран 3. Конструктивно краны 3 и 17 могут быть оформлены в блок с одним электромоторным приводом. Защитный вакуумный колпак 18 откачивается механическим вакуумным насосом 8 через электромагнитный клапан 7. Напуск атмосферы в колпак перед его подъемом и в насосы 8 и 9 осуществляется соответственно с помощью клапанов-натекателей 6, 18\*

11 и 20. Для измерения давления в разных участках вакуумной системы предусмотрены манометрические преобразователи 2, 5, 16 и 19. На рис. 14.1 показан участок цеха, оснащенный сверхвысоковакуумными безмасляными постами откачки, в которых применена

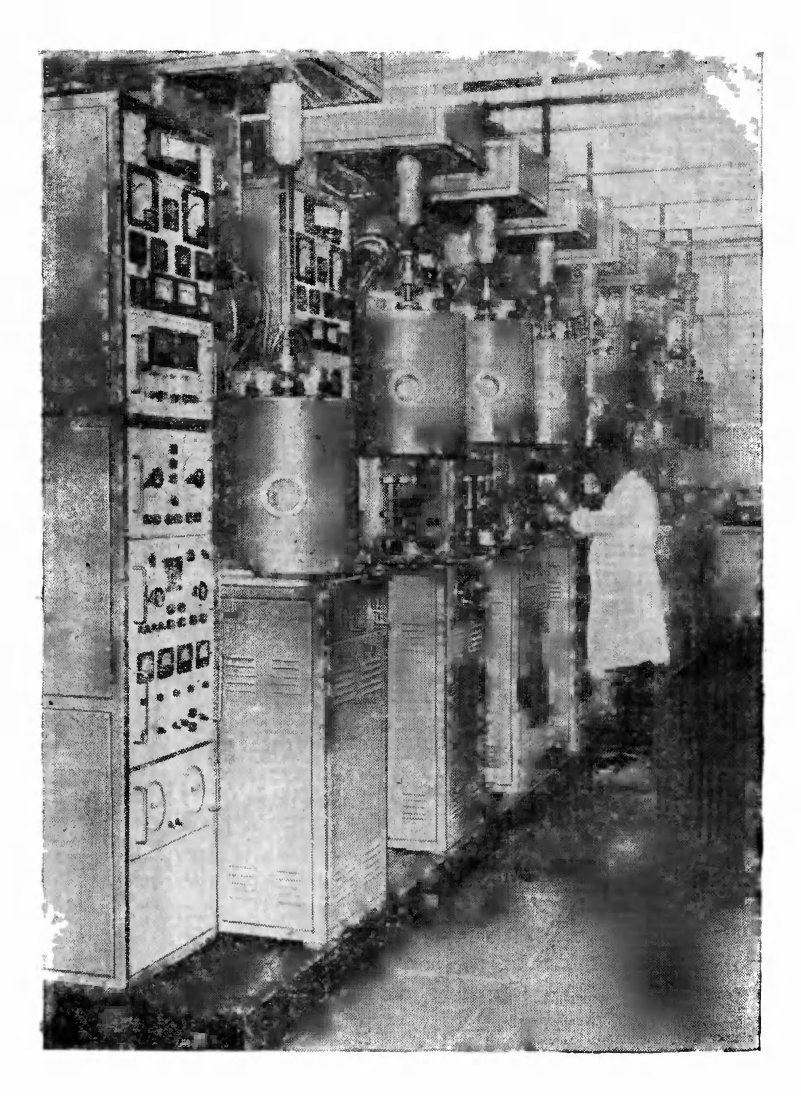


Рис. 14.1. Сверхвысоковакуумные безмасляные посты откачки. 276

вакуумная система, построенная по схеме, близкой

к схеме 3 табл. 14.2.

Вакуумные системы, выполненные по схеме 4 табл. 14.2, нашли применение в постах для откачки крупных металлокерамических электровакуумных при-

боров.

Предварительная откачка изделий 1 производится через прогреваемый кран 4 механическим вакуумным насосом 16, снабженным адсорбционной ловушкой 8. С целью увеличения срока службы ловушки после предварительной откачки она отключается клапаном 9 от насоса 16.

Высоковакуумная откачка изделия 1 производится через прогреваемый кран 6 турбомолекулярным насосом 7. Насос 7 в свою очередь откачивается через кран 10 механическим вакуумным насосом 16. Откачка защитной камеры 2 производится через кран 15 механическим вакуумным насосом 17. Иногда защитная камера 2 заполняется через кран 14 инертным газом, например аргоном.

После выключения вакуумной системы в турбомолекулярный насос через кран 5 напускают сухой азот, а в насосы 16 и 17 через краны 11 и 12 — воздух. Давление в системе измеряется манометрическими преобразователями 3 и 13.

В вакуумной системе, построенной по схеме 5 табл. 14.2, применена комбинация титанового испарительно-геттерного насоса 16 и магнитного электроразрядного насоса 17, которые откачивают изделие 2 через цельнометаллический кран 4.

Испарительный геттерный насос служит для интенсивной откачки химически активных газов (кислорода, водорода, азота и т. д.), а магнитный электроразрядный насос в основном предназначен для откачки инертных

газов (гелия, аргона, неона и т. д.) и метана.

Предварительная откачка изделия 2 осуществляется через цельнометаллический прогреваемый кран 5 и кран 12 с резиновым уплотнением безмасляной системой, состоящей из механического вакуумного насоса 15 с адсорбционной ловушкой 10 и титанового испарительного геттерного насоса 9. Вначале изделие откачивается механическим вакуумным насосом 15 до давления 5 Па, а затем — испарительным геттерным насосом до давления 10-1—10-2 Па.

Откачка защитного колпака 1 производится через кран 11 механическим вакуумным насосом 14. Для напуска воздуха в защитный колпак и в механические вакуумные насосы после их остановки предусмотрены краны 7, 13 и 18.

Давление в различных участках вакуумной системы измеряют с помощью манометрических преобразователей 3, 6 и 8.

## 14.5. ВАКУУМНЫЕ СИСТЕМЫ КАРУСЕЛЬНЫХ И КОНВЕЙЕРНЫХ МАШИН ДЛЯ ОТКАЧКИ ЭВП

Как уже отмечалось, применение карусельных и конвейерных машин позволяет значительно повысить производительность труда по сравнению с откачкой на индивидуальных постах за счет сокращения вспомогательного времени и увеличения числа откачных гнезд.

Откачные позиции конвейерных машин представляют собой независимые вакуумные системы, перемещающиеся по специальным направляющим.

Откачные позиции карусельных машин также могут компоноваться из отдельных независимых вакуумных систем. Часто вакуумные системы карусельных машин выполняются таким образом, что с каруселью перемещаются только откачное гнездо и часть вакуумной системы, в то время как другая часть системы остается неподвижной. При этом коммутация между подвижной и неподвижной частями выполняется золотником (см. § 16.5). Применение золотника, который также играет роль многоходового вакуумного крана, значительно упрощает конструкцию карусельных машин, управление их вакуумными системами и дает возможность снизить массу и габариты вращающихся частей машины.

Золотник может быть расположен как в области высокого, так и в области низкого вакуума. В силу недостаточной герметичности золотника и удлинения вакуумных коммуникаций наблюдается существенное повышение давления за золотником по сравнению с давлением на впускном патрубке соответствующего насоса.

В табл. 14.3 приведены принципиальные схемы вакуумных систем конвейерных и карусельных машин.

Вакуумная система, построенная по схеме 1 табл. 14.3, состоящая из пароструйного диффузионного насоса 1, механического вакуумного насоса 2 и манометрического преобразователя 4, применяется в конвейерных агрега-

тах откачки электронно-лучевых трубок (ЭЛТ). Насосы 1 и 2, откачное гнездо с изделием 3 и электрический блок скомпонованы в единый пост, который перемещается на конвейере. Недостатком схемы следует считать необходимость в периодическом охлаждении пароструйного диффузионного насоса перед каждой установкой нового изделия. Конвейерная линия для откачки ЭЛТ содержит по 165 таких постов.

Вакуумная система, построенная по схеме 2 табл. 14.3, применена в 16-позиционном откачном полуавтомате. Пестнадцать откачных позиций разбиты на четыре группы, каждая из которых обслуживается одним многокамерным механическим вакуумным насосом 7, помещенным на нижней части карусели. Предварительная откачка изделия 17 производится через клапан 3 одной из камер многокамерного механического вакуумного насоса. Эта же камера насоса используется для окончательной откачки через клапан 4 защитного колпака 6. Предварительная откачка колпака 6 выполняется стационарным механическим вакуумным насосом 10 через электромагнитный клапан 13 и клапан 5, управляемый механическим приводом 11. Впуск атмосферного воздуха в колпак перед его подъемом производится через электромагнитный клапан 12 и клапан 5, а в многокамерный механический насос 7 через клапан 14. В это время клапан 13 закрыт. При повороте карусели механизм 11 разобщает клапан 5 и стационарную вакуумную систему предварительной откачки и наполнения колпака.

Использование стационарного вакуумного насоса 10 для черновой откачки колпака улучшает условия эксплуатации многокамерных насосов 7, часть камер которых в дальнейшем производит окончательную откачку колпаков.

Окончательная откачка изделия производится через высоковакуумный клапан 8 пароструйным диффузионным насосом 1, снабженным маслоотражателем 2. Электромагнитные клапаны 3 и 8 выполнены в едином корпусе. Выпускной патрубок диффузионного насоса через электромагнитный клапан аварийного закрытия 9 соединен с одной из камер многокамерного механического вакуумного насоса 7. Основным назначением электромагнитного клапана 9 является предотвращение попадания атмосферы и рабочей жидкости в насос 1 из на-

# Принципиальные схемы вакуумных систем карусельных и конвейерных машин

№	Схема	Краткая тех- ническая характеристика	Средства откачки	Приме <b>нение</b>
1	Рис. А	Р <sub>ОСТ</sub> = = 5·10 <sup>-4</sup> Па Изделие при- соединается через резинс- вый уплотни- тель	Пароструйный диф- фузнонный насос. Ме- ханический вакуум- ный насос	Конвейерный arpe- гат для откачки ЭЛТ
2	Рис. Б	р <sub>ОСТ</sub> = = 1·10 <sup>-4</sup> Па Изделие при- соединяется через метал- лический штенгель	Пароструйный диф- фузионный насос. Многокамерный ме- ханический вакуум- ный насос	Карусельный полу- автомат для откачка металлостеклянных вакуумных приборов по системе «вакуум в вакууме»
3	Рис. В	Р <sub>ОСТ</sub> ≪10 <sup>-5</sup> Па Изделие при- соединяется через метал- лический штенгель	Магнитный электро- разрядный насос. Тур- бомолекулярный на- сос. Двухроторный механический насос. Механический ва- куумный насос	То же
4	Рис. Г	р <sub>ост</sub> = = 5⋅10 <sup>-2</sup> Па Изделие при- соединяется через резино- вый уплотни- тель	Пароструйный диф- фузионный насос. Многокамерный ме- канический вакуум- ный насос. Механи- ческий вакуумный на- сос	Карусельный полу- автомат для откачки ПУЛ и стабилизато- ров напряжения»
5	Рис. Д	Р <sub>ОСТ</sub> = = 1·10 <sup>-4</sup> Па Изделие при- соединяется через метал- лический штенгель	Пароструйный диф- фузионный насос. Многокамерный ме- ханический вакуум- ный насос. Механиче- ский вакуумный на- сос	Карусельный полу- автомат для откачки электровакуумных металлостеклянных приборов
6	Рис. Е	То же	То же	То же

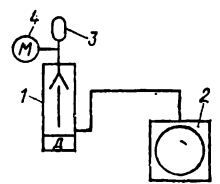


Рис. А

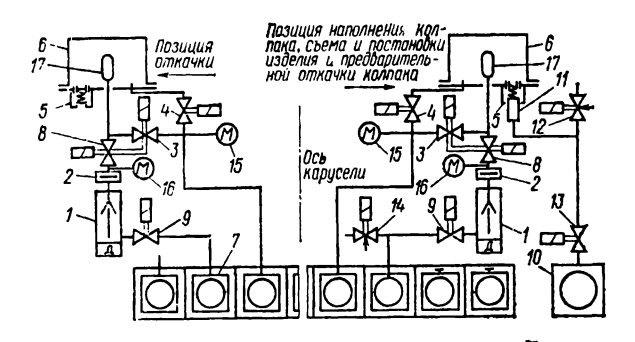


Рис. Б

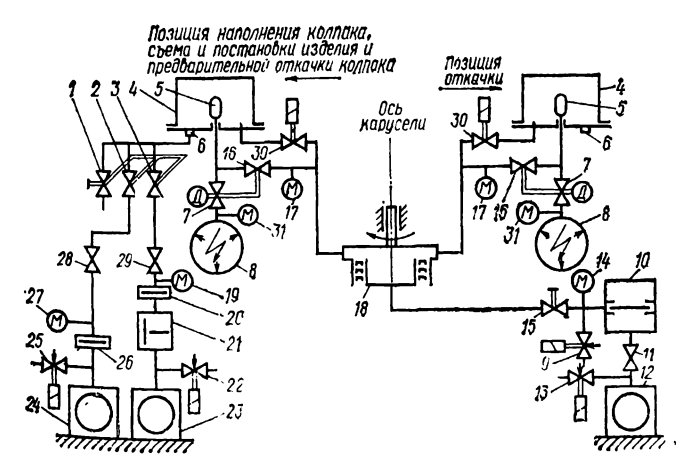


Рис. В

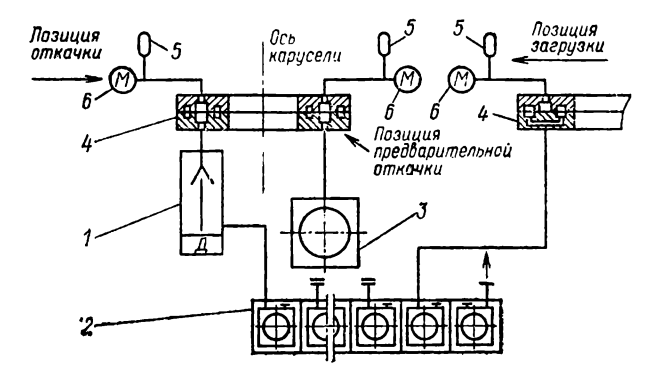


Рис. Г

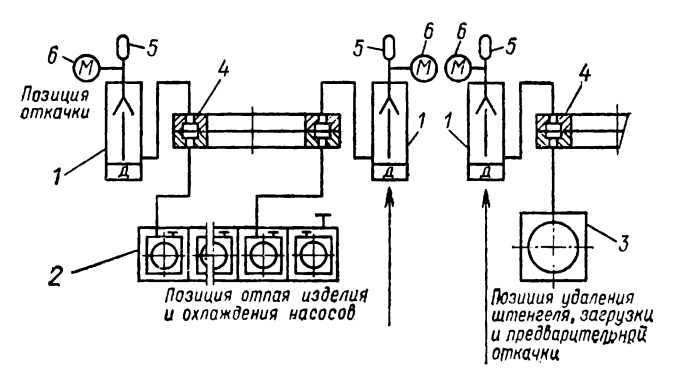


Рис. Д

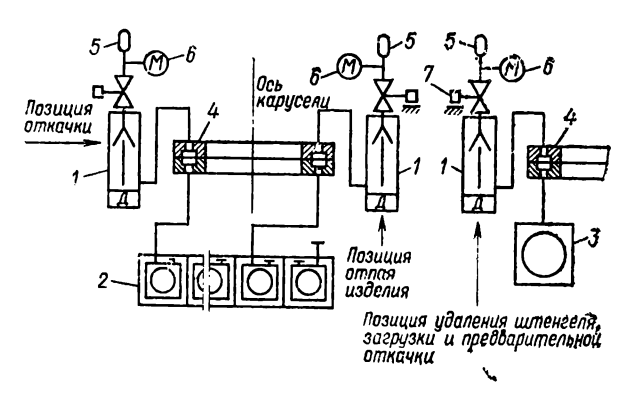


Рис. Е

соса 7 при аварийном обесточивании системы. Измерение давления в различных участках вакуумной системы осуществляется манометрическими преобразователями 15 и 16. На рис. 14.2 показан внешний вид карусельного беззолотникового полуавтомата откачки, вакуумная система которого выполнена по схеме 2 табл. 14.3.

Вакуумная система, выполненная по схеме 3 табл. 14.3, применена в 16-позиционном сверхвысоковакуумном откачном полуавтомате, предназначенном для обработки особо надежных приборов.

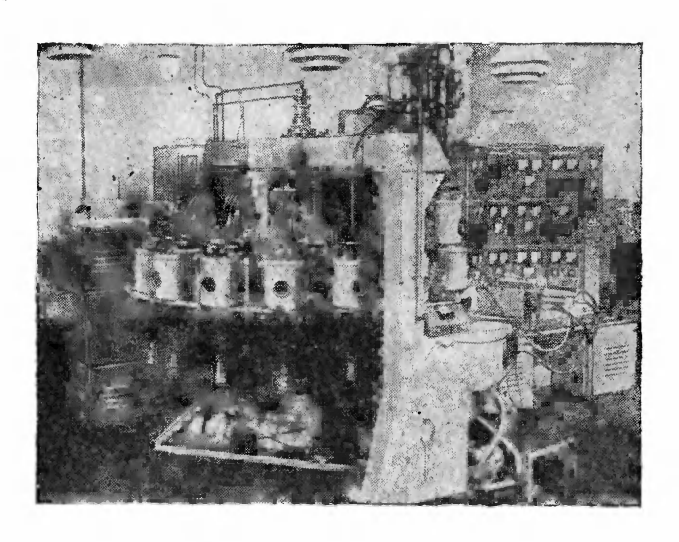


Рис. 14.2. 16-местный беззолотниковый карусельный полуавтомат откачки металлостеклянных приборов по системе «вакуум в вакууме».

Предварительная откачка изделия 5 до давления примерно 1 Па производится через кран 16, подвижное вакуумное соединение 18, кран 15 турбомолекулярным насосом 10. Выпускной патрубок насоса через электромагнитный клапан 11 соединен с механическим вакуумным насосом 12.

Высоковакуумная откачка изделия до давления  $1 \cdot 10^{-5}$  Па осуществляется через кран 7 магнитным электроразрядным насоссм 8. Краны 7 и 16 скомпонованы в единый блок.

Предварительная откачка колпаков 4 осуществляется через клапан 6, блок клапанов предварительной от-

качки, состоящий из клапанов 1, 2 и 3, последовательно в два этапа: вначале до давления 10 Па через кран 28 механическим вакуумным насосом 24, снабженным ловушкой 26, а затем — до давления  $5 \cdot 10^{-1}$  Па через кран 29 двухроторным вакуумным насосом 21, снабженным ловушкой 20. Выпускной патрубок насоса 21 соединен с механическим вакуумным насосом 23.

Откачка колпаков до давления  $5 \cdot 10^{-2}$  Па во время проведения технологического процесса осуществляется через электромагнитный клапан 30, подвижное вакуумное соединение 18, кран 15 турбомолекулярным насосом 10.

Перед подъемом колпака на позиции загрузки через клапан 1 в него напускают азот. При выключении полуавтомата через клапаны-натекатели 9, 13, 22 и 25 в отдельные участки вакуумной системы напускают воздух. Для измерения давления в вакуумной системе предусмотрены манометрические преобразователи 14, 17, 19, 27 и 31.

В вакуумной системе, выполненной по схеме 4 табл. 14.3, откачка изделий 5 ведется в три этапа: в начале технологического цикла производится черновая откачка изделий насосом 3, затем предварительная откачка изделий многокамерным механическим насосом 2, и, наконец, изделия проходят обработку при откачке пароструйными диффузионными насосами 1. Для измерения давления в вакуумной системе предусмотрен манометрический преобразователь 6.

В этой схеме золотник 4 расположен между откачным гнездом и пароструйным диффузионным насосом, и для надежной работы золотника его вакуумные каналы защищены кольцевыми проточками, заполняемыми вакуумным маслом либо откачиваемыми механическим вакуумным насосом. Вследствие большой протяженности высоковакуумных коммуникаций и негерметичности золотника такие вакуумные системы даже при тщательном изготовлении всех элементов обеспечивают давление в системе не ниже 0.1 Па.

В вакуумной системе, выполненной по схеме 5 табл. 14.3, золотник 4 расположен в области предварительного разрежения, вследствие чего в системе можно обеспечить меньшее давление, чем в предыдущем случае.

Предварительная откачка изделия 5 и пароструйного диффузионного насоса 1 производится отдельным механическим вакуумным насосом 3. Дальнейшая откачка насосов 1 осуществляется многокамерным насосом 2. Вакуумные системы, построенные по схеме 5 табл. 14.3, применяются в карусельных полуавтоматах откачки с длительным технологическим циклом, продолжительность которого достаточна для охлаждения насоса 1 на одной-двух позициях.

При применении в пароструйных диффузионных насосах рабочих жидкостей с высокой термоокислительной устойчивостью предварительная откачка изделия производится механическим вакуумным насосом через горячий пароструйный диффузионный насос. При этом повышается производительность машин, так как исключается время, необходимое для остывания и разогрева пароструйного диффузионного насоса 1. Для измерения давления в вакуумной системе предусмотрен манометрический преобразователь 6.

Отличительной особенностью вакуумной системы, построенной по схеме 6 табл. 14.3 и имеющей золотник 4 также в области предварительного разрежения, является наличие клапана 7, который исключает необходимость охлаждения пароструйного диффузионного насоса 1 перед постановкой нового изделия 5. В остальном система повторяет предыдущую и используется в карусельных откачных полуавтоматах с более коротким технологическим циклом. Давление в вакуумной системе измеряют с помощью манометрического преобразователя 6.

## 14.6. ВАКУУМНЫЕ СИСТЕМЫ ОБОРУДОВАНИЯ ДЛЯ НАНЕСЕНИЯ ТОНКИХ ПЛЕНОК

Требования, предъявляемые к вакуумным системам оборудования для нанесения тонких пленок, сформулированы в § 14.2, а принципиальное построение вакуумных систем во многом напоминает схемы вакуумных систем индивидуальных откачных постов.

В табл. 14.4 приведены принципиальные схемы вакуумных систем наиболее распространенных установок для нанесения тонких пленок. Вакуумная система, выполнениая по схеме 1 табл. 14.4, нашла применение в установках для производства интегральных схем. Рабочая камера 14 предварительно откачивается до дав-

Таблица 14.4 Принципиальные схемы вакуумных систем оборудования для нанесения тонких пленок

№	Схема	Краткая техниче- ская харак- теристика	Средства откачки	Применение
1	Рис. А	$p_{\text{ocr}} = -5 \cdot 10^{-6}  \text{\Pia}$	Пароструйный диффузионный на- сос с азотной ло- вушкой. Механиче- ский вакуумный насос	Установка для про- изводства тонкопле- ночных элементов и интегральных схем
2	Рис. Б	р <sub>ост</sub> = =5⋅10 - в Па	Бустерный насос с азотной ловуш- кой. Механический вакуумный насос	Установка для про- изводства многослой- ных тонкопленочных элементов микросхем методом ионного ис- парения металлов
3	Рис. В	р <sub>ост</sub> = = = 5 · 10 - 7 Па	Ионно-геттерный насос. Пароструйный диффузионный насос. Механический вакуумный насос	Исследовательская установка для отра- ботки тонкопленочной технологии
4	Рис. Г	$p_{\text{ocr}} = = 1,0 \times \times 10^{-4}  \Pi a$	Семь пароструй- ных диффузионных насосов. Три двух- роторных вакуум- ных агрегата	Линия непрерывно- го действия для изго- говления пассивных  тонкопленочных эле- ментов

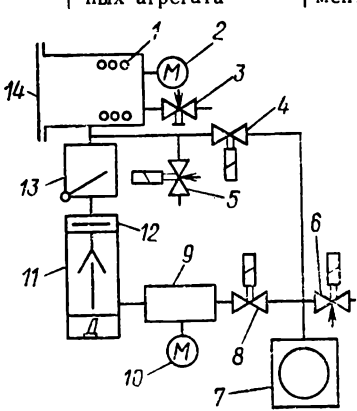
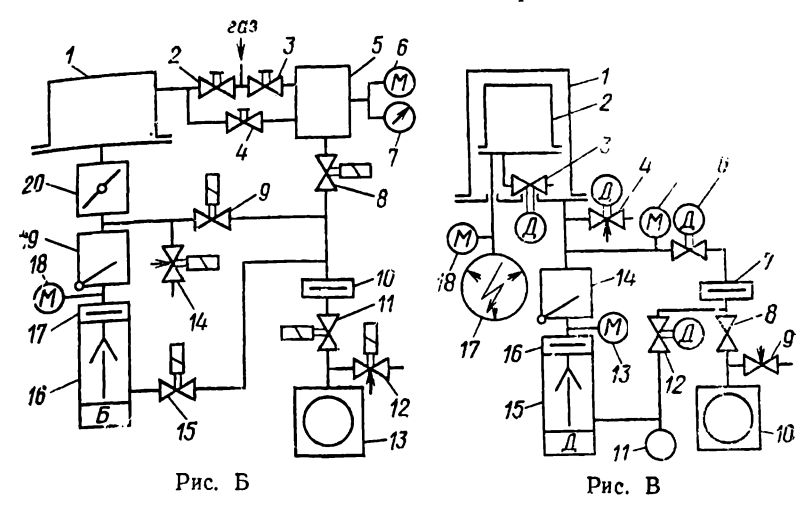


Рис. А



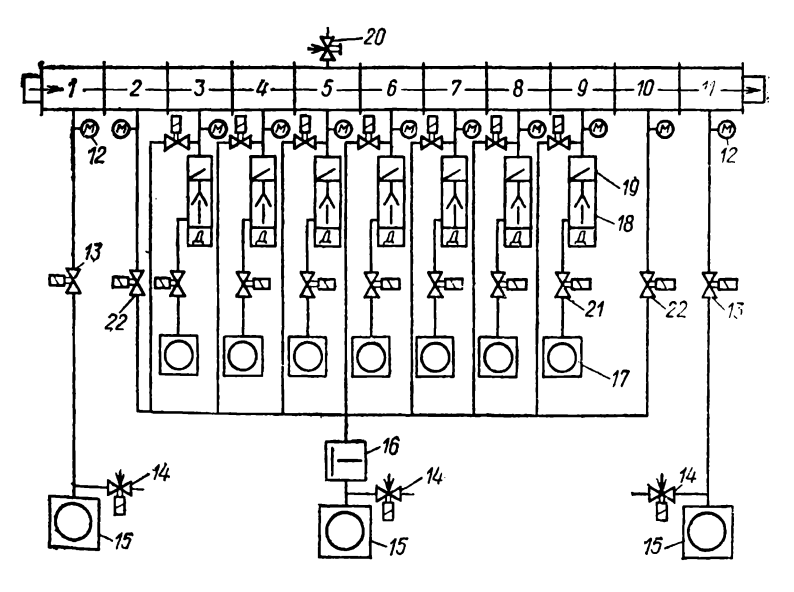


Рис. Г

ления 5 Па через кран 4 механическим вакуумным насосом 7, который в это время отсоединен от пароструйного диффузионного насоса 11 краном 8. Затвор 13 закрыт, а насос 11 работает на форвакуумный баллон 9. После достижения давления около 10 Па высоковакуумная откачка рабочей камеры до давления  $1 \cdot 10^{-4} - 5 \cdot 10^{-5}$  Па осуществляется через азотную ловушку 12 высоковакуумным насосом 11; при этом кран 4 закрыт, а кран 8 открыт. При выключении насоса 7 в него напускают воздух через электромагнитный клапан 6. Краны 4 и 8 и электромагнитный клапан 6 смонтированы в один блок.

Давление в вакуумной системе измеряют манометрическими преобразователями 2 и 10.

Часто внутри рабочей камеры 14 размещают охлаждаемую жидким азотом ловушку 1 (мейснеровская ловушка), назначение которой — улучшить вакуум в камере при значительном газовыделении некоторых матерчалов при их испарении.

С этой же целью в ряде конструкций устанавливают в рабочей камере дополнительные титановые испарительные геттерные насосы или криосорбционные насосы, охлаждаемые жидким гелием. Для напуска воздуха или газа в рабочую камеру предусмотрены электромагнитный натекатель 5 и ручной натекатель 3.

Вакуумная система, изготовленная по схеме 2 табл. 14.4, используется в установках для производства многослойных тонкопленочных элементов микросхем методом ионного испарения материалов. В качестве основного средства откачки применен бустерный насос 16 с азотной ловушкой 17, который откачивает рабочую камеру 1 до давления 5·10-3 Па через затвор 19. Затем из смесительного бака 5, который может быть предварительно откачан через кран 8, с помощью игольчатых натекателей 2, 3 и 4 газ или смесь газов подается в рабочую камеру, и давление в ней возрастает до 15—5 × 10-1 Па.

Уровень рабочего давления в камере стабилизируется и регулируется как изменением потока газа, напускаемого через игольчатые натекатели, так и положением заслонки 20, изменяющей эффективную быстроту откачки рабочей камеры 1.

Предварительная откачка рабочей камеры черсз кран 9 и насоса 16 через краны 15 и 11 осуществляется

механическим вакуумным насосом 13, снабженным водоохлаждаемым маслоотражателем 10. Электромагнитный клапан 14 служит для напуска воздуха в систему, а клапан 12—в насос 13. Измерение давления в различных участках системы производится манометрическими преобразователями 7 и 18.

Как уже отмечалось, вакуумные установки колпакового типа с использованием резиновых уплотнителей не позволяют получать высокий вакуум из-за невозможности производить высокотемпературный прогрев с целью обезгаживания рабочей камеры. Применение металлических уплотнителей при частых подъемах и опусканиях колпака значительно затрудняет эксплуатацию оборудования. Поэтому для получения давления меньше  $10^{-5}$  Па в лабораторных установках для нанесения тонких пленок оказалось целесообразным использование двухстенных рабочих камер, выполненных по системе «вакуум в вакууме».

Сверхвысоковакуумная система, изготовленная по этому принципу, соответствует схеме 3 табл. 14.4.

Наружная водоохлаждаемая толстостенная камера 1 уплотняется с плитой с помощью резинового уплотнителя и через кран 6 с моторным приводом, водоохлаждаемую ловушку 7 и кран 8 предварительно откачивается механическим вакуумным насосом 10 до давления 10<sup>−1</sup> Па. Затем камера 1 через затвор 14 и азотную ловушку 16 откачивается до давления 10<sup>−3</sup>—10<sup>−4</sup> Па пароструйным диффузионным насосом 15.

Внутренняя тонкостенная рабочая камера 2 предварительно откачивается до давления  $10^{-3}$ — $10^{-4}$  Па через кран 3 с моторным приводом, установленным в камере 1, одновременно с наружной камерой.

Высоковакуумная откачка рабочей камеры 2 до давления  $5 \cdot 10^{-7}$  Па производится ионно-геттерным насосом 17. Для обезгаживания рабочей камеры 2 прогревом до 700 К через ее тонкие стенки пропускают электрический ток при непрерывной откачке камер 1 и 2.

Уплотнение внутренней камеры осуществлено по притертым поверхностям. Благодаря тому, что вокруг камеры 2 создано достаточно высокое разрежение, перетекание газа из камеры 1 в камеру 2 незначительно. Газ в камеру 1 напускается с помощью натекателя 4, а в механический насос — натекателем 9.

При предварительной откачке камер 1 и 2 насосом 10 последний отсоединяется от высоковакуумного насоса 15 краном 12, причем роль форвакуумного баллона в это время выполняет отсоединенный трубопровод, объем которого оказывается достаточным для поддержания необходимого выпускного давления на патрубке насоса 15. Для измерения давления в системе предусмотрены манометрические преобразователи 5, 11, 13 и 18.

Вакуумная система, выполненная по схеме 4 табл. 14.4, нашла применение в высокопроизводительной линии непрерывного действия для производства резисторов. Линия состоит из 11 камер, соединенных друг с другом вакуумными шлюзами. Изделия перемещаются из камеры в камеру (слева направо) с помощью транспортирующего устройства, обеспечивающего за счет небольших зазоров в шлюзах минимальное натекание газа из одной камеры в другую.

Во входной камере I происходит понижение давления от атмосферного до 400 Па путем откачки через кран 13 механическим вакуумным насосом 15. В каме ре 2, которая откачивается через кран 22 двухроторным насосом 16 и насосом 15, понижается давление до  $(6-4)\cdot 10^{-4}$  Па.

В камере 5, где происходит нанесение резистивных покрытий, после откачки до давления  $(6-4)\cdot 10^{-4}$  Па с помощью натекателя 20 создается давление аргона порядка 6—4 Па. В камерах 6 и 7, где происходит нанесение других покрытий, вновь понижается давление до  $(6-4)\cdot 10^{-4}$  Па.

В камерах 9—11 осуществляется постепенное новышение давления до атмосферного. Как видно из схемы, каждая высоковакуумная камера (с 3 по 9) откачивается индивилуальной вакуумной системой, состоящей из механического насоса 17, электромагнитного клапана 21, пароструйного диффузионного насоса 18, затвора 19 и манометрического преобразователя 12. Предварительная откачка этих камер до давления 10—1 Па производится одним вакуумным агрегатом, состоящим из двухроторного вакуумного насоса 16, механического вакуумного насоса 15 и клапана-натекателя 14.

#### 14.7. ЦЕНТРАЛИЗОВАННАЯ ФОРВАКУУМНАЯ СИСТЕМА

Централизованные форвакуумные системы (ЦФС) в основном предназначаются для откачки вакуумных 290

установок до давления около 5 Па и создания предварительного разрежения на выходе пароструйных диффузионных насосов или запуска магнитных электроразрядных насосов. Применение централизованных форвакуумных систем улучшает условия работы и эксплуатации вакуумных установок, исключает вибрации, шум и загрязнение воздуха в производственных помещениях. При этом появляется возможность заменить большое количе-

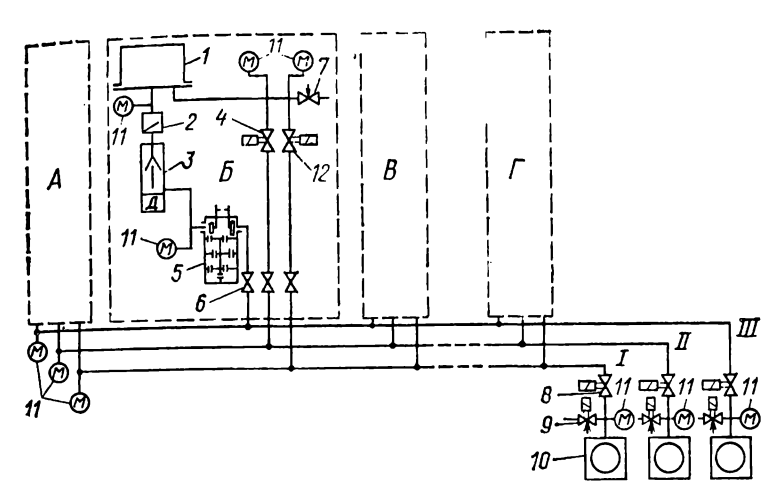


Рис. 14-3. Схема централизованной многотрубной форвакуумной системы.

ство механических вакуумных насосов с малой производительностью одним или несколькими насосами с большей производительностью, что повышает коэффициент загрузки насосов и облегчает их обслуживание. На рис. 14.3 представлена схема централизованной многотрубной форвакуумной системы.

Насосная станция системы состоит из трех механических вакуумных насосов 10 с электромагнитными клапанами 8, электромагнитными клапанами напуска воздуха 9 и манометрическими преобразователями 11. Клапаны 8 и 9 сблокированы таким образом, что при выключении или внезапной остановке насоса 10 вначале закрывается клапан 8 и затем в насос напускается воздух через открытый клапан 9.

19\*

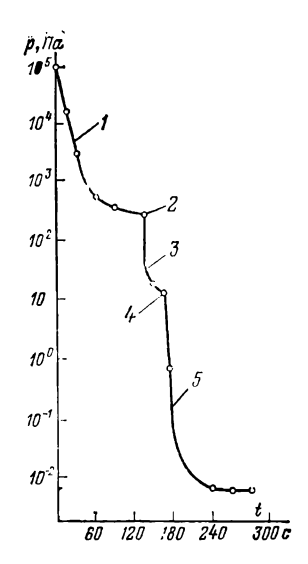


Рис. 14.4. Изменение давления во времени при откачке камеры централизованной форвакуумной системой, I- откачка через трубопровод I: 2 — момент срабатывания клапана 4. 3 — откачка через трубопровод II: 4 — момент открытия затвора 2. 5 — откачка камеры I через затвор 2 пароструйным диффузионным насосом 3 с быстротой действия  $S_h = -100$  л/с, работающим на трубопровод III (см. рис. 14.3).

Трубопровод *I*, откачиваемый насосом *10*, предназначен для создания предварительного разрежения (1—4)·10<sup>2</sup> Па в камерах *1* установок A, Б, В, Г.

Трубопровод // служит для создания в камерах установок разрежения 15—5 Па, достаточного для включения па-

роструйных диффузионных насосов 3.

Трубопровод III предназначен для постоянной откачки пароструйных диффузионных насосов 3 через предохранительные устройства 5, которые предназначены для защиты от прорыва воздуха в трубопровод III.

Вакуумные системы установок снабжены электромагнитными клапанами 4, 12 и кранами 6, 7, управление которыми осуществляется блоком контроля вакуума. Блок контроля вакуума по достижении в камере 1 давления  $(1-4)\cdot 10^2$  Па дает команду на ее отсоединение от трубопровода I, а после достижения давления 5 Па—от трубопровода II и на открытие затвора 2. В качестве датчика давления в блоке контроля вакуума используются манометрические преобразователи 11.

В централизованных форвакуумных системах, откачивающих установки с пароструйными диффузионными или турбомолекулярными насосами, для защиты трубопровода III от попадания в него воздуха при выходе из строя одной из установок применяются предохранительные устройства 5.

На рис. 14.4 приведена кривая изменения давления во времени (кривая откачки) в камере 1 с объемом около 20 л, подключаемой к ЦФС.

Как видно из рисунка, длительность откачки сосуда от атмосферного давления до давления 6·10-3 Па составляет менее 5 мин.

### Глава пятнадцат**ая**

## ЭЛЕМЕНТЫ ВАКУУМНЫХ СИСТЕМ

#### 45.1. РАЗБОРНЫЕ ВАКУУМНЫЕ СОЕДИНЕНИЯ

Разборные вакуумные соединения относятся к числу наиболее ответственных узлов любой вакуумной системы. Это связано с тем, что потеря вакуумной плотности вакуумной системы чаще всего вызывается разгерметивацией разборного соединения.

При выборе конструкции разборного соединения для работы в конкретной вакуумной системе необходимо ру-

ководствоваться следующими характеристиками:

1) натеканием, т. е. количеством газа, протекающего в единицу времени в вакуумный сосуд между поверхностями уплотнителя и элементом соединения, а также за счет проницаемости газа через материал уплотнителя;

2) газовыделением с поверхностей уплотнителя и элементов соединения, соприкасающихся с вакуумным со-

судом;

- 3) механической прочностью соединения;
- 4) термической стойкостью, т. е. способностью выдерживать многократные нагревы и охлаждения без нарушения герметичности;
  - 5) химической стойкостью;
- 6) легкостью монтажа и демонтажа соединения и степенью сложности его изготовления;
  - 7) простотой проверки герметичности.

В разборных вакуумных соединениях в зависимости от предъявляемых требований к разрежению в вакуумной системе могут быть использованы как неметаллические, так и металлические уплотнители.

Разъемные соединения с неметаллическими уплотнителями. Соединения с неметаллическими уплотнителями (резинами) просты в изготовлении и надежны в эксплуатации, но имеют ограниченную термическую стойкость и, как правило, повышенное газовыделение уплотнителя, вследствие чего чаще всего применяются в непрогреваемых вакуумных системах при давлениях не меньше 5.10—5 Па.

- При конструировании разборного соединения с неметаллическим уплотнителем необходимо учитывать следующие общие требования:

- а) резиновый уплотнитель не должен воспринимать механические нагрузки и влиять на точность установки деталей;
- б) для достижения вакуумной плотности соединения резиновый уплотнитель в зависимости от твердости материала должен быть сдеформирован по своей толщине на 20-40%;
- в) резины практически несжимаемы, т. е. при деформации их объем остается постоянным. Поэтому сечение канавки под уплотнитель должно быть на 2—5% больше, чем сечение уплотнителя;
- г) фланцы разъемного соединения рекомендуется затягивать до соприкосновения металлических поверхностей:
- д) поверхность резинового уплотнителя, обращенная в вакуумную полость, должна быть сведена к минимуму.

Наиболее распространенные схемы соединений с резиновыми уплотнителями приведены в табл. 15.1.

Разъемные соединения с металлическими уплотнителями. Соединения с металлическими уплотнителями предназначены для применения в прогреваемых вакуумных системах с давлением меньше  $5 \cdot 10^{-5}$  Па и должны выдерживать длительные и многократные прогревы до температуры 600-900 K во время обезгаживания.

В конструкциях прогреваемых разъемных соединений уплотнение достигается путем пластической деформации уплотняющей металлической прокладки. При пластической деформации материал заполняет все имеющиеся на поверхностях уплотняющих фланцев микронеровности. Вследствие того, что текучесть металлов по сравнению с резинами невысока, необходимо уплотняющие поверхности фланцев изготавливать с малой шероховатостью. Для уплотнения соединения с металлической прокладкой требуются значительно большие удельные давления, чем в случае уплотнения с резиновой или фторопластовой прокладками.

Металлические уплотнители практически, исключают проникновение газов через материал уплотнителя, а газовыделение их примерно в  $10^{\circ}$  раза меньше, чем у лучших сортов вакуумных резин.

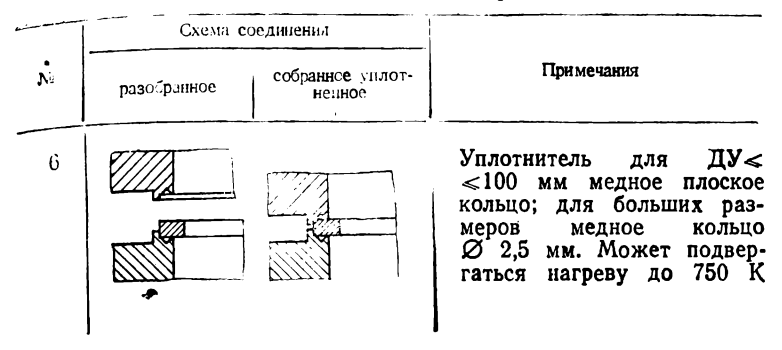
Схемы наиболее распространенных соединений с металлическими уплотнителями приведены в табл. 15.2.

# Принципиальные схемы соединений с резиновыми уплотнителями

Схема соединения	_
разобранное собранное уплотнение	Примечание
d A a	Уплотнение осуществляется при смыкании фланцев металл на металл. Для уплотнителя круглого сечения диаметром $d:B/d=0,72$ ; $A/d=1,15$ Для уплотнителя квадратного сечения со стороной $C:B/C=0,75$ ; $A/C=1,4$
40°	Для уплотнителя круглого сечения диаметром $d:B/d=0.75\div0.8$ ; $A/d=0.9$
	Уплотнитель круглого сечения диаметром $d:A \approx 1,32d$
	Уплотнитель квадратного или прямоугольного сечения. Применяется для присоединения к вакуумным системам манометрических преобразователей и трубопроводов диаметром до 18 мм
	295

# Гринципиальные схемы соединений с металлическими уплотнителями

	Схемз со	рединения	
.N₂	разобранное	собранное уплот- ненное	Примечанил
1.	90°		Соединение может подвергаться многократному нагреву до 600 K (алюминиевый уплотнитель) или 750 K (медный уплотнитель)
2	3		Уплотнитель — свинцовое кольцо Ø 4—6 мм или индивое кольцо Ø 0,6—1,0 мм. Может подвергаться нагреву до 400 К
3			Уплотнитель — медное кольцо Ø 1,0—1,25 _мм. Может подвергаться многократному нагреву до 750 К
4	10:		Уплотнитель — медное плоское кольцо. Может подвер гаться многократному вагреву до 1100 К и охлаждению до температуры жидкого азота
5			Уплотнитель — медное плоское кольцо. Может подвергаться многократному нагреву до 750 К и охлаждению до температуры жидкого азота



Соединение с канавочно-клиновым профилем (схема 1 табл. 15.2) применяется для трубопроводов с диаметром условного прохода (ДУ) до 500 мм. Углы профиля канавки и клина делаются соответственно 60 и 90°, с тем чтобы уплотнение металлической прокладки происходило между кромкой канавки и конической поверхностью клина, благодаря чему значительно уменьшаются площадь прокладки, подвергающаяся деформации, а следовательно, и усилие, необходимое для надежного уплотнения. Поверхности профилей канавочно-клинового соединения должны иметь шероховатость не более 0,5 мкм.

Уплотнители, изготовленные из алюминия, допускают прогрев до 600 K, так как при прогреве до более высокой температуры наблюдается диффузионная сварка уплотнителя с уплотняющими поверхностями. Толщина алюминиевого уплотнителя должна быть не более 0,5 мм из-за большого температурного коэффициента линейного расширения алюминия. Уплотнители, изготовленные из меди марки M1, допускают прогрев до 750—900 K.

В отечественной вакуумной технике в системах с давлением ниже  $1 \cdot 10^{-5}$  Па до последнего времени, как правило, употреблялось соединение с канавочно-клиновым профилем и медным уплотнителем.

С целью повышения надежности уплотнения и уменьшения уплотняющего усилия медные уплотнители подвергаются вакуумному или водородному отжигу при 1100 К в течение 5 мин. Иногда отжиг уплотнителя производят в восстановительном пламени газовой горелкй с охлаждением в воде или на воздухе с последующими травлением и промывкой.

Относительно тонкие фланцы соединения с канавочно-клиновым профилем имеют легко деформируемые компенсирующие пояса, препятствующие короблению фланцев при перепадах температуры во время их прогрева. Эти же пояса дают возможность приваривать окончательно обработанные фланцы к корпусам или трубам, так как все поводки, возникающие при сварке, либо гасятся на этих поясах, либо свободно выбираются при стягивании фланцев часто поставленными стяжными шпильками.

Существенными недостатками этого типа соединений являются сложность контроля номинальных геометрических размеров уплотняющих фланцев и возможность возникновения воздушных карманов в зоне контакта, которые могут стать источниками медленного натекания в вакуумную систему. К недостаткам соединения этого типа следует также отнести значительную металлоемкость, большие габариты и необходимость применения большого количества стяжных шпилек.

Соединение по схеме 2 табл. 15.2 со свинцовым или индиевым кольцом в качестве уплотнителя требует для стягивания значительно меньших усилий, чем в случае медных и алюминиевых уплотнителей, но допускает прогрев лишь до 400 К.

Индиевые уплотнители изготавливаются из проволоки диаметром от 0,6 до 1 мм. Индий достаточно надежно уплотняет не только металлические детали, но и такие материалы, как стекло и керамика. В конструкции соединения по схеме 2 табл. 15.2 индиевая проволока раздавливается и заполняет канавку и зазоры между стыкуемыми поверхностями. Шероховатость стыкуемых поверхностей, зуба и канавки должна быть не более 2 мкм.

Уплотнение конического соединения (схема 3 табл. 15.2) осуществляется за счет пластического течения материала вследствие больших сил трения. В качестве уплотнителя чаще всего применяют медную отожженную проволоку диаметром 1—1,25 мм, а иногда плоское медное кольцо толщиной 0,12—0,25 мм (схема 4 табл. 15.2). При затяжке фланцев силы трения, возникающие на поверхности уплотнителя и фланцев, разрушают пленку окислов и другие поверхностные 298

загрязнения, создавая тем самым условия для местной

сварки чистых металлических поверхностей.

Экспериментально установлено, что оптимальный угол конуса для уплотнителя из медного кольца круглого сечения должен быть равен 30°, а для плоского кольца—20°.

Уплотнения конического типа нашли применение для фланцевых соединений с условным проходом до 300 мм. Основные преимущества соединения состоят в отсутствии закрытых воздушных карманов, легкости контроля всех геометрических размеров уплотняющего профиля, в простоте изготовления уплотнителя и в относительно небольших усилиях герметизации. Соединение может надежно работать и выдерживать нагрев и охлаждение даже после снятия герметизирующего усилия с фланцев.

Однако отсутствие у фланцев конического соединения посадочных мест и плоских стыковочных поверхностей требует строгого монтажа соединения с тем, чтобы не допустить перекосов и нарушения схемы деформации уплотнителя. Следует также заметить, что надежность соединения резко снижается при неравномерном нагреве или охлаждении стягивающих фланцев. Так, если температура фланца с охватывающим конусом окажется выше температуры ответного фланца, то соединение будет стремиться как бы «открыться», что приведет к его разуплотнению.

Фланцевое соединение, выполненное по схеме 5 табл. 15.2, допускает многократный, прогрев до температуры 800 К и охлаждение до температуры жидкого азота и не дает заметного натекания при давлениях ниже 10-10 Па. При внедрении конических кромок в плоское медное кольцо происходит холодное течение материала прокладки к внутренним пилиндрическим поверхностям фланцев. Так как дальнейшее течение материала прокладки из зоны уплотнения жестко ограничено, создаются высокие давления между уплотняющими поверхностями, вследствие чего происходит заполнение всех микронеровностей и надежное уплотнение соединения. Толщина медной уплотняющей прокладки обычно около 2 мм.

Преимуществом данного типа уплотнения является то, что конические уплотняющие поверхности находятся углублении, благодаря чему уменьшается вероятность

их повреждения. Для обеспечения уплотнения достаточно сравнительно небольшой деформации медной прокладки. Оба фланца имеют одинаковую геометрию, что снижает их стоимость и обеспечивает взаимозаменяемость. Габариты и металлоемкость соединения в 1,5—2 раза меньше, чем конструкции, выполненной по схеме 1 табл. 15.2. Подобная схема уплотнения нашла применение для фланцев с условным проходом от 70 до 250 мм.

Механизм работы фланцевого уплотнения, выполненного по схеме 6 табл. 15.2, близок к механизму работы фланцевого уплотнения, описанного выше. Для фланцевых соединений с условным проходом до 100 мм рекомендуется использовать медный уплотнитель в виде плоского кольца, а для фланцевых соединений больших размеров — уплотнитель из медной проволоки диаметром 2,5 мм.

## 15.2. УСТРОЙСТВА ДЛЯ ПЕРЕДАЧИ ДВИЖЕНИЯ В ОТКАЧИВАЕМЫЙ СОСУД

Возможность использования того или иного устройства для ввода движения в значительной степени определяется конструкцией *уплотнительного элемента*, передающего движение в откачиваемый сосуд.

Конструкция уплотнительного элемента определяет диапазон рабочих давлений и температур, максимально возможную передаваемую нагрузку, максимально допустимые скорость и перемещение ведомого звена в вакууме, кинематическую точность, срок службы и другие параметры ввода.

В зависимости от конструкции уплотнительного элемента вводы движения могут быть разбиты на тригруппы:

- 1. Вводы движения с контактным уплотнительным элементом.
- 2. Вводы движения с деформируемым уплотнитель-ным элементом.
- 3. Вводы движения с неподвижным уплотнительным элементом.

В вводах с контактным уплотнительным элементом движущееся звено, передающее нагрузку, имеет постоянный механический контакт с неподвижным уплотнимем, размещенным в корпусе устройства.

Таблица 15.3 Вводы движения с контактным уплотнительным элементом

№	Наименование ввода движения	Схема конструкции	Двапазов ра- бочих давле- вий, Па	Максимальная температура прогрева, Қ	Виды передаваемого движения	Скорость перемещения в ва- кууме о, м/с, л, об/мин
1	С уплотнителем в виде прокладок (уплотнение Вильсона)		10-3-10-5	Зависит от ма- териала уплотни- теля (см. табл. 17.1)	поступательное	v=0,5
2	С резиновыми армированными манжетами		10-3-10-5	То же	Вращательное	<b>v</b> =10

№2	Наименование ввода движения	Схема конструкции	Диапазон ра- бочих давле- ний, Па	Максимал <b>ьна</b> я тем- пература прогрева, К	Виды передаваемого движения	Скорость перемещения в ва- кууме в. м/с, л, об/мия
3	С самосмазы- вающимся уплот- нителем	4 3 1 2 1	10-8-10-6	450	Вращательное	<i>n</i> =1500÷ 3000
4	С щелевым и контактным уплот- нением	Откачка	10-5-10-7		Бращательное, поступательное, комбинированное	v=10

Прим очания.
1. Все вводы движения с контактным уплотнением обеспечивают жесткую кинематическую связь.
2. Максимальный передаваемый момент вводов движения стределяется прочностью силового звена.

В табл. 15.3 приведены основные схемы конструкций

вводов с контактным уплотнительным элементом.

Уплотнительные элементы в конструкциях по схемам 1, 2 табл. 15.3 изготавливаются из маслостойкой вакуумной резины. Надежная работа устройства может быть обеспечена лишь при полированной поверхности вала и тщательном изготовлении резиновых колец. Особое внимание следует обращать на качество изготовления внутренних кромок резиновых колец. Между резиновыми кольцами заливается вакуумное масло. Устройства требуют частого контроля и поэтому должны быть расположены в удобных для обслуживания местах.

Ввод движения, выполненный по схеме 3 табл. 15.3, с фторопластовой втулкой не требует смазки, что выгодно его отличает от вводов по схемам 1, 2 табл. 15.3. Так как фторопласт-4 менее упруг, чем резина, и имеет значительную остаточную деформацию, для компенсации износа и обеспечения плотного контакта уплотняющей фторопластовой втулки 1 с подвижным полированным валом 5 используются упругие свойства резиновых колец 2, предварительно деформированных с помощью нажимной гайки 4 и втулки 3.

В ряде сверхвысоковакуумных установок нашли применение вакуумные вводы движения с промежуточной откачкой, выполненные по схеме 4 табл. 15.3.

Уплотнение вала, отделяющее камеру с промежуточным давлением от атмосферы, изготовлено в виде сальника. Уплотнение вала в стенке, отделяющей откачиваемый сосуд от камеры с промежуточным давлением, осуществляется за счет малых зазоров между валом и стенкой.

В вводах движения с деформируемым уплотнительным элементом движущееся звено связано с гибким герметичным уплотнителем, закрепленным в неподвижном корпусе устройства и деформирующимся во время работы ввода.

Для надежной и долговечной работы вакуумных вводов движения необходимо, чтобы герметизирующий элемент не воспринимал передаваемые устройством усилия. Направляющие и опоры устройства желательно помещать вне вакуумной полости ввиду больших коэффициентов трения в вакууме.

Схемы конструкций вводов движения с деформируемым уплотнительным элементом приведены в табл. 15.4.

Номер схемы	Нанменование ввода движе- ния	Схема конструкции	Диапазон г бочих дав, ний, Па
1	Ввод поступательного движения		10-3-10
		Monor	10-5-10-
2	Ввод качательного дви- жения	Lawway	10-8-10-
			10-5-10-
3	Ввод вращения с про- странственным шарни- ром	1 2	10-3-10-
			10-5-10-
4	Ввод вращения с раз- грузкой гибкого уплот- нительного элемента	3	10-5-10-

	py C				<del></del>
M 38	Максималь- ная темпера- тура прогре- ва, К	Вид уплотнителя	Частота вращения и величина перемещения л, об/мин, L, м	Кинема- тиче- ская жесткость	Максимальный передаваемый момент, Н·м
****	350—450 (см. табл. 17.1)	а) Резиновая мембрана	L—10% от на- ружного диа- метра мем- браны	Жесткая связь	Определяется прочностью
	450—1000	б) Металличе- ский силь- фон	L в зависимо- сти от ха- рактеристи- ки сильфонов	То же	силового зее- на
	350—450 (см. та <b>б</b> л, 17.1)	а) Резиновая мембрана	10	То же	Определяется прочностью
	<b>450</b> —1000	<ul><li>б) Металличе- ский силь- фон</li></ul>	α=10÷20°	То же	подшипниково- го узла
-	350—450 (см. табл. 17.1)	а) Резиновая <b>мемб</b> рана	п до 100	Зависит -	Определяется прочностью звеньев, нахо-
	450—1000	<ul><li>б) Металличе- ский силь- фон</li></ul>	<b>п</b> до 500	струкции	дящихся в ва- кууме
	450—1000	Металличе- ский силь- фон	<i>п</i> до 500	То же	Более 200

Номер схемы	Наименование ввода движе- ния	Схема конструкции	Диапазон ра- бочих давле- ний, Па
5	Ввод вращения с проме- жуточным звеном, со- вершающим плоскопа- раллельное движение	2	10-3-10-5
			10 - 5 10 - 8
6	Ввод вращения с ис- пользованием волно- вой передачи		10-5-10-
		T	
		A-A	

Вводы движения с применением металлических сильфонов или резиновых диафрагм, выполненные по схеме 1 табл. 15.4, надежнее устройств, приведенных в табл. 15.3, и проще в эксплуатации, но могут обеспечить сравнительно небольшие перемещения. Для увеличения длины перемещения в некоторых конструкциях вместо одного металлического сильфона применяют гирлянду сильфонов или телескопические сильфоны, как это показано на рис. 15.1.

 $\tilde{\mathbf{y}}$ плотнение ввода осуществляется большим внешним сильфоном 1 и двумя внутренними сильфонами 2 и 3.

Максималь- вая темпера- тура прогре- ва, К	Вяд уплотнителя	Частота вращения и величина перемещения <b>п</b> , об/мин, <i>L</i> , м	Кинемати- ческая жесткость	Максимальный передаваемый момент, Н∙м
350—450 (см. табл. 17.1)	а) Резиновая мембрана	п до 100	Зависит	3
450—1000	б) Металличе- ский силь- фон	<i>п</i> до 100	рукции	v
450800	Металличе- ская гибкая оболочка	<i>п</i> до 500	То же	До 150
			•	

Сильфон 1 приварен одним концом к фланцу 4, а другим к стакану 5. Стакан 5 фиксируется относительно фланца 4 стопорным кольцом 6. Сваренные между собой сильфоны 2 и 3 приварены в свою очередь одним концом к штоку 7, а другим — к стакану 5. Шток 7 присоединяется к ведущему звену привода с помощью пальца 8, а к ведомому звену в вакуумном сосуде — с помощью радиально-сферического подшипника.

Работает ввод следующим образом: при перемещении штока 7 вправо вначале сжимается внешний сильфон I и выбирается ход  $l_1$ , а затем сжимаются два вну-

307

тренних сильфона 2 и 3 и выбирается ход  $l_2$  каждого сильфона. Таким образом, максимальный ход штока составит  $L = l_1 + l_2 + l_2$ .

Угол качательного движения ввода, выполненного по схеме 2 табл. 15.4, из-за соображения надежности ограничен допустимой деформацией уплотнительного элемента — металлического сильфона или резиновой мембраны.

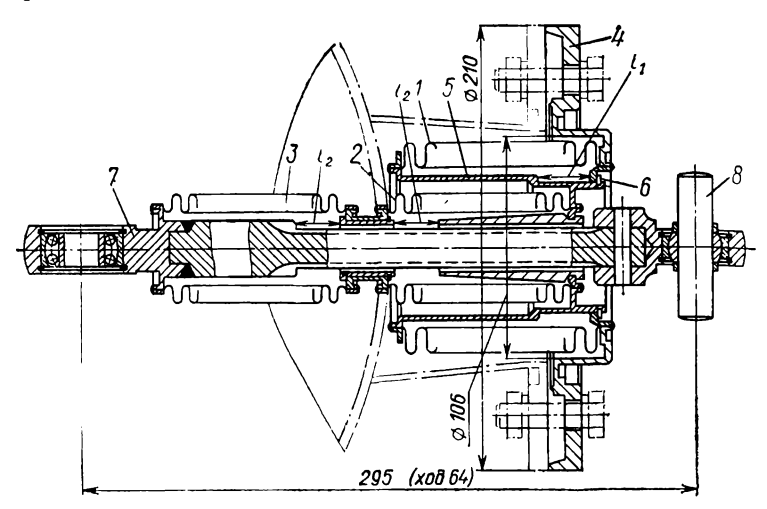


Рис. 15.1. Ввод поступательного движения с телескопическими сильфонами.

В конструкции ввода по схеме 3 табл. 15.4 промежуточное звено 1 описывает коническую поверхность с вершиной в центре пространственного шарнира 2. Крутящий момент от сил трения, возникающий в шарнирах между промежуточным звеном 1 и ведущим и ведомым валами 3 и 4, может восприниматься гибким уплотнительным элементом. Применение пространственного шарнира, воспринимающего крутящий момент, позволяет исключить касательные напряжения (скручивание), вследствие чего уплотнительный элемент будет нагружен лишь напряжениями изгиба, что повысит надежность и долговечность его работы.

Для передачи вращения в вакуумную полость при больших моментах сопротивления применен ввод, выполненный по схеме 4 табл. 15.4. Характерной особенностью ввода движения по этой схеме является использава

зование планетарного механизма для разгрузки сильфона от скручивающих его оболочку усилий. Во вводе вращение передается с помощью вала 4 с изогнутым концом, который входит в глухую расточку промежуточного звена 1. Промежуточное звено с жестко закрепленным коническим сателлитом в свою очередь вставлено по ходовой посадке в наклонную расточку в ведущем поводке 3. Момент от сил трения, возникающих в опорах промежуточного звена, воспринимается планетарной шестеренчатой передачей, сателлит и солнечная коническая шестерня 2 которой имеют одинаковое число зубьев.

Для передачи вращения в откачиваемый сосуд часто применяют сравнительно простое по конструкции и технологии изготовления устройство, выполненное по схеме 5 табл. 15.4.

В этом устройстве промежуточное звено 1 совершает плоскопараллельное движение по цилиндрической поверхности с радиусом, равным эксцентриситету е с центром на общей оси ведущего и ведомого валов 2 и 3. Крутящий момент от сил трения в опорах промежуточного звена 1, смонтированного на ведущем и ведомом валах, воспринимается гибким уплотнительным элементом (металлическим сильфоном или резиновой мембраной), нагружая его касательными напряжениями, величина которых обратно пропорциональна эксцентриситету е. В свою очередь эксцентриситет е должен быть весьма малым с целью ограничения деформации гибкоуплотнительного элемента. Указанные ограничивают область применения ввода вращения подобной конструкции, допуская его использование лишь в случае относительно малых крутящих моментов сопротивления на ведомом валу 3.

Вводы движения с использованием волновой передачи позволяют передавать в вакуумный сосуд большие крутящие моменты.

Ввод движения с волновой зубчатой передачей (схема 6 табл. 15.4) состоит из жесткого колеса 1, тонкостенного зубчатого колеса 2, являющегося одновременно герметизирующим элементом, и генератора деформации 3.

Шаг зубчатых колес 1 и 2 сделан одинаковым, а число зубьев — разным. Генератор 3 при своем вращении упруго деформирует тонкостенное колесо 2 таким обра-

зом, что в зоне большей оси эллипса зубья колес нахолятся в зацеплении, а в зоне малой оси между их вершинами создается гарантированный зазор. В промежуточных положениях зубья между большой и малой осями находятся в неполном зацеплении. Общее количество зубьев, находящихся в контакте и передающих нагрузку, зависит от формы генератора деформации 3 и профиля зубьев.

При вращении генератора 3 волнообразно деформируется тонкостенное колесо 2 и зона зацепления будет перемещаться. Так как тонкостенное колесо 2 неподвижно, то начнет вращаться жесткое колесо 1, при этом передаточное число ввода

$$i=\frac{z_1}{z_1-z_2},$$

где  $z_1$  — число зубьев на жестком колесе 1 с внутренним зацеплением;

**22** — число зубьев на тонкостенном колесе **2** с внешним зацеплением.

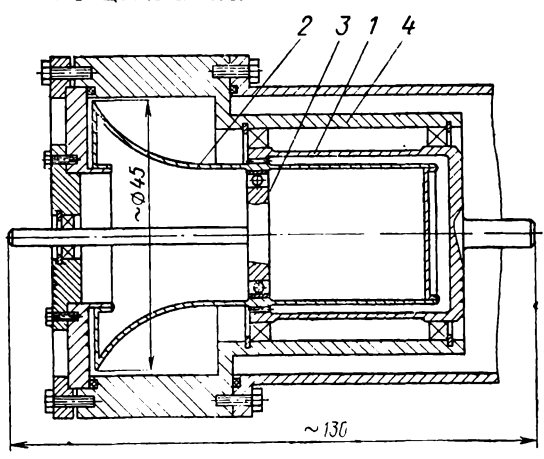


Рис. 15.2. Ввод вращения с использованием волновой зубчатой передачи.

1 — жесткое колесо; 2 — тонкостенное зубчатое колесо; 3 — генератор деформации; 4 — корпус.

Разность чисел зубьев колес 1 и 2 обычно делают равной числу волн деформации. В данном случае генератор 3 создает одновременно две волны деформации по большой оси, и разность чисел зубьев будет равна 2. 310

Необходимо отметить, что волновая передача может работать как в режиме редуктора с очень большим передаточным отношением, так и в режиме мультипликатора. Благодаря тому, что в зацеплении одновременно участвует большое количество зубьев, передача обладает высокой кинематической жесткостью при практическом отсутствии люфтов между зубчатыми колесами.

На рис. 15.2 показана конструкция ввода, выполненного по схеме 6 табл. 15.4. При габаритных размерах, указанных на рисунке, ввод обеспечивает передачу момента до  $0.024~\text{H}\cdot\text{M}$  с передаточным числом i=72.

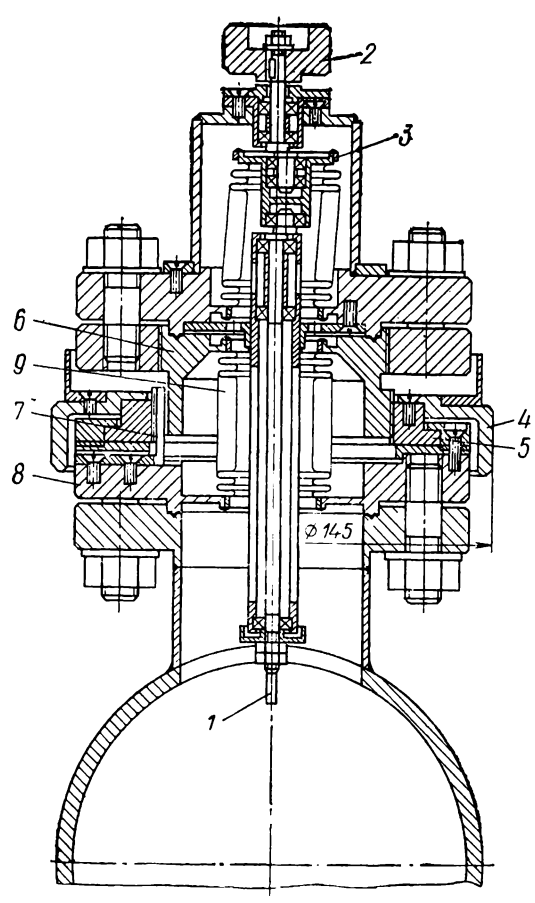


Рис. 15.3. Комбинированный ввод поступательного и вращательного движений.

Номер схемы	Наименование ввода движе- иям	Схема конструкции	Диапазон Ра- бочих давле- ний, Па
1	Ввод поступательного движения с постоян- ным магнитом	2	До 10-93
2	Ввод поступательного движения с электро- магнитом -		То же
3	Ввод качательного движения с электромагнитом		То же
4	Ввод вращения с посто-янным магнитом	1	То же
5	Ввод вращения с вращающимся магнитным полем		110-4

# тельным элементом (с магнитным приводом)

Максимальная температура прогрева, К	Частога вращения <b>п,</b> об/мин	Кинематическая жесткостъ	Максималь ный переда ваемый мо- мент, Н•м	
750—1000	_	Неж <b>есткая</b> связь.	_	
		J		
600—1000		То же	-	
			7	
er Kultur	*	·	OE.	
600—1000	Угол поворота до 15°	То же	_	
in party i		4		
600—800	<i>n</i> <sub>макс</sub> =500÷700	То же	1-1,5	
450	n <sub>макс</sub> =3000	То же	_	
	,			
71: 1931				

Для ввода в вакуумный сосуд сложных движений нашли применение комбинированные вводы. Одна из конструкций для ввода поступательного и вращатель. ного движения показана на рис. 15.3, в которой используются элементы по схемам 1, 5 табл. 15.4. Вращение валу 1 передается от ведущего маховика 2 с помощью промежуточного звена 3, совершающего плоскопарал. лельное движение (см. схему 5 табл. 15.4). Поступательное перемещение вала 1 осуществляется при врашении маховика 4 и связанной с ним гайки 5. При этом начинает поступательно перемещаться корпус 6, кото. рый образует с гайкой 5 резьбовую пару. Вращение корпуса 6 предотвращается шпонкой 7, закрепленной на неподвижном фланце 8. Герметизация ввода посту. пательного движения достигается металлическим сильфоном 9 (см. схему 1 табл. 15.4).

В вводах движения с неподвижным уплотнительным элементом усилие на ведомое звено передается с помощью магнитного поля, и движущееся звено не имеет непосредственного контакта со стенкой корпуса.

Некоторые схемы вводов с магнитным приводом приведены в табл. 15.5. Герметичность таких устройств высока.

Следует, однако, учитывать, что с увеличением момента сопротивления на ведомом звене вводов с магнитным приводом возрастает сдвиг ведомого звена относительно ведущего (т. е. передача кинематически нежесткая), а максимальный момент обычно невелик. Поэтому такие вводы движения чаще всего используют при больших частотах и малых нагрузках.

В конструкции устройства по схеме 1 табл. 15,5 при перемещении наружного постоянного магнита 1 перемещается якорь 2, отделенный от магнита тонкостенным стаканом из немагнитного материала.

В конструкции устройства по схеме 2 табл. 15.5 в отличие от схемы 1 табл. 15.5 для тех же целей применен электромагнит.

В устройстве по схеме 3 табл. 15.5 также используется электромагнит для создания качательного движения якоря.

В устройстве, выполненном по схеме 4 табл. 15.5, для передачи вращения использован постоянный магнит 1. На ведомом валу укреплен якорь 2, который отделен от магнита 1 герметизирующим стаканом, выпол-

ненным из немагнитного материала. На полюсах якоря и магнита сделаны канавки, перераспределяющие магнитный поток с целью его концентрации. Магниты изготавливаются из никель-кобальтовых сплавов с направленной кристаллизацией.

В тех случаях, когда в откачиваемый сосуд необходимо ввести вращение с частотой, равной или близкой частоте вращения асинхронных двигателей промышленной частоты, целесообразно применять конструкцию, выполненную по схеме 5 табл. 15.5. В этой конструкции в качестве ведомого звена используется короткозамкнутый ротор 1 обычного асинхронного двигателя. Цилиндрическую часть ротора протачивают на 0,5—0,7 мм на сторону, с тем чтобы разместить между ротором и статором 3 вакуумно-плотную немагнитную перегогородку 2.

#### 15.3. ЭЛЕКТРИЧЕСКИЕ ВАКУУМНЫЕ ВВОДЫ

Для введения электрической энергии внутрь откачиваемого сосуда обычно используют электрические вводы, которые герметично присоединяются к сосуду и электрически изолируются от него.

В зависимости от рабочего напряжения, силы тока, частоты, допустимой рабочей температуры и других условий эксплуатации электрические вводы могут быть подразделены на три основные группы: низковольтные низкочастотные, высоковольтные низкочастотные и высокочастотные.

В свою очередь вводы каждой группы могут быть разборными и неразборными, прогреваемыми и непрогреваемыми.

Площадь поперечного сечения электрического ввода выбирается такой, чтобы плотность тока для меди не превышала  $(3-5)\cdot 10^6$  A/м², для углеродистой стали —  $7\cdot 10^5$  A/м², для алюминия —  $2\cdot 10^6$  A/м², для никеля —  $8\cdot 10^5$  A/м², для молибдена —  $1,5\cdot 10^6$  A/м² и для нержавеющей стали  $12X18H10T — 1\cdot 10^5$  A/м².

Низковольтные вакуумные вводы (до 250 В) в свою очередь делятся на сильноточные и слаботочные. Сильноточные вводы служат в основном для подвода электроэнергии к нагревательным элементам, расположенным внутри откачиваемого сосуда. Для исключения нагрева свыше допустимой температуры сильноточные вводы охлаждаются водой. Практически

вводы, предназначенные для пропускания тока свыше 100 A, должны иметь водяное охлаждение. Стенка откачиваемого сосуда, граничащая с вводом, предназначенным для пропускания переменного тока, также должна охлаждаться водой, так как в ней выделяется значительное количество тепла. Плотность тока в месте контакта токоподвода и ввода, изготовленных из меди, должна быть не более 2·106 A/м², а в случае, если токоподвод тоже охлаждается водой, допустимая плотность тока может быть увеличена до 5·106 A/м².

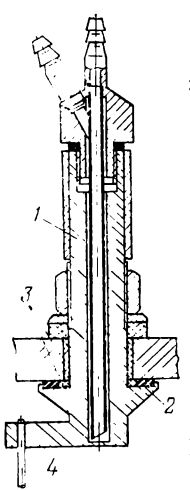


Рис. 15.4. Сильноточный вакуумный ввол.

1— медный стержень; 2— резиновый уплотнитель; 3 — изолирующие кольца; 4 — нагреватель.

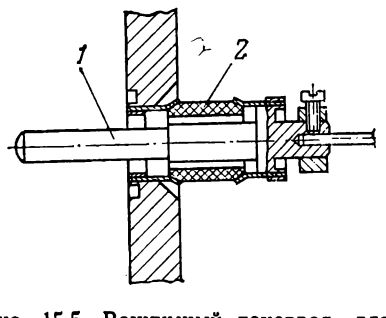


Рис. 15.5. Вакуумный токоввод для прогреваемых систем.

1 — стержень; 2 — керамический изолятор.

Следует отметить, что при одинаковых расчетных площадях поверхности контакта фактическая плотность тока будет разной в зависимости от чистоты обработки контактирующих поверхностей, степени их загрязнения и удельного давления в месте контакта.

На рис. 15.4 изображен сильноточный ввод, применяемый в вакуумных системах с давлением не ниже  $5 \cdot 10^{-5}$  Па. Вакуумные вводы, используемые в системах с давлением ниже  $5 \cdot 10^{-5}$  Па, должны уплотняться с откачиваемым сосудом через металлический уплотнитель. Изолирующие элементы этих вводов изготавливаются из керамики или стекла, что позволяет при необходимости прогреть вводы с целью их обезгаживания.

На рис. 15.5 приведен прогреваемый ввод простейшей конструкции, пригодный для использования в си-

стемах высокого и сверхвысокого вакуума.

Высоковольтные вакуумные вводы применяются при напряжениях свыше 250 В, а также при необходимости исключить электрические утечки в измерительных цепях. Вакуумный ввод с малыми электрическими утечками лучше всего изготовлять с использованием керамических изоляторов, как показано на рис. 15.5. При напряжениях больше 1500 В керамический изолятор делается ребристым для увеличения протяженности изолирующей поверхности.

Высокочастотные вакуумные вводы чаще всего применяются для подвода тока высокой частоты (свыше 1500 Гц) от высокочастотного генератора к индуктору, помещенному в откачиваемом сосуде. Высокочастотные вводы для уменьшения потерь высокочастотной энергии, как правило, выполняются коаксиальными и охлаждаются водой.

#### 45.4. CMOTPOBLE CHCTEML

Для визуального наблюдения и контроля технологических процессов, осуществляемых в откачиваемых сосудах, обычно используют смотровые системы трех основных типов: смотровые окна, оптические и телевизионные устройства.

Смотровые окна с резиновым уплотнителем (рис. 15.6) широко применяются при давлениях не ниже

 $5 \cdot 10^{-3}$  Па. Полированный стеклянный диск 5 с помощью нажимного кольца 1 через мягкую прокладку 2 прижимается к резиновому уплотнителю 3. Толщина h стеклянного диска в зависимости от диаметра свободной поверхности диска D выбирается в пределах  $h = (0,1 \div 0,2)D$ , причем для больших диаметров берется относительно меньшая толщина.

Для предохранения внутренней поверхности стеклянного диска от загрязнения продуктами испарения материала иногда ставится защитное стекло 4, которое периодически заменяется. В некоторых конструкциях, особенно связанных с интенсивным испарением материала

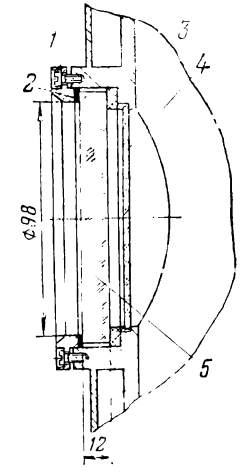


Рис. 15.6. Смотровое окно с резиновым уплотнителем.

или тепловым излучением, применяют защитные металлические заслонки, отводимые на короткие промежутки времени. В конструкциях с поворотными дисками с набором защитных стекол и светофильтров применяются специальные механические щетки, которые очищают защитные стекла и светофильтры от загрязнений.

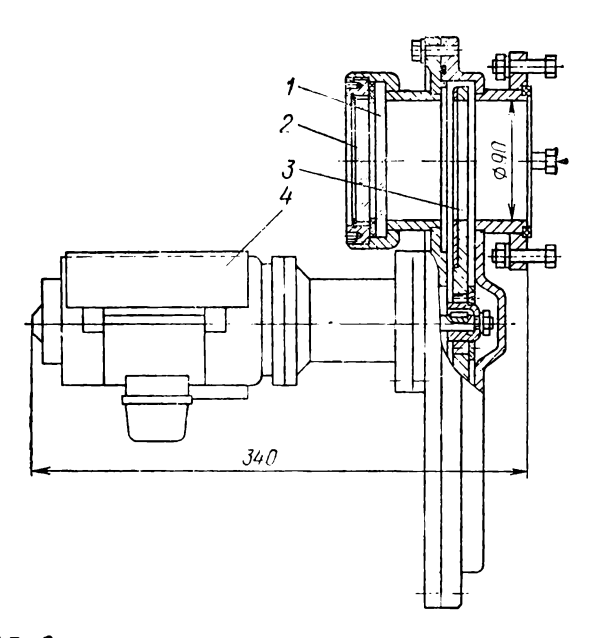


Рис. 15.7. Смотровое окно с вращающимся защитным диском. 1 — иллюминаторное стекло; 2 — свинцовое стекло для защиты от рентгеновских лучей; 3 — вращающийся диск со щелями, 4 — электродвигатель привода вращения диска.

В конструкции, показанной на рис. 15.7, стекло 1 смотрового окна защищено непрозрачным диском 3 с узкими радиальными щелями. При частоте вращения защитного диска более 1500 об/мин большинство частиц осаждается на диске или боковых стенках щели. В некоторых конструкциях (рис. 15.8) защита смотрового окна достигается с помощью прозрачной полиэтилентерефталатной пленки 5 толщиной 20—30 мкм, прижатой к теплоотводящему экрану 3. По мере загрязнения пленка перематывается барабаном 4 с подающей катушки на приемную.

В высоковакуумных установках для электронно-лучевой сварки, нанесения тонких пленок нашли применение перископы, одна из конструкций которых показана на рис. 15.9.

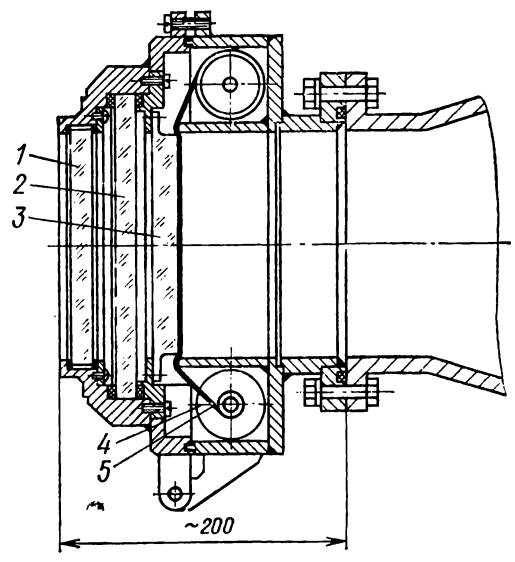


Рис. 15.8. Смотровое окно с защитной прозрачной пленкой. 1— свинцовое стекло; 2— иллюминаторное стекло; 3— тепловой экран; 4— перематывающий барабан; 5— прозрачная защитная пленка.

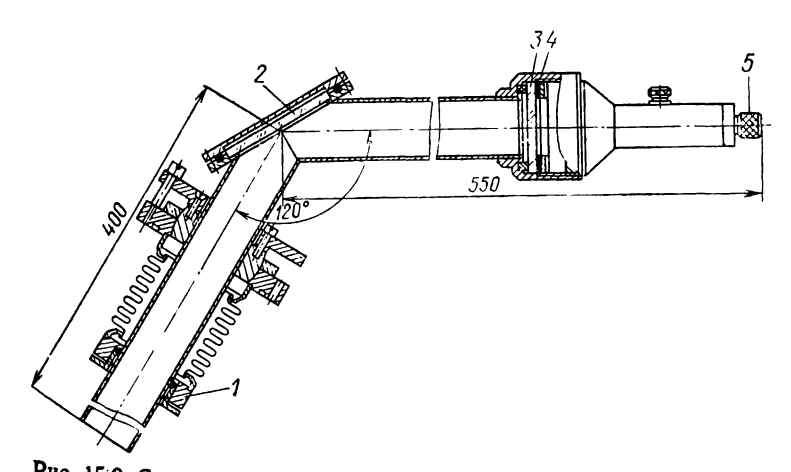


Рис. 15.9. Смотровая система с перископом.

1— узел герметизации и поворота световода; 2— отражающее зеркалс; 3— объектив; 4— герметизирующий узел; 5— окуляр

319

Для увеличения обзора световод устройства может поворачиваться относительно неподвижного фланца на угол  $\pm 15^\circ$  в любом направлении. Попадание испаряемого вещества на внутреннее зеркало перископа не затрудняет наблюдения, так как отражательные свойства

зеркала при этом меняются незначительно.

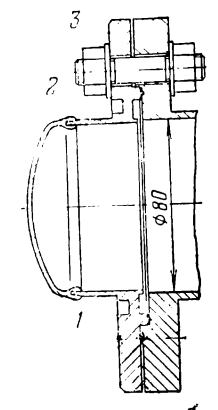


Рис. 15.10. Смотровое окно с металлическим уплотнителем.

В установках со сверхвысоким вакуумом употребляются смотровые окна с металлическим уплотнителем как показано на рис. 15.10. Стеклянный колпак 1 припаян к коваровому стакану 2, сваренному в свою очерель с фланцем 3 из нержавеющей стали. Фланец уплотняется с вакуумным сосудом через металлический уплотнитель. Для предохранения от разрушения стекла с металлом при затяжке металлического уплотнителя необходимо предусматривать деформируемые компенсирующие пояса подобий тем. которые используются во фланцевом уплотнении (см. схему 1 табл. 15.2). Смотровые окна описанной конструкции допускают прогрев до 600-750 К.

#### 15.5. ОТКАЧНЫЕ ГНЕЗДА

В лабораторной практике и в производстве многих типов электровакуумных приборов присоединение изделий к вакуумной системе обычно производится путем напаивания стеклянного штенгеля пламенем газовой горелки. Несколько выше места напайки изделия на стеклянном откачном штенгеле заранее делается суженный участок, так называемая перетяжка, которая предназначается для последующей отпайки прибсра (рис. 15.11). Внутренний диаметр перетяжки обычно равен d = (0,1 + 0,6)D. Поэтому перетяжка резко снижает эффективную скорость откачки изделия.

В серийном и массовом производстве для присоединения изделий к вакуумным системам применяют откачные гнезда разнообразных конструкций.

На рис. 15.12 представлено, откачное гнездо карусельного полуавтомата откачки электронно-лучевых 320 трубок с резиновым уплотнителем и ручным винтовым зажимом. Подобные гнезда применяют и при откачке ряда других приборов. При вращении рукоятки 1 резьбовой стакан 6 через подшипник 8 и шайбу 7 нажимает на резиновую муфту 4, которая плотно обжимает стек-

лянный штенгель изделия. Корпус гнезда 3 имеет кольцевую полость, ограниченную с внешней стороны стаканом 5. В эту полость м жет подаваться вода для охлаждения резиновой муф.



Рис. 15.11. Стеклянный откачной штенгель с «перетяжкой».

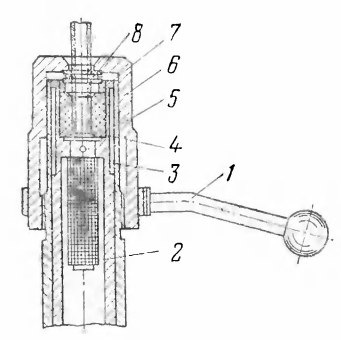


Рис. 15.12. Откачное гнездо с ручным винтовым зажимом.

ты во время откачки и обезгаживания изделия. Предохранительная сетка 2 защищает вакуумную систему от осколков стекла при поломке штенгеля.

Применение откачных гнезд хотя и позволяет осуществить быстрое присоединение обрабатываемого прибора к вакуумной системе, вовсе не исключает перетяжку и использование газовой горелки или электрического нагревателя для отпая прибора после откачки.

При отпае изделия из стекла штенгеля выделяются различные газы и пары (пары воды, двуокись углерода, метан), часть которых попадает в полость прибора, который отпаивают, и повышает в нем давление.

Поэтому при сочленении изделий с современными высоковакуумными системами с большой быстротой от-качки нашли широкое применение металлические штенгели (рис. 15.13), чаще всего медные. Один из вариантов сочленения металлического штенгеля с вакуумной системой показан на рис. 15.14.

Развальцованный медный штенгель 1 с предварительно надетым ниппелем 5 впаивается в корпус изделия твердым припоем. Рычаг 2 с осью 3, на который воздействуют болтом 4, упирающимся в корпус 7, через ниппель 5 прижимает развальцованный конец штенгеля 21—1081

к полированной поверхности головки 6. При прогреве изделия во время его откачки рычаг 2 выполняет роль

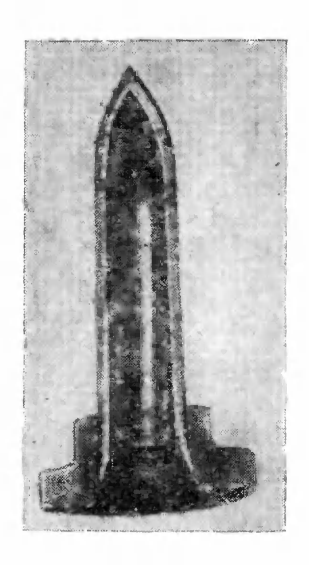


Рис. 15.13. Разрез металлического штенгеля с ниппелем после снятия изделия методом холодной сварки.

упругого элемента, компенсирующего разность линейных удлинений деталей откачного гнезда, за счет чего повышается надежность уплотнения штенгеля.

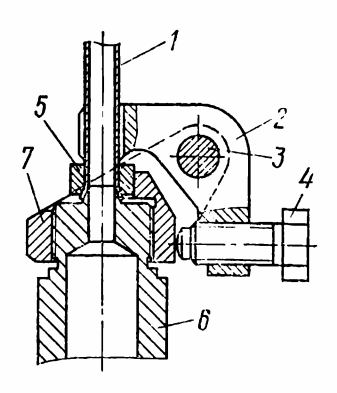
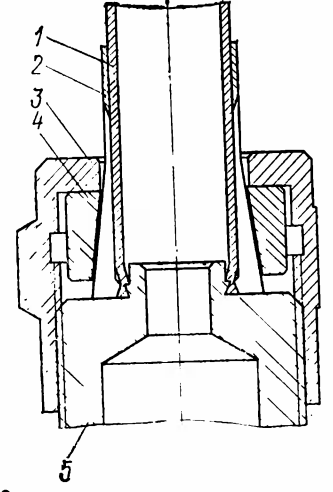


Рис. 15.14. Сочленение металлического штенгеля с откачным гнездом с помощью рычага.

В конструкции откачного гнезда, показапного на рис. 15.15, уплотнение штенгеля осуществляется по



принципу, близкому к схеме 5 табл. 15.2 (см. § 15.1) Так же как в предыдущем случае, металлический штенгель 1 впаивается в изделие твердым припоем, но безаранее одетого ниппеля. Для **уплотнения** штенгеля головкой откачно. 0 гнезда вращают гайку  $\partial_{\gamma}$ которая через ниппель 4 воздействует на разрезную цангу 2.

Рис. 15.15. Сочленение не развальцованного металлического штенгеля с откачным гнезлом-

Цанга сжимается до тех пор, пока торцом не упрется в головку 5, при этом продольные разрезы цанги почти смыкаются, а штенгель уплотняется. Выгодным отличием этой конструкции от откачного гнезда, показанного на рис. 15.14, является возможность многократного уплотнения с меньшим усилием прямого штенгеля без развальцовки и ниппеля. Конструкция откачного гнезда позволяет осуществлять прогрев до 750 К.

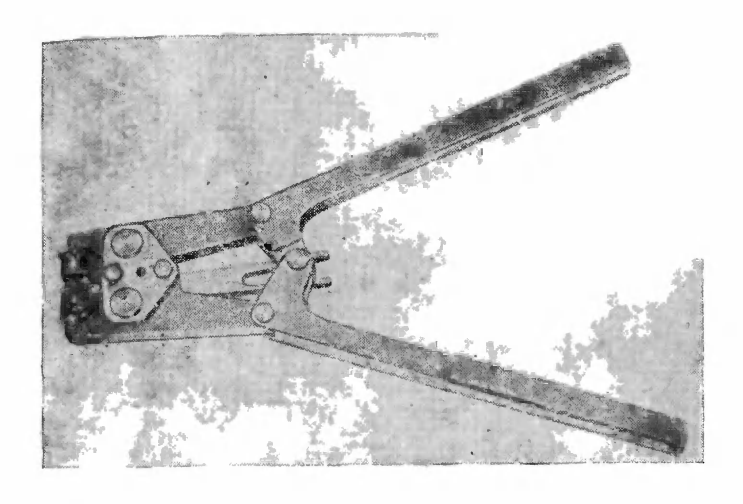


Рис. 15.16. Ручные клещи (пережим) для холодной сварки металлических штенгелей.

Для штенгелей с внутренним диаметром больше 15 мм обычно применяют фланцевые уплотнения, работающие по одной из схем табл 15.2.

Отделение изделий от вакуумной системы осуществляется методом холодной сварки металлического штен-

геля с одновременной его отрезкой.

На рис. 15.13 представлен разрез металлического штенгеля после снятия изделия. Сущность холодной сварки заключается в том, что при достаточном сближении поверхностей соединяемых металлов между атомами образуется так называемая металлическая связь, возникающая в результате обобществления валентных электронов, вследствие чего создается единая кристаллическая решетка.

323

Вакуумно плотпая холодная сварка медных штенгелей осуществляется при деформации стенок на 80—85% первоначальной толщины. Удельные давления на материал составляют (60—90)·107 Па для меди и (20—30)·107 Па для алюминия. Надежная сварка обеспечивается только при достаточно чистых свариваемых поверхностях. Наличие пленок масла и иных загрязнений недопустимо, так как пленки (особенно жировые) не

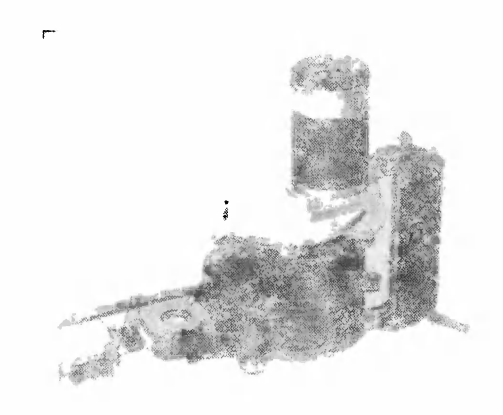


Рис. 15.17. Пережим с электромеханическим приводом. 1—пуансоны; 2—волновой зубчатый редуктор; 3—электродвига

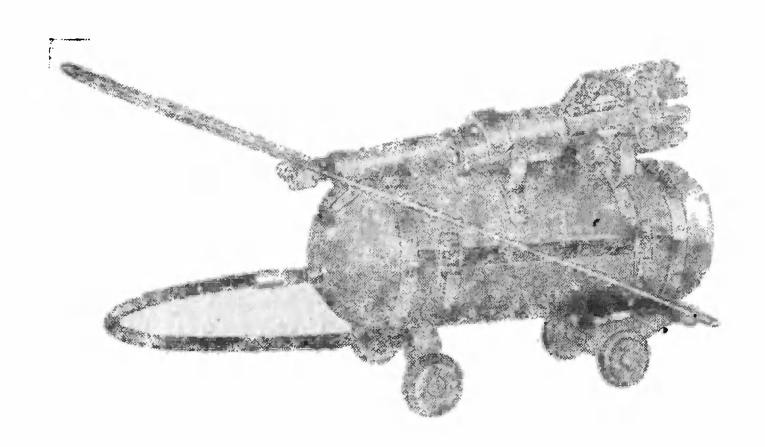


Рис. 15.18. Пережим с гидравлическим приводом. 324

разрушаются даже при очень больших давлениях и пре-

пятствуют сварке.

Металлические штенгели обычно изготавливаются из холоднотянутых медных или алюминиевых труб с наружным диаметром до 45 мм и толщиной стенок не менее 0,75 мм, так как при меньшей толщине стенок нельзя обеспечить достаточную механическую прочность места отделения штенгеля.

Отделение изделий методом холодной сварки с диаметрами штенгелей до 15 мм может производиться ручными клещами (пережимом), показанными на (рис. 15.16, 15.17) или пережимом с гидравлическим приводом (рис. 15.18).

### Глава шестнадцатая

### коммутационная аппаратура

### 16.1. ОСНОВНЫЕ ТРЕБОВАНИЯ, ПРЕДЪЯВЛЯЕМЫЕ К КОММУТАЦИОННОЙ АППАРАТУРЕ

Коммутационная аппаратура (краны, затворы, клапаны, золотники, натекатели) является одним из важнейших элементов вакуумных систем.

Особенности конструкций вакуумной коммутационной аппаратуры вытекают из специфических требований, резко отличающихся от требований, предъявляемых к аппаратуре того же назначения, применяемой в газовых, пневматических и гидравлических системах. К таким специфическим требованиям относятся:

- 1. Высокая герметичность. Особо жесткие требования по герметичности предъявляются к аппаратуре, применяемой в системах высокого и сверхвысокого вакуума. Высокая герметичность коммутационной аппаратуры должна быть обеспечена не только по отношению к внешней среде, но н между седлом (корпусом) и запирающим элементом (клапаном) в закрытом положении.
- 2. Максимальная проводимость в открытом положении. Для аппаратуры, работающей при молекулярном режиме течения газа, это требование лучше всего обеспечивается созданием прямоточных конструкций, оказывающих наименьшее сопротивление потоку откачиваемого газа. Так, угловой кран с диаметром условного

прохода 80 мм имеет проводимость около 190 л/с, а прямоточный затвор с тем же условным проходом—756 л/с.

3. Минимальное газовыделение внутренних поверхностей аппаратуры. Необходимо исключить применение смазок и уплотнителей с высокой упругостью паров. Конструкция аппаратуры должна быть разборной и не должна иметь недоступных для промывки мест и труднооткачиваемых карманов.

4. Незначительная адсорбция газов внутренними поверхностями аппаратуры. Аппаратура должна быть защищена от коррозии или должна изготавливаться из

некорродирующих металлов.

5. Аппаратура, предназначенная для работы в системах сверхвысокого вакуума, должна допускать с целью ее обезгаживания возможность многократного прогрева до температуры 600—1000 К.

- 6. Для работы в автоматизированных вакуумных системах коммутационная аппаратура должна иметь устройство для дистанционного управления с сигнализацией состояния аппаратуры (открыто закрыто).
- 7. Аппаратура должна иметь гарантированное число рабочих циклов (открытий закрытий) не менее 25 000.

# 16.2. КОММУТАЦИОННАЯ АППАРАТУРА ДЛЯ НЕПРОГРЕВАЕМЫХ ВАКУУМНЫХ СИСТЕМ

Наиболее распространенные схемы аппаратуры

с ручным управлением приведены в табл. 16.1.

В лабораторных вакуумных системах нашли широкое применение стеклянные пробковые краны различных конструкций (проходные, угловые, многоходовые, порционные), выполненные по схеме 1 табл. 16.1. В промышленных установках стеклянные краны почти пе применяются из-за малой механической прочности и трудности автоматизации.

В неавтоматизированных промышленных установках весьма часто используются краны золотникового типа, выполненные по схеме 2 табл. 16.1. Краны этого типа позволяют совместить в одном корпусе несколько коммутирующих элементов и исключить ошибки оператора, возникающие при неправильной последовательности включения соответствующих коммутирующих устройств.

В кранах с винтовым приводом, выполненных по схеме 3 табл. 16.1, давление тарелки на седло определяется усилием, прикладываемым оператором, что часто привопит к преждевременному выходу из строя уплотнителя. Недостатком существующих кранов является и то, что отсутствуют указатели открызакрытого положетого И ния.

На рис. 16.1 изображен кран с подвижным сильфонным уплотнением штока, выполненным по схеме 3 табл. 16.1. Для удобства сборки привод крана с подвижным сильфонным *VПЛОТНЕНИЕМ* смонтирован на фланце 3 и представляет собой съемный узел.

16.2 Ha рис. изображен кран с ручным эксцентри-

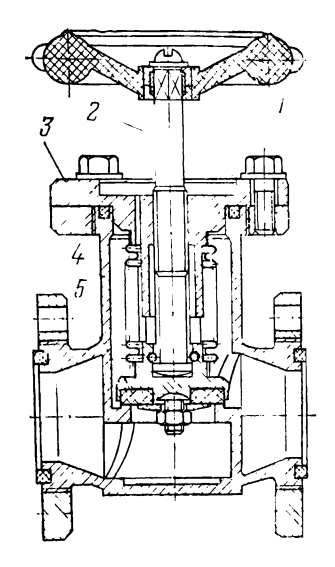


Рис. 16.1. Вакуумный кран с ручным винтовым приво-

1 — маховик: 2 — винт: 3 — фланец; 4 — корпус; 5 — резиновый уплотнитель.

ковым приводом (схема 4 табл. 16.1). Усилие уплотнения клапана создается эксцентриком 1, перемещение по вертикали которого ограничивается направляющей (кинематическое замыкание). Кинематическое замыкание позволяет исключить пружину и обеспечивает герметичность при наличии давления с любой стороны тарелки клапана. Положение рукоятки 2 указывает на состояние клапана (открыт — закрыт).

В автоматизированных откачных системах применяется коммутационная аппаратура с дистанционным управлением. Дистанционное управление позволяет производить более рациональную компоновку вакуумных систем и осуществлять блокировки и программирование.

В табл. 16.2 приведены наиболее распространенные схемы коммутационной аппаратуры с дистанционным управлением для непрогреваемых вакуумных систем.

В ряде автоматизированных вакуумных установок получили распространение клапаны с иневматическим или гидравлическим приводами, выполненными по схе-

## Коммутационная аппература с ручным управле

Номер схемы	Наименование	Схема	Диаметр условного прохода ДУ, мм
1	Пробковые краны		6—35
2	Краны золот- пикового типа		-
3	Краны с вин- товым приво- дом		10—100
4	Краны с экс- центриковым приводом		10—10()

нием для непрогреваемых вакуумных систем

Область применения	Уилстнение подвижного элемекта	Примечания
Стеклянные ваку- зумные системы с дав- лением р больше 10 <sup>-3</sup> Па	Герметичность обе- спечивается с по- мощью вакуумной смазки	Применяются в стеклянных вакуум- ных системах
Металлические ва- куумные системы с давлением р больше 10-3 Па вместо бло- ков клапанов для от- качки и наполнения газом	Герметичность обеспечивается за счет притирки поверхностей и применения вакуумной смазки	Имеют положения, соответствующие различным этапам откачки и наполнения газом
а) Металлические вакуумные системы с давлением р больше $1 \cdot 10^{-4}$ Па; б) металлические вакуумные системы с давлением р больше $1 \cdot 10^{-5}$ Па	а) Сальниковое уплотнение штока, выполненное пс схемам 1, 2 табл. 15.3 б) Сильфонное уплотнение штока, выполненное по схеме 1 табл. 15.4	Вместо резьбы ча- сто применяют бай- онетное соединение штока с корпусом
То же	То же	Давление тарелки крана на седло определяєтся усилием пружины (силовое замыкание) или при кинематическом замыкании — ходом

ме 1 табл. 16.2. Уплотнение резинового клапана в этих конструкциях осуществляется за счет подачи воздуха или жидкости в цилиндр привода клапана, а открытие — под действием пружины или подачи воздуха или жидкости в штоковую полость.

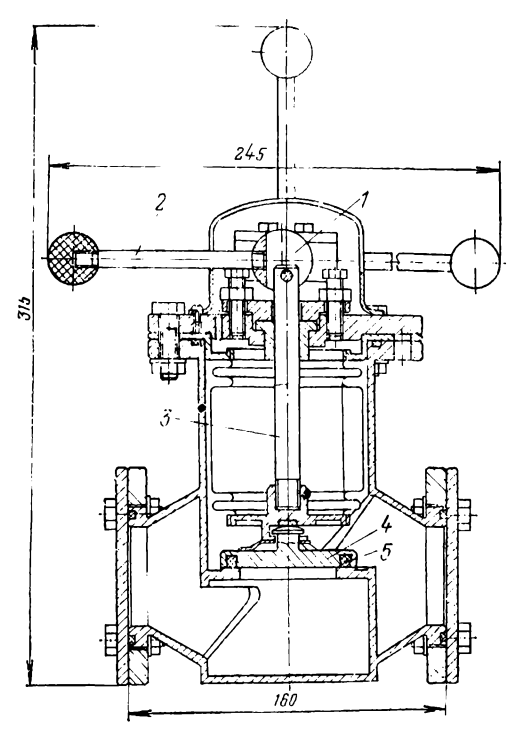


Рис. 16.2. Вакуумный кран с ручным эксцентриковым приводом.

1 — эксцентрик: 2 — рукоятка; 3 — шток; 4 — тарелка клапана; 5 — резиновыя уплотнитель.

Электромагнитные клапаны по конструкции сложнее клапанов с пневматическим приводом, но имеют передними ряд преимуществ. Клапаны с электромагнитным приводом обладают малым временем срабатывания (около 0,1 с) и поэтому незаменимы в качестве блокировочных элементов. На рис. 16.3 показан угловой клапан с электромагнитным приводом.

Усилие, уплотняющее клапан 6 по седлу, впаянному в корпус 8, создается пружиной 4, которая воздейстазо

вует на рычаг 7. Рычаг с клапаном введен внутрь корпуса через резиновую диафрагму 5 и жестко закреплен в скобе 10, которая вращается на шариковых подшипниках, чем достигается разгрузка диафрагмы от усилия уплотнения клапана и воздействия атмосферного давле-

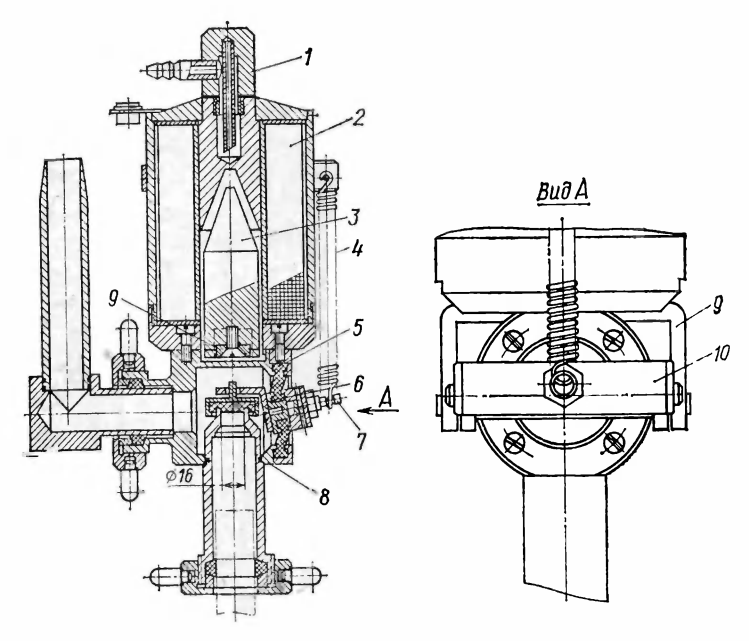


Рис. 16.3. Угловой клапан с электромагнизным приводом. 1— штуцер водяного охлаждения; 2— катушка электромагнита; 3— якорь; 4— пружина; 5— резиновая диафрагма; 6— резиновый уплотвитель (клапан); 7— рычаг; 8— корпус; 9, 10— скобы.

ния. Открытие клапана производится электромагнитом 2, который при подаче на него напряжения 24—28 В втягивает якорь 3. С якорем через скобы 9 и 10 связан рычаг 7 с клапаном 6. Повышенная надежность клапана обеспечена тем, что все подвижные элементы (якорь, скобы и т. д.) выведены из его вакуумной полости, а в качестве опор применены шариковые подшипники.

Для перекрытия трубопроводов больших проходных сечений применяют затворы, оказывающие минимальное сопротивление потоку откачиваемых газов (табл. 16.3).

## Коммутационная аппаратура с дистанционным управ

Номер схемы	Наименование	Схема	Диаметр услов- ного прохода Ду, мм	1
1	Клапан с пнев- матическим или гидравлическим приводом	Townww.	>50	
2	Клапан с электромагнитным приводом (усилие уплотнения обеспечивастся магнитом)		10—80	
3	Клапан с электромагнитным приводом (усилие уплотнения создается пружиной)		1080	

		<del></del>
Область применения	Уплотнение подвижного элемента	Примечани
Вакуумные системы с давлением р больше 1·10-5 Па	Уплотнение штока выполнено по схеме 1 табл. 15.4	Обычно применяется сэвместно с электромагнитным реверсивным золотником
Вакуумные системы с давлением <i>р</i> больше 1·10 <sup>-5</sup> Па	Уплотнение якоря выполнено по схеме 2 табл. 15.5	Открытие клапана происходит под дей- ствием массы якоря. Работают только в одном положении
То же	То же	Может служите предохранительным клапаном. Работает в любом положении

Номер схемы	Наименование	Схема	Диаметр условного прохода Думм
4	Кран с электро-, механическим при- водом		25—100

Широкое распространение в отечественной промышленности получили вакуумные затворы, один из которых представлен на рис. 16.4 (схема 1 табл. 16.3).

В открытом положении тарелка 3 расположена вертикально в корпусе 2. При вращении эксцентрикового валика 7 по часовой стрелке тарелка поворачивается на 90° и занимает горизонтальное положение. В это время еще сохраняется небольшой зазор между тарелкой и резиновым уплотнителем 4. При дальнейшем вращении эксцентрикового валика выдавливается фиксатор 8, а рычаг 5 вдвигается в рамку 9. Затем эксцентриковый валик начинает опускать вниз левое плечо рычага 5 и через шарикоподшипник 10 прижимает тарелку к резиновому уплотнителю.

При применении электропривода вращение валика 7 ограничивается концевыми выключателями, а при ручном закрытии — упорами. Открытие затвора осуществляется при вращении эксцептрикового валика против часовой стрелки.

Вал, передающий вращение к эксцентриковому ралику, вращается в патрубке, приваренному к корпусу Уплотнение валика в патрубке осуществляется по схеме 1 табл. 15.3. Ведущий вал связан с эксцентриковым валиком через крестоподвижную муфту.

Область применения	Уплотнение подвижного элемента	Примедание
а) Вакуумные системы с давлением р больше $10^{-3}$ Па; 6) вакуумные системы с давлением р больше $10^{-2}$ Па; в) вакуумные системы с давлением р меньше $10^{-5}$ Па	а) Уплотнение што- ка резиновыми арми- рованными манжета- ми по схеме 2 табл. 15.3; б) уплотнение што- ка резиновой диа- фрагмой; в) уплотнение што- ка металлическим сильфоном по схеме 1 табл. 15.4	

При применении электропривода вращение от электродвигателя передается ведущему валу через двухступенчатый редуктор с прямозубой и червячной передачами.

Для предохранения механизма от перегрузок предусмотрена фрикционная многодисковая муфта.

В зависимости от компоновки вакуумной системы затвор может быть как угловым, так и прямоточным.

Затвор имеет небольшие габариты в плане при сравнительно большой высоте. К недостаткам затвора следует отнести наличие сальникового уплотнения и значительное время закрытия.

Очень удобны для перекрытия трубопроводов больших сечений затворы, обладающие малыми осевыми размерами и оказывающие незначительное сопротивление потоку откачиваемого газа. Конструкция затвора ДУ-160, выполненная по схеме 2 табл. 16.3, приведена на рис. 16.5.

Тарелка 5 с резиновым уплотнителем 7 перекрывает отверстие затвора, уплотняясь по седлу, сделанному за одно целое с крышкой 10. Тарелка подвешена на четырех серьгах 6 к каретке 4, перемещающейся на шарикоподшипниках 12 в пазах корпуса 9. Движение каретке сообщается кривошипом 3, который также имеет опоры

качения. Уплотнение вала кривошипа 3 осуществляется двумя резиновыми кольцами, пространство между которыми заполняется вакуумным маслом (см. схему 1 табл. 15.3). В крайних положениях затвора кривошип стонорится фиксатором 2, вмонтированным в рукоятку 1. При повороте рукоятки по часовой стрелке каретка перемещается вправо до тех пор, пока тарелка не упрется в крышку. При дальнейшем движении каретки вправо серьги выпрямляются, а тарелка опускается вниз и уплотняет отверстие затвора.

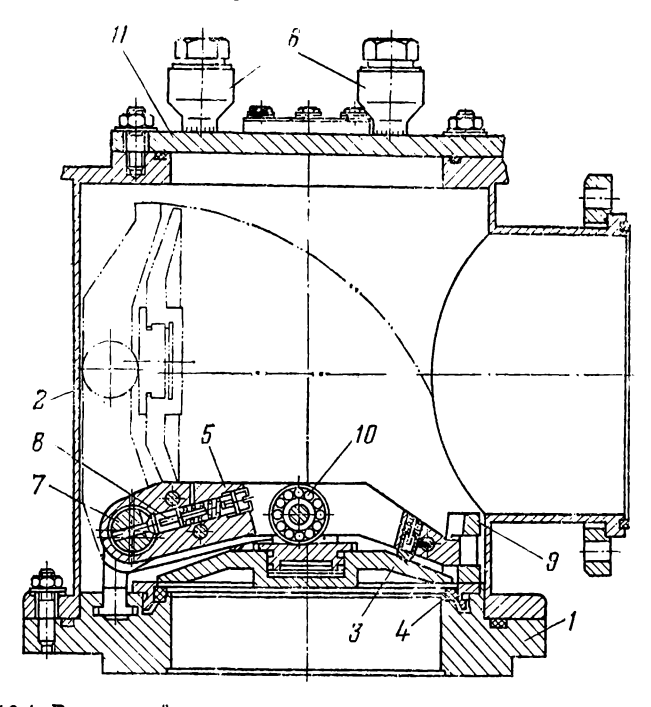


Рис. 16.4. Вакуумный затвор.  $1 - \phi$ ланец; 2 -корпус; 3 -тарелка клапана; 4 -резиновый уплотнитель: 5 -рычаг; 6 -штуцер; 7 -эксцентриковый валик; 8 -фиксатор; 9 -рамка; 10 -шарикоподшипник; 11 -заглушка.

Открытие затвора производится вращением рукоятки 1 против часовой стрелки. При этом в первый момент тарелка двумя пружинами 11 подтягивается вверх и вправо, а затем вместе с кареткой перемещается в карман, образованный крышками 10 и 8 и корпусом 9, полностью открывая проходное сечение затвора.

## Затворы для непрогреваемых вакуумных систем

Номер схемы	Наименование	Схема	Диаметр условного прохода ДУ, мм	Область примене- ния	Уплотнение подвижного элемента	Примечание
1	Затвор с экс- центриковым механизмом уп- лотнения		80—900	В вакуумных системах с давлением $p=10^{-3}\div 10^{-5}$ Па	Уплотнение эксцентрикового валика выполнено по схеме 1 табл. 15.3	Имеет руч- ной или элек- тромеханиче- ский привод
2	Затвор с под- веской тарелки на шарнирном параллелограм- ме		80—12(0	В вакуумных системах с давлением <i>р</i> больше 10 <sup>-4</sup> Па	Уплотнение ввода движения выполнено по схемам 1, 2 табл. 15.3	Имеет ручной или электроме- ханический при- вод

Затвор не разуплотняется под действием атмосферного давления с любой стороны тарелки. Затворы, снабженные электроприводом, могут управляться дистанционно.

Однако существенным недостатком конструкции описанного затвора является наличие в вакуумной полости элементов привода, таких как подшипники, направляющие, рычаги и т. д., а сальниковое уплотнение требует тщательного ухода и частых ревизий.

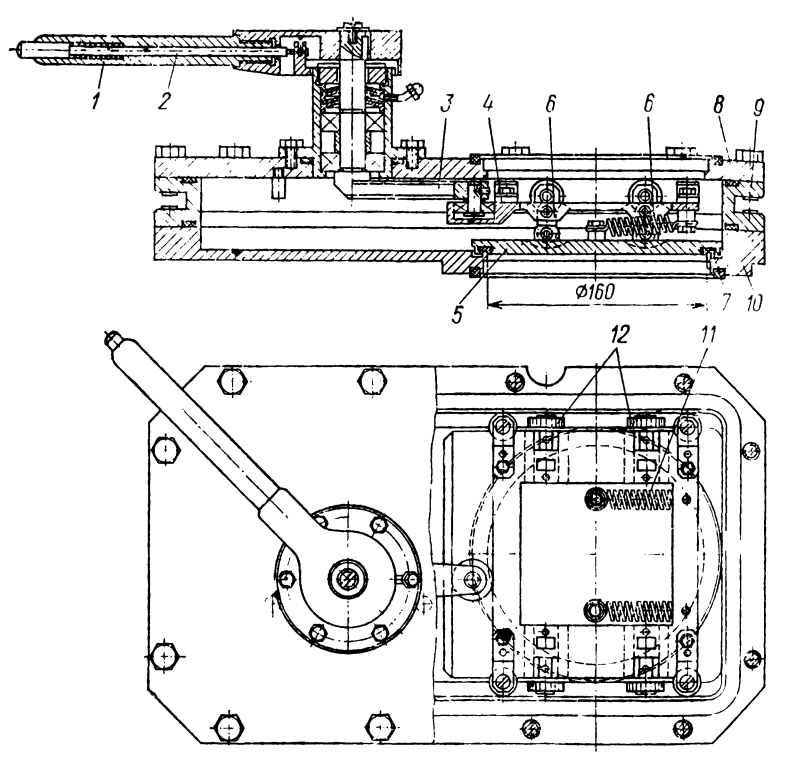


Рис. 16.5. Вакуумный затвор с малыми осевыми размерами.

Коммутационная аппаратура, предназначенная для работы в непрогреваемых вакуумных системах (давление p больше  $5 \cdot 10^{-5}$  Па), обычно изготавливается из малоуглеродистой стали (например, стали 20) и подвергается антикоррозионному покрытию — химическому никелированию или лужению.

в качестве уплотнителей в этой аппаратуре применяют чаще всего вакуумную маслостойкую резину, на-

пример, марки 9024.

усилие уплотнения, при котором обеспечивается необходимая герметичность коммутационной аппаратуры, составляет (10—13)·10<sup>5</sup> Па для резиновых уплотнителей прямоугольного сечения и (6—17)·10<sup>5</sup> Па для суплотнителей трапецеидального сечения.

## 16.3. КОММУТАЦИОННАЯ АППАРАТУРА ДЛЯ ПРОГРЕВАЕМЫХ ВАКУУМНЫХ СИСТЕМ

Уплотнение клапанов коммутационной аппаратуры, предназначенной для работы в области сверхвысокого вакуума, может осуществляться как за счет расплавления и затвердевания металла или сплава с низкой температурой плавления и низкой упругостью пара при температуре плавления (жидкометаллические уплотнения), так и за счет деформации металлического или синтетического уплотнителя с малым газовыделением (например, резины ИРП-2043).

Жидкометаллические уплотнения применяются ограниченно из-за большого времени срабатывания аппаратуры, эксплуатационных неудобств, связанных со взаимодействием жидких металлов и сплавов со стенками аппаратуры и атмосферным воздухом, а также из-за неизбежного попадания частиц расплавленного металла в вакуумную систему.

Промежуточное положение между расплавляемыми и деформируемыми уплотнениями занимают уплотнения с использованием *индия* и его сплавов.

Основные схемы уплотнения кранов с использованием пластических деформаций приведены в табл. 16.4.

Удельное давление, необходимое для уплотнения крана, выполненного по схеме 1 табл. 16.4, невелико. Приложение чрезмерного усилия может привести к выдавливанию индия из канавки. Поэтому в конструкциях кранов с индиевым уплотнением необходимо предусматривать ограничители усилия закрытия. При обезгаживании прогревом до температуры, превышающей температуру плавления индия, кран необходимо монтировать таким образом, чтобы не происходило вытекания индия, либо прогревать его в закрытом состоянии.

Наибольшее распространение в промышленности получили цельнометаллические прогреваемые краны, в ко-22\*

Таблица 16.4 Схемы уплотнений кранов с использованием пластической деформации

	Схема уг	ило г <b>не</b> ния	Лиаметр ус-		Удельное давление
Номер схемы	Уплотненное положение	Открыгое положение	Диаметр условного про- хода крана ДУ, мм	Материал уплот <b>н</b> ителя	уплотнения, отне- сенное к 1 мм пери- метра уплотнения, Н/мм
1	ī		10—500	Индий	8—10
2		*	10—250	Медь	400600
_			10-200	Алюми- ний	150—200
3			10—150	Мель	47—53
4		R0.1	10—500	Медь	150
5			10—100	Мель	80—120

торых уплотнение происходит за счет пластической де-

формации материала тарелки клапана или седла.

В уплотнении, выполненном по схеме 2 табл. 16.4, герметизация осуществляется за счет смятия конуса клапана кромками отверстия корпуса крана. Конус клапана изготавливается из мягкого материала, чаще всего из отожженной меди или алюминия.

Шероховатость уплотняющих кромок седла должна рыть не более 0,5 мкм, а конической поверхности клапана— не более 1 мкм. На конической поверхности не допускаются риски, забоины и другие механические дефекты.

С целью уменьшения уплотняющего усилия иногда применяются краны, в которых уплотнение происходит при врезапии острых кромок седла корпуса в конус клапана, изготовленного из более мягкого материала (как показано на схеме 3 табл. 16.4). При этом первоначально срезаемая стружка составляет 0,1—0,15 мм. За одно закрытие режущая кромка седла врезается в медный конус всего на несколько микрон, что позволяет производить многократные закрытия крана без смены конуса.

У Число рабочих циклов кранов с медным клапаном невелико, например, для кранов с уплотнением клапана по схеме 2 табл. 16.4 составляет всего 500—1000 циклов (открытий — закрытий). Такое малое число рабочих циклов обусловлено тем, что в конструкциях цельнометаллических кранов с ручным и электромеханическим приводом трудно обеспечить постоянство усилия на штоке клапана, и поэтому приходится с каждым новым циклом вновь деформировать уплотняющий элемент, что требует приложения постоянно вограстающего усилия.

В кранах с уплотнением по схеме 4 табл. 16.4 достигается практически постоянная ширина кольца смятия грибка независимо от точности изготовления и сборки, что обеспечивает уменьшение усилия уплотнения и увеличение более чем на порядок числа рабочих циклов по сравнению со схемой 2 табл. 16.4

В уплотнении, выполненном по схемам 5 табл. 16.4, герметизирующим элементом является медное кольцо, изготовленное из проволоки. Конструкция уплотнения достаточно проста и надежна. Число рабочих циклов лостигает 3000 без замены уплотняющего элемента.

Схемы коммутационной аппаратуры для прогревае-

Таблица 16.5 Коммутационная аппаратура для прогреваемых сверхвысоковакуумных систем

Номер	<b>Най</b> меновани <b>е</b>	Схема	Диаметр услов- ного прохода ДУ, мм	Приме чания
1	Кран с винтовым механизмом перемещения штока	TOTOLOGO COLOR OF THE PARTY OF	10—200	Имеет ручной или этектроме- ханический при- вод
2	Кран с порш- невым приво- дом штока	DODODOOO	25—500	Имеет ппевма- тический или гидравлизеский привод

Кран, выполненный по схеме 1 табл. 16.5, представлен на рис. 16.6. Сменный медный клапан 4 крепится к штоку 3, перемещающемуся во втулке по посадке второго класса точности. Высокие требования предъявля. ются к правильности геометрической формы конической поверхности клапана и кромок седла и их соосности. При этом достигаются равномерный отпечаток кромок седла на конической поверхности клапана и, следовательно. равные удельные давления по всему периметру уплот, нения. Узел 8 с сильфоном 6 уплотняется с корпусом 5 медным уплотнителем 7. Медный уплотнитель затягивается гайками 9. Усилие уплотнения создается винтом 1 и передается на корпус крана через дополнительный фланец и болты 2, что исключает возможность разуплот-

нения сильфонного узла 8 с корпусом при закрытии

крана.

При проходных сечениях более 63 мм для получения

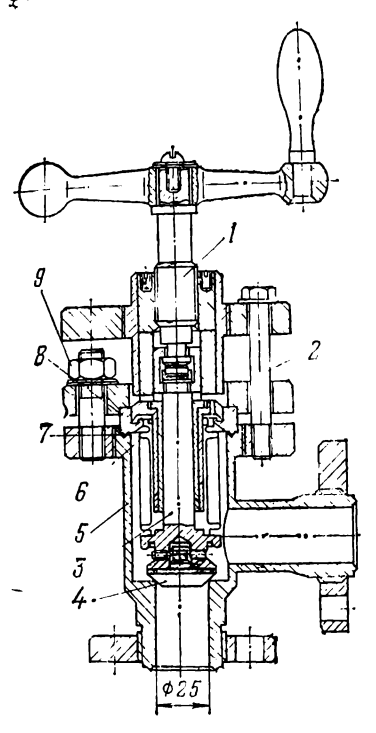


Рис. 16.6. Цельнометаллический прогреваемый кран с винтовым механизмом перемещения штока.

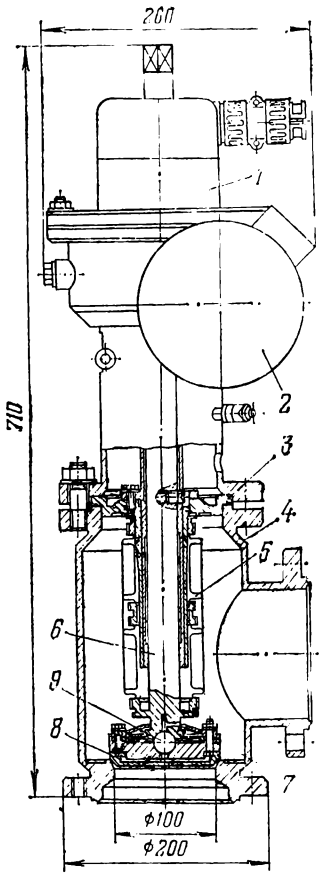


Рис. 16.7. Цельнометаллический прогреваемый кран с электромоторным приводом.

надежного уплотнения при многократных срабатываниях тарелку клапана подвешивают на шарнире и гибкой диафрагме. Такая подвеска тарелки применена в конструкции крана с электроприводом, который изображен на рис. 16.7. Диафрагма 7, изготовленная из нержавеющей стали, является гибкой подвеской тарелки клапана 8.

Усилие, развиваемое электродвигателем 2, передается через червячный редуктор I, винтовую пару и предварительно сжатые тарельчатые пружины (на рисунке не показаны) на шток 6. Тарельчатые пружины обеспечивают сохранение уплотняющего усилия в заданных пределах, несмотря на некоторые неточности в конечном положении системы при остановке электродвигателя и деформацию конической поверхности тарелки.

Предварительный натяг тарельчатых пружин в данной конструкции составляет примерно 20 000 Н. Шток через шарик 9 передает усилие на тарелку клапана и уплотняет ее по острой кромке корпуса 4. Открытое и закрытое положения крана ограничиваются концевыми выключателями. После каждой переборки крана, так же как и в предыдущей конструкции, необходимо проточкой удалить отпечаток седла на конусе тарелки клапана. В этой конструкции крана также требуется обеспечить полное отсутствие забоин и рисок на уплотняющих поверхностях и высокую точность сборки (так, несорсность конической поверхности клапана и уплотняющей кромки корпуса допускается не более 0,15 мм). Недостаток конструкции крана состоит в том, что уплотняющее усилие воспринимается теми же шпильками, которые затягивают уплотнитель 3, уплотняющий сильфонный узел 5 с корпусом.

Число рабочих циклов кранов с медным клапаном может быть повышено путем применения пневматического или гидравлического привода (схема 2 табл. 16.4).

Коммутационная аппаратура, предназначенная для работы в сверхвысоковакуумных системах (давление меньше  $5 \cdot 10^{-5}$  Па), обычно обезгаживается прогревом в вакууме до температуры 500-900 К.

Для прогрева аппаратуры чаще всего применяют на гревательные элементы в виде спиралей из нихромовой проволоки, которыми обматывается аппаратура. В качестве электрической изоляции используют керамические бусы или чулки из термостойкой стеклоткани.

Все резьбовые элементы (гайки, винты, шпильки) в целях исключения прихватывания покрываются дисульфидом молибдена или сульфидируются. Корпуса аппаратуры, предназначенной для работы в области сверхвысокого вакуума, как правило, изготовляются из нержавеющих сталей.

Вакуумные системы современного откачного обору-

дования содержат, кроме средств откачки, большое количество коммутирующих элементов и соединительных трубопроводов. Так, например, для откачки изделия на обычном современном посту с помощью пароструйного диффузиочного и механического вакуумного насосов необходимо иметь три отдельных вакуумных крана, котопые должны открываться и закрываться в определенной последовательности. При этом затруднена взаимная блокировка кранов, а габариты вакуумной системы в целом получаются значительными. Стремление упростить обслуживание и исключить возможные ошибки оператора при работе с кранами приводит к необходимости компоновки коммутирующих элементов в едином блоке с жесткой последовательностью переключений. В тех случаях, когда блоки коммутирующих элементов используются в установках и автоматах, предназначенных для откачки электровакуумных приборов через откачное гнездо (см. § 15.5) также является необходимым элементом блока.

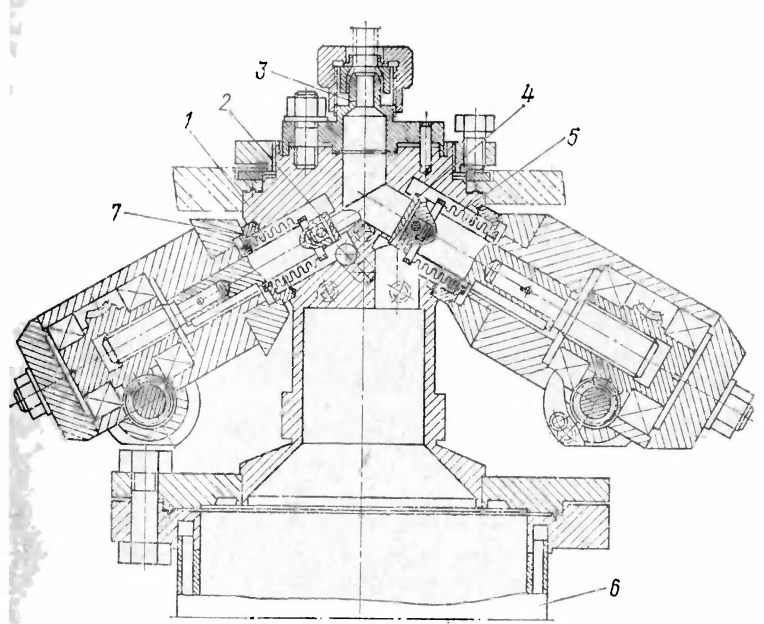


Рис. 16.8. Цельнометаллический прогреваемый блок кранов с откачным гнездом.

<sup>1—</sup>корпус блока; 2— кран форвакуумной откачки; 3— откачное гнездо: 4—кран высоковакуумной откачки; 5—7—сильфонные узлы: 5—иопно-геттерный насос.

На рис. 16.8 показана конструкция цельнометаллического блока кранов. На верхнем торце блока кранов укреплено откачное гнездо 3, предназначенное для соединения с металлическим штенгелем электровакуумного прибора. Предварительная откачка прибора производится через кран 2, а высоковакуумная откачка — через кран 4. Краны 2 и 4 имеют одинаковое конструктивное исполнение и отличаются лишь габаритами. Подвижное уплотнение штоков кранов выполнено на металлических сильфонах 5 и 7 (схема 1 табл. 15.4). Краны собираются в виде отдельных узлов, уплотняемых с корпусом 1 через медные уплотнители. Управление кранами осуществляется через червячные передачи, благодаря чему не требуется от оператора приложения чрезмерного усилия.

# 16.4. УСТРОЙСТВА ДЛЯ НАПУСКА ГАЗА В ВАКУУМНЫЕ СИСТЕМЫ [НАТЕКАТЕЛИ]

При работе с газоанализаторами, испытаниях различной вакуумной аппаратуры, а также в ряде других случаев бывает необходимо создавать дозированный поток газа в вакуумный сосуд. Для этого применяют устройства, основные принципиальные схемы которых приведены в табл. 16.6.

В лабораторной практике и мелкосерийном электровакуумном производстве нашли применение стеклянные порционные или капиллярные двухходовые краны (схема·1 табл. 16.6).

Основными недостатками стеклянных кранов являются их малая надежность, необходимость применения смазки и трудность автоматизации процесса напуска газа.

В устройствах, выполненных по схеме 2 табл. 16.6, применяют либо пористые материалы (керамику, мсталлокерамику, стекла), натеканис через которые регулируется перекрытием легкоплавким материалом части поверхности, либо используют явление диффузии некоторых газов через материал. Наиболее распространеный гелиевый диффузионный натекатель нашел применение главным образом для калибровки гелиевых масс-спектрометрических теченскателей. Принцип действия диффузионного натекателя основан на значительной и постоянной во времени диффузии гелия при комнатной

## Устройства для напуска газа в вакуумные системы (натекатели)

Но <b>м</b> ер схемы	Наименовавяе	Схема	Область применения	Примеч анил
1	Стеклянный двухходовой кран		Наполнение газона- полненных приборов до заданного давления	
2	Диффузионный натекатель		Калибровка гелиевых масс-спектрометрических течеискателей. Калиб ровка датчиков давления, потокомеров	Материал перегородки чаще всего серебро кварц или материалы с определенной проводимостью (пористая керамика, стекло и т. п.)

Номер сх <del>е</del> мы	Наименование	Схема
3	Термодиффузи- онный натекатель	
4	Игольчатый на- текатель	

	Область применения	Примеданиз
-	Напуск чистых газов в вакуумные системы	Материал перегородки чаще всего серебро, ни- кель, палладий
₽-	Напуск любых газов и их смесей в вакуумные системы	Наименьший поток напускаемого газа $1,3\times \times 10^{-10}$ м $^3\cdot \Pi$ а/с, наибольший $-7\cdot 10^{-2}$ м $^3\times \times \Pi$ а/с

температуре через кварцевую трубку 2, впаянную в стеклянный баллон 1, заполненный гелием.

Работа термодиффузионных натекателей (схема 3 табл. 16.6) основана на повышенной диффузии газов через некоторые материалы при их нагреве. Например, если палладиевую трубку 1, закрытую с одного конца, спаять со стеклянной трубкой 2, то ее можно использовать как фильтр, пропускающий только водорол; последний диффундирует через степки трубки, нагретой пагревателем 3 до температуры выше 750 К.

С этой же целью можно использовать нагретые перегородки из никеля, железа, платины, хотя скорость диффузии водорода через эти материалы меньше, чем через палладий.

Для напуска чистого кислорода обычно используют серебряную трубку, нагреваемую до высокой температуры. Скорость лиффузии газов в термодиффузионных натекателях спределяется разностью давления и температурой металлической перегородки. Значительными преимуществами диффузионных и термодиффузионных натекателей являются высокая степень чистоты напускаемых газов и возможность автоматизации процесса напуска.

Конструкция игольчатого натекателя с ручным управлением по схеме 4 табл. 16.6 приведена на рис. 16.9. Поток газа регули-Руется погружением тонкой стальной закаленной коннческой иглы 10 с углом конуса 2° в отверстие медного седла 3. Перемещение иглы в осевом направлении осуществляется вращением гайки 9 с дифференциальной резьбой, люфт в которой выбирается пружиной 5. В качестве подвижного уплотнения нглы применен металлический силь-

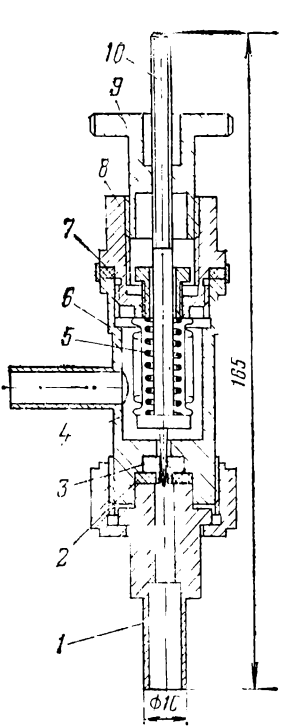


Рис. 16.9. Игольчатый натекатель.

1 — штуцер; 2, 7 — уплотнигели: 3 — медное селло: 4 сильфон; 5 — пружина; 6 — корпус; 8 — втулка, 9 гайка: 10 игла. фон 4. Сильфонный узел уплотняется с корпусом через резиновый уплотнитель 7.

Наименьший поток газа, напускаемый этим натекателем, составляет  $1 \cdot 10^{-10}$  м<sup>3</sup>·Па/с. Очень тонкое регулирование потока газа, напускаемого в вакуумную систему, можно осуществить путем уменьшения перепада давлений на натекателе. Для этого применяют два последовательно установленных натекателя с промежуточным сосудом. На первом натекателе создается основная часть перепада давлений.

Кроме схем устройств, приведенных в табл. 16.6, часто в вакуумной технике для напуска определенного газа используют так называемые генераторы газа—вещества, легко разлагающиеся при изменении внешних условий. Например, напуск кислорода в сосуд может быть осуществлен при нагреве до 500—550 К марганцовокислого калия, перекиси бария, закиси меди и других богатых кислородом соединений.

#### **16.5. ЗОЛОТНИКИ**

Золотник является коммутирующим элементом в карусельных откачных машинах и представляет собой прижатые друг к другу диски с притертыми торцевыми поверхностями. Один из дисков неподвижен, а другой пе-

Таблица 16.7 Схемы золотников карусельных откачных машин

Номер схемы	Наиме <b>ж</b> ≏вани <b>е</b>	Схема	Область примемения	
1	Золотник с пло- скими дисками и кольцевыми канав- ками	К откачному гнезду ————————————————————————————————————	Карусельные ма- шины для откатки электровакуумных приборов средней мощности	
2	Золотник с пло- скими дисками и масляным затво- ром	К стикочному енезду 22	Карусельные ма- шины для откачки ПУЛ	

риодически поворачивается с каруселью откачной машины. На притертых поверхностях дисков золотников имеются отверстия, периодически совмещающиеся при остановке карусели.

Отверстия в подвижном диске соединены с частью вакуумной системы, размещенной на карусели, а отверстия неподвижного диска соединены со стационарной вакуумной системой.

В табл. 16.7 приведены принципиальные схемы наиболее распространенных конструкций золотников.

Диски золотника, изготовленного по схеме 1 табл. 16.7, плоские. Для предотвращения натекания по плоскости разъема золотника применены кольцевые канавки, откачиваемые механическим вакуумным насосом или заполняемые вакуумным маслом.

На рис. 16.10 показан золотник с плоскими дисками *1* и 2 (схема 2 табл. 16.7) с периферийными канавками,

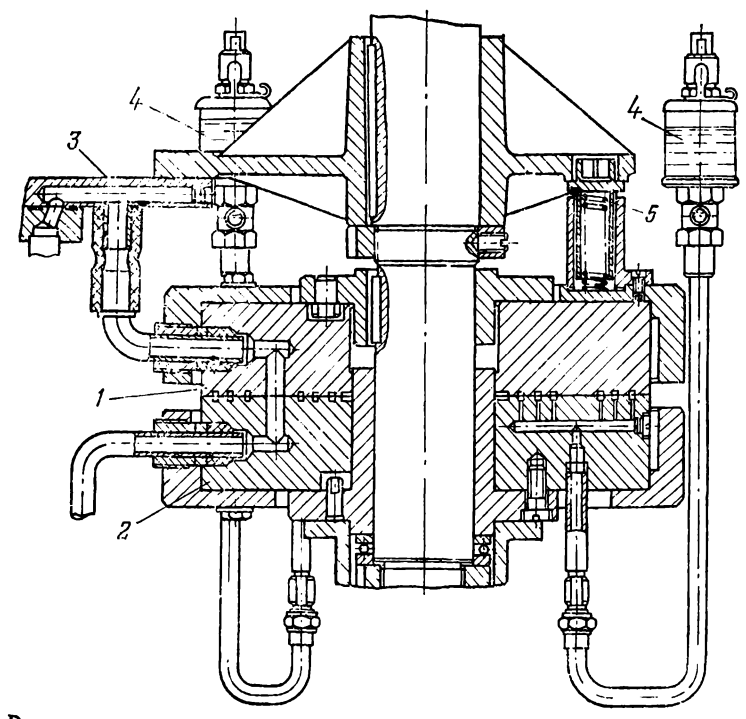


Рис. 16.10. Золотник с плоскими дисками.

<sup>1-</sup> подвижный диск; 2- неподвижный диск; 3- канал о качного гнезда; 4- масленка; 6- пружина.

в которые поступает вакуумное масло из масленки 4. Для более надежного прилегания дисков применены пружины 5. Подвижный диск 1 резиновыми шлангами соединен с каналом 3 откачного гнезда.

### Глава семнадцатая

### КОНСТРУКЦИОННЫЕ МАТЕРИАЛЫ

### 17.1. ОСНОВНЫЕ ТРЕБОВАНИЯ, ПРЕДЪЯВЛЯЕМЫЕ К КОНСТРУКЦИОННЫМ МАТЕРИАЛАМ

Требования, которые предъявляются к конструкционным материалам, используемым в вакуумной технике, существенно отличаются от принятых в общем машиностроении и часто вообще не учитываются в иных областях техники.

Рассмотрим основные специфические требования, которым должны удовлетворять материалы, используемые в вакуумной технике.

1. Высокая вакуумная плотность при минимальной толщине материала (см. гл. 4).

2. Низкое давление насыщенных паров материала при рабочей температуре (см. гл. 5).

3. Наименьшее возможное газовыделение в вакууме и легкость обезгаживания (см. гл. 2, 3).

Скорости удельного газовыделения различных материалов при комнатной температуре приведены на рис. 17.1 и 17.2.

Учитывая большое разнообразие конструкционных материалов, используемых в вакуумной технике, ограничимся рассмотрением лишь основных материалов.

### 17.2. МЕТАЛЛЫ И ИХ СПЛАВЫ

Металлы и их сплавы являются основными конструкционными материалами, из которых изготавливается большинство элементов и узлов современных вакуумных систем.

Малоуглеродистые и углеродистые стали (сталь Ст. 3, сталь 20, сталь 45, сталь 40х и др.) широко используются для изготовления элементов и узлов вакуумных систем с давлением не ниже  $1 \cdot 10^{-4}$  Па. Для исключения коррозии стальные детали, как прави-

до, кромируются или никелируются. Эти материалы, как по, хром. годержанием никеля меньше 8%, нельи другие ври температурах ниже 223 К из-за повы-

зя при хрупкости при низких температурах.

нержавеющие стали (сталь 2X13, 12X18H10T и др.) являются основным материалом, из которого изи др./ потавливаются высоковакуумные и сверхвысоковакуумные системы. Эти стали обладают высокой коррозионной ные слойкостью, хорошо обезгаживаются прогревом, превосходно свариваются аргонодуговой и электронно-лучевой сварками, паяются мягкими и твердыми припоями и обычно применяются при температуре не выше 1200 К.

Медь (M1, MB) является основным материалом для изготовления корпусов многих типов электровакуумных приборов, уплотнительных элементов коммутирующей аппаратуры, теплообменников, токовводов и т. п. Медь

обладает высокой вакуумной плотностью.

Латунь (Л63, ЛС59-1) в вакуумной технике имеет ограниченное применение из-за летучих примесей, главным образом цинка, который при нагревании латуни в вакууме легко испаряется, в результате чего становится пористой.

Алюминий (АД-1) и его сплавы часто используются для изготовления внутренних элементов пароструйных насосов, а также для уплотнителей в разборных соединениях.

Ковар (железоникелькобальтовый сплав), имеющий температурный коэффициент линейного расширения (43—53) ·10-7 1/°С, весьма близкий к коэффициентам линейного расширения некоторых сортов стекла, применяется главным образом для спаев стекла с металлом. Ковар имеет низкую теплопроводность и часто используется для изготовления тепловых развязок.

Вольфрам ( $t_{n,i}$ =3670 K) из всех металлов имеет самую высокую температуру плавления и самое низкое давление паров. Поэтому из вольфрама чаще всего изготавливают нагревательные элементы. Недостатками вольфрама являются его хрупкость и трудность его механической обработки. Наибольшая рабочая температура в вакууме составляет 2800 К.

Молибден ( $t_{пл}$ =2900 K) менее хрупок, чем воль-Фрам, и, будучи также тугоплавким материалом, применяется для изготовления нагревателей, тепловых экранов и для деталей спаев с некоторыми сортами стекла. 23-1081 353 Наибольшая рабочая температура в вакууме достигает 2000 К.

Никель ( $t_{\text{пл}}$ =1725 K) и некоторые его сплавы часто применяются для изготовления сложных паяных узлов и экранов.

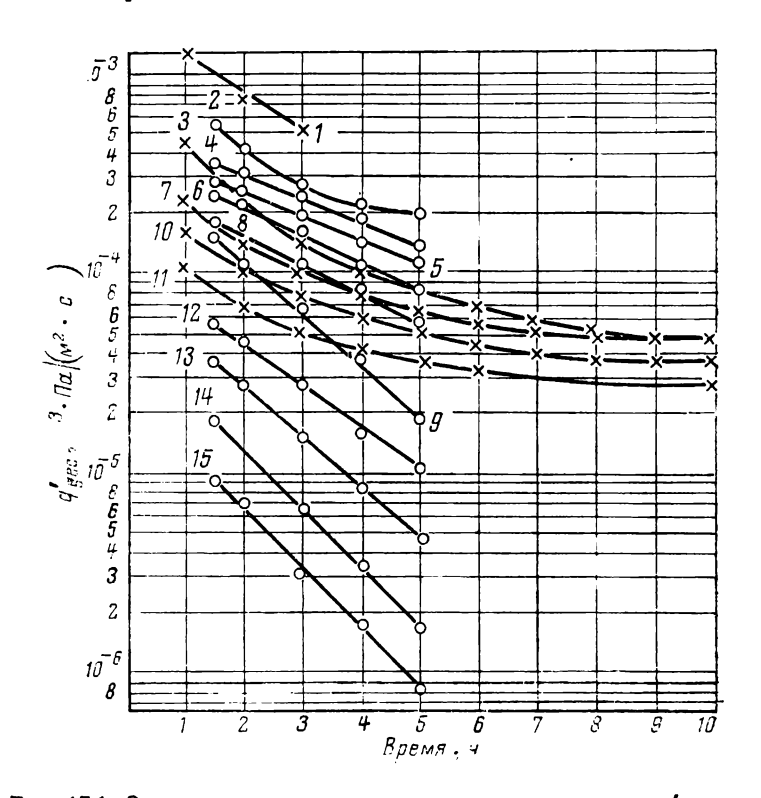


Рис. 17.1. Зависимость скорости удельного газовыделения  $q'_{\rm ras}$  различных металлов от времени откачки при комнатной температуре. I — алюминий; 2 — дюралюминий пеобработанный; 3 — мягкая сталь; 4 — дюралюминий, промытый бензолом и ацетоном; 5 — латунь необработанная; 6 — латунь, промытая бензолом и ацетоном; 7 — дюралюминий; 8 — медь необработанная; 9 — нержавеющая сталь необработанная; 10 — латунь; 11 — нержавеющая сталь; 12 — медь, промытая бензолом и ацетоном; 13 — дюралюминий протравленный, промытый бензолом и ацетоном; 14 — латунь протравленная, промытая бензолом и ацетоном 15 — медь протравленная, промытая бензолом и ацетоном.

Наиболее важные вакуумно-технические характеристики основных металлов, применяемых в вакуумной технике, приведены на рис. 17.1 и в приложениях.

#### 17.3. НЕМЕТАЛЛИЧЕСКИЕ МАТЕРИАЛЫ

К этой группе материалов относятся главным образом стекло, керамика, резина и некоторые синтетические материалы. Скорости удельного газовыделения из ряда неметаллических материалов показаны на рис. 17.2.

Стекло. Стекло обладает многими положительными свойствами, которые сделали его одним из самых распространенных материалов. Важнейшими свойствами стекла, выгодно отличающими его от других материалов,

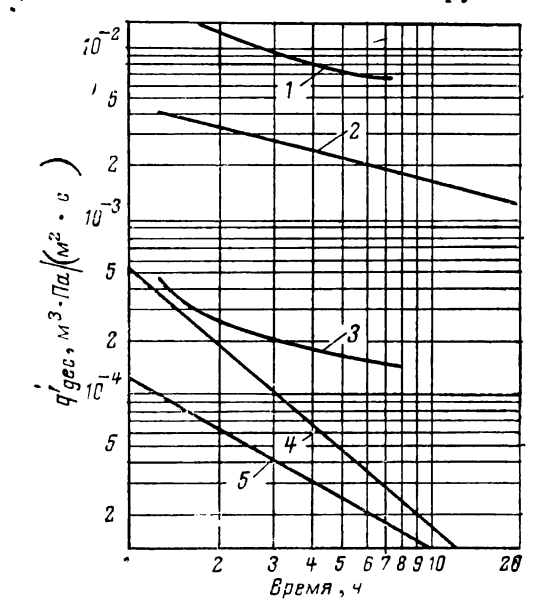


Рис. 17.2. Зависимость скорости удельного газовыделения  $q'_{ras}$  некоторых материалов от времени откачки при комнатной температуре.

1 — нейлон; 2 — органическое стекло; 3 — фторопласт; 4 — пицеин; 5 — стеатит.

являются: прозрачность, хорошие электроизолирующие свойства, способность принимать и сохранять сложную форму, простота вакуумно-плотного соединения стеклянных деталей друг с другом и с металлом; стекло в обычных условиях практически непроницаемо для большинства газов (кроме гелия). По температурным коэффициентам линейного расширения (ТКЛР) стекла различных составов образуют две группы.

Легкоплавкие стекла (С90-1, С88-1) имеют ТКЛР (60—100)  $\cdot 10^{-7}$  1/°С и относительно низкую тем-

23\*

пературу размягчения 770—850 К. Легкоплавкие стекла применяются главным образом для изготовления неответственных элементов (стеклянных ловушек, колб, плоских ножек и т. п.) и спаиваются с металлами на основе железа.

Тугоплавкие стекла (СЗ9-1, С40-1 и др.) имеют ТКЛР (З4—55)·10<sup>-7</sup> 1/°С и температуру размягчения 770—1100 К. Эти стекла обладают высокими диэлектрическими свойствами и термостойкостью. Механическая прочность их выше, чем у легкоплавких стекол. Поэтому тугоплавкие стекла применяют для изготовления электрических токовводов, иллюминаторов высоковакуумных систем, ножек электровакуумных приборов и т. п.

По спаиваемости с металлами тугоплавкие стекла делятся на молибденовые (С47-46, С49-3) и вольфрамовые (С39-1, С40-1 и др.).

Молибденовые стекла хорошо спаиваются с молибденом и коваром. Вольфрамовые стекла отличаются более высокой химической стойкостью и применяются для изготовления ответственных деталей, работающих при высоких температурах.

Кварцевое стекло отличается от обеих групп стекла тугоплавкостью (температура начала размягчения 1520 К) и малым температурным коэффициентом линейного расширения.

Существенным недостатком кварцевого стекла является заметная проницаемость гелия даже при комнатной температуре, причем с ростом температуры проницаемость гелия интенсивно увеличивается.

**Керамика.** В сверхвысоковакуумных системах и в электровакуумных приборах в качестве изоляторов применяют керамику. Керамические изоляторы механически прочны, обладают высоким электрическим сопротивлением, большой теплостойкостью и способны образовывать вакуумно-плотные соединения с некоторыми металлами и сплавами.

Для изготовления металлокерамических изоляторов чаще всего используют алюмооксидную (22XC, M7), стеатитовую (K-1, ЛК-1) или форстеритовую (ЛФ-11,  $KB\Phi$ -4) керамику.

Вакуумные резины. Вакуумные резины нашли широкое применение главным образом в качестве уплотнителей в разъемных соединениях и в вакуумных вводах движения.

Таблица 17-1 Физико-механические свойства резин

•	Марки резины					
Показател	7 <b>88</b> 9	9024	51-1578	51-1433	ИРП-1345	
Минимальная рабочая температура в вакууме, К	243	240	250	220	<b>24</b> 0	
Максимальная рабочая температура в вакууме, К	350	360	470	470	470	
Стойкость по отношению к маслу и бензину	Нестойкая	Маслостойкая	Маслобензо- стойкая	Маслобензо- стойкая	Маслобензо- стойкая	
Удельный поток газовыделения при максимальной рабочей температуре, м <sup>3</sup> ·Па/(м <sup>2</sup> ·с)	5,3.10-5	2,7 · 10-5	5,2:10 <sup>-4</sup> 7,8:10 <sup>-7</sup> *	1,9 · 10-4	2,7 · 10-4	
Характеристика продуктов газовыде- ления [твердые (ТВ), жидкие (Ж), газообразные (Г)]	тв; ж; г	тв; ж; г	тв; г	Ж; Г	Г	
Проницаемость при давлении 10 <sup>5</sup> Па и температуре 298 K, м <sup>3</sup> ·Па/(м <sup>2</sup> ·с):						
по азоту	$2,3\cdot 10^{-7}$	2,5 · 10 - 8	3,9·10 <sup>-10</sup> 4,0·10 <sup>-9</sup> **	2,0 · 10-7	<b>4,0</b> ·10 <sup>-8</sup>	
по кислороду по водороду	1,2·10- 2,6·10-	1,5·10 <sup>-7</sup> 5,4·10 <sup>-7</sup>	 		-	
по гелию	-	5,4 • 10-7			-	

После обезгаживания.
 При 373 К.

Уплотнители для вакуумных систем изготавливаются из резин марок 7889, 9024, 51-1578, 51-1433 и др. Одной из важнейших характеристик вакуумных резин является их проницаемость (табл. 17.1).

Наибольшей проницаемостью из газов обладает водород, затем в порядке уменьшения следуют гелий, кислород и азот. Кроме перечисленных выше газов, резины проницаемы для паров многих растворителей (бензол, бензин, этиловый эфир, толуол и др.), а также для сложных газов (аммиак, этан, хлористый водород).

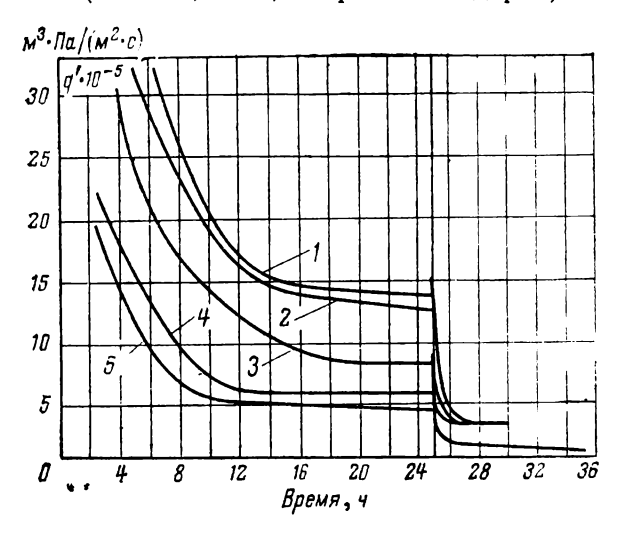


Рис. 17.3. Зависимость скорости удельного газовыделения  $q'_{\rm ras}$  резин различных марок от времени их прогрева. 1 — резина 1015 при 350 К; 2 — резина 9024 при 350 К; 3 — резина 14Р-23 при 473 К; 4 — резина 14Р-2 при 420 К; 5 — резина 7889 при 340 К; вертикальной чертой на кривых отмечево время снижения температуры до 293 К.

При прогреве в вакууме из резины выделяются газообразные, жидкие и твердые продукты, причем скорость выделения этих продуктов увеличивается с возрастанием температуры.

При длительном прогреве резины в вакууме и последующем охлаждении до комнатной температуры скорость газовыделения уменьшается и достигает мало меняющейся величины (рис. 17.3).

Резиновые уплотнители часто вырезаются из пластин (ТУЗ8-105116-70) или склеиваются из шнура прямоугольного или круглого сечения (ТУЗ8-105108-70), одна-358

Таблица 17.2 Удельные скорости газовыделения  ${q'}_{\tt dec}$  из некоторых неметаллических материалов

Материал	<b>q'</b> дес <sup>, м8</sup> ·Па/(м²·с)	г. Примечани <del>е</del>		
Пластмассы	1,2.10-1-4.10-3			
Компаунды	3,3 · 10-1	После обезгаживания при 520 К в течение 120 ч и охлаждения до 430 К		
Пресс-материалы (например, АГ-4С)	1,5·10-1			
Клеи на основе формальдегидных смол (например, БФ-4)	4.10-4	То же		
Лаки (например, МЛ-92)	1,5 · 10-4	То же		
Провода марок ПЭНТ-импдный, ПЭТВ, ПЭФ)	5-10-4*	То же		
Керамика (например, 22ХС)	4-10-6	После выдержки в вакууме при 670 K в течение 72 ч и охлаждении до 293 K		
Стекло известковое натриевое	1,5·10 <sup>-8</sup> 2·10 <sup>-2</sup> 1,5·10 <sup>-6</sup> —1,5·10 <sup>-5</sup>	После выдержки в вакууме при 470 К в течение 2 ч После выдержки в вакууме при 720 К в течение 2 ч После остывания до 293 К		

ко наилучшие результаты получаются при непосредственном формовании резиновой смеси и последующей вулканизации в пресс-формах.

Пластмассы. Фторопласт-4 обладает широким рабочим температурным диапазоном (от 180 до 520 K) и малым собственным газовыделением (примерно в 10 раз меньше, чем у лучших сортов вакуумной резины).

Однако фторопласт-4 имеет малую упругость и большую остаточную деформацию и текучесть, которые возрастают с увеличением температуры и давления. Кроме того, при температуре выше 520 К из фторопласта начинает выделяться фтор.

При изготовлении уплотнителей из фторопласта-4 необходимо, чтобы зазоры в стыках разъемного соединения не превышали 0,1 мм, с тем чтобы предотвратить вытекание уплотнителя.

Сжатие фторопластового уплотнителя целесообразно осуществлять с постоянным поджимом, причем усилие сжатия уплотнителя должно быть не более  $30 \cdot 10^5$  Па.

Из-за высоких диэлектрических свойств, не зависящих от частоты приложенного напряжения и мало зависящих от температуры, фторопласт часто используют для изготовления вакуумно-плотных электрических вводов.

Удельные скорости газовыделения из некоторых неметаллических материалов приведены в табл. 17.2.

#### 17.4. РАБОЧИЕ ЖИДКОСТИ ДЛЯ ВАКУУМНЫХ НАСОСОВ

Рабочие жидкости для механических вакуумных насосов. В качестве рабочих жидкостей механических вакуумных насосов, как правило, используют минеральные масла марок ВМ-4 и ВМ-6 (табл. 17.3).

Таблица 17.3 Физико-химические характеристики масел для механических вакуумных насосов с масляным уплотнением

Марка масла	Давление пара при 293 К, Па	Вязкость кинематическая при 323 K, 10 <sup>8</sup> м <sup>2</sup> /с
BM-4*	6,6·10 <sup>-4</sup> —1,3·10 <sup>-3</sup>	47—57
BM-6**	1,3·10 <sup>-6</sup> —4·10 <sup>-5</sup>	30—40

<sup>•</sup> ГОСТ 7903-56.
•• МРТУ 33-1-261-68. Дистиллятное с узким фракцирным составом: не содержат легколетучих примесей; обладает пологой температурной зависимостью вазкости; презвосходит масло ВМ-4 в несколько раз по окислительной стабильности.

Рабочие жидкости для пароструйных насосов. К рабочим жидкостям для пароструйных вакуумных насосов предъявляются следующие основные требования:

1. Низкое давление насыщенного пара при комнат-

ной температуре.

2. Высокое давление пара при рабочей температуре в испарителе, что обеспечивает работу насоса при относительно высоких выпускных давлениях.

- 3. Однородность состава, так как любое изменение состава жидкости из-за улетучивания отдельных компонентов вызовет изменение характеристик насоса.
- 4. Термическая стабильность при рабочей температуре в испарителе насоса и термоокислительная устойчивость.
- 5. Малая химическая активность по отношению к конструкционным материалам.
- 6. Малая удельная теплота парообразования для уменьшения затрат мощности на создание требуемого количества пара в насосе.
- 7. Малая способность к растворению откачиваемых газов, что обеспечивает получение низких предельных остаточных давлений благодаря малому обратному выделению газов струей пара на впуске насоса.

В настоящее время в пароструйных насосах используют в основном три типа рабочих жидкостей: минеральные масла, сложные эфиры органических спиртов и кремнийорганические соединения. Их основные характеристики приведены в табл. 17.4, 17.5.

Таблица 17.4 Физико-химические характеристики масел для бустерных насосов

Марка масла	Молекуляр- ная масса, кг/кмоль	Плот- ность, кг/м³	Давление пара при 293 К, Па	Вязкость кине матическая при 323 K, ×10 <sup>6</sup> м <sup>2</sup> /с	Тенпота парообразо- вания. кДж/кмоль
BM · 3*		850	$1,3\cdot10^{-2}-1,3\cdot10^{-3}$	7—10	1,13-10 <sup>5</sup>
	350	850	$6,6\cdot10^{-3}-1,3\cdot10^{-4}$	12,5—15,3	1-10 <sup>5</sup>

<sup>•</sup> MPTУ 38-1-261-68. Срок службы в высокопроизводительных насосах небольшой из-за быстрого окисления кислородом воздуха.
•• ГОСТ 9184-75. Аналогично по эксплуатационным свойствам маслу ВМ-3.

Масла, используемые в качестве рабочих жидкостей для пароструйных насосов, обладают следующими характеристиками: низким давлением насыщенных паров

Таблица 17.5 Физико-химические характеристики масел для паромасляных диффузионных насосов

Марка масла	Молекуляр- ная масса, кг/кмоль	Плот- ность, кг/м <sup>3</sup>	Давление пара при 293 К, Па	Предельное остаточное давление наростру <b>й</b> ного насоса, Па	Вязкость кинемати- ческая при 323 К. 10 <sup>6</sup> м <sup>2</sup> /с	Теплота парообразо- вания, кДж/кмоль	Примечания
			λ	Линеральные			
BM-1 FOCT 5.671-70	450	870	5,3·10 <sup>-6</sup> — 2,6·10 <sup>-7</sup>	2,7·10-4	65—69	1,15.105	По мере работы предельное остаточное давление насоса уменьшается. При попадании воздуха в горячий насос масло быстро окисляется и ухудшаются характеристики насоса
BM-5 MPTY 38-1-261-68	450	870	1,3·10 <sup>-6</sup> — 1,3·10 <sup>-7</sup>	1,3 · 10-6	_	_	Масло узкого фракци- онного состава
BM-7 BTYM 3-17-62	_	_	4.10-6	1,3 · 10-4	80—95	_	По сравнению с маслом ВМ-1 обладает более высокой окислительной стабильностью
			C	южные эфи <b>ры</b>			
Продукт ОС ТУЛП-172-65	426	910	2,7·10-8	1,3.10-4	8,5	_	Неустойчив к воздей- ствию паров воды; в ме- таллических насосах бы- стро выходит из строя

Марка масла	Молекуляр- ная масса, кг/кмоль	Плот- ность, кг/м <sup>3</sup>	Давление пара при 293 K, Па	Предельное остаточное давления нароструйного насоса, Па	Вязкость кинемати- ческая при 323 K, 106 м²/с	Теплота парообразо- вания, кДж/кмоль	Примечания
Продукт О <b>Ф</b> ТУЛП-172-65	390	980	1,3 · 10 · - 5	1,3-10-4	_	_	Аналогично эксплуата- ционным свойствам про- дукта ОС
5Ф4Э ТУ 609-447-70	446	1200	1,3 · 10-9	9,3 · 10-7	130	_	_
			Кремі	нийо рганические			
ПЭС-В-1 (ВКЖ-94А) ГОСТ 16480-70	700	970	6,6.10-6	2,7·10-4	16—33	1,19-105	По сравнению с маслом ВМ-1 обладает более высокой окислительной стабильностью
ПЭС-В-2 (ВКЖ-94Б) ГОСТ 16480-70	700	970	1,3·10 <sup>-6</sup> — 1,3·10 <sup>-4</sup>	4·10 <sup>-4</sup> — 1,3·10 <sup>-3</sup>	16—33	_	
ПФМС-2/5л РТУ 6-02-717-73	700	1050— 1070	6,6·10 <sup>-7</sup> — 9·10 <sup>-5</sup>	2,7 · 10-4	8—13	1,24.105	·
ФМ-1 ТУ 11-134-69	546,9	1096	1,3 · 10 · 8	$1,3 \cdot 10^{-7} - 1 \cdot 10^{-6}$	35—37		Характеризуется очень высокой воздухостойко- стью. При многократном контакте горячего мас- ла с атмосферным воз- духом не ухудшает ха- рактеристики насоса

при комнатной температуре, что позволяет получать предельное остаточное давление не выше  $5\cdot 10^{-4}$  Па без использования низкотемпературных охлаждаемых ловушек; химической инертностью и, как правило, отсутствием токсичности. Это обусловило широкое применение масла в качестве рабочей жидкости, несмотря на то, что многие масла неоднородны по фракционному составу, чувствительны к перегревам, склонны к образованию летучих фракций и окислению, имеют значительную газопоглотительную способность.

Все масла в той или иной мере разлагаются при рабочей температуре в кипятильнике насоса и поэтому име-

ют ограниченный срок службы.

Эфиры, используемые в качестве рабочих жидкостей для пароструйных насосов, представляют собой сложные продукты синтеза фталевой и себациновой кислот с высшими спиртами, а также полифениловые соединения. Эти жидкости являются индивидуальными веществами и поэтому однородны по составу, что позволяет получить в насосах весьма низкие предельные остаточные давления около  $10^{-5}$ — $10^{-6}$  Па и ниже.

Кремнийорганические масла представляют собой соединения, молекулы которых состоят из чередующихся атомов кремния и кислорода с присоединенными углеродными радикалами по свободным связям кремния. Благодаря сильной связи между кремнием и кислородом они обладают высокой термической и термоокислительной устойчивостью, в связи с чем попадание в горячий насос на непродолжительное время атмосферного воздуха не приводит к порче масла.

Йспользуемые в отечественных паромасляных диффузионных насосах масла ПЭС-В-1 и ПЭС-В-2 являются узкими фракциями этилполисилоксановых жидкостей. Масла ПФМС-1 (для бустерных), ФМ-1 и ПФМС-2/5 л (для диффузионных насосов) представляют собой поли-

фенилметилсилоксановые жидкости.

#### РАСЧЕТ ВАКУУМНЫХ СИСТЕМ

#### Глава восемнадцатая

### ПРОВОДИМОСТИ ВАКУУМНЫХ ТРУБОПРОВОДОВ 18.1. ИСТЕЧЕНИЕ ГАЗА ЧЕРЕЗ ОТВЕРСТИЯ

#### Турбулентный и вязкостный режимы течения газа

Проводимость отверстия при турбулентном и вязкостном режимах течения газа зависит от отношения давления газа в сосуде  $p_{\rm c}$  к давлению газа p в пространстве, куда он вытекает.

При

$$\frac{p}{p_{\rm c}} > \left(\frac{2}{x+1}\right)^{\frac{x}{x-1}},\tag{18.1}$$

где и — показатель адиабаты;

x = 1.67 для одноатомных газов;

x = 1.40 для двухатомных газов;

 $\varkappa = 1.30$  для трехатомных газов,

проводимость отверстия определяется по формуле

$$U_{\rm B} = \frac{A}{1 - p/p_{\rm c}} \sqrt{\frac{R_{\rm o}T}{M}} \sqrt{\frac{2\kappa}{\kappa - 1} \left(\frac{p}{p_{\rm c}}\right)^{2/\kappa} \left[1 - \left(\frac{p}{p_{\rm c}}\right)^{\frac{\kappa - 1}{\kappa}}\right]},$$
(18.2)

где A — площадь отверстия;

М — молекулярная масса;

R<sub>0</sub> — универсальная газовая постоянная;

Т — температура газа.

При

$$\frac{p}{p_{\rm c}} \leqslant \left(\frac{2}{\varkappa + 1}\right)^{\frac{\varkappa}{\varkappa - 1}} \tag{18.3}$$

проводимость отверстия определяется по формуле

$$U_{\rm B} = \frac{A}{1 - p/p_{\rm c}} \sqrt{\frac{R_{\rm o}T}{M}} \sqrt{\kappa \left(\frac{2}{\kappa + 1}\right)^{\frac{\kappa + 1}{\kappa - 1}}}$$
(18.4)

Постоянная в правой части уравнений (18.1) и (18.3)

$$\left(\frac{2}{x+1}\right)^{\frac{x}{x-1}} = \begin{cases} 0.487 \text{ для одноатомных газов;} \\ 0.528 \text{ для двухатомных газов;} \\ 0.546 \text{ для трехатомных газов.} \end{cases}$$
 (18.5)

Для воздуха при температуре 293 K и  $p/p_{\rm c}>0,528$  проводимость отверстия будет

$$U_{\rm B} = \frac{7,66 \cdot 10^2 A}{1 - \frac{p}{p_{\rm c}}} \sqrt{\frac{\left(\frac{p}{p_{\rm c}}\right)^{1,43} \left[1 - \left(\frac{p}{p_{\rm c}}\right)^{0,283}\right]}{(18.6)}} \quad {\rm M}^3/{\rm c},$$
(18.6)

и при  $p/p_c$  меньше или равна 0,528:

$$U_{\rm B} \approx \frac{200A}{1 - p/p_{\rm c}}, \ {\rm M}^3/{\rm c},$$
 (18.7)

где A — площадь отверстия,  $M^2$ .

Если  $p/p_c$  меньше  $\hat{0},1$ , то вместо (18.4) и (18.7) можно использовать приближенные выражения:

$$U_{\rm B} \approx A \sqrt{\frac{R_{\rm o}T}{M}} \sqrt{\kappa \left(\frac{2}{\kappa+1}\right)^{\frac{\kappa+1}{\kappa-1}}}$$

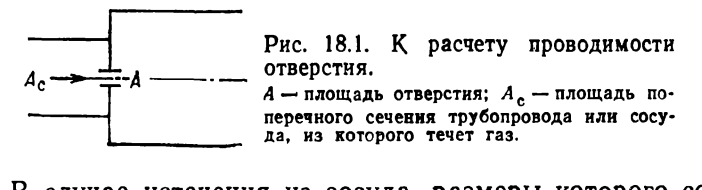
$$U_{\rm B} \approx 200A, \ {\rm M}^{\rm s}/{\rm c}.$$
(18.8)

#### Молекулярный режим течения газа

Для молекулярного режима течения газа проводимость отверстия равна:

$$U_{\rm M} = \frac{1}{4} u_{\rm a} A = A \sqrt{\frac{R_0 T}{2\pi M}} = 36,4A \sqrt{\frac{T}{M}},$$
 (18.9)

где  $u_a$  — средняя арифметическая скорость молекул газа.



В случае истечения из сосуда, размеры которого соизмеримы с размерами отверстия (рис. 18.1), следует ввести поправку, с учетом которой проводимость отвер-366 стия равна:

$$U_{\rm M} = \frac{U_{\rm M,OTB}K}{1 - \frac{A}{A_{\rm c}}} , \qquad (18.10)$$

где  $U_{\text{м.отв}}$  — проводимость отверстия, рассчитанная по формуле (18.9);

А — площадь отверстия;

 $A_{\rm c}$  — площадь поперечного сечения сосуда;

K — поправочный коэффициент, являющийся функцией отношения диаметра отверстия d к диаметру трубопровода (сосуда)  $d_{\rm Tp}$ . Значения коэффициента K приведены в табл. 18.1.

T а блица 18.1 Коэффициент K в формуле (18.10)

d/d <sub>Tp</sub>	K	d/d <sub>Tp</sub>	К
0,0 0,1 0,2 0,3 0,4 0,5	1,000 1,002 1,007 1,017 1,030 1,649	0,6 0,7 0,8 0,9 1,0	1,074 1,107 1,152 1,216 1,333

Для воздуха при 293 К проводимость отверстия равна:

$$U_{\rm M} = \frac{116AK}{1 - \frac{A}{Ac}}, \, {\rm M}^3/{\rm c}, \qquad (18.11)$$

где A — площадь отверстия,  $M^2$ ;

 $A_{c}$  — площадь поперечного сечения сосуда, м<sup>2</sup>.

#### Молекулярно-вязкостный режим течения газа

Исходя из формулы (18.8), соответствующей вязкостному режиму, и формулы (18.11) для молекулярного режима, можно заключить, что при молекулярно-вязкостном режиме проводимость отверстия находится между значениями проводимости отверстия, соответствующими вязкостному и молекулярному режимам, и если мы имеем дело с воздухом при температуре 293 К, то можно считать, что величина проводимости отверстия при мо-

лекулярно-вязкостном режиме находится в пределах между 200 и 116 A.

Проводимость отверстия при молекулярно-вязкостном режиме можно оценить методом линейной интерполяции по формуле

$$U_{\text{M-B}} = U_{\text{M}} + \frac{U_{\text{B}} - U_{\text{M}}}{p_{\text{B}} - p_{\text{M}}} (p_i - p_{\text{M}}), \tag{18.12}$$

где  $U_{\rm M}$  — проводимость отверстия при молекулярном режиме течения газа; определяется по формулам (18.9) и (18.11);

 $U_{\rm B}$  — проводимость отверстия при вязкостном режиме течения газа, определяется по формуле (18.8);

 $p_{\rm B}$  — верхняя граница молекулярно-вязкостного режима, см. (2.19);

 $p_{\rm M}$  — нижняя граница молекулярно-вязкостного режима, см. (2.17);

 $p_i$  — давление, для которого определяется  $U_{\mathsf{M-B}}$ .

### 18.2. ТЕЧЕНИЕ ГАЗА ПО ТРУБОПРОВОДАМ Турбулентный режим течения газа

Для длинного цилиндрического трубопровода при турбулентном режиме течения газа проводимость равна:

$$U_{\rm r} = \frac{1.57}{\lambda_1^{1/7}} \sqrt{\frac{R_0 T}{M}} \frac{d^{19/7}}{l^{4/7}} \frac{(p_1 + p_2)^{4/7}}{(p_1 - p_2)^{3/7}}, \qquad (18.13)$$

где  $\lambda_1 = \lambda p$  — длина свободного пути молекулы при давлении 1 Па, м;

Температура среды в начальном сечении трубопровода, K;

R<sub>0</sub> — универсальная газовая постоянная;

M — молекулярная масса газа,  $\frac{\kappa r}{\kappa MOJE}$ ;

d — диаметр трубопровода, м;

l — длина трубопровода, м;

 $p_1$  и  $p_2$  — давления на входе и выходе из трубопровода соответственно,  $\Pi$ а.

Условия применимости формулы (18.13), выраженные через давления на входе  $p_1$  и выходе  $p_2$  из трубопровода, будут следующими:

$$p_2 \sqrt{1 + \frac{0.169a^{7/4} p_1^{3/4} \eta^{1/4} l}{a^{5/4} p_2^{3/4}}} > p_1 >$$

$$\geqslant \sqrt{p_2^2 + \frac{2,24 \cdot 10^5 \eta^2 l}{\rho_1 d^2}}, \qquad (18.14)$$

где  $\rho_1$  — плотность газа при давлении 1 Па, кг/м³;  $\eta$  — коэффициент вязкости газа, Па·с;

i — длина трубопровода, м;

d — диаметр трубопровода, м:

$$a = \sqrt{\frac{R_0 T}{M}}$$
 — скорость звука, м/с. (18.15)

Для воздуха при 293 К получим:

$$U_{\rm r} = \frac{940d^{19/7}}{l^{4/7}} \frac{(p_1 + p_2)^{4/7}}{(p_2 - p_2)^{3/7}}, \, M^2/C, \qquad (18.16).$$

а условие применимости формулы (18.16) имеет при этом вид:

$$\sqrt{p_{2}^{2} + \frac{0.06p_{2}^{7/4}l}{d^{5/4}}} \ge p_{1} \ge \sqrt{p_{2}^{2} + \frac{6.16l}{d^{3}}}.$$
 (18.17)

Проводимость или сопротивление коротких трубопроводов, т. е. трубопроводов, у которых l/d меньше 50, может быть рассчитана следующим образом:

$$W_{\Sigma} = W_{\mathrm{TP}} + W_{\mathrm{OTB}}, \tag{18.18}$$

где  $W_{\mathrm{g}} = \frac{1}{U_{\mathrm{T}}}$  — сопротивление короткого трубопровода, а  $U_{\mathtt{T}}$  — его проводимость:

$$W_{\rm тp} = \frac{1}{U_{\rm Tp}}$$
— сопротивление длинного трубопровода, а  $U_{\rm Tp}$ — его проводимость, рассчитанная по формулам (18.13) или (18.16);

$$W_{\text{отв}} = \frac{1}{U_{\text{отв}}}$$
 — сопротивление входного отверстия, а  $U_{\text{отв}}$  — его проводимость, рассчитываемая по формулам (18.2), (18.4), (18.6), (18.7) или (18.8).

#### Вязкостный режим течения газа

Значение проводимости длинного трубопровода при вязкостном режиме течения газа можно получить на основании уравнения Пуазейля:

$$Q' = \frac{\pi d^4}{128\eta l} (p_1 - p_2)^{\frac{\nu}{2}} \frac{p_1 + p_2}{2}, \frac{M^2 \cdot \Pi_a}{c}, \qquad (18.19)$$

где Q' — поток газа через трубопровод; 24 - 1081

d — диаметр трубопровода, м;

 $\eta$  — коэффициент вязкости газа, Па·с; l — длина трубопровода, м;

 $p_1$  и  $p_2$  — давления газа на входе и выходе трубопровода соответственно, Па.

В соответствии с формулой (2.5) получим следующее выражение проводимости трубопровода при вязкостном режиме течения газа:

$$U_{\rm B} = \frac{Q'}{p_1 - p_2} = \frac{\pi d^4}{128\eta l} \frac{p_1 + p_2}{2} , \text{ M}^3/c.$$
 (18.20)

Для воздуха при 293 К получим:

$$U_{\rm B} = 1,36 \cdot 10^3 \frac{d^4}{l} \frac{p_1 + p_2}{2}, \text{ M}^2/\text{c}.$$
 (18.21)

Проводимость  $U_{\text{в.кор}}$  короткого трубопровода, у которого длина

*l*≤0.029*d*Re. (18.22)

rде d — диаметр трубопровода;

Re — число Рейнольдса [см. (2.13)], может быть найдена по формуле

$$U_{\text{B.Kop}} = \frac{U_{\text{B}}}{K_{1}}, \qquad (18.23)$$

где  $U_{\mathtt{B}}$  — проводимость длинного трубопровода, определяемая по формулам (18.20), (18.21);

 $K_1$  — коэффициент, определяемый по графику рис. 18.2.

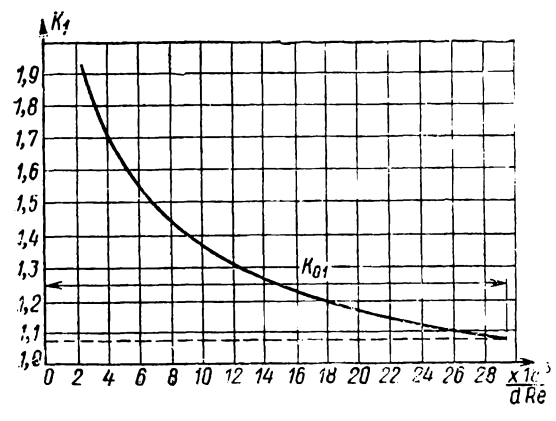


Рис. 18.2. График для определения коэффициента  $K_1$ .

## Проводимость трубопроводов с длиной 0.029dRe< l < 100d

определяется по формуле

$$U_{\rm B} = \frac{\pi d^4}{256\eta l} \frac{(p_1 + p_2)}{\left[1 + 0.0104 \frac{m}{\pi \eta k T} \frac{Q'}{l}\right]}, \,\, {\rm M}^3/{\rm c}, \qquad (18.24)$$

где d — диаметр трубопровода, м;

l — длина трубопровода, м;

η — коэффициент динамической вязкости, Па · с;

 $p_1$  и  $p_2$  — давления на концах трубопровода, Па;

m — масса молекулы газа, кг;

k — постоянная Больцмана;

T — температура газа, K;

Q' — поток газа по трубопроводу, м<sup>3</sup> · Па/с.

Для воздуха при 293 К проводимость такого трубопровода

$$U_{\rm B} = \frac{0.68 \cdot 10^{9} d^{4} (p_{1} + p_{2})}{l \left(1 + 2.15 \cdot 10^{-3} \frac{Q'}{l}\right)}, \,\, {\rm M}^{3}/{\rm c}.$$
 (18.25)

При неизвестном потоке газа Q' расчет по формулам (18.24) и (18.25) ведется методом последовательных приближений до тех пор, пока разница между Q', принятым при расчете  $U_{\rm B}$ , и  $Q'=U_{\rm B}(p_1-p_2)$  не будет меньше 10%.

#### Молекулярный режим течения газа

Проводимость цилиндрического трубопровода круглого сечения:

$$U_{\rm M} = 38.1 \frac{d^3}{l} \sqrt{\frac{T}{M}}, \, {\rm M}^3/{\rm c}, \, (18.26)$$

где d — диаметр трубопровода, м;

l — длина трубопровода, м;

*T* — температура, K;

M — молекулярная масса,  $\frac{\kappa^{r}}{\kappa_{\text{моль}}}$ .

Для воздуха при 293 К

$$U_{\rm M} = 1.21 \cdot 10^2 \frac{d^3}{l}$$
,  $M^3/c$ . (18.27)

Проводимость коротких трубопроводов (l < 20d) может быть рассчитана по формуле Клаузинга:

$$U_{\rm M} = 36.4 K_2 A \sqrt{\frac{T}{M}}, \, {\rm M}^3/{\rm c}, \, 1$$
 (18.28)

где  $K_2$  — поправочный множитель, значения которого берутся по табл. 18.2:

A — площадь поперечного сечения трубопровода,  $\mathbf{M}^2$ .

Таблица 18.2 Поправочный коэффициент K<sub>2</sub> в уравнениях (18.28) и (18.29)

l/d	K <sub>3</sub>	l/d	K <sub>3</sub>	l/d	K <sub>2</sub>	l/d	K <sub>s</sub>
0 0,05 0,10 0,15 0,20 0,25 0,30 0,45 0,50 0,55 0,60	1 0,9524 0,9092 0,8699 0,8341 0,8013 0,7711 0,7434 0,7177 0,6940 0,6720 0,6514 0,6320	0,65 0,70 0,75 0,80 0,85 0,90 1,0 1,1 1,2 1,3 1,4	0,6139 0,5970 0,5810 0,5659 0,5518 0,5384 0,5256 0,5136 0,4914 0,4711 0,4527 0,4359 0,4205	1,6 1,7 1,8 1,9 2,5 3,5 4,0 4,5 5,0 6,0	0,4062 0,3931 0,3809 0,3695 0,3589 0,3146 0,2807 0,2537 0,2316 0,2131 0,1973 0,1719 0,1523	8,0 9,0 10 15 20 25 30 35 40 45 50 500 >500	0,1367 0,1240 0,1135 0,0797 0,0613 0,0499 0,0420 0,0363 0,0319 0,0285 0,0258 0,00265 4d/3l

Для воздуха при 293 К проводимость цилиндрическото трубопровода любой длины с круглым поперечным сечением равна:

$$U_{\rm M} = 1,16 \cdot 10^2 K_2 \frac{{\rm rd}^2}{4}, \,{\rm M}^3/{\rm c}.$$
 (18.29)

#### . Молекулярно-вязкостный режим течения газа

Полный переход от вязкостного режима течения газа к молекулярному занимает интервал давлений примерно в два порядка, причем в этой области приведенные выше соотношения как для вязкостного, так и для молекулярного режимов неприменимы.

Наилучшим образом отвечает экспериментальным данным уравнение Кнудсена, который представил значение проводимости цилиндрического трубопровода как :372

сумму значений проводимости этого трубопровода при заданном давлении, полученном по уравнению (18.20), и проводимости этого же трубопровода при молекулярном режиме течения, полученном по уравнению (18.26), умноженной на поправочный множитель  $K_3$ . Таким образом, уравнение Кнудсена записывается следующим образом:

 $U_{\rm M-B} = U_{\rm B} + K_3 U_{\rm M},$  (18.30)

где  $K_3$  — коэффициент, учитывающий среднее давление в трубопроводе и равный:

$$K_{a} = \frac{1 + \frac{d}{\eta} \sqrt{\frac{M}{R_{0}T}} \frac{p_{1} + p_{2}}{2}}{1 + 1.24 \frac{d}{\eta} \sqrt{\frac{M}{R_{0}T}} \frac{p_{1} + p_{2}}{2}}.$$
 (18.31)

Проводимость длинного цилиндрического трубопровода круглого сечения равна таким образом:

$$U_{\text{M-B}} = \frac{\pi d^4}{128\eta l} \frac{p_1 + p_2}{2} + \left( \frac{1 + \frac{d}{\eta} \sqrt{\frac{M}{R_0 T}} \frac{p_1 + p_2}{2}}{1 + 1, 24 \frac{d}{\eta} \sqrt{\frac{M}{R_0 T}} \frac{p_1 + p_2}{2}} \right) \times \times 38,1 \frac{d^3}{l} \sqrt{\frac{T}{M}}, \text{ M}^3/\text{c.}$$
(18.32)

Для воздуха при 293 К получим:

$$U_{\text{M-B}} = 1,36 \cdot 10^{3} \frac{d^{4}}{l} \frac{p_{1} + p_{2}}{2} + \left( \frac{1 + 1,9 \cdot 10^{4} d \frac{p_{1} + p_{2}}{2}}{1 + 2,35 \cdot 10^{4} d \frac{p_{1} + p_{2}}{2}} \right) \times \times 1,21 \cdot 10^{2} \frac{d^{3}}{l}, \text{ M}^{3}/\text{c.}$$

$$(18.33)$$

Проводимости коротких трубопроводов при молекулярно-вязкостном режиме течения следует также рассчитывать по формуле (18.30), подставляя в нее значения проводимости рассматриваемого короткого трубопровода, рассчитанные для вязкостного и молекулярного режимов течения газа.

#### 18.3. МЕСТНЫЕ СОПРОТИВЛЕНИЯ

#### Турбулентный режим течения газа

При турбулентном режиме течения газа потери давления в местном сопротивлении

$$\Delta p_{\text{MecTh}} = \xi \frac{\rho u^2_{\text{cp}}}{2}, \qquad (18.34)$$

где  $\xi$  — коэффициент местного сопротивления, равный отношению потерянного напора к скоростному напору, равному  $\frac{\rho u^2_{\text{ср}}}{9}$ ;

ρ — плотность среды;

 $u_{\rm cp}$  — средняя по сечению скорость потока газа.

Значения коэффициентов местных сопротивлений можно принимать такими же, как и для несжимаемых жидкостей.

Для колена с углом  $90^{\circ}$  можно принимать  $\xi=1$ , для крана коэффициент местного сопротивления равен  $\xi=3\div5.5$ .

#### Вязкостный режим течения газа

Обычно при вязкостном режиме течения газа для учета потери давления в местных сопротивлениях условно увеличивают длину трубопроводов против фактической, полагая, что

$$l_{\text{pacy}} = l_{\text{факт}} + l_{\text{akb}}, \qquad (18.35)$$

где  $l_{\phi a \kappa \tau}$  — фактическая длина трубопровода;

 $l_{\text{экв}}$  — дополнительная длина трубопровода, потери давления на которой равны потерям давления в местных сопротивлениях.

Так, принимают, что влияние изгиба трубопровода под углом 90° учитывается удлинением трубопровода на 1,33 диаметра:

$$l_{\text{pacy}} = l_{\text{факт}} + 1,33di,$$
 (18.36)

где d — диаметр трубопровода;

i — число изгибов трубопровода под углом 90°.

Проводимость крана можно считать равной 50—70% проводимости отверстия с диаметром, равным диаметру условного прохода крана.

При этом проводимость отверстия рассчитывается по (18.8).

374

#### Молекулярный режим течения газа

Влияние местных сопротивлений при молекулярном режиме течения газа, так же как и при вязкостном, обычно учитывают путем некоторого увеличения расчетной длины трубопровода против фактической, т. е. используют при расчетах зависимости (18.35) и (18.36).

Проводимость крана принимается равной 6—15% проводимости диафрагмы с диаметром, равным диаметру условного прохода крана. При этом проводимость отверстия рассчитывается по формуле (18.9).

#### Молекулярно-вязкостный режим течения газа

Проводимость местного сопротивления, в частности крана, при молекулярно-вязкостном режиме может быть

рассчитана методом линейной интерполяции по формуле (18.12), в которую вместо значений проводимости отверстия следует подставить значения проводимости местного сопротивления при соответствующих режимах течения газа.

Несколько более точные результаты можно получить при использовании формулы (18.31).

Пример 18.1. Рассчитать проводимость по воздуху электромагнитного жлапана с размером проходного сечения ДУ-32 и длиной 120 мм при среднем давлении 7,04 Па (рис. 18.3).

1. Определяем режим течения газа при заданном значении давления p=-7.04 Па.

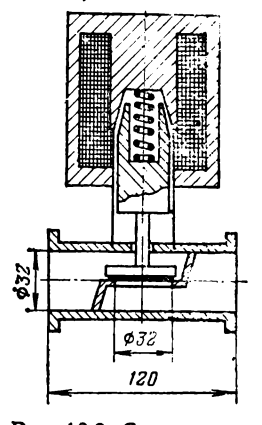


Рис. 18.3. Схема электромагнитного клапана.

Граница между вязкостным и молекулярно-вязкостным режимами определяется из (2.19):

$$p = \frac{1,33}{3,2 \cdot 10^{-2}} = 41,6 \text{ }\Pi a.$$

Граница между молекулярно-вязкостным и молекулярным режимами определяется из (2.17):

$$p = \frac{0.02}{3.2 \cdot 10^{-2}} = 0.624 \text{ fla.}$$

Таким образом, при заданном давлении будет иметь место молекулярно-вязкостный режим течения газа, при котором проводимость клапана определяется по формуле (18.12). 2. Проводимость клапана при молекулярном режиме рассчитывается по формуле (18.9) с учетом рекомендаций § 18.3:

$$U_{\rm M,KR} = 0.1 \ 116 \frac{\pi (3.2 \cdot 10^{-2})^2}{4} = 9.2 \cdot 10^{-2} \ {\rm m}^8/{\rm c}.$$

3. Проводимость клапана при вязкостном режиме рассчитывается по формуле (18.8) с учетом рекомендаций § 18.3:

$$U_{\text{B.K.I}} = 0.6 \cdot 200 \frac{\pi (3.2 \cdot 10^{-2})^2}{4} = 9.7 \cdot 10^{-2} \text{ m}^3/\text{c.}$$

4. Определяем по формуле (18.12) проводимость клапана при давлении p=7.04 Па:

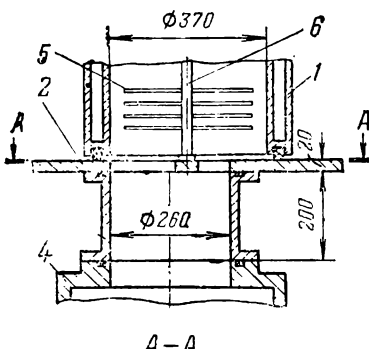
$$U_{\text{M-B.K.fl}} = 9, 2 \cdot 10^{-3} + \frac{9, 7 \cdot 10^{-2} - 9, 2 \cdot 10^{-3}}{41, 6 - 0, 624} (7, 04 - 0, 624) =$$

$$= 2, 3 \cdot 10^{-2} \text{ M}^{3}/\text{c}.$$

Пример 18.2. Определить при молекулярном режиме течения газа проводимость магистрали, соединяющей сосуд с высоковакуумным насосом. Средняя молекулярная масса откачиваемого газа

$$M=20~{{
m Kr}\over{
m KMOJb}}$$
. Проводимость затвора, установленного на вход-

ном отверстии высоковакуумного насоса, равна 3,5 м³/с. Необходимые геометрические размеры и распределение температур приведены па рис. 18.4. Как видно из рисунка, магистраль состоит из диафраг-



A - A  $\phi_{260}$   $A_{2}$   $\phi_{155}$   $\phi_{155}$ 

мы на выходе из сосуда (отверстие в плите рабочего сосуда) в форме двух сегментов разных размеров, патрубка 3 с внутренним диаметром 260 мм и длиной 200 мм и затвора. Форма отверстия в плите рабочего сосуда обычно связана с необходимостью крепления стойки 6 с подставками для размещения продукции.

Расчет проводимости магистрали ведем, разбивая ее на отдельные участки и определяя порознь проводимости каждого.

Рис. 18.4. К примеру расчета проводимости магистрали при молекулярном режиме течения газа.

 $1-\cos$  стемпература стенки 293 К); 2- плита (температура 293 К); 3- патрубок (температура 293 К); 4- присоединительный фланец высокова-куумного агрегата; 5- тепловые экраны (температура пижнего экрана 653 К); 6- стойка.

Магистраль состоит из двух параллельно соединенных отверстий  $A_1$  и  $A_2$  (сегментов) в плите 2 и последовательно соединенного с ними соединительного патрубка 3.

1. Определяем проводимость отверстия  $A_1$  ввиду относительно малой толщины плиты 2 по формулам (18.9) и (18.10), коэффициент K принимаем равным 1. Температуру газа на входе в отверстия плиты будем считать равной среднеарифметическому из значений температур нижнего теплового экрана 5 и плиты 2:

$$T = \frac{653 + 293}{2} = 473 \text{ K.}$$

Площадь большего отверстия в плите

$$A_1 = 330 \cdot 10^{-4} \text{ m}^2$$
.

Площадь входного сечения сосуда

$$A_c = 1070 \cdot 10^{-4} \text{ m}^2.$$

Отсюда следует

$$U_1 = \frac{36,4 \cdot 330 \cdot 10^{-4} \sqrt[4]{473/20}}{1 - 330 \cdot 10^{-4}/1070 \cdot 10^{-4}} = 8,44 \text{ m}^3/\text{c}.$$

2. Аналогичным образом определяем проводимость отверстия  $A_2$ . Площадь меньшего отверстия  $A_2 = 61 \cdot 10^{-4}$  м². Отсюда следует:

$$U_2 = \frac{36.4 \cdot 61 \cdot 10^{-4} \sqrt{473/20}}{1 - 61 \cdot 10^{-4}/1070 \cdot 10^{-4}} = 1,145 \text{ m}^{2}/\text{c}.$$

3. Проводимость соединительного патрубка рассчитываем по формуле (18.28) с поправочным коэффициентом  $K_2$  для коротких трубопроводов. Учитывая теплообмен с холодными стенками патрубка, принимаем температуру газа в нем равной среднеарифметическому значению температур газа на входе в патрубок и его стенок:

$$T = \frac{473 + 293}{2} = 383$$
 K,

откуда

$$U_{\text{namp}} = 36,4\cdot0,575 \frac{\pi (26\cdot10^{-2})^2}{4} \sqrt{\frac{383}{20}} = 4,85 \text{ M}^{2}/\text{c},$$

где 
$$K_2 = 0.575$$
 для  $\frac{l}{d} = \frac{200}{260} = 0.77$  (см. табл. 18.2).

4. Проводимость всей магистрали рассчитываем, учтя (2.6) и (2.7):

$$W_{\Sigma} = \frac{1}{8,44 + 1,145} + \frac{1}{4,85} + \frac{1}{3,5} = \frac{1}{1,677} c/M^{2};$$

$$U_{\Sigma} = 1,677 \text{ M}^{2}/c.$$

Пример 18.3. Определить проводимость трубопровода по воздуху при 293 К диаметром d=40 мм $=4\cdot10^{-2}$  м и длиной 1 м при давлениях на концах трубопровода

$$p_1 = 2003$$
 Па и  $p_2 = 2000$  Па.

1. Для определения режима течения газа подсчитываем произведение среднего давления на диаметр трубопровода:

$$pl = \frac{p_1 + p_2}{2}d = \frac{2003 + 2000}{2} \cdot 4 \cdot 10^{-2} = 80,12 \text{ \Pia.}$$

Согласно формуле (2.19) принимаем, что режим течения вяз-

2. По формуле (18.21) рассчитываем проводимость трубопровода:

$$U_{\rm B} = 1.36 \cdot 10^{2} \frac{(4 \cdot 10^{-2})^{4}}{1} \frac{2003 + 2000}{2} = 6.97 \text{ m}^{2}/\text{c}.$$

3. По формуле (18.20) определяем поток воздуха в трубопроводе:

$$Q' = U_B(p_1 - p_2) = 6.97(2003 - 2000) = 20.91 \text{ m}^3 \cdot \Pi a/c.$$

4. По формуле (2.14) определяем число Рейнольдса. Взяв из приложения 1 для воздуха

$$m = 4.811 \cdot 10^{-26} \text{ Kr}; \ \eta = 1.808 \cdot 10^{-5} \ \Pi \text{a} \cdot \text{c},$$

получим:

$$Re = \frac{4 \cdot 4,811 \cdot 10^{-26}}{\pi \cdot 1.38 \cdot 10^{-23} \cdot 293 \cdot 1.808 \cdot 10^{-5}} \cdot \frac{20,91}{4 \cdot 10^{-2}} = 604,5.$$

Так как Re меньше 2200, режим течения вязкостный [см. (2.15)].

5. Находим значение произведения

$$0.029d \text{ Re} = 0.029 \cdot 4 \cdot 10^{-2} \cdot 604.5 = 0.7 \text{ m}.$$

Таким образом для расчета проводимости в соответствии с рекомендациями § 18.2 для вязкостного режима течения используем формулу (18.25):

$$U_{\rm B} = \frac{0.68 \cdot 10^{2} \cdot (4 \cdot 10^{-2})^{4} \cdot (2003 + 2000)}{1 \cdot (1 + 2.15 \cdot 10^{-2} \cdot 20.91/1)} = 6.66 \text{ m}^{2}/\text{c}.$$

Так как разница между рассчитанными в пл. 2 и 5 значениями  $U_{\rm B}$  меньше 10%, то принимаем  $U_{\rm B} = 6.66~{\rm M}^3/{\rm c}$ .

#### Глава девятнадцатая

#### ВЫБОР СРЕДСТВ ОТКАЧКИ

### 19.1. ОПРЕДЕЛЕНИЕ НЕОБХОДИМОЙ БЫСТРОТЫ ДЕЙСТВИЯ ВАКУУМНОГО НАСОСА

Быстрота действия  $S_{\rm H}$  вакуумного насоса при проектном расчете выбирается из условия обеспечения рабочего давления в установившемся режиме работы вакуумной системы.

Для этого, используя формулу (2.26), подсчитывают суммарный поток газов  $Q'_{\Sigma}$ , поступающих в вакуумную систему, по уравнению (2.4) определяют эффективную быстроту откачки  $S_{\rm o}$  и затем находят  $S_{\rm H}$ , полагая, что

$$S_{\rm H} = \nu S_{\rm o},$$
 (19.1)

где v — коэффициент использования насоса.

Обычно v=2 для молекулярных и криогенных насосов, v=4 для сорбционных насосов и  $v=1,1 \rightarrow 1,25$  для механических насосов объемного действия (см. табл. 6.1).

### 19.2. СОГЛАСОВАНИЕ НАСОСОВ, РАБОТАЮЩИХ ПОСЛЕДОВАТЕЛЬНО

Большинство насосов, таких как пароструйные, турбомолекулярные и двухроторные вакуумные насосы, для запуска и работы требуют создания и поддержания определенного разрежения во всей вакуумной системе, включая насос.

Выбор параметров вспомогательного насоса для создания предварительного разрежения основан на том, что поток откачиваемых газов должен быть одинаковым в любом сечении вакуумной системы. Иными словами, поток газов Q' одинаков в данный момент времени для основного и вспомогательного насосов, соединенных последовательно (рис. 19.1):

$$Q' = S_{\text{H.BCH}} p_1 = S_{\text{H.BCH}} p_2,$$
 (19.2)

где  $S_{\text{н.осн}}$  — быстрота действия основного высоковакуумного насоса 6 при давлении  $p_1$  на входе в основной насос:

 $S_{\text{н.всп}}$  — быстрота действия вспомогательного механического вакуумного насоса 4 при давлении  $p_2$  на входе во вспомогательный насос в тот же момент времени.

Так как давление  $p_1$  на входе в основной насос и давление  $p_2$  на входе во вспомогательный насос различны, то и быстрота действия  $S_{\text{H.och}}$  будет отличаться от  $S_{\text{H.Bch}}$ . Давление  $p_2$  на входе во вспомогательный насос должно быть меньше давления  $p_{\text{наи6}}$  (обычно приводится в паспорте высоковакуумного насоса) на выходе из высоковакуумного насоса, так как  $p_{\text{наи6}}$  является наибольшим давлением на выходе, при котором еще работает высоковакуумный насос.

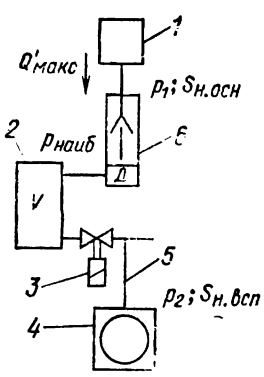


Рис. 19.1. К выбору насосов, работающих последовательно.

I — откачиваемый сосуд; 2 — форвакуумный баллон; 3 — электромагнитный клапан (ДУ-32: l=120 мм); 4 — вспомогательный механический вакуумный насос; 5 — трубопровод ( $d_{\rm BH}$ = = 32 мм;  $l_{\rm o}$ 6 $_{\rm in}$ =80 см); 6 — основной высоковакуумный насос.

Таким образом, вспомогательный насос должен быть способен не только удалять в единицу времени определенное количество газов, поступающих из

основного насоса, но и поддерживать определенное выпускное давление (равное или меньше  $p_{\rm Hau6}$ ) на выходе основного насоса.

После того как выбран тип насоса предварительного разрежения, необходимая быстрота действия его  $S_{\text{н.всп}}$  определяется исходя из максимального количества газов  $Q'_{\text{макс}}$ , которое предполагается удалять высоковаку-умным насосом:

 $S_{\text{H.BCI}} = Q'_{\text{MARC}}/p_2, \tag{19.3}$ 

где  $Q'_{\text{макс}}$  — наибольший поток газов, который может быть удален основным насосом (определяется по характеристике насоса);

 $p_3$  — наибольшее допустимое давление на входе во вспомогательный насос; обычно  $p_2$  =  $=(0,7\div0,75)\,p_{\rm наиб}\,$  ( $p_{\rm наиб}$  — давление на выпускной стороне основного насоса, выше которого насос прекращает свою работу).

Диаметр трубопровода, соединяющего насосы, обычно выбирают равным или несколько большим днаметра выпускного патрубка основного насоса. Затем определяют режим течения газа в соединительном трубопроводе при давлении  $p_2$  и подсчитывают его проводимость.

После этого необходимо произвести поверочный расчет, целью которого является определение давления, которое обеспечит выбранный вспомогательный насос в сечении выпускного патрубка основного насоса с учетом сопротивления соединительного трубопровода:

$$p_{\text{вып}} = \frac{Q'_{\text{макс}}}{S_{\text{Q}}} = \frac{Q'_{\text{макс}}(U + S_{\text{H.BCL}})}{US_{\text{H.BCL}}} \le p_{\text{наиб}}. \quad (19.4)$$

Если неравенство (19.4) не выполняется, то надо взять вспомогательный насос с большей быстротой дей-380 ствия или увеличить проводимость трубопровода U, соединяющего основной и вспомогательный насосы, и заново осуществить поверочный расчет.

Довольно часто требуется исключить влияние вспомогательного насоса на работу основного насоса, сказывающееся, например, в проникновении паров рабочей жидкости из механического насоса в кипятильник паромасляного диффузионного высоковакуумного насоса. В этом случае между основным и вспомогательным насосами может быть установлена ловушка, но гораздолучшие результаты обеспечивает применение бустерного насоса, в качестве которого часто используется также диффузионный насос. При этом проводится согласование основного и вспомогательного насосов, бустерный же насос обычно выбирается со значительным запасом по производительности, часто на порядок и более.

### 19.3. СОГЛАСОВАНИЕ НАСОСОВ, РАБОТАЮЩИХ ПАРАЛЛЕЛЬНО

Параллельно обычно включаются насосы, имеющие избирательные характеристики по откачке различных газов. К таким насосам относятся адсорбционные, ионногеттерные, магниторазрядные и другие электрофизические средства откачки. Укажем, что при этом совершенно не обязательно соединять насосы параллельно трубопроводам. Насосы могут быть конструктивно соединены и последовательно, но работать они при этом будут параллельно. Характерным примером такого включения насосов является совместная работа на один откачиваемый сосуд конденсационного водородного и пароструйного насосов. В этом случае пароструйный насос предназначен для откачки не конденсирующихся при температуре жидкого водорода газов (водород, неон, гелий) и создания предварительного разрежения в конденсационном насосе.

Совершенно так же параллельно ионно-геттерным насосам могут подключаться пароструйные или турбомолекулярные насосы, которые обеспечивают откачку инертных газов и метана.

Расчет вспомогательного насоса при этом сводится к определению потока не откачиваемых основным насосом газов и подбору вспомогательного насоса по принципу и быстроте действия.

При согласовании вспомогательного насоса с электрофизическим насосом, например магнитным электроразрядным, следует учитывать собственную быстроту действия основного насоса по рассматриваемому газу. Вспомогательный насос должен в сумме с основным насосом обеспечить удаление всего потока газа.

Довольно часто при конструировании вакуумных систем предусматривается установка нескольких однотипных насосов, работающих параллельно на один вакуумный сосуд с целью получения необходимой эффективной быстроты откачки. Такой прием дает удовлетворительные результаты, если все насосы обеспечивают получение близких значений предельного остаточного давления. В противном случае возможно перетекание газов и существенное снижение суммарной эффективной быстроты откачки сосуда.

В подобных вакуумных системах целесообразно предусматривать возможность отключения насосов порозные целью определения их характеристик и, в частности, предельного остаточного давления.

#### 19.4. РАСЧЕТ ФОРВАКУУМНОГО БАЛЛОНА

В некоторых случаях с целью уменьшения количества вакуумных насосов, сокращения габаритов вакуумной системы, исключения вибраций от механического вакуумного насоса и увеличения коэффициента загрузки насосов между основным насосом и насосом предварительного разрежения устанавливают форвакуумный баллон, что позволяет отключать на длительное время насос предварительного разрежения или использовать его для откачки других частей вакуумной системы (рис. 19.1).

Поток газа из сосуда I, откачиваемый основным насосом 6, попадает в форвакуумный баллон 2 и увеличивает давление в нем от минимального  $p_{\text{мин}}$ , которое достигается при откачке форвакуумного баллона насосом предварительного разрежения 4, до максимального  $p_{\text{макс}}$ , близкого к давлению, выше которого основной насос 6 прекращает работу.

Когда давление в форвакуумном баллоне достигает  $p_{\text{макс}}$ , включается насос предварительного разрежения и баллон откачивается до давления  $p_{\text{мин}}$ .

Промежуток времени  $t_{\Phi.6}$ , в течение которого форвакуумный баллон изолирован от насоса предварительнозва

го разрежения, называется временем работы форваку-умного баллона.

Так как весь поток газа, проходящий через основной насос, идет на повышение давления в форвакуумном баллоне, то можно записать:

$$Q'_{\Sigma}t_{\Phi.6} = V(p_{\text{MAKC}} - p_{\text{MHH}}),$$
 (19.5)

где  $Q_{\Sigma}$  — суммарный поток газов, обусловленный потоком газов в выпускном патрубке основного насоса в данный момент времени и потоком газов, выделяющихся со стенок форвакуумного баллона и вакуумной системы, соединяющей его с основным насосом:

 $t_{\Phi.6}$  — время работы форвакуумного баллона;

V — объем форвакуумного баллона.

Из уравнения (19.5) определяют объем форвакуумного баллона, исходя обычно из следующих условий:

$$p_{\text{Marc}} = (0,3 \div 0,8) p_{\text{Hau6}},$$
 (19.6)

где  $p_{\text{наи6}}$  — давление на выпускной стороне основного насоса (см. § 6.2);

 $p_{\text{мин}}$  — минимальное значение давления в форвакуумном баллоне, равное:

$$p_{\text{MHH}} = \frac{Q'_{\Sigma} \left( S_{\text{H.BC}\Pi} + U_{\text{TP}} \right)}{S_{\text{H.BC}\Pi} U_{\text{TP}}} , \qquad (19.7)$$

где  $S_{\text{н.всп}}$  — быстрота действия насоса предварительного разрежения;

 $U_{\rm тp}$  — проводимость трубопровода между основным насосом и насосом предварительного разрежения.

Пример 19.1. Проверить согласование высоковакуумного насоса H-250/2500 ( $p_{\text{наи}6} = 13,3$  Па) и механического вакуумного насоса 2HBP-5Д, соединенных последовательно при наибольшем потоке поступающих в высоковакуумный насос газов, равном 2,82× $\times 10^{-2}$  м³·Па/с.

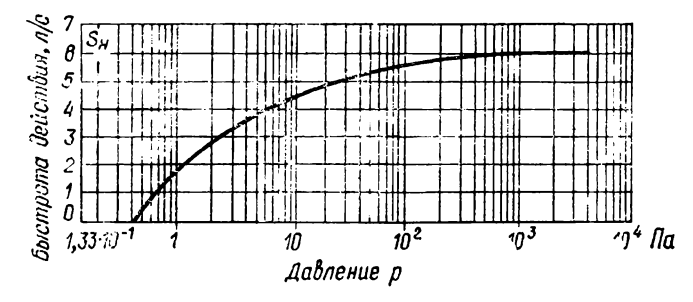
Размеры вакуумной магистрали, соединяющей насосы, даны

в тексте к рис. 19.1.

1. С помощью графика  $S_{\tt H}=f(p)$  для механического вакуумного насоса (рис. 19.2) находим давление на входе в насос, при котором его производительность равна  $Q'_{\tt H}=2.82\cdot 10^{-2}$  м³·Па/с. Учтя зависимость (19.3), получим:

поскольку при  $S_{\rm H} = 4 \cdot 10^{-3} \, {\rm M}^3/{\rm c}$ 

$$Q'_{\rm H} = 7.04 \cdot 4 \cdot 10^{-3} = 2.82 \cdot 10^{-2} \frac{{\rm M}^3 \cdot \Pi_2}{{\rm c}}.$$



**Р**ис. 19.2. Зависимость быстроты действия  $S_{\pi}$  от впускного давления p для механического вакуумного насоса.

Таким образом,  $p_{2\text{макс}}$  меньше  $(0,7-0,75)p_{\text{наиб}}$ , где  $p_{\text{наиб}}$  — давление на выпускном патрубке основного высоковакуумного насоса, при котором насос прекращает работу.

2. Определяем режим течения газа в соединительном трубопро-

воде 5.

а) Граница между вязкостным и молекулярно-вязкостным режимами течения газа будет (см. § 2.5):

$$p_{\rm B-M-B} = \frac{1.33}{3.2 \cdot 10^{-2}} = 41.6 \text{ }\Pi a.$$

б) Граница между молекулярно-вязкостным и молекулярным режимами течения газа будет:

$$p_{\text{M-B-M}} = \frac{0.02}{3.2 \cdot 10^{-2}} = 0.625 \text{ fla.}$$

Таким образом, в соединительном трубопроводе 5 при  $p_{2\text{макс}}$  = =7,04 Па имеет место молекулярно-вязкостный режим течения газа.

3. Определяем по формулам (18.33) и (18.36) проводимость трубопровода 5, учтя два колена под углом 90°:

$$\begin{split} I_{\text{pacq}} = &0.8 + 1,33 \cdot 3,2 \cdot 10^{-2} \cdot 2 = 8.85 \cdot 10^{-1} \text{ M;} \\ U_{\text{Tp}} = &1,36 \cdot 10^{8} \frac{(3,2 \cdot 10^{-2})^{4}}{8.85 \cdot 10^{-1}} 7,04 + \\ &+ \left(\frac{1 + 1,9 \cdot 10^{4} \cdot 3,2 \cdot 10^{-2} \cdot 7,04}{1 + 2,35 \cdot 10^{4} \cdot 3,2 \cdot 10^{-2} \cdot 7,04}\right) 1,21 \cdot 10^{2} \times \\ &\times \frac{(3,2 \cdot 10^{-2})^{3}}{8.85 \cdot 10^{-1}} = 1,486 \cdot 10^{-2} \text{ M}^{2}/\text{c.} \end{split}$$

4. Проводимость электромагнитного клапана 3 рассчитана в прижере 18.1 и равна  $U_{\kappa\pi} = 2.3 \cdot 10^{-2} \text{ м}^3/\text{c}$ .

5. Определяем по формуле (2.6) суммарную проводимость соединительного трубопровода 5 без учета проводимости форвакуумного баллона ввиду весьма малого сопротивления последнего потоку откачиваемых газов:

$$1/U = 1/U_{\text{rp}} + 1/U_{\text{rr}} = 1/1,486 \cdot 10^{-2} + 1/2,3 \cdot 10^{-2} = 1/9,03 \cdot 10^{-3} \text{ c/m}^3;$$

$$U = 9.03 \cdot 10^{-3} \text{ m}^3/\text{c}.$$

6. Определяем по формуле (19.4) давление в сечении выпускного патрубка основного высоковакуумного насоса с учетом сопротивления соединительного трубопровода 5:

$$p_{\text{нып}} = \frac{2,82 \cdot 10^{-2} (9,03 \cdot 10^{-3} + 4 \cdot 10^{-3})}{9,03 \cdot 10^{-3} \cdot 4 \cdot 10^{-3}} = 10,14 \text{ } \Pia < 13,3 \text{ } \Pia = p_{\text{нан}C}.$$

Так как неравенство (19.4) выполняется, то расчет согласования насосов считаем оконченным.

Пример 19.2. Определить объем V форвакуумного баллона, преднавначенного для создания необходимого разрежения при работе основного высоковакуумного насоса ( $p_{\mathtt{наи}6} = 13,3$  Па), в то время когда вспомогательный вакуумный насос используется для предварительной откачки рабочего сосуда технологической установки.

Расчетное время предварительной откачки рабочего сосуда составляет 240 с. Следует отметить, что в реальных условиях, назначая время отключения вспомогательного насоса (т. е. время работы форвакуумного баллона), необходимо учитывать позможное удлинение времени предварительной откачки, которое может быть вызвано ухудшением работы насоса, большей, чем принято при расчете величиной газовыделения и натекания и т. п. Обычно рекомендуется принимать двух-трехкратный запас.

Таким образом, время работы форвакуумного баллона будет равно:

$$t_{\phi.6} = 240 \cdot 3 = 720$$
 c.

1. Рассчитаем поток газов, проходящий через основной высоковакуумный насос. Этот поток будет обусловлен собственным газовыделением вакуумной системы и натеканием в нее.

Площадь поверхностей, ограничивающих вакуумную систему, складывается из части поверхности высоковакуумного затвора, поверхностей высоковакуумного насоса и форвакуумного баллона и внутренней поверхности соединительных трубопроводов.

Принимаем площедь всех поверхностей трубопроводов вакуумной системы равной A=2 м², полагая при этом, что площадь внутренней поверхности форвакуумного баллона равна  $A_{\Phi.6}=0.5$  м². Скорость удельного газовыделения поверхности вакуумной системы считаем постоянной и равной

$$q'_{ras} = 4.12 \cdot 10^{-5} \frac{M^3 \cdot \Pi a}{M^2 \cdot C}$$
,

что соответствует удельной скорости газовыделения нержавеющей стали после 6 ч откачки (см. приложение 7).

Натекания ввиду их относительно небольшой величины учитывать не будем.

Таким образом, поток газов в вакуумной системе при закрытом затворе будет равен:

$$Q'_{ra3} = 8,24 \cdot 10^{-5} \text{ m}^3 \cdot \Pi a/c.$$

2. Определяем по формуле (19.7) минимальное давление в форвакуумном баллоне. В эту формулу входит проводимость соедини-25—1081 тельного трубопровода, которая была рассчитана в примере 19.1:

$$U_{TD} = 1.486 \cdot 10^{-2} \text{ m}^3/\text{c}.$$

Так как в диапазоне давлений, близких к  $p_{\text{мин}}$ , быстрота действия насоса  $S_{\text{н.всп}}$  непостоянна, расчет выполняется методом последовательных приближений. Подсчеты, которые здесь не приведены, показывают, что вследствие относительно малой величины газовыделения и значительной проводимости трубопровода, соединяющего форвакуумный баллон с насосом предварительного разрежения, давление  $p_{\text{мин}}$  в форвакуумном баллоне будет весьма близким к предельному давлению вспомогательного насоса ( $p_{\text{пред}} = 3,06 \text{ Па}$ ). Взяв двухкратный запас по минимальному давлению по отношению к предельному давлению вспомогательного насоса, получим:

$$p_{\text{MBH}} = 3.06 \cdot 2 = 6.12 \text{ }\Pi \text{a}.$$

3. Наибольшее давление в форвакуумном баллоне примем в соответствии с рекомендацией (19.6) равным:

$$p_{\text{marc}} = 0.8 p_{\text{mar6}} = 0.8 \cdot 13.3 \approx 10.5 \text{ }\Pi \text{a}.$$

4. Рассчитаем по формуле (19.5) объем форвакуумного баллона:

$$V = \frac{8.24 \cdot 10^{-5} \cdot 720}{10.5 - 6.12} = 13.5 \cdot 10^{-9} \text{ M}^{\$}.$$

5. Определим геометрические размеры форвакуумного баллона, обеспечивающие необходимый объем.

Обычно берут высоту баллона несколько меньшей высоты высоковакуумного насоса. В нашем случае удовлетворительными будут следующие размеры: диаметр — 210 мм = 0.21 м; высота — 420 мм = -0.42 м.

6. Площадь внутренней поверхности форвакуумного баллона равна:

$$A_{\Phi,6} = \frac{\pi \cdot 0,24^2}{4} 2 + \pi \cdot 0,21 \cdot 0,42 \approx 0,35 \text{ m}^2,$$

т. е. несколько меньше принятой при расчете потока газов, что позволяет считать найденные размеры форвакуумного баллона окончательными.

#### Глава двадцатая

#### МЕТОДИКА РАСЧЕТА ВАКУУМНЫХ СИСТЕМ

#### 20.1. ПОСТАНОВКА ЗАДАЧИ

Расчет вакуумной системы сложного технологического оборудования выполняется, как правило, в два этапа.

Проектный расчет, в результате которого определяются принципиальная схема вакуумной системы, тизме

пы и размеры насосов, коммутирующие элементы и ориентировочные размеры соединительных трубопроводов.

Поверочный расчет, в результате которого уточняются характеристики насосов, размеры трубопроводов и коммутирующих элементов, определяется время достижения заданного рабочего давления.

В качестве исходных величин для расчета обычно заданы конечное давление в рабочей камере, поток газов, геометрические размеры рабочей камеры, характер технологического процесса, для осуществления которого предназначена установка, время достижения заданного давления.

Часто при расчете вакуумной системы приходится определять поток газов, поступающих в нее. Для этого должны быть известны исходные характеристики продукции, позволяющие рассчитать поток газов.

Проектный расчет выполняется в следующей последовательности:

- 1. Исходя из заданных значений парциального и полного давлений, определяют типы насосов, обеспечивающие откачку рабочей камеры до заданного давления.
- 2. По заданному или найденному расчетом потоку газов выбирают конкретный типоразмер насоса, обеспечивающего откачку до заданного давления; на этом этапе расчета поток газов, откачиваемых насосом, принимают постоянным во времени.
- 3. Выбирают вспомогательные насосы и насосы предварительного разрежения. Обычно на этом этапе расчета вспомогательные насосы выбирают в соответствии с паспортными характеристиками основных насосов окончательной откачки.
- 4. Определяют принципиальную схему вакуумной системы, назначают ориентировочные размеры вакуумных трубопроводов, выбирают коммутирующие элементы, средства измерения давления и т. п.
- 5. Исходя из заданного времени предварительной откачки рабочей камеры, выбирают насос предварительного разрежения.

После проведения проектного расчета конструируют вакуумную систему. В процессе конструирования уточняют все размеры вакуумных трубопроводов, типоразмеры коммутирующих элементов и т. п.

Поверочный расчет выполняется в следующей последовательности:

- 1. В соответствии с окончательными размерами вакуумной системы рассчитывают значение эффективной быстроты откачки системы.
- 2. Рассчитывают время достижения заданного давления в рабочей камере, при этом учитывают кинетику газовыделения и натеканий. При отсутствии этих данных в задании на проектирование выполняется их расчет.
- 3. Рассчитывают время предварительной откачки; при этом учитывают предельное остаточное давление насоса предварительного разрежения, газовыделение и натекание, а также изменение быстроты действия насоса и проводимости трубопроводов в зависимости от давления.

В случае, если полученное в результате расчета время достижения требуемого конечного давления или предварительного разрежения превышает заданное, увеличивают проводимость соответствующего участка вакуумной системы за счет увеличения сечений трубопроводов или выбирают насос с большей быстротой действия.

При необходимости применения нестандартных элементов производят их конструирование и расчет.

С целью облегчения усвоения методики расчетов вакуумных систем и их элементов поясним их на примерах.

#### 20.2. ПРИМЕРЫ РАСЧЕТОВ ГАЗОВЫХ ПОТОКОВ, ДЛИТЕЛЬНОСТИ ОТКАЧКИ И ОТДЕЛЬНЫХ ЭЛЕМЕНТОВ ВАКУУМНЫХ СИСТЕМ

Пример 20.1. Рассчитать длительность откачки рабочей камеры технологической установки от атмосферного давления  $p=1,01\ 10^5\ \Pi$ а до  $p=5,32\ \Pi$ а.

Размеры откачиваемой камеры и вакуумной магистрали предва-

рительного разрежения указаны на рис. 20.1.

Предварительная откачка рабочей камеры осуществляется меха-

ническим вакуумным насосом.

Суммарное газовыделение со стенок вакуумной системы примем разным  $Q'=2,43\cdot 10^{-4}$  м³·Па/с и постоянным во времени, так как предварительная откачка кратковременна.

1. Определяем границы режимов течения газа в трубопроводе

предварительного разрежения.

а) Граница между вязкостным и молекулярно-вязкостным режимами [см. (2.19)]

$$p_{\text{B.M-B}} = \frac{1.33}{3.2 \cdot 10^{-2}} = 41.6 \text{ }\Pi\text{a.}$$

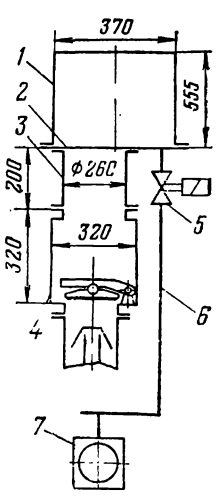
Рис. 20.1. К примеру расчета длительности откачки.

l— рабочая камера; 2— плита; 3— соединительный патрубок; 4— затвор высоковакуумного насоса; 5— электромагнитный клапан ДУ-32; 6— трубопровод системы предварительного разрежения ( $\ell_{\rm BH}$ =32 мм, l=1040 мм); 7— механический вакуумный насос.

б) Граница между молекулярно-вязкостным и молекулярным режимами [см. (2.17)]

$$p_{\text{M-B,M}} = \frac{0.02}{3.2 \cdot 10^{-2}} = 0.624 \text{ Tla.}$$

2. Рассчитываем длительность откачки в диапазоне давлений от атмосферного до 41,6 Па, в котором быстрота действия механического вакуумного насоса  $^*$  постоянна и равна  $S_{\rm H}{=}5,8$  л/с (см. рис. 19.2),



а проводимость трубопровода гораздо больше быстроты действия насоса. Поэтому время откачки сосуда от атмосферы до  $1.33\cdot 10^2$  Па подсчитываем по формуле (2.24), в которой полагаем  $S_0 = S_{\rm H};~Q'_{\Sigma} = 0$ , так как газовыделение в этой области давлений можно не учитывать.

а) Откачиваемый сосуд состоит из объемов колпака 1, соединительного патрубка 3 и корпуса затвора 4:

$$\begin{split} V_{\Sigma} &= V_{\text{KO,TD}} + V_{\text{natp}} + V_{\text{satb}} = \frac{\pi}{4} \left( 370^2 \cdot 555 + 260^2 \cdot 200 + 320^2 \cdot 320 \right) \cdot 10^{-9} = 96 \cdot 10^{-3} \text{ M}^3. \end{split}$$

б) Найдем время откачки, полагая показатель политропы n=1,2 (для воздуха):

$$t_{1,01\cdot10^5\to41,6} = \frac{\cdot 96}{5.8} \ln \frac{(1,01\cdot10^5)^{\frac{1}{1.2}}}{41.6^{\frac{1}{1.2}}} = 107.5 \text{ c.}$$

3. Рассчитаем длительность откачки в диапазоне давлений от 41,6 до 5,32 Па, разбивая этот диапазон на следующие участки:

I — от 41,6 до 20 Па;

II — от 20 до 10 Па;

III — от 10 до 5,32 Па;

причем при расчетс длительности откачки на III участке будем пользоваться формулой (2.23), учитывающей предельное остяточное давление насоса и газовыделение стенок вакуумной системы.

<sup>\*</sup> Зависимость быстроты действия насоса  $\mathcal{S}_{\pi}$  от давления обычно приводится в его паспорте.

а) В диапазоне давлений от 41,6 до 20 Па (І участок), т. е. при среднем по времени давлении

$$\overline{p} = \frac{41.6 + 20}{2} = 30.8 \text{ fla},$$

проводимость трубопровода рассчитывается по формуле (18.33) с учетом того, что эффективная длина трубопровода равна:

$$l_{\text{pacq}} = 104 + 1,33 \cdot 2 \cdot 3,2 = 112,5 \text{ cm} = 1,125 \text{ m};$$

$$U_{\text{M-B-TP}} = 1,36 \cdot 10^{3} \frac{(3,2 \cdot 10^{-2})^{4}}{1,125} 30,8 + \frac{(3,2 \cdot 10^{-2})^{4}}{1+2,35 \cdot 10^{4} \cdot 3,2 \cdot 10^{-2} \cdot 30,8} + \frac{(3,2 \cdot 10^{-2})^{3}}{1,125} = \frac{4,19 \cdot 10^{-2} \text{ m}^{3}/\text{c}}{1}.$$

Проводимость электромагнитного клапана ДУ-32 длиной l=120 мм при давлении 30,8 Па рассчитывается по формуле (18.12), в которую входят значения проводимости этого же клапана при молекулярном и вязкостном режимах, подсчитанные в примере 18.1 ( $U_{\rm M.K.R.}=9,2\cdot10^{-3}~{\rm M}^3/{\rm C}$  и  $U_{\rm B.K.R.}=9,7\cdot10^{-2}~{\rm M}^3/{\rm C}$ ):

$$U_{\text{M-B. KJ}} = 9,2 \cdot 10^{-3} + \frac{9,7 \cdot 10^{-2} - 9,2 \cdot 10^{-3}}{41,6 - 0,624} (30,8 - 0,624) = 73,8 \cdot 10^{-3} \text{ M}^3/\text{c.}$$

Проводимость всей магистрали при давлении 30,8 Па определяется по формуле (2.6):

$$\frac{1}{U_{05\text{III}}} = \frac{1}{4,19 \cdot 10^{-2}} + \frac{1}{73,8 \cdot 10^{-3}} = \frac{1}{2,67 \cdot 10^{-2}} \text{ c/m}^3,$$

$$\text{if } U_{05\text{III}} = 2,67 \cdot 10^{-2} \text{ m}^3/\text{c}.$$

б) Быстроту действия насоса  $S_{\mathbf{z}}$  берем по кривой  $S_{\mathbf{z}} = f(p)$  (см. рис. 19.2) при давлении 30,8 Па:

$$S_{\text{m}} \approx 5.0 \cdot 10^{-3} \text{ m}^3/\text{c}.$$

Эффективная быстрота откачки  $S_{o}$  в соответствии с (2.9) равна:

$$S_0 = \frac{5.0 \cdot 10^{-3} \cdot 3.26 \cdot 10^{-2}}{5.0 \cdot 10^{-3} + 3.26 \cdot 10^{-3}} \approx 4.3 \cdot 10^{-3} \text{ m}^3/\text{c}.$$

в) Рассчитываем время откачки на I участке по формуле (2.23), причем газовыделением по-прежнему пренебрегаем:

$$t_{41.6 \to 20} = \frac{9.6 \cdot 10^{-2}}{4.3 \cdot 10^{-2}} \ln \frac{41.6}{20} = 16.3 \text{ c.}$$

г) В диапазоне давлений от 20 до 10 Па (II участок), т. е. при среднем давлении  $\bar{p}=\frac{20+10}{2}=15$  Па, проводимость трубопровода рассчитывается по формуле (18.33) с учетом, что эффективная длина трубопровода, рассчитываемая по формуле (18.36), равна:

$$l_{pacq} = 104 + 1,33 \cdot 2 \cdot 3,2 = 112,5 \text{ cm} = 1,125 \text{ m};$$

$$\begin{split} U_{\text{M-B.TD}} &= 1,36\cdot 10^{3} \ \frac{(3,2\cdot 10^{-2})^{4}}{1,125} \ 15 + \left(\frac{1+1,9\cdot 10^{4}\cdot 3,2\cdot 10^{-2}\cdot 15}{1+2,35\cdot 10^{4}\cdot 3,2\cdot 10^{-2}\cdot 15}\right) \times \\ &\times 1,21\cdot 10^{2} \ \frac{(3,2\cdot 10^{-2})^{3}}{1,125} = 2,13\cdot 10^{-2} \ \text{M}^{3}/\text{C}. \end{split}$$

Проводимость электромагнитного клапана ДУ-32 при давлении 15 Па рассчитывается так же, как в примере 18.1, и равна  $4\cdot 10^{-2}$  м $^3$ /с.

Проводимость всей магистрали при давлении 15 Па определяется по формуле (2.6):

$$\frac{1}{U_{\text{OGIII}}} = \frac{1}{2,13 \cdot 10^{-2}} + \frac{1}{4,0 \cdot 10^{-2}} = \frac{1}{1,39 \cdot 10^{-2}} \text{ c/m}^3$$

$$\text{M} \ U_{\text{OGIII}} = 1,39 \cdot 10^{-2} \text{ m}^3/\text{c}.$$

д) Быстроту действия насоса  $S_{\rm H}$  при 15 Па берем по кривой  $S_{\rm H}\!=\!f(p)$  (см. рис. 19.2), равной  $S_{\rm H}\!\approx\!4,5\cdot 10^{-3}$  м³/с. Эффективная быстрота откачки  $S_{\rm O}$  в соответствии с (2.9) равна:

$$S_0 = \frac{4.5 \cdot 10^{-3} \cdot 1.39 \cdot 10^{-2}}{4.5 \cdot 10^{-3} + 1.39 \cdot 10^{-2}} = 3.4 \cdot 10^{-3} \text{ M}^3/\text{c}.$$

e) Рассчитаем время откачки на II участке по формуле (2.23), пренебрегая газовыделением:

$$t_{20 \to 10} = \frac{196 \cdot 10^{-3}}{3.4 \cdot 10^{-3}} \ln \frac{20}{10} = 19.6 \text{ c.}$$

ж) Для III участка давлений аналогично предыдущему получим:

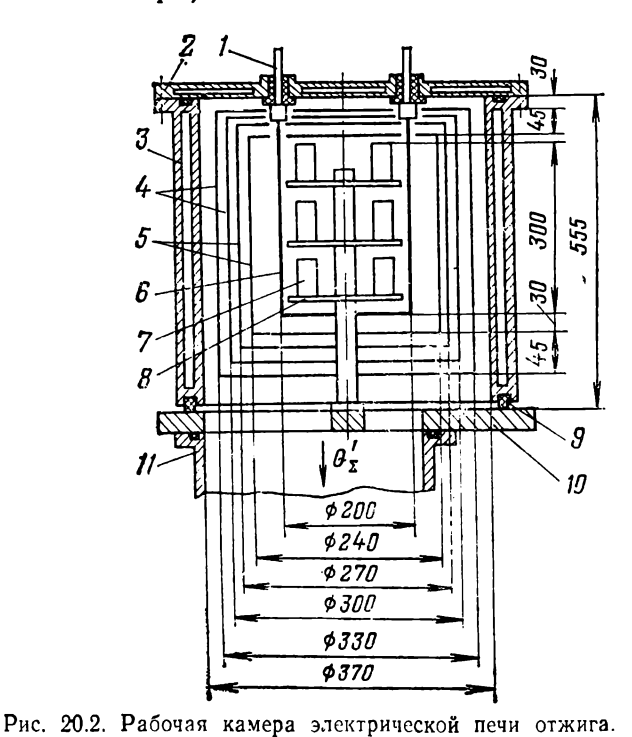
При расчете времени откачки на этом участке учтем предельное остаточное давление, достигаемое в вакуумной системе, которое в нашем случае равно:

$$p_{\text{OCT}} = Q'_{\text{газ}}/S_{\text{O}} + p_{\text{пред}}$$

где  $Q'_{\text{газ}}$  — газовыделение со стенок вакуумной системы, равное по условию  $2.43\cdot 10^{-4}$  м<sup>3</sup>· $\Pi$ a/c;

So — эффективная быстрота откачки;

 $p_{\text{пред}}$  — предельное остаточное давление механического вакуумного насоса, равное 3,06 Па (приводится в его паспорте).



I— медные водоохлаждаемые электроды (площадь поверхности  $A_{\rm 3,\pi}=-0.1320~{\rm m}^2);~2$ — водоохлаждаемая крышка из нержавеющей стали (площадь поверхности  $A_{\rm Kp}=0.1075~{\rm m}^2);~3$ — водоохлаждаемый колпак из нержавеющей стали (площадь поверхности  $A_{\rm Kp}=0.6450~{\rm m}^2);~4$ — внешние тепловые экраны из никеля (площадь поверхности  $A_{\rm 3K,Hu\,K}=2.0706~{\rm m}^2);~5$ — внутренние тепловые экраны из молибдена (площадь поверхности  $A_{\rm 3K,Hu\,K}=2.0706~{\rm m}^2);~5$ — внутренние тепловые экраны из молибдена (площадь поверхности  $A_{\rm 18,Hu\,K}=1.4960~{\rm m}^2);~6$ — мелибденовый нагреватель (площадь поверхности  $A_{\rm 18,Hu\,K}=0.4460~{\rm m}^2);~7$ — изделие (площадь поверхности  $A_{\rm 10,T}=0.1269~{\rm m}^2);~9$ — резиновый уплотнений  $A_{\rm pex}=0.1260~{\rm m}^2$ ); 20— как вержавеющей стали из нержавеющей стали м²); 20— нижняя водоохлаждаемая плита из нержавеющей стали нержавеющей стали

(площадь поверхности  $A_{\pi,\tau}$ =0,1130 м²); 11 — патрубок высоковакуумной си-

В результате время откачки сосуда на участке III в соответствии с формулой (2.23) будет равно:

$$t_{10 \to 5,32} = \frac{96 \cdot 10^{-8}}{1,34 \cdot 10^{-8}} \ln \frac{10 - 3,24}{5,32 - 3,24} = 82,6 \text{ c.}$$

5. Суммарная длительность откачки рабочей камеры технологической установки от атмосферного давления до 5,32 Па равна:

$$t_{\Sigma} = 107.5 + 16.3 + 19.6 + 82.6 = 226 \text{ c.}$$

Пример 20.2. Рассчитать газовый поток, поступающий в вакуумную систему электрической печи отжига (рис. 20.2). Печь вакуумного отжига камерная, с поднимающимся водоохлаждаемым колпаком 3 из нержавеющей стали, внутри которого смонтированы молибденовый листовой нагреватель 6 и тепловые экраны 4 и 5. Два внутренних экрана 5 изготовлены из молибдена, а два внешних экрана 4 — из никеля.

Нагреватель 6 закреплен на медных водоохлаждаемых электродах 1. Рабочий объем печи снизу ограничен водоохлаждаемой плитой 10 из нержавеющей стали. На плите установлена подставка 8 для изделий 7. В качестве уплотнителей в разборных соединениях

камеры применена резина марки 7889.

Отжигаемые в печи изделия в количестве 12 шт. представляют собой цилиндры из малоуглеродистой стали диаметром  $\varnothing$  35 мм и высотой h=100 мм.

Отжиг ведется при температуре 1273 К в течение 6 ч.

Все необходимые для расчета размеры рабочей камеры печи стжига указаны на рисунке.

Расчет потока газов, поступающих в вакуумную систему, ведется по формуле (2.26).

1. Определяем по формуле (2.27) поток газов  $Q'_{\text{изд}}$ , выделяющихся из изделий.

Массу деталей найдем по формуле

$$G = \frac{\pi}{4} d^2h\rho i, \text{ Kr.}$$

где d — диаметр изделий, м;

h — высота изделий, м;

 $\rho$  — плотность, кг/м<sup>3</sup>;

i — количество изделий; i = 12;

$$G = \frac{\pi}{4} (3.5 \cdot 10^{-2})^2 \cdot 10 \cdot 10^{-2} \cdot 7.8 \cdot 10^3 \cdot 12 = 9 \text{ kg}.$$

Коэффициент неравномерности газовыделения  $\Omega$  берем равным 2

ввиду длительности процесса отжига.

Количество газов  $q_{\text{изд}}$ , выделяющихся из 1 кг материала изделий, находим из приложения 8, суммируя соответствующие величины по температурам:

$$q_{\pi 3\pi} = 8.87 \cdot 10^{-4} + 2.87 \cdot 10^{-3} + 1.27 \cdot 10^{-2} + 1.53 \cdot 10^{-4} + 1.78 \cdot 10^{-4} + 1.15 \cdot 10^{-4} + 2.16 \cdot 10^{-4} = 6.8 \cdot 10^{-4} \text{ m}^3/(\Pi a \cdot \text{Kf}).$$

В результате

$$Q'_{\text{H3M}} = \frac{9.0 \cdot 6.8 \cdot 10^{-1} \cdot 2}{3600 \cdot 6} = 5.69 \cdot 10^{-4} \text{ M}^{3} \cdot \Pi \text{a/c}.$$

Окончательно после приведения к комнатной температуре (293 К) получим:

$$Q'_{B3A} = 5,69 \cdot 10^{-4} \frac{293}{273} \approx 6,1 \cdot 10^{-4} \text{ M}^3 \cdot \Pi a/c.$$

2. Определяем по формуле (2.28) поток газов  $Q'_{{\bf r}{\bf a}3}$ , выделяющихся с поверхности элементов, обращенных в сторону вакуумной системы. Величины удельных газовыделений  $q'_{{\bf r}{\bf a}3}$  берем из приложения 7 после 1 или 2 ч откачки, а для резины по рис. 17.3:

$$Q'_{\text{ra3}} = Q'_{\text{ra3.8p}} + Q'_{\text{ra3.8p}} + Q'_{\text{ra3.8p},\text{mon}} + Q'_{\text{ra3.8p}} + Q'_{\text{ra3$$

3. Рассчитаем газовый поток через неплотности в местах соединения узлов рабочей камеры установки. Полагая число возможных мест натеканий равным 15 и считая, что проверка осуществлялась масс-спектрометрическим течеискателем с чувствительностью  $7 \cdot 10^{-13}$  м $^3 \cdot \Pi a/c$ , получаем:

$$Q'_{\text{HaT}} = 7 \cdot 10^{-13} \cdot 15 \simeq 1 \cdot 10^{-11} \text{ M}^3 \cdot \Pi a/c.$$

4. Суммарный газовый поток, поступающий в вакуумную систему электрической печи отжига,

$$Q'_{\Sigma} = 6.1 \cdot 10^{-4} + 2.25 \cdot 10^{-4} + 1 \cdot 10^{-11} \approx 8.35 \cdot 10^{-4} \text{ M}^3 \cdot \Pi a/c.$$

Таблица 20.1

# Скорости удельного и общего газовыделения с поверхности медных элементов при комнатной температуре (293 K) в зависимости от длительности откачки

Длительность откачки, с	Скорость удельного газовыделения, м³•Па/(м²•с)	Скорость общего газовыделения, м³·Па/с		
2000	2.57 · 10 - 5	3,39.10-6		
3000	$2,02 \cdot 10 - 5$	2,67.10-6		
4000	$1,59 \cdot 10 - 5$	2,10.10-6		
5000	1,25.10-5	$1.65 \cdot 10^{-6}$		
6000	$9.86 \cdot 10^{-6}$	$1,30 \cdot 10^{-6}$		
8000	$6,11 \cdot 10^{-6}$	8.06 - 10 - 7		
10 000	3.78 • 10 - 6	4.99.10-7		
12 000	2,29.10-6	3,02.10-7		
15 000	1.15.10-6	1,52.20-7		
18 000	5,57.10-7	7,35.10-8		
20 000	$3,45 \cdot 10^{-7}$	4,55.10-8		
21 600	$2,35 \cdot 10^{-7}$	$3,10 \cdot 10^{-8}$		

Пример 20.3. Определить скорость газовыделения с медных поверхностей вакуумной камеры, имеющих площадь 1320 см² и находящихся при комнатной температуре во время откачки в течение 6 ч.

1. Рассчитаем по формуле (2.32) скорости удельного газовыделения медных поверхностей, принимая величины констант для протравленной и промытой в бензоле и ацетоне меди (см. приложение 7):

$$\lg q'_{ras} = -4,382 - 1,04 \cdot 10^{-4}t.$$

Затем по формуле (2.28) определяем суммарную скорость газовыделения.

Результаты расчета сводим в табл. 20.1

Пример 20.4. Рассчитать скорость газовыделения при комнатной температуре с поверхностей вакуумной камеры, изготовленной из нержавеющей стали площадью 8655 см², во время откачки, продолжающейся 6 ч

Расчет произведем, используя данные приложения 7 для нержавеющей стали по формуле (2.32):

$$\lg q'_{ras} = -3,467 - 4,25 \cdot 10^{-5}t.$$

Суммарную скорость газовыделения определяем по формуле (2.28) и результаты сводим в табл. 20.2.

Таблица 20.2

# Скорости удельного и общего газовыделения с поверхности рабочей камеры из нержавеющей стали при комнатной температуре (293 K) в зависимости от длительности откачки

Длительность откачки, с	Скорость удельного газовыделения, м³·Па/(м²·с)	Скорости общего газовыделения, м³ ·Па/с
2000 3000 4000	2,80·10-4 2,54·10-4 2,31·10-4	2,42·10-4 2,20·10-4 2,00·10-4 1,81·10-4
5000	2,09·10-4	1,81·10-4
6000	1,90·10-4	1,64·10-4
8000	1,56·10-4	1,35·10-4
10 000	1,28·10-4	1,11·10-4
12 000	1,05·10-4	9,09·10 <sup>-5</sup>
15 000	7,86·10-5	6,80·10 <sup>-5</sup>
18 000	5,86·10-5	5,07·10 <sup>-5</sup>
<b>20</b> 000	4,82·10-5	4,17·10 <sup>-5</sup>
21 <b>600</b>	4,12·10-5	3,56·10 <sup>-5</sup>

Пример 20.5. Рассчитать скорость газовыделения в течение откачки длительностью 6 ч уплотнителей вакуумной камеры, выполненных из резины марки 7889, имеющих суммарную площадь 74 см² и нагревающихся до температуры 343 K за счет излучения нагревателей.

Скорость удельного газовыделения с поверхности резиновых уплотнителей принимаем по данным рис. 17.3 и результаты расчета сводим в табл. 20.3.

#### Скорость удельного и общего газовыделения с поверхностей резиновых уплотнителей в зависимости от длительности откачки

Длительность откачки, с	Скорость удельного газовыделения, м³·Па/(м³·с)	Скорость общего газовыделения, м <sup>3</sup> ·П2/с
2000	2,614.10-4	1,94.10-6
3000	2.521 · 10 -4	$1,87 \cdot 10^{-6}$
4000	2,428 · 10 - 1	1,80.10-6
5000	2,335.10-4	$1,73 \cdot 10^{-6}$
6000	2,241.10-4	$1,66 \cdot 10^{-6}$
8000	2,056 · 10 - 4	$1,52 \cdot 10^{-6}$
10 000	1,868.10-4	1,38 · 10 - 6
12 000	1.684 · 10 - 4	$1.25 \cdot 10^{-6}$
15 000	1,428 • 10 - 4	1,06.10-6
18 000	1,260.10-4	9.33.10-7
20 000	1.148.10-4	8,49.10-7
21 600	1,06.10-4	7.85.10-7

Пример 20.6. Определить время, необходимое для откачки камеры с внутренним диаметром 260 мм и высотой 250 мм, изготовленной из малоуглеродистой стали, до давления  $p_1 = 6,65 \cdot 10^{-3}$  Па. Суммарная площадь поверхности фторопластовых уплотнителей, обращенных в вакуумную полость, равна 50 см². Эффективная быстрота откачки вакуумной системы при давлении  $6,65 \cdot 10^{-3}$  Па равна  $S_0 = 1 \cdot 10^{-2}$  м³/с.

Площадь поверхности металлических стенок камеры будет:

$$A_{\text{MET}} = 2\pi \cdot 26^2/4 + \pi \cdot 26 \cdot 25 = 3100 \text{ cm}^2 = 0.31 \text{ m}^2.$$

Умножив соответствующие ординаты кривой рис. 17.1 на  $0.31~\rm m^3$  и кривой рис. 17.2 на  $0.005~\rm m^2$ , получим кривые скорости газовыделения в камере (кривые  $2~\rm m^3$  на рис. 20.3). Сложим ординаты полученных кривых и построим кривую  $1~\rm c$  скорости суммарного газовыделения.

Поток газов, удаляемых вакуумной системой при давлении  $p_1 = 6.65 \cdot 10^{-3}$  Па. равен:

$$Q' = p_1 S_0 = 6.65 \cdot 10^{-3} \cdot 10^{-2} = 6.65 \cdot 10^{-5} \text{ m}^3 \cdot \Pi a/c.$$

Теперь через точку  $Q'=6,65\cdot 10^{-5}$  м³·Па/с на оси ординат проведем горизонталь до пересечения с кривой I скорости суммарного газовыделения. В результате получим, что давление  $p_1=6,65\cdot 10^{-3}$  Па будет достигнуто примерно через 2,4 ч.

Пример 20.7. Рассчитать поток газов, выдєляющихся из деталей цилиндрической формы диаметром 35 мм и высотой h=100 мм, изготовленных из малоуглеродистой стали (плотность  $7.8\cdot 10^3$  кг/м³), во время обезгаживания их в электрической вакуумной печи при температуре 1273 К в течение 6 ч (21 600 с). Количество деталей равно 12 шт.

Расчет потока газов, выделяющихся из нагретых деталей, ведется по формуле (2.28), причем скорость удельного газовыделения 396 q' определяется в нашем случае (детали — цилиндры) выражения-

ми (4.21) или (4.23).

Таким образом, для расчета скорости удельного газовы деления необходимо определить коэффициенты диффузии D и начальные концентрации газа  $c_0$  в материале изделий.

1. Определяем коэффициенты диффузии для системы «желе-

зо — газ» при температуре 1273 К.

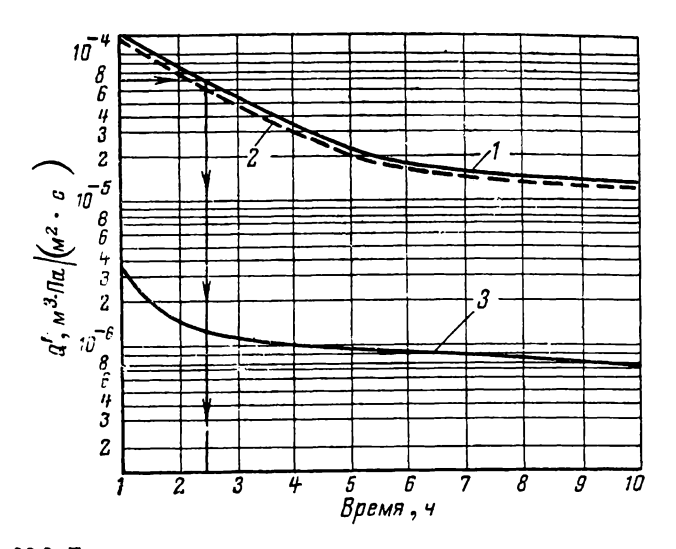


Рис. 20.3. Газовыделение вакуумной камеры.

1 — суммарное газовыделение со стенок камеры и уплотнителя; 2 — газовыделение стенок камеры; 3 — газовыделение с поверхности уплотнителя, изготовленного из фторопласта.

В соответствии с дапными приложения 5 коэффициенты диффузии для водорода, азота, кислорода и углерода при 1273 K будут,  $M^2/C$ :

$$D_{\text{H}_3} = 2,10 \cdot 10^{-8}; \quad D_{\text{N}_3} = 1,35 \cdot 10^{-11};$$
  
 $D_{\text{O}_4} = 7,50 \cdot 10^{-14}; \quad D_{\text{c}} = 2,00 \cdot 10^{-11}.$ 

2. Определяем начальную концентрацию газа в материале изделий. Начальная концентрация (газосодержание) определяется с использованием формулы (4.25).

Поскольку сведения о начальной концентрации  $c_0$  в малоуглеродистой стали отсутствуют, воспользуемся для ее определения данными по суммарному газовыделению соответствующих газов при прогреве в вакууме, приведенными в приложении  $g_0$ 

Исходя из опыта, обычно считают, что при прогреве в вакууме твердых тел, не доведенных до расплавления, выделяется примерно

70% содержащихся в них газов.

Газовыделение водорода  $q_{{\tt ras}}$  из малоуглеродистой стали составляет:

$$q_{\text{ras}} = 2,05 \cdot 10^{-2} + 2,04 \cdot 10^{-2} + 2,98 \cdot 10^{-2} + 3,7 \cdot 10^{-2} = 1,08 \cdot 10^{-1} \text{ M}^3 \cdot \Pia/\text{Kr}.$$

Увеличив соответственно полученное значение  $q_{{\tt ra}\,{\tt 3}}$  и отнеся его к 1 м³ материала изделия [см. формулу (4.25)], найдем начальное газосодержание водорода  $c_{{\tt OH}_{\tt a}}$  в малоуглеродистой стали:

$$c_{0\mathrm{H}_3} = 1.08 \cdot 10^{-1} \cdot 7.8 \cdot 10^3 \frac{100}{70} = 1.21 \cdot 10^3 \ \mathrm{M}^3 \cdot \Pi_{\mathrm{a}} / \mathrm{M}^3.$$

Аналогично найдем начальное газосодержание азота и окиси углерода:

$$c_{0N_2} = 1,86 \cdot 10^{-1} \cdot 7,8 \cdot 10^3 \frac{100}{70} = 2,085 \cdot 10^3 \text{ m}^3 \cdot \Pia/\text{m}^3;$$
  
 $c_{0CO} = 3,68 \cdot 10^{-1} \cdot 7,8 \cdot 10^3 \frac{100}{70} = 4,13 \cdot 10^3 \text{ m}^3 \cdot \Pia/\text{m}^3.$ 

3. Определяем скорость удельного газовыделения водорода. Для

этого вначале, воспользовавшись выражением (4.22), определяем применимость формул (4.21) или (4.23):

$$t = \frac{\pi (3.5 \cdot 10^{-2})^2}{96 \cdot 2.15 \cdot 10^{-8}} = 1.86 \cdot 10^8 \text{ c} \leq 21600 \text{ c}.$$

Таким образом, скорость удельного газовыделения водорода следует рассчитывать по формуле (4.23), после логарифмирования которой получим:

$$\ln q' = \ln \frac{2c_0 D}{d} + \frac{\pi}{4} + \frac{6D}{R^2} t.$$

Тогда

$$\ln q'_{\rm H_2} = \ln \frac{1,21 \cdot 10^3 \cdot 2,15 \cdot 10^{-8}}{\frac{3,5}{2} \cdot 10^{-2}} + \frac{\pi}{4} -$$

$$-\frac{6 \cdot 2,15 \cdot 10^{-8}}{\left(\frac{3.5}{2} \cdot 10^{-2}\right)^2} t = \ln 1,49 \cdot 10^{-8} + 0,785 - 4,21 \cdot 10^{-4} t$$

или

$$q'_{H_a} = 1,49 \cdot 10^{-3} e^{0,785 - 4,21 \cdot 10^{-4}t}, \text{ M}^3 \cdot \Pi a/(M^2 \cdot c).$$

Результаты вычислений  $q'_{\rm H_2}$  для различных времен сведем в табл. 20.4.

398

#### Результаты вычислений скорости удельного газовыделения в зависимости от длительности обезгаживания

Длитель- ность обез- гаживания, с	q'H₂, м³-Па/(м²× Хс)	q' <sub>N₂'</sub> м²·Па/(м²× ×с)	q'CO, M³·Πa/(M²X XC)	q' <sub>Σ</sub> , м³·Па/(м²·с)	Q' <sub>изд</sub> , м³•Па/с
2000 39004 4900 5 100 6000 6000 10 000 12 000 15 000 18 000 20 000 21 600	1,41·10 <sup>-3</sup> 9,23·10 <sup>-4</sup> 6.06·10 <sup>-4</sup> 4,06·10 <sup>-4</sup> 4,06·10 <sup>-4</sup> 2,62·10 <sup>-4</sup> 1,14·10 <sup>-4</sup> 4,89·10 <sup>-5</sup> 1,91·10 <sup>-5</sup> 6,02·10 <sup>-6</sup> 1,70·10 <sup>-6</sup> 7,60·10 <sup>-7</sup> 3.81·10 <sup>-7</sup>	1,021·10 <sup>-4</sup> 8,357·10 <sup>-5</sup> 7,208·10 <sup>-5</sup> 6,448·10 <sup>-5</sup> 5,868·10 <sup>-5</sup> 4,526·10 <sup>-5</sup> 4,128·10 <sup>-5</sup> 3,678·10 <sup>-5</sup> 3,168·10 <sup>-5</sup> 3,168·10 <sup>-5</sup> 3,048·10 <sup>-5</sup>	2,28·10 <sup>-4</sup> 1,86·10 <sup>-4</sup> 1,61·10 <sup>-4</sup> 1,41·10 <sup>-4</sup> 1,31·10 <sup>-4</sup> 1,13·10 <sup>-4</sup> 1,01·10 <sup>-4</sup> 1,01·10 <sup>-5</sup> 7,45·10 <sup>-5</sup> 7,06·10 <sup>-5</sup> 6,77·10 <sup>-6</sup>	1,740-10-3 1,193-10-3 8,391-10-4 6,085-10-4 4,517-10-4 2,778-10-4 1,952-10-4 1,522-10-4 1,097-10-4 1,097-10-4 1,030-10-4 9,856-10-5	2 70·10 <sup>-4</sup> 1,85·10 <sup>-4</sup> 1,30·10 <sup>-4</sup> 1,06·10 <sup>-4</sup> 7,01·10 <sup>-5</sup> 4,30·10 <sup>-5</sup> 3,02·10 <sup>-5</sup> 2,36·10 <sup>-5</sup> 1,70·10 <sup>-</sup> 1,50·10 <sup>-5</sup> 1,50·10 <sup>-5</sup>

4. Определяем скорость удельного газовыделения азота Воспользовавшись выражением (4.22), определяем применимость формул (4.21) или (4.23):

$$t = \frac{\pi (3.5 \cdot 10^{-2})^2}{96 \cdot 1.55 \cdot 10^{-11}} = 2,58 \cdot 10^6 \geqslant 21600 \text{ c.}$$

Таким образом, скорость удельного газовыделения азота рассчитываем по формуле (4.21):

$$\begin{aligned} {q'}_{\mathrm{N_2}} &= 2,085 \cdot 10^{3} \left[ \sqrt{\frac{1,55 \cdot 10^{-11}}{\pi t}} - \frac{1,55 \cdot 10^{-11}}{3,5 \cdot 10^{-2}} \right] = \\ &= \frac{4,62 \cdot 10^{-3}}{\sqrt{t}} - 9,24 \cdot 10^{-7} \ \mathrm{m^{3} \cdot \Pia/(m^{2} \cdot c)}. \end{aligned}$$

Результаты вычислений  $q'_{N_2}$  для различных времен также сведем в табл. 20.4.

5. При подсчете скорости удельного газовыделения окиси углерода принимается, что она ограничивается процессом диффузии углерода к поверхности, где атомы углерода восстанавливают окисную пленку и выделяются в объем в виде молекул СО. Таким образом, расчеты ведем для системы «железо — углерод», для которой

$$t = \frac{(3.5 \cdot 10^{-2})^2}{96 \cdot 1.95 \cdot 10^{-11}} = 3.83 \cdot 10^6 \gg 21600 \text{ c.}$$

Тогда в соответствии с (4.21)

$$q'_{\text{CO}} = 4.13 \cdot 10^{3} \left[ \sqrt{\frac{1.95 \cdot 10^{-11}}{\pi t}} - \frac{1.95 \cdot 10^{-11}}{3.5 \cdot 10^{-2}} \right] = \frac{1.03 \cdot 10^{-2}}{\sqrt{t}} - 2.3 \cdot 10^{-6} \text{ M}^{3} \cdot \Pi_{\text{A}/\text{(M}^{2} \cdot \text{C)}}.$$

Результаты вычислений  $q'_{CO}$  сводим в табл. 20.4.

- 6. Суммируя для каждого значения времени t величины  $q'_{H_2}$ ,  $q'_{N_2}$  и  $q'_{CO}$ , соответственно получаем величины  $q'_{\Sigma}$  для тех же времен.
  - 7. Определяем поток газов из изделий.
  - а) Общая поверхность изделий будет равна:

$$A_{\text{H3M}} = \left(\pi \cdot 3.5 \cdot 10 + \frac{\pi \cdot 3.5^2}{4} 2\right) 12 = 1550 \text{ cm}^2 = 1.55 \cdot 10^{-1} \text{ m}^2.$$

б) Рассчитываем по формуле (2.28) поток газов и результаты расчетов для каждого момента времени сводим в табл. 20.4. На рис. 20.4 дан график  $Q'_{\pi^3\pi} = f(t)$ .

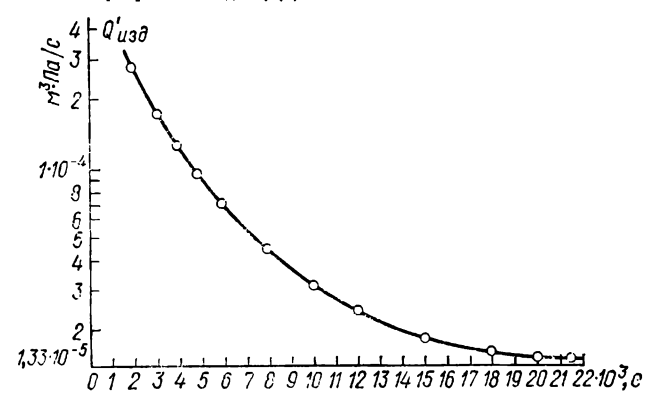


Рис. 20.4. Поток газов из изделий в зависимости от времени.

Пример 20.8. Рассчитать поток газов, диффундирующих из атмосферного воздуха в вакуумный сосуд через стакан из нержавеющей стали, нагретый до 1273 К. Размеры нагретой части стакана показаны на рис. 20.5.



Рис. 20.5. Стакан из нержавеющей стали.

Рассчитаем по формуле (4.13) поток газов (водорода, азота и кислорода) через материал стакана для плоской стенки, считая толщину стенки равной

$$Z = \frac{25 - 20}{2} = 2.5 \text{ mm} = 2.5 \cdot 10^{-8} \text{ m}$$

и площадь поверхности стенки равной площади стакана по среднему его диаметру

$$A_{\rm cr} = \frac{\pi (2,5+2,0)}{2} 15 = 106 \text{ cm}^2 = 1,06 \cdot 10^{-2} \text{ m}^2.$$

Проницаемость газов для нержавеющей стали принимаем рав-

ной проницаемости соответствующих газов для железа.

1. Подсчитываем коэффициент проницаемости по водороду по формуле (4.11), выбирая значения константы проницаемости  $k_0$  и энергии активации проницаемости  $E_{\rm пр}$  из приложения 6:

$$k_{\rm np} = 1.88 \cdot 10^{-4} e^{-\frac{8.04 \cdot 10^7}{2 \cdot 8.314 \cdot 10^8 \cdot 127\%}} = 4.27 \cdot 10^{-6} \, \text{m}^3 \cdot \Pi \, \text{a/(m}^2 \cdot \text{c)}.$$

Перепад давлений для водорода принимаем равным парциальному давлению его в воздухе (см. приложение 9), т. е.

$$p_{\rm H_a} = 5{,}06\ 10^{-2}\ \Pi a$$
.

Тогда в соответствии с формулой (4.13) получим:

$$q'_{\rm H_2} = 4.27 \cdot 10^{-6} \; \frac{V_{\rm f} 5.06 \cdot 10^{-2}}{2.5 \cdot 10^{-8}} = 3.84 \cdot 10^{-4} \; {\rm m}^3 \cdot \Pi a/({\rm m}^2 \; {\rm c}).$$

2. Проницаемость по азоту

$$k_{\rm np} = 5,19 \cdot 10^{-4} e^{-\frac{1,996 \cdot 10^8}{2 \cdot 8,314 \cdot 10^3 \cdot 1273}} = 4,51 \cdot 10^{-8} \, \text{M}^2 \cdot \Pi_a/(\text{M}^2 \cdot \text{c}).$$

Парциальное давление азота в воздухе

$$p_{N_0} = 7.9 \cdot 10^4 \; \Pi a.$$

Тогла

$$q'_{N_2} = 4.51 \cdot 10^{-8} \frac{\sqrt[4]{7.9 \cdot 10^4}}{2.5 \cdot 10^{-8}} = 5.08 \cdot 10^{-8} \text{ M}^8 \cdot \Pia/(M^2 \cdot c).$$

3. Проницаемость по кислероду не учитываем из-за малой пропицаемости его через нержавеющую сталь.

Общий поток газов через нагретый стакан

$$Q'_{\Sigma} = (q'_{H_s} + q'_{N_s}) A = (3.84 \cdot 10^{-4} + 5.08 \cdot 10^{-8}) \cdot 1.06 \cdot 10^2 = 5.46 \cdot 10^{-5} \, \text{m}^3 \cdot \Pi_6/c.$$

Пример 20.9. Рассчитать поток газов проникающих через уплотнитель, изготовленный из резины марки 7889 и имеющий площадь 74 см² и толщину 1 см при комнатной температуре (298 K).

1. Проницаемость резины 7889 для азста при 298 K в состветствии с данными приложения 6 при разности давлений 1 Па и толщине пластины 1 м равна  $q'=1\cdot 10^{-11}$  м<sup>3</sup>·Па/(м<sup>2</sup>·с).

Учтя, что парциальное давление  $p_{N_2}$  азота в атмосфере равно  $7.9 \cdot 10^4$  Па (см. приложение 9) и толщина уплотнителя  $\boldsymbol{\zeta}$  равна 1 см. получим:

$$Q'_{N_2} = q'_1 p_{N_2}^{1/1} \frac{A}{Z} = 1 \cdot 10^{-11} \cdot 7.9 \cdot 10^4 \cdot \frac{7.4 \cdot 10^{-8}}{1 \cdot 10^{-2}} = 5.85 \cdot 10^{-7} \cdot M^8 \cdot \Pi a/c.$$

2. Проницаемость резины 7889 для кислорода принимаем равной проницаемости для кислорода натуральной резины. С помощью приложения 6 определяем значение проницаемости по уравнению (4.13), воспользовавшись значениями  $k_0 = 8,86 \cdot 10^{-6}$  м³·Па·м/(м²·с),  $E_{\pi r} = 26 - 1081$ 

 $=3,14\cdot 10^7$  Дж/кмоль и значением парциального давления кислорода  $p_{\rm O_2}=2,12\cdot 10^4$  Па (см. приложение 9):

$$q'_{O_3} = \frac{8,86 \cdot 10^{-6}}{1 \cdot 10^{-1}} 2,12 \cdot 10^4 e^{-\frac{3,14 \cdot 10^7}{8,314 \cdot 10^8 \cdot 298}} = 5,89 \cdot 10^{-5} \text{ m}^8 \cdot \Pi a/(\text{m}^2 \cdot \text{c.})$$

Так как в нашем случае площадь уплотнителя равна 74 см $^2$ , то получим:

$$Q'_{O_2} = 5.89 \cdot 10^{-5} \cdot 7.4 \cdot 10^{-3} = 4.36 \cdot 10^{-7} \text{ M}^{8} \cdot \Pia/c.$$

Проницаемость уплотнителя по водороду, гелию и другим газам не рассматриваем ввиду незначительных их содержаний в атмосферном воздухе.

3. Общий газовый поток через резиновый уплотнитель будет равен:

$$Q'_{r} = 5.85 \cdot 10^{-7} + 4.36 \cdot 10^{-7} \approx 1.02 \cdot 10^{-8} \text{ m}^{3} \cdot \Pi_{a/c}$$

### 20.3. РАСЧЕТ ВАКУУМНОЙ СИСТЕМЫ ЭЛЕКТРИЧЕСКОЙ ПЕЧИ ОТЖИГА ДЕТАЛЕЙ ЭВП

В печи отжигаются детали цилиндрической формы диаметром 35 мм и высотой 100 мм в количестве 12 шт., изготовленные из малоуглеродистой стали.

Длительность отжига при температуре 1273 К составляет не бо-

лее 6 ч.

Давление в рабочей камере при отжиге должно быть не более 1 10<sup>-3</sup> Па. Давление в конце процесса отжига — 6.6·10<sup>-4</sup> Па.

Длительность предварительной откачки рабочей камеры не более 5 мин.

Печь отжига камериая с поднимающимся колпаком, внутри которого смонтированы нагреватель и тепловые экраны.

Чертеж рабочей камеры вакуумной печи с необходимыми для расчета размерами изображен на рис. 20.2.

### Проектный расчет

1. Исходя из заданного давления  $p=1\cdot 10^{-3}$  Па, выбираем в качестве основного насоса пароструйный диффузионный насос, для нормальной работы которого необходимо предварительное разрежение порядка 1-10 Па.

Для создания указанного предварительного разрежения выбираем механический вакуумный насос с масляным уплотнением.

2. Так как в техническом заданни отсутствует величина потока газов, рассчитаем ее.

Расчет суммарного потока газа в предположении, что он постоянен для рабочей камеры печи отжига, произведен нами в примере 20.2.

 Общий поток газа, поступающий в вакуумную систему печи, равен:

$$Q'_{\Sigma} = 8.35 \cdot 10^{-4} \text{ M}^8 \cdot \Pi \text{a/c}_{\epsilon}$$

3. Определим необходимую эффективную быстроту откачки рабочей камеры печи:

$$S_0 = \frac{Q_{\Sigma}'}{p} = \frac{8,35 \cdot 10^{-4}}{1 \cdot 10^{-3}} = 0,83 \text{ m}^3/\text{c}.$$

Эффективная быстрота откачки для вакуумных систем, оснащенных диффузионным насосом, обычно в 2 раза меньше быстроты действия насоса (см. § 19.1). В связи с этим выбираем высоковакуумный паромасляный диффузионный насос Е-250/2500, имеющий

быстроту действия 1800 л/с (см. приложе-

ние 15).

4. Для создания предварительного разрежения в высоковакуумном насосе выбираем механический вакуумный насос 2HBP-5Д, который имеет среднюю быстроту действия 5 л/с в диапазоне давлений  $10^5$ — $10^2$  Па (см. приложение 12).

5. Определяем принципиальную схему вакуумной системы печи (рис. 20.6).

Рабочая камера, 8 откачивается высоковакуумным диффузнонным насосом 2 гипа H-250/2500 через затвор 1. Выпускной патрубок насоса 2 через форвакуумный баллон 3 и электромагнитный клапан 5 соединен с механическим вакуумным насосом 4 типа 2HBP-5Д.

Предварительная откачка рабочей камеры осуществляется тем же механическим насосом 4 через электромагнитный клапан 6. Для напуска воздуха в рабочую камеру перед подъемом колпака и в механический насос после его выключения предназначен электромагнитный клапан напуска 7. Для измерения давления в различных

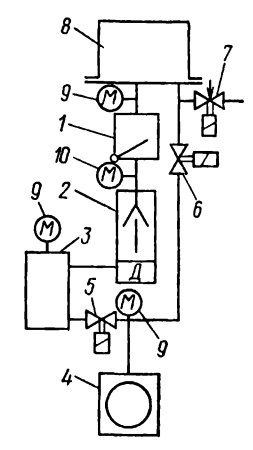


Рис. 20.6. Принципиальная схема вакуумной системы печи отжига.

участках системы предусмотрены манометрические преобразователи 9 и 10.

6. Проверим возможность использования механического пасоса 4 для предварительной откачки рабочей камеры, имеющей объем V=60 л, за время t=5 мин. Считаем, что предварительная откачка должна идти до давления 5,3 Па.

Так как заданное конечное давление в рабочей камере значительно больше предельного давления насоса 4, то в расчетах пре-

дельное давление учитывать не будем. -

Рассчитаем по формуле (2.23) время предварительной откачки рабочей камеры. По формуле (19.1) с учетом того, что для механических насосов  $v=1,1 \div 1,25$ , получим:

$$S_0 = \frac{1}{1.25} \cdot 5 \cdot 10^{-3} = 4 \cdot 10^{-3} \text{ m}^3/c$$

Тогда

$$t = \frac{60 \cdot 10^{-3}}{4 \cdot 10^{-3}} \ln \frac{10^5}{5.3} = 148 \text{ c.}$$

Таким образом, полученное время предварительной откачки го-

раздо меньше заданного.

После определения принципиальной схемы и выбора типоразмеров насосов приступают к конструированию вакуумной системы и к поверочному расчету.

# Поверочный расчет

1. Произведем уточненный расчет количества газов, поступающих в вакуумную систему, и построим кривую, характеризующую изменение потока газов во времени.

Основное количество газов поступает в вакуумную систему за счет диффузни из толици материала изделий. Нагретые до температуры свыше 580—680 К элементы конструкции рабочей камеры вакуумной печи достаточно хорошо обезгаживаются во время нескольких первых тренировочных циклов отжига после изготовления установки и в дальнейшем служат источником выделения лишь физически адсорбированных на поверхностях газов в начале технологического цикла.

 а) Рассчитаем поток газов, выделяющихся из изделий. Расчет ведем с учетом его изменения во времени по методике, изложенной

в § 2.7.

Поток газов, выделяющихся из изделий, отжигаемых в рассчитываемой электрической печи, определен в примере 20.7 (см. табл. 20.4 и рис. 20.4). Заносим значения потока газов, выделяющихся из изделий, в графу 2 табл. 20.5.

б) Рассчитаем поток газов с поверхности элементов, располо-

женных в рабочей камере.

Так как скорость десорбции физически адсорбированных газов с поверхности экспоненциально зависит от температуры, то нагретые элементы выделяют эти газы практически полностью на начальном этапе технологического процесса отжига во время подъема температуры. Затем уровень газовыделения нагретых элементов становится постоянным и соответствует газовыделению отожженных в вакууме материалов.

Примем скорость удельного газовыделения с поверхностей нагретых элементов рабочей камеры (молибденовых и никелевых экранов, нагревателей и подставки) после высокотемпературного вакуумного отжига для всех материалов примерно одинаковой и равной

$$q'_{\text{ras}} = 6,66 \cdot 10^{-9} \text{ m}^3 \cdot \Pi a/(\text{m}^2 \cdot \text{c}),$$

лежащей в интервале скоростей удельных газовыделений для нержавеющей стали после отжига в вакууме при 673 K (см приложение 7).

Площадь поверхностей нагретых элементов возьмем из примера 20.2:

$$Q'_{\text{ras}} = q'_{\text{ras}}(A_{\text{молиб.3Np}} + A_{\text{вик.3Np}} + A_{\text{вагр}} + A_{\text{подс}}) =$$
  
=  $6.66 \cdot 10^{-9}(1.496 + 2.0706 + 0.446 + 0.1269) = 2.76 \cdot 10^{-8} \text{ M}^3 \cdot \Pi a/c.$ 

Газовыделение с поверхностей холодных элементов (медных электродов, колпака, крышки колпака, плиты, резиновых уплотнителей) переменно во времени.

Расчет газовыделения этих элементов проведен нами в примерах 20.3—20.5.

Для определения потока газов, поступающих в камеру печи с поверхностей холодных элементов, суммируем значения суммарно-

го газовыделения из таблиц 20.1-20.3 и заносим полученные вели-

чины в графу 3 таблицы 20.5.

в) Поток газов, связанный с натеканием в рабочую камеру, считаем постоянным и принимаем таким же, как и при проектном расчете (см. пример 20.2):

$$Q'_{\text{Ma.T}} = 1.10^{-11} \text{ m}^3 \cdot \Pi_a/c$$
.

Как видно из сравнения  $Q'_{\text{нат}}$  с другими источниками газовыделения, поток газов за счет натекания относительно невелик и практически не сказывается на общем потоке газов. Следует подчеркнуть, что получение такого весьма малого  $Q'_{\text{пат}}$  можно достичь только тщательным изготовлением вакуумной системы установки.

Суммируем поток газов за счет натекания с потоком газов, выделяющихся с поверхностей нагретых элементов (см. п. «б»), и по-

лученное значение заносим в графу 4 таблицы 20.5.

г) Рассчитаем поток газа за счет проницаемости материалов. Такой расчет необходимо производить в тех случаях, когда в конструкции вакуумной камеры имеются нагретые элементы, отделяющие вакуумную камеру от атмосферы

В рассматриваемой конструкции печи таким нагретым элементом, через который диффундируют газы, является стакан термопа-

ры, изготовленный из нержавеющей стали (см. рис. 20.5).

Расчет потока газов, проникающих через стенки стакана термопары, выполнен нами в примере 20.8 и равен:

$$Q'_{c\tau} = 5.46 \cdot 10^{-5} \text{ M}^3 \cdot \Pi a/c.$$

Расчет потока газов, проникающих из атмосферы через материал резиновых уплотнителей, рассчитан в примере 20.9 и равен:

$$Q'_{pes.ymn} = 1,02 \cdot 10^{-6} \text{ M}^{3} \cdot \Pi a/c.$$

Таблица 20.5

# Общий поток газов, поступающих в вакуумную систему электрической печи отжига, и давление в ее рабочей камере

Длительность от- качки,	Поток га- зов из из- делий, м <sup>3</sup> ·Па/с	Поток газов с поверхностей холодных элементов камеры печи, м³•Па/с	Поток газов, натекающих в рабочую камеру через неплотности и поступающих с поверхности нагретых элементов, м³.Па/с	Поток га- зов, прони- кающих в рабочую камеру, за счет прони- цаемости материалов, м <sup>8</sup> -Па/с	Общий поток газов, поступающих в ва- куумную систему, м³- Па/с	Давление в рабочей камере, Па
2000	2,70.10-4	2,474.10-4	2,761 · 10-	5,562-10-5	5,730-10-4	6,60.10-4
3000 4000	1,85·10 <sup>-4</sup> 1,30·10 <sup>-4</sup>	2.039.10-4	2,761·10 <sup>-8</sup> 2,761·10 <sup>-8</sup>	5,562·10 <sup>-5</sup> 5,562·10 <sup>-5</sup>	4,652·10 <sup>-4</sup> 3,895·10 <sup>-4</sup>	5,36·10 <sup>-4</sup> 4,49·10 <sup>-4</sup>
5000	1.06.10-4	1.844-10-4	2,761.10-	5.562 10-8	3,460-10-4	3.99.10-4
6000	7,01-10-	1,670-10-4	2,761 - 10-8	5,562 10-5	2,927.10-4	3,37.10-4
8000	4,30.10-5	1,373-10-4	2,761 · 10-8	5,562.10-5	2,359 10-4	2,72.10-4
10 000	3,02.10-	1,129-10-4	2,761 - 10-8	5,562 10-5	1,987-10-4	2,29·10 <sup>-4</sup> 1,98·10 <sup>-4</sup>
12 000 15 000	2,36·10 <sup>-6</sup> 1.93·10 <sup>-6</sup>	9,245·10 <sup>-6</sup> 6,924·10 <sup>-6</sup>	2,761·10 <sup>-8</sup> 2,761·10 <sup>-8</sup>	5.562-10.5 5.562-10.5	1,717·10 <sup>-4</sup> 1,442·10 <sup>-4</sup>	1,66.10
18 000	1.70.10-5	5.170.10	2:761:10-8	5.562-10-5	1.243.10-4	1.43 10-4
20 000	1,59.10-	4.183-10-6	2,761-10-8	5.562 10-5	1.134.10	1.31.10-4
21 600	1,53 - 10-5	3.644-10-5	2.761.10-8	5,562 10-5	1.074.10-4	1,24.10-4

Таким образом, общий поток газов, обусловленный проницаемо-

$$Q'_{\Sigma \text{ прониц}} = Q_{\text{ст}}' + Q'_{\text{рез,упл}} = 5,562 \cdot 10^{-8} \text{ M}^3 \cdot \Pi_a/c.$$

д) Рассчитаем общий поток газа, просуммировав потоки газов, поступающих с нагретых и холодных элементов печи, за счет натекания и потока газа, обусловленного проницаемостью через нагретые стенки и резиновый уплотнитель. Результаты расчета общего потока газов, поступающих в вакуумную систему установки, представлены в графе 6 табл. 20.5.

Результат представим также в виде графика, изображенного на рис. 20.7.

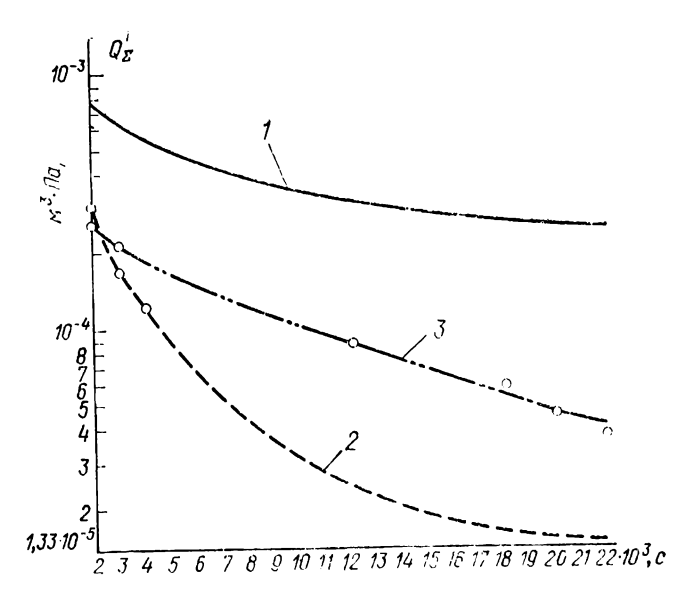


Рис. 20.7. Скорость изменения общего потока газов в зависимости от времени при температуре 1273 К.

I — общий поток газов, поступающих в вакуумную систему; 2 — поток газов, поступающих из обрабатываемых (обезгаживаемых нагревом в вакууме) деталей; 3 — поток газов, поступающих с поверхностей холодных элементов; потоки газов, поступающих за счет натежания, проницаемости и с поверхности горячих элементов, приняты постоянными во времени.

2. Определяем проводимость высоковакуумной системы, состояшей из высоковакуумного насоса H-250/2500 с затвором, соединительного патрубка с внутренним диаметром 260 мм и длиной 200 мм и диафрагмы, имеющей форму двух сегментов (см. рис. 18.4). Расчет проводимости высоковакуумной системы электрической печи отжига приведен нами в примере 18.2.

Проводимость высоковакуумной системы

$$U_{0.6 \text{ m}} = 1.677 \text{ m}^3/\text{c}.$$

3. Рассчитаем по уравнению (2.9) эффективную быстроту откачки рабочей камеры:

$$S_0 = \frac{1.8 \cdot 1.677}{1.8 + 1.677} = 0.868 \text{ M}^8/\text{c},$$

где  $S_B = 1.8 \text{ м}^3/\text{с}$  — быстрота действия насоса H-250/2500.

4. Рассчитаем по формуле (2.3) давление в рабочей камере в процессе отжига и в конце его. Результаты расчета сведем в табл. 20.5.

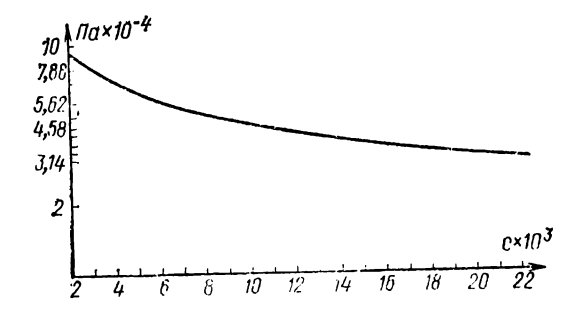


Рис. 20.8. Изменение давления в рабочей камере при температуре 1273 К в зависимости от времени откачки.

Как видно из табл. 20.5 и рис. 20.8, по истечении 2 ч с начала отжига давление становится около 3.10-4 Па, а в конце отжига достигает 1,24 · 10-4 Па. Таким образом, рассчитанная и сконструированная высоковакуумная система установки удовлетворяет требованиям технического задания.

5. Произведем поверочный расчет вакуумной системы предварительного разрежения.

Расчет вакуумной системы предварительного разрежения дан нами в примере 20.1. Длительность откачки рабочего сосуда составляет 226 с, что меньше заданного времени, равного 5 мин.

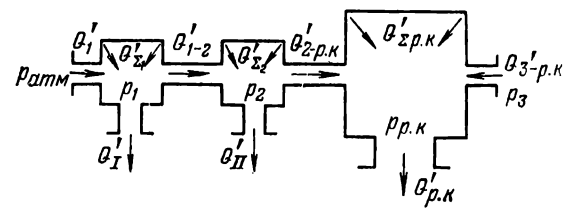


Рис. 20.9. Схема установки с открытой шлюзовой системой.  $Q'_1$  — поток газа, натекающего со стороны входного шлюза;  $Q'_{1-2}$  — поток газа, перетекающего из первого шлюза во второй;  $Q'_{2-p,\kappa}$  — поток газа, перетекающего из второго шлюза в рабочую камеру;  $Q'_{8-p,\kappa}$  — поток газа, перетекающего из третьего шлюза в рабочую камеру;  $Q'_{\Sigma_1}$ ,  $Q'_{\Sigma_2}$ ,  $Q'_{\Sigma_n}$  — сум-

марные газовыделения в первом и втором шлюзах и в рабочей камере;  $Q'_{1}$ ,  $Q'_{11}$ ,  $Q'_{11}$ ,  $Q'_{11}$  — потоки газов, удаляемых насосами первого и второго шлювов и рабочей камеры;  $p_{a,T}$ ,  $p_1$ ,  $p_2$ ,  $p_{D,K}$ ,  $p_3$  — атмосферное давление и давления в соответствующих участках вакуумной системы.

р. Проверим соответствие параметров механического вакуумно-

го насоса 2НВР-5Д и паромасляного насоса Н-250/2500.

Такой расчет дан в примере 19.1 и показал, что выбранный при проектном расчете насос предварительного разрежения обеспечивает в выходном патрубке высоковакуумного насоса необходимое давление.

7. Проведем расчет форвакуумного баллона, в результате которого должны быть определены его геометрические размеры. Расчет форвакуумного баллона по данным рассчитываемой вакуумной системы приведен в примере 19.2.

Размеры форвакуумного баллона: диаметр — 210 мм, длина —

420 мм.

В заключение подчеркнем, что методика расчета любой вакуумной системы, в том числе и более сложной, например с несколькими параллельно работающими насосами, основывается на составлении баланса газовых потоков и определении газового потока, удаляемого средством откачки.

Характерный пример распределения потоков вакуумной системы технологической установки для нанесения тонких пленок в вакууме

с открытыми шлюзовыми устройствами показан на рис. 20.9.

Расчет вакуумных систем шлюзовых камер и рабочей камеры в этом случае отличается от вышерассмотренного расчета лишь необходимостью учесть потоки газов, перетекающих из одной камеры в другую.

Приложение 1 Некоторые параметры газов

	пекоторые параметры газов											
BJH A	273 - 10	oro	c	м	n. 10se	u <sub>a</sub> .	10-2	Nu - 10-17	М'.10-	3.10	T	η·108
ras nap	27	a.1010			Ė	273 K	298 K	Z	M	P.133		•
Ha	11,04	2,75	84,4	2,016	0,3347	16,93	17,70	11,23	0,3759	0,118	192,3 272,1 273,1 293,1 524,5	0,666 0,830 0,842 0,887 1,298
He	17,53	2,18	80	4,003	0,6646	12,01	12,56	7,969	0,5297	0 <b>,2</b> 35	15,6 273,1 293,1 457,7	0,272 1,876 1,970 2,699
Ne	12,42	2,60	56	20,18	3,351	5,355	5,594	3,550	1,190	1,180	194,7 273,1 288,1 717,6	2,367 2,973 3,076 5,584
Воз-	5,98	3,74	112	28,92	<b>4,8</b> 11	5 <b>,4</b> 68	5,668	2,962	1,425	1,700	194,7 273,1 293,1 573,1 943,8	1,303 1,709 1,808 2,946 4,210
0,	6,33	3,64	1,25	<b>32,</b> 00	5 <b>,3</b> 13	4,252	4,442	2,819	1,497	1,890	82 273,1 296,1 458,9	0,65 1,92 2,039 2,885
Ar	6,20	3,67	142	39,94	6,631	3,805	3,976	2,523	1,675	2,350	273, 1 288, 5 373, 5 523, 1	2,096 2,196 2,688 3,444
co;	3,88	4,65	254	44,01	<b>7,30</b> 8	3,624	3,787	2,403	1,756	2,600	194,7 273,1 575,1	1,033 1,380 2,682
Kr ——	4,85	4,15	188	83,7	13,90	2,629	2,747	1,743	2,422	4,880	273,1 289,4 373,1	2,334 2,459 3,063
Xe	3,47	4,91	252	131,3	21,80	2,099;	2,193	1,392	3,034	<b>7,7</b> 00	273,1 288,4 373,2	2,107 2,222 2,827
N <sub>s</sub>	<b>5,</b> 99	-	102	28,02	4,652	4,542	4,745	3,011	1,402	1,640	195,6 273,1 289,2 523,2	1,273 1,657 1,728 2,630

Fas none rap	10°.10°	a.10ie	С	м	m·10#		-10-a 298 K	Nu-10-17	M'.10-1	P.133.10	T	<b>10</b> 5
H <sub>s</sub> O	_	4,68	659	18,02	2,992	5,665	5,919	3,756	1,124	1,055	273,1 288,1 298,1	0,869 0,926 0,964

Обозначения: M—молекулярная масса,  $\frac{\kappa P}{\text{кмоль}}$ ; m—масса молекулы, кг; C—постоянная, характернзующая ингенсивность сил притяжения, действующих между молекулами (постоянная Сезерленда);  $\lambda_{273}^{103}$ —средняя длина свободного пути молекулы, м, при давлении 10³ Па и температуре 273 К;  $\sigma$ —диаметр молекулы, м;  $\rho_{273}^{133}$ — плотность газа при давлении 133 Па и температуре 273 К, кг/м³; T—абсолютная температура; К;  $u_a$ —средняя арифметическая скорость, м/с;  $N_u$ —число молекул, попадающих на 1 м³ поверхности за 1 с при температуре 2/3 К и давления 10³ Па; M'—масса газа, соответствующая  $N_u$ , кг/(м³-с);  $\eta$ —коэффициент динамической вязкости газа (или коэффициент внутрениего трения), Па-с.

Приложение 2 Растворимость газов **в** металлах

		Pac	творимость з	при 1 Па	Коэффициенты в уравнениях (4.1), (4.2)		
Гаэ	Металл	Темпера- тура, К	м³∙Па/кг	м³∙Па/м³	s <sub>p' м</sub> в <b>×</b> ×Па <sup>1/2</sup> /кг	s <sub>p</sub> , м³Х įХПа <sup>1/2</sup> /м³	<b>Е</b> р, ∤Дж/кмоль
H <sub>2</sub> O <sub>2</sub> N <sub>3</sub> H <sub>3</sub> H <sub>4</sub> O <sub>3</sub> H <sub>4</sub> N <sub>4</sub> N <sub>4</sub> H <sub>3</sub> H <sub>3</sub> H <sub>3</sub>	Fe Fe Fe Ni Hержавею- щая сталь Cu Mo Mo W Pt Ag	1373 1073 1113 573 673 673 873 693 1473 1473 682 673 573	2,2·10°3 7,6·10°3 1,45·10°3 7,4·10°3 9,86·10°3 2,1·10°4 1,58·10°3 5,3·10°4 2,6·10°3 3,1·10°6 2,1·10°4 1,7·10°4 0,52	1,75.10 <sup>2</sup> 5,98.10 <sup>2</sup> 1,149.10 <sup>3</sup> 66,1 79,1 1,87 1,42.10 <sup>3</sup> 5,38 27,1 6,0 4,55 1,83 5,91.10 <sup>3</sup>	0,198 0,2 4,42.107 8,67.1078 5,74.1078 0,181 0,136 2,84.1078 1,995 1,993 0,603 1,65.1078 0,151	1,565-10 <sup>3</sup> 1,58-10 <sup>3</sup> 3,49-10 <sup>31</sup> 7,73-10 <sup>9</sup> 45,9 1,62-10 <sup>3</sup> 1,22-10 <sup>3</sup> 2,9-10 <sup>4</sup> 1,96-10 <sup>4</sup> 2,08-10 <sup>4</sup> 1,294-10 <sup>4</sup> 1,73-10 <sup>2</sup> 1,72-10 <sup>3</sup>	5,06·107 1,745·107 4,22·10° 2,47·107 1,97·107 7,66·107 3,36·107 5,86·107 3,12·10° 1,444·10° 4,99·10° 9,63·10°

Примечание. Азот в Си и Ад и водород в А1 практически не растворяются.

Приложение 3 Растворимость газов в некоторых неметаллических материалах

		Растворимость при 1 Па					
Газ	Материал	Температура, К	м³∙Па/кг	м8-Па/м³			
H <sub>2</sub> O <sub>2</sub>	Каучук Каучук	298 <b>298</b>	3,76·10 <sup>-5</sup> 9,77·10 <sup>-5</sup>	3,83·10 <sup>-2</sup> 9,77·10 <sup>-2</sup>			

F		Pac	Растворимость при 1 Па					
Газ	Ма териал	Температура, К	м³∙Па/кг	м8-Па/м3				
N <sub>2</sub> CO <sub>2</sub> He H <sub>2</sub> He H <sub>2</sub> N <sub>2</sub> O <sub>2</sub>	Каучук Каучук Пирекс Кварц Фторопласт Фторопласт Фторопласт Фторопласт	298 298 773 573 293—353 293—353 293—353 293—353	5,26·10-5 9,0·10-5 2,86·10-6 2,4·10-6 1,25·10-5 1,75·10-5 2,25·10-5	5.11·10 <sup>-2</sup> 9.02·10 <sup>-2</sup> 8.27·10 <sup>-3</sup> 6.01·10 <sup>-3</sup> 2.5·10 <sup>-2</sup> 3.5·10 <sup>-2</sup> 5.2·10 <sup>-2</sup> 5.5·10 <sup>-2</sup>				

 $\Pi \, \text{риложенис} \quad 4$  Количество газов, содержащееся в сталях и сплавах

		Га зосо д	держание	
Материал	Кис.	лород	Азот	
	м³∙Па/кг	м³. Па/м³	<b>м³</b> .Па/кг	м³.Па/м⁵
Сталь 12X18H10T Сплав X20H80 Сталь 10 Сталь 20 Электролитическое железо Сталь У7 Сталь ШX15	2,25 9,0 2,25 7,5 4,1	17,5·10³  71·10³ 17,6·10³ 58,9·10³ 32·10³	5,1 3,5 3,44 3,18	40,3·10³
Сталь ШХ15 после электро- дугового переплава Сталь 30ХГСА Сталь электротехническая	3,0 12,9	$ \begin{array}{c c} 11,7 \cdot 10^{2} \\ 23,5 \cdot 10^{3} \\ 1 \cdot 10^{5} \end{array} $	3,43	27·10 <sup>3</sup>
тонколистовая Сталь электротехническая тонколистовая после ва- куумной плавки.	1,65	12,7·10 <sup>8</sup>	_	

# Продолжение приложения 4

	Газосодержание					
Материал	Вод	ород	Всего газов			
	м8•Па/кг	м³-Па/м³	м³-Па/кг	м³-Па/3и³		
Сталь 12X18H10T	6,5— 11,0	(51,4— 87)·10 <sup>3</sup>	13—18	10,3·10 <sup>4</sup> — 14,3·10 <sup>4</sup>		
Сплав Х20Н80	14,0	11,7.104	_	l '—		
Сталь 10	2,15	17·10 <sup>8</sup>	14,65	11,5.104		
Сталь 20	2,15	$16,9 \cdot 10^{3}$	8,1	$ 63,5\cdot10^{3}$		
Электролитическое железо	12,0	94 · 103	22,68	17,8·104		
Сталь У7	. —	-	3,2-4,3	(25,2—		
	l	1		33,8) 10		

	Газосодержание					
Материал	Водо	род	Всего газов			
	м8∙Па/кг	м³-Па/м³	м³-Па/кг	м³-Па/м³		
Сталь ШX15 Сталь ШX15 после электро- дугового переплава	_	=	_			
Сталь ЗОХГСА Сталь электротехническая тонколистовая	1,3	$10, 2 \cdot 10^{3}$ $2, 32$	7,73 12,9	60,6·10 <sup>8</sup>		
Сталь электротехническая тонколистовая после ва- куумной плавки	0,00005	0,385	1,65	12,7.103		

Приложение 5
Коэффициенты диффузии газов в твердых телах

			эффициент иффузии	Қоэффициенты в уравнении (4.5)		
Газ	Металл	Темпе- ратура, Қ	<i>D</i> , м³/с	<i>D</i> ₀, м²/с	Е <sub>д</sub> , Дж/кмоль	
H <sub>2</sub> O <sub>2</sub> CO C N <sub>2</sub> H <sub>2</sub>	Fe Fe Fe Fe Fe Нержавеющая	1273 1273 — 1273 1273 1023	$ \begin{array}{c} 2,1 \cdot 10^{-8} \\ 7,5 \cdot 10^{-14} \\$	$1,1\cdot 10^{-6}$ $3,92\cdot 10^{-12}$ $1,3\cdot 10^{-5}$ $4,26\cdot 10^{-8}$ $1,07\cdot 10^{-5}$ $1,1\cdot 10^{-7}$	8,33·10 <sup>7</sup> 8,38·10 <sup>7</sup> 1,637·10 <sup>8</sup> 4,06·10 <sup>8</sup> 2,85·10 <sup>8</sup> 4,94·10 <sup>7</sup>	
N <sub>2</sub>	сталь Нержавеющая сталь	_		1 · 10 - 5 5 · 10 - 5	5,66·10 <sup>8</sup> 5,74·10 <sup>8</sup>	
H <sub>2</sub> O <sub>2</sub> CO	Нержавеющая сталь Ni Ni Ni	398 1273 1223	$ \begin{array}{c}     - \\     3,4 \cdot 10^{-12} \\     2,36 \cdot 10^{-13} \\     4 \cdot 10^{-12} \end{array} $	2,04·10 <sup>-7</sup> 1,89·10 <sup>-9</sup> 5,4·10 <sup>-7</sup>	7,3·10 <sup>7</sup> 6,78·10 <sup>8</sup> 1,98·10 <sup>8</sup>	
C H <sub>2</sub> H <sub>2</sub> H <sub>2</sub>	Ni Cu Mo W	— — 550	— — — 10-12	1,2·10-5 1,1·10-6 7,25·10-8 0.1	2,75·10° 1,53·10° 1,74·10° 2,3·10°	
H <sub>2</sub> O <sub>2</sub> O <sub>2</sub>	Pd Ti Cu	350 1500 900	10-10 5,65·10-12 10-12	6,61·10 <sup>-5</sup> 4,7·10 <sup>-8</sup> 7,76·10 <sup>-8</sup>	6,46·10 <sup>7</sup> 2,18·10 <sup>8</sup> 2,38·10 <sup>8</sup>	
H <sub>2</sub> ^ He He	SiO <sub>2</sub> Пирекс Плавленый кварц	500 300 300	8,1·10-18 —	5,5·10 <sup>-10</sup> 2,58·10 <sup>-8</sup> 3·10 <sup>-8</sup>	$ \begin{array}{c} 3,64 \cdot 10^{7} \\ 2,59 \cdot 10^{7} \\ 2,34 \cdot 10^{7} \end{array} $	

	проницаемость мат	гериал	10В q'	Прило	жение б
			ицаемости*	Қоэфрициенты в уравн	ении (4.13)
Газ	Материал	Texme- parypa, K	q', м³·Па/(м²× ×c)	$k_0 \frac{M^3 \cdot \Pi a(1-1/j) \cdot M^{**}}{M^3 \cdot C}$	$E_{\text{пр}}$ , Дж
H <sub>2</sub> H <sub>2</sub> H <sub>2</sub> N <sub>2</sub>	Fe Fe Fe N1 Pd Нержавеющая сталь Мо Мо Cu	1095 965 681 342 298 871 1635	1,7.10-11 8,97.10-9 7,48.10-9 7,58.10-9 7.10-11 7,3.10-9 7,7.10-9	1,88·10-4 5,19·10-4 1,235·10-4 1,368·10-3 4,59·10-2 5,05·10-4 7,89·10-3	8,04·10 <sup>7</sup> 1,996·10 <sup>8</sup> 1,559·10 <sup>8</sup> 1,11·10 <sup>8</sup> 8,87·10 <sup>7</sup> 6,91·10 <sup>7</sup> 1,694·10 <sup>8</sup> 3,765·10 <sup>8</sup>
H <sub>2</sub> O <sub>2</sub> H <sub>2</sub> H <sub>2</sub> He	Ag Pt Al Стекло жаропроч- ное	913 702 773 473	$ 7,7 \cdot 10^{-9} 7,7 \cdot 10^{-9} 7,0 \cdot 10^{-9} 7,7 \cdot 10^{-11} \sim 10^{-13} $	2,189·10 <sup>-4</sup> 1,958·10 <sup>-3</sup> 7,74·10 <sup>-3</sup> 4,0·10 <sup>-2</sup> 2,85·10 <sup>-11</sup>	1,39·10 <sup>8</sup> 1,89·10 <sup>8</sup> 1,619·10 <sup>8</sup> 2,58·10 <sup>8</sup> 2,23·10 <sup>7</sup>
He H <sub>2</sub> . O <sub>2</sub> Ar Ne Bos-	Кварц Кварц Кварц Кварц Кварц Керамика	1173 1173 1173 873	$ \begin{array}{c} 5,8 \cdot 10^{-13} \\ 4,8 \cdot 10^{-12} \\ 6,8 \cdot 10^{-16} \\ 4,4 \cdot 10^{-13} \\ 2,1 \cdot 10^{-13} \\ 3,9 \cdot 10^{-13} \end{array} $	$ \begin{array}{c} 3,0.10^{-10} \\ 1,36.10^{-10} \end{array} $ $ \begin{array}{c} 5,49.10^{-11} \\ 1,43.10^{-8} \end{array} $	$ \begin{array}{c ccccccccccccccccccccccccccccccccccc$
дух Не О <sub>2</sub> Н <sub>2</sub> N <sub>2</sub> N <sub>2</sub> N <sub>2</sub> N <sub>2</sub>	Резина натуральная Резина 7889 Резина 9024 Резина ИРП-1015 Резина ИРП-1368 Резина ИРП-2043	298 298 298 298 298	$\begin{array}{c} -\\ -\\ -\\ -\\ -\\ -\\ -\\ -\\ -\\ -\\ -\\ -\\ -\\ $	1,45·10-6 8,85·10-6 4,82·10-6 2,87·10-7 7,52·10-4 2,0·10-4 8,1·10-9 1,09·10-5	2,72·10 <sup>7</sup> 3,14·10 <sup>7</sup> 2,886·10 <sup>7</sup> 2,59·10 <sup>7</sup> 5,15·10 <sup>7</sup> 4,97·10 <sup>7</sup> 8,78·10 <sup>6</sup> 4,23·10 <sup>7</sup>
H <sub>2</sub> He N <sub>2</sub> O <sub>2</sub> H <sub>2</sub>	Фторопласт-4 Фторопласт-4 Фторопласт-4 Фторопласт-4 Полиэтилен высо- кой плотности	293 293 293	$\begin{vmatrix} 2,41\cdot 10^{-11} \\ 8,27 & 10^{-13} \\ 1,88\cdot 10^{-12} \end{vmatrix}$	_	
H <sub>2</sub> N <sub>2</sub>	Полнамид Полиэтилентере- фталатная пленка толщиной 12 мкм Полиэтилентере-	293	$\begin{vmatrix} 2, 3 \cdot 10^{-12} \\ 2, 3 \cdot 10^{-12} \\ 5, 86 \cdot 10^{-13} \end{vmatrix}$		
	фталатная пленка толщиной 12 мкм	1		1	

<sup>•</sup> Удельные потоки проницаємости q' даны при давлении 1 Па и указанных температурах для материала толщиной 1 м. Для подсчета удельного потока q' гри иных давлениях p и толщинах Z и той же температуре следует использовать уравнение q'=q'1  $\frac{p^{1/i}}{Z}$ .

<sup>\*\*</sup> j=1 для неметаллов; j=2 для металлов.

# Скорость удельного газовыделения ${m q'}_{{\rm ra}_3}$ с поверхности металлов при комнатной температуре

Hamana	Предварительная	Удельный поток газа, десорбирую-	Длитель- ность от- качки, пос-	в ур	рициенты авиении (2.32)
Наимено- вание ма- териала	обработка ма- териала	шегося с поверх- ности, q' <sub>газ</sub> , м <sup>3</sup> ·Па/(м <sup>2</sup> ·с)	ле которой производи- лись изме- рения, ч	A <sub>gec</sub>	Вдес
Малоугле- родистая	-	4,12·10 <sup>-4</sup> 7,35·10 <sup>-5</sup>	1 6	_ <b>3,23</b> 6	4,16-10-
сталь	После отжига в вакууме при 693 К	4.10-10-1,2.10-8	Не изме- няется во времени	-	-
Нержавею- щая сталь	_	2,4·10 <sup>-4</sup> 4,12·10 <sup>-5</sup>	1 6	-3 <b>,4</b> 67	4,25.10-5
	Необработанная	1,7·10 <sup>-4</sup> 1,97·10 <sup>-5</sup>	1 5	-3, <b>3</b> 96	7,33·10-
	После отжига в вакууме при 673 K	4.10-10-11,2.10-8	На изме- няется во времени		
Медь	Травление, про- мывка в бензоле и ацетоне	1,11·10 <sup>-6</sup> 8,35·10 <sup>-7</sup>	1 5	<b>-4,3</b> 82	1,04.10-4
	Промывка в бен- золе и ацетоне	6,12·10 <sup>-5</sup> 1,03·10 <sup>-5</sup>	1 5	-3,918 -	5,85.10
	Необработанная	1,95·10 <sup>-4</sup> 6,40·10 <sup>-8</sup>	1 5	<b>-3,4</b> 86	3,98-10-
	После отжига в вакууме при 673 K	1,06.10-10-9,3.10-9.	Не изме- няется во времени	_	
JIатунь	Травление, про- мывка в бензоле и ацетоне	1,95·10 <sup>-8</sup> 1,53·10 <sup>-8</sup>	1 5	-4,176 -	9,16-10-
	Промывка в бен- золе и ацетоне	2,22·10 <sup>-4</sup> 8,9·10 <sup>-8</sup>	1 5	<b>-3,3</b> 9	3,7.10-5
	Необработанная	3,34·10 <sup>-4</sup> 1,2·10 <sup>-4</sup>	1 5	-3,35 -	3,14.10-
Дюралюми ний	Травление, про- мывка в бензоле и ацетоме	4,73·10 <sup>-5</sup> 3,9·10 <sup>-4</sup>	1 5	_3,946 	8,12-10-6
	Промывка в бен-	2,8·10 <sup>-4</sup> 1,4·10 <sup>-4</sup>	1 5	-3,231 	3,48-10-5
	Необработанный	5,57·10 <sup>-4</sup> 1,9·10 <sup>-4</sup>	1 5	-3,256 -	2,78-10-
Никель Молнбден Вольфрам	Необрабоганный То же То же	(6,5-8)·10 <sup>-6</sup> (4,6-8,5)·10 <sup>-6</sup> 1,3·10 <sup>-6</sup>	2 2 2 2	= -	=

Металл	Темпе- рату- ра, Қ	Общее	Водород	Азот	Окись углерода
Медь	673 873 1073 1123 1173	4,22·10 <sup>-2</sup> 1,03·10 <sup>-2</sup> 3,04·10 <sup>-2</sup> 3,24·10 <sup>-2</sup> 3,69·10 <sup>-2</sup>	2,23·10 <sup>-2</sup> 6,04·10 <sup>-3</sup>	1,07·10-3 ————————————————————————————————————	1,89·10 <sup>-2</sup> — 2,96·10 <sup>-2</sup>
Ковар	673 873 1073 1273 1373	5·10 <sup>-2</sup> 9,67·10 <sup>-2</sup> 0,237 0,985 2,81		0,292·10 <sup>-2</sup> 0,396·10 <sup>-2</sup> 0,79·10 <sup>-2</sup> 0,635	7,3·10 <sup>-2</sup> 0,200 0,826 1,687
Молибден	673 773 873 973 1073 1173 1273 1373 1473 1573 1673 1773	7,1·10 <sup>-2</sup> 5,411·10 <sup>-2</sup> 4,25·10 <sup>-2</sup> 4,91·10 <sup>-2</sup> 2,6·10 <sup>-2</sup> 5,36·10 <sup>-2</sup> 8,2·10 <sup>-2</sup> 2,01·10 <sup>-1</sup> 2,28·10 <sup>-1</sup> 4,41·10 <sup>-1</sup> 2,68·10 <sup>-1</sup> 3,05·10 <sup>-1</sup>	$\begin{array}{c} - \\ - \\ - \\ - \\ 1,14 \cdot 10^{-2} \\ 8,77 \cdot 10^{-3} \\ - \\ 1,84 \cdot 10^{-2} \\ 5,26 \cdot 10^{-2} \\ 2,19 \cdot 10^{-2} \\ 1,51 \cdot 10^{-1} \\ 8,88 \cdot 10^{-2} \\ 1,57 \cdot 10^{-1} \end{array}$	$\begin{array}{c} 2,5 \cdot 10^{-2} \\ 0,164 \cdot 10^{-1} \\ \hline 0,85 \cdot 10^{-2} \\ 1,64 \cdot 10^{-3} \\ \hline 6,73 \cdot 10^{-3} \\ 1,63 \cdot 10^{-2} \\ 2,00 \cdot 10^{-2} \\ 4,47 \cdot 10^{-2} \\ 3,8 \cdot 10^{-2} \\ 1,40 \cdot 10^{-2} \end{array}$	4,6·10 <sup>-2</sup> 1,86·10 <sup>-2</sup> 2,92·10 <sup>-2</sup> 1,56·10 <sup>-2</sup> 5,69·10 <sup>-2</sup> 1,33·10 <sup>-1</sup> 1,87·10 <sup>-1</sup> 2,46·10 <sup>-1</sup> 1,42·10 <sup>-1</sup>
Нержавею- щая сталь	673 873 1073 1273 1373	3,7·10 <sup>-2</sup> 0,235 8,56·10 <sup>-2</sup> 0,449 2,12	0,216 5,5·10-2 0,181 0,367	3,88·10 <sup>-3</sup> 3,94·10 <sup>-3</sup> 5,13·10 <sup>-3</sup> 1,96·10 <sup>-2</sup>	1,54·10- 2,67·10- 0,263 1,74
Мало <b>угле</b> ро- дист <b>ая</b> сталь	673 773 873 973 1073 1173 1273	8,87·10 <sup>-4</sup> 2,87·10 <sup>-8</sup> 1,27·10 <sup>-2</sup> 0,153 0,178 0,115 0,216	2,05·10 <sup>-2</sup> 2,04·10 <sup>-2</sup> 2,98·10 <sup>-2</sup> 3,7·10 <sup>-2</sup>	7,45·10 <sup>-2</sup> 6,36·10 <sup>-2</sup> 1,34·10 <sup>-2</sup> 3,65·10 <sup>-2</sup>	5,86·10- 9,40·10- 7,2·10- 0,142
Никель	673 873 1073 1273 1473	0,214 0,244 5,37·10-2 0,147 7,75	0,107 0,32·10-2 5,16·10-2	8,59·10 <sup>-2</sup> 0,32·10 <sup>-2</sup> 5,37·10 <sup>-2</sup> 5,37·10 <sup>-2</sup>	9,66·10 - 4,73·10 - 9,05·10 - 7,70

Примечание. Удельное газовыделение указано для интервалов температур, так, например, для меди при нагревании от 293 (комнатная температура) до 673 К выделится  $4.22\cdot 10^{-2}$  м $^3\cdot$  Па/кг, а при магревании от 673 до 873 К выделится дополнительно  $1,03\cdot 10^{-3}$  м $^3\cdot$  Па/кг.

Наименование	Состав, %	Парциальное давление, Па
N <sub>2</sub> O <sub>2</sub> Ar CO <sub>2</sub> Ar CO <sub>2</sub> Ne He CH <sub>4</sub> Kr H <sub>2</sub> N <sub>2</sub> O Xe O <sub>3</sub> H <sub>2</sub> O (50%-ная относительная влажность, 298 K)	78,08 20,95 0,93 0,033 1,8:10-\$ 5,24:10-4 1,1:10-4 5,0:10-\$ 5,0:10-\$ 8,7:10-\$ 7,0:10-\$ 1,57	7,9·10 <sup>4</sup> 2,12·10 <sup>4</sup> 9,32·10 <sup>2</sup> 33,2 1,86 0,53 0,2 11,3·10-2 5,06·10-2 5,06·10-2 8,8·10-3 7,05·10-3 1,58·10-3

Приложение 10 Чувствительность вакуумметрических преобразователей косвенного действия по разным дазам относительно азота

Преобразо-	1	Газы										
ватель	Воздух	N <sub>3</sub>	H <sub>2</sub>	He	Ne	Ar	Ķr	Xe	0,	со	COs	CH.
ПМИ-2 ПМТ-2	1,0	1,00	0,43	0,16	1,31	1,29 1,56	2,30	2,82	0,85	1,02 0,97	0,94	1,52 0,61
ПММ-14М ПМИ-27 МИ-12-8	1,0 1,0 1.0	1,00 1,00 1,00	0,46 0,49 0,45	0,15 0,29	0,25 0,41 0,34	1,60 1,60 1,60	2,60 2,00 2,20	3,40 3,00 3,10	1,10	=	1,30 1,60 1,60	=

Приложение 11 Основные характеристики отечественных промышленных течеискателей

Тип теченскателя	Модель	Характер работы	Пробное вещество	Минимально обнару- живаемый поток пробного вещества		
		ļ		м³-Па/с	г/год	
Масс-спектро- метрические	ПТИ-7А ПТИ-10	Ва <b>к</b> уумн <b>ы</b> й Вакуумный	Гел <b>и</b> й Гелий	6,5·10-11 5·10-12	_	
передвижные Масс-спектро- метрический	СТИ-11	Вакуумный	Гелий	5.10-14	_	
стационарный Галогенные	<b>ГТИ-</b> 6	Вакуумно-	Хладон	-	0,2	
Искровой	БГТИ-5 И060,010	атмосферный Атмосферный Вакуумный	<b>Х</b> ладон	_	1,5	

# Технические характеристики механических вакуумных насосов с масляным уплотнением

	Насосы						
Наименование	2НВР-5ДМ	2НВР-10Д	2НВР-16Д	2НВР-25Д	2НВР-40Д		
Быстрота действия дв интервале давлений 108—102 Па, л/с	5	10	16	<b>2</b> 5	40		
Предельное оста- точное давление, Па	5-10-1	5.10-1	5.10-1	5.10-1	5.10-1		
Мощность, кВт	0,9	-		_	_		
Габариты, мм	$540 \times 160 \times 270$						
Macca, KP	27	80	100	250	400		

Приложение 13 Технические характеристики вакуумных агрегатов на базе двухроторных насосов

	Агрегаты			
Наименование	<b>AB</b> P-50	ABP-150		
Быстрота действия в интервале давлений 10 <sup>2</sup> — 5 Па,	40	75		
л/с Предельное остаточное дав-	10-1	5.10-1		
ление, Па Мощность, кВт Габариты, мм Масса, кг	$ \begin{array}{c} 1,7 \\ 658 \times 448 \times 875 \\ 115 \end{array} $	$ \begin{array}{c} 3,5\\ 896\times448\times1165\\ 295 \end{array} $		

Приложение 14 Технические характеристики бустерных паромасляных насосов

	- Насосы				
Напменование	НВБМ-0,5	НВБМ-2,5	<b>НВБМ-</b> 5	<b>НВБМ-</b> 15	
Быстрота действия при давлении на входе 1 Па, л/с	700	<b>2</b> 500	5000	15 900	
Предельное остаточное давление при температуре окружающей среды от 278 до 298 K, Па	5-10-4	5-10-4	5·10 <sup>-4</sup>	10-2	
мощность, кВт	2,4	6,0	12,0 -	36	
Габариты, мм	490×410× ×985	695×570×	1150×910× ×2348	2000×1500× ×280	
Масса, кг	70	235	390	1800	
27—1081				417	

# Технические характеристики высоковакуумных паромасляных диффузионных насосов

	Насосы				
Наименование	H-100/350	H-250/2500	H-400/7000		
Выстрота действия в интервале давтений 10-°—5×	260	1800	4900		
	5·10-5	5.10-5	5.10-8		
Мощность, кВт	0,5	2,0	5,0		
Габариты, мм	275×170× ×310	705×330× ×588	859×526× ×762		
Macca, Kr	7	36	<b>'</b> 90		

# Продолжение прилож. 15

	Насосы				
Наименование	H-630/18 000	H-1000/45 000	F1-1600/100 000		
Быстрота действия в интервале давлений 10-3—5×	12 000	30 000	79 000		
	5-10-5	5·10-5	5.10-4		
па Мощность кВт Габариты,, мм	9,0 1304×930×	25,0 2400	34,0 3800		
Масса, кг	1304 ×930× ×1195 260	700	1600		

Приложение 16 Технические характерастики турбомолекулярных насосов

	Насосы				
Наименование	<b>BMH-</b> 150	TMH-500	01AB-450-001	01AB-1500-002	
Быстрота действия по воздуху в диапазоне впускных давле-	160	500	400	1000	
ний 4·10 <sup>-3</sup> —4·10 <sup>-8</sup> Па, л/с Предельное остаточное давле- ние. Па	5-10-7	5.10-7	5-10-7	5-10-1	
Частота вращения ротора, об/мин	<b>3</b> 0 000	18 000	24 000	21 000	
Габариты, мм	230×230× ×330	606×880× ×510	260×250× ×450	350×350× ×460	
Масса, кг Входной фланец ДУ, мм	23 125	215 160	30 160	50 <b>25</b> 0	

Приложение 17
Технические характеристики неохлаждаемых магниторазрядных насосов

			Насосы				
Наименование	НМД-0,0063	НМД-0,025	НМД-0,063	НМД-0,1	НМД-0,16-1	НМД-0,25	
Быстрога действия по воздуху в днапазоне давлений 5·10° 5·10° Па, л/с	6	22	60	110	160	120	
Предельное остаточное давление, Па	<10 <sup>-7</sup>	<10-7	<10-7	<10-7	6·10-8	<10-7	
Наибольшее давление за- пуска, Па	1,0	1,0	1,0	1,0	1,0	1,0	
Наибольшее рабочее дав- ление, Па	0,13	0,13	0,13	0,13	0,07	0,13	
Габариты, мм:		İ	!				
высота	160	220	- 320	320	367	340	
в плане	<b>80×85</b>	157×84	320×106	<b>32</b> 0 <b>×</b> 180	170×390	320×327	
Входной фланец ДУ, мм	25	100	100	100	100	160	
Масса, кг	2,9	8,4	21	32	42	53	

# "Продолжение прилож. 17

			Насосы		
Наименование	НМД-0,25-2	НМД-0.25-3	НМД-0.4-1	НМД-0,63	НМД.1
Быстрота действия по воздуху в диапазоне давлений 5.10 <sup>-8</sup> —5.10 <sup>-6</sup> Па, л/с	220	260	400	650	1200
Предельное остаточное давление, Па	<10-7	<b>&lt;</b> 10 <sup>-7</sup>	6·10-8	<10-7	<10-7
Наибольшее давление за- пуска, Па	1,0	1,6	1,0	1,0	1,0
Наибольшее рабочее дав- ление, Па	0,13	0,13	0,07	0,13	0,13
Габариты, мм:				1	
высота	340	320	367	580	580
в плане	320×327	<b>4</b> 60 <b>×3</b> 90	<b>460×3</b> 90	500 <b>⋉3</b> 50	500 <b>×554</b>
Входной фланец ДУ, мм	160	160	160	250	250
Macca, Kr	53	60	95	190	<b>2</b> 90
27*					419

			Насосы	_	
Наименование	НМДО-0.01-1	НМДО-0,025-1	НМДО-0,1-1	НМДО-0,25-1	НМДО-0,63-1
Быстрота действия по воздуху при давлении 5·10 <sup>-8</sup> Па, л/с	10	25	100	250	600
Предельное остаточное давление, Па	<10-7	<10 <sup>-7</sup>	<10-7	<10-7	<10-7
Наибольшее давление запуска, Па	5	5	5	5	5
Расход охлаждающей воды. л/ч	50	50—100	100—150	150—200	350
Габариты насоса, мм:					
в плане	100×120	196×200	254×424	254×424	<b>564×4</b> 50
высота	220	319	550	550	675
Масса насоса (без источника питания), кг	7,5	13,5	46	120	312

Приложение 19 Технические характеристики ионно-геттерных насосов

• (•::	•	
	Hacoo	ы
Наименование,	гин-0,5м1	гин-5
Быстрота действия по воздуху в дна- пазоне 10-4—10-6 Па, л/с	450	4500
Предельное остаточное давление, Па	<10⁻⁵	<10-7
Наибольшее давление запуска, Па	10-1	10-1
Расход охлаждающей воды, л/ч	300	60 <b>0</b>
Потребляемая мощность, кВт	0,85	3,5
Габариты, мм:		
в плане	<b>3</b> 64 <b>×280</b>	770 <b>⋉</b> 680
высота	464	1100
Масса насоса (без источника питания), кг	36	216

Приложение 20 Основные технические характеристики вакуумметров косвенного действия

	_	Диапаз	Диапазон, Па		
Наименование	Tun	изме рения	блокировки		
Реле вакуумное тепловое	PBT-2M	$\begin{array}{c c} 1,02 \cdot 10^{8} - \\ 2 \cdot 10^{-1} \end{array}$	390—1,3		
Вакуумметр теплоэлектрический блокировочный	BTE-2	$4 \cdot 10^{3} - 0,26$	4·10³—0,26		
Вакуумметр цифровой	BII-H-11	102-10-8	102-10-8		
Вакуумметр магнитораз-	ВМБ-11	10-1-10-8	10-1-10-8		
рядный блокировочный Вакуумметр магнитораз-	ВМЦ-2	10-1-10-6	10-1-10-6		
рядный цифровой Вакуумметр магнитораз- рядный цифровой блокиро- вочный	ВМЦБ-12	1-10-7	110-7		
Вакуумметр магнитораз-	ВМБ-8	1-10-7	1-10-7		
рядный олокировочный Вакуумметр ионизацион- ный образцовый	вио-1	1·10 <sup>-1</sup> — —5·10 <sup>-9</sup>	_		
Вакуумметр ионизационный	ВИТ-3	102-10-8	_		
То же	ВИ-14	33-10-8	-		

### Продолжение прилож. 20

	Манометри-		
Наименование	ческий пре- образователь	Габариты, мм	Масса, кг
Родо ракумично доплороз	ПМТ-6-3	80×158×206	2,5
Реле вакуумное тепловое Вакуумметр теплоэлек-	TIMT-6-3	200 🔾 158 🔾 319	6
трический блокировочный Вакуумметр цифровой	ПМИ-10-2	158×100×230	3
Вакуумметр магнитораз-	ПММ-46	158×120×395	10
рядный блокировочный Вакуумметр магнитораз-	ПММ-32-1	335×246×171	8
рядный цифровой Вакуумметр магнитораз- рядный цифровой блокиро- вочный	ПММ-32-1	158×100×230	3
вочный Вакуумметр магнитораз- рядный блокировочный	ПММ-32-1	240×290×240	7,5
Вакуумметр ионизацион- ный образцовый	ПМИ-39-2	_	26,2
Вакуумметр ионизацион-	ПМИ-2, ПМТ-2,	430×320×300	30
То же	ПМТ-4М, ПМИ-10-2 ПМИ-27 ПМИ-12	480×220×360	20

#### СПИСОК ЛИТЕРАТУРЫ

1. Балицкий А. В. Технология изготовления вакуумной аппаратуры. — М.: Энергия. 1974. — 385 с.

2. Беррер Р. Диффузия в твердых телах. — М.: Изд-во иностр.

лит., 1948. — 504 c.

3. Бранауэр С. Адсорбция газов и паров. — М.: Изд-во иностр.

лит., 1948. — 784 с.

- 4. Васильев Г. А. Магниторазрядные насосы. М.: Энергия. 1970. — 112 с. 5. Волчкевич А. И. Высоковакуумные адсорбционные насосы. —
- M.: Машиностросние, 1973. 158 с.

6. Востров Г. А., Розанов Л. Н. Вакуумметры. — Л.: Машиностроение, 1967. — 236 с.

- 7. Глазков А. А., Малышев И. Ф., Саксаганский Г. Л. Вакуумные системы электрофизических установок. — М.: Атомиздат, 1975. — 192 c.
- 8. Глазков А. А., Милованова Р. А. Учебная лаборатория вакуумной техники. — М.: Атомиздат, 1971. — 273 с.

9. Гейнце В. Введение в вакуумную технику. — М.: Госэнерго-

издат. 1960. — 517 с.

- 10. Грошковский Я. Техника вакуума. М.: Изд-во иностр. лит., 1975. — 622 c.
- 11. Гуляев М. А., Ерюхин А. В. Измерение вакуума. М.: Стандартиздат, 1967. — 147 с.

12. Данилин Б. С., Минайчев В. Е. Основы конструирования ва-

куумных систем. — М.: Энергия, 1971. — 392 с.

- 13. Джейрам Р. Масс-спектрометрия. Теория и приложения. —
- М.: Мир. 1964. 715 с. 14. Дэшман С. Научные основы вакуумной техники. М.: Мир, 1964. — 715 c.

15. Коль В. Технология материалов для электровакуумных при-

боров. — М.—Л.: Госэнергоиздат, 1957 — 448 с.

16. Королев Б. И., Кузнецов В. И., Пипко А. И., Плисковский В. Я. Основы вакуумной техники. — М.: Энергия, 1975. — 416 с. 17. Кузнецов В. И. Механические вакуумные насосы. — М.—Л.: Госэнергоиздат, 1959. — 279 с.

18. Ланис В. А., Левина Л. Е. Техника вакуумных испытаний.—

М.—Л.: Госэнергоиздат, 1963. — 263 с.

19. Медников М. И. Вводы движения в вакуум, — М.: Машиностроение, 1974. — 184 с.

• 20. Павленко В. А. Газоанализаторы. — М.—Л.: Машиностроение, 1965. — 296 с.

21. Пауэр Б. Д. Высоковакуумные откачные устройства. — М.: Энергия, 1969. — 528 с.

22. Пипко А. И., Плисковский В. Я., Пенчко Е. А. Оборудование для откачки вакуумных приборов — М.: Энергия, 1965. — 464 с.

23. Пипко А. И., Плисковский В. Я., Пенчко Е. А. Конструирование и расчет вакуумных систем. — М.: Энергия, 1979. — 504 с.

24. Попов В. Ф. Нераспыляемые газопоглотители. — Л.: Энергия. 1975. — 104 с.

25. Рафальсон А. Э., Шеришевский А. М. Масс-спектрометрические приборы. — М.: Атомиздат, 1968. — 403 с.

26. Розанов Л. Н. Вакуумные машины и установки. — М.: Ма-

**шиностроение**, 1975. — 336 с

27. Рот А. Вакуумные уплотнения. — М.: Энергия, 1971. — 464 с. 28. Сверхвысокий вакуум в радиационно-физическом аппаратостроении/ Г. Л. Саксаганский, Ю. Н. Котельников, М. Д. Малев и др. — М.: Атомиздат, 1976. — 374 с.

29. **Трепнел Б.** Хемосорбция. — М.: Изд-во иностр. лит., 1958 —

327 c.

30. Тягунов Г. А. Основы расчета вакуумных систем. — М.—Л.: Госэнергоиздат, 1948. — 148 с.

31. Черепнин Н. В. Вакуумные свойства материалов для элек-

тронных приборов. — М.: Советское радио, 1966. — 350 с.

32. Черепнин Н. В. Основы очистки, обезгаживания и откачки в вакуумной технике. — М.: Советское радио, 1967. — 408 с.

33. Черепнин Н. В. Сорбционные явления в вакуумной техни-

ке. — M.: Советское радио, 1973. — 384 с.

34. **Цейтлин А. Б.** Пароструйныє вакуумныє насосы. — М.: Энергия, 1969. — 400 с.

### ПРЕДМЕТНЫЙ УКАЗАТЕЛЬ

Абсорбент 54 Абсорбция 54 Авогадро закон 15 — число 16 Авторегулировка 150 Агрегат вакуумный 128 Адиабатический процесс 43 Адсорбент 54 Адсорбция 54 – капиллярная 164, 169 физическая 54, 55химическая 54, 61 Азотит 140 Аккомодация, коэффициент 37 Аргонная нестабильность 149 обработка 153

Баллон форвакуумный 392 Безмасляный вакуум 147 Бойля—Мариотта закон 14 Больцмана постоянная 17 Быстрота действия насоса 36, 86 — откачки объекта 39° — эффективная 47

Вакуум, понятие 4 - степени 46 Вакуумметр деформационный 189 — жидкостный 182 - компрессионный 184 магнитный электроразрядный 201 — тепловой 190 электронный ионизационный 195 Вакуумные откачные автоматы 278— посты 266, 270 Ввод вакуумный для передачи движения 300 Вещество пробное 249 Внутреннее трение, коэффициент 27, Внутренняя энергия 35 Вязкостный режим течения газа 44 Вязкость газа 29

Газ балластный 105

идеальный 11, 14реальный 13, 75 Газовая постоянная универсальная 17 Газовыделение удельное 49, 51— суммарное 48, 49, 50, 65
Газовые законы 14
Газосодержание 62, 65
Гей-Люссака закон 16 Генератор газа 350 Герметичность 245 Геттер 5, 65, 137, 138 Гнездо откачное 320

Давление вакуумного насоса наибольшее выпускное 84. 390 — — рабочее 85 — газа барометрическое 182, 183 — единицы 13, 14 - запуска вакуумного насоса наибольшее 84 — насыщенных паров 77, 78, 104— парциальное 16 - полное остаточное 86 предельное остаточное 47, 85 Дальтона закон 16 Десорбция 54, 61 Диссоциация 81 Диффузия 12, 27, 30, 53, 66 поверхностная 60 Длина расчетная 374 — свободного пути молекул 22 Длительность откачки, расчет 46, 50

Единицы давления газа 14 — потока газа 40

Затвор вакуумный 334 Защитная способность ловушки 162 Золотник 350

Измерение быстроты действия наcoca 160 - давления 177 — потока 230 Изотерма адсорбции 58 Изотермический процесс .43 Испарение 76

Квазистационарное течение газа 46 Клаузинга формула 372 Кнудсена уравнение 372 Концентрация молекулярная 14, 15, 177 Криогенератор 155 Критическая температура 75

Ленгмюра коэффициент 37 Ловушки адсорбционные 172 механические 166 низкотемпературные охлаждаемые 168 электрические 175 Лошмидта число 16

M

Масло для вакуумных насосов 360 кремнийорганическое 364 минеральное 360, 361 Маслоотражатель 166 Масс-спектрограмма 217

Масс-спектрометр (хронотрон) 222 времяпролетный квадрупольный 227 Разрешающая способность 216 — монополярный 228 — омегатронный 224 Растворимость 62 Режимы течения газа 44 Резины физико-механические свой-- статический **220** ства 357 Молекулярно-вязкостный режим те-Рейнольдся число 44, 45 чения газа 46 Молекулярный режим течения газа Сжатия степень 114, 131 Скорость вероятная 20 звука 369 Насос адсорбционный 84, 135 средняя арифметическая 20 бустерный 120, 391 — квалратичная 20 вакуумный всдокольцевой 93 - теплового движения 17, 19 — - газобалластный 105
— - двухроторный 112 Соплс зоитичное обращенное 121 — — эжекторное 116 — с масляным уплотнением 94 — диффузионный 121 Сопротивление трубопровода 40, 41 Сорбция газа 53 ионно-геттерный 142
испарительный геттерный 137
конденсационный 84, 154
криосорбционный 84, 157 Средняя длина свободного пути 22 Стационарное течение газа 46 — магнитный электроразрядный 148 — сорбционный 84 — струйный 119 Теплопроводность 29, 34 Теч₁ 245 Теченскание, метод люминесцент-— турбомолекулярный 129
— эжекторный 83, 116
— электродуговой геттерный 140
Насыщенный пар 76, 78 ный 250 — манометрический 252 — накопления 260 — опрессовки 249 Натекание 245 Топричеллиева пустета 4, 183 Турбулентный режим течения 44 Обдувание 254 Обезгаживание 54 Уравнение , состояния илеального Опрессовка 249 газа 16 Основное уразнение вакуумной техники 42 — — реального газа 18 Откачка 38 Фика законы 31, 33, 66, 71 Форвакуум 84° Оценка давления по свечению 248, Фракционирование 121 П Фурье закон 35 Пар 75 Параметры состояния 42 Чувствительность манометрического Плотность газа 14, 177 Политропа, показатель 44 Политропный процесс 43 преобразователя 197 — масс-спектрометра 216, 219 — относительная 210, 217 Поток газа, расчет 40 теченскателя 249

Проводимость элемента вакуумной системы 41, 365 Производительность насоса 40, 87 Проницаемость 66 Пуазейля уравнение 369

Шарля закон 16 Штенгель откачной 320

#### ОГЛАВЛЕНИЕ

Предисловие ко второму изданию	3
Введение	4
История развития вакуумной техники . Области применения вакуумной техники ЧАСТЬ ПЁРВАЯ	<b>4</b> 8
ФИЗИКА РАЗРЕЖЕННЫХ ГЛЗОВ	
Глава первая. Элементы кинетической теории и газовые	
законы	11
1.1. Понятие об идеальном газе	11
1.2. Тепловое движение молекул и атомов	11
1.3. Давление и плотность газа	13
1.4. Законы идеальных газов	14
1.5. Уравнение состояния идеальных газов	16
1.6. Уравнение состояния реальных газов	18
1.7. Закон распределения молекул газа по скоростям	19
1.8. Средняя длина свободного пути	22
1.9. Объем газа, занимаемый молекулами, ударяющимися	25
о поверхность стенки в единицу времени 1.10. Явления переноса	26 26
1.10. Явления переноса 1.11. Внутреннее трение в газах	28
1.12. Диффузия газов .	30
1.13. Теплопроводность газов	34
Глава вторая. Теоретические основы процесса откачки	38
· · · · · · · · · · · · · · · · · · ·	38
2.1. Основные определения вакуумной техники 2.2. Сопротивление и проводимость сложного вакуумного	30 41
трубопровода	42
2.3. Основное уравнение вакуумнои техники	14
стемах	42
2.5. Критерии определения границ режимов течения газа в трубопроводах	44
2.6. Расчет длительности откачки при квазистационарном течении газа и постоянных газовыделении и натекании	46
2.7. Расчет длительности откачки при переменном газо-	
вом потоке	50
Глава третья. Взаимодействие газов с твердыми телами	53
3.1. О поглощении и выделении газов твердыми телами 3.2. Адсорбция и десорбция газов Физическая адсорбция Химическая адсорбция Десорбция	53 55 55 61 61
<b>4</b> 26	

the control of the co	
Глава чётвертая. Растворимость, газосодержание, диффузия, проницаемость	62
4.1. Растворимость и газосодержание в твердых телах . 4.2. Диффузия газов в твердых телах и проницаемость	6 <b>2</b> 66
материалов	71
Глава пятая. Давление паров и диссоциация окислов металлов	<b>7</b> 5
5.1. Понятия «газ» и «пар» 5.2. Давление паров материалов	75 78
5.3. Давление насыщенных паров в вакуумной системе, температура отдельных участков которой неодинакова 5.4. Термическая диссоциация окислов металлов	78 81
ЧАСТЬ ВТОРАЯ	
ТЕХНИКА ПОЛУЧЕНИЯ ВАКУУМА	
Глава шестая. Общие сведения о вакуумных насосах	83
6.1. Классификация вакуумных насосов 6.2. Основные параметры и характеристики вакуумных	83
насосов	84
6.3. Области действия вакуумных насосов	87
Глава седьмая. Вакуумные насосы	93
7.1. Водокольцевые насосы	<b>9</b> 3
нением	94 94
Принцип действия Парамстры и характеристики	97
Рабочие жидкости для насосов	99
Конструкции насосов	100
Газобалластное устройство и откачка конденсирую-	
щихся паров	102
Практические указания по эксплуатации 7.3. Механические вакуумные насосы с деформируемой камерой	108 110
камерои	110
Практические указания по эксплуатации	iii
7.4. Двухроторные вакуумные насосы	112
Прищип действия	112
Конструкция и характеристики	114
Практические указания по эксплуатации	115 115
7.5. Эжекторные насосы	115
Принцип действия	116
Конструкции и характеристики 7.6. Струйные насосы	119
7.0. Струнные насосы Принцип действия	119
Конструкции и характеристики	120
Практические указания по эксплуатации	128 129
7.7. Турбомолекулярные насосы	129
Принцип действия	132
Конструкции и характеристики . Практические указания по эксплуатации	134
практические указания по экспиратиции	427

7.8. Алс	орбционные насосы	135
7.9. Исп	арительные геттерные насосы	137
	нцип действия	137
	струкции и_характеристики .	138
7.10. Элег	ктродуговые геттерные насосы	140
	нцип действия	140
Kо̀н	струкции и характеристики	140
7.11. Йон	но-геттерные насосы	142
	нцип действия	142
Кон	струкции и характеристики .	142
	ктические указания по эксплуатации	147
7.12. Mar	нитные электроразрядные насосы	148
При	нцип действия	148
	струкции и характеристики	151
	ктические указания по эксплуатации	152
	денсационные насосы	154
	нцип действия	154
*	струкции и характеристики	154
	осорбционные насосы	157
_		
	осьмая. Измерение и контроль основных пара- вакуумных насосов	159
8.1. Изм	ерение быстроты действия насосов	160
	ерение предельного остаточного давления .	161
8.3. Изм	ерение наибольшего выпускного давления при	
	пении, соответствующем максимальной производи-	
	ности	161
_		
ілава де	евятая. Ловушки	162
9.1. Наз	начение и основные требования, предъявляемые	
	овушкам	162
	анические ловушки	166
	котемпературные охлаждаемые ловушки	168
9.4. Адс	орбционные ловушки	172
	ктрические ловушки	175
	часть третья	
mn v		
ТЕХНИ	IKA ИЗМЕРЕНИЯ ПОЛНОГО И ПАРЦИАЛЬНЫХ ДАВЛЕНИЙ ГАЗОВ	
Глава ле	сятая. Приборы для измерения полного давле-	
ния разр	еженного газа (вакуумметры)	177
_	• • •	
10.1. Кла	ссификация вакуумметров	177
10.2. жи	дкостные U-образные вакуумметры	182
	прессионные вакуумметры	184
	цее описание и принцип работы.	184
	собы градуировки и измерения	186
Oco.	бенности компрессионного вакуумметра	188
10.4. Деф	оормационные вакуумметры	189
10.5. Теп.	ловые вакуумметры	190
Вак	уумметры сопротивления (режим постоянства	
темі	пературы)	192
Tep	мопарные вакуумметры (режим постоянства тока	
	ала)	193
Oco	бенности тепловых вакуумметров	194

10.6. Электронные ионизационные вакуумметры	195
Принцип действия	195
Электронные ионизационные преобразователи для из-	198
мерения давления в диапазоне среднего вакуума.	
Электронные ионизационные манометрические пре-	
образователи для измерения сверхвысокого ва-	198
KyyMa	201
10.7. Магнитные электроразрядные вакуумметры	201
Принцип действия	
шенным верхним пределом измеряемых давлений.	204
з Магнитные электроразрядные вакуумметры для изме-	
рения сверхнизких давлений	205
Самоочищающиеся магнитные электроразрядные пре-	
образователи	206
Особенности магнитных электроразрядных вакуум-	
метров	208
> 10.8. Практические указания по эксплуатации приборов для	
измерения полного давления	209
Присоединение манометрических преобразователей	
к вакуумной системе	209
Отсчет давлений	210
Очистка и обезгаживание преобразователей	210
Сорбционно-десорбционные эффекты	211
Инерционность отсчета давления	212
Глава одиннадцатая. Приборы для измерения пар- циальных давлений газов	213
циалопых давлении газов	
11.1. Классификация газоанализаторов	213
11.2. Спектр масс и его расшифровка	. 217
11.3. Статические масс-спектрометры с разделением ионог	
в магнитном поле	220
11.4. Времяпролетный масс-спектрометр (хронотрон)	222
11.5. Омегатронный измеритель парциальных давлений.	<b>224</b>
11.6. Квадрупольный и монополярный масс-спектрометрь	007
(электрические фильтры масс) .	227
Квадрупольный масс-спектрометр	227
Монополярный масс-спектрометр	228
Глава двенадцатая. Методы измерения потока разре-	
женного газа	230
	230
12.1. Классификация методов 12.2. Метод накопления	. 234
12.3. Метод накопления с анализом динамики изменения	
Давления	235
12.4. Метод калиброванного сопротивления и двух мано	
метрических преобразователей	237
12.5. Метод двух калиброванных сопротивлений и одного	
манометрического преобразователя.	238
12.6. Метод, использующий насос с высокой быстротой	•
действия	240
12.7. Метод порционного перепуска (объемный измерителя	
потока)	240
12.8. Методы дозирования потока газа	242
	· 245
Глава тринадцатая. Течеискание	
	429

13.1. Герметичность вакуумных систем 13.2. Методы течеискания 13.3. Метод опрессовки 13.4. Люминесцентный метод 13.5. Искровой течеискатель 13.6. Манометрический метод 13.7. Галогенный течеискатель 13.8. Масс-спектрометрический течеискатель	245 247 <b>24</b> 9 250 251 <b>2</b> 52 253 256
<b>ЧАСТЬ ЧЕТВЕРТАЯ</b>	
ВАКУУМНЫЕ СИСТЕМЫ И ИХ ЭЛЕМЕНТЫ	
Глава четырнадцатая. Принципы построения вакуум ных систем	262
14.1. Общие сведения	262 262 263
14.2. Основные требования, предъявляемые к вакуумные системам	. 264
14.4. Прогреваемые высоковакуумные системы откачны постов	x 270
14.5. Вакуумные системы карусельных и конвейерных ма шин для откачки ЭВП	278
14.6. Вакуумные системы оборудования для нанесения тон ких пленок	285 29 <b>0</b>
Глава пятнадцатая. Элементы вакуумных систем	<b>29</b> 3
15.1. Разборные вакуумные соединения . 15.2. Устройства для передачи движения в откачиваемы сосуд	. 293 й <b>30</b> 0
<ul><li>15.3. Электрические вакуумные вводы</li><li>15.4. Смотровые системы</li><li>15.5. Откачные гнезда</li></ul>	315 317 <b>3</b> 20
Глава шестнадцатая. Коммутационная аппаратура	<b>32</b> 5
16.1. Основные требования, предъявляемые к коммута ционной аппаратуре	<b>3</b> 25
куумных систем	326
умных систем	. 339 ы 346
16.5. Золотники Глава семнадцатая, Конструкционные материалы	350 <b>35</b> 2
17.1. Основные требования, предъявляемые к конструк	
ционным материалам 17.2. Металлы и их сплавы 17.3. Неметаллические материалы 17.4. Рабочие жидкости для вакуумных насосов	352 352 355 360

### ЧАСТЬ ПЯТАЯ

### РАСЧЕТ ВАКУУМНЫХ СИСТЕМ

Глава восемнадцатая. Проводимости вакуумных тру-	
бопроводов	36 <b>5</b>
18.1. Истечение газа через отверстия	365
Турбулентный и вязкостный режимы течения газа	365
Молекулярный режим течения газа	<b>3</b> 65
Молекулярно-вязкостный режим течения газа	367
18.2. Течение газа по трубопроводам	368
Турбулентный режим течения газа	368
Вязкостный режим течения газа	369
Молекулярный режим течения газа	371 372
Молекулярно-вязкостный режим течения газа	374
18.3. Местиые сопротивления	374
Еязкостный режим течения газа	374
Молекулярный режим течения газа	375
Молекулярно-вязкостный режим течения газа	375
Глава девятнадцатая. Выбор средств откачки	378
19.1. Определение необходимой быстроты действия ваку- умного насоса	378 379 381 382
Глава двадцатая. Методика расчета вакуумных систем	386
20.1. Постановка задачи	386
20.2. Примеры расчетов газовых потоков, длительности откачки и отдельных элементов вакуумных систем 20.3. Расчет вакуумной системы электрической печи отжи-	388
га деталей ЭВП .	402
Проектный расчет	40 <b>2</b>
Поверочный расчет	404
Приложения	409
Список литературы	<b>422</b>
Предметный указатель	424

АНАТОЛИЙ ИСААКОВИЧ ПИПКО ВЛАДИМИР ЯКОВЛЕВИЧ ПЛИСКОВСКИЙ БОРИС ИВАНОВИЧ КОРОЛЕВ ВЛАДИМИР ИВАНОВИЧ КУЗНЕЦОВ

### Основы вакуумной техники

Редактор С. И. Гоникберг Редактор издательства Н. Н. Кузнецова Технический редактор Н. Н. Хотулева Корректор М. Г. Гулина ИБ № 1798 («Энергия»)

Сдано в набор 25.02.81 Подписаис в печать 25.04.81 Т-057<sup>9</sup> Формат 84×1081/32 Бумага типографская № 3 Гарн. шрифта литературна Бисокая Усл. печ. л. 22,68 Уч.-иэд. л. 25 Тираж 23 000 экз. Заказ 1081 Цена 1

Энергоиздат, 113114, Москва, М-114, Шлюзовая наб., 10

Московская типография № 10 Союзполиграфпрома при Государственом комитете СССР по делам издательств, полиграфии и книжног торговли. 113114, Москва, М-114, Шлюзовая наб., 10